



Hall Effect Thruster Interactions Data From the Russian Express-A2 and Express-A3 Satellites Acquire TM-Data for Type A and Type B Sensors for “Express-A” Number 3 Satellite for the Period of June 24, 2000 to and Including September 30, 2000, Task 27A

N. Sitnikova, D. Volkov, I. Maximov, and V. Petrusevich
Nauchno-Proizvodstvennoe Obiedinenie Prikladnoi Mekhaniki, Krasnoyarsk region, Russia

D. Allen
Schafer Corporation, Chelmsford, Massachusetts

The NASA STI Program Office . . . in Profile

Since its founding, NASA has been dedicated to the advancement of aeronautics and space science. The NASA Scientific and Technical Information (STI) Program Office plays a key part in helping NASA maintain this important role.

The NASA STI Program Office is operated by Langley Research Center, the Lead Center for NASA's scientific and technical information. The NASA STI Program Office provides access to the NASA STI Database, the largest collection of aeronautical and space science STI in the world. The Program Office is also NASA's institutional mechanism for disseminating the results of its research and development activities. These results are published by NASA in the NASA STI Report Series, which includes the following report types:

- **TECHNICAL PUBLICATION.** Reports of completed research or a major significant phase of research that present the results of NASA programs and include extensive data or theoretical analysis. Includes compilations of significant scientific and technical data and information deemed to be of continuing reference value. NASA's counterpart of peer-reviewed formal professional papers but has less stringent limitations on manuscript length and extent of graphic presentations.
- **TECHNICAL MEMORANDUM.** Scientific and technical findings that are preliminary or of specialized interest, e.g., quick release reports, working papers, and bibliographies that contain minimal annotation. Does not contain extensive analysis.
- **CONTRACTOR REPORT.** Scientific and technical findings by NASA-sponsored contractors and grantees.

- **CONFERENCE PUBLICATION.** Collected papers from scientific and technical conferences, symposia, seminars, or other meetings sponsored or cosponsored by NASA.
- **SPECIAL PUBLICATION.** Scientific, technical, or historical information from NASA programs, projects, and missions, often concerned with subjects having substantial public interest.
- **TECHNICAL TRANSLATION.** English-language translations of foreign scientific and technical material pertinent to NASA's mission.

Specialized services that complement the STI Program Office's diverse offerings include creating custom thesauri, building customized databases, organizing and publishing research results . . . even providing videos.

For more information about the NASA STI Program Office, see the following:

- Access the NASA STI Program Home Page at <http://www.sti.nasa.gov>
- E-mail your question via the Internet to help@sti.nasa.gov
- Fax your question to the NASA Access Help Desk at 301-621-0134
- Telephone the NASA Access Help Desk at 301-621-0390
- Write to:
NASA Access Help Desk
NASA Center for Aerospace Information
7121 Standard Drive
Hanover, MD 21076



Hall Effect Thruster Interactions Data From the Russian Express-A2 and Express-A3 Satellites Acquire TM-Data for Type A and Type B Sensors for “Express-A” Number 3 Satellite for the Period of June 24, 2000 to and Including September 30, 2000, Task 27A

N. Sitnikova, D. Volkov, I. Maximov, and V. Petrusevich
Nauchno-Proizvodstvennoe Obiedinenie Prikladnoi Mekhaniki, Krasnoyarsk region, Russia

D. Allen
Schafer Corporation, Chelmsford, Massachusetts

Prepared under Contracts NAS3-99151 and NAS3-99204

National Aeronautics and
Space Administration

Glenn Research Center

Available from

NASA Center for Aerospace Information
7121 Standard Drive
Hanover, MD 21076

Available electronically at <http://gltrs.grc.nasa.gov>

Preface

This 12-part report documents the data obtained from various sensor measurements taken aboard the Russian Express-A2 and Express-A3 spacecraft in Geosynchronous Earth Orbit (GEO). These GEO communications satellites, which were designed and built by NPO Prikladnoy Mekhaniki (NPO PM) of Zheleznogorsk, Russia, utilize Hall thruster propulsion systems for north-south and east-west station-keeping and as of June 2002, were still operating at 80° E. and 11° W., respectively. Express-A2 was launched on March 12, 2000, while Express-A3 was launched on June 24, 2000. The diagnostic equipment from which these data were taken includes electric field strength sensors, ion current and energy sensors, and pressure sensors. The diagnostics and the Hall thruster propulsion systems are described in detail along with lists of tabular data from those diagnostics and propulsion system and other satellite systems.

Space Power, Inc., now part of Pratt & Whitney's Chemical Systems Division, under contract NAS3-99151 to the NASA Glenn Research Center, obtained these data over several periods from March 12, 2000, through September 30, 2001. Each of the 12 individual reports describe, in detail, the propulsion systems as well as the diagnostic sensors utilized.

Finally, parts 11 and 12 include the requirements to which NPO PM prepared and delivered these data.

Filename	Title
CR-2003-212005-PART1.pdf	Hall Effect Thruster Interactions Data From the Russian Express-A2 and Express-A3 Satellites Acquire Express-A2 SPT-100 Based Propulsion Subsystem and Other Subsystem Flight Operation TM-Data for the Period of March 12, 2000 to and Including June 15, 2000, Task 29
CR-2003-212005-PART2.pdf	Hall Effect Thruster Interactions Data From the Russian Express-A2 and Express-A3 Satellites Acquire TM-Data for Type B Sensors for "Express-A" Number 2 Satellite for the Period of March 12, 2000 to and Including June 15, 2000, Task 25
CR-2003-212005-PART3.pdf	Hall Effect Thruster Interactions Data From the Russian Express-A2 and Express-A3 Satellites Acquire Express-A3 SPT-100 Based Propulsion Subsystem and Other Subsystem Flight Operation TM-Data for the Period of June 24, 2000 to and Including September 30, 2000, Task 30
CR-2003-212005-PART4.pdf	Hall Effect Thruster Interactions Data From the Russian Express-A2 and Express-A3 Satellites Acquire TM-Data for Type A and Type B Sensors for "Express-A" Number 3 Satellite for the Period of June 24, 2000 to and Including September 30, 2000, Task 27A

Filename	Title
CR-2003-212005-PART5.pdf	Hall Effect Thruster Interactions Data From the Russian Express-A2 and Express-A3 Satellites Acquire Express-A3 SPT-100 Based Propulsion Subsystem and Other Subsystem Flight Operation TM-Data for the Period of October 1, 2000 to and Including December 31, 2000, Task 31
CR-2003-212005-PART6.pdf	Hall Effect Thruster Interactions Data From the Russian Express-A2 and Express-A3 Satellites Acquire TM-Data for Type A and Type B Sensors for "Express-A" Number 3 Satellite for the Period of October 1, 2000 to and Including December 31, 2000, Task 27B
CR-2003-212005-PART7.pdf	Hall Effect Thruster Interactions Data From the Russian Express-A2 and Express-A3 Satellites Acquire Express-A3 SPT-100 Based Propulsion Subsystem and Other Subsystem Flight Operation TM-Data for the Period of January 1, 2001 to and Including March 31, 2001, Task 32
CR-2003-212005-PART8.pdf	Hall Effect Thruster Interactions Data From the Russian Express-A2 and Express-A3 Satellites Acquire TM-Data for Type A and Type B Sensors for "Express-A" Number 3 Satellite for the Period of January 1, 2001 to and Including March 31, 2001, Task 27C
CR-2003-212005-PART9.pdf	Hall Effect Thruster Interactions Data From the Russian Express-A2 and Express-A3 Satellites Acquire Express-A3 SPT-100 Based Propulsion Subsystem and Other Subsystem Flight Operation TM-Data for the Period of July 1, 2001 to and Including September 30, 2001, Task 33
CR-2003-212005-PART10.pdf	Hall Effect Thruster Interactions Data From the Russian Express-A2 and Express-A3 Satellites Acquire TM-Data for Type A and Type B Sensors for "Express-A" Number 3 Satellite for the Period of July 1, 2001 to and Including September 30, 2001, Task 27D
CR-2003-212005-PART11.pdf	Hall Effect Thruster Interactions Data From the Russian Express-A2 and Express-A3 Satellites Express/T-160E Project Express A2 and A3 Data Agreement Document
CR-2003-212005-PART12.pdf	Hall Effect Thruster Interactions Data From the Russian Express-A2 and Express-A3 Satellites Express/T-160E Project Express A2 and A3 Sensors Operations Procedures Document

TABLE OF CONTENTS

ABBREVIATIONS AND ACRONYMS	xi
INTRODUCTION.....	1
1. EXPRESS-A #3 SPACECRAFT MEASURING EQUIPMENT	2
1.1. ELECTRICAL FIELD SENSOR (DEP)	2
1.1.1. Description of the DEP sensor	2
1.1.2. DEP sensor calibration testing.....	3
1.2. IONIC CURRENT DENSITY & ION ENERGY SENSOR (DRT3).....	4
1.2.1. Description of the DRT3 sensor design	4
1.2.2. DRT3 sensor ground testing.....	5
1.3. IONIC CURRENT DENSITY SENSOR (DRT)	7
1.3.1. DRT sensor design description.....	7
1.3.2. DRT sensor ground testing.....	8
1.4. PRESSURE SENSOR (IMDD).....	9
1.4.1. IMDD sensor design description	9
1.4.2. IMDD sensor ground testing	10
2. POSITIONS OF THE MEASURING EQUIPMENT ON THE EXPRESS-A № 3 SPACECRAFT.....	11
3. THE RESULTS OF OPERATING THE GAUGE EQUIPMENT ON THE EXPRESS-A № 3 SPACECRAFT	23
3.1. ELECTRIC FIELD STRENGTH MEASUREMENT	23
3.1.1. Amount of data acquired from the DEP sensors	23
3.1.2. The tables of data from the DEP sensors	23
3.2. IONIC CURRENT DENSITY AND ION ENERGY MEASUREMENTS	25
3.3. MEASUREMENTS OF S/C INHERENT OUTER ATMOSPHERE.....	27
ANNEX 1. INFORMATION FROM DEP-SENSORS FOR 29/06/00.....	30
ANNEX 2. INFORMATION FROM DEP-SENSORS FOR 30/06/00.....	33
ANNEX 3. INFORMATION FROM DEP-SENSORS FOR 02/07/00.....	36
ANNEX 4. INFORMATION FROM DEP-SENSORS FOR 08/07/00.....	39
ANNEX 5. INFORMATION FROM DEP-SENSORS FOR 11/07/00.....	42
ANNEX 6. INFORMATION FROM DEP-SENSORS FOR 12/07/00.....	45
ANNEX 7. INFORMATION FROM DEP-SENSORS FOR 16/07/00.....	48
ANNEX 8. INFORMATION FROM DEP-SENSORS FOR 17/07/00.....	51
ANNEX 9. INFORMATION FROM DEP-SENSORS FOR 18/07/00.....	54
ANNEX 10. INFORMATION FROM DEP-SENSORS FOR 20/07/00.....	57
ANNEX 11. INFORMATION FROM DEP-SENSORS FOR 21/07/00.....	60

ANNEX 12. INFORMATION FROM DEP-SENSORS FOR 22/07/00.....	63
ANNEX 13. INFORMATION FROM DEP-SENSORS FOR 24/07/00.....	66
ANNEX 14. INFORMATION FROM DEP-SENSORS FOR 07/08/00.....	69
ANNEX 15. INFORMATION FROM DEP-SENSORS FOR 08/08/00.....	72
ANNEX 16. INFORMATION FROM DEP-SENSORS FOR 20/08/00.....	75
ANNEX 17. INFORMATION FROM DEP-SENSORS FOR 21/08/00.....	78
ANNEX 18. INFORMATION FROM DEP-SENSORS FOR 23/08/00.....	80
ANNEX 19. INFORMATION FROM DEP-SENSORS FOR 24/08/00.....	82
ANNEX 20. INFORMATION FROM DEP-SENSORS FOR 25/08/00.....	85
ANNEX 21. INFORMATION FROM DEP-SENSORS FOR 26/08/00.....	88
ANNEX 22. INFORMATION FROM DEP-SENSORS FOR 27/08/00.....	91
ANNEX 23. INFORMATION FROM DEP-SENSORS FOR 28/08/00.....	94
ANNEX 24. INFORMATION FROM DEP-SENSORS FOR 29/08/00.....	97
ANNEX 25. INFORMATION FROM DEP-SENSORS FOR 30/08/00.....	100
ANNEX 26. INFORMATION FROM DEP-SENSORS FOR 31/08/00.....	103
ANNEX 27. INFORMATION FROM DEP-SENSORS FOR 01/09/00.....	106
ANNEX 28. INFORMATION FROM DEP-SENSORS FOR 04/09/00.....	109
ANNEX 29. INFORMATION FROM DEP-SENSORS FOR 07/09/00.....	112
ANNEX 30. INFORMATION FROM DEP-SENSORS FOR 12/09/00.....	115
ANNEX 31. INFORMATION FROM DEP-SENSORS FOR 14/09/00.....	118
ANNEX 32. INFORMATION FROM DEP-SENSORS FOR 15/09/00.....	121
ANNEX 33. INFORMATION FROM DEP-SENSORS FOR 19/09/00.....	124
ANNEX 34. INFORMATION FROM DEP-SENSORS FOR 24/09/00.....	127
ANNEX 35. INFORMATION FROM DEP-SENSORS FOR 25/09/00.....	130
ANNEX 36. INFORMATION FROM DEP-SENSORS FOR 28/09/00.....	133
ANNEX 37. INFORMATION FROM A-TYPE SENSORS AT WORK RT3C1 FOR 02/07/00	136
ANNEX 38. INFORMATION FROM A-TYPE SENSORS AT WORK T3C1 FOR 02/07/00	144

ANNEX 39. INFORMATION FROM A-TYPE SENSORS AT WORK RT4C1 FOR 02/07/00	152
ANNEX 40. INFORMATION FROM A-TYPE SENSORS AT WORK T4C1 FOR 02/07/00 – 03/07/00.....	153
ANNEX 41. INFORMATION FROM A-TYPE SENSORS AT WORK T4C1 FOR 06/07/00	154
ANNEX 42. INFORMATION FROM A-TYPE SENSORS AT WORK T4C1 FOR 06/07/00	157
ANNEX 43. INFORMATION FROM A-TYPE SENSORS AT WORK RT4C1 FOR 07/07/00	160
ANNEX 44. INFORMATION FROM A-TYPE SENSORS AT WORK RT4C1 FOR 07/07/00	163
ANNEX 45. INFORMATION FROM A-TYPE SENSORS AT WORK RT4C1 FOR 07/07/00	166
ANNEX 46. INFORMATION FROM A-TYPE SENSORS AT WORK RT4C1 FOR 08/07/00	169
ANNEX 47. INFORMATION FROM A-TYPE SENSORS AT WORK RT3C1 FOR 07/08/00	171
ANNEX 48. INFORMATION FROM A-TYPE SENSORS AT WORK RT3C1 FOR 08/08/00	177
ANNEX 49. INFORMATION FROM A-TYPE SENSORS AT WORK RT3C1 FOR 20/08/00	183
ANNEX 50. INFORMATION FROM A-TYPE SENSORS AT WORK RT3C1 FOR 21/08/00	190
ANNEX 51. INFORMATION FROM A-TYPE SENSORS AT WORK T3C1 FOR 22/08/00	195
ANNEX 52. INFORMATION FROM A-TYPE SENSORS AT WORK RT3C1 FOR 23/08/00	201
ANNEX 53. INFORMATION FROM A-TYPE SENSORS AT WORK T3C1 FOR 24/08/00	207
ANNEX 54. INFORMATION FROM A-TYPE SENSORS AT WORK T3C1 FOR 26/08/00	213
ANNEX 55. INFORMATION FROM A-TYPE SENSORS AT WORK T3C1 FOR 28/08/00	219
ANNEX 56. INFORMATION FROM A-TYPE SENSORS AT WORK RT3C1 FOR 31/08/00	225

ANNEX 57. INFORMATION FROM A-TYPE SENSORS AT WORK T3C1 FOR 01/09/00	231
ANNEX 58. INFORMATION FROM A-TYPE SENSORS AT WORK RT4C1 FOR 04/09/00	237
ANNEX 59. INFORMATION FROM A-TYPE SENSORS AT WORK RT3C1 FOR 07/09/00	238
ANNEX 60. INFORMATION FROM A-TYPE SENSORS AT WORK T3C1 FOR 11/09/00	245
ANNEX 61. INFORMATION FROM A-TYPE SENSORS AT WORK T3C1 FOR 14/09/00	252
ANNEX 62. INFORMATION FROM A-TYPE SENSORS AT WORK RT4C1 FOR 19/09/00	259
ANNEX 63. INFORMATION FROM A-TYPE SENSORS AT WORK RT4C1 FOR 20/09/00	260
ANNEX 64. INFORMATION FROM A-TYPE SENSORS AT WORK RT4C1 FOR 24/09/00	261
ANNEX 65. INFORMATION FROM A-TYPE SENSORS AT WORK RT4C1 FOR 25/09/00	262
ANNEX 66. INFORMATION FROM A-TYPE SENSORS AT WORK T4C1 FOR 28/09/00	263
ANNEX 67. INFORMATION FROM B-TYPE SENSORS AT WORK RT3C1 FOR 02/07/00	264
ANNEX 68. INFORMATION FROM B-TYPE SENSORS AT WORK T3C1 FOR 02/07/00	265
ANNEX 69. INFORMATION FROM B-TYPE SENSORS AT WORK RT4C1 FOR 02/07/00	266
ANNEX 70. INFORMATION FROM B-TYPE SENSORS AT WORK T4C1 FOR 02/07/00	274
ANNEX 71. INFORMATION FROM B-TYPE SENSORS AT WORK T4C1 FOR 06/07/00	282
ANNEX 72. INFORMATION FROM B-TYPE SENSORS AT WORK T4C1 FOR 06/07/00	285
ANNEX 73. INFORMATION FROM B-TYPE SENSORS AT WORK RT4C1 FOR 07/07/00	288
ANNEX 74. INFORMATION FROM B-TYPE SENSORS AT WORK RT4C1 FOR 07/07/00	291

ANNEX 75. INFORMATION FROM B-TYPE SENSORS AT WORK RT4C1 FOR 07/07/00	294
ANNEX 76. INFORMATION FROM B-TYPE SENSORS AT WORK RT4C1 FOR 08/07/00	297
ANNEX 77. INFORMATION FROM B-TYPE SENSORS AT WORK RT3C1 FOR 07/08/00	299
ANNEX 78. INFORMATION FROM B-TYPE SENSORS AT WORK RT3C1 FOR 08/08/00	300
ANNEX 79. INFORMATION FROM B-TYPE SENSORS AT WORK RT3C1 FOR 20/08/00	301
ANNEX 80. INFORMATION FROM B-TYPE SENSORS AT WORK RT3C1 FOR 21/08/00	302
ANNEX 81. INFORMATION FROM B-TYPE SENSORS AT WORK T3C1 FOR 22/08/00	303
ANNEX 82. INFORMATION FROM B-TYPE SENSORS AT WORK T3C1 FOR 23/08/00	304
ANNEX 83. INFORMATION FROM B-TYPE SENSORS AT WORK T3C1 FOR 24/08/00	305
ANNEX 84. INFORMATION FROM B-TYPE SENSORS AT WORK T3C1 FOR 26/08/00	306
ANNEX 85. INFORMATION FROM B-TYPE SENSORS AT WORK T3C1 FOR 28/08/00	307
ANNEX 86. INFORMATION FROM B-TYPE SENSORS AT WORK T3C1 FOR 31/08/00	308
ANNEX 87. INFORMATION FROM B-TYPE SENSORS AT WORK T3C1 FOR 01/09/00	309
ANNEX 88. INFORMATION FROM B-TYPE SENSORS AT WORK RT4C1 FOR 04/09/00	310
ANNEX 89. INFORMATION FROM B-TYPE SENSORS AT WORK RT3C1 FOR 07/09/00	317
ANNEX 90. INFORMATION FROM B-TYPE SENSORS AT WORK T3C1 FOR 11/09/00	318
ANNEX 91. INFORMATION FROM B-TYPE SENSORS AT WORK T3C1 FOR 14/09/00	319
ANNEX 92. INFORMATION FROM B-TYPE SENSORS AT WORK RT4C1 FOR 19/09/00	320

ANNEX 93. INFORMATION FROM B-TYPE SENSORS AT WORK RT4C1 FOR 20/09/00	327
ANNEX 94. INFORMATION FROM B-TYPE SENSORS AT WORK RT4C1 FOR 24/09/00	334
ANNEX 95. INFORMATION FROM B-TYPE SENSORS AT WORK RT4C1 FOR 25/09/00	341
ANNEX 96. INFORMATION FROM B-TYPE SENSORS AT WORK T4C1 FOR 28/09/00	348

Abbreviations and Acronyms

DEP	Electrical Field Sensor
DIERA	Diagnostics and electrization parameter measurement equipment
DRT3	Propellant sensor
DT	Group A Sensor
IMDD	Inverted Magnetron Pressure Sensor
MLI	Multi-Layer Insulation
(R)T1/.../4	(Redundant) Thruster # 1/.../4
(R)T1/.../4C1	(Redundant) Thruster # 1/.../4, Cathode #1
SA	Solar Array
S/C	Spacecraft
SBRAS	Siberian Branch of Russian Academy of Science
TM	Telemetry
TU1/.../4	Thruster Unit # 1/.../4

Introduction

On June 24, 2000, the Express-A #3 spacecraft was injected into geostationary orbit.

To measure artificial plasma characteristics around the spacecraft, the following measuring equipment were installed on board the Express-A #3 S/C:

- three DEP sensors – to measure electric field strength;
- two DRT3 sensors – to measure of the ionic current density and the ion energy in the payload area;
- two DT sensors – to measure density of the ionic current and the ion energy on the solar array panels;
- two IMDD sensors – to measure pressure of the S/C inherent outer atmosphere.

This report is issued pursuant to requirements of Contractual Agreement #97-1088-02, task 27a, and composed according to coordinated contents of sections of document “Express/T-160E Project, Express-A2 & A3’s sensors, The Document-agreement on Operation Methods” dated 06/11/00.

In the document, all the parameters measured and their changes are referenced to the Moscow Standard Time.

1. Express-A #3 Spacecraft Measuring Equipment

1.1. Electrical Field Sensor (DEP)

1.1.1. Description of the DEP sensor

Measuring the electric field strength is performed with vibration-type small-sized sensors. The sensor is implemented as a 26-mm diameter cylinder, the length of 70 mm, having a hole for the electrode (see Fig. 1.1). Using the electromagnetic vibrator, a gilt male electrode is moved in the hole, and the charge induced on the electrode is registered by using the preliminary amplifier placed inside the sensor body.

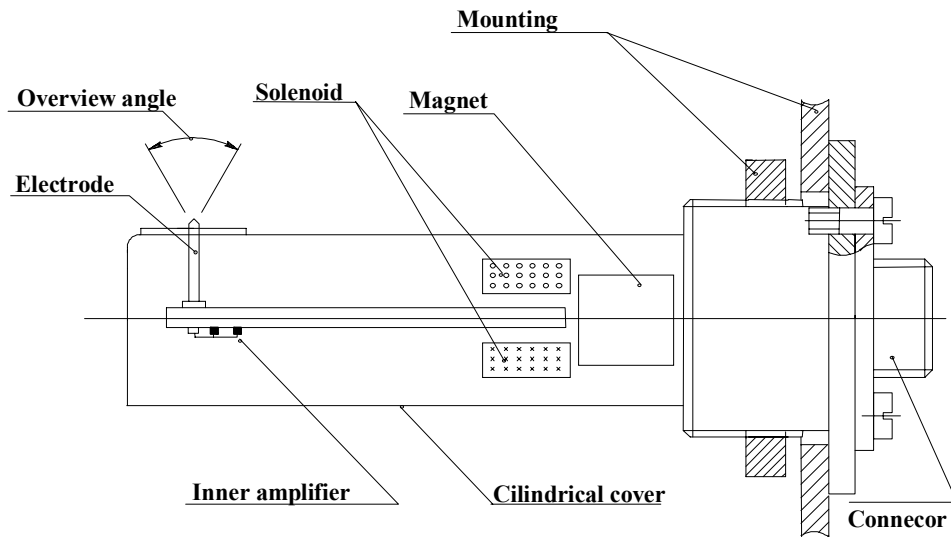


Fig. 1.1: Design of the electric field sensor

1.1.2. DEP sensor calibration testing

Calibration of the sensors is performed by putting them into the field simulator (see Fig. 1.2) which is two bars subjected to potential difference of -300 V to $+300\text{ V}$. The sensor body is connected to one of the bars. Potential of the second bar divided by the distance to the sensitive electrode determines the value of electric field measured by the sensor.

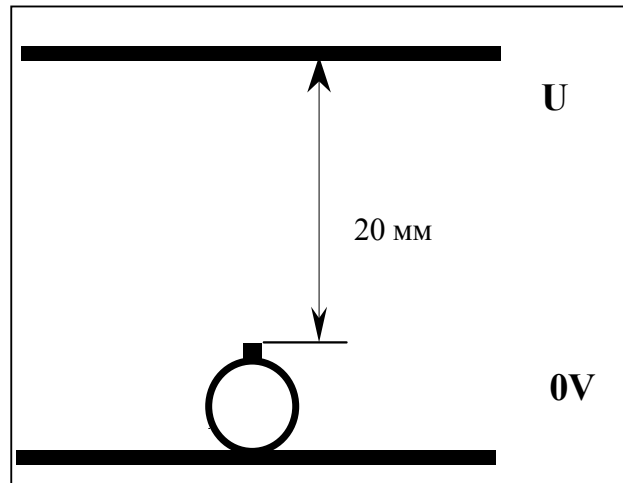


Fig. 1.2

The relations obtained on results of testing are summarized in Table 1.1 and entered to the processing of TM-data down-linked from the board of the Express #3 S/C.

Table 1.1

Voltage (V)	DEP1 (kV/m)	DEP2 (kV/m)	DEP3 (kV/m)
300	1.46299	1.38229	1.43928
100	0.45303	0.48636	0.47976
0	0	0	0
-100	-0.48281	-0.53756	-0.47976
-300	-1.56389	-1.56148	-1.55922

The error of measurement is not more than 20%.

1.2. Ionic Current Density & Ion Energy Sensor (DRT3)

1.2.1. Description of the DRT3 sensor design

The DRT3 operation principle is based on electrostatic sharing of plasma ions and electrons in the area between the first grid and the second one, on reflection of ions at the variable energy barrier between the second grid and the third one, and on registration of the ionic current with the energy of particles breaking, with help of the collector, through the third electrode's potential barrier.

The DRT3 sensor body is made of stainless steel. The front side has a ceramic diaphragm with the hole (hole diameter is 30 mm, square of the diaphragm $S_d=11.3 \text{ cm}^2$). The protective grid S1 covers the diaphragm; it is made of molybdenum wire. Transparency of this grid is 0.6. To provide reliability, the grid is fixed between rings. The S2, S3, and S4 grids feature the same structure and isolated from each other with ceramic rings. The S3 grid and the K collector are separated with a teflon ring. The cutting-off S2 grid is placed immediately beyond the protective S1 grid and has the -40-V voltage (regarding the sensor body and the S1 grid) what allows to cut off the electron component of surrounding plasma.

To measure the energy spectrum of ions, the saw-tooth growing voltage of the 0 to 350 V span is generated at the S3 grid.

All the ions having energy higher than the S3 grid potential get to the K collector and are registered there. The S4 grid is installed to suppress secondary electronic emission from the collector and has the voltage of -20 V .

Fig.1.3. gives the sensor design.

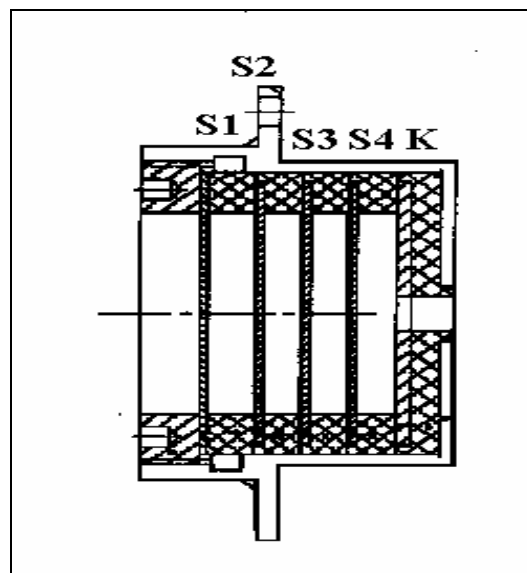


Fig.1.3. Ionic current density sensor design

1.2.2. DRT3 sensor ground testing

Calibration of the DRT3 sensors consists from two individual procedures. The first one consists in determination of the effective sensor-square. The sensors have the effective square as follows: DRT3-1 – 0.4 cm^2 , DRT3-2 – 0.42 cm^2 . Separately, current-calibration of the DRT3 sensors is performed.

Was performed on a test-bench at SBRAS's Laser Physics Institute (Novosibirsk-city).

The circuit used to calibrate the sensors is given in Fig. 1.4. The sensor under test was mounted opposite the plasma injector. Surveillance over the electron beam and plasma parameters was performed by the test-bench's diagnostic equipment. Operating pressure in the vacuum chamber did not exceed $3 \cdot 10^{-6}$ torr at all the cycles of measurement.

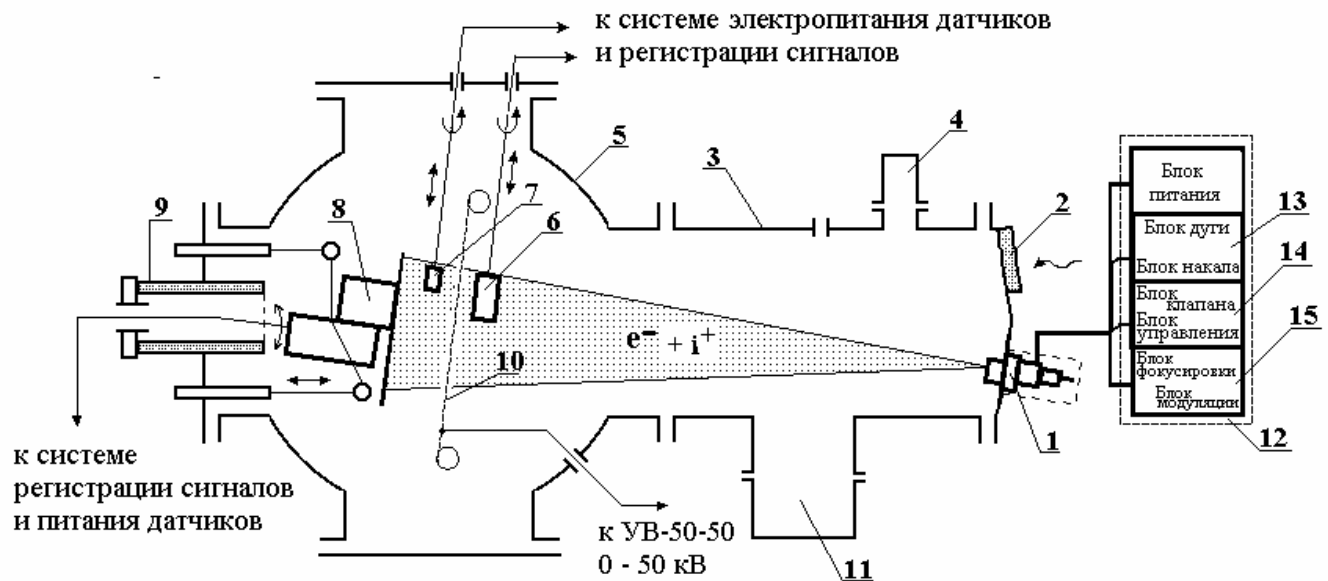


Fig. 1.4 The scheme of the test-bench at SBRAS's Laser Physics Institute (Novosibirsk-city).

Where:

1. Plasma injector.
2. Observation window.
3. Drift chamber.
4. Gas flowing-in.
5. Cylindrical vacuum chamber.
6. Rotary cylindrical energy-analyzer.
7. Plane grid-probe and counter of number of particles.
8. DRT3
9. Isolated 50-kV-decoupled signal output with the rotary desk.
10. Plane grid-probe.
11. Pump.
12. Electron gun and plasma injector control rack.

As a result of this testing, the calibration factor value was measured, which came to $KK = 352607 \mu A \cdot \text{line-unit}$.

The error of measurement is not more than 15%.

To determine the current density, the current value should be divided by the effective sensor square.

1.3. Ionic Current Density Sensor (DRT)

1.3.1. DRT sensor design description

The principle of functioning of the sensor is based on electrostatic sharing of plasma particles (ions and electrons) by the cutting-off grid, followed by electrostatic detention of ions by the analyzing grid. The cutting-off grid is subjected to the negative potential of 30 to 40 V (regarding the floating potential of the screen grid) corresponding to the latching potential of the electron component. The analyzing grid is supplied with the scanning (saw-tooth) positive potential which holds the ions whose directed motion energy does not exceed the actual value eV. The ions whose energy exceeds eV are gathered by the collector and registered by the collector current registration circuit.

The front part of the sensor has a diaphragm with the 20-mm diameter hole. The grids have transparency as follows: screen – 0.541; cutting-off – 0.494; analyzing – 0.523.

Fig.1.5. gives the sensor design.

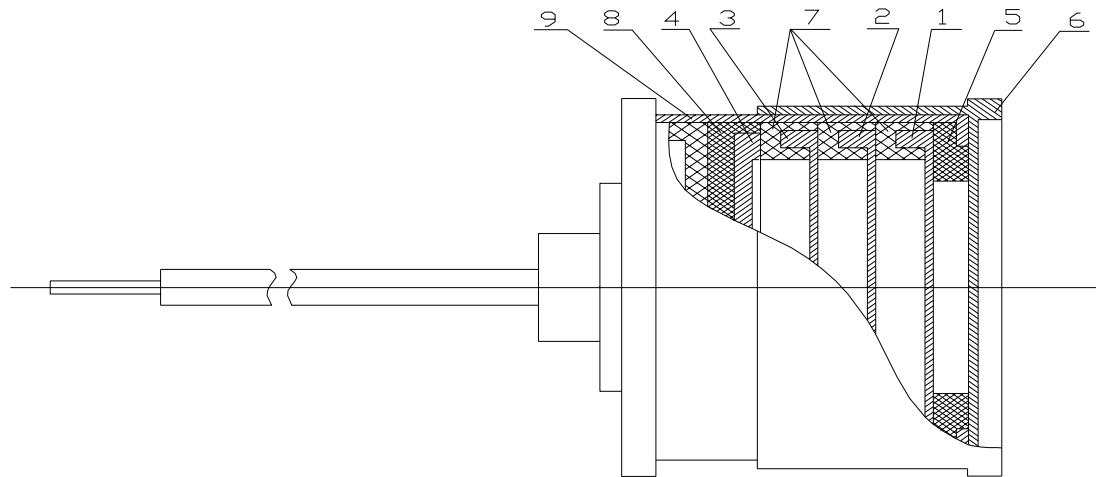


Fig. 1.5. DRT sensor design

Where:

- | | |
|-------------------|---------------------|
| 1. Screen grid | 2. Cutting-off grid |
| 3. Analyzing grid | 4. Collector |
| 5. Diaphragm | 6. Removable cover |
| 7. Isolating ring | 8. Isolator |
| 9. Body | |

1.3.2. DRT sensor ground testing

Calibration of the DRT sensors consists of two individual procedures. The first one consists in determination of the effective sensor-square. The sensors have the effective square $S_{\text{eff}}=0.43\text{cm}^2$. Separately, current-calibration of the DRT sensors is performed.

Calibration of the DRT sensors was performed on the test-bench at SBRAS's Laser Physics Institute (Novosibirsk-city).

The circuit used to calibrate the sensors is given in Fig.1.4. The DRT sensors were installed on place of the DRT3 sensors.

As a result of the calibration, the calibration factor value was measured, which came to $KK = 0.0078 \mu\text{A} \cdot \text{line-unit}$.

The error of measurement is not more than 15%.

To determine the current density, the current value should be divided by the effective sensor square.

1.4. Pressure Sensor (IMDD)

1.4.1. IMDD sensor design description

Measuring the pressure is performed by modified inverse-magnetron sensors.

The electrode circuit of the manometric converter consists of the cathode (ion collector) and the anode. The anode is made of two rods between which a helix is fixed manufactured of tungsten wire, 0.3 mm diameter.

Fig. 1.5 gives the design of the IMDD sensor.

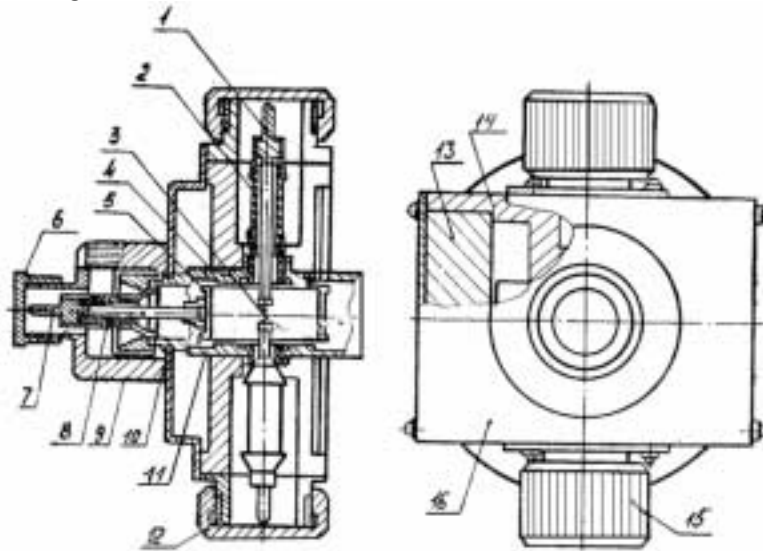


Fig. 1.5. Design of the IMDD sensor

where:

- 1 - anode inputs;
- 2 - ceramic isolators;
- 3 - anode;
- 4,11 - face covers of the anode,
- 5 - cathode;
- 6 - stub;
- 7 - cathode input;
- 8 - ceramic isolators;
- 9 - nut to fix the magnet;
- 10 - sensor body;
- 12 - thread-sleeves to attach high-voltage plugs;
- 13 - one of two magnet-bars;
- 14 - polar tip of the magnet;
- 15 - cap on the anode outputs;
- 16 - magnet

1.4.2. IMDD sensor ground testing

Calibration of the DRT sensors was performed on the test-bench at SBRAS's Laser Physics Institute. The pressure sensors were tested in the 50-cm diameter vacuum chamber vented without oil by injecting drained nitrogen in the pressure range of 10^{-5} to 10^{-3} Pa. The IMDD were positioned in the same cross-section of the cylindrical chamber when the chamber was vented through the faces, from two sides (1700 l/s to one direction, and 400 l/s – conversely). The rarefaction was created by the turbo-molecular pump having a warm-up system and electric discharge pumps. Off-set of the check-sensors along the chamber axis regarding the tested ones did not exceed ± 20 cm. Injecting the drained nitrogen was performed through the needle valve to the pre-chamber, diameter of 80 cm, located at a distance of 150 cm (3 times diameter) from the plane of IMDD positioning.

As for the methods, the calibration curves were obtained in the following sequence. Initially, the vacuum chamber was vented down to extreme residual vacuum, not worse than $\frac{3}{4}$ of the first operating point, then the sensors were warmed up. Further, drained nitrogen was injected through the needle valve and the required operating pressure was established. Readings of two vacuum-meters were averaged and this average pressure value $\langle P \rangle$ used as a reference providing accuracy not worse than $\pm 20\%$ of the absolute value.

Table 1.2 summarizes the data of relations between currents of two IMDD sensors and pressure $\langle P \rangle$ in the vacuum chamber.

Table 1.2.

Chamber pressure, $\langle P \rangle, \times 10^{-5}$ Pa	Collector current, μA	
	IMDD1	IMDD2
1.25	0.315	0.305
2.65	0.68	0.67
2.89	0.78	0.74
4.1	1.15	1.12
5.9	1.8	1.8
8.47	2.9	2.9
11.1	4.2	4.0
11.9	4.0	4.0
22.6	8.4	8.2
31.9	12.4	11.8
43.6	19.8	16.6
65.8	29.6	26
93.7	45.6	38.4
110	58.8	48.8
133	74.4	61.6
160	88.8	72

The result of the calibration is dependence of the sensor current on pressure. As the dependence of the current on pressure is linear within a large interval of values, these calibration results were approximated over all the measurement range.

2. Positions of the Measuring Equipment on the EXPRESS-A № 3 Spacecraft

A general view of the EXPRESS-A № 3 spacecraft, indicating the sensor positions (DEP's, IMDD's, DRT3's and DRT's) is shown on Figs. 2.1 to 2.3. The IMDD2 and DRT3-2 sensors are mounted under the MLI.

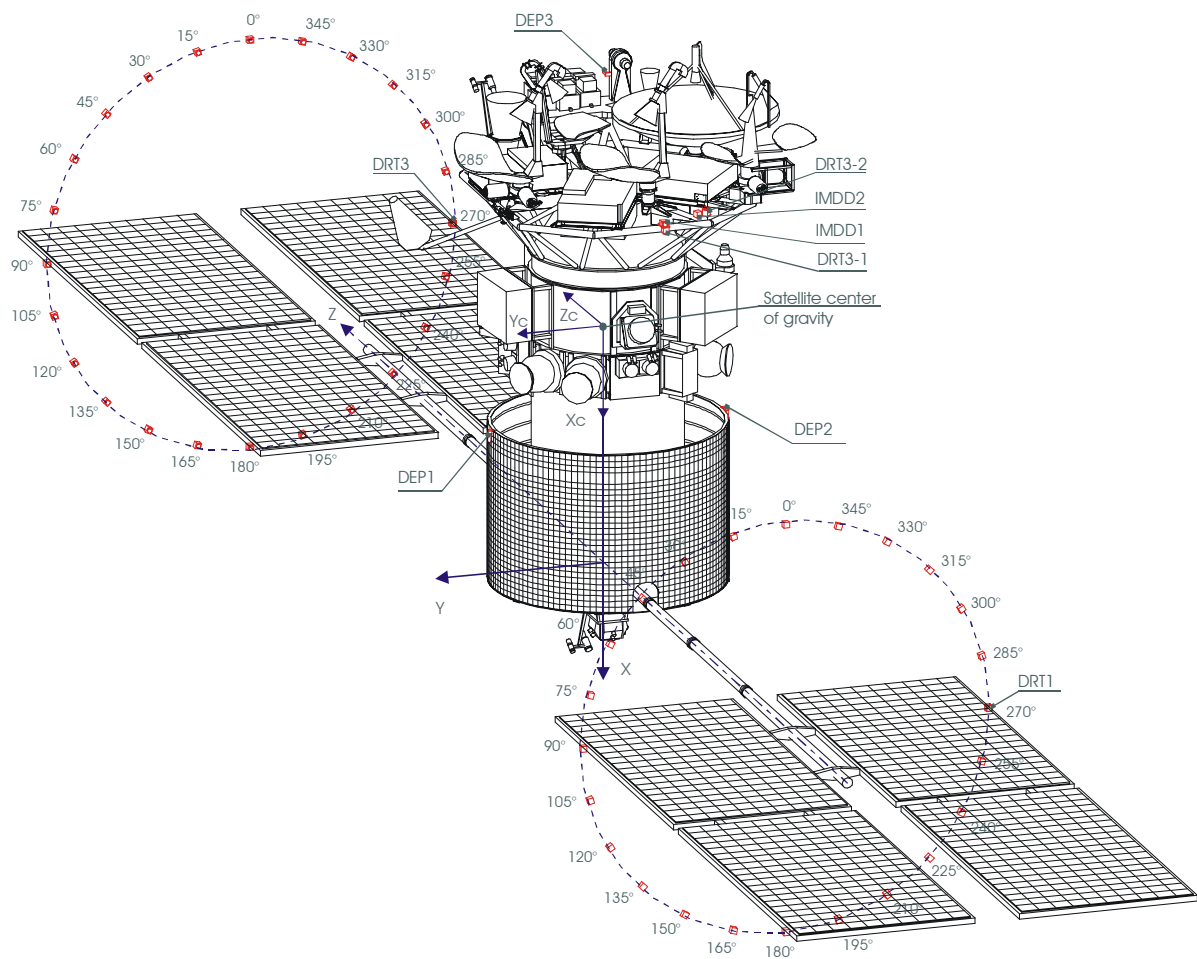


Fig. 2.1.

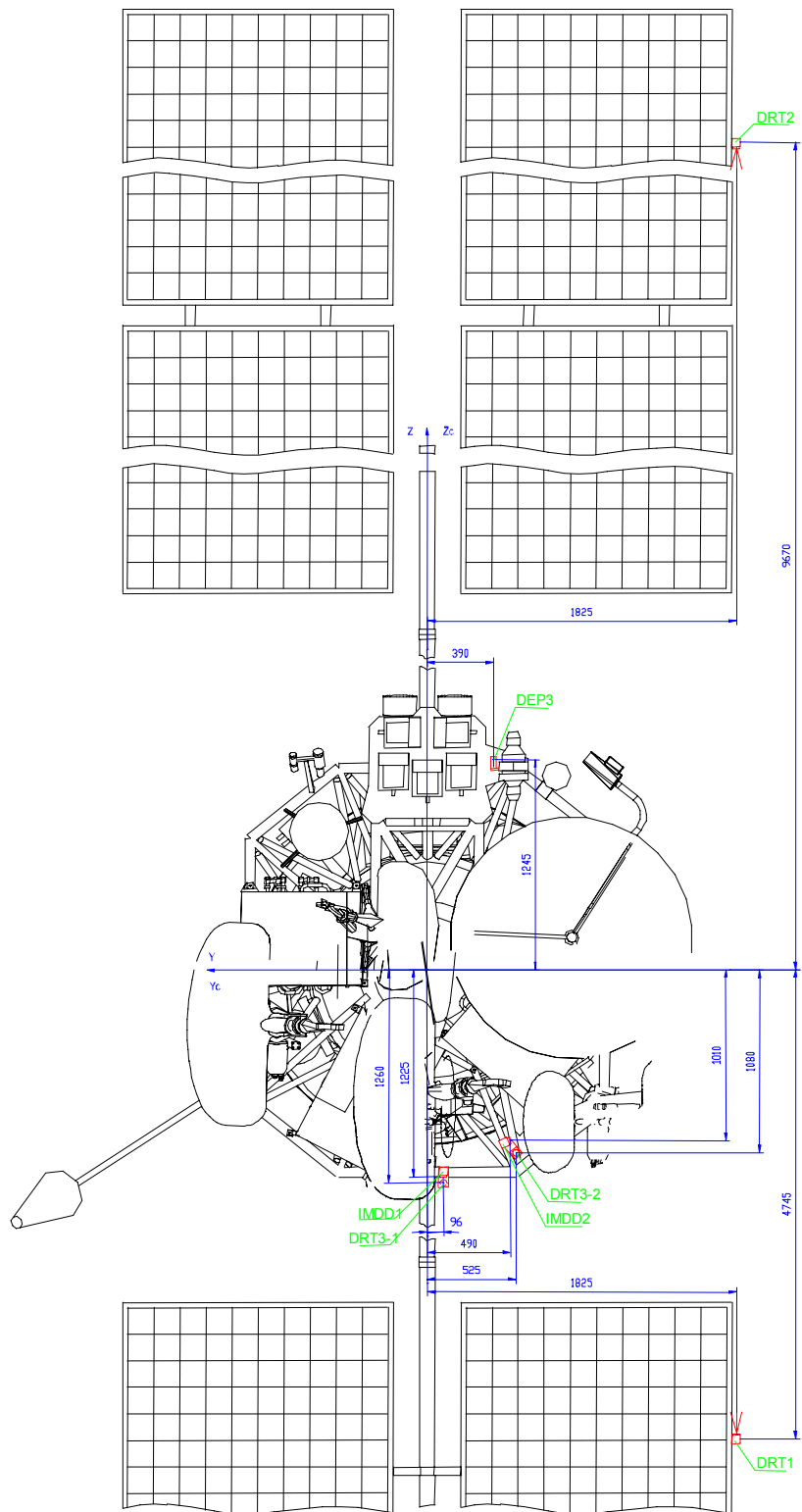


Fig. 2.3.

A layout of the SPT thrusters w.r.t. the EXPRESS-A № 3 S/C gravity center is given in Fig. 2.4. The distance is specified from the gravity center to the shear of the SPT thrusters.

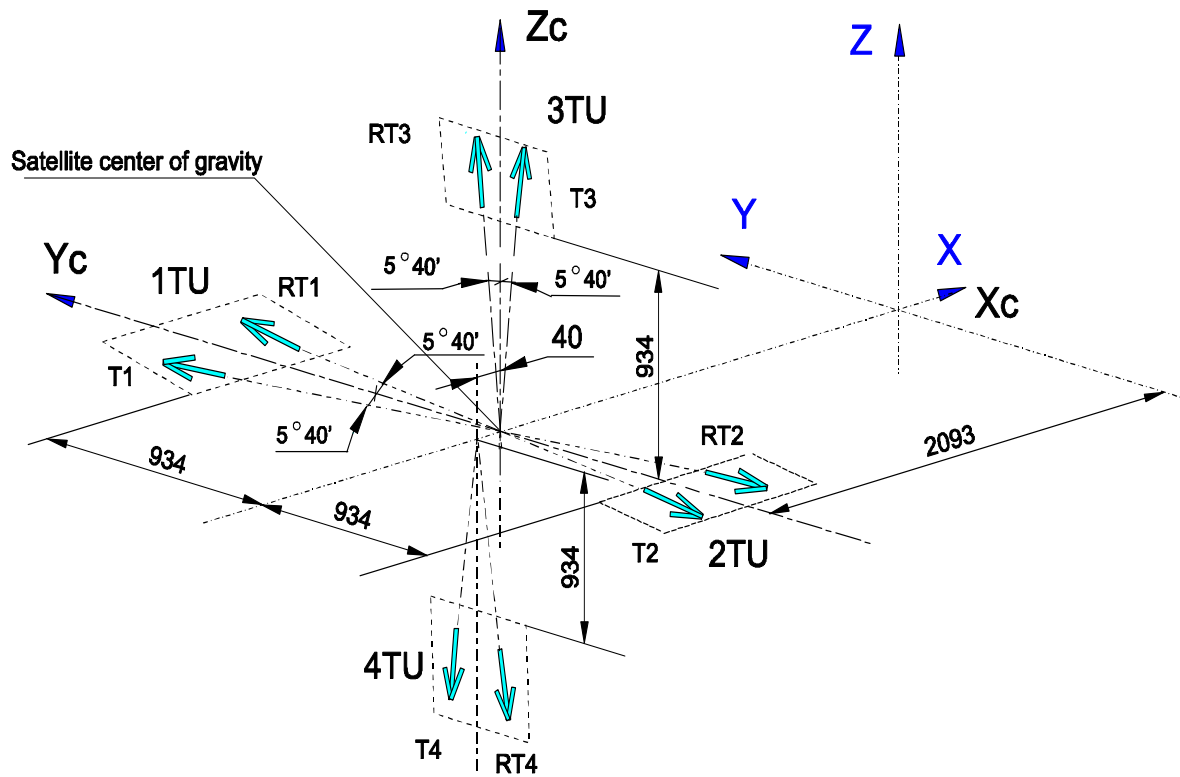


Fig. 2.4.

Table 2.1 contains coordinates of the sensors regarding each thruster.

The sensor coordinates are defined, proceeding from the following conditions:

- The origin of the coordinate system lies in the thruster shear center regarding which the sensor coordinates are defined;
- Axis X_T coincides with the thruster geometric axis;
- Axis Z_T is perpendicular to axis X_T and points the Earth (towards the payload);
- Axis Y_T supplements the coordinate system to be a right one.

Table 2.1

	T1			RT1		
	X _{T1}	Y _{T1}	Z _{T1}	X _{RT1}	Y _{RT1}	Z _{RT1}
DEP1	33.9	0	-871.3	185.8	0	-661.2
DEP2	-2085.8	0	-661.2	-1933.9	0	-871.3
DEP3	-1139.9	-1245	2038.7	-1536.3	-1245	1961.7
IMDD1	-903.0	1225	1447.4	-1188.1	1225	1428.5
IMDD2	-1295.1	1010	1486.3	-1580.1	1010	1389.6
DRT3-1	-912.4	1260	1352.9	-1178.7	1260	1334
DRT3-2	-1326.5	1080	1524.6	-1618.4	1080	1421
DRT2						
0°	-966.3	-9670	-164.2	-933.7	-9670	-164.2
15°	-502.4	-9670	-272.7	-457.6	-9670	-179.5
30°	-82.3	-9670	-497.5	-1.6	-9670	-317.5
45°	265.2	-9670	-823.4	403.2	-9670	-568.9
60°	516.5	-9670	-1228.1	729.1	-9670	-916.4
75°	654.5	-9670	-1684.1	953.9	-9670	-1336.4
90°	669.8	-9670	-2160.3	1062.4	-9670	-1800.3
105°	561.4	-9670	-2624.2	1047.1	-9670	-2276.5
120°	336.5	-9670	-3044.2	909.1	-9670	-2732.5
135°	10.6	-9670	-3391.7	657.7	-9670	-3137.2
150°	-394.1	-9670	-3643.1	310.2	-9670	-3463.1
165°	-850.1	-9670	-3781.1	-109.8	-9670	-3687.9
180°	-1326.3	-9670	-3796.4	-573.7	-9670	-3796.4
195°	-1790.2	-9670	-3687.9	-1049.9	-9670	-3781.1
210°	-2210.2	-9670	-3463.1	-1505.9	-9670	-3643.1
225°	-2557.7	-9670	-3137.2	-1910.6	-9670	-3391.8
240°	-2809.1	-9670	-2732.5	-2236.5	-9670	-3044.2
265°	-2947.1	-9670	-2276.5	-2461.4	-9670	-2624.2
270°	-2962.4	-9670	-1800.3	-2569.8	-9670	-2160.3
285°	-2853.9	-9670	-1336.4	-2554.5	-9670	-1684.1
300°	-2629.1	-9670	-916.4	-2416.5	-9670	-1228.1
315°	-2303.2	-9670	-568.9	-2165.2	-9670	-823.4
330°	-1898.5	-9670	-317.5	-1817.7	-9670	-497.5
345°	-1442.5	-9670	-179.5	-1397.6	-9670	-272.7
DRT1						
0°	-966.3	4745	-164.2	-933.7	4745	-164.2
15°	-502.4	4745	-272.7	-457.6	4745	-179.5

Table 2.1 continued

	T1			RT1		
	X_{T1}	Y_{T1}	Z_{T1}	X_{RT1}	Y_{RT1}	Z_{RT1}
30°	-82.3	4745	-497.5	-1.6	4745	-317.5
45°	265.2	4745	-823.4	403.2	4745	-568.9
60°	516.5	4745	-1228.1	729.1	4745	-916.4
75°	654.5	4745	-1684.1	953.9	4745	-1336.4
90°	669.8	4745	-2160.3	1062.4	4745	-1800.3
105°	561.4	4745	-2624.2	1047.1	4745	-2276.5
120°	336.5	4745	-3044.2	909.1	4745	-2732.5
135°	10.6	4745	-3391.7	657.7	4745	-3137.2
150°	-394.1	4745	-3643.1	310.2	4745	-3463.1
165°	-850.1	4745	-3781.1	-109.8	4745	-3687.9
180°	-1326.3	4745	-3796.4	-573.7	4745	-3796.4
195°	-1790.2	4745	-3687.9	-1049.9	4745	-3781.1
210°	-2210.2	4745	-3463.1	-1505.9	4745	-3643.1
225°	-2557.7	4745	-3137.2	-1910.6	4745	-3391.8
240°	-2809.1	4745	-2732.5	-2236.5	4745	-3044.2
265°	-2947.1	4745	-2276.5	-2461.4	4745	-2624.2
270°	-2962.4	4745	-1800.3	-2569.8	4745	-2160.3
285°	-2853.9	4745	-1336.4	-2554.5	4745	-1684.1
300°	-2629.1	4745	-916.4	-2416.5	4745	-1228.1
315°	-2303.2	4745	-568.9	-2165.2	4745	-823.4
330°	-1898.5	4745	-317.5	-1817.7	4745	-497.5
345°	-1442.5	4745	-179.5	-1397.6	4745	-272.7

Table 2.1 continued

	T2			RT2		
	X_{T2}	Y_{T2}	Z_{T2}	X_{RT2}	Y_{RT2}	Z_{RT2}
DEP1	-2085.8	0	-661.2	-1933.9	0	-871.3
DEP2	33.9	0	-871.3	185.8	0	-661.2
DEP3	-363.7	1245	1961.7	-760.1	1245	2038.7
IMDD1	-712.0	-1225	1428.5	-997.0	-1225	1447.4
IMDD2	-319.9	-1010	1389.6	-604.9	-1010	1486.3
DRT3-1	-721.3	-1260	1334	-987.6	-1260	1352.9
DRT3-2	-281.6	-1080	1421	-573.5	-1080	1524.6
DRT2						
0°	-966.3	9670	-164.2	-933.7	9670	-164.2
15°	-1442.5	9670	-179.5	-1397.6	9670	-272.7
30°	-1898.5	9670	-317.5	-1817.7	9670	-497.5
45°	-2303.2	9670	-568.9	-2165.2	9670	-823.4
60°	-2629.1	9670	-916.4	-2416.5	9670	-1228.1
75°	-2853.9	9670	-1336.4	-2554.5	9670	-1684.1
90°	-2962.4	9670	-1800.3	-2569.8	9670	-2160.3
105°	-2947.1	9670	-2276.5	-2461.4	9670	-2624.2
120°	-2809.1	9670	-2732.5	-2236.5	9670	-3044.2
135°	-2557.7	9670	-3137.2	-1910.6	9670	-3391.8
150°	-2210.2	9670	-3463.1	-1505.9	9670	-3643.1
165°	-1790.2	9670	-3687.9	-1049.9	9670	-3781.1
180°	-1326.3	9670	-3796.4	-573.7	9670	-3796.4
195°	-850.1	9670	-3781.1	-109.8	9670	-3687.9
210°	-394.1	9670	-3643.1	310.2	9670	-3463.1
225°	10.6	9670	-3391.7	657.7	9670	-3137.2
240°	336.5	9670	-3044.2	909.1	9670	-2732.5
265°	561.4	9670	-2624.2	1047.1	9670	-2276.5
270°	669.8	9670	-2160.3	1062.4	9670	-1800.3
285°	654.5	9670	-1684.1	953.9	9670	-1336.4
300°	516.5	9670	-1228.1	729.1	9670	-916.4
315°	265.2	9670	-823.4	403.2	9670	-568.9
330°	-82.3	9670	-497.5	-1.6	9670	-317.5
345°	-502.4	9670	-272.7	-457.6	9670	-179.5
DRT1						
0°	-966.3	-4745	-164.2	-933.7	-4745	-164.2

Table 2.1 continued

	T2			RT2		
	X_{T2}	Y_{T2}	Z_{T2}	X_{RT2}	Y_{RT2}	Z_{RT2}
15°	-1442.5	-4745	-179.5	-1397.6	-4745	-272.7
30°	-1898.5	-4745	-317.5	-1817.7	-4745	-497.5
45°	-2303.2	-4745	-568.9	-2165.2	-4745	-823.4
60°	-2629.1	-4745	-916.4	-2416.5	-4745	-1228.1
75°	-2853.9	-4745	-1336.4	-2554.5	-4745	-1684.1
90°	-2962.4	-4745	-1800.3	-2569.8	-4745	-2160.3
105°	-2947.1	-4745	-2276.5	-2461.4	-4745	-2624.2
120°	-2809.1	-4745	-2732.5	-2236.5	-4745	-3044.2
135°	-2557.7	-4745	-3137.2	-1910.6	-4745	-3391.8
150°	-2210.2	-4745	-3463.1	-1505.9	-4745	-3643.1
165°	-1790.2	-4745	-3687.9	-1049.9	-4745	-3781.1
180°	-1326.3	-4745	-3796.4	-573.7	-4745	-3796.4
195°	-850.1	-4745	-3781.1	-109.8	-4745	-3687.9
210°	-394.1	-4745	-3643.1	310.2	-4745	-3463.1
225°	10.6	-4745	-3391.7	657.7	-4745	-3137.2
240°	336.5	-4745	-3044.2	909.1	-4745	-2732.5
265°	561.4	-4745	-2624.2	1047.1	-4745	-2276.5
270°	669.8	-4745	-2160.3	1062.4	-4745	-1800.3
285°	654.5	-4745	-1684.1	953.9	-4745	-1336.4
300°	516.5	-4745	-1228.1	729.1	-4745	-916.4
315°	265.2	-4745	-823.4	403.2	-4745	-568.9
330°	-82.3	-4745	-497.5	-1.6	-4745	-317.5
345°	-502.4	-4745	-272.7	-457.6	-4745	-179.5

Table 2.1 continued

	T3			RT3		
	X_{T3}	Y_{T3}	Z_{T3}	X_{RT3}	Y_{RT3}	Z_{RT3}
DEP1	-1055	1059.8	-770	-845	1059.8	-770
DEP2	-845	-1059.8	-770	-1055	-1059.8	-770
DEP3	327.4	-265.3	2010	250.5	-510.9	2010
IMDD1	-2159.6	-216.4	1445	-2178.5	25.3	1445
IMDD2	-1906.8	-587.2	1445	-2003.4	-388.0	1445
DRT3-1	-2194.4	-219.8	1350	-2213.3	28.7	1350
DRT3-2	-1973	-629	1480	-2076.5	-415.9	1480
DRT2						
0°	8672.9	953.7	-165	8672.9	-953.7	-165
15°	8626.3	1423.8	-227.2	8719.4	-483.7	-227.2
30°	8582.9	1861.8	-409.5	8762.9	-45.7	-409.5
45°	8545.6	2237.9	-699.5	8800.1	330.5	-699.5
60°	8517.0	2526.5	-1077.5	8828.7	619.1	-1077.5
75°	8499.0	2707.9	-1517.7	8846.7	800.5	-1517.7
90°	8492.9	2769.8	-1990	8852.9	862.4	-1990
105°	8499.0	2707.9	-2462.4	8846.7	800.5	-2462.4
120°	8517.0	2526.5	-2902.5	8828.7	619.1	-2902.5
135°	8545.6	2237.9	-3280.5	8800.1	330.5	-3280.5
150°	8582.9	1861.8	-3570.5	8762.9	-45.7	-3570.5
165°	8626.3	1423.8	-3752.8	8719.4	-483.7	-3752.8
180°	8672.9	953.7	-3815	8672.9	-953.7	-3815
195°	8719.4	483.7	-3752.8	8626.3	-1423.8	-3752.8
210°	8762.9	45.7	-3570.5	8582.9	-1861.8	-3570.5
225°	8800.1	-330.5	-3280.5	8545.6	-2237.9	-3280.5
240°	8828.7	-619.1	-2902.5	8517.0	-2526.5	-2902.5
265°	8846.7	-800.5	-2462.4	8499.0	-2707.9	-2462.4
270°	8852.9	-862.4	-1990	8492.9	-2769.8	-1990
285°	8846.7	-800.5	-1517.7	8499.0	-2707.9	-1517.7
300°	8828.7	-619.1	-1077.5	8517.0	-2526.5	-1077.5
315°	8800.1	-330.5	-699.5	8545.6	-2237.9	-699.5
330°	8762.9	45.7	-409.5	8582.9	-1861.8	-409.5
345°	8719.4	483.7	-227.2	8626.3	-1423.8	-227.2
DRT1						
0°	-5671.9	-468.0	-165	-5671.9	468.0	-165
15°	-5718.5	2.1	-227.2	-5625.3	938.0	-227.2

Table 2.1 continued

	T3			RT3		
	X_{T3}	Y_{T3}	Z_{T3}	X_{RT3}	Y_{RT3}	Z_{RT3}
30°	-5761.9	440.1	-409.5	-5581.9	1376.0	-409.5
45°	-5799.1	816.2	-699.5	-5544.6	1752.2	-699.5
60°	-5827.7	1104.8	-1077.5	-5516.0	2040.8	-1077.5
75°	-5845.7	1286.3	-1517.7	-5498.0	2222.2	-1517.7
90°	-5851.9	1348.1	-1990	-5491.9	2284.1	-1990
105°	-5845.7	1286.3	-2462.4	-5498.0	2222.2	-2462.4
120°	-5827.7	1104.8	-2902.5	-5516.0	2040.8	-2902.5
135°	-5799.2	816.2	-3280.5	-5544.6	1752.2	-3280.5
150°	-5761.9	440.1	-3570.5	-5581.9	1376.0	-3570.5
165°	-5718.5	2.1	-3752.8	-5625.3	938.0	-3752.8
180°	-5671.9	-468.0	-3815	-5671.9	468.0	-3815
195°	-5625.3	-938.0	-3752.8	-5718.5	-2.1	-3752.8
210°	-5581.9	-1376.0	-3570.5	-5761.9	-440.1	-3570.5
225°	-5544.6	-1752.2	-3280.5	-5799.2	-816.2	-3280.5
240°	-5516.0	-2040.8	-2902.5	-5827.7	-1104.8	-2902.5
265°	-5498.0	-2222.2	-2462.4	-5845.7	-1286.3	-2462.4
270°	-5491.9	-2284.1	-1990	-5851.9	-1348.1	-1990
285°	-5498.0	-2222.2	-1517.7	-5845.7	-1286.3	-1517.7
300°	-5516.0	-2040.8	-1077.5	-5827.7	-1104.8	-1077.5
315°	-5544.6	-1752.2	-699.5	-5799.1	-816.2	-699.5
330°	-5581.9	-1376.0	-409.5	-5761.9	-440.1	-409.5
345°	-5625.3	-938.0	-227.2	-5718.5	-2.1	-227.2

Table 2.1 continued

	T4			RT4		
	X_{T4}	Y_{T4}	Z_{T4}	X_{RT4}	Y_{RT4}	Z_{RT4}
DEP1	-845	-1059.8	-810	-1055	-1059.8	-810
DEP2	-1055	1059.8	-810	-845	1059.8	-810
DEP3	-2227.4	265.3	1970	-2150	510.9	1970
IMDD1	259.6	216.4	1405	278.5	-25.3	1405
IMDD2	6.8	587.2	1405	103.4	388.0	1405
DRT3-1	294.4	219.8	1310	313.3	-28.7	1310
DRT3-2	73	629	1440	176.5	415.9	1440
DRT2						
0°	-10572.9	-953.7	-205	-10572.9	953.7	-205
15°	-10526.3	-1423.8	-267.2	-10619.4	483.7	-267.2
30°	-10482.2	-1861.8	-449.5	-10662.9	45.7	-449.5
45°	-10445.6	-2237.9	-739.5	-10700.1	-330.5	-739.5
60°	-10417.0	-2526.5	-1117.5	-10728.7	-619.1	-1117.5
75°	-10399.0	-2707.9	-1557.7	-10746.7	-800.5	-1557.7
90°	-10392.9	-2769.8	-2030	-10752.9	-862.4	-2030
105°	-10399.0	-2707.9	-2502.4	-10746.7	-800.5	-2502.4
120°	-10417.0	-2526.5	-2942.5	-10728.7	-619.1	-2942.5
135°	-10445.6	-2237.9	-3320.5	-10700.1	-330.5	-3320.5
150°	-10482.9	-1861.8	-3610.5	-10662.9	45.7	-3610.5
165°	-10526.3	-1423.8	-3792.8	-10619.4	483.7	-3792.8
180°	-10572.9	-953.7	-3855	-10572.9	953.7	-3855
195°	-10619.4	-483.7	-3792.8	-10526.3	1423.8	-3792.8
210°	-10662.9	-45.7	-3610.5	-10482.9	1861.8	-3610.5
225°	-10700.1	330.5	-3320.5	-10445.6	2237.9	-3320.5
240°	-10728.7	619.1	-2942.5	-10417.0	2526.5	-2942.5
265°	-10746.7	800.5	-2502.4	-10399.0	2707.9	-2502.4
270°	-10752.9	862.4	-2030	-10392.9	2769.8	-2030
285°	-10746.7	800.5	-1557.7	-10399.0	2707.9	-1557.7
300°	-10728.7	619.1	-1117.5	-10417.0	2526.5	-1117.5
315°	-10700.1	330.5	-739.5	-10445.6	2237.9	-739.5
330°	-10662.9	-45.7	-449.5	-10482.2	1861.8	-449.5
345°	-10619.4	-483.7	-267.2	-10526.3	1423.8	-267.2
DRT1						
0°	3771.9	468.0	-205	3771.9	-468.0	-205
15°	3818.5	-2.1	-267.2	3725.3	-938.0	-267.2

Table 2.1 continued

	T4			RT4		
	X_{T4}	Y_{T4}	Z_{T4}	X_{RT4}	Y_{RT4}	Z_{RT4}
30°	3861.9	-440.1	-449.5	3681.9	-1376.0	-449.5
45°	3899.1	-816.2	-739.5	3644.6	-1752.2	-739.5
60°	3927.7	-1104.8	-1117.5	3616.0	-2040.8	-1117.5
75°	3945.7	-1286.3	-1557.7	3598.0	-2222.2	-1557.7
90°	3951.9	-1348.1	-2030	3591.9	-2284.1	-2030
105°	3945.7	-1286.3	-2502.4	3598.0	-2222.2	-2502.4
120°	3927.7	-1104.8	-2942.5	3616.0	-2040.8	-2942.5
135°	3899.1	-816.2	-3320.5	3644.6	-1752.2	-3320.5
150°	3861.9	-440.1	-3610.5	3681.9	-1376.0	-3610.5
165°	3818.5	-2.1	-3792.8	3725.3	-938.0	-3792.8
180°	3771.9	468.0	-3855	3771.9	-468.0	-3855
195°	3725.3	938.0	-3792.8	3818.5	2.1	-3792.8
210°	3681.9	1376.0	-3610.5	3861.9	440.1	-3610.5
225°	3644.6	1752.2	-3320.5	3899.1	816.2	-3320.5
240°	3616.0	2040.8	-2942.5	3927.7	1104.8	-2942.5
265°	3598.0	2222.2	-2502.4	3945.7	1286.3	-2502.4
270°	3591.9	2284.1	-2030	3951.9	1348.1	-2030
285°	3598.0	2222.2	-1557.7	3945.7	1286.3	-1557.7
300°	3616.0	2040.8	-1117.5	3927.7	1104.8	-1117.5
315°	3644.6	1752.2	-739.5	3899.1	816.2	-739.5
330°	3681.9	1376.0	-449.5	3861.9	440.1	-449.5
345°	3725.3	938.0	-267.2	3818.5	2.1	-267.2

3. The results of operating the gauge equipment on the EXPRESS-A № 3 spacecraft

3.1. Electric field strength measurement

3.1.1. Amount of data acquired from the DEP sensors

For the period from June 24 till September 30, 2000, data from the DEP sensors of the EXPRESS-A № 3 S/C were loaded in the reporting field at the 6-minute interval. The reporting field has been down-linked 11 times. In Table 3.1, dates and time of report acquisition sessions are given as well as the period for which the data were acquired.

Table 3.1

№	Date/time of report acquisitions	Data acquisitions period	
		Beginning	End
001	25-Jun-2000/06:28:35	24-Jun-2000/12:40:35	25-Jun-2000/06:28:35
002	08- Jul-2000/14:18:41	28-Jun-2000/18:36:41	08- Jul-2000/14:18:41
003	17- Jul-2000/10:20:45	07-Jul-2000/13:32:45	17- Jul-2000/10:20:45
004	26- Jul-2000/08:27:51	16-Jul-2000/12:27:51	26- Jul-2000/08:27:51
005	01-Aug-2000/16:07:06	22-Jul-2000/18:31:06	01-Aug-2000/16:07:06
006	11-Aug-2000/15:21:14	01-Aug-2000/18:27:14	11-Aug-2000/15:21:14
007	21-Aug-2000/17:46:04	11-Aug-2000/18:22:04	21-Aug-2000/17:46:04
008	02-Sep-2000/10:11:33	23-Aug-2000/12:17:33	02-Sep-2000/10:11:33
009	12-Sep-2000/10:29:33	02-Sep-2000/12:17:31	12-Sep-2000/10:29:31
010	21-Sep-2000/11:16:04	11-Sep-2000/12:16:04	21-Sep-2000/11:16:04
011	01-Oct-2000/11:41:03	21-Sep-2000/12:11:03	01-Oct-2000/11:41:03

3.1.2. The tables of data from the DEP sensors

The list of daily sessions presented in this report is given in Table 3.2. The following data are given in this table as well:

- daily slice of time for which the data are presented;
- operating thruster number (if fired);
- direction of thruster operation;
- SPT firing duration;
- № of the annex where the data are given.

Table 3.2

Date, yy:mm:dd	Session time, h:min		Thruster/direction	SPT operation, h:min:s		DEP sensors data, № of annex
	Beginning	End		Beginning	End	
2000-06-29	00:00	23:54	T1–RT4/(±Y, ±Z). 32 firings, totally	See Annex 1 to the Report on task № 30		1
2000-06-30	00:00	23:54	-	-		2
2000-07-02	00:00	23:54	RT3C1/(+Z)	09:15:43	10:45:43	3
			T3C1/(+Z)	10:55:43	12:25:43	
			RT4C1/(-Z)	21:22:43	22:52:43	
			T4C1/(-Z)	23:02:43		
2000-07-03	-	-			00:32:43	-
2000-07-08	00:02	23:56	RT3C1/(+Z)	00:24:43	00:39:43	4
			RT4C1/(-Z)	00:49:43	01:04:43	
			RT3C1/(+Z)	02:26:43	02:41:43	
			RT4C1/(-Z)	02:51:43	03:06:43	
2000-07-11	00:02	23:56	T1C1/(+Y)	05:49:43	06:49:43	5
			T2C1/(-Y)	06:59:43	07:59:43	
			T1C1/(+Y)	12:59:43	13:59:43	
			RT2C1/(-Y)	17:49:43	18:49:43	
			RT1C1/(+Y)	18:59:43	19:59:43	
			RT1C1/(+Y)	23:49:43		
2000-07-12	00:02	23:56			00:49:43	6
			RT2C1/(-Y)	00:59:43	01:59:43	
2000-07-16	00:02	23:56	RT1C1/(+Y)	19:59:59		7
2000-07-17	00:02	23:56				8
2000-07-18	00:02	23:56			20:19:59	9
2000-07-20	00:03	23:57	RT1C1/(-Y)	09:59:43		10
2000-07-21	00:03	23:57				11
2000-07-22	00:03	23:57			02:49:43	12
2000-07-24	00:03	23:57	RT1C1/(-Y)	06:59:43	13:09:43	13
2000-08-07	00:03	23:57	RT3C1/(+Z)	12:48:19	13:48:43	14
2000-08-08	00:03	23:57	RT3C1/(+Z)	12:43:48	13:44:12	15
2000-08-20	00:04	23:57	RT3C1/(+Z)	11:57:27	12:57:59	16
2000-08-21	00:04	17:46	RT3C1/(+Z)	11:52:51	12:53:23	17
2000-08-23	00:02	23:59	RT3C1/(+Z)	11:44:55	12:45:27	18
2000-08-24	00:05	23:59	T3C1/(+Z)	11:40:59	12:41:31	19
2000-08-25	00:05	23:59	RT3C1/(+Z)	11:37:07	12:33:43	20
2000-08-26	00:05	23:59	T3C1/(+Z)	11:33:07	12:29:39	21
2000-08-27	00:05	23:59	RT3C1/(+Z)	11:29:11	12:29:43	22
2000-08-28	00:05	23:59	T3C1/(+Z)	11:25:15	12:25:51	23
2000-08-29	00:05	23:59	RT3C1/(+Z)	11:21:19	12:21:55	24
2000-08-30	00:05	23:59	T3C1/(+Z)	11:17:23	12:17:59	25
2000-08-31	00:05	23:59	RT3C1/(+Z)	11:13:27	12:14:03	26
2000-09-01	00:05	23:59	T3C1/(+Z)	11:09:31	12:10:07	27
2000-09-04	00:05	23:59	T4C1/(-Z)	21:21:15	22:31:59	28
2000-09-07	00:05	23:59	RT3C1/(+Z)	10:41:27	11:52:11	29
2000-09-12	00:04	23:58	RT3C1/(+Z)	10:21:39	11:32:27	30
2000-09-14	00:04	23:58	T3C1/(+Z)	10:13:43	11:24:31	31
2000-09-15	00:04	23:58	T3C1/(+Z)	10:09:47	11:20:39	32
2000-09-19	00:04	23:58	RT4C1/(-Z)	21:51:16	23:03:04	33

Date, yy:mm:dd	Session time, h:min		Thruster/direction	SPT operation, h:min:s		DEP sensors data, № of annex
	Beginning	End		Beginning	End	
2000-09-24	00:05	23:59	T4C1/(-Z)	21:31:47	22:43:35	34
2000-09-25	00:05	23:59	T4C1/(-Z)	21:27:55	22:39:47	35
2000-09-28	00:05	23:59	RT4C1/(-Z)	21:16:11	22:28:03	36

3.2. Ionic Current Density and Ion Energy Measurements

For the period from June 24 till September 30, 2000, data from the DRT3 and DRT sensors of the EXPRESS-A № 3 S/C were loaded in the reporting field at the 6-minute interval.

The list of firings of the SPT-100 thrusters for which data from the DRT3 and DRT sensors are given is given in Table 3.3. Also, Table 3.3 contains the following data:

- date and time of data acquisitions;
- operating thruster number;
- direction of thruster operation;
- thruster cut-in and cut-off times;
- solar array angle position;
- № of the annex where the data are given.

Each annex contains the following data:

- date, time of cutting in/cutting off the thruster, the number of the operating thruster;
- time of data acquisition;
- current measured per probe;
- value of detaining voltage at the grid;
- current density;
- most probable value of energy of particles;
- maximum particle energy measured.

The current density is determined by dividing the measured current value by the effective sensor square.

The ion energy is determined as follows:

1. The basic matter is dependence of the current per probe upon the detaining potential at the grid;
2. A histogram of dependence of the current portion between adjacent points in the voltage interval (ΔU) upon the value of potential at the grid.

The portion of current in the voltage interval ΔU is determined as follows:

$$I = \frac{I_{K+1} - I_K}{I_0} * 100$$

where: I_{K+1} – current per probe at the K+1 point;

I_K – current per probe at the K point;

I_0 – maximum current per probe, corresponding to a zero detaining potential;

3. The interval at the histogram corresponding to a maximum portion of current indicates the most probable value of energy of particles getting to the probe.

Table 3.3

Date, yy:mm:dd	Thruster/ direction	SPT firing, h:min:s		SA angle (deg)	DRT sensors data, № of annex	DRT3 sensors data, № of annex
		Beginning	End			
2000-07-02	RT3C1/(+Z)	09:15:43	10:45:43	60-75	37	67
2000-07-02	T3C1/(+Z)	10:55:43	12:25:43	90-105	38	68
2000-07-02	RT4C1/(-Z)	21:22:43	22:52:43	240-255	39	69
2000-07-02	T4C1/(-Z)	23:02:43	00:32:43	270-285	40	70
2000-07-06	T4C1/(-Z)	06:19:43	06:34:43	0	41	71
2000-07-06	T4C1/(-Z)	12:19:43	12:34:43	90	42	72
2000-07-07	RT4C1/(-Z)	04:36:43	04:51:43	330	43	73
2000-07-07	RT4C1/(-Z)	06:36:43	06:51:43	0	44	74
2000-07-07	RT4C1/(-Z)	12:36:43	12:51:43	90	45	75
2000-07-08	RT4C1/(-Z)	02:51:43	03:06:43	300	46	76
2000-08-07	RT3C1/(+Z)	12:48:19	13:48:43	45-60	47	77
2000-08-08	RT3C1/(+Z)	12:43:51	13:44:15	45-60	48	78
2000-08-20	RT3C1/(+Z)	11:57:27	12:57:59	30-45	49	79
2000-08-21	RT3C1/(+Z)	11:52:51	12:53:23	30-45	50	80
2000-08-22	T3C1/(+Z)	11:48:55	12:49:27	30-45	51	81
2000-08-23	RT3C1/(+Z)	11:44:55	12:45:27	30-45	52	82
2000-08-24	T3C1/(+Z)	11:40:59	12:41:31	30-45	53	83
2000-08-26	T3C1/(+Z)	11:33:07	12:33:43	30-45	54	84
2000-08-28	T3C1/(+Z)	11:25:15	12:25:51	30-45	55	85
2000-08-31	RT3C1/(+Z)	11:13:27	12:14:03	15-35	56	86
2000-09-01	T3K1/(+Z)	11:09:31	12:10:07	15-30	57	87
2000-09-04	RT4C1/(-Z)	21:21:15	22:31:59	180-195	58	88
2000-09-07	RT3C1/(+Z)	10:41:27	11:52:11	15-30	59	89
2000-09-11	T3C1/(+Z)	10:25:35	11:36:23	15-30	60	90
2000-09-14	T3C1/(+Z)	10:13:43	11:24:31	15-30	61	91
2000-09-19	RT4C1/(-Z)	21:51:16	23:03:04	180-197	62	92
2000-09-20	RT4C1/(-Z)	21:47:23	22:59:11	180-195	63	93
2000-09-24	RT4C1/(-Z)	21:31:47	22:43:35	180-195	64	94
2000-09-25	RT4C1/(-Z)	21:27:55	22:39:47	180-195	65	95
2000-09-28	T4C1/(-Z)	21:16:11	22:28:03	180-195	66	96

3.3. Measurements of S/C Inherent Outer Atmosphere

On the EXPRESS-A № 3 S/C, pressure sensors were switched on 5 hours since the moment of separation of the S/C from the Booster. At that, pressure under the MLI was very high (The current measured was at the maximum). A long high current caused the failure of the power supply. The total time of operating the pressure sensors came to 7 hours.

Table 3.4 contains data for 7 hours of functioning of the pressure sensors on June 24, 2000.

Table 3.4

	IMDD1 current, μA	Pressure, Pa	IMDD2 current, μA	Pressure, Pa
14:44:14	8.225806	2.88E-04	> 150	>10 ⁻³
14:45:18	3.493151	1.22E-04	> 150	>10 ⁻³
14:46:22	2.198276	7.69E-05	> 150	>10 ⁻³
14:47:26	3.80597	1.33E-04	> 150	>10 ⁻³
14:48:30	3.80597	1.33E-04	> 150	>10 ⁻³
14:49:34	2.897727	1.01E-04	> 150	>10 ⁻³
14:50:38	2.5	8.75E-05	> 150	>10 ⁻³
14:51:41	2.40566	8.42E-05	> 150	>10 ⁻³
14:52:45	2.33945	8.19E-05	> 150	>10 ⁻³
14:53:49	2.256637	7.90E-05	> 150	>10 ⁻³
14:54:41	2.297297	8.04E-05	> 150	>10 ⁻³
14:55:45	2.161017	7.56E-05	> 150	>10 ⁻³
14:56:50	2.04	7.14E-05	> 150	>10 ⁻³
14:57:53	0.980769	3.43E-05	> 150	>10 ⁻³
14:58:57	0.9375	3.28E-05	> 150	>10 ⁻³
15:00:01	0.923913	3.23E-05	> 150	>10 ⁻³
15:01:05	0.910714	3.19E-05	> 150	>10 ⁻³
15:02:10	0.885417	3.10E-05	> 150	>10 ⁻³
15:03:13	0.85	2.98E-05	> 150	>10 ⁻³
15:04:17	0.827922	2.90E-05	> 150	>10 ⁻³
15:05:20	0.827922	2.90E-05	> 150	>10 ⁻³
15:06:24	0.817308	2.86E-05	> 150	>10 ⁻³
15:07:28	0.817308	2.86E-05	> 150	>10 ⁻³
15:08:32	0.817308	2.86E-05	> 150	>10 ⁻³
15:09:36	0.796875	2.79E-05	> 150	>10 ⁻³
15:10:41	0.796875	2.79E-05	> 150	>10 ⁻³
15:11:45	0.768072	2.69E-05	> 150	>10 ⁻³
15:12:48	0.741279	2.59E-05	> 150	>10 ⁻³
15:13:52	0.741279	2.59E-05	> 150	>10 ⁻³
15:14:56	0.75	2.63E-05	> 150	>10 ⁻³
15:16:00	0.716292	2.51E-05	> 150	>10 ⁻³
15:17:04	0.724432	2.54E-05	> 150	>10 ⁻³
15:18:09	0.732759	2.56E-05	> 150	>10 ⁻³
15:19:12	0.716292	2.51E-05	> 150	>10 ⁻³
15:20:16	0.685484	2.40E-05	> 150	>10 ⁻³
15:21:19	0.685484	2.40E-05	> 150	>10 ⁻³
15:22:24	0.671053	2.35E-05	> 150	>10 ⁻³
15:23:28	0.685484	2.40E-05	> 150	>10 ⁻³
15:24:32	0.678191	2.37E-05	> 150	>10 ⁻³
15:25:36	0.671053	2.35E-05	> 150	>10 ⁻³
15:26:40	0.678191	2.37E-05	> 150	>10 ⁻³
15:27:43	0.657216	2.30E-05	> 150	>10 ⁻³
15:28:37	0.65051	2.28E-05	> 150	>10 ⁻³
15:29:41	0.65051	2.28E-05	> 150	>10 ⁻³
15:30:45	0.65051	2.28E-05	> 150	>10 ⁻³
15:31:48	0.625	2.19E-05	> 150	>10 ⁻³
15:32:52	0.6375	2.23E-05	> 150	>10 ⁻³
15:33:57	0.6375	2.23E-05	> 150	>10 ⁻³

	IMDD1 current, μA	Pressure, Pa	IMDD2 current, μA	Pressure, Pa
15:35:02	0.6375	2.23E-05	> 150	>10 ⁻³
15:36:05	0.625	2.19E-05	> 150	>10 ⁻³
15:37:10	0.643939	2.25E-05	> 150	>10 ⁻³
15:38:13	0.625	2.19E-05	> 150	>10 ⁻³
15:39:16	0.612981	2.15E-05	> 150	>10 ⁻³
15:40:20	0.618932	2.17E-05	> 150	>10 ⁻³
15:41:24	0.607143	2.13E-05	> 150	>10 ⁻³
15:42:28	0.607143	2.13E-05	> 150	>10 ⁻³
15:43:32	0.607143	2.13E-05	> 150	>10 ⁻³
15:44:37	0.601415	2.10E-05	> 150	>10 ⁻³
15:45:41	0.607143	2.13E-05	> 150	>10 ⁻³
15:46:44	0.601415	2.10E-05	> 150	>10 ⁻³
15:47:48	0.612981	2.15E-05	> 150	>10 ⁻³
15:48:52	0.595794	2.09E-05	> 150	>10 ⁻³
15:49:56	0.590278	2.07E-05	> 150	>10 ⁻³
15:51:00	0.612981	2.15E-05	> 150	>10 ⁻³
15:52:04	0.590278	2.07E-05	> 150	>10 ⁻³
15:53:08	0.590278	2.07E-05	> 150	>10 ⁻³
15:54:12	0.584862	2.05E-05	> 150	>10 ⁻³
15:55:15	0.590278	2.07E-05	> 150	>10 ⁻³
15:56:20	0.584862	2.05E-05	> 150	>10 ⁻³
15:57:23	0.574324	2.01E-05	> 150	>10 ⁻³
15:58:27	0.574324	2.01E-05	> 150	>10 ⁻³
15:59:32	0.574324	2.01E-05	> 150	>10 ⁻³
16:00:36	0.574324	2.01E-05	> 150	>10 ⁻³
16:01:40	0.564159	1.97E-05	> 150	>10 ⁻³
16:03:25	0.574324	2.01E-05	> 150	>10 ⁻³
16:04:30	0.549569	1.92E-05	> 150	>10 ⁻³
16:05:33	0.559211	1.96E-05	> 150	>10 ⁻³
16:06:37	0.564159	1.97E-05	> 150	>10 ⁻³
16:07:41	0.564159	1.97E-05	> 150	>10 ⁻³
16:08:45	0.564159	1.97E-05	> 150	>10 ⁻³
16:09:48	0.554348	1.94E-05	> 150	>10 ⁻³
16:11:13	0.559211	1.96E-05	> 150	>10 ⁻³
16:12:18	0.554348	1.94E-05	> 150	>10 ⁻³
16:18:41	0.554348	1.94E-05	> 150	>10 ⁻³
16:20:48	0.535714	1.88E-05	> 150	>10 ⁻³
16:21:52	0.540254	1.89E-05	> 150	>10 ⁻³
16:22:56	0.540254	1.89E-05	> 150	>10 ⁻³
16:24:01	0.52686	1.84E-05	> 150	>10 ⁻³
16:25:06	0.544872	1.91E-05	> 150	>10 ⁻³
16:26:09	0.540254	1.89E-05	> 150	>10 ⁻³
16:27:13	0.535714	1.88E-05	> 150	>10 ⁻³
16:28:16	0.518293	1.81E-05	> 150	>10 ⁻³
16:29:20	0.52686	1.84E-05	> 150	>10 ⁻³
16:30:25	0.53125	1.86E-05	> 150	>10 ⁻³
16:31:28	0.540254	1.89E-05	> 150	>10 ⁻³
16:32:32	0.53125	1.86E-05	> 150	>10 ⁻³
16:33:36	0.52686	1.84E-05	> 150	>10 ⁻³
16:34:39	0.52686	1.84E-05	> 150	>10 ⁻³
16:35:44	0.518293	1.81E-05	> 150	>10 ⁻³
16:36:48	0.518293	1.81E-05	> 150	>10 ⁻³
16:37:52	0.535714	1.88E-05	> 150	>10 ⁻³
16:38:56	0.514113	1.80E-05	> 150	>10 ⁻³
16:40:00	0.52686	1.84E-05	> 150	>10 ⁻³
16:41:04	0.514113	1.80E-05	> 150	>10 ⁻³
16:42:08	0.518293	1.81E-05	> 150	>10 ⁻³
16:44:15	0.518293	1.81E-05	> 150	>10 ⁻³
16:45:19	0.498047	1.74E-05	> 150	>10 ⁻³

	IMDD1 current, μA	Pressure, Pa	IMDD2 current, μA	Pressure, Pa
16:46:23	0.514113	1.80E-05	> 150	$>10^{-3}$
16:47:27	0.498047	1.74E-05	> 150	$>10^{-3}$
16:48:31	0.514113	1.80E-05	> 150	$>10^{-3}$
16:49:35	0.52686	1.84E-05	> 150	$>10^{-3}$
16:51:40	0.612981	2.15E-05	> 150	$>10^{-3}$
17:51:40	0.535714	1.88E-05	> 150	$>10^{-3}$
18:51:40	0.482955	1.69E-05	> 150	$>10^{-3}$
19:51:40	0.46875	1.64E-05	> 150	$>10^{-3}$
20:51:40	0.461957	1.62E-05	> 150	$>10^{-3}$
21:51:40	0.436644	1.53E-05	> 150	$>10^{-3}$
22:51:40	0.413961	1.45E-05	> 150	$>10^{-3}$

Annex 1. Information from DEP-sensors for 29/06/00

Time (hh:mm)	DEP-1 Calculated Field, (V/m)	DEP-2 Calculated Field, (V/m)	DEP-3 Calculated Field, (V/m)
0:00	-2,30380	-1,19940	0,12612
0:06	-2,17580	-1,31930	-0,12612
0:12	-2,17580	-1,31930	0,00000
0:18	-2,04780	-1,31930	0,00000
0:24	-2,17580	-1,31930	0,00000
0:30	-2,04780	-1,31930	0,00000
0:36	-2,04780	-1,31930	0,00000
0:42	-2,17580	-1,31930	0,12612
0:48	-2,04780	-1,31930	0,00000
0:54	-2,04780	-1,43930	0,25224
1:00	-2,30380	-1,43930	-2,01790
1:06	-2,55980	-1,79910	3,53140
1:12	-2,94380	-1,43930	5,17090
1:18	-2,55980	-1,31930	4,16200
1:24	-2,55980	-1,31930	3,78360
1:30	-2,55980	-1,31930	-3,27910
1:36	-2,55980	-1,31930	-2,14400
1:42	-2,30380	-1,31930	1,13510
1:48	-2,17580	-1,31930	0,63060
1:54	-2,17580	-1,31930	0,50448
2:00	-2,04780	-1,31930	0,37836
2:06	-2,04780	-1,31930	0,37836
2:12	-2,04780	-1,31930	0,37836
2:18	-1,91980	-1,31930	0,37836
2:24	-1,66390	-1,31930	-0,25224
2:30	-1,66390	-1,31930	-0,25224
2:36	-1,53590	-1,31930	-0,12612
2:42	-1,66390	-1,31930	0,00000
2:48	-1,66390	-1,31930	0,00000
2:54	-1,79190	-1,31930	0,00000
3:00	-1,91980	-1,31930	0,12612
3:06	-1,91980	-1,31930	0,00000
3:12	-2,04780	-1,31930	0,00000
3:18	-2,17580	-1,19940	-0,37836
3:24	-2,43180	-0,35982	-1,13510
3:30	-2,30380	-0,23988	-1,00900
3:36	-2,43180	-0,11994	-1,38730
3:42	-2,68780	0,00000	1,38730
3:48	-2,55980	-0,11994	1,00900
3:54	-2,68780	-0,11994	-0,88284
4:00	-2,55980	-0,11994	-0,50448
4:06	-2,81580	-0,11994	-0,63060
4:12	-3,07180	0,23988	-1,13510
4:18	-3,19970	0,47976	-1,89180
4:24	-3,07180	0,71964	-2,01790
4:30	-3,07180	0,95952	2,14400
4:36	-3,19970	1,31930	-3,27910
4:42	-3,19970	1,19940	-3,40520

Time (hh:mm)	DEP-1 Calculated Field, (V/m)	DEP-2 Calculated Field, (V/m)	DEP-3 Calculated Field, (V/m)
4:48	-3,07180	1,31930	2,27020
4:54	-2,94380	1,31930	1,76570
5:00	-2,81580	1,19940	1,38730
5:06	-2,81580	1,19940	-1,38730
5:12	-2,43180	1,07950	-1,26120
5:18	-2,43180	0,83958	-0,75672
5:24	-2,30380	0,47976	0,12612
5:30	-2,04780	0,47976	0,00000
5:36	-2,17580	0,35982	0,00000
5:42	-2,04780	0,00000	0,12612
5:48	-1,91980	-0,23988	-0,12612
5:54	-1,91980	-0,23988	-0,12612
6:00	-1,79190	-0,11994	0,12612
6:06	-1,79190	-0,11994	0,12612
6:12	-1,66390	-0,11994	0,25224
6:18	-1,79190	-0,11994	0,25224
6:24	-1,79190	-0,23988	0,25224
6:30	-1,79190	-0,23988	0,25224
6:36	-1,79190	-0,11994	0,25224
6:42	0,89593	-0,59970	0,50448
6:48	1,02390	-0,59970	0,50448
6:54	1,02390	-0,71964	0,63060
7:00	1,15190	-0,71964	0,75672
7:06	1,15190	-0,71964	0,00000
7:12	1,40790	-1,07950	0,00000
7:18	-1,27990	-1,07950	1,13510
7:24	-1,27990	-0,47976	0,75672
7:30	-2,17580	-0,23988	0,25224
7:36	-1,53590	0,35982	-0,37836
7:42	4,86360	0,71964	-0,25224
7:48	-1,91980	0,83958	-0,25224
7:54	0,89593	0,83958	-0,25224
8:00	-1,15190	0,95952	0,25224
8:06	3,07180	1,07950	-0,12612
8:12	1,91980	0,59970	-0,37836
8:18	-1,79190	0,35982	-0,25224
8:24	-5,88750	-1,07950	0,12612
8:30	-4,73560	-1,31930	0,12612
8:36	-5,63160	-1,91900	0,00000
8:42	-6,91150	-1,91900	0,00000
8:48	1,27990	-1,31930	-1,00900
8:54	-1,91980	-1,19940	0,75672
9:00	-2,17580	-1,19940	1,13510
9:06	2,17580	-1,07950	-1,51340
9:12	1,53590	0,47976	-0,50448
9:18	1,53590	0,47976	0,37836
9:24	5,24760	0,71964	0,37836
9:30	4,86360	0,83958	0,37836

Time (hh:mm)	DEP-1 Calculated Field, (V/m)	DEP-2 Calculated Field, (V/m)	DEP-3 Calculated Field, (V/m)
9:36	-1,02390	0,95952	0,25224
9:42	-1,27990	0,95952	-0,25224
9:48	2,30380	1,07950	0,12612
9:54	-2,17580	1,07950	-0,12612
10:00	-1,66390	0,47976	-0,37836
10:06	-1,66390	0,23988	0,25224
10:12	-1,91980	0,11994	-0,25224
10:18	-1,66390	0,00000	-0,25224
10:24	-1,66390	0,00000	0,25224
10:30	-1,79190	0,00000	0,25224
10:36	-2,17580	0,00000	0,25224
10:42	-2,04780	0,00000	0,25224
10:48	-2,04780	0,00000	0,12612
10:54	1,66390	0,00000	-0,12612
11:00	-0,89593	0,00000	0,12612
11:06	1,02390	0,00000	0,88284
11:12	1,79190	0,00000	0,12612
11:18	1,27990	0,00000	0,12612
11:24	1,02390	0,00000	0,12612
11:30	1,02390	0,00000	0,12612
11:36	-0,89593	0,00000	-0,12612
11:42	0,89593	0,00000	0,12612
11:48	0,89593	0,00000	-0,25224
11:54	-1,02390	0,00000	-0,75672
12:00	-1,02390	0,00000	-1,13510
12:06	-1,15190	0,00000	1,26120
12:12	1,15190	0,00000	-1,26120
12:18	1,15190	0,00000	-1,26120
12:24	1,15190	0,00000	-1,26120
12:30	-1,02390	0,00000	-1,26120
12:36	-1,15190	0,00000	-1,13510
12:42	1,02390	0,00000	-1,13510
12:48	1,15190	0,00000	-1,13510
12:54	1,02390	0,00000	-1,13510
13:00	-1,02390	0,00000	-1,13510
13:06	1,15190	0,00000	1,13510
13:12	0,89593	0,00000	1,13510
13:18	1,15190	0,00000	-1,13510
13:24	1,02390	0,00000	-1,13510
13:30	1,02390	0,00000	1,13510
13:36	-1,02390	0,00000	-1,13510
13:42	-1,15190	0,00000	1,00900
13:48	1,27990	0,00000	0,88284
13:54	1,02390	0,00000	-1,26120
14:00	1,27990	0,11994	0,88284
14:06	1,15190	0,11994	1,13510
14:12	1,02390	0,11994	-1,00900
14:18	1,02390	-0,11994	-1,00900
14:24	1,15190	0,11994	-1,00900
14:30	1,15190	0,11994	-1,00900

Time (hh:mm)	DEP-1 Calculated Field, (V/m)	DEP-2 Calculated Field, (V/m)	DEP-3 Calculated Field, (V/m)
14:36	1,15190	0,11994	-1,00900
14:42	1,27990	-0,11994	-1,00900
14:48	1,02390	-0,11994	-1,00900
14:54	-1,27990	-0,11994	-0,88284
15:00	-1,15190	-0,11994	0,88284
15:06	1,02390	-0,23988	-0,88284
15:12	1,02390	-0,23988	-0,88284
15:18	0,89593	-0,23988	-0,88284
15:24	0,89593	-0,35982	-0,88284
15:30	1,15190	-0,35982	-0,75672
15:36	0,89593	-0,35982	-0,75672
15:42	0,89593	-0,35982	0,75672
15:48	0,89593	-0,35982	-0,75672
15:54	0,89593	-0,35982	-0,75672
16:00	0,89593	-0,35982	-0,63060
16:06	0,89593	-0,35982	-0,63060
16:12	0,89593	-0,35982	-0,63060
16:18	1,02390	-0,35982	-0,63060
16:24	0,89593	-0,35982	-0,63060
16:30	0,89593	-0,35982	-0,63060
16:36	0,89593	-0,35982	-0,63060
16:42	0,76794	-0,35982	-0,63060
16:48	-1,02390	-0,35982	-0,63060
16:54	1,02390	-0,35982	-0,63060
17:00	1,15190	-0,35982	-0,50448
17:06	1,27990	-0,35982	0,50448
17:12	1,15190	-0,23988	0,50448
17:18	1,15190	-0,35982	-0,50448
17:24	1,27990	-0,23988	-0,50448
17:30	1,02390	-0,23988	-0,50448
17:36	1,15190	-0,35982	-0,50448
17:42	1,15190	-0,23988	-0,50448
17:48	1,02390	-0,23988	-0,50448
17:54	1,02390	-0,23988	-0,50448
18:00	1,02390	-0,23988	-0,50448
18:06	1,15190	-0,35982	-0,50448
18:12	1,15190	-0,23988	-0,50448
18:18	0,89593	-0,23988	-0,63060
18:24	0,89593	-0,35982	-0,50448
18:30	0,89593	-0,35982	-0,63060
18:36	-0,89593	-0,35982	-0,63060
18:42	1,15190	-0,35982	-0,63060
18:48	0,89593	-0,35982	-0,63060
18:54	0,89593	-0,35982	0,63060
19:00	-0,89593	-0,35982	-0,63060
19:06	0,89593	-0,35982	-0,63060
19:12	1,02390	-0,35982	-0,75672
19:18	1,02390	-0,35982	-0,75672
19:24	0,89593	-0,35982	-0,75672
19:30	0,89593	-0,35982	-0,75672

Time (hh:mm)	DEP-1 Calculated Field, (V/m)	DEP-2 Calculated Field, (V/m)	DEP-3 Calculated Field, (V/m)
19:36	-1,02390	-0,35982	-0,75672
19:42	0,89593	-0,35982	-0,75672
19:48	0,89593	-0,47976	-0,88284
19:54	0,89593	-0,47976	-0,88284
20:00	0,89593	-0,47976	-0,88284
20:06	0,89593	-0,47976	0,88284
20:12	1,02390	-0,47976	-0,88284
20:18	0,89593	-0,47976	-1,00900
20:24	1,02390	-0,47976	-1,00900
20:30	1,02390	-0,47976	-1,00900
20:36	0,89593	-0,47976	-1,13510
20:42	1,02390	-0,47976	-1,00900
20:48	1,02390	-0,47976	-1,13510
20:54	0,89593	-0,83958	-1,00900
21:00	0,89593	-1,07950	-1,00900
21:06	0,89593	-1,07950	-1,00900
21:12	-1,02390	-1,07950	-0,88284
21:18	0,89593	-1,07950	-0,88284
21:24	-0,89593	-1,07950	0,25224
21:30	0,89593	-0,95952	0,12612
21:36	0,89593	-0,95952	-0,12612
21:42	-0,89593	-0,95952	0,12612
21:48	0,89593	-0,95952	0,12612
21:54	0,76794	-0,95952	0,12612
22:00	0,89593	-0,83958	0,12612
22:06	0,76794	-0,83958	-0,12612
22:12	0,76794	-0,83958	0,12612
22:18	0,76794	-0,83958	-0,12612
22:24	0,76794	-0,83958	-0,12612
22:30	-0,76794	-0,83958	-0,12612
22:36	0,76794	-0,83958	-0,12612
22:42	-0,63995	-0,83958	0,12612
22:48	0,63995	-0,71964	0,12612
22:54	0,63995	-0,71964	-0,12612
23:00	0,89593	-0,71964	0,12612
23:06	-1,15190	-0,71964	0,12612
23:12	1,27990	-0,71964	0,12612
23:18	1,40790	-0,59970	0,12612
23:24	-1,40790	-0,59970	0,12612
23:30	-1,40790	-0,59970	0,12612
23:36	-1,27990	-0,71964	-0,12612
23:42	1,15190	-0,71964	0,12612
23:48	-1,15190	-0,71964	0,12612
23:54	-1,15190	-0,59970	0,12612

Annex 2. Information from DEP-sensors for 30/06/00

Time (hh:mm)	DEP-1 Calculated Field, (V/m)	DEP-2 Calculated Field, (V/m)	DEP-3 Calculated Field, (V/m)
0:00	-1,02390	-0,71964	0,12612
0:06	-1,02390	-0,59970	0,12612
0:12	-1,02390	-0,71964	0,12612
0:18	1,15190	-0,71964	0,12612
0:24	-1,15190	-0,71964	-0,12612
0:30	-1,15190	-0,71964	-0,12612
0:36	-1,15190	-0,71964	-0,12612
0:42	1,15190	-0,71964	0,12612
0:48	-1,02390	-0,71964	0,12612
0:54	-1,15190	-0,71964	-0,12612
1:00	-1,02390	-0,71964	0,12612
1:06	1,02390	-0,71964	-0,12612
1:12	-1,02390	-0,71964	0,12612
1:18	-1,27990	-0,71964	0,12612
1:24	-1,15190	-0,71964	0,12612
1:30	-1,02390	-0,71964	-0,12612
1:36	-0,89593	-0,71964	0,12612
1:42	-1,02390	-0,71964	-0,12612
1:48	-0,89593	-0,71964	0,12612
1:54	-0,89593	-0,71964	-0,12612
2:00	-0,76794	-0,71964	0,12612
2:06	-0,76794	-0,71964	-0,12612
2:12	0,76794	-0,71964	0,12612
2:18	-0,63995	-0,83958	0,12612
2:24	0,63995	-0,83958	-0,12612
2:30	0,63995	-0,83958	0,12612
2:36	0,63995	-0,83958	-0,12612
2:42	-0,63995	-0,83958	-0,12612
2:48	0,63995	-0,83958	-0,12612
2:54	0,76794	-0,95952	0,12612
3:00	0,76794	-0,95952	0,12612
3:06	0,76794	-0,95952	0,12612
3:12	0,76794	-0,83958	0,12612
3:18	0,76794	-0,71964	-0,12612
3:24	0,76794	-0,71964	0,12612
3:30	-0,89593	-0,71964	0,12612
3:36	0,89593	-0,71964	0,12612
3:42	1,02390	-0,71964	0,12612
3:48	-0,89593	-0,71964	-0,12612
3:54	-0,89593	-0,59970	-0,12612
4:00	-0,89593	-0,71964	0,12612
4:06	-0,89593	-0,59970	-0,12612
4:12	-1,02390	-0,71964	-0,12612
4:18	1,02390	-0,59970	-0,12612
4:24	-1,15190	-0,59970	-0,12612
4:30	-1,02390	-0,59970	0,12612
4:36	-1,02390	-0,59970	0,12612

Time (hh:mm)	DEP-1 Calculated Field, (V/m)	DEP-2 Calculated Field, (V/m)	DEP-3 Calculated Field, (V/m)
4:42	-1,02390	-0,59970	0,12612
4:48	1,15190	-0,59970	0,12612
4:54	-1,15190	-0,59970	0,12612
5:00	-1,15190	-0,35982	0,12612
5:06	-1,15190	-0,11994	-0,12612
5:12	-1,15190	-0,11994	-0,12612
5:18	-1,15190	0,11994	0,12612
5:24	-1,15190	0,11994	0,12612
5:30	-1,27990	0,00000	-0,12612
5:36	-1,27990	0,00000	0,12612
5:42	-1,27990	0,00000	0,12612
5:48	-1,27990	0,00000	-0,12612
5:54	1,40790	0,00000	0,12612
6:00	-1,40790	0,00000	0,12612
6:06	-1,40790	0,00000	0,12612
6:12	-1,40790	0,00000	-0,12612
6:18	-1,27990	0,00000	-0,12612
6:24	-1,53590	0,00000	0,12612
6:30	-1,53590	0,00000	0,12612
6:36	-1,27990	0,00000	0,12612
6:42	-1,66390	0,00000	0,12612
6:48	-1,79190	0,00000	-0,12612
6:54	-1,66390	0,00000	0,12612
7:00	1,66390	0,00000	0,12612
7:06	-1,79190	0,00000	0,12612
7:12	-1,79190	0,11994	0,12612
7:18	1,79190	0,11994	-0,12612
7:24	-1,79190	0,00000	-0,12612
7:30	-1,79190	0,00000	0,12612
7:36	-1,79190	0,00000	-0,12612
7:42	-1,79190	0,00000	0,12612
7:48	1,79190	0,00000	0,12612
7:54	-1,91980	0,00000	-0,12612
8:00	-1,91980	0,00000	0,12612
8:06	-1,91980	0,00000	0,12612
8:12	-1,91980	0,00000	-0,12612
8:18	-1,91980	0,00000	0,12612
8:24	-1,91980	0,00000	0,12612
8:30	-1,79190	0,00000	0,12612
8:36	-1,91980	0,00000	0,12612
8:42	-1,91980	0,00000	0,12612
8:48	1,79190	0,00000	0,12612
8:54	-1,91980	0,00000	0,12612
9:00	-1,79190	0,00000	0,12612
9:06	-1,79190	0,00000	0,12612
9:12	-1,79190	0,00000	-0,12612
9:18	-1,66390	0,00000	0,12612

Time (hh:mm)	DEP-1 Calculated Field, (V/m)	DEP-2 Calculated Field, (V/m)	DEP-3 Calculated Field, (V/m)
9:24	-1,79190	0,00000	-0,12612
9:30	-1,66390	0,00000	-0,12612
9:36	-1,79190	0,00000	-0,12612
9:42	-1,66390	0,11994	0,12612
9:48	-1,91980	0,11994	-0,12612
9:54	-2,04780	0,11994	-0,12612
10:00	2,17580	-0,11994	0,12612
10:06	2,04780	-0,11994	0,12612
10:12	1,79190	-0,11994	-0,12612
10:18	-1,53590	-0,11994	-0,12612
10:24	-1,40790	-0,11994	0,25224
10:30	-1,15190	-0,11994	0,25224
10:36	-1,40790	0,11994	0,25224
10:42	-1,40790	-0,11994	-0,25224
10:48	-1,15190	-0,11994	-0,25224
10:54	-1,02390	0,11994	-0,25224
11:00	-1,15190	0,11994	-0,25224
11:06	-1,79190	-0,11994	-0,25224
11:12	-1,27990	-0,11994	-1,13510
11:18	1,15190	-0,11994	1,26120
11:24	-0,38397	-0,11994	-0,25224
11:30	1,02390	0,23988	-0,25224
11:36	0,51196	0,11994	0,25224
11:42	0,25598	0,11994	0,25224
11:48	-0,25598	0,11994	-0,25224
11:54	-0,25598	-0,11994	-0,25224
12:00	-0,25598	0,11994	-0,25224
12:06	-0,25598	0,11994	-0,25224
12:12	-0,38397	0,11994	-1,00900
12:18	0,38397	0,11994	0,88284
12:24	-0,38397	0,11994	-1,00900
12:30	0,51196	0,11994	-1,38730
12:36	0,51196	0,11994	-1,38730
12:42	0,51196	0,11994	-1,38730
12:48	-0,51196	0,11994	1,63960
12:54	-0,51196	0,11994	-1,51340
13:00	0,51196	0,11994	-1,63960
13:06	0,51196	0,11994	-1,63960
13:12	-0,51196	0,11994	-1,38730
13:18	-0,51196	0,11994	-1,38730
13:24	0,51196	0,00000	-1,38730
13:30	-0,51196	0,00000	-1,38730
13:36	0,51196	0,00000	-1,51340
13:42	0,63995	0,00000	-1,51340
13:48	0,63995	0,00000	-1,38730
13:54	-0,51196	0,00000	-1,38730
14:00	0,51196	0,00000	-1,38730
14:06	-0,51196	0,00000	-1,26120
14:12	0,63995	0,00000	-1,38730
14:18	0,63995	0,00000	-1,26120

Time (hh:mm)	DEP-1 Calculated Field, (V/m)	DEP-2 Calculated Field, (V/m)	DEP-3 Calculated Field, (V/m)
14:24	0,51196	0,00000	-1,13510
14:30	0,51196	0,11994	-1,26120
14:36	0,63995	0,11994	-1,13510
14:42	-0,51196	-0,11994	-1,26120
14:48	-0,51196	0,11994	-1,26120
14:54	0,63995	-0,11994	-1,26120
15:00	0,51196	-0,11994	-1,00900
15:06	0,51196	0,11994	1,00900
15:12	0,51196	-0,11994	-1,00900
15:18	0,63995	-0,11994	-1,13510
15:24	0,51196	-0,23988	-1,00900
15:30	-0,51196	-0,23988	-1,00900
15:36	0,51196	-0,23988	-1,00900
15:42	-0,51196	-0,23988	-1,00900
15:48	0,51196	0,23988	-1,00900
15:54	0,51196	-0,23988	-0,88284
16:00	0,51196	-0,23988	-1,00900
16:06	0,51196	-0,23988	-1,00900
16:12	0,51196	-0,23988	0,75672
16:18	0,51196	-0,23988	-0,88284
16:24	-0,51196	-0,23988	-0,75672
16:30	-0,51196	-0,23988	-0,88284
16:36	0,38397	-0,35982	0,75672
16:42	-0,38397	-0,35982	-0,75672
16:48	0,51196	-0,35982	-0,63060
16:54	-0,51196	-0,35982	-0,63060
17:00	0,51196	-0,35982	-0,63060
17:06	0,51196	-0,35982	0,63060
17:12	0,51196	-0,35982	0,63060
17:18	0,51196	-0,35982	-0,63060
17:24	-0,51196	-0,35982	-0,63060
17:30	0,51196	-0,35982	-0,63060
17:36	0,51196	-0,35982	-0,75672
17:42	0,51196	-0,35982	0,63060
17:48	0,51196	-0,35982	-0,63060
17:54	-0,51196	-0,23988	-0,75672
18:00	-0,51196	-0,23988	-0,75672
18:06	-0,51196	-0,23988	-0,75672
18:12	-0,63995	-0,23988	-0,63060
18:18	-0,51196	-0,23988	-0,63060
18:24	-0,51196	-0,23988	-0,63060
18:30	0,51196	-0,23988	-0,75672
18:36	-0,63995	-0,23988	-0,63060
18:42	0,63995	-0,23988	-0,75672
18:48	-0,63995	-0,23988	-0,63060
18:54	0,63995	-0,23988	-0,75672
19:00	0,63995	-0,23988	0,75672
19:06	-0,63995	-0,35982	-0,75672
19:12	0,63995	-0,35982	-0,88284
19:18	0,63995	-0,35982	-0,75672

Time (hh:mm)	DEP-1 Calculated Field, (V/m)	DEP-2 Calculated Field, (V/m)	DEP-3 Calculated Field, (V/m)
19:24	0,63995	-0,35982	-0,75672
19:30	-0,63995	-0,35982	-0,75672
19:36	0,63995	-0,35982	-0,75672
19:42	-0,63995	-0,35982	-0,88284
19:48	0,63995	-0,35982	-0,88284
19:54	0,63995	-0,35982	-0,88284
20:00	0,76794	-0,35982	-0,88284
20:06	-0,76794	-0,35982	-0,88284
20:12	-0,63995	-0,35982	-1,00900
20:18	-0,63995	-0,35982	-1,00900
20:24	0,63995	-0,35982	-0,88284
20:30	0,51196	-0,35982	-1,00900
20:36	0,63995	-0,35982	-1,00900
20:42	-0,63995	-0,35982	-1,00900
20:48	0,51196	-0,35982	-1,13510
20:54	0,63995	-0,35982	-1,00900
21:00	-0,51196	-0,35982	-1,13510
21:06	0,51196	-0,47976	-0,88284
21:12	-0,51196	-0,95952	-0,88284
21:18	-0,51196	-1,07950	-0,75672
21:24	-0,51196	-1,07950	-0,75672
21:30	-0,51196	-1,07950	0,88284
21:36	-0,51196	-1,07950	0,88284

Time (hh:mm)	DEP-1 Calculated Field, (V/m)	DEP-2 Calculated Field, (V/m)	DEP-3 Calculated Field, (V/m)
21:42	-0,51196	-1,07950	0,12612
21:48	-0,38397	-1,07950	-0,12612
21:54	-0,38397	-0,95952	-0,12612
22:00	-0,51196	-0,95952	-0,25224
22:06	0,38397	-0,95952	0,12612
22:12	-0,51196	-0,95952	0,12612
22:18	-0,38397	-0,95952	0,12612
22:24	-0,38397	-0,83958	-0,12612
22:30	0,38397	-0,83958	-0,50448
22:36	-0,51196	-0,83958	-0,12612
22:42	-0,63995	-0,83958	0,12612
22:48	0,63995	-0,83958	-0,12612
22:54	-0,63995	-0,83958	-0,12612
23:00	0,63995	-0,83958	0,12612
23:06	-0,76794	-0,83958	0,12612
23:12	0,76794	-0,83958	0,12612
23:18	1,02390	-0,95952	-0,12612
23:24	1,53590	-1,43930	0,00000
23:30	-1,40790	-2,39880	-1,13510
23:36	1,53590	-2,51870	2,77460
23:42	-1,27990	-2,39880	1,63960
23:48	1,66390	-2,27890	0,88284
23:54	2,04780	-2,39880	-1,13510

Annex 3. Information from DEP-sensors for 02/07/00

Time (hh:mm)	DEP-1 Calculated Field, (V/m)	DEP-2 Calculated Field, (V/m)	DEP-3 Calculated Field, (V/m)
0:00	1,66390	-0,71964	-0,12612
0:06	-1,79190	-0,71964	0,12612
0:12	-1,79190	-0,71964	-0,12612
0:18	-1,79190	-0,83958	-0,12612
0:24	-1,66390	-0,71964	0,12612
0:30	-1,53590	-0,71964	-0,12612
0:36	-1,53590	-0,71964	-0,12612
0:42	-1,53590	-0,71964	-0,12612
0:48	-1,53590	-0,71964	0,12612
0:54	-1,53590	-0,71964	0,12612
1:00	-1,53590	-0,71964	-0,12612
1:06	-1,53590	-0,71964	0,12612
1:12	-1,53590	-0,71964	0,12612
1:18	-1,40790	-0,71964	0,12612
1:24	-1,40790	-0,71964	0,12612
1:30	-1,40790	-0,71964	0,12612
1:36	-1,40790	-0,71964	0,12612
1:42	-1,40790	-0,71964	0,12612
1:48	-1,27990	-0,71964	0,12612
1:54	-1,02390	-0,71964	0,12612
2:00	-1,15190	-0,71964	0,12612
2:06	-0,89593	-0,71964	0,12612
2:12	-0,89593	-0,71964	0,12612
2:18	-0,89593	-0,71964	0,12612
2:24	-0,89593	-0,71964	0,12612
2:30	-0,89593	-0,71964	0,12612
2:36	-0,89593	-0,83958	0,12612
2:42	-0,89593	-0,83958	0,12612
2:48	0,89593	-0,83958	0,12612
2:54	-0,89593	-0,83958	0,12612
3:00	-0,89593	-0,83958	0,12612
3:06	-0,76794	-0,83958	0,12612
3:12	-0,89593	-0,83958	-0,12612
3:18	-0,89593	-0,83958	0,12612
3:24	-0,89593	-0,83958	0,12612
3:30	-0,89593	-0,83958	0,12612
3:36	-0,89593	-0,83958	0,12612
3:42	-0,89593	-0,71964	-0,12612
3:48	-0,89593	-0,71964	0,12612
3:54	-0,89593	-0,71964	0,12612
4:00	-0,89593	-0,71964	0,12612
4:06	-0,89593	-0,71964	0,12612
4:12	-1,02390	-0,71964	0,12612
4:18	-1,15190	-0,71964	-0,12612
4:24	-1,02390	-0,71964	0,12612
4:30	-1,02390	-0,71964	0,12612
4:36	-1,02390	-0,71964	0,12612
4:42	-1,02390	-0,71964	0,12612

Time (hh:mm)	DEP-1 Calculated Field, (V/m)	DEP-2 Calculated Field, (V/m)	DEP-3 Calculated Field, (V/m)
4:48	-1,02390	-0,59970	0,12612
4:54	-1,02390	-0,59970	0,12612
5:00	-1,02390	-0,59970	0,12612
5:06	-1,15190	-0,59970	-0,12612
5:12	-1,40790	-0,59970	-0,12612
5:18	-1,40790	-0,59970	0,12612
5:24	1,53590	-0,59970	0,12612
5:30	-1,53590	-0,71964	0,12612
5:36	-1,66390	-0,23988	-0,12612
5:42	1,66390	-0,11994	0,12612
5:48	1,66390	-0,11994	-0,12612
5:54	1,66390	0,00000	0,12612
6:00	1,66390	0,00000	-0,12612
6:06	1,66390	0,00000	0,12612
6:12	1,66390	0,00000	0,12612
6:18	-1,27990	0,00000	0,12612
6:24	-1,66390	0,00000	0,12612
6:30	1,66390	0,00000	-0,12612
6:36	-1,66390	0,00000	-0,12612
6:42	1,79190	0,11994	0,12612
6:48	1,66390	0,11994	-0,12612
6:54	-1,53590	0,11994	0,12612
7:00	1,53590	0,11994	-0,12612
7:06	-1,53590	0,11994	-0,12612
7:12	1,53590	0,11994	0,12612
7:18	-1,53590	0,11994	-0,12612
7:24	-1,66390	0,11994	0,12612
7:30	-1,66390	0,11994	0,12612
7:36	-1,66390	0,11994	0,12612
7:42	-1,79190	0,11994	0,12612
7:48	-1,79190	0,11994	0,12612
7:54	-1,79190	0,11994	0,12612
8:00	-1,79190	0,11994	0,12612
8:06	-1,79190	0,11994	0,12612
8:12	-1,79190	0,11994	-0,12612
8:18	-1,79190	0,11994	0,12612
8:24	-1,79190	0,11994	0,12612
8:30	-1,79190	0,11994	0,12612
8:36	-1,91980	0,11994	0,12612
8:42	-1,91980	0,11994	0,12612
8:48	-1,91980	0,11994	0,12612
8:54	-1,91980	0,11994	0,12612
9:00	-1,91980	0,11994	0,12612
9:06	-1,91980	0,11994	-0,12612
9:12	-1,91980	0,11994	0,12612
9:18	4,73560	0,59970	0,12612
9:24	6,01550	1,07950	0,00000
9:30	5,63160	1,19940	0,00000

Time (hh:mm)	DEP-1 Calculated Field, (V/m)	DEP-2 Calculated Field, (V/m)	DEP-3 Calculated Field, (V/m)
9:36	4,35170	1,07950	0,00000
9:42	2,04780	0,83958	0,00000
9:48	1,15190	0,59970	0,00000
9:54	1,53590	0,59970	0,00000
10:00	1,66390	0,59970	0,00000
10:06	1,91980	0,59970	0,00000
10:12	-2,68780	0,71964	0,00000
10:18	2,94380	0,71964	0,00000
10:24	2,81580	0,83958	0,00000
10:30	2,81580	0,83958	0,00000
10:36	2,68780	0,83958	0,00000
10:42	2,68780	0,71964	0,00000
10:48	-1,91980	0,71964	0,00000
10:54	-2,17580	0,23988	0,12612
11:00	-1,53590	0,71964	0,12612
11:06	2,04780	0,47976	-0,12612
11:12	-1,91980	0,47976	0,12612
11:18	-1,79190	0,47976	0,12612
11:24	1,66390	0,59970	0,25224
11:30	1,66390	0,59970	-0,25224
11:36	1,40790	0,59970	0,25224
11:42	-1,02390	0,59970	0,25224
11:48	1,15190	0,59970	0,25224
11:54	0,76794	0,59970	-0,25224
12:00	-0,89593	0,59970	0,25224
12:06	-0,76794	0,47976	-0,25224
12:12	0,38397	0,47976	-0,25224
12:18	0,76794	0,47976	0,25224
12:24	-0,76794	0,47976	1,00900
12:30	0,89593	0,23988	0,37836
12:36	0,76794	0,00000	-1,26120
12:42	0,63995	0,00000	-1,38730
12:48	0,51196	-0,11994	-0,37836
12:54	-0,38397	-0,11994	0,37836
13:00	-0,25598	-0,11994	0,37836
13:06	-0,12799	-0,11994	0,37836
13:12	-0,38397	-0,11994	-0,25224
13:18	-0,63995	-0,11994	0,25224
13:24	-0,76794	-0,11994	-1,13510
13:30	-0,38397	-0,11994	-1,13510
13:36	0,51196	-0,11994	-1,38730
13:42	-0,25598	-0,11994	1,51340
13:48	-0,38397	-0,11994	-1,63960
13:54	0,51196	-0,11994	-1,76570
14:00	-0,63995	-0,11994	1,76570
14:06	-0,63995	-0,11994	-1,51340
14:12	0,51196	-0,11994	-1,63960
14:18	0,63995	-0,11994	-1,38730
14:24	0,63995	-0,11994	-1,51340
14:30	0,63995	-0,11994	-1,51340

Time (hh:mm)	DEP-1 Calculated Field, (V/m)	DEP-2 Calculated Field, (V/m)	DEP-3 Calculated Field, (V/m)
14:36	-0,63995	-0,11994	-1,38730
14:42	-0,38397	-0,11994	-1,63960
14:48	-0,51196	-0,23988	-1,51340
14:54	0,51196	-0,23988	-1,26120
15:00	0,38397	-0,23988	-1,26120
15:06	-0,76794	-0,23988	-1,26120
15:12	0,63995	-0,23988	-1,26120
15:18	0,63995	-0,23988	-1,26120
15:24	-0,63995	-0,23988	-1,26120
15:30	-0,63995	-0,23988	-1,26120
15:36	-0,63995	-0,23988	-1,13510
15:42	-0,63995	-0,35982	-1,13510
15:48	-0,63995	-0,35982	-1,13510
15:54	0,38397	-0,35982	-1,13510
16:00	-0,51196	-0,35982	-1,00900
16:06	-0,51196	-0,35982	-1,00900
16:12	0,51196	-0,35982	-1,00900
16:18	0,51196	-0,35982	-1,00900
16:24	-0,51196	-0,35982	-1,00900
16:30	0,51196	-0,35982	-0,88284
16:36	-0,51196	-0,35982	-0,88284
16:42	0,51196	-0,35982	-0,88284
16:48	-0,51196	-0,35982	-0,88284
16:54	-0,51196	-0,35982	-0,88284
17:00	-0,51196	-0,35982	-0,88284
17:06	-0,51196	-0,35982	-0,88284
17:12	0,38397	-0,47976	-0,88284
17:18	0,51196	-0,47976	0,75672
17:24	-0,51196	-0,47976	-0,88284
17:30	-0,51196	-0,47976	-0,88284
17:36	-0,51196	-0,47976	0,75672
17:42	-0,51196	-0,47976	0,63060
17:48	-0,38397	-0,47976	-0,63060
17:54	-0,51196	-0,47976	-0,75672
18:00	-0,51196	-0,47976	-0,63060
18:06	-0,51196	-0,47976	-0,75672
18:12	0,38397	-0,35982	-0,63060
18:18	-0,38397	-0,35982	-0,63060
18:24	0,51196	-0,35982	-0,75672
18:30	0,38397	-0,35982	-0,75672
18:36	-0,38397	-0,35982	-0,63060
18:42	-0,51196	-0,35982	-0,63060
18:48	-0,51196	-0,35982	-0,63060
18:54	-0,51196	-0,35982	-0,63060
19:00	-0,51196	-0,35982	-0,75672
19:06	-0,51196	-0,35982	-0,63060
19:12	0,51196	-0,35982	-0,75672
19:18	0,51196	-0,35982	-0,75672
19:24	0,38397	-0,35982	-0,75672
19:30	0,38397	-0,35982	-0,88284

Time (hh:mm)	DEP-1 Calculated Field, (V/m)	DEP-2 Calculated Field, (V/m)	DEP-3 Calculated Field, (V/m)
19:36	-0,63995	-0,35982	-0,75672
19:42	0,63995	-0,35982	-0,75672
19:48	0,38397	-0,47976	-0,75672
19:54	0,63995	-0,47976	-0,75672
20:00	0,63995	-0,47976	-1,00900
20:06	0,63995	-0,47976	-1,00900
20:12	0,63995	-0,47976	-1,00900
20:18	-0,38397	-0,47976	-0,88284
20:24	0,51196	-0,47976	-1,00900
20:30	0,63995	-0,47976	-1,00900
20:36	-0,63995	-0,47976	-1,00900
20:42	-0,63995	-0,47976	1,00900
20:48	-0,51196	-0,47976	1,00900
20:54	-0,63995	-0,47976	-1,13510
21:00	-0,63995	-0,47976	-1,13510
21:06	-0,63995	-0,47976	-1,13510
21:12	-0,63995	-0,47976	-1,13510
21:18	-0,51196	-0,47976	-1,13510
21:24	-0,63995	-0,47976	-1,26120
21:30	-0,51196	-0,11994	-2,64850
21:36	-1,02390	-0,11994	-2,64850
21:42	0,89593	-0,47976	1,26120

Time (hh:mm)	DEP-1 Calculated Field, (V/m)	DEP-2 Calculated Field, (V/m)	DEP-3 Calculated Field, (V/m)
21:48	0,76794	-1,31930	-1,38730
21:54	-2,04780	-1,79910	0,50448
22:00	-2,43180	-1,43930	0,50448
22:06	-2,30380	-1,43930	-0,50448
22:12	2,55980	-1,31930	0,63060
22:18	2,55980	-1,31930	-0,50448
22:24	-3,45570	-1,31930	0,63060
22:30	-3,58370	-1,31930	-0,63060
22:36	-3,45570	-1,31930	-0,63060
22:42	-3,71170	-1,31930	0,50448
22:48	-3,58370	-1,31930	-1,51340
22:54	-3,71170	-1,31930	0,50448
23:00	-1,79190	-0,83958	0,25224
23:06	1,53590	-1,19940	0,25224
23:12	-0,51196	-0,59970	-0,12612
23:18	0,38397	-0,71964	0,12612
23:24	0,89593	-1,07950	0,25224
23:30	1,53590	-1,19940	-0,25224
23:36	-2,43180	-1,19940	-0,37836
23:42	-3,07180	-1,19940	0,50448
23:48	1,27990	-1,19940	-0,50448
23:54	-2,81580	-1,19940	-0,50448

Annex 4. Information from DEP-sensors for 08/07/00

Time (hh:mm)	DEP-1 Calculated Field, (V/m)	DEP-2 Calculated Field, (V/m)	DEP-3 Calculated Field, (V/m)
0:02	-1,02390	-1,31930	0,12612
0:08	-0,89593	-1,19940	0,12612
0:14	-0,89593	-1,19940	0,12612
0:20	-0,89593	-1,19940	0,37836
0:26	2,43180	-1,31930	-0,25224
0:32	2,43180	-1,31930	-0,25224
0:38	2,30380	-1,31930	0,25224
0:44	-0,76794	-0,71964	0,12612
0:50	-2,17580	-1,31930	0,50448
0:56	-2,04780	-1,31930	-0,50448
1:02	-1,91980	-1,31930	0,50448
1:08	0,76794	-0,59970	0,25224
1:14	-1,27990	-0,59970	0,12612
1:20	1,27990	-0,59970	0,12612
1:26	-1,15190	-0,59970	0,12612
1:32	-1,15190	-0,47976	0,12612
1:38	-1,15190	-0,47976	0,12612
1:44	-1,27990	-0,47976	0,12612
1:50	-1,15190	-0,47976	0,12612
1:56	1,53590	-0,59970	0,00000
2:02	-1,15190	-0,71964	0,00000
2:08	-1,15190	-0,59970	0,00000
2:14	-1,15190	-0,59970	0,00000
2:20	-1,15190	-0,59970	0,00000
2:26	-2,17580	-1,31930	-0,25224
2:32	-3,71170	-1,19940	0,37836
2:38	-3,58370	-1,19940	-0,37836
2:44	-1,15190	-0,35982	0,12612
2:50	1,02390	-0,35982	0,12612
2:56	-2,17580	-1,19940	0,63060
3:02	-2,04780	-1,19940	0,63060
3:08	-1,02390	-0,35982	0,25224
3:14	-0,89593	-0,35982	0,12612
3:20	-0,89593	-0,35982	0,12612
3:26	-0,89593	-0,35982	0,12612
3:32	-0,89593	-0,35982	0,00000
3:38	-0,89593	-0,35982	0,00000
3:44	-0,89593	-0,95952	0,00000
3:50	1,02390	-1,19940	0,12612
3:56	-1,53590	-1,31930	0,12612
4:02	-1,79190	-1,43930	-0,37836
4:08	-1,79190	-1,43930	-0,50448
4:14	-1,66390	-1,31930	0,25224
4:20	-1,40790	-1,31930	-0,12612
4:26	-1,27990	-1,19940	0,00000
4:32	-1,02390	-1,19940	0,00000
4:38	-1,02390	-1,07950	0,00000
4:44	-1,02390	-0,95952	0,00000

Time (hh:mm)	DEP-1 Calculated Field, (V/m)	DEP-2 Calculated Field, (V/m)	DEP-3 Calculated Field, (V/m)
4:50	-0,76794	-0,71964	0,00000
4:56	-0,51196	-0,47976	0,00000
5:02	-0,51196	-0,47976	0,00000
5:08	0,51196	-0,47976	0,00000
5:14	0,51196	-0,35982	0,00000
5:20	0,51196	-0,35982	0,00000
5:26	0,51196	-0,35982	0,00000
5:32	0,63995	-0,35982	0,00000
5:38	0,63995	-0,35982	0,00000
5:44	0,63995	-0,35982	0,00000
5:50	0,63995	-0,35982	0,00000
5:56	-0,63995	-0,35982	0,00000
6:02	-0,63995	-0,35982	0,00000
6:08	-0,63995	-0,35982	0,00000
6:14	-0,63995	-0,35982	0,00000
6:20	-0,63995	-0,35982	0,00000
6:26	0,51196	-0,35982	0,00000
6:32	0,51196	-0,35982	0,00000
6:38	-0,51196	-0,35982	0,00000
6:44	-0,51196	-0,35982	0,00000
6:50	-0,63995	-0,35982	0,00000
6:56	0,63995	-0,35982	0,00000
7:02	0,63995	-0,47976	0,00000
7:08	-0,76794	-0,35982	0,00000
7:14	-0,89593	0,00000	0,00000
7:20	-0,89593	0,00000	0,00000
7:26	0,89593	0,11994	0,00000
7:32	-0,89593	0,11994	0,00000
7:38	0,76794	0,11994	0,00000
7:44	-0,89593	0,11994	0,00000
7:50	-0,89593	0,23988	0,00000
7:56	-0,89593	0,23988	0,00000
8:02	0,89593	0,23988	0,00000
8:08	-0,89593	0,23988	0,00000
8:14	-0,89593	0,23988	0,00000
8:20	0,89593	0,23988	0,00000
8:26	-0,89593	0,23988	0,00000
8:32	-1,02390	0,23988	0,00000
8:38	-1,02390	0,23988	0,00000
8:44	-1,02390	0,23988	0,00000
8:50	-1,02390	0,35982	0,00000
8:56	-1,02390	0,35982	0,00000
9:02	-1,15190	0,35982	0,00000
9:08	-1,15190	0,35982	0,00000
9:14	-1,15190	0,35982	0,00000
9:20	-1,15190	0,35982	0,00000
9:26	-1,15190	0,35982	0,00000
9:32	-1,15190	0,35982	0,00000

Time (hh:mm)	DEP-1 Calculated Field, (V/m)	DEP-2 Calculated Field, (V/m)	DEP-3 Calculated Field, (V/m)
9:38	-1,15190	0,35982	0,00000
9:44	-1,15190	0,35982	0,00000
9:50	-1,15190	0,35982	0,12612
9:56	-1,15190	0,35982	0,12612
10:02	-1,27990	0,35982	0,12612
10:08	-1,15190	0,35982	0,12612
10:14	-1,15190	0,35982	0,12612
10:20	-1,15190	0,35982	0,12612
10:26	-1,15190	0,35982	0,12612
10:32	-1,15190	0,35982	-0,12612
10:38	-1,15190	0,35982	0,12612
10:44	-1,15190	0,35982	0,12612
10:50	-1,27990	0,35982	0,12612
10:56	-1,27990	0,35982	0,12612
11:02	-1,27990	0,23988	-0,12612
11:08	-1,40790	0,23988	0,12612
11:14	-1,27990	0,23988	-0,12612
11:20	-1,27990	0,23988	0,12612
11:26	-1,40790	0,23988	0,12612
11:32	-1,27990	0,23988	0,12612
11:38	-1,27990	0,23988	0,12612
11:44	-1,27990	0,11994	0,12612
11:50	-1,40790	0,11994	0,12612
11:56	-1,27990	0,11994	0,12612
12:02	-1,40790	0,11994	0,12612
12:08	-1,40790	0,11994	0,12612
12:14	-1,40790	0,11994	0,12612
12:20	-1,40790	0,11994	0,12612
12:26	-1,27990	0,11994	0,12612
12:32	-1,27990	0,11994	0,25224
12:38	-1,02390	0,00000	-0,25224
12:44	-1,15190	0,00000	0,25224
12:50	-1,15190	0,00000	-0,25224
12:56	-0,89593	0,00000	0,25224
13:02	-1,40790	0,00000	0,25224
13:08	1,02390	0,11994	-0,25224
13:14	0,63995	0,11994	-0,37836
13:20	1,15190	0,11994	0,37836
13:26	1,27990	0,11994	-1,13510
13:32	-1,40790	0,11994	-0,37836
13:38	-1,53590	0,11994	-0,37836
13:44	1,15190	0,11994	0,37836
13:50	1,15190	0,11994	0,25224
13:56	1,02390	0,11994	0,25224
14:02	1,40790	0,11994	0,25224
14:08	1,40790	0,11994	-0,25224
14:14	1,27990	0,11994	0,25224
14:20	1,27990	0,11994	0,88284
14:26	1,40790	0,11994	0,75672
14:32	1,53590	0,11994	-1,00900

Time (hh:mm)	DEP-1 Calculated Field, (V/m)	DEP-2 Calculated Field, (V/m)	DEP-3 Calculated Field, (V/m)
14:38	1,66390	0,11994	-1,13510
14:44	1,66390	0,11994	-1,13510
14:50	1,66390	0,11994	-1,13510
14:56	1,66390	0,11994	-1,13510
15:02	1,91980	0,11994	-1,13510
15:08	1,91980	0,11994	-1,26120
15:14	1,79190	0,11994	-1,26120
15:20	1,91980	0,11994	-1,26120
15:26	1,79190	0,11994	-1,13510
15:32	-1,53590	0,11994	-1,13510
15:38	1,79190	0,11994	-1,13510
15:44	1,66390	0,11994	-1,13510
15:50	-1,66390	0,11994	-1,26120
15:56	-1,66390	0,11994	-1,13510
16:02	1,66390	0,11994	-1,13510
16:08	1,66390	0,11994	-1,00900
16:14	1,53590	0,11994	-1,00900
16:20	1,53590	0,00000	-1,13510
16:26	1,66390	0,11994	-1,00900
16:32	1,53590	0,11994	-1,00900
16:38	-1,53590	0,11994	-1,00900
16:44	1,40790	0,11994	-1,00900
16:50	1,53590	0,11994	-0,88284
16:56	1,66390	0,11994	0,75672
17:02	-1,53590	0,11994	-0,88284
17:08	1,53590	-0,11994	-0,75672
17:14	1,53590	0,11994	-0,88284
17:20	1,53590	0,11994	-0,88284
17:26	1,79190	-0,23988	-0,75672
17:32	1,66390	-0,23988	-0,75672
17:38	1,66390	-0,23988	-0,75672
17:44	1,66390	-0,23988	-0,63060
17:50	1,66390	-0,23988	-0,63060
17:56	1,66390	-0,23988	-0,63060
18:02	-1,53590	-0,23988	-0,63060
18:08	-1,53590	-0,35982	-0,50448
18:14	1,66390	-0,35982	-0,50448
18:20	1,79190	-0,35982	-0,63060
18:26	1,79190	-0,35982	-0,50448
18:32	1,53590	-0,35982	-0,50448
18:38	1,40790	-0,35982	-0,63060
18:44	1,27990	-0,35982	-0,63060
18:50	1,53590	-0,47976	-0,63060
18:56	-1,27990	-0,47976	-0,50448
19:02	1,27990	-0,47976	-0,50448
19:08	1,40790	-0,47976	-0,63060
19:14	1,40790	-0,47976	-0,63060
19:20	1,15190	-0,47976	-0,63060
19:26	1,27990	-0,47976	-0,63060
19:32	1,15190	-0,47976	-0,63060

Time (hh:mm)	DEP-1 Calculated Field, (V/m)	DEP-2 Calculated Field, (V/m)	DEP-3 Calculated Field, (V/m)
19:38	1,15190	-0,47976	-0,50448
19:44	0,89593	-0,35982	-0,50448
19:50	1,15190	-0,35982	-0,50448
19:56	1,02390	-0,35982	0,50448
20:02	1,27990	-0,35982	-0,50448
20:08	-1,27990	-0,35982	-0,50448
20:14	1,15190	-0,35982	-0,50448
20:20	1,27990	-0,35982	-0,50448
20:26	1,15190	-0,35982	-0,50448
20:32	1,15190	-0,35982	-0,50448
20:38	1,15190	-0,35982	-0,50448
20:44	1,02390	-0,35982	-0,37836
20:50	1,40790	-0,35982	-0,37836
20:56	1,27990	-0,35982	-0,37836
21:02	1,15190	-0,35982	-0,37836
21:08	1,27990	-0,35982	-0,37836
21:14	1,27990	-0,35982	-0,50448
21:20	1,27990	-0,35982	-0,37836
21:26	1,27990	-0,35982	0,37836
21:32	-1,40790	-0,47976	-0,50448
21:38	1,27990	-0,47976	-0,37836
21:44	1,27990	-0,47976	-0,37836

Time (hh:mm)	DEP-1 Calculated Field, (V/m)	DEP-2 Calculated Field, (V/m)	DEP-3 Calculated Field, (V/m)
21:50	1,40790	-0,47976	-0,50448
21:56	-1,40790	-0,35982	-0,50448
22:02	1,40790	-0,47976	-0,50448
22:08	1,40790	-0,47976	-0,50448
22:14	1,53590	-0,47976	-0,50448
22:20	1,27990	-0,47976	0,50448
22:26	-1,53590	-0,47976	-0,63060
22:32	1,40790	-0,47976	-0,63060
22:38	1,53590	-0,47976	-0,63060
22:44	1,53590	-0,47976	0,63060
22:50	1,66390	-0,47976	-0,63060
22:56	-1,79190	-0,47976	-0,63060
23:02	1,91980	-0,47976	0,75672
23:08	1,79190	-0,47976	-0,75672
23:14	1,79190	-0,47976	-0,75672
23:20	1,79190	-0,59970	-0,75672
23:26	1,79190	-1,19940	-0,88284
23:32	1,53590	-1,19940	-0,63060
23:38	-1,66390	-1,19940	-0,50448
23:44	1,66390	-1,19940	0,75672
23:50	1,53590	-1,19940	0,37836
23:56	1,53590	-1,19940	0,12612

Annex 5. Information from DEP-sensors for 11/07/00

Time (hh:mm)	DEP-1 Calculated Field, (V/m)	DEP-2 Calculated Field, (V/m)	DEP-3 Calculated Field, (V/m)
0:02	-0,76794	-1,19940	-1,00900
0:08	0,89593	-1,19940	-0,88284
0:14	0,89593	-1,19940	-0,63060
0:20	0,89593	-1,19940	0,75672
0:26	-1,02390	-1,19940	0,88284
0:32	-0,76794	-1,07950	0,12612
0:38	-0,76794	-1,07950	0,12612
0:44	-1,15190	-1,07950	0,25224
0:50	-1,02390	-1,07950	0,12612
0:56	-0,89593	-0,95952	0,12612
1:02	0,89593	-0,95952	0,12612
1:08	0,89593	-0,95952	0,12612
1:14	-0,89593	-0,95952	-0,37836
1:20	1,02390	-0,95952	0,12612
1:26	-0,76794	-0,95952	-0,12612
1:32	0,76794	-0,83958	-0,12612
1:38	0,89593	-0,83958	0,12612
1:44	-0,89593	-0,83958	-0,12612
1:50	-0,89593	-0,71964	-0,12612
1:56	-0,76794	-0,71964	-0,12612
2:02	-1,15190	-0,59970	0,12612
2:08	1,66390	-0,59970	0,12612
2:14	-1,53590	-0,59970	-0,12612
2:20	-1,79190	-0,59970	-0,12612
2:26	1,91980	-0,59970	0,12612
2:32	1,91980	-0,59970	0,12612
2:38	1,79190	-0,47976	-0,12612
2:44	-1,66390	-0,47976	-0,12612
2:50	-1,66390	-0,47976	0,12612
2:56	-1,66390	-0,47976	0,12612
3:02	1,66390	-0,47976	0,12612
3:08	1,91980	-0,47976	0,12612
3:14	1,79190	-0,47976	0,12612
3:20	1,53590	-0,47976	0,12612
3:26	-1,27990	-0,47976	0,12612
3:32	-1,15190	-0,47976	0,12612
3:38	1,15190	-0,47976	0,12612
3:44	1,40790	-0,35982	-0,12612
3:50	-1,40790	-0,35982	0,12612
3:56	-1,27990	-0,35982	0,12612
4:02	-1,27990	-0,35982	0,12612
4:08	-1,27990	-0,35982	-0,12612
4:14	-1,15190	-0,35982	0,12612
4:20	-1,15190	-0,35982	-0,12612
4:26	-0,89593	-0,35982	0,12612
4:32	-1,15190	-0,35982	-0,12612
4:38	-1,15190	-0,35982	-0,12612
4:44	-0,89593	-0,35982	-0,12612

Time (hh:mm)	DEP-1 Calculated Field, (V/m)	DEP-2 Calculated Field, (V/m)	DEP-3 Calculated Field, (V/m)
4:50	-0,89593	-0,35982	0,12612
4:56	-0,89593	-0,35982	0,12612
5:02	-0,76794	-0,35982	-0,12612
5:08	-0,76794	-0,47976	0,12612
5:14	0,63995	-0,47976	0,12612
5:20	-0,76794	-0,47976	0,12612
5:26	0,63995	-0,47976	0,12612
5:32	-0,63995	-0,47976	-0,12612
5:38	0,76794	-0,47976	0,12612
5:44	0,63995	-0,47976	0,12612
5:50	-4,86360	-1,43930	0,37836
5:56	-6,27150	-1,31930	-0,37836
6:02	-4,86360	-1,43930	0,50448
6:08	-3,32770	-2,15890	0,63060
6:14	-2,68780	-2,39880	-0,75672
6:20	-2,55980	-2,39880	0,88284
6:26	-2,68780	-2,39880	-0,88284
6:32	-2,81580	-2,27890	-0,88284
6:38	-3,07180	-2,15890	-0,88284
6:44	-3,19970	-2,15890	0,88284
6:50	1,40790	-0,83958	0,50448
6:56	2,04780	-0,47976	-0,25224
7:02	1,15190	-1,43930	1,13510
7:08	1,27990	-1,31930	1,26120
7:14	1,27990	-1,31930	-1,38730
7:20	1,66390	-2,03900	-1,26120
7:26	1,91980	-2,15890	1,38730
7:32	-2,04780	-2,27890	1,26120
7:38	2,04780	-2,27890	-1,00900
7:44	-2,04780	-2,27890	0,88284
7:50	-2,17580	-2,27890	-1,00900
7:56	2,17580	-2,27890	0,75672
8:02	-1,15190	-0,35982	0,37836
8:08	1,15190	-0,23988	0,25224
8:14	1,15190	-0,11994	-0,25224
8:20	1,02390	-0,11994	0,25224
8:26	1,15190	-0,23988	0,25224
8:32	-1,02390	-0,23988	0,25224
8:38	1,15190	-0,23988	0,25224
8:44	1,02390	-0,23988	0,25224
8:50	1,02390	-0,11994	0,25224
8:56	-0,89593	-0,11994	-0,25224
9:02	1,02390	-0,11994	0,12612
9:08	-1,27990	-0,11994	0,12612
9:14	-1,40790	0,11994	-0,12612
9:20	-1,40790	-0,11994	-0,12612
9:26	-1,40790	-0,11994	0,12612
9:32	-1,40790	0,00000	0,12612

Time (hh:mm)	DEP-1 Calculated Field, (V/m)	DEP-2 Calculated Field, (V/m)	DEP-3 Calculated Field, (V/m)
9:38	-1,40790	0,00000	-0,12612
9:44	-1,53590	0,00000	-0,12612
9:50	-1,40790	-0,11994	0,12612
9:56	-1,40790	0,00000	-0,12612
10:02	-1,53590	0,00000	-0,25224
10:08	-1,66390	0,00000	0,12612
10:14	-1,40790	0,00000	0,12612
10:20	-1,66390	0,00000	0,12612
10:26	-1,53590	0,00000	0,12612
10:32	-1,66390	0,00000	0,12612
10:38	-1,40790	0,00000	0,12612
10:44	-1,66390	0,00000	-0,12612
10:50	-1,79190	0,00000	-0,12612
10:56	-1,66390	0,00000	-0,12612
11:02	-1,66390	0,00000	-0,12612
11:08	-1,66390	0,00000	0,12612
11:14	-1,66390	0,00000	-0,12612
11:20	-1,66390	0,00000	-0,12612
11:26	-1,79190	0,00000	0,12612
11:32	-1,66390	0,00000	0,12612
11:38	-1,79190	0,00000	0,12612
11:44	-1,79190	0,00000	0,12612
11:50	1,79190	0,00000	-0,12612
11:56	-1,66390	0,00000	0,12612
12:02	-1,27990	0,00000	0,12612
12:08	-1,66390	0,00000	0,12612
12:14	-1,79190	0,00000	-0,12612
12:20	-3,45570	-2,03900	0,00000
12:26	-3,96770	-2,15890	0,12612
12:32	1,91980	-0,47976	0,00000
12:38	1,91980	-0,23988	0,00000
12:44	1,91980	-0,23988	0,00000
12:50	-1,91980	-0,23988	-0,12612
12:56	1,79190	-0,23988	0,12612
13:02	-4,22370	-2,51870	0,00000
13:08	-4,47960	-2,75860	0,12612
13:14	-4,73560	-2,87860	0,12612
13:20	-5,11960	-2,75860	-0,25224
13:26	-5,50360	-2,75860	0,25224
13:32	-5,88750	-2,63870	0,37836
13:38	-6,14350	-2,63870	-0,25224
13:44	-6,78350	-2,63870	0,25224
13:50	-6,78350	-2,63870	-0,37836
13:56	-6,91150	-2,63870	0,25224
14:02	3,45570	-0,71964	0,25224
14:08	4,99160	-0,11994	0,25224
14:14	4,86360	0,00000	-0,12612
14:20	4,47960	0,00000	-0,12612
14:26	4,22370	0,11994	0,50448
14:32	4,47960	0,11994	0,50448

Time (hh:mm)	DEP-1 Calculated Field, (V/m)	DEP-2 Calculated Field, (V/m)	DEP-3 Calculated Field, (V/m)
14:38	4,22370	0,23988	0,50448
14:44	-4,35170	0,23988	0,50448
14:50	4,60760	0,11994	-0,12612
14:56	4,60760	0,11994	-0,12612
15:02	4,60760	0,11994	0,12612
15:08	4,60760	0,11994	-0,12612
15:14	4,22370	0,11994	0,25224
15:20	3,96770	0,11994	-0,63060
15:26	4,09570	0,11994	-0,75672
15:32	4,22370	0,11994	-0,88284
15:38	4,35170	0,11994	-1,00900
15:44	4,22370	0,11994	1,13510
15:50	4,22370	0,11994	-1,13510
15:56	3,83970	0,11994	-1,13510
16:02	3,71170	0,11994	-1,26120
16:08	-3,71170	0,11994	-1,26120
16:14	3,71170	0,11994	-1,26120
16:20	3,71170	0,11994	-1,26120
16:26	3,83970	0,11994	-1,26120
16:32	3,96770	0,11994	-1,13510
16:38	3,71170	0,11994	-1,26120
16:44	3,96770	0,11994	-1,13510
16:50	3,83970	0,11994	1,00900
16:56	3,83970	0,11994	-1,00900
17:02	3,71170	0,11994	-1,26120
17:08	3,71170	0,11994	-1,00900
17:14	3,83970	-0,11994	-1,00900
17:20	-3,83970	0,11994	-1,13510
17:26	3,58370	0,11994	-1,00900
17:32	3,71170	0,11994	-0,88284
17:38	-3,83970	0,11994	0,88284
17:44	3,83970	0,11994	-1,13510
17:50	3,45570	-0,83958	-2,90080
17:56	2,43180	-1,19940	-3,27910
18:02	1,53590	-1,67920	-3,27910
18:08	-1,27990	-2,15890	-2,77460
18:14	2,17580	-2,51870	-2,90080
18:20	-2,17580	-2,51870	-3,02690
18:26	-2,55980	-2,51870	-2,52240
18:32	-2,81580	-2,63870	-2,52240
18:38	-2,55980	-2,39880	-3,15300
18:44	3,07180	-2,39880	-3,27910
18:50	-3,07180	-1,19940	2,52240
18:56	3,45570	-0,35982	1,13510
19:02	-7,93540	-2,39880	0,63060
19:08	-8,06340	-2,51870	0,50448
19:14	-6,91150	-2,51870	-0,50448
19:20	7,03940	-2,51870	-0,37836
19:26	-6,78350	-2,51870	-0,37836
19:32	-7,42340	-2,51870	0,25224

Time (hh:mm)	DEP-1 Calculated Field, (V/m)	DEP-2 Calculated Field, (V/m)	DEP-3 Calculated Field, (V/m)
19:38	-7,03940	-2,51870	0,37836
19:44	-7,03940	-2,39880	-0,37836
19:50	-6,14350	-2,39880	-0,37836
19:56	-6,39950	-2,15890	-0,25224
20:02	2,17580	-0,23988	-0,25224
20:08	-2,30380	-0,11994	-0,37836
20:14	-2,04780	-0,23988	0,37836
20:20	-1,91980	-0,23988	0,37836
20:26	2,04780	-0,23988	0,50448
20:32	3,96770	-0,23988	-0,63060
20:38	4,35170	-0,23988	0,63060
20:44	4,47960	-0,23988	0,63060
20:50	4,60760	-0,23988	-0,63060
20:56	-4,47960	-0,23988	0,63060
21:02	4,60760	-0,23988	0,63060
21:08	4,47960	-0,23988	0,63060
21:14	5,24760	-0,23988	0,63060
21:20	4,99160	-0,23988	0,63060
21:26	4,99160	-0,23988	0,63060
21:32	4,60760	-0,23988	-0,50448
21:38	4,86360	-0,23988	0,50448
21:44	5,11960	-0,35982	-0,50448

Time (hh:mm)	DEP-1 Calculated Field, (V/m)	DEP-2 Calculated Field, (V/m)	DEP-3 Calculated Field, (V/m)
21:50	4,60760	-0,35982	-0,50448
21:56	4,60760	-0,35982	0,37836
22:02	4,47960	-0,35982	-0,37836
22:08	4,35170	-0,35982	0,37836
22:14	4,60760	-0,35982	0,37836
22:20	4,35170	-0,35982	-0,25224
22:26	4,35170	-0,35982	0,25224
22:32	4,60760	-0,35982	0,25224
22:38	4,47960	-0,35982	-0,25224
22:44	4,22370	-0,35982	0,12612
22:50	4,22370	-0,35982	0,12612
22:56	4,22370	-0,35982	-0,25224
23:02	4,35170	-0,35982	0,12612
23:08	4,35170	-0,47976	0,12612
23:14	3,96770	-0,47976	-0,25224
23:20	4,09570	-0,47976	-0,25224
23:26	-4,73560	-0,47976	0,25224
23:32	12,03110	-0,95952	-1,26120
23:38	12,03110	-0,83958	-1,13510
23:44	6,27150	-0,35982	-0,25224
23:50	3,96770	-1,31930	-2,01790
23:56	-8,70330	-1,31930	-1,89180

Annex 6. Information from DEP-sensors for 12/07/00

Time (hh:mm)	DEP-1 Calculated Field, (V/m)	DEP-2 Calculated Field, (V/m)	DEP-3 Calculated Field, (V/m)
0:02	-10,11120	-1,31930	-1,89180
0:08	-9,47130	-1,31930	-1,89180
0:14	-9,47130	-2,03900	-1,26120
0:20	-9,21530	-2,03900	1,00900
0:26	-9,21530	-1,43930	-0,37836
0:32	-9,47130	-1,91900	-0,25224
0:38	-10,75120	-1,91900	0,25224
0:44	-10,11120	-1,91900	0,37836
0:50	-10,11120	-1,07950	-0,25224
0:56	6,78350	-1,07950	0,12612
1:02	2,17580	-2,27890	1,00900
1:08	1,15190	-2,27890	1,00900
1:14	1,91980	-2,27890	1,00900
1:20	-2,30380	-2,15890	-2,64850
1:26	-4,73560	-2,15890	0,88284
1:32	3,07180	-2,15890	0,75672
1:38	2,43180	-1,55920	-0,88284
1:44	-2,17580	-2,15890	-0,75672
1:50	-2,17580	-2,15890	1,00900
1:56	1,91980	-2,15890	1,00900
2:02	3,96770	-0,95952	-1,26120
2:08	6,78350	-1,19940	-2,90080
2:14	-1,53590	-0,59970	-1,89180
2:20	3,58370	-0,59970	2,01790
2:26	4,22370	-0,59970	-2,01790
2:32	3,83970	-1,43930	3,90970
2:38	4,86360	-2,15890	5,92760
2:44	4,60760	-1,55920	5,67540
2:50	3,58370	-1,43930	-4,91870
2:56	3,07180	-1,43930	4,16200
3:02	3,07180	-1,91900	-4,28810
3:08	3,32770	-2,03900	5,04480
3:14	2,81580	-1,43930	-5,29700
3:20	2,43180	-1,91900	4,54030
3:26	2,17580	-1,43930	-4,66640
3:32	2,04780	-2,03900	-5,04480
3:38	2,04780	-2,27890	7,44110
3:44	2,04780	-2,27890	7,81940
3:50	2,43180	-2,27890	-9,08060
3:56	3,58370	-2,39880	12,61200
4:02	7,16740	-2,39880	-17,15230
4:08	6,52750	-2,39880	-17,15230
4:14	4,60760	-2,27890	-15,13440
4:20	2,94380	-2,27890	14,25160
4:26	2,17580	-2,27890	-13,36870
4:32	1,66390	-2,27890	12,61200
4:38	1,66390	-2,27890	12,61200
4:44	1,53590	-2,27890	-12,61200

Time (hh:mm)	DEP-1 Calculated Field, (V/m)	DEP-2 Calculated Field, (V/m)	DEP-3 Calculated Field, (V/m)
4:50	1,02390	-2,27890	-11,85530
4:56	1,02390	-2,27890	11,85530
5:02	-1,02390	-2,15890	-9,96350
5:08	1,02390	-2,03900	9,08060
5:14	1,02390	-1,43930	-4,79260
5:20	1,02390	-1,43930	4,79260
5:26	-0,89593	-1,43930	4,54030
5:32	0,89593	-1,91900	-5,54930
5:38	1,02390	-1,91900	-6,17990
5:44	1,02390	-1,91900	-7,06270
5:50	1,02390	-1,91900	7,31500
5:56	1,02390	-1,43930	-7,69330
6:02	1,02390	-1,43930	-7,94560
6:08	1,02390	-1,43930	7,44110
6:14	-1,02390	-1,31930	6,68440
6:20	0,89593	-1,31930	6,05380
6:26	0,89593	-1,31930	4,79260
6:32	0,89593	-1,31930	4,41420
6:38	0,76794	-1,19940	4,16200
6:44	0,89593	-1,19940	3,78360
6:50	-1,02390	-1,19940	3,15300
6:56	-0,89593	-1,19940	2,90080
7:02	1,02390	-1,19940	-3,15300
7:08	-1,02390	-1,19940	-2,27020
7:14	-0,89593	-1,07950	2,64850
7:20	0,89593	-0,95952	-2,39630
7:26	0,89593	-0,71964	-2,14400
7:32	1,02390	-0,59970	-1,89180
7:38	1,02390	-0,59970	1,89180
7:44	-1,02390	-0,71964	2,01790
7:50	1,02390	-0,83958	-2,01790
7:56	-1,15190	-0,83958	-2,01790
8:02	-1,15190	-0,59970	-2,01790
8:08	-1,27990	-0,59970	-2,01790
8:14	-1,27990	-0,35982	1,89180
8:20	-1,27990	-0,23988	-2,01790
8:26	1,27990	-0,11994	-1,89180
8:32	-1,15190	-0,11994	-1,63960
8:38	-1,27990	0,00000	-1,51340
8:44	-1,40790	0,00000	1,38730
8:50	-1,53590	0,00000	-1,51340
8:56	-1,53590	0,00000	-1,51340
9:02	-1,53590	0,11994	1,38730
9:08	-1,53590	-0,11994	-1,38730
9:14	-1,53590	0,00000	-1,26120
9:20	-1,53590	0,11994	-1,13510
9:26	-1,53590	0,11994	-1,00900
9:32	-1,40790	0,11994	1,13510

Time (hh:mm)	DEP-1 Calculated Field, (V/m)	DEP-2 Calculated Field, (V/m)	DEP-3 Calculated Field, (V/m)
9:38	-1,27990	0,11994	1,00900
9:44	-1,40790	0,11994	-0,88284
9:50	-1,27990	0,11994	0,88284
9:56	-1,40790	0,23988	0,88284
10:02	-1,27990	0,23988	-0,75672
10:08	-1,40790	0,23988	-0,88284
10:14	-1,40790	0,23988	-0,75672
10:20	-1,40790	0,23988	0,75672
10:26	-1,40790	0,23988	0,63060
10:32	-1,53590	0,23988	0,63060
10:38	-1,53590	0,23988	-0,63060
10:44	-1,53590	0,23988	0,50448
10:50	-1,53590	0,23988	0,50448
10:56	-1,53590	0,23988	-0,50448
11:02	-1,53590	0,23988	0,37836
11:08	-1,53590	0,23988	0,37836
11:14	-1,53590	0,23988	0,37836
11:20	-1,53590	0,23988	-0,37836
11:26	1,53590	0,23988	0,37836
11:32	-1,40790	0,23988	-0,37836
11:38	-1,40790	0,23988	-0,37836
11:44	-1,66390	0,23988	-0,37836
11:50	-1,66390	0,23988	0,37836
11:56	-1,40790	0,11994	0,37836
12:02	-1,79190	0,11994	-0,37836
12:08	-1,79190	0,11994	0,37836
12:14	-1,79190	0,11994	0,37836
12:20	-1,91980	0,11994	0,37836
12:26	-1,53590	0,11994	-0,37836
12:32	-1,91980	0,11994	0,37836
12:38	-1,91980	0,11994	0,37836
12:44	-1,79190	0,11994	-0,37836
12:50	-1,79190	0,00000	-0,37836
12:56	-1,66390	0,00000	0,37836
13:02	-1,79190	0,00000	-0,37836
13:08	-1,79190	0,00000	-0,37836
13:14	1,66390	0,00000	0,37836
13:20	1,66390	0,00000	0,37836
13:26	-1,66390	0,00000	0,37836
13:32	2,04780	0,11994	-0,37836
13:38	1,66390	0,00000	-0,37836
13:44	-1,40790	0,00000	0,37836
13:50	1,27990	0,00000	-0,37836
13:56	1,27990	0,00000	-0,37836
14:02	1,15190	0,00000	0,37836
14:08	-1,91980	0,00000	-0,37836
14:14	-2,17580	0,00000	0,25224
14:20	-1,02390	0,00000	-0,25224
14:26	1,02390	0,00000	0,25224
14:32	-1,79190	0,00000	-0,25224

Time (hh:mm)	DEP-1 Calculated Field, (V/m)	DEP-2 Calculated Field, (V/m)	DEP-3 Calculated Field, (V/m)
14:38	-2,30380	0,00000	0,12612
14:44	-1,79190	0,00000	-0,12612
14:50	-1,15190	0,11994	0,12612
14:56	-1,15190	0,11994	-0,12612
15:02	1,02390	0,11994	-0,12612
15:08	-1,02390	0,11994	0,12612
15:14	-1,40790	0,11994	0,12612
15:20	1,53590	0,11994	0,12612
15:26	-1,27990	0,11994	0,25224
15:32	1,15190	0,11994	-0,25224
15:38	1,40790	0,11994	0,37836
15:44	1,40790	0,11994	0,37836
15:50	1,66390	0,11994	0,37836
15:56	1,66390	0,11994	0,37836
16:02	1,40790	0,11994	0,25224
16:08	1,40790	0,11994	0,25224
16:14	1,40790	0,11994	0,37836
16:20	1,27990	0,11994	-0,37836
16:26	-1,66390	0,11994	-0,37836
16:32	-1,27990	0,11994	0,37836
16:38	1,27990	0,11994	-0,37836
16:44	-1,66390	0,11994	-0,37836
16:50	1,27990	0,11994	0,37836
16:56	1,40790	0,11994	0,37836
17:02	1,27990	0,11994	0,37836
17:08	-1,02390	0,11994	-0,37836
17:14	1,15190	0,11994	0,37836
17:20	1,53590	0,11994	0,25224
17:26	1,15190	0,11994	-0,25224
17:32	1,27990	0,11994	-0,25224
17:38	1,40790	0,11994	-0,25224
17:44	1,40790	0,11994	-0,25224
17:50	1,40790	0,11994	-0,25224
17:56	1,66390	0,11994	-0,25224
18:02	-1,66390	-0,11994	-0,12612
18:08	1,40790	0,23988	-0,12612
18:14	1,40790	0,23988	-0,12612
18:20	-1,40790	-0,23988	-0,25224
18:26	-1,27990	-0,23988	-0,12612
18:32	1,40790	-0,23988	-0,25224
18:38	-1,27990	-0,23988	-0,25224
18:44	-1,15190	-0,23988	-0,25224
18:50	-1,53590	-0,23988	0,25224
18:56	-1,27990	-0,35982	-0,37836
19:02	1,27990	-0,35982	0,37836
19:08	1,27990	-0,35982	0,50448
19:14	1,40790	-0,35982	-0,50448
19:20	1,27990	-0,35982	-0,50448
19:26	1,27990	-0,35982	-0,63060
19:32	-1,27990	-0,35982	-0,63060

Time (hh:mm)	DEP-1 Calculated Field, (V/m)	DEP-2 Calculated Field, (V/m)	DEP-3 Calculated Field, (V/m)
19:38	1,40790	-0,35982	0,63060
19:44	1,40790	-0,47976	0,75672
19:50	-1,27990	-0,47976	0,75672
19:56	1,40790	-0,47976	0,75672
20:02	-1,27990	-0,47976	-0,88284
20:08	1,40790	-0,47976	-0,88284
20:14	1,40790	-0,47976	-0,88284
20:20	1,40790	-0,47976	-0,88284
20:26	1,15190	-0,59970	0,88284
20:32	-1,27990	-0,47976	0,88284
20:38	1,40790	-0,47976	0,88284
20:44	-1,27990	-0,47976	0,88284
20:50	1,40790	-0,47976	0,88284
20:56	1,40790	-0,47976	0,88284
21:02	-1,27990	-0,35982	0,88284
21:08	1,40790	-0,35982	0,88284
21:14	1,53590	-0,35982	0,88284
21:20	1,27990	-0,35982	-0,75672
21:26	1,27990	-0,35982	-0,88284
21:32	1,27990	-0,35982	-0,75672
21:38	1,27990	-0,35982	-0,75672
21:44	-1,40790	-0,35982	-0,75672

Time (hh:mm)	DEP-1 Calculated Field, (V/m)	DEP-2 Calculated Field, (V/m)	DEP-3 Calculated Field, (V/m)
21:50	-1,40790	-0,35982	-0,63060
21:56	1,27990	-0,35982	0,63060
22:02	-1,27990	-0,35982	0,63060
22:08	-1,40790	-0,35982	0,63060
22:14	1,40790	-0,47976	-0,63060
22:20	1,40790	-0,47976	-0,50448
22:26	1,40790	-0,47976	0,50448
22:32	1,40790	-0,47976	0,50448
22:38	-1,27990	-0,47976	0,50448
22:44	1,40790	-0,47976	0,50448
22:50	1,40790	-0,47976	0,37836
22:56	1,40790	-0,47976	-0,37836
23:02	-1,27990	-0,47976	-0,37836
23:08	1,40790	-0,47976	-0,37836
23:14	-1,40790	-0,47976	0,37836
23:20	1,27990	-0,47976	-0,25224
23:26	1,40790	-0,59970	-0,37836
23:32	1,27990	-0,59970	-0,25224
23:38	1,40790	-0,47976	0,25224
23:44	1,27990	-0,47976	-0,25224
23:50	1,27990	-0,59970	-0,25224
23:56	1,27990	-0,59970	-0,37836

Annex 7. Information from DEP-sensors for 16/07/00

Time (hh:mm)	DEP-1 Calculated Field, (V/m)	DEP-2 Calculated Field, (V/m)	DEP-3 Calculated Field, (V/m)
0:02	-1,15190	-0,47976	-0,75672
0:08	-1,15190	-0,47976	-0,50448
0:14	1,15190	-0,47976	-0,50448
0:20	-1,02390	-0,47976	-0,63060
0:26	-1,02390	-0,47976	-0,63060
0:32	-0,89593	-0,47976	0,63060
0:38	-1,02390	-0,35982	-0,50448
0:44	-0,89593	-0,47976	-0,75672
0:50	-1,02390	-0,47976	-0,63060
0:56	1,02390	-0,47976	0,75672
1:02	-1,02390	-0,35982	-0,63060
1:08	-1,02390	-0,35982	-0,75672
1:14	1,02390	-0,35982	-0,63060
1:20	-1,02390	-1,19940	-0,75672
1:26	-1,02390	-1,19940	-0,88284
1:32	-1,27990	-1,19940	-1,00900
1:38	-1,27990	-1,19940	-0,88284
1:44	1,53590	-1,31930	1,63960
1:50	-1,15190	-1,07950	0,88284
1:56	-1,27990	-1,19940	-0,25224
2:02	-1,40790	-1,07950	-0,25224
2:08	-1,27990	-1,07950	0,25224
2:14	-1,15190	-1,07950	0,25224
2:20	1,27990	-1,07950	-0,12612
2:26	1,15190	-0,95952	0,12612
2:32	1,15190	-0,95952	-0,12612
2:38	1,15190	-0,95952	-0,12612
2:44	1,27990	-0,95952	0,12612
2:50	1,15190	-0,83958	0,12612
2:56	0,89593	-0,83958	-0,12612
3:02	-1,02390	-0,83958	0,12612
3:08	-0,76794	-0,83958	0,12612
3:14	1,27990	-0,71964	0,12612
3:20	1,02390	-0,71964	-0,12612
3:26	-1,15190	-0,71964	-0,12612
3:32	-1,53590	-0,59970	0,12612
3:38	-1,91980	-0,59970	-0,12612
3:44	1,91980	-0,59970	0,12612
3:50	3,32770	-0,59970	0,12612
3:56	-2,04780	-0,59970	-0,12612
4:02	1,91980	-0,59970	0,12612
4:08	-1,79190	-0,59970	0,25224
4:14	1,79190	-0,59970	0,25224
4:20	1,79190	-0,59970	0,12612
4:26	-2,04780	-0,59970	-0,25224
4:32	-1,79190	-0,47976	-0,12612
4:38	-2,04780	-0,47976	0,12612

Time (hh:mm)	DEP-1 Calculated Field, (V/m)	DEP-2 Calculated Field, (V/m)	DEP-3 Calculated Field, (V/m)
4:44	-2,04780	-0,47976	-0,12612
4:50	2,17580	-0,47976	-0,12612
4:56	1,66390	-0,47976	-0,25224
5:02	1,53590	-0,47976	0,25224
5:08	1,66390	-0,47976	0,12612
5:14	1,79190	-0,47976	0,12612
5:20	-1,66390	-0,47976	0,12612
5:26	-1,66390	-0,47976	0,12612
5:32	-1,53590	-0,47976	0,12612
5:38	-1,40790	-0,47976	-0,12612
5:44	-1,15190	-0,47976	-0,12612
5:50	-1,15190	-0,47976	0,12612
5:56	-1,15190	-0,47976	0,12612
6:02	-1,15190	-0,47976	0,12612
6:08	1,02390	-0,47976	0,12612
6:14	-1,02390	-0,47976	0,12612
6:20	1,02390	-0,47976	-0,12612
6:26	-1,02390	-0,47976	0,12612
6:32	0,89593	-0,47976	0,12612
6:38	-0,89593	-0,47976	0,12612
6:44	-0,89593	-0,47976	0,12612
6:50	0,89593	-0,47976	-0,12612
6:56	0,89593	-0,47976	0,12612
7:02	1,02390	-0,47976	0,12612
7:08	1,02390	-0,47976	0,12612
7:14	1,02390	-0,47976	0,12612
7:20	1,02390	-0,59970	-0,12612
7:26	1,02390	-0,47976	-0,12612
7:32	0,89593	-0,47976	-0,25224
7:38	-0,89593	-0,59970	0,25224
7:44	-0,89593	-0,59970	-0,25224
7:50	-1,02390	-0,47976	0,25224
7:56	-1,02390	-0,59970	-0,25224
8:02	-1,02390	-0,47976	0,25224
8:08	-0,89593	-0,47976	-0,12612
8:14	-1,02390	-0,47976	-0,12612
8:20	-0,89593	-0,47976	0,12612
8:26	-0,89593	-0,47976	0,12612
8:32	-1,02390	-0,47976	-0,12612
8:38	1,02390	-0,47976	0,12612
8:44	1,02390	-0,47976	0,12612
8:50	1,15190	-0,47976	0,12612
8:56	1,27990	-0,47976	-0,12612
9:02	1,53590	-0,47976	0,12612
9:08	1,53590	-0,47976	0,12612
9:14	-1,53590	-0,47976	-0,12612
9:20	1,53590	-0,23988	0,12612

Time (hh:mm)	DEP-1 Calculated Field, (V/m)	DEP-2 Calculated Field, (V/m)	DEP-3 Calculated Field, (V/m)
9:26	-1,53590	-0,11994	-0,12612
9:32	-1,66390	-0,11994	0,12612
9:38	-1,66390	0,00000	0,12612
9:44	-1,66390	0,00000	-0,12612
9:50	-1,79190	0,00000	0,12612
9:56	-1,79190	0,00000	0,12612
10:02	1,79190	0,00000	-0,12612
10:08	-1,79190	0,00000	-0,12612
10:14	-1,79190	0,00000	0,12612
10:20	-1,79190	0,00000	0,12612
10:26	-1,91980	0,00000	-0,12612
10:32	-1,91980	0,00000	-0,12612
10:38	-1,91980	0,00000	0,12612
10:44	-1,53590	0,00000	-0,12612
10:50	-1,91980	0,00000	0,12612
10:56	-2,04780	0,00000	0,12612
11:02	-2,04780	0,00000	0,12612
11:08	-2,04780	0,00000	0,12612
11:14	-2,04780	0,00000	0,12612
11:20	-2,04780	0,00000	-0,12612
11:26	2,17580	0,00000	0,12612
11:32	-2,17580	0,00000	0,12612
11:38	-2,17580	0,00000	0,12612
11:44	-2,30380	0,00000	0,12612
11:50	-2,17580	0,00000	0,12612
11:56	-2,17580	0,00000	0,12612
12:02	-2,30380	0,00000	-0,12612
12:08	-2,30380	0,00000	0,12612
12:14	-2,30380	0,00000	-0,12612
12:20	-2,30380	0,00000	-0,12612
12:26	-2,30380	0,00000	-0,12612
12:32	-2,17580	0,00000	0,12612
12:38	-2,30380	0,00000	-0,12612
12:44	-2,30380	0,00000	0,12612
12:50	-2,17580	0,00000	-0,12612
12:56	-2,30380	0,00000	0,12612
13:02	-2,30380	0,00000	0,12612
13:08	-2,30380	0,00000	-0,12612
13:14	-2,30380	0,00000	0,12612
13:20	-2,30380	0,00000	0,12612
13:26	-2,30380	0,00000	-0,12612
13:32	-2,30380	0,00000	0,12612
13:38	-2,30380	0,00000	0,12612
13:44	-2,30380	0,00000	-0,12612
13:50	-2,17580	0,00000	0,12612
13:56	-2,04780	0,00000	0,12612
14:02	-2,04780	0,00000	-0,12612
14:08	-2,04780	0,00000	-0,12612
14:14	-2,04780	-0,11994	-0,12612
14:20	2,04780	-0,11994	-0,12612

Time (hh:mm)	DEP-1 Calculated Field, (V/m)	DEP-2 Calculated Field, (V/m)	DEP-3 Calculated Field, (V/m)
14:26	2,04780	-0,11994	0,12612
14:32	1,91980	-0,11994	0,12612
14:38	1,91980	-0,11994	0,12612
14:44	2,04780	-0,11994	0,37836
14:50	1,91980	-0,11994	-0,37836
14:56	1,79190	-0,11994	-0,37836
15:02	1,53590	-0,11994	-0,37836
15:08	1,53590	-0,11994	0,37836
15:14	-2,17580	-0,11994	0,37836
15:20	2,04780	-0,11994	0,37836
15:26	-1,27990	-0,11994	0,37836
15:32	0,89593	-0,11994	0,37836
15:38	-1,27990	-0,11994	0,37836
15:44	-2,94380	-0,11994	0,37836
15:50	-2,04780	-0,11994	0,37836
15:56	1,15190	0,11994	0,25224
16:02	1,02390	0,11994	0,25224
16:08	-0,89593	0,11994	0,25224
16:14	1,02390	0,11994	-0,25224
16:20	1,40790	0,11994	-0,25224
16:26	1,40790	0,11994	-0,37836
16:32	-1,79190	0,11994	-0,75672
16:38	-1,66390	0,11994	-0,88284
16:44	1,53590	0,11994	-1,00900
16:50	1,40790	0,11994	-1,00900
16:56	-1,53590	0,11994	-1,13510
17:02	-1,53590	0,11994	-1,13510
17:08	-1,53590	0,11994	-1,26120
17:14	1,40790	0,11994	-1,26120
17:20	1,27990	0,11994	-1,26120
17:26	1,53590	0,11994	-1,26120
17:32	1,66390	0,11994	-1,26120
17:38	-1,40790	0,11994	-1,26120
17:44	-1,40790	0,11994	-1,26120
17:50	-1,66390	0,11994	-1,13510
17:56	-1,53590	0,11994	-1,13510
18:02	-1,53590	0,11994	-1,26120
18:08	-1,40790	0,11994	-1,26120
18:14	-1,66390	0,11994	-1,13510
18:20	-1,66390	0,11994	-1,13510
18:26	1,40790	0,11994	-1,13510
18:32	1,66390	0,11994	-1,00900
18:38	1,66390	0,11994	-1,00900
18:44	-1,66390	0,23988	-1,13510
18:50	1,40790	-0,23988	-0,88284
18:56	-1,66390	-0,23988	-0,88284
19:02	-1,66390	-0,23988	-0,88284
19:08	-1,91980	-0,23988	-0,88284
19:14	-1,79190	-0,23988	-0,88284
19:20	1,53590	-0,23988	-0,75672

Time (hh:mm)	DEP-1 Calculated Field, (V/m)	DEP-2 Calculated Field, (V/m)	DEP-3 Calculated Field, (V/m)
19:26	1,40790	-0,35982	-0,75672
19:32	-1,53590	-0,35982	-0,75672
19:38	1,27990	-0,35982	-0,63060
19:44	-1,27990	-0,35982	-0,75672
19:50	-1,53590	-0,35982	-0,63060
19:56	1,27990	-0,35982	-0,63060
20:02	-5,88750	-1,79910	-2,01790
20:08	-9,47130	-2,63870	-1,76570
20:14	-10,11120	-2,63870	-1,63960
20:20	-10,11120	-2,63870	-1,63960
20:26	-10,11120	-2,51870	-1,63960
20:32	-10,11120	-2,51870	-1,63960
20:38	-10,11120	-2,39880	-1,63960
20:44	-9,21530	-2,15890	-1,63960
20:50	-9,47130	-1,91900	-1,76570
20:56	-8,95930	-1,79910	-1,63960
21:02	-8,95930	-1,67920	-1,63960
21:08	-9,21530	-1,55920	-1,63960
21:14	-8,57530	-1,43930	1,63960
21:20	8,19140	-1,31930	-1,76570
21:26	-8,19140	-1,31930	-1,63960
21:32	-8,44730	-1,31930	-1,63960
21:38	-8,57530	-1,31930	-1,51340

Time (hh:mm)	DEP-1 Calculated Field, (V/m)	DEP-2 Calculated Field, (V/m)	DEP-3 Calculated Field, (V/m)
21:44	-8,44730	-1,31930	-1,38730
21:50	-8,57530	-1,31930	-1,38730
21:56	-7,55140	-1,31930	-1,26120
22:02	-7,03940	-1,19940	-1,26120
22:08	-5,88750	-1,19940	1,26120
22:14	5,50360	-1,19940	1,26120
22:20	-5,11960	-1,19940	-1,13510
22:26	-5,11960	-1,19940	1,26120
22:32	5,11960	-1,19940	1,13510
22:38	-4,99160	-1,19940	-1,13510
22:44	4,73560	-1,19940	-1,26120
22:50	-4,60760	-1,19940	1,13510
22:56	-4,60760	-1,19940	-1,00900
23:02	-4,73560	-1,19940	-1,26120
23:08	4,47960	-1,19940	-1,00900
23:14	-5,88750	-1,19940	1,13510
23:20	-4,73560	-1,07950	-1,13510
23:26	4,73560	-1,07950	-1,26120
23:32	-7,93540	-1,07950	-1,26120
23:38	-5,75950	-0,95952	-1,13510
23:44	-4,86360	-0,95952	-1,00900
23:50	-5,50360	-0,95952	-1,13510
23:56	-6,52750	-0,83958	-1,13510

Annex 8. Information from DEP-sensors for 17/07/00

Time (hh:mm)	DEP-1 Calculated Field, (V/m)	DEP-2 Calculated Field, (V/m)	DEP-3 Calculated Field, (V/m)
0:03	-7,03940	-0,83958	-1,00900
0:09	5,50360	-0,83958	-1,26120
0:15	6,52750	-0,83958	-0,37836
0:21	-9,47130	-0,71964	-0,37836
0:27	-8,06340	-0,71964	0,37836
0:33	-7,03940	-0,71964	-0,37836
0:39	-8,31940	-0,71964	0,37836
0:45	9,21530	-0,71964	0,37836
0:51	-6,14350	-0,71964	0,37836
0:57	-8,31940	-0,71964	0,37836
1:03	-5,75950	-0,95952	-0,37836
1:09	-7,67940	-1,79910	0,37836
1:15	7,67940	-1,79910	-0,37836
1:21	-10,75120	-1,43930	-0,37836
1:27	-10,75120	-1,79910	0,37836
1:33	-10,11120	-1,79910	-1,51340
1:39	-10,11120	-1,43930	0,37836
1:45	-10,75120	-1,79910	-0,50448
1:51	-10,11120	-1,79910	2,01790
1:57	-10,11120	-1,91900	2,01790
2:03	-10,11120	-1,43930	1,51340
2:09	-10,11120	-1,91900	0,37836
2:15	-10,11120	-1,43930	0,25224
2:21	-10,75120	-1,43930	-0,25224
2:27	-10,75120	-1,91900	0,25224
2:33	-10,11120	-1,43930	-0,37836
2:39	-10,11120	-1,91900	-0,37836
2:45	-10,75120	-1,91900	0,37836
2:51	-10,11120	-1,43930	-0,37836
2:57	-10,11120	-1,43930	-0,37836
3:03	-11,39110	-1,91900	-0,37836
3:09	-4,35170	-1,43930	0,37836
3:15	-7,29540	-1,91900	-0,37836
3:21	-6,39950	-1,91900	-0,37836
3:27	-7,03940	-1,43930	-0,37836
3:33	-6,91150	-1,91900	-0,37836
3:39	-6,39950	-1,79910	0,37836
3:45	-6,01550	-1,43930	-0,37836
3:51	-6,01550	-1,43930	0,37836
3:57	-6,01550	-1,43930	0,37836
4:03	-6,01550	-1,43930	-1,13510
4:09	-6,14350	-1,79910	1,00900
4:15	-6,39950	-1,43930	1,00900
4:21	-6,39950	-1,31930	1,13510
4:27	-6,52750	-1,31930	1,13510
4:33	-6,65550	-1,31930	-1,13510
4:39	-6,78350	-1,31930	-1,13510

Time (hh:mm)	DEP-1 Calculated Field, (V/m)	DEP-2 Calculated Field, (V/m)	DEP-3 Calculated Field, (V/m)
4:45	-6,52750	-1,31930	-1,38730
4:51	-6,39950	-1,31930	-1,13510
4:57	-6,27150	-1,31930	-1,38730
5:03	-6,14350	-1,31930	-1,13510
5:09	-6,14350	-1,31930	-0,88284
5:15	-6,01550	-1,31930	-0,75672
5:21	-6,01550	-1,31930	-1,00900
5:27	-5,37560	-1,31930	0,50448
5:33	-5,50360	-1,31930	-1,26120
5:39	-5,50360	-1,31930	-0,37836
5:45	-5,37560	-1,31930	0,37836
5:51	-5,37560	-1,31930	-0,50448
5:57	-5,50360	-1,31930	0,50448
6:03	-5,50360	-1,31930	-0,50448
6:09	-5,63160	-1,31930	0,50448
6:15	-5,50360	-1,31930	0,50448
6:21	-5,50360	-1,31930	-0,50448
6:27	-5,50360	-1,19940	0,50448
6:33	-5,37560	-1,19940	0,63060
6:39	-5,11960	-1,19940	-0,50448
6:45	-5,11960	-1,19940	0,50448
6:51	-5,11960	-1,19940	0,25224
6:57	-5,11960	-1,19940	-0,50448
7:03	-5,11960	-1,19940	0,50448
7:09	-4,99160	-1,19940	0,50448
7:15	-4,99160	-1,19940	0,50448
7:21	-4,99160	-1,19940	-0,50448
7:27	-5,11960	-1,19940	-0,63060
7:33	-4,99160	-1,19940	-0,63060
7:39	-4,99160	-1,19940	0,50448
7:45	-4,99160	-1,19940	0,63060
7:51	-4,99160	-1,19940	0,63060
7:57	-4,99160	-1,19940	0,50448
8:03	-4,99160	-1,19940	-0,63060
8:09	-4,99160	-1,19940	-0,63060
8:15	-4,86360	-1,19940	-0,63060
8:21	-4,99160	-1,19940	0,63060
8:27	-4,99160	-1,19940	0,63060
8:33	-4,99160	-1,19940	-0,63060
8:39	-4,99160	-1,19940	-0,50448
8:45	-4,99160	-1,19940	0,63060
8:51	-4,99160	-1,19940	-0,50448
8:57	-4,86360	-1,19940	-0,50448
9:03	-4,86360	-1,19940	0,50448
9:09	-4,86360	-1,19940	0,50448
9:15	-4,73560	-1,19940	-0,63060
9:21	-4,73560	-1,31930	0,50448

Time (hh:mm)	DEP-1 Calculated Field, (V/m)	DEP-2 Calculated Field, (V/m)	DEP-3 Calculated Field, (V/m)
9:27	-4,60760	-1,31930	-0,50448
9:33	-4,60760	-1,67920	0,50448
9:39	-4,47960	-1,79910	-0,50448
9:45	-4,47960	-1,91900	0,50448
9:51	-4,35170	-2,15890	-0,50448
9:57	-4,22370	-2,27890	-0,50448
10:03	-4,22370	-2,39880	-0,50448
10:09	-4,22370	-2,39880	0,50448
10:15	-4,09570	-2,51870	0,50448
10:21	-4,09570	-2,51870	0,50448
10:27	-4,09570	-2,51870	0,50448
10:33	-4,09570	-2,51870	0,50448
10:39	-4,09570	-2,51870	-0,50448
10:45	-4,09570	-2,51870	0,50448
10:51	-4,22370	-2,51870	-0,50448
10:57	-4,22370	-2,51870	-0,50448
11:03	-4,22370	-2,51870	0,50448
11:09	-4,35170	-2,51870	0,50448
11:15	-4,35170	-2,51870	0,50448
11:21	-4,47960	-2,51870	0,50448
11:27	-4,47960	-2,51870	-0,50448
11:33	-4,35170	-2,39880	-0,50448
11:39	-4,22370	-2,39880	0,50448
11:45	-4,22370	-2,39880	-0,50448
11:51	-4,22370	-2,39880	-0,50448
11:57	-4,22370	-2,39880	0,50448
12:03	-4,35170	-2,27890	-0,37836
12:09	-4,35170	-2,27890	0,50448
12:15	-4,35170	-2,27890	-0,50448
12:21	-4,47960	-2,27890	0,37836
12:27	-4,47960	-2,15890	-0,50448
12:33	-4,47960	-2,03900	0,37836
12:39	-4,47960	-2,03900	0,50448
12:45	-4,47960	-2,03900	-0,37836
12:51	-4,22370	-1,91900	-0,50448
12:57	-4,47960	-1,91900	-0,37836
13:03	-4,60760	-1,91900	0,50448
13:09	-4,60760	-1,91900	0,50448
13:15	-4,60760	-1,91900	0,37836
13:21	-4,60760	-1,91900	-0,37836
13:27	-4,60760	-1,79910	-0,37836
13:33	-4,73560	-1,79910	-0,50448
13:39	-4,60760	-1,79910	-0,37836
13:45	-4,73560	-1,79910	0,50448
13:51	-4,47960	-1,67920	0,50448
13:57	-4,47960	-1,67920	0,37836
14:03	-4,47960	-1,67920	0,50448
14:09	-4,47960	-1,67920	0,37836
14:15	-4,47960	-1,67920	0,50448
14:21	-4,47960	-1,67920	0,37836

Time (hh:mm)	DEP-1 Calculated Field, (V/m)	DEP-2 Calculated Field, (V/m)	DEP-3 Calculated Field, (V/m)
14:27	-4,60760	-1,67920	0,37836
14:33	-4,73560	-1,67920	0,37836
14:39	-4,86360	-1,55920	-0,37836
14:45	-4,99160	-1,55920	-0,37836
14:51	-4,99160	-1,55920	0,50448
14:57	-5,11960	-1,43930	-0,50448
15:03	-5,24760	-1,31930	-0,37836
15:09	-5,37560	-1,55920	0,37836
15:15	-5,50360	-1,55920	0,37836
15:21	-5,75950	-1,31930	-0,37836
15:27	-5,75950	-1,31930	-0,50448
15:33	-6,01550	-1,31930	-0,50448
15:39	-6,27150	-1,31930	-0,50448
15:45	-6,52750	-1,31930	-0,50448
15:51	-6,65550	-1,31930	-0,50448
15:57	-7,03940	-1,31930	-0,50448
16:03	-7,16740	-1,43930	-0,50448
16:09	-7,16740	-1,43930	0,25224
16:15	-8,19140	-1,67920	-0,50448
16:21	-8,95930	-1,43930	0,37836
16:27	-8,57530	-1,43930	-0,50448
16:33	-8,19140	-1,55920	-0,37836
16:39	-7,03940	-1,55920	2,01790
16:45	-4,86360	-1,43930	2,01790
16:51	-4,22370	-1,55920	2,01790
16:57	-6,01550	-1,67920	2,01790
17:03	-5,88750	-1,67920	2,01790
17:09	6,27150	-1,43930	0,50448
17:15	5,50360	-1,67920	0,50448
17:21	6,14350	-1,79910	-0,50448
17:27	-6,27150	-1,79910	-0,50448
17:33	-6,01550	-1,79910	-1,38730
17:39	6,78350	-1,91900	-0,50448
17:45	-5,88750	-1,91900	-0,50448
17:51	-6,14350	-2,03900	-0,37836
17:57	5,88750	-2,03900	0,37836
18:03	-5,24760	-2,03900	0,37836
18:09	-4,73560	-2,15890	-0,37836
18:15	-5,50360	-2,15890	-0,37836
18:21	5,88750	-2,15890	0,37836
18:27	5,37560	-2,27890	0,37836
18:33	5,37560	-2,27890	-0,37836
18:39	-5,11960	-2,27890	0,50448
18:45	-5,11960	-2,15890	1,13510
18:51	-5,24760	-1,91900	-1,26120
18:57	5,24760	-1,91900	1,63960
19:03	-5,11960	-1,67920	-1,63960
19:09	-5,24760	-1,55920	1,76570
19:15	-5,24760	-1,31930	-1,89180
19:21	-5,11960	-1,31930	-2,01790

Time (hh:mm)	DEP-1 Calculated Field, (V/m)	DEP-2 Calculated Field, (V/m)	DEP-3 Calculated Field, (V/m)
19:27	-4,86360	-1,19940	-2,01790
19:33	-4,86360	-1,19940	-2,01790
19:39	-4,73560	-1,19940	-2,14400
19:45	-4,73560	-1,19940	-2,14400
19:51	4,86360	-1,07950	-2,14400
19:57	4,73560	-0,95952	-2,01790
20:03	4,60760	-0,83958	-1,89180
20:09	-4,47960	-0,83958	-1,89180
20:15	4,47960	-0,83958	-2,01790
20:21	-4,35170	-0,71964	-1,89180
20:27	-4,35170	-0,83958	-1,89180
20:33	-4,35170	-0,71964	1,76570
20:39	-4,47960	-0,71964	-1,76570
20:45	-3,96770	-0,71964	-1,63960
20:51	-4,22370	-0,71964	-1,51340
20:57	-4,09570	-0,71964	-1,51340
21:03	-4,22370	-0,59970	-1,38730
21:09	-4,35170	-0,59970	-1,26120
21:15	-4,35170	-0,59970	-1,13510
21:21	4,47960	-0,59970	-1,26120
21:27	4,35170	-0,47976	-1,26120
21:33	-4,60760	-0,47976	1,26120
21:39	-4,47960	-0,47976	-1,13510

Time (hh:mm)	DEP-1 Calculated Field, (V/m)	DEP-2 Calculated Field, (V/m)	DEP-3 Calculated Field, (V/m)
21:45	-4,47960	-0,47976	-1,26120
21:51	-4,35170	-0,47976	-1,13510
21:57	-4,47960	-0,47976	1,00900
22:03	-4,22370	-0,47976	-1,26120
22:09	-4,47960	-0,59970	-1,26120
22:15	4,22370	-0,59970	-1,13510
22:21	-4,09570	-0,59970	-1,13510
22:27	4,35170	-0,47976	-1,00900
22:33	-4,35170	-0,47976	1,00900
22:39	-4,22370	-0,47976	1,26120
22:45	-3,83970	-0,59970	-1,26120
22:51	-4,22370	-0,59970	-1,13510
22:57	4,35170	-0,59970	-1,26120
23:03	4,09570	-0,59970	-1,26120
23:09	-3,96770	-0,47976	-1,26120
23:15	4,22370	-0,47976	-1,00900
23:21	4,35170	-0,47976	1,13510
23:27	4,09570	-0,47976	-1,26120
23:33	4,22370	-0,47976	-1,00900
23:39	-4,35170	-0,47976	-1,26120
23:45	-4,09570	-0,47976	-1,26120
23:51	-4,09570	-0,47976	-1,13510
23:57	-4,47960	-0,47976	-1,00900

Annex 9. Information from DEP-sensors for 18/07/00

Time (hh:mm)	DEP-1 Calculated Field, (V/m)	DEP-2 Calculated Field, (V/m)	DEP-3 Calculated Field, (V/m)
0:03	4,60760	-0,47976	-1,00900
0:09	4,47960	-0,35982	-1,00900
0:15	-4,47960	-0,35982	0,88284
0:21	-4,47960	-0,35982	0,25224
0:27	-4,73560	-0,35982	0,37836
0:33	-4,47960	-0,35982	0,37836
0:39	-4,47960	-0,35982	-0,37836
0:45	-4,60760	-0,35982	-0,37836
0:51	4,99160	-0,35982	-0,37836
0:57	-4,47960	-0,35982	-0,37836
1:03	-5,63160	-0,35982	-0,37836
1:09	4,35170	-0,35982	-0,37836
1:15	-4,35170	-0,59970	-0,37836
1:21	4,47960	-1,43930	-0,37836
1:27	4,99160	-1,43930	-0,37836
1:33	-4,35170	-1,43930	0,37836
1:39	-4,60760	-1,43930	0,37836
1:45	-5,50360	-1,43930	0,37836
1:51	-5,75950	-1,67920	-0,37836
1:57	-4,73560	-1,79910	0,50448
2:03	-5,88750	-1,43930	2,01790
2:09	-6,14350	-1,79910	1,89180
2:15	-6,39950	-1,43930	1,51340
2:21	-6,14350	-1,43930	0,37836
2:27	-6,52750	-1,43930	0,25224
2:33	-6,65550	-1,43930	0,25224
2:39	-7,03940	-1,79910	-0,25224
2:45	-6,78350	-1,43930	0,25224
2:51	-6,52750	-1,43930	-0,25224
2:57	6,65550	-1,43930	0,25224
3:03	-6,27150	-1,43930	0,25224
3:09	-7,03940	-1,43930	-0,37836
3:15	-6,65550	-1,43930	0,37836
3:21	-3,32770	-1,43930	0,37836
3:27	-5,88750	-1,43930	-0,37836
3:33	-5,11960	-1,43930	-0,37836
3:39	-6,01550	-1,43930	-0,37836
3:45	-5,75950	-1,31930	0,37836
3:51	-5,24760	-1,31930	-0,50448
3:57	-5,11960	-1,31930	-0,50448
4:03	-4,99160	-1,31930	0,50448
4:09	-4,99160	-1,31930	-0,50448
4:15	-5,11960	-1,31930	-0,50448
4:21	-4,86360	-1,31930	-1,26120
4:27	-4,99160	-1,31930	-1,26120
4:33	-4,86360	-1,31930	1,13510
4:39	-5,63160	-1,31930	1,13510

Time (hh:mm)	DEP-1 Calculated Field, (V/m)	DEP-2 Calculated Field, (V/m)	DEP-3 Calculated Field, (V/m)
4:45	-5,75950	-1,31930	1,26120
4:51	-5,50360	-1,31930	1,26120
4:57	-5,63160	-1,31930	1,26120
5:03	-5,75950	-1,31930	-1,38730
5:09	-5,75950	-1,31930	1,26120
5:15	-5,75950	-1,31930	1,26120
5:21	-5,50360	-1,31930	-1,26120
5:27	-5,37560	-1,31930	1,26120
5:33	-4,99160	-1,19940	0,50448
5:39	-4,86360	-1,19940	1,26120
5:45	-4,86360	-1,19940	1,26120
5:51	-4,86360	-1,19940	1,13510
5:57	-4,73560	-1,19940	0,37836
6:03	-4,73560	-1,19940	1,13510
6:09	-4,86360	-1,19940	0,37836
6:15	-4,73560	-1,19940	0,37836
6:21	-4,73560	-1,19940	-0,37836
6:27	-4,73560	-1,19940	0,25224
6:33	-4,73560	-1,19940	-0,25224
6:39	-4,60760	-1,19940	-0,25224
6:45	-4,60760	-1,19940	-0,37836
6:51	-4,60760	-1,19940	-0,37836
6:57	-4,60760	-1,19940	-0,37836
7:03	-4,60760	-1,19940	0,37836
7:09	-4,60760	-1,19940	0,37836
7:15	-4,60760	-1,19940	-0,37836
7:21	-4,47960	-1,19940	0,37836
7:27	-4,47960	-1,07950	0,50448
7:33	-4,47960	-1,19940	-0,50448
7:39	-4,47960	-1,19940	-0,50448
7:45	-4,47960	-1,19940	0,50448
7:51	-4,35170	-1,07950	0,37836
7:57	-4,35170	-1,07950	-0,50448
8:03	-4,35170	-1,07950	-0,50448
8:09	-4,35170	-1,07950	0,50448
8:15	-4,35170	-1,19940	-0,37836
8:21	-4,22370	-1,19940	-0,50448
8:27	-4,22370	-1,19940	0,50448
8:33	-4,22370	-1,19940	0,50448
8:39	-4,22370	-1,19940	-0,50448
8:45	-4,35170	-1,19940	0,50448
8:51	-4,35170	-1,19940	0,50448
8:57	-4,35170	-1,19940	-0,50448
9:03	-4,35170	-1,19940	0,50448
9:09	-4,22370	-1,19940	-0,50448
9:15	-4,22370	-1,19940	-0,50448
9:21	-4,22370	-1,19940	-0,50448

Time (hh:mm)	DEP-1 Calculated Field, (V/m)	DEP-2 Calculated Field, (V/m)	DEP-3 Calculated Field, (V/m)
9:27	-4,22370	-1,19940	-0,50448
9:33	-4,22370	-1,19940	-0,50448
9:39	-4,09570	-1,31930	-0,50448
9:45	-4,09570	-1,55920	0,50448
9:51	-3,83970	-1,67920	0,50448
9:57	-3,83970	-1,79910	-0,50448
10:03	-3,71170	-1,91900	-0,50448
10:09	-3,71170	-1,55920	-0,50448
10:15	-3,58370	-2,15890	0,50448
10:21	-3,58370	-2,27890	0,50448
10:27	-3,58370	-2,39880	-0,50448
10:33	-3,58370	-2,39880	-0,50448
10:39	-3,58370	-2,39880	0,50448
10:45	-3,58370	-2,39880	-0,50448
10:51	-3,58370	-2,39880	0,50448
10:57	-3,45570	-2,39880	0,50448
11:03	-3,58370	-2,39880	-0,50448
11:09	-3,45570	-2,27890	0,50448
11:15	-3,58370	-2,39880	0,50448
11:21	-3,58370	-2,39880	0,50448
11:27	-3,45570	-2,39880	0,50448
11:33	-3,32770	-2,27890	-0,50448
11:39	-3,32770	-2,27890	0,50448
11:45	-3,32770	-2,15890	-0,50448
11:51	-3,32770	-2,15890	0,50448
11:57	-3,32770	-2,15890	0,50448
12:03	-3,32770	-2,15890	0,50448
12:09	-3,32770	-2,15890	-0,50448
12:15	-3,32770	-2,03900	0,50448
12:21	-3,19970	-2,03900	-0,50448
12:27	-3,32770	-2,03900	-0,50448
12:33	-3,32770	-1,91900	-0,50448
12:39	-3,45570	-1,91900	-0,50448
12:45	-3,45570	-1,91900	-0,50448
12:51	-3,45570	-1,79910	-0,50448
12:57	-3,45570	-1,79910	0,37836
13:03	-3,45570	-1,79910	0,50448
13:09	-3,45570	-1,79910	0,50448
13:15	-3,32770	-1,79910	-0,50448
13:21	-3,45570	-1,79910	0,37836
13:27	-3,32770	-1,79910	0,37836
13:33	-3,32770	-1,79910	0,37836
13:39	-3,32770	-1,79910	-0,37836
13:45	-3,32770	-1,79910	-0,37836
13:51	-3,32770	-1,79910	0,37836
13:57	-3,32770	-1,79910	-0,37836
14:03	-3,45570	-1,67920	-0,37836
14:09	-3,45570	-1,67920	0,37836
14:15	-3,45570	-1,67920	-0,37836
14:21	-3,58370	-1,67920	-0,37836

Time (hh:mm)	DEP-1 Calculated Field, (V/m)	DEP-2 Calculated Field, (V/m)	DEP-3 Calculated Field, (V/m)
14:27	-3,58370	-1,67920	0,37836
14:33	-3,58370	-1,67920	0,37836
14:39	-3,83970	-1,55920	-0,37836
14:45	-3,83970	-1,55920	-0,37836
14:51	-3,96770	-1,55920	-0,37836
14:57	-4,09570	-1,55920	-0,37836
15:03	-4,09570	-1,31930	-0,37836
15:09	-4,22370	-1,43930	0,37836
15:15	-4,22370	-1,31930	0,37836
15:21	-4,35170	-1,31930	0,37836
15:27	-4,60760	-1,31930	0,37836
15:33	-4,73560	-1,31930	-0,37836
15:39	-4,86360	-1,31930	0,50448
15:45	-4,99160	-1,31930	0,37836
15:51	-5,11960	-1,31930	0,50448
15:57	-5,24760	-1,31930	-0,50448
16:03	-5,50360	-1,43930	0,50448
16:09	-5,63160	-1,31930	-0,50448
16:15	-7,42340	-1,43930	0,50448
16:21	-6,14350	-1,55920	0,25224
16:27	-6,78350	-1,43930	0,25224
16:33	-6,65550	-1,55920	-0,37836
16:39	-6,52750	-1,55920	-0,50448
16:45	-6,01550	-1,43930	2,01790
16:51	-4,99160	-1,43930	2,01790
16:57	-3,32770	-1,55920	2,01790
17:03	-3,45570	-1,67920	2,01790
17:09	4,22370	-1,43930	2,01790
17:15	-4,35170	-1,67920	-2,27020
17:21	-4,35170	-1,67920	2,14400
17:27	-4,09570	-1,67920	2,14400
17:33	-3,83970	-1,79910	2,27020
17:39	-4,47960	-1,79910	0,50448
17:45	4,35170	-1,79910	0,50448
17:51	-3,96770	-1,55920	-0,50448
17:57	-4,22370	-1,91900	-0,37836
18:03	-4,60760	-1,91900	-0,37836
18:09	-3,96770	-2,03900	0,37836
18:15	-4,09570	-2,03900	0,37836
18:21	-4,22370	-2,15890	0,37836
18:27	4,22370	-2,15890	0,37836
18:33	-3,83970	-2,15890	0,37836
18:39	-3,96770	-2,27890	-0,37836
18:45	-4,22370	-2,27890	-0,37836
18:51	-4,09570	-2,15890	1,00900
18:57	-3,83970	-2,03900	1,13510
19:03	-4,35170	-1,91900	-1,38730
19:09	-4,09570	-1,91900	-1,63960
19:15	-4,09570	-1,79910	-1,76570
19:21	-4,22370	-1,67920	-1,76570

Time (hh:mm)	DEP-1 Calculated Field, (V/m)	DEP-2 Calculated Field, (V/m)	DEP-3 Calculated Field, (V/m)
19:27	-4,22370	-1,43930	-2,01790
19:33	4,35170	-1,31930	-2,01790
19:39	-4,47960	-1,31930	-2,01790
19:45	-4,22370	-1,19940	-2,01790
19:51	3,96770	-1,19940	-2,01790
19:57	4,47960	-1,19940	-2,14400
20:03	-4,35170	-1,07950	-2,01790
20:09	3,83970	-1,07950	-2,01790
20:15	-3,83970	-1,07950	-2,14400
20:21	-1,66390	0,47976	-1,26120
20:27	1,53590	0,35982	-1,13510
20:33	1,79190	0,23988	-1,00900
20:39	1,91980	0,23988	-1,00900
20:45	-1,53590	0,11994	-0,88284
20:51	1,66390	0,11994	-0,88284
20:57	1,91980	0,11994	-0,75672
21:03	3,71170	0,11994	-0,63060
21:09	4,22370	0,11994	-0,63060
21:15	4,09570	0,11994	-0,63060
21:21	4,09570	0,11994	0,63060
21:27	4,35170	0,11994	-0,63060
21:33	4,35170	0,11994	-0,63060
21:39	4,73560	0,11994	-0,50448

Time (hh:mm)	DEP-1 Calculated Field, (V/m)	DEP-2 Calculated Field, (V/m)	DEP-3 Calculated Field, (V/m)
21:45	4,09570	0,11994	-0,63060
21:51	4,35170	0,11994	-0,50448
21:57	4,22370	0,11994	-0,37836
22:03	4,47960	0,11994	-0,37836
22:09	4,35170	0,11994	-0,50448
22:15	4,60760	0,11994	-0,50448
22:21	-4,86360	0,11994	-0,50448
22:27	4,60760	0,11994	0,37836
22:33	4,86360	0,11994	0,37836
22:39	4,99160	-0,11994	-0,37836
22:45	4,60760	0,11994	-0,50448
22:51	4,47960	0,11994	0,37836
22:57	4,60760	0,11994	0,37836
23:03	4,73560	0,11994	-0,37836
23:09	4,60760	0,11994	-0,37836
23:15	4,60760	0,11994	0,50448
23:21	4,60760	-0,11994	0,50448
23:27	4,60760	-0,11994	-0,50448
23:33	4,09570	-0,11994	-0,50448
23:39	4,35170	0,11994	-0,50448
23:45	4,09570	-0,11994	-0,50448
23:51	4,47960	-0,11994	-0,50448
23:57	4,47960	-0,11994	-0,50448

Annex 10. Information from DEP-sensors for 20/07/00

Time (hh:mm)	DEP-1 Calculated Field, (V/m)	DEP-2 Calculated Field, (V/m)	DEP-3 Calculated Field, (V/m)
0:03	0,89593	-0,47976	-0,37836
0:09	-1,02390	-0,47976	-0,37836
0:15	-1,02390	-0,47976	-0,37836
0:21	-0,89593	-0,47976	-0,37836
0:27	-1,27990	-0,47976	-0,37836
0:33	-1,02390	-0,47976	-0,50448
0:39	1,02390	-0,47976	-0,37836
0:45	1,02390	-0,47976	0,37836
0:51	-1,02390	-0,59970	-0,63060
0:57	-0,89593	-0,59970	-0,50448
1:03	-0,63995	-0,59970	-0,63060
1:09	-0,76794	-0,59970	-0,75672
1:15	2,43180	-0,83958	-1,63960
1:21	23,55020	-1,19940	-1,76570
1:27	10,75120	-0,83958	-1,63960
1:33	16,38270	-1,07950	-1,76570
1:39	26,49390	-1,19940	-2,01790
1:45	43,13260	-1,55920	-2,27020
1:51	38,14100	-1,19940	-1,51340
1:57	22,14230	-0,95952	-0,75672
2:03	12,03110	-1,43930	-0,88284
2:09	10,75120	-1,43930	-0,63060
2:15	7,16740	-1,31930	-0,88284
2:21	5,11960	-1,31930	-0,88284
2:27	4,99160	-1,31930	0,75672
2:33	4,99160	-1,31930	0,75672
2:39	-4,73560	-1,31930	-0,12612
2:45	3,32770	-1,31930	-0,25224
2:51	3,07180	-1,19940	0,25224
2:57	3,32770	-1,31930	0,12612
3:03	-2,94380	-1,19940	-0,12612
3:09	-2,68780	-1,19940	0,12612
3:15	2,43180	-1,07950	0,12612
3:21	2,55980	-1,07950	-0,37836
3:27	2,17580	-0,95952	-0,12612
3:33	-2,30380	-0,95952	0,12612
3:39	-1,91980	-0,95952	0,12612
3:45	-1,91980	-0,95952	0,12612
3:51	1,79190	-0,83958	-0,12612
3:57	-1,02390	-1,07950	0,12612
4:03	-1,02390	-1,31930	0,12612
4:09	1,15190	-1,19940	0,12612
4:15	1,53590	-0,95952	-0,12612
4:21	-1,66390	-0,83958	-0,12612
4:27	1,53590	-0,71964	0,12612
4:33	2,04780	-0,59970	-0,12612
4:39	-3,19970	-0,59970	0,12612

Time (hh:mm)	DEP-1 Calculated Field, (V/m)	DEP-2 Calculated Field, (V/m)	DEP-3 Calculated Field, (V/m)
4:45	-1,53590	-0,59970	0,12612
4:51	-1,53590	-0,59970	0,12612
4:57	1,27990	-0,59970	-0,12612
5:03	1,91980	-1,19940	-0,12612
5:09	1,79190	-1,19940	0,12612
5:15	-1,66390	-1,19940	0,12612
5:21	-1,53590	-1,31930	0,00000
5:27	1,91980	-1,31930	0,00000
5:33	3,07180	-1,91900	-0,88284
5:39	2,94380	-1,91900	0,50448
5:45	-2,04780	-1,31930	0,12612
5:51	4,73560	-2,27890	4,91870
5:57	3,07180	-2,03900	1,26120
6:03	2,43180	-1,31930	-0,25224
6:09	2,43180	-1,43930	-2,27020
6:15	3,45570	-2,15890	4,41420
6:21	3,32770	-2,03900	5,17090
6:27	3,58370	-1,55920	6,68440
6:33	4,35170	-2,03900	-9,33290
6:39	5,24760	-1,91900	-9,96350
6:45	5,37560	-1,43930	15,13440
6:51	6,91150	-1,31930	-17,15230
6:57	7,03940	-0,83958	-19,29640
7:03	5,24760	-1,07950	15,13440
7:09	4,09570	-1,31930	-13,36870
7:15	3,71170	-1,31930	9,33290
7:21	2,17580	-1,31930	-10,59410
7:27	2,68780	-1,31930	-12,61200
7:33	3,32770	-1,19940	16,14340
7:39	3,45570	-0,11994	-18,16130
7:45	3,45570	-0,23988	17,15230
7:51	2,81580	-0,23988	-17,15230
7:57	2,43180	-0,11994	-18,16130
8:03	1,91980	-0,35982	-13,36870
8:09	1,02390	-1,19940	-9,33290
8:15	-1,27990	-1,19940	8,57620
8:21	-1,40790	-1,31930	7,69330
8:27	1,40790	-1,31930	7,31500
8:33	1,66390	-0,23988	-5,42320
8:39	-1,66390	-0,35982	-2,52240
8:45	-1,53590	-0,59970	-1,38730
8:51	-1,53590	-1,19940	-2,14400
8:57	-1,53590	-1,19940	3,15300
9:03	-1,40790	-1,19940	1,38730
9:09	-1,40790	-1,19940	-1,00900
9:15	-1,66390	-1,19940	1,00900
9:21	-1,66390	-0,35982	2,64850

Time (hh:mm)	DEP-1 Calculated Field, (V/m)	DEP-2 Calculated Field, (V/m)	DEP-3 Calculated Field, (V/m)
9:27	-2,04780	-0,11994	-4,66640
9:33	-2,04780	-0,11994	-5,54930
9:39	-2,17580	0,59970	-8,82840
9:45	-2,30380	0,83958	12,61200
9:51	-2,30380	0,83958	11,85530
9:57	-2,43180	1,19940	-11,85530
10:03	-4,09570	-1,67920	0,12612
10:09	-3,96770	-1,79910	0,25224
10:15	-3,83970	-1,55920	-0,37836
10:21	-3,71170	-2,03900	0,50448
10:27	-3,58370	-1,67920	-0,50448
10:33	-3,32770	-2,15890	-0,63060
10:39	-3,32770	-2,03900	-0,75672
10:45	-3,19970	-1,91900	0,75672
10:51	-3,07180	-2,03900	0,88284
10:57	-3,19970	-2,03900	0,63060
11:03	-3,32770	-2,03900	-0,88284
11:09	-3,32770	-1,91900	-0,88284
11:15	-3,19970	-1,91900	1,00900
11:21	-3,19970	-1,91900	1,00900
11:27	-3,19970	-1,91900	-1,00900
11:33	-3,19970	-1,91900	-1,00900
11:39	-3,19970	-1,79910	1,00900
11:45	-3,32770	-1,79910	0,88284
11:51	-3,07180	-1,67920	-0,88284
11:57	-3,19970	-1,67920	-0,88284
12:03	-3,07180	-1,67920	-0,88284
12:09	-3,19970	-1,67920	-0,88284
12:15	-3,19970	-1,67920	-0,88284
12:21	-3,19970	-1,67920	-0,88284
12:27	-3,19970	-1,67920	0,75672
12:33	-3,19970	-1,67920	-0,75672
12:39	-3,19970	-1,67920	0,88284
12:45	-3,19970	-1,67920	0,75672
12:51	-3,32770	-1,67920	-0,75672
12:57	-3,32770	-1,67920	0,88284
13:03	-3,32770	-1,79910	-0,75672
13:09	-3,32770	-1,79910	0,75672
13:15	-3,32770	-1,79910	0,75672
13:21	-3,32770	-1,79910	-0,75672
13:27	-3,32770	-1,79910	0,75672
13:33	-3,32770	-1,79910	-0,75672
13:39	-3,32770	-1,79910	-0,75672
13:45	-3,32770	-1,67920	0,75672
13:51	-3,32770	-1,79910	-0,75672
13:57	-3,32770	-1,67920	-0,75672
14:03	-3,32770	-1,79910	-0,75672
14:09	-3,32770	-1,79910	0,75672
14:15	-3,32770	-1,67920	0,75672
14:21	-3,32770	-1,67920	-0,75672

Time (hh:mm)	DEP-1 Calculated Field, (V/m)	DEP-2 Calculated Field, (V/m)	DEP-3 Calculated Field, (V/m)
14:27	-3,32770	-1,67920	-0,63060
14:33	-3,32770	-1,67920	0,63060
14:39	-3,32770	-1,67920	-0,63060
14:45	-3,32770	-1,67920	0,63060
14:51	-3,45570	-1,55920	0,63060
14:57	-3,45570	-1,55920	0,50448
15:03	-3,58370	-1,55920	-0,50448
15:09	-3,71170	-1,55920	-0,63060
15:15	-3,71170	-1,43930	-0,50448
15:21	-3,71170	-1,43930	0,50448
15:27	-3,71170	-1,31930	-0,50448
15:33	-3,83970	-1,31930	0,50448
15:39	-4,09570	-1,43930	0,50448
15:45	-4,22370	-1,31930	-0,63060
15:51	-4,09570	-1,31930	-0,37836
15:57	-4,22370	-1,31930	-0,63060
16:03	-4,35170	-1,31930	0,63060
16:09	-4,73560	-1,31930	-0,63060
16:15	-5,11960	-1,31930	-0,37836
16:21	-6,39950	-1,31930	-0,63060
16:27	-5,63160	-1,31930	0,50448
16:33	-6,14350	-1,43930	0,50448
16:39	-6,27150	-1,31930	-0,50448
16:45	-6,65550	-1,31930	0,25224
16:51	-6,27150	-1,31930	-0,37836
16:57	-5,63160	-1,31930	-0,37836
17:03	-4,73560	-1,31930	2,14400
17:09	-3,58370	-1,31930	2,01790
17:15	-2,94380	-1,31930	2,01790
17:21	3,83970	-1,31930	2,01790
17:27	-4,73560	-1,31930	2,14400
17:33	4,86360	-1,31930	-0,50448
17:39	-5,11960	-1,31930	-2,39630
17:45	-4,86360	-1,31930	0,50448
17:51	-4,86360	-1,31930	0,50448
17:57	-5,24760	-1,31930	0,37836
18:03	-5,75950	-1,55920	-0,50448
18:09	-4,99160	-1,55920	-0,37836
18:15	-4,86360	-1,43930	-0,37836
18:21	-4,47960	-1,55920	0,37836
18:27	-4,22370	-1,67920	-0,37836
18:33	-4,09570	-1,67920	0,37836
18:39	-4,22370	-1,79910	0,37836
18:45	4,09570	-1,79910	-0,37836
18:51	-3,96770	-1,91900	-0,37836
18:57	-3,96770	-1,55920	0,50448
19:03	-4,22370	-1,91900	-1,00900
19:09	4,22370	-1,91900	-1,26120
19:15	4,35170	-1,91900	-1,63960
19:21	-3,71170	-1,79910	-1,63960

Time (hh:mm)	DEP-1 Calculated Field, (V/m)	DEP-2 Calculated Field, (V/m)	DEP-3 Calculated Field, (V/m)
19:27	-4,47960	-1,67920	-1,89180
19:33	4,22370	-1,43930	-1,89180
19:39	-4,22370	-1,55920	-2,01790
19:45	-4,22370	-1,31930	-2,14400
19:51	-3,71170	-1,31930	-2,14400
19:57	-3,45570	-1,31930	-2,14400
20:03	-3,58370	-1,19940	-2,01790
20:09	-3,71170	-1,19940	-2,14400
20:15	3,58370	-1,19940	-2,01790
20:21	3,58370	-1,19940	-2,14400
20:27	-3,83970	-1,07950	-1,89180
20:33	-3,58370	-0,95952	-2,01790
20:39	3,71170	-0,83958	-1,89180
20:45	-3,71170	-0,95952	-1,89180
20:51	3,45570	-0,83958	-1,89180
20:57	-4,09570	-0,83958	-1,89180
21:03	-3,45570	-0,71964	-1,51340
21:09	-3,58370	-0,83958	-1,76570
21:15	-3,32770	-0,71964	-1,63960
21:21	3,19970	-0,71964	-1,26120
21:27	3,71170	-0,71964	-1,51340
21:33	-3,19970	-0,59970	-1,51340
21:39	-3,32770	-0,59970	-1,38730

Time (hh:mm)	DEP-1 Calculated Field, (V/m)	DEP-2 Calculated Field, (V/m)	DEP-3 Calculated Field, (V/m)
21:45	3,71170	-0,59970	-1,13510
21:51	-3,58370	-0,59970	-1,38730
21:57	-3,58370	-0,59970	-1,26120
22:03	-4,09570	-0,59970	-1,13510
22:09	-3,96770	-0,59970	-1,26120
22:15	4,09570	-0,59970	-1,38730
22:21	-3,45570	-0,59970	1,38730
22:27	-4,09570	-0,59970	-1,26120
22:33	3,58370	-0,59970	1,26120
22:39	-3,96770	-0,59970	-1,13510
22:45	-3,58370	-0,59970	-1,26120
22:51	-3,45570	-0,59970	-1,26120
22:57	-3,83970	-0,59970	-1,26120
23:03	-3,96770	-0,47976	-1,26120
23:09	-4,22370	-0,59970	1,26120
23:15	4,22370	-0,59970	-1,26120
23:21	-4,35170	-0,47976	1,26120
23:27	-3,96770	-0,47976	-1,26120
23:33	-3,71170	-0,47976	-1,26120
23:39	-4,22370	-0,47976	-1,38730
23:45	-3,45570	-0,47976	-1,26120
23:51	-4,09570	-0,47976	-1,26120
23:57	-4,35170	-0,47976	-1,13510

Annex 11. Information from DEP-sensors for 21/07/00

Time (hh:mm)	DEP-1 Calculated Field, (V/m)	DEP-2 Calculated Field, (V/m)	DEP-3 Calculated Field, (V/m)
0:03	3,45570	-0,35982	1,38730
0:09	4,09570	-0,35982	-1,13510
0:15	-3,71170	-0,35982	-1,13510
0:21	-3,83970	-0,35982	1,26120
0:27	-4,73560	-0,35982	-1,26120
0:33	-3,19970	-0,35982	1,13510
0:39	-4,22370	-0,35982	1,00900
0:45	-3,96770	-0,35982	-0,88284
0:51	-4,09570	-0,35982	0,37836
0:57	-4,22370	-0,35982	0,37836
1:03	-4,22370	-0,35982	-0,37836
1:09	-3,83970	-0,23988	-0,37836
1:15	-4,09570	-0,35982	-0,37836
1:21	-3,96770	-0,35982	-0,37836
1:27	4,47960	-0,35982	0,37836
1:33	-4,60760	-0,35982	0,37836
1:39	3,96770	-0,35982	0,37836
1:45	-3,83970	-1,31930	-0,37836
1:51	-3,96770	-1,43930	0,37836
1:57	-4,47960	-1,43930	0,37836
2:03	4,35170	-1,43930	0,37836
2:09	-3,96770	-1,43930	-0,37836
2:15	-3,71170	-1,79910	-1,63960
2:21	-5,50360	-1,79910	0,37836
2:27	-4,22370	-1,43930	2,01790
2:33	-4,35170	-1,79910	-0,50448
2:39	-5,24760	-1,79910	2,01790
2:45	-5,50360	-1,79910	1,38730
2:51	-4,86360	-1,43930	-1,26120
2:57	-5,63160	-1,91900	-0,37836
3:03	-5,75950	-1,91900	0,37836
3:09	-5,63160	-1,91900	0,37836
3:15	-5,75950	-1,91900	-0,37836
3:21	-5,63160	-1,43930	-0,37836
3:27	-5,75950	-1,91900	-0,37836
3:33	-5,88750	-1,91900	-0,12612
3:39	-5,63160	-1,91900	0,00000
3:45	-5,88750	-1,43930	-0,12612
3:51	-2,17580	-1,43930	0,25224
3:57	-4,35170	-1,43930	-0,37836
4:03	-4,73560	-1,43930	-0,37836
4:09	-4,73560	-1,79910	0,50448
4:15	-4,86360	-1,79910	0,50448
4:21	-4,35170	-1,43930	-0,50448
4:27	-4,35170	-1,43930	0,50448
4:33	-4,22370	-1,31930	-0,50448
4:39	-4,09570	-1,31930	0,50448

Time (hh:mm)	DEP-1 Calculated Field, (V/m)	DEP-2 Calculated Field, (V/m)	DEP-3 Calculated Field, (V/m)
4:45	-4,35170	-1,31930	-1,38730
4:51	-4,35170	-1,31930	-1,38730
4:57	-4,22370	-1,31930	1,38730
5:03	-4,73560	-1,31930	1,38730
5:09	-5,24760	-1,31930	1,38730
5:15	-5,11960	-1,31930	1,38730
5:21	-5,11960	-1,31930	1,38730
5:27	-5,37560	-1,31930	-1,38730
5:33	-5,11960	-1,31930	-1,38730
5:39	-5,24760	-1,31930	-1,38730
5:45	-4,86360	-1,31930	-1,38730
5:51	-4,73560	-1,31930	1,38730
5:57	-4,35170	-1,31930	-1,38730
6:03	-4,22370	-1,31930	-1,38730
6:09	-4,22370	-1,19940	1,38730
6:15	-4,22370	-1,19940	1,38730
6:21	-4,35170	-1,19940	1,38730
6:27	-4,35170	-1,19940	-0,50448
6:33	-4,22370	-1,19940	1,38730
6:39	-4,22370	-1,19940	0,50448
6:45	-4,35170	-1,19940	-0,50448
6:51	-4,22370	-1,19940	0,50448
6:57	-4,09570	-1,19940	-0,50448
7:03	-4,09570	-1,19940	0,50448
7:09	-4,09570	-1,19940	-0,50448
7:15	-4,09570	-1,19940	0,50448
7:21	-3,96770	-1,19940	0,50448
7:27	-3,96770	-1,19940	0,50448
7:33	-3,83970	-1,19940	-0,50448
7:39	-3,96770	-1,19940	0,50448
7:45	-3,96770	-1,19940	0,50448
7:51	-3,96770	-1,19940	0,50448
7:57	-3,83970	-1,19940	-0,50448
8:03	-3,83970	-1,19940	-0,50448
8:09	-3,83970	-1,19940	0,50448
8:15	-3,83970	-1,07950	0,50448
8:21	-3,71170	-1,19940	-0,50448
8:27	-3,71170	-1,19940	0,50448
8:33	-3,71170	-1,19940	0,50448
8:39	-3,71170	-1,19940	-0,50448
8:45	-3,71170	-1,19940	0,50448
8:51	-3,71170	-1,19940	-0,50448
8:57	-3,71170	-1,19940	0,50448
9:03	-3,71170	-1,19940	0,50448
9:09	-3,71170	-1,19940	-0,50448
9:15	-3,71170	-1,19940	-0,50448
9:21	-3,71170	-1,19940	-0,50448

Time (hh:mm)	DEP-1 Calculated Field, (V/m)	DEP-2 Calculated Field, (V/m)	DEP-3 Calculated Field, (V/m)
9:27	-3,71170	-1,19940	-0,50448
9:33	-3,71170	-1,19940	0,50448
9:39	-3,58370	-1,19940	0,50448
9:45	-3,58370	-1,19940	0,50448
9:51	-3,45570	-1,19940	0,50448
9:57	-3,45570	-1,19940	-0,50448
10:03	-3,45570	-1,31930	-0,50448
10:09	-3,45570	-1,31930	-0,50448
10:15	-3,32770	-1,31930	-0,50448
10:21	-3,32770	-1,55920	0,50448
10:27	-3,19970	-1,67920	-0,50448
10:33	-3,19970	-1,43930	-0,50448
10:39	-3,19970	-1,79910	0,50448
10:45	-3,07180	-1,91900	-0,50448
10:51	-3,19970	-2,03900	0,50448
10:57	-3,07180	-2,03900	-0,50448
11:03	-3,07180	-2,03900	0,50448
11:09	-2,94380	-2,03900	0,50448
11:15	-2,94380	-2,03900	0,50448
11:21	-2,94380	-2,03900	-0,50448
11:27	-2,94380	-1,91900	-0,50448
11:33	-3,07180	-1,91900	-0,50448
11:39	-3,07180	-1,91900	0,50448
11:45	-2,94380	-1,91900	0,50448
11:51	-3,07180	-1,91900	-0,50448
11:57	-2,68780	-1,91900	-0,50448
12:03	-2,81580	-1,91900	0,50448
12:09	-2,94380	-1,91900	0,50448
12:15	-2,81580	-1,79910	0,50448
12:21	-2,81580	-1,79910	0,50448
12:27	-2,68780	-1,79910	-0,50448
12:33	-2,68780	-1,79910	0,50448
12:39	-2,81580	-1,79910	-0,50448
12:45	-2,81580	-1,79910	-0,50448
12:51	-2,68780	-1,79910	0,50448
12:57	-2,68780	-1,79910	-0,50448
13:03	-2,68780	-1,79910	-0,37836
13:09	-2,68780	-1,67920	-0,50448
13:15	-2,81580	-1,67920	-0,50448
13:21	-2,81580	-1,67920	-0,50448
13:27	-2,81580	-1,67920	0,50448
13:33	-2,81580	-1,55920	0,50448
13:39	-2,81580	-1,55920	0,37836
13:45	-2,81580	-1,55920	0,37836
13:51	-2,81580	-1,55920	-0,50448
13:57	-2,81580	-1,55920	-0,37836
14:03	-2,81580	-1,43930	0,50448
14:09	-2,81580	-1,55920	0,37836
14:15	-2,81580	-1,55920	0,37836
14:21	-2,81580	-1,43930	-0,37836

Time (hh:mm)	DEP-1 Calculated Field, (V/m)	DEP-2 Calculated Field, (V/m)	DEP-3 Calculated Field, (V/m)
14:27	-2,81580	-1,55920	-0,37836
14:33	-2,94380	-1,43930	0,37836
14:39	-3,07180	-1,55920	-0,37836
14:45	-3,07180	-1,43930	0,37836
14:51	-3,07180	-1,43930	-0,37836
14:57	-3,19970	-1,43930	-0,37836
15:03	-3,19970	-1,31930	0,37836
15:09	-3,32770	-1,31930	0,37836
15:15	-3,32770	-1,31930	-0,37836
15:21	-3,58370	-1,31930	0,37836
15:27	-3,45570	-1,31930	-0,37836
15:33	-3,58370	-1,19940	0,37836
15:39	-3,45570	-1,31930	-0,37836
15:45	-3,71170	-1,19940	-0,37836
15:51	-3,96770	-1,19940	-0,50448
15:57	-4,09570	-1,19940	0,37836
16:03	-4,09570	-1,19940	0,50448
16:09	-3,96770	-1,19940	0,50448
16:15	-3,96770	-1,19940	0,50448
16:21	-4,60760	-1,19940	0,50448
16:27	-5,24760	-1,19940	0,50448
16:33	-6,14350	-1,31930	0,50448
16:39	-5,24760	-1,31930	-0,50448
16:45	-5,37560	-1,31930	0,50448
16:51	-5,11960	-1,31930	-0,50448
16:57	-4,73560	-1,31930	0,50448
17:03	-4,47960	-1,19940	-1,51340
17:09	-4,09570	-1,19940	-2,27020
17:15	-2,68780	-1,19940	2,01790
17:21	-2,94380	-1,19940	2,01790
17:27	-4,22370	-1,19940	2,14400
17:33	-3,07180	-1,19940	2,27020
17:39	3,58370	-1,31930	0,50448
17:45	-5,37560	-1,31930	-0,50448
17:51	-5,75950	-1,31930	2,27020
17:57	-5,50360	-1,31930	0,50448
18:03	-5,24760	-1,31930	-0,50448
18:09	-5,50360	-1,31930	-0,50448
18:15	-5,50360	-1,31930	0,37836
18:21	-5,37560	-1,31930	0,37836
18:27	-4,99160	-1,31930	-0,37836
18:33	-4,86360	-1,43930	0,37836
18:39	-4,86360	-1,55920	-0,37836
18:45	-4,73560	-1,67920	-0,37836
18:51	-4,60760	-1,67920	0,37836
18:57	4,47960	-1,79910	0,37836
19:03	-4,22370	-1,79910	0,63060
19:09	-3,96770	-1,79910	1,13510
19:15	-3,96770	-1,55920	1,13510
19:21	-4,86360	-1,55920	-1,38730

Time (hh:mm)	DEP-1 Calculated Field, (V/m)	DEP-2 Calculated Field, (V/m)	DEP-3 Calculated Field, (V/m)
19:27	3,83970	-1,67920	-1,63960
19:33	-3,45570	-1,43930	-1,76570
19:39	-3,71170	-1,43930	-1,89180
19:45	3,58370	-1,31930	-2,01790
19:51	-3,32770	-1,31930	-2,01790
19:57	-3,71170	-1,31930	-2,01790
20:03	-3,58370	-1,19940	-2,14400
20:09	-4,35170	-1,19940	-2,14400
20:15	-3,45570	-1,19940	-2,01790
20:21	-4,22370	-1,19940	-2,01790
20:27	-3,32770	-1,07950	-2,01790
20:33	-3,45570	-1,07950	-1,89180
20:39	-3,83970	-0,95952	-1,89180
20:45	-4,22370	-0,83958	-1,89180
20:51	-3,58370	-0,83958	-1,89180
20:57	-3,45570	-0,71964	-1,89180
21:03	-3,32770	-0,71964	-1,76570
21:09	-3,71170	-0,71964	-1,76570
21:15	3,58370	-0,71964	-1,63960
21:21	3,58370	-0,71964	-1,51340
21:27	-3,19970	-0,59970	-1,51340
21:33	-3,32770	-0,59970	-1,38730
21:39	-3,58370	-0,59970	-1,38730

Time (hh:mm)	DEP-1 Calculated Field, (V/m)	DEP-2 Calculated Field, (V/m)	DEP-3 Calculated Field, (V/m)
21:45	-3,32770	-0,59970	-1,38730
21:51	3,58370	-0,59970	-1,26120
21:57	-3,45570	-0,59970	-1,26120
22:03	3,32770	-0,47976	1,00900
22:09	3,32770	-0,47976	-1,00900
22:15	-3,07180	-0,59970	-1,26120
22:21	3,19970	-0,59970	-1,38730
22:27	-2,94380	-0,47976	-1,13510
22:33	-2,81580	-0,59970	1,26120
22:39	-2,81580	-0,59970	-1,26120
22:45	-3,32770	-0,59970	-1,26120
22:51	-3,07180	-0,47976	-1,26120
22:57	-2,94380	-0,47976	-1,13510
23:03	-3,07180	-0,47976	-1,13510
23:09	-2,81580	-0,59970	-1,26120
23:15	-2,81580	-0,59970	1,13510
23:21	-2,55980	-0,59970	-1,26120
23:27	-2,81580	-0,59970	-1,26120
23:33	2,94380	-0,59970	1,26120
23:39	-3,07180	-0,59970	-1,26120
23:45	-3,45570	-0,47976	-1,38730
23:51	-3,07180	-0,47976	-1,00900
23:57	-3,19970	-0,47976	-1,26120

Annex 12. Information from DEP-sensors for 22/07/00

Time (hh:mm)	DEP-1 Calculated Field, (V/m)	DEP-2 Calculated Field, (V/m)	DEP-3 Calculated Field, (V/m)
0:03	-3,83970	-0,35982	-1,26120
0:09	3,19970	-0,35982	-1,26120
0:15	-3,45570	-0,35982	-1,26120
0:21	-3,45570	-0,35982	-1,26120
0:27	3,45570	-0,35982	1,26120
0:33	-3,58370	-0,35982	-1,13510
0:39	-3,96770	-0,35982	-1,00900
0:45	-2,94380	-0,35982	-1,13510
0:51	-3,58370	-0,35982	-1,00900
0:57	-3,32770	-0,23988	0,75672
1:03	-2,94380	-0,23988	-0,37836
1:09	-3,71170	-0,23988	0,37836
1:15	3,32770	-0,23988	0,37836
1:21	3,07180	-0,35982	0,37836
1:27	-3,45570	-0,35982	-0,37836
1:33	-3,32770	-0,35982	0,37836
1:39	2,81580	-0,35982	-0,37836
1:45	-4,09570	-0,23988	-0,37836
1:51	-3,83970	-1,31930	-0,37836
1:57	-4,35170	-1,43930	0,37836
2:03	-4,60760	-1,43930	-0,37836
2:09	-4,09570	-1,43930	0,37836
2:15	-4,99160	-1,43930	0,37836
2:21	-4,86360	-1,43930	-0,37836
2:27	-4,60760	-1,79910	-0,37836
2:33	2,94380	-0,95952	0,25224
2:39	3,45570	-0,95952	0,88284
2:45	3,45570	-0,95952	0,88284
2:51	3,45570	-0,95952	0,88284
2:57	3,19970	-0,95952	0,88284
3:03	2,30380	-0,95952	-0,12612
3:09	-1,91980	-0,95952	-0,50448
3:15	1,91980	-0,95952	0,12612
3:21	2,04780	-0,95952	-0,12612
3:27	2,17580	-0,95952	-0,12612
3:33	2,68780	-0,95952	-0,12612
3:39	3,83970	-0,95952	-0,12612
3:45	-3,71170	-0,83958	-0,12612
3:51	4,35170	-0,83958	0,12612
3:57	4,47960	-0,83958	0,12612
4:03	-4,60760	-0,83958	-0,12612
4:09	4,22370	-0,71964	0,12612
4:15	5,24760	-0,71964	0,12612
4:21	6,01550	-0,71964	0,12612
4:27	6,01550	-0,95952	0,12612
4:33	5,50360	-0,95952	0,12612
4:39	5,63160	-1,19940	0,00000

Time (hh:mm)	DEP-1 Calculated Field, (V/m)	DEP-2 Calculated Field, (V/m)	DEP-3 Calculated Field, (V/m)
4:45	6,01550	-1,19940	0,00000
4:51	7,16740	-1,31930	0,00000
4:57	10,11120	-1,43930	0,50448
5:03	12,03110	-1,91900	-1,89180
5:09	10,75120	-1,43930	2,01790
5:15	10,75120	-2,03900	-2,39630
5:21	12,03110	-2,27890	5,42320
5:27	12,79900	-2,27890	6,93660
5:33	12,03110	-2,27890	7,06270
5:39	11,39110	-2,27890	7,18880
5:45	13,56690	-2,39880	9,08060
5:51	14,46290	-2,39880	11,22470
5:57	14,46290	-2,39880	12,61200
6:03	12,03110	-2,39880	-11,85530
6:09	10,75120	-2,39880	10,59410
6:15	10,11120	-2,39880	-11,85530
6:21	10,75120	-2,27890	13,36870
6:27	9,47130	-2,15890	12,61200
6:33	8,95930	-2,15890	-13,36870
6:39	9,21530	-2,03900	-15,13440
6:45	10,75120	-1,91900	18,16130
6:51	10,75120	-1,31930	-20,55760
6:57	10,11120	-1,31930	-21,81880
7:03	9,21530	-1,19940	20,55760
7:09	8,06340	-1,19940	18,16130
7:15	6,65550	-1,19940	17,15230
7:21	6,39950	-1,19940	16,14340
7:27	5,37560	-1,19940	-15,13440
7:33	4,73560	-1,19940	14,25160
7:39	3,83970	-1,19940	9,08060
7:45	3,71170	-1,19940	9,33290
7:51	3,45570	-1,19940	-8,57620
7:57	3,07180	-1,19940	-8,07170
8:03	2,68780	-1,19940	-4,66640
8:09	2,55980	-1,19940	4,03580
8:15	2,55980	-1,19940	-5,17090
8:21	2,55980	-1,07950	4,91870
8:27	2,43180	-1,19940	4,41420
8:33	2,43180	-1,19940	-3,65750
8:39	2,30380	-1,07950	3,27910
8:45	2,43180	-0,59970	2,90080
8:51	2,43180	-0,47976	1,51340
8:57	2,30380	-1,07950	1,00900
9:03	-1,15190	-1,07950	0,88284
9:09	-0,89593	-1,19940	-0,88284
9:15	1,02390	-1,07950	-0,88284
9:21	0,89593	-1,07950	0,50448

Time (hh:mm)	DEP-1 Calculated Field, (V/m)	DEP-2 Calculated Field, (V/m)	DEP-3 Calculated Field, (V/m)
9:27	0,89593	-0,59970	-0,37836
9:33	0,89593	-0,83958	-0,12612
9:39	0,76794	-0,95952	0,12612
9:45	-0,89593	-1,07950	0,00000
9:51	0,76794	-0,83958	0,00000
9:57	-0,76794	-0,95952	0,00000
10:03	0,76794	-0,83958	0,00000
10:09	0,76794	-0,23988	0,12612
10:15	0,76794	-0,11994	-0,12612
10:21	0,76794	0,00000	0,12612
10:27	-0,89593	0,00000	0,12612
10:33	1,15190	0,00000	0,12612
10:39	1,27990	0,11994	0,12612
10:45	-0,63995	0,11994	0,00000
10:51	-0,76794	0,11994	0,12612
10:57	-0,63995	0,11994	0,12612
11:03	-0,63995	0,00000	-0,12612
11:09	0,63995	0,00000	0,12612
11:15	-0,63995	0,00000	0,12612
11:21	-1,15190	0,11994	0,12612
11:27	1,02390	0,23988	0,25224
11:33	1,02390	0,23988	0,25224
11:39	1,02390	0,23988	0,25224
11:45	0,89593	0,23988	0,12612
11:51	-0,89593	0,23988	0,12612
11:57	0,76794	0,23988	0,12612
12:03	-0,63995	0,23988	0,12612
12:09	0,63995	0,23988	-0,12612
12:15	-0,63995	0,23988	0,12612
12:21	0,63995	0,23988	0,12612
12:27	0,63995	0,23988	0,12612
12:33	-0,63995	0,35982	0,12612
12:39	-0,76794	0,47976	0,00000
12:45	-0,89593	0,83958	-0,25224
12:51	-1,02390	0,95952	-0,37836
12:57	-0,89593	0,71964	0,25224
13:03	-0,76794	0,35982	0,00000
13:09	1,02390	0,35982	0,12612
13:15	-1,15190	0,35982	0,12612
13:21	1,15190	0,23988	-0,12612
13:27	-1,27990	0,23988	0,12612
13:33	-1,40790	0,23988	0,12612
13:39	-1,27990	0,23988	0,25224
13:45	1,27990	0,23988	0,12612
13:51	1,27990	0,11994	0,12612
13:57	-1,40790	0,11994	-0,12612
14:03	-1,40790	-0,11994	-0,25224
14:09	1,53590	0,11994	0,25224
14:15	-1,79190	0,11994	0,25224
14:21	-1,79190	0,11994	0,25224

Time (hh:mm)	DEP-1 Calculated Field, (V/m)	DEP-2 Calculated Field, (V/m)	DEP-3 Calculated Field, (V/m)
14:27	-1,79190	0,11994	-0,25224
14:33	1,91980	0,11994	0,25224
14:39	-1,91980	0,11994	-0,25224
14:45	2,04780	0,00000	0,25224
14:51	-2,04780	0,00000	0,25224
14:57	1,91980	0,00000	0,25224
15:03	-2,04780	0,00000	0,25224
15:09	1,91980	0,00000	-0,25224
15:15	1,79190	0,00000	0,25224
15:21	1,79190	0,00000	-0,25224
15:27	1,91980	0,00000	0,37836
15:33	1,79190	0,00000	-0,50448
15:39	-1,79190	0,00000	-0,37836
15:45	1,53590	0,11994	0,37836
15:51	1,53590	-0,11994	-0,37836
15:57	1,40790	0,00000	-0,37836
16:03	-2,04780	0,00000	-0,37836
16:09	-1,02390	0,00000	0,37836
16:15	-1,02390	0,00000	-0,37836
16:21	-1,91980	0,00000	-1,26120
16:27	-2,30380	0,00000	1,38730
16:33	1,53590	0,00000	1,38730
16:39	-1,66390	0,11994	-1,38730
16:45	-1,53590	0,23988	0,37836
16:51	-1,02390	0,23988	-0,37836
16:57	0,76794	0,23988	-0,37836
17:03	-1,02390	0,23988	0,25224
17:09	-1,02390	0,11994	-0,25224
17:15	1,15190	0,11994	-0,75672
17:21	1,66390	0,11994	0,88284
17:27	-1,53590	0,11994	-1,13510
17:33	-1,66390	0,11994	-1,13510
17:39	-1,53590	0,11994	-1,38730
17:45	1,53590	0,11994	-1,38730
17:51	-1,66390	0,11994	-1,38730
17:57	1,79190	0,11994	1,51340
18:03	-1,79190	0,11994	-1,38730
18:09	-1,91980	0,11994	-1,51340
18:15	1,66390	0,11994	-1,51340
18:21	1,53590	0,11994	-1,51340
18:27	1,53590	0,11994	-1,38730
18:33	-1,40790	0,11994	-1,38730
18:39	-1,53590	0,11994	-1,38730
18:45	1,40790	0,11994	-1,38730
18:51	1,27990	0,11994	1,26120
18:57	-1,40790	0,11994	-1,26120
19:03	1,40790	0,11994	-1,38730
19:09	1,27990	0,11994	-1,38730
19:15	1,02390	0,11994	-1,26120
19:21	1,27990	0,11994	-1,26120

Time (hh:mm)	DEP-1 Calculated Field, (V/m)	DEP-2 Calculated Field, (V/m)	DEP-3 Calculated Field, (V/m)
19:27	1,27990	0,11994	-1,26120
19:33	1,02390	0,11994	-1,00900
19:39	-1,02390	0,11994	-1,26120
19:45	-1,27990	0,11994	-1,13510
19:51	1,27990	0,11994	0,88284
19:57	-1,27990	0,23988	-1,13510
20:03	-1,02390	0,23988	0,88284
20:09	-1,15190	0,23988	-1,00900
20:15	1,27990	0,23988	-0,88284
20:21	1,02390	0,23988	-0,75672
20:27	-0,76794	-0,23988	-0,75672
20:33	-0,89593	0,35982	-0,63060
20:39	-0,89593	-0,35982	-0,63060
20:45	0,89593	-0,35982	-0,63060
20:51	-0,63995	-0,35982	-0,63060
20:57	0,76794	-0,35982	-0,50448
21:03	0,63995	-0,35982	-0,50448
21:09	0,76794	-0,35982	-0,50448
21:15	0,76794	-0,47976	-0,50448
21:21	0,63995	-0,47976	-0,37836
21:27	-0,63995	-0,47976	-0,50448
21:33	0,76794	-0,47976	-0,37836
21:39	-0,63995	-0,47976	-0,50448

Time (hh:mm)	DEP-1 Calculated Field, (V/m)	DEP-2 Calculated Field, (V/m)	DEP-3 Calculated Field, (V/m)
21:45	0,76794	-0,47976	-0,50448
21:51	-0,76794	-0,47976	-0,50448
21:57	-0,63995	-0,47976	-0,50448
22:03	-0,51196	-0,59970	0,50448
22:09	0,63995	-0,59970	-0,50448
22:15	0,63995	-0,59970	-0,50448
22:21	-0,63995	-0,59970	-0,50448
22:27	0,63995	-0,47976	0,63060
22:33	-0,63995	-0,47976	-0,50448
22:39	-0,63995	-0,47976	-0,63060
22:45	0,63995	-0,47976	-0,50448
22:51	-0,51196	-0,47976	-0,50448
22:57	0,63995	-0,47976	-0,50448
23:03	0,63995	-0,47976	-0,50448
23:09	-0,63995	-0,47976	-0,50448
23:15	-0,63995	-0,47976	-0,50448
23:21	0,51196	-0,47976	-0,50448
23:27	0,51196	-0,47976	-0,37836
23:33	-0,51196	-0,47976	-0,37836
23:39	0,51196	-0,47976	-0,50448
23:45	0,51196	-0,47976	-0,50448
23:51	-0,63995	-0,47976	-0,50448
23:57	-0,51196	-0,47976	-0,37836

Annex 13. Information from DEP-sensors for 24/07/00

Time (hh:mm)	DEP-1 Calculated Field, (V/m)	DEP-2 Calculated Field, (V/m)	DEP-3 Calculated Field, (V/m)
0:03	-0,89593	-0,47976	0,37836
0:09	1,53590	-0,47976	-0,50448
0:15	-2,04780	-0,47976	-0,63060
0:21	1,27990	-0,47976	-0,50448
0:27	0,63995	-0,47976	-0,50448
0:33	-0,89593	-0,47976	-0,50448
0:39	-0,89593	-0,47976	-0,50448
0:45	-0,76794	-0,47976	-0,63060
0:51	-1,02390	-0,47976	-0,63060
0:57	-1,02390	-0,47976	0,63060
1:03	-0,76794	-0,47976	0,75672
1:09	-0,89593	-0,47976	0,75672
1:15	-0,76794	-0,47976	-0,75672
1:21	-0,76794	-0,47976	-0,75672
1:27	-0,89593	-0,47976	-0,75672
1:33	-0,89593	-0,47976	-0,75672
1:39	-0,89593	-0,47976	-0,63060
1:45	0,89593	-0,47976	-0,75672
1:51	-1,02390	-0,47976	0,88284
1:57	1,02390	-0,47976	-0,88284
2:03	0,89593	-0,47976	-0,88284
2:09	-1,27990	-0,47976	-1,00900
2:15	1,27990	-1,19940	-1,00900
2:21	1,53590	-1,19940	-1,00900
2:27	1,53590	-1,19940	-0,88284
2:33	-1,27990	-1,19940	-0,88284
2:39	20,86240	-1,55920	-0,50448
2:45	24,95810	-1,43930	-0,50448
2:51	14,46290	-1,31930	-0,25224
2:57	10,11120	-1,31930	0,25224
3:03	7,93540	-1,31930	-0,25224
3:09	6,39950	-1,31930	-0,12612
3:15	6,01550	-1,31930	-0,12612
3:21	5,63160	-1,31930	0,12612
3:27	5,88750	-1,31930	-0,12612
3:33	8,57530	-1,31930	-0,12612
3:39	13,56690	-1,31930	0,00000
3:45	15,35880	-1,31930	0,00000
3:51	19,58250	-1,43930	0,00000
3:57	23,55020	-1,91900	0,00000
4:03	23,55020	-2,03900	0,00000
4:09	10,11120	-1,43930	0,00000
4:15	8,57530	-1,79910	-0,12612
4:21	5,88750	-1,31930	0,00000
4:27	5,24760	-1,31930	0,00000
4:33	5,11960	-1,31930	0,00000
4:39	4,60760	-1,31930	0,00000

Time (hh:mm)	DEP-1 Calculated Field, (V/m)	DEP-2 Calculated Field, (V/m)	DEP-3 Calculated Field, (V/m)
4:45	4,22370	-1,31930	0,00000
4:51	-3,96770	-1,31930	0,00000
4:57	3,32770	-1,31930	0,00000
5:03	3,19970	-1,31930	0,00000
5:09	2,81580	-1,19940	0,12612
5:15	2,30380	-1,19940	0,00000
5:21	2,30380	-1,19940	0,12612
5:27	1,91980	-1,19940	0,12612
5:33	3,19970	-1,31930	0,25224
5:39	4,86360	-1,91900	2,77460
5:45	5,11960	-1,91900	3,53140
5:51	4,99160	-1,91900	-2,27020
5:57	4,09570	-1,79910	1,63960
6:03	2,68780	-1,31930	1,13510
6:09	2,04780	-1,31930	-0,37836
6:15	1,79190	-1,19940	0,00000
6:21	1,53590	-1,19940	0,00000
6:27	1,40790	-1,19940	0,00000
6:33	1,53590	-1,19940	0,00000
6:39	-1,27990	-1,19940	0,00000
6:45	-1,02390	-1,19940	0,00000
6:51	-1,27990	-1,19940	0,12612
6:57	1,40790	-1,07950	0,12612
7:03	-4,35170	-1,31930	-0,50448
7:09	-4,09570	-1,31930	-0,50448
7:15	-4,09570	-1,31930	0,50448
7:21	-3,96770	-1,31930	0,50448
7:27	-3,96770	-1,31930	0,12612
7:33	-3,96770	-1,31930	-0,50448
7:39	-3,71170	-1,19940	-0,50448
7:45	-3,83970	-1,19940	-0,50448
7:51	-3,96770	-1,19940	0,63060
7:57	-3,83970	-1,19940	-0,75672
8:03	-3,83970	-1,07950	0,63060
8:09	-3,71170	-1,07950	-0,75672
8:15	-3,71170	-1,07950	0,75672
8:21	-3,71170	-0,95952	0,75672
8:27	-3,71170	-0,95952	0,63060
8:33	-3,71170	-0,95952	-0,75672
8:39	-3,71170	-1,07950	0,75672
8:45	-3,71170	-1,07950	-0,75672
8:51	-3,71170	-1,07950	0,63060
8:57	-3,71170	-1,07950	0,63060
9:03	-3,71170	-1,07950	0,75672
9:09	-3,71170	-1,07950	-0,63060
9:15	-3,71170	-1,19940	-0,63060
9:21	-3,71170	-1,19940	-0,63060

Time (hh:mm)	DEP-1 Calculated Field, (V/m)	DEP-2 Calculated Field, (V/m)	DEP-3 Calculated Field, (V/m)
9:27	-3,71170	-1,19940	0,63060
9:33	-3,71170	-1,19940	0,63060
9:39	-3,58370	-1,19940	0,63060
9:45	-3,58370	-1,19940	-0,63060
9:51	-3,58370	-1,19940	0,63060
9:57	-3,58370	-1,19940	0,63060
10:03	-3,45570	-1,07950	0,63060
10:09	-3,45570	-1,19940	0,63060
10:15	-3,45570	-1,31930	0,63060
10:21	-3,32770	-1,31930	0,63060
10:27	-3,32770	-1,55920	0,63060
10:33	-3,19970	-1,43930	-0,63060
10:39	-3,19970	-1,67920	-0,50448
10:45	-3,19970	-1,67920	-0,50448
10:51	-3,19970	-1,79910	-0,50448
10:57	-3,19970	-1,91900	-0,50448
11:03	-3,32770	-1,91900	-0,50448
11:09	-3,19970	-1,91900	-0,50448
11:15	-3,07180	-1,91900	-0,50448
11:21	-3,07180	-1,79910	0,50448
11:27	-3,07180	-1,79910	0,63060
11:33	-3,07180	-1,79910	0,63060
11:39	-3,07180	-1,79910	-0,63060
11:45	-2,94380	-1,79910	0,63060
11:51	-2,94380	-1,79910	-0,50448
11:57	-2,94380	-1,79910	-0,50448
12:03	-2,81580	-1,79910	-0,50448
12:09	-2,81580	-1,79910	0,50448
12:15	-2,81580	-1,79910	0,50448
12:21	-2,81580	-1,67920	0,50448
12:27	-2,81580	-1,67920	0,50448
12:33	-2,81580	-1,67920	0,50448
12:39	-2,81580	-1,67920	-0,50448
12:45	-2,81580	-1,55920	0,50448
12:51	-2,81580	-1,55920	-0,50448
12:57	-2,68780	-1,55920	0,50448
13:03	-2,81580	-1,43930	0,50448
13:09	3,32770	-0,71964	-0,37836
13:15	2,17580	0,11994	-0,25224
13:21	2,04780	0,23988	0,25224
13:27	1,91980	0,23988	-0,25224
13:33	-1,79190	0,35982	0,12612
13:39	-1,79190	0,35982	0,12612
13:45	1,79190	0,35982	0,12612
13:51	1,66390	0,23988	0,12612
13:57	-1,79190	0,35982	0,12612
14:03	1,79190	0,23988	0,12612
14:09	1,91980	0,23988	0,12612
14:15	1,91980	0,23988	-0,12612
14:21	2,04780	0,23988	-0,12612

Time (hh:mm)	DEP-1 Calculated Field, (V/m)	DEP-2 Calculated Field, (V/m)	DEP-3 Calculated Field, (V/m)
14:27	-2,04780	0,23988	0,12612
14:33	-2,04780	0,23988	-0,12612
14:39	1,91980	0,11994	0,12612
14:45	-1,91980	0,11994	0,12612
14:51	-1,79190	-0,11994	0,12612
14:57	-1,79190	0,11994	-0,12612
15:03	-1,79190	0,11994	-0,12612
15:09	1,91980	0,11994	-0,12612
15:15	1,91980	0,00000	-0,12612
15:21	1,91980	0,11994	-0,12612
15:27	1,91980	0,00000	0,12612
15:33	1,79190	0,00000	-0,37836
15:39	1,79190	0,00000	0,37836
15:45	1,66390	0,00000	0,37836
15:51	1,79190	0,00000	-0,37836
15:57	1,66390	0,00000	0,37836
16:03	1,91980	0,00000	0,37836
16:09	-2,04780	0,00000	0,37836
16:15	1,53590	0,00000	0,37836
16:21	-2,17580	0,00000	0,37836
16:27	-3,58370	-0,11994	1,13510
16:33	1,91980	0,00000	1,13510
16:39	-1,66390	0,11994	-1,13510
16:45	-1,53590	0,11994	-0,88284
16:51	1,53590	-0,23988	-0,25224
16:57	-2,30380	0,23988	-0,25224
17:03	-2,43180	0,23988	0,25224
17:09	2,30380	0,23988	-0,25224
17:15	2,30380	0,23988	-0,63060
17:21	-2,43180	0,23988	-0,88284
17:27	-2,30380	0,23988	-1,00900
17:33	-2,43180	0,23988	1,00900
17:39	2,68780	0,23988	-1,13510
17:45	2,68780	0,23988	-1,26120
17:51	-2,81580	0,23988	-1,38730
17:57	2,94380	0,23988	-1,38730
18:03	2,81580	0,23988	-1,38730
18:09	3,07180	0,23988	-1,26120
18:15	-2,81580	-0,23988	-1,26120
18:21	-2,81580	0,23988	-1,38730
18:27	-2,30380	0,23988	-1,38730
18:33	2,17580	0,23988	-1,38730
18:39	-2,43180	0,23988	-1,26120
18:45	1,79190	0,23988	-1,38730
18:51	1,91980	0,23988	-1,26120
18:57	2,04780	0,23988	-1,13510
19:03	1,66390	0,11994	-1,13510
19:09	-2,17580	0,11994	-1,26120
19:15	-2,04780	0,11994	1,13510
19:21	2,04780	0,11994	-1,13510

Time (hh:mm)	DEP-1 Calculated Field, (V/m)	DEP-2 Calculated Field, (V/m)	DEP-3 Calculated Field, (V/m)
19:27	-1,79190	0,11994	-1,26120
19:33	1,91980	0,11994	1,00900
19:39	1,91980	0,11994	-1,13510
19:45	2,04780	0,11994	-1,13510
19:51	2,04780	0,23988	-1,13510
19:57	2,17580	0,23988	-0,88284
20:03	-2,04780	0,23988	0,88284
20:09	1,79190	0,23988	-1,00900
20:15	1,91980	0,23988	-1,00900
20:21	-1,66390	0,23988	-0,75672
20:27	-1,66390	0,23988	-0,88284
20:33	1,66390	0,35982	-0,75672
20:39	1,66390	0,35982	-0,75672
20:45	1,53590	0,35982	-0,75672
20:51	1,66390	0,35982	-0,63060
20:57	-1,53590	-0,35982	-0,63060
21:03	1,40790	0,35982	-0,63060
21:09	1,66390	-0,35982	-0,50448
21:15	1,53590	-0,35982	-0,50448
21:21	1,53590	-0,35982	-0,50448
21:27	1,66390	-0,35982	-0,50448
21:33	1,53590	-0,47976	-0,37836
21:39	1,66390	-0,47976	-0,37836

Time (hh:mm)	DEP-1 Calculated Field, (V/m)	DEP-2 Calculated Field, (V/m)	DEP-3 Calculated Field, (V/m)
21:45	1,53590	0,47976	-0,37836
21:51	1,66390	-0,47976	-0,37836
21:57	1,53590	-0,47976	-0,37836
22:03	1,79190	-0,47976	0,37836
22:09	1,53590	-0,47976	-0,37836
22:15	1,66390	-0,59970	-0,50448
22:21	1,91980	-0,59970	-0,37836
22:27	1,66390	-0,47976	0,50448
22:33	1,79190	-0,47976	-0,37836
22:39	-1,79190	-0,47976	-0,37836
22:45	1,91980	-0,47976	-0,37836
22:51	1,79190	-0,47976	-0,37836
22:57	2,04780	-0,47976	-0,37836
23:03	2,04780	-0,47976	0,37836
23:09	1,91980	-0,47976	-0,37836
23:15	2,04780	-0,47976	-0,37836
23:21	1,91980	-0,47976	0,37836
23:27	-1,91980	-0,47976	0,37836
23:33	1,66390	-0,47976	-0,37836
23:39	1,79190	-0,47976	-0,50448
23:45	-1,66390	-0,47976	-0,37836
23:51	1,79190	-0,47976	-0,37836
23:57	1,79190	-0,47976	-0,37836

Annex 14. Information from DEP-sensors for 07/08/00

Time (hh:mm)	DEP-1 Calculated Field, (V/m)	DEP-2 Calculated Field, (V/m)	DEP-3 Calculated Field, (V/m)
0:03	1,66390	-0,47976	-0,37836
0:09	-1,53590	-0,47976	-0,37836
0:15	-1,66390	-0,59970	-0,50448
0:21	-1,79190	-0,47976	-0,37836
0:27	-1,66390	-0,59970	-0,50448
0:33	-1,79190	-0,59970	-0,63060
0:39	1,79190	-0,59970	-0,50448
0:45	1,79190	-0,59970	-0,50448
0:51	-1,79190	-0,59970	-0,63060
0:57	1,79190	-0,59970	-0,75672
1:03	19,58250	-0,47976	0,12612
1:09	23,55020	-1,19940	-0,12612
1:15	11,39110	-0,95952	-1,13510
1:21	3,07180	-0,59970	-1,13510
1:27	2,17580	-0,59970	-0,75672
1:33	1,66390	-0,59970	-0,63060
1:39	-1,91980	-0,59970	-0,75672
1:45	-1,91980	-0,59970	-0,75672
1:51	-2,04780	-0,59970	-0,75672
1:57	-1,79190	-0,59970	-0,75672
2:03	-1,91980	-0,59970	-0,75672
2:09	-2,04780	-0,59970	-0,63060
2:15	-1,66390	-0,59970	-0,63060
2:21	1,79190	-1,19940	0,63060
2:27	-1,91980	-1,19940	-0,63060
2:33	-1,79190	-1,19940	-0,50448
2:39	-2,04780	-1,19940	-0,12612
2:45	-1,27990	-1,19940	-0,12612
2:51	-1,79190	-1,19940	-0,12612
2:57	1,15190	-1,07950	-0,25224
3:03	-1,02390	-1,07950	0,25224
3:09	-1,02390	-1,07950	-0,25224
3:15	-1,02390	-1,07950	-0,12612
3:21	1,02390	-1,07950	0,12612
3:27	1,15190	-0,95952	0,12612
3:33	-1,15190	-0,95952	0,12612
3:39	-1,02390	-0,95952	0,12612
3:45	0,89593	-0,83958	0,12612
3:51	-1,02390	-0,83958	0,12612
3:57	0,89593	-0,83958	-0,12612
4:03	-1,15190	-0,83958	0,12612
4:09	-0,89593	-0,71964	0,12612
4:15	-2,17580	-0,71964	-0,12612
4:21	1,53590	-0,71964	0,12612
4:27	-1,91980	-0,59970	0,12612
4:33	-2,68780	-0,59970	0,12612
4:39	-2,30380	-0,59970	-0,12612

Time (hh:mm)	DEP-1 Calculated Field, (V/m)	DEP-2 Calculated Field, (V/m)	DEP-3 Calculated Field, (V/m)
4:45	1,53590	-0,59970	0,12612
4:51	2,43180	-0,59970	0,12612
4:57	-2,94380	-0,59970	0,12612
5:03	-2,04780	-0,59970	0,12612
5:09	-1,79190	-0,59970	0,12612
5:15	-1,66390	-0,47976	0,12612
5:21	1,66390	-0,47976	-0,12612
5:27	-1,40790	-0,47976	0,12612
5:33	-1,27990	-0,47976	0,12612
5:39	1,27990	-0,47976	0,12612
5:45	1,02390	-0,47976	0,12612
5:51	0,89593	-0,47976	0,12612
5:57	0,76794	-0,47976	-0,12612
6:03	0,76794	-0,47976	-0,12612
6:09	0,76794	-0,47976	0,12612
6:15	-0,76794	-0,47976	0,12612
6:21	0,89593	-0,47976	-0,12612
6:27	1,02390	-0,47976	0,12612
6:33	1,27990	-0,47976	0,12612
6:39	-1,02390	-0,47976	-0,12612
6:45	0,76794	-0,47976	0,12612
6:51	-0,89593	-0,47976	0,12612
6:57	0,89593	-0,47976	-0,12612
7:03	0,89593	-0,47976	0,12612
7:09	1,02390	-0,47976	0,12612
7:15	1,02390	-0,47976	-0,12612
7:21	1,02390	-0,59970	-0,12612
7:27	0,89593	-0,59970	0,12612
7:33	1,02390	-0,59970	0,12612
7:39	1,15190	-0,59970	0,12612
7:45	1,15190	-0,59970	0,12612
7:51	1,15190	-0,59970	0,12612
7:57	1,15190	-0,59970	0,12612
8:03	1,15190	-0,59970	0,12612
8:09	1,15190	-0,59970	0,12612
8:15	1,15190	-0,59970	-0,12612
8:21	1,02390	-0,59970	0,12612
8:27	1,15190	-0,59970	0,12612
8:33	1,02390	-0,59970	0,12612
8:39	1,15190	-0,47976	-0,12612
8:45	1,02390	-0,47976	0,12612
8:51	-1,02390	-0,47976	-0,12612
8:57	1,27990	-0,47976	0,12612
9:03	1,02390	-0,47976	-0,12612
9:09	1,02390	-0,47976	0,12612
9:15	1,27990	-0,47976	0,12612
9:21	1,15190	-0,47976	0,12612

Time (hh:mm)	DEP-1 Calculated Field, (V/m)	DEP-2 Calculated Field, (V/m)	DEP-3 Calculated Field, (V/m)
9:27	1,02390	-0,47976	-0,12612
9:33	1,02390	-0,47976	0,12612
9:39	1,02390	-0,47976	0,12612
9:45	0,63995	-0,47976	-0,12612
9:51	-0,76794	-0,35982	0,12612
9:57	-0,89593	-0,35982	0,12612
10:03	-0,89593	-0,35982	0,12612
10:09	-0,89593	-0,35982	0,12612
10:15	-1,02390	0,11994	0,12612
10:21	-1,02390	0,11994	0,12612
10:27	1,02390	0,11994	-0,12612
10:33	-1,15190	-0,11994	0,12612
10:39	-1,15190	-0,11994	0,12612
10:45	-1,15190	-0,23988	0,12612
10:51	-1,15190	0,23988	0,12612
10:57	-1,27990	0,23988	0,12612
11:03	-1,15190	0,35982	0,12612
11:09	-1,27990	0,35982	0,12612
11:15	-1,27990	-0,23988	0,12612
11:21	-1,27990	0,11994	-0,12612
11:27	-1,40790	0,11994	0,12612
11:33	-1,40790	-0,11994	0,12612
11:39	-1,40790	0,00000	-0,12612
11:45	-1,40790	0,00000	0,12612
11:51	-1,40790	0,00000	0,12612
11:57	-1,66390	0,00000	0,12612
12:03	-1,66390	0,00000	0,12612
12:09	-1,66390	-0,11994	-0,12612
12:15	-1,79190	0,11994	-0,12612
12:21	-1,79190	0,11994	-0,12612
12:27	-1,91980	0,11994	-0,12612
12:33	-1,91980	0,11994	-0,12612
12:39	-2,04780	0,11994	-0,12612
12:45	-2,04780	0,11994	0,12612
12:51	-2,04780	0,59970	0,12612
12:57	6,27150	0,71964	0,25224
13:03	5,63160	0,83958	0,12612
13:09	5,50360	0,83958	0,12612
13:15	5,37560	0,71964	-0,12612
13:21	5,37560	0,71964	0,12612
13:27	5,24760	0,59970	0,12612
13:33	5,11960	0,59970	0,12612
13:39	5,11960	0,59970	-0,12612
13:45	5,11960	0,47976	0,12612
13:51	4,99160	0,47976	0,12612
13:57	-2,43180	-0,11994	0,12612
14:03	-2,43180	-0,23988	0,12612
14:09	-2,43180	-0,35982	-0,12612
14:15	-2,43180	-0,35982	0,25224
14:21	-2,30380	-0,35982	-0,25224

Time (hh:mm)	DEP-1 Calculated Field, (V/m)	DEP-2 Calculated Field, (V/m)	DEP-3 Calculated Field, (V/m)
14:27	-2,43180	-0,47976	-0,25224
14:33	-2,43180	-0,47976	-0,25224
14:39	-2,43180	-0,47976	0,25224
14:45	-2,30380	-0,47976	0,25224
14:51	-2,30380	-0,47976	0,25224
14:57	1,79190	-0,47976	-0,25224
15:03	-1,91980	-0,47976	0,25224
15:09	-1,91980	-0,47976	0,25224
15:15	-1,91980	-0,47976	0,25224
15:21	-1,91980	-0,47976	0,25224
15:27	1,91980	-0,47976	0,25224
15:33	-1,91980	-0,47976	0,25224
15:39	-1,91980	-0,47976	-0,37836
15:45	-2,04780	-0,47976	-0,25224
15:51	-1,91980	-0,47976	0,37836
15:57	2,04780	-0,47976	0,37836
16:03	-2,30380	-0,47976	-0,37836
16:09	-1,40790	-0,47976	-0,50448
16:15	-1,53590	-0,47976	0,50448
16:21	1,79190	-0,35982	-0,37836
16:27	2,68780	-0,35982	-0,37836
16:33	-2,55980	-0,35982	1,26120
16:39	2,17580	-0,35982	1,38730
16:45	2,17580	-0,47976	-1,26120
16:51	-2,55980	-0,47976	-0,37836
16:57	-1,91980	0,59970	-0,37836
17:03	-1,79190	0,71964	0,37836
17:09	-2,04780	0,59970	0,37836
17:15	-1,53590	0,59970	-0,25224
17:21	2,17580	0,59970	-0,25224
17:27	-1,91980	0,59970	0,63060
17:33	-1,53590	-0,59970	-0,88284
17:39	-1,91980	-0,59970	-1,26120
17:45	-1,27990	-0,47976	-1,13510
17:51	-1,66390	-0,47976	-1,51340
17:57	-1,79190	-0,47976	-1,51340
18:03	1,91980	-0,47976	-1,38730
18:09	-2,30380	-0,47976	-1,51340
18:15	2,17580	0,47976	-1,38730
18:21	-1,91980	0,47976	-1,38730
18:27	-2,55980	0,47976	-1,38730
18:33	-2,17580	0,47976	-1,38730
18:39	-1,91980	0,47976	-1,51340
18:45	-2,17580	0,47976	-1,26120
18:51	1,91980	0,47976	-1,26120
18:57	-1,91980	0,47976	-1,26120
19:03	-1,91980	0,47976	-1,26120
19:09	-1,79190	0,47976	-1,26120
19:15	-1,79190	0,47976	-1,26120
19:21	1,91980	0,59970	-1,26120

Time (hh:mm)	DEP-1 Calculated Field, (V/m)	DEP-2 Calculated Field, (V/m)	DEP-3 Calculated Field, (V/m)
19:27	-1,79190	0,59970	-1,13510
19:33	-2,04780	0,59970	-1,13510
19:39	-2,17580	0,59970	-1,00900
19:45	1,79190	-0,59970	-1,00900
19:51	-1,53590	0,59970	-1,00900
19:57	-1,79190	0,59970	-1,13510
20:03	-2,04780	-0,71964	-0,88284
20:09	-1,66390	0,59970	-0,88284
20:15	-2,17580	-0,59970	-1,00900
20:21	-2,04780	0,59970	-1,00900
20:27	-2,04780	-0,71964	0,88284
20:33	-2,30380	-0,71964	-0,88284
20:39	-1,66390	0,71964	-0,88284
20:45	2,04780	-0,71964	-0,88284
20:51	-1,53590	-0,71964	-0,75672
20:57	-1,66390	-0,83958	-0,75672
21:03	-1,91980	0,83958	-0,63060
21:09	-1,66390	-0,83958	-0,63060
21:15	-1,79190	0,83958	-0,63060
21:21	1,79190	0,83958	-0,50448
21:27	-1,91980	-0,83958	-0,50448
21:33	-1,66390	0,95952	0,63060
21:39	1,66390	-0,95952	-0,50448

Time (hh:mm)	DEP-1 Calculated Field, (V/m)	DEP-2 Calculated Field, (V/m)	DEP-3 Calculated Field, (V/m)
21:45	-1,66390	-0,95952	-0,50448
21:51	1,66390	-0,95952	-0,50448
21:57	-1,40790	-0,95952	-0,37836
22:03	-1,79190	0,95952	-0,37836
22:09	-1,66390	0,95952	-0,37836
22:15	1,40790	0,95952	-0,37836
22:21	-1,53590	0,95952	-0,37836
22:27	1,66390	-0,95952	-0,50448
22:33	-1,53590	-0,95952	-0,37836
22:39	-1,53590	-0,95952	-0,37836
22:45	-1,79190	-0,95952	-0,37836
22:51	-1,66390	-0,83958	-0,50448
22:57	-1,40790	0,83958	-0,50448
23:03	-1,66390	-0,83958	-0,50448
23:09	-1,66390	-0,83958	-0,37836
23:15	-1,66390	-0,83958	-0,50448
23:21	-1,66390	-0,83958	-0,37836
23:27	-1,66390	-0,83958	-0,63060
23:33	-1,66390	-0,83958	-0,50448
23:39	-1,79190	-0,83958	-0,50448
23:45	-1,66390	-0,71964	-0,63060
23:51	-1,79190	-0,71964	-0,75672
23:57	1,91980	-0,59970	0,50448

Annex 15. Information from DEP-sensors for 08/08/00

Time (hh:mm)	DEP-1 Calculated Field, (V/m)	DEP-2 Calculated Field, (V/m)	DEP-3 Calculated Field, (V/m)
0:03	-1,91980	-0,59970	-0,63060
0:09	-1,79190	-0,71964	-0,50448
0:15	1,91980	-0,71964	-0,50448
0:21	-1,79190	-0,59970	-0,50448
0:27	2,04780	-0,59970	-0,63060
0:33	-1,66390	-0,83958	-0,50448
0:39	1,91980	-0,59970	-0,50448
0:45	1,91980	-0,71964	-0,63060
0:51	1,79190	-0,71964	-0,50448
0:57	-1,66390	-0,71964	0,63060
1:03	1,79190	-0,71964	-0,75672
1:09	-1,53590	0,71964	-0,63060
1:15	1,66390	-0,71964	-0,75672
1:21	1,66390	-0,71964	-0,75672
1:27	-1,79190	0,71964	-0,75672
1:33	-1,66390	-0,83958	-0,75672
1:39	-1,66390	-0,83958	-0,75672
1:45	-1,66390	0,71964	-0,88284
1:51	-1,66390	-0,71964	-0,88284
1:57	-1,79190	-0,71964	-0,75672
2:03	-1,66390	0,71964	-0,88284
2:09	1,66390	-0,71964	-0,88284
2:15	1,66390	-0,83958	-0,75672
2:21	-1,66390	-1,19940	-0,75672
2:27	-1,53590	-1,19940	-0,63060
2:33	-1,53590	-1,19940	0,50448
2:39	-1,66390	-1,19940	-0,50448
2:45	-1,53590	-1,19940	-0,12612
2:51	-1,53590	-1,19940	-0,12612
2:57	-2,30380	-1,19940	-0,25224
3:03	-2,43180	-1,07950	0,25224
3:09	-1,66390	-1,07950	-0,25224
3:15	-2,43180	-1,07950	0,12612
3:21	-1,66390	-1,07950	0,12612
3:27	-2,04780	-0,95952	0,12612
3:33	1,66390	-0,95952	0,12612
3:39	2,17580	-0,95952	-0,12612
3:45	0,76794	-0,95952	-0,12612
3:51	-0,63995	-0,95952	0,12612
3:57	-0,76794	-0,83958	0,12612
4:03	1,02390	-0,83958	0,12612
4:09	-1,02390	-0,83958	0,12612
4:15	-2,04780	-0,71964	0,12612
4:21	-2,04780	-0,71964	0,12612
4:27	-1,91980	-0,71964	0,12612
4:33	-2,30380	-0,71964	-0,12612
4:39	-2,30380	-0,59970	0,12612

Time (hh:mm)	DEP-1 Calculated Field, (V/m)	DEP-2 Calculated Field, (V/m)	DEP-3 Calculated Field, (V/m)
4:45	1,91980	-0,59970	-0,12612
4:51	-2,30380	-0,59970	0,12612
4:57	-2,43180	-0,59970	0,12612
5:03	1,79190	-0,59970	-0,12612
5:09	-1,79190	-0,59970	-0,12612
5:15	-1,79190	-0,59970	-0,12612
5:21	-1,53590	-0,47976	0,12612
5:27	-1,53590	-0,47976	0,12612
5:33	1,40790	-0,47976	0,12612
5:39	-1,02390	-0,47976	-0,12612
5:45	1,02390	-0,47976	0,12612
5:51	0,89593	-0,47976	0,12612
5:57	-0,76794	-0,47976	-0,12612
6:03	0,76794	-0,47976	-0,12612
6:09	-0,63995	-0,47976	0,12612
6:15	0,76794	-0,47976	-0,12612
6:21	0,89593	-0,47976	0,12612
6:27	0,76794	-0,47976	0,12612
6:33	-1,15190	-0,71964	-0,12612
6:39	1,27990	-0,71964	0,12612
6:45	1,40790	-0,83958	0,12612
6:51	1,40790	-0,83958	0,00000
6:57	1,27990	-0,95952	0,00000
7:03	-1,27990	-1,07950	-0,37836
7:09	1,27990	-1,07950	0,63060
7:15	1,27990	-1,07950	-0,63060
7:21	1,15190	-1,07950	-0,12612
7:27	1,02390	-0,95952	0,00000
7:33	0,89593	-0,95952	0,00000
7:39	0,76794	-0,95952	0,00000
7:45	0,76794	-0,83958	0,12612
7:51	0,63995	-0,71964	0,12612
7:57	0,51196	-0,59970	-0,12612
8:03	-0,89593	-0,59970	0,12612
8:09	1,02390	-0,59970	0,12612
8:15	1,15190	-0,47976	0,12612
8:21	1,27990	-0,47976	-0,12612
8:27	1,15190	-0,47976	0,12612
8:33	1,40790	-0,47976	0,12612
8:39	1,40790	-0,47976	-0,12612
8:45	1,40790	-0,47976	0,12612
8:51	-1,40790	-0,47976	0,12612
8:57	1,40790	-0,47976	0,12612
9:03	1,27990	-0,47976	0,12612
9:09	1,27990	-0,47976	0,12612
9:15	0,89593	-0,47976	0,12612
9:21	0,89593	-0,47976	-0,12612

Time (hh:mm)	DEP-1 Calculated Field, (V/m)	DEP-2 Calculated Field, (V/m)	DEP-3 Calculated Field, (V/m)
9:27	0,76794	-0,47976	0,12612
9:33	0,76794	-0,47976	-0,12612
9:39	-0,76794	-0,47976	-0,12612
9:45	0,63995	-0,47976	0,12612
9:51	0,63995	-0,47976	0,12612
9:57	-0,63995	-0,47976	0,12612
10:03	-0,76794	-0,47976	0,12612
10:09	0,89593	-0,47976	-0,12612
10:15	0,89593	0,11994	0,12612
10:21	1,02390	0,11994	0,12612
10:27	0,89593	0,23988	0,12612
10:33	-1,15190	-0,11994	-0,12612
10:39	-1,15190	-0,23988	0,12612
10:45	-1,15190	-0,23988	-0,12612
10:51	-1,15190	-0,23988	-0,12612
10:57	-1,15190	0,23988	-0,12612
11:03	-1,15190	0,23988	-0,12612
11:09	-1,15190	0,35982	-0,12612
11:15	-1,15190	0,35982	0,12612
11:21	-1,27990	-0,35982	0,12612
11:27	-1,27990	-0,23988	-0,12612
11:33	-1,15190	-0,23988	0,12612
11:39	-1,27990	-0,11994	0,12612
11:45	-1,53590	0,11994	0,12612
11:51	-1,27990	0,00000	0,12612
11:57	-1,40790	0,00000	-0,12612
12:03	-1,27990	0,00000	-0,12612
12:09	-1,27990	0,00000	-0,12612
12:15	-1,66390	0,00000	-0,12612
12:21	-1,79190	0,00000	-0,12612
12:27	-1,91980	0,00000	-0,12612
12:33	-1,91980	0,00000	-0,12612
12:39	-2,04780	0,00000	-0,12612
12:45	-2,04780	0,00000	0,12612
12:51	4,86360	0,47976	-0,25224
12:57	5,75950	0,83958	-0,12612
13:03	5,24760	0,71964	0,12612
13:09	5,37560	0,71964	0,12612
13:15	5,11960	0,59970	-0,12612
13:21	5,11960	0,59970	0,12612
13:27	5,11960	0,59970	0,12612
13:33	5,11960	0,47976	-0,12612
13:39	5,11960	0,47976	0,12612
13:45	4,99160	0,47976	-0,12612
13:51	-2,55980	0,11994	-0,12612
13:57	-2,43180	-0,23988	-0,12612
14:03	-2,17580	-0,35982	-0,12612
14:09	-2,43180	-0,35982	-0,25224
14:15	-2,43180	-0,35982	0,25224
14:21	-2,43180	-0,35982	0,25224

Time (hh:mm)	DEP-1 Calculated Field, (V/m)	DEP-2 Calculated Field, (V/m)	DEP-3 Calculated Field, (V/m)
14:27	-2,43180	-0,35982	0,25224
14:33	-2,43180	-0,35982	-0,25224
14:39	-2,30380	-0,35982	-0,25224
14:45	-2,30380	-0,35982	0,25224
14:51	1,79190	-0,35982	0,25224
14:57	-2,04780	-0,35982	-0,25224
15:03	-1,91980	-0,47976	0,25224
15:09	-2,04780	-0,47976	-0,25224
15:15	-1,91980	-0,47976	0,25224
15:21	-1,91980	-0,47976	0,25224
15:27	-1,91980	-0,47976	0,25224
15:33	-1,91980	-0,47976	-0,25224
15:39	-1,91980	-0,47976	0,25224
15:45	2,04780	-0,47976	0,25224
15:51	2,04780	-0,47976	0,37836
15:57	1,79190	-0,47976	-0,37836
16:03	-2,30380	-0,47976	0,37836
16:09	1,91980	-0,35982	0,50448
16:15	1,66390	-0,35982	0,37836
16:21	3,07180	-0,35982	-0,37836
16:27	2,55980	-0,35982	0,37836
16:33	-2,30380	-0,35982	1,26120
16:39	-2,43180	-0,35982	1,26120
16:45	-2,55980	-0,35982	0,37836
16:51	-2,55980	-0,47976	-1,26120
16:57	-1,79190	0,59970	1,38730
17:03	-1,79190	0,59970	0,25224
17:09	-2,04780	0,59970	-0,25224
17:15	-1,66390	-0,59970	0,25224
17:21	-2,04780	-0,47976	0,25224
17:27	-2,55980	-0,47976	-0,63060
17:33	-2,30380	-0,47976	-0,88284
17:39	-2,55980	-0,47976	-1,00900
17:45	-2,68780	-0,47976	-1,26120
17:51	-2,81580	-0,47976	-1,38730
17:57	2,68780	-0,47976	-1,51340
18:03	-2,55980	-0,47976	1,51340
18:09	-2,55980	-0,47976	-1,38730
18:15	-2,55980	-0,47976	-1,38730
18:21	2,04780	-0,47976	-1,38730
18:27	-1,15190	-0,47976	-1,38730
18:33	1,40790	-0,47976	-1,38730
18:39	-1,53590	0,47976	-1,51340
18:45	-1,66390	0,47976	-1,38730
18:51	-1,66390	0,47976	-1,38730
18:57	-1,53590	-0,47976	-1,38730
19:03	-1,79190	-0,47976	-1,26120
19:09	-1,66390	0,47976	-1,26120
19:15	-1,40790	-0,47976	-1,26120
19:21	-1,79190	0,47976	-1,13510

Time (hh:mm)	DEP-1 Calculated Field, (V/m)	DEP-2 Calculated Field, (V/m)	DEP-3 Calculated Field, (V/m)
19:27	-1,40790	0,47976	-1,26120
19:33	-1,53590	0,47976	-1,13510
19:39	-1,66390	-0,47976	-1,13510
19:45	-1,40790	0,47976	-1,13510
19:51	-1,66390	-0,47976	-1,00900
19:57	1,40790	-0,47976	-1,13510
20:03	-1,53590	-0,47976	-1,00900
20:09	-1,40790	-0,47976	-1,00900
20:15	-1,79190	-0,47976	-0,88284
20:21	-1,79190	-0,59970	-1,00900
20:27	-1,66390	-0,59970	-0,88284
20:33	-1,66390	-0,59970	-0,75672
20:39	-1,66390	-0,59970	0,88284
20:45	-1,66390	-0,59970	-0,75672
20:51	-1,79190	0,59970	-0,88284
20:57	-1,53590	0,59970	-0,75672
21:03	1,53590	-0,59970	-0,75672
21:09	-1,53590	-0,59970	-0,75672
21:15	-1,40790	-0,71964	-0,63060
21:21	-1,53590	0,71964	-0,63060
21:27	-1,66390	-0,83958	-0,63060
21:33	-1,53590	-0,83958	-0,63060
21:39	-1,53590	0,83958	-0,50448

Time (hh:mm)	DEP-1 Calculated Field, (V/m)	DEP-2 Calculated Field, (V/m)	DEP-3 Calculated Field, (V/m)
21:45	-1,40790	0,71964	-0,50448
21:51	1,53590	-0,71964	-0,50448
21:57	-1,66390	-0,71964	-0,50448
22:03	1,53590	-0,83958	-0,37836
22:09	-1,27990	-0,83958	-0,37836
22:15	-1,66390	-0,83958	0,50448
22:21	-1,40790	-0,83958	-0,37836
22:27	-1,40790	-0,83958	-0,37836
22:33	1,40790	-0,83958	-0,50448
22:39	-1,27990	-0,83958	-0,50448
22:45	-1,40790	-0,83958	-0,50448
22:51	-1,53590	-0,71964	-0,50448
22:57	-1,53590	-0,71964	-0,50448
23:03	-1,53590	-0,71964	-0,50448
23:09	-1,40790	-0,71964	-0,50448
23:15	-1,40790	-0,71964	-0,37836
23:21	-1,53590	-0,71964	-0,63060
23:27	-1,53590	-0,71964	-0,37836
23:33	-1,79190	-0,71964	-0,37836
23:39	-1,66390	-0,71964	-0,50448
23:45	-1,79190	-0,71964	-0,50448
23:51	-1,79190	-0,71964	-0,63060
23:57	-1,91980	-0,59970	0,50448

Annex 16. Information from DEP-sensors for 20/08/00

Time (hh:mm)	DEP-1 Calculated Field, (V/m)	DEP-2 Calculated Field, (V/m)	DEP-3 Calculated Field, (V/m)
0:04	0,89593	-0,83958	-0,63060
0:10	-0,89593	-0,83958	-0,63060
0:16	-1,15190	-0,83958	-0,75672
0:22	-0,89593	-0,83958	-0,63060
0:28	1,27990	0,95952	-0,75672
0:34	1,15190	0,95952	-0,75672
0:40	-1,15190	0,83958	-0,75672
0:46	-0,89593	0,83958	-0,75672
0:52	-0,89593	0,71964	-0,88284
0:58	-1,02390	-0,83958	-0,88284
1:04	-1,27990	-0,83958	-0,88284
1:10	1,27990	0,71964	-0,88284
1:16	1,02390	-0,71964	-0,88284
1:22	-1,15190	0,83958	-0,88284
1:28	1,15190	0,83958	-0,88284
1:34	-1,27990	0,83958	-0,88284
1:40	0,89593	0,83958	-0,88284
1:46	1,27990	0,83958	-0,88284
1:52	1,02390	0,95952	-0,88284
1:58	-1,02390	0,83958	-0,88284
2:04	1,15190	0,83958	-0,88284
2:10	1,15190	0,83958	-0,75672
2:16	-1,15190	-1,31930	-0,75672
2:22	-1,27990	-1,31930	-0,75672
2:28	-1,40790	-1,31930	-0,63060
2:34	-1,27990	-1,19940	-0,63060
2:40	1,02390	-1,19940	-0,12612
2:46	1,27990	-1,19940	-0,12612
2:52	-1,40790	-1,19940	0,12612
2:58	-1,40790	-1,19940	0,25224
3:04	-1,27990	-1,19940	-0,25224
3:10	-1,40790	-1,19940	-0,12612
3:16	-1,27990	-1,19940	-0,12612
3:22	-1,02390	-1,19940	-0,50448
3:28	-0,76794	-1,19940	-0,12612
3:34	0,76794	-1,19940	-0,12612
3:40	-0,63995	-1,19940	0,12612
3:46	-0,51196	-1,19940	0,12612
3:52	0,76794	-1,19940	0,12612
3:58	0,63995	-1,19940	-0,12612
4:04	0,63995	-1,07950	0,12612
4:10	0,38397	-1,07950	-0,12612
4:16	1,15190	-1,07950	-0,12612
4:22	2,04780	-1,07950	0,12612
4:28	-2,30380	-1,07950	0,12612
4:34	-2,30380	-1,07950	-0,12612
4:40	-1,66390	-1,07950	-0,12612

Time (hh:mm)	DEP-1 Calculated Field, (V/m)	DEP-2 Calculated Field, (V/m)	DEP-3 Calculated Field, (V/m)
4:46	-1,53590	-0,95952	-0,12612
4:52	-2,17580	-0,83958	0,12612
4:58	-2,68780	-0,95952	0,12612
5:04	-1,79190	-0,95952	0,12612
5:10	-1,66390	-0,95952	-0,12612
5:16	1,66390	-0,95952	-0,12612
5:22	1,53590	-0,95952	-0,12612
5:28	1,40790	-0,95952	0,12612
5:34	1,27990	-0,83958	0,12612
5:40	1,02390	-0,83958	-0,12612
5:46	-1,02390	0,83958	-0,12612
5:52	-0,89593	-0,83958	0,12612
5:58	-0,89593	-0,71964	0,12612
6:04	-0,89593	-0,71964	0,12612
6:10	0,89593	-0,71964	-0,12612
6:16	-1,02390	-0,71964	-0,12612
6:22	1,15190	-0,59970	0,12612
6:28	1,15190	-0,59970	-0,12612
6:34	1,40790	-0,59970	0,12612
6:40	1,27990	-0,59970	0,12612
6:46	-1,15190	-0,59970	0,12612
6:52	0,89593	-0,59970	0,12612
6:58	-1,02390	-0,71964	0,12612
7:04	0,89593	-0,71964	0,12612
7:10	0,76794	-0,71964	0,12612
7:16	0,63995	-0,71964	0,12612
7:22	0,51196	-0,71964	0,12612
7:28	0,51196	-0,59970	0,12612
7:34	0,51196	-0,59970	0,12612
7:40	0,38397	-0,59970	-0,12612
7:46	0,38397	-0,59970	0,12612
7:52	0,38397	-0,59970	0,12612
7:58	0,38397	-0,59970	0,12612
8:04	-0,38397	-0,59970	-0,12612
8:10	-0,38397	-0,59970	-0,12612
8:16	0,51196	-0,59970	-0,12612
8:22	0,38397	-0,59970	-0,12612
8:28	0,51196	-0,59970	0,12612
8:34	0,51196	-0,59970	0,12612
8:40	0,63995	-0,59970	-0,12612
8:46	0,76794	-0,59970	0,12612
8:52	0,89593	-0,59970	0,12612
8:58	0,89593	-0,59970	-0,12612
9:04	0,89593	-0,59970	0,12612
9:10	0,63995	-0,59970	0,12612
9:16	0,76794	-0,47976	0,12612
9:22	0,76794	-0,47976	0,12612

Time (hh:mm)	DEP-1 Calculated Field, (V/m)	DEP-2 Calculated Field, (V/m)	DEP-3 Calculated Field, (V/m)
9:28	0,38397	-0,47976	0,12612
9:34	0,51196	-0,47976	0,12612
9:40	-0,51196	0,47976	-0,12612
9:46	-0,51196	-0,47976	0,12612
9:52	-0,51196	0,47976	0,12612
9:58	0,63995	0,47976	0,12612
10:04	0,76794	0,59970	0,12612
10:10	-0,76794	0,35982	-0,12612
10:16	-0,89593	0,23988	0,12612
10:22	-1,02390	0,47976	0,12612
10:28	-1,02390	-0,35982	-0,12612
10:34	-1,02390	0,47976	0,12612
10:40	-1,02390	0,35982	0,12612
10:46	-1,15190	-0,35982	0,12612
10:52	-1,15190	-0,35982	-0,12612
10:58	-1,02390	0,47976	-0,12612
11:04	-1,02390	-0,11994	0,12612
11:10	-1,02390	-0,11994	-0,12612
11:16	-1,15190	-0,23988	-0,12612
11:22	-1,02390	-0,23988	-0,12612
11:28	1,02390	-0,23988	0,12612
11:34	-1,15190	0,23988	-0,12612
11:40	-1,15190	0,23988	0,12612
11:46	-1,27990	-0,11994	0,12612
11:52	-1,27990	-0,23988	-0,12612
11:58	-1,27990	0,11994	-0,12612
12:04	4,60760	0,59970	0,12612
12:10	5,37560	0,83958	0,12612
12:16	5,24760	0,71964	0,12612
12:22	5,24760	0,71964	0,12612
12:28	5,24760	0,71964	0,12612
12:34	5,11960	0,59970	0,12612
12:40	5,11960	0,59970	0,12612
12:46	4,99160	0,59970	0,12612
12:52	4,99160	0,47976	0,12612
12:58	4,99160	0,47976	0,12612
13:04	-2,43180	0,23988	0,12612
13:10	-2,30380	-0,47976	0,12612
13:16	-2,30380	-0,59970	0,12612
13:22	-2,30380	-0,59970	0,12612
13:28	-2,30380	-0,59970	0,12612
13:34	-2,30380	-0,59970	0,12612
13:40	-2,30380	-0,59970	0,12612
13:46	-2,30380	-0,59970	0,12612
13:52	-2,30380	-0,59970	-0,12612
13:58	-2,30380	-0,71964	0,12612
14:04	-2,30380	-0,59970	0,12612
14:10	-2,30380	-0,59970	-0,12612
14:16	1,79190	-0,59970	-0,12612
14:22	1,91980	-0,59970	0,12612

Time (hh:mm)	DEP-1 Calculated Field, (V/m)	DEP-2 Calculated Field, (V/m)	DEP-3 Calculated Field, (V/m)
14:28	-2,04780	-0,59970	-0,12612
14:34	-2,17580	-0,59970	0,12612
14:40	-2,17580	-0,59970	0,12612
14:46	-2,17580	-0,59970	0,12612
14:52	-2,04780	-0,59970	0,12612
14:58	-1,91980	-0,59970	0,12612
15:04	-2,04780	-0,59970	0,12612
15:10	-2,04780	-0,59970	-0,12612
15:16	-1,91980	-0,47976	0,12612
15:22	-1,79190	-0,47976	0,12612
15:28	-1,79190	-0,47976	-0,12612
15:34	-1,79190	-0,47976	0,25224
15:40	-1,79190	-0,59970	0,25224
15:46	-1,66390	-0,47976	0,25224
15:52	-1,27990	-0,47976	0,25224
15:58	-2,17580	-0,59970	0,37836
16:04	-1,15190	-0,59970	-0,37836
16:10	1,53590	-0,59970	-0,37836
16:16	1,79190	-0,59970	-0,37836
16:22	2,81580	-0,59970	-0,37836
16:28	-2,04780	-0,47976	0,25224
16:34	-1,79190	-0,47976	0,25224
16:40	-1,53590	-0,47976	-0,37836
16:46	-1,40790	-0,47976	0,37836
16:52	0,89593	-0,47976	-1,13510
16:58	1,27990	0,59970	-1,13510
17:04	-0,89593	-0,47976	1,26120
17:10	1,27990	-0,71964	0,25224
17:16	1,15190	-0,71964	-1,26120
17:22	-1,27990	-0,83958	0,25224
17:28	-1,27990	-0,71964	-0,25224
17:34	-1,27990	-0,71964	0,25224
17:40	-1,40790	-0,71964	0,25224
17:46	-1,15190	-0,71964	-0,25224
17:52	-1,27990	-0,71964	0,75672
17:58	1,15190	-0,71964	-0,75672
18:04	-1,27990	-0,71964	-1,13510
18:10	-1,27990	-0,71964	-1,26120
18:16	-1,27990	-0,71964	-1,26120
18:22	1,27990	-0,71964	-1,38730
18:28	1,15190	-0,71964	-1,26120
18:34	-1,27990	-0,71964	-1,38730
18:40	0,89593	-0,71964	-1,26120
18:46	1,15190	-0,71964	-1,26120
18:52	0,89593	-0,71964	-1,26120
18:58	-1,02390	-0,59970	-1,26120
19:04	-0,89593	-0,71964	-1,13510
19:10	1,02390	-0,71964	-1,26120
19:16	-1,02390	0,71964	-1,26120
19:22	1,02390	-0,71964	-1,13510

Time (hh:mm)	DEP-1 Calculated Field, (V/m)	DEP-2 Calculated Field, (V/m)	DEP-3 Calculated Field, (V/m)
19:28	0,89593	-0,71964	-1,13510
19:34	-1,02390	0,71964	-1,26120
19:40	-1,15190	-0,71964	-1,13510
19:46	-0,89593	-0,83958	-1,00900
19:52	-0,63995	-0,83958	-1,13510
19:58	-0,89593	-0,83958	1,00900
20:04	0,89593	-0,71964	-0,88284
20:10	1,02390	-0,71964	-1,00900
20:16	-1,15190	-0,71964	-0,88284
20:22	-1,27990	-0,71964	-1,00900
20:28	-1,15190	-0,83958	-0,75672
20:34	-1,27990	-0,83958	-0,88284
20:40	-1,27990	-0,83958	-0,75672
20:46	1,27990	-0,83958	-0,88284
20:52	-1,15190	-0,83958	-0,88284
20:58	-1,27990	-0,83958	-0,75672
21:04	1,15190	-0,83958	-0,63060
21:10	-1,27990	-0,95952	-0,63060
21:16	-1,15190	-0,95952	-0,63060
21:22	-1,02390	-0,95952	-0,63060
21:28	1,15190	-0,95952	-0,50448
21:34	1,15190	-0,95952	-0,50448
21:40	1,15190	-0,95952	-0,50448

Time (hh:mm)	DEP-1 Calculated Field, (V/m)	DEP-2 Calculated Field, (V/m)	DEP-3 Calculated Field, (V/m)
21:46	-1,15190	-0,95952	-0,50448
21:52	-1,15190	-0,95952	-0,37836
21:58	-1,15190	-0,95952	-0,37836
22:04	-1,15190	-0,95952	-0,37836
22:10	-1,15190	-0,95952	-0,37836
22:16	-1,02390	-0,95952	-0,37836
22:22	-1,15190	-0,95952	0,37836
22:28	-1,15190	-0,95952	-0,37836
22:34	1,02390	-0,95952	-0,37836
22:40	-1,02390	-0,95952	-0,37836
22:46	-1,15190	-0,95952	-0,37836
22:52	1,02390	-0,95952	-0,37836
22:58	-1,02390	-0,95952	-0,37836
23:04	-1,40790	-0,95952	-0,37836
23:10	-1,15190	-0,95952	-0,50448
23:16	-1,02390	-0,95952	-0,50448
23:22	-1,02390	-0,95952	-0,37836
23:28	0,89593	-0,95952	-0,50448
23:34	-1,02390	-0,95952	-0,37836
23:40	1,02390	-0,95952	-0,50448
23:46	1,02390	-0,95952	-0,50448
23:52	1,02390	-0,95952	-0,50448
23:58	-1,27990	-0,95952	-0,50448

Annex 17. Information from DEP-sensors for 21/08/00

Time (hh:mm)	DEP-1 Calculated Field, (V/m)	DEP-2 Calculated Field, (V/m)	DEP-3 Calculated Field, (V/m)
0:04	-1,02390	-0,95952	-0,63060
0:10	-1,15190	-0,95952	-0,63060
0:16	-1,15190	-0,95952	-0,63060
0:22	-1,15190	-0,83958	-0,63060
0:28	0,89593	0,95952	-0,75672
0:34	-1,15190	0,95952	-0,63060
0:40	-1,02390	0,95952	-0,75672
0:46	-0,89593	0,95952	-0,75672
0:52	1,27990	-0,83958	-0,75672
0:58	-1,27990	-0,95952	-0,88284
1:04	-0,89593	-0,83958	-0,75672
1:10	1,15190	-0,83958	-0,88284
1:16	1,02390	0,83958	-0,75672
1:22	-1,15190	0,83958	-0,88284
1:28	1,15190	0,95952	-0,88284
1:34	-1,53590	0,95952	-0,88284
1:40	-1,27990	0,95952	-0,88284
1:46	1,27990	0,95952	-0,88284
1:52	-1,15190	0,95952	-0,88284
1:58	-1,27990	0,95952	-0,88284
2:04	-1,53590	0,83958	0,75672
2:10	1,27990	0,83958	-0,75672
2:16	-1,53590	-1,31930	-0,63060
2:22	1,53590	-1,19940	-0,63060
2:28	0,89593	-1,19940	-0,63060
2:34	1,15190	-1,19940	0,50448
2:40	1,53590	-1,19940	-0,12612
2:46	1,40790	-1,07950	-0,12612
2:52	-1,27990	-1,07950	-0,12612
2:58	-1,53590	-1,07950	-0,25224
3:04	-1,66390	-1,07950	0,25224
3:10	-1,66390	-1,07950	0,12612
3:16	-1,53590	-1,07950	0,12612
3:22	-1,15190	-1,07950	-0,50448
3:28	-1,02390	-0,95952	0,12612
3:34	-0,76794	-0,95952	-0,12612
3:40	-0,63995	-0,95952	0,12612
3:46	-0,51196	-0,95952	-0,12612
3:52	0,63995	-0,95952	0,12612
3:58	-0,89593	-0,95952	0,12612
4:04	0,89593	-1,07950	0,12612
4:10	-0,51196	-0,95952	-0,12612
4:16	-1,15190	-0,95952	0,12612
4:22	1,91980	-0,83958	-0,12612
4:28	-2,04780	0,83958	-0,12612
4:34	2,04780	0,71964	-0,12612
4:40	1,79190	-0,71964	0,12612

Time (hh:mm)	DEP-1 Calculated Field, (V/m)	DEP-2 Calculated Field, (V/m)	DEP-3 Calculated Field, (V/m)
4:46	-1,79190	0,71964	0,12612
4:52	2,55980	-0,59970	0,12612
4:58	2,55980	-0,71964	-0,12612
5:04	-1,91980	-0,83958	-0,12612
5:10	-2,04780	-0,95952	0,12612
5:16	1,66390	-0,95952	0,12612
5:22	1,40790	-0,95952	0,00000
5:28	-1,40790	-0,83958	0,00000
5:34	-1,27990	-1,07950	0,00000
5:40	1,27990	-1,31930	-2,27020
5:46	2,43180	-1,31930	5,04480
5:52	3,58370	-1,31930	4,66640
5:58	5,11960	-1,31930	10,59410
6:04	4,99160	-1,19940	11,85530
6:10	4,73560	-1,19940	-12,61200
6:16	4,86360	-1,07950	-13,36870
6:22	4,35170	-1,07950	-11,85530
6:28	3,19970	-1,07950	-10,59410
6:34	-3,07180	-1,07950	-9,96350
6:40	4,09570	-0,47976	-15,13440
6:46	4,47960	0,11994	16,14340
6:52	3,71170	0,11994	-17,15230
6:58	2,17580	0,11994	15,13440
7:04	1,15190	-0,59970	13,36870
7:10	1,02390	-0,35982	-13,36870
7:16	1,15190	0,00000	15,13440
7:22	1,40790	0,11994	16,14340
7:28	1,40790	0,35982	16,14340
7:34	1,66390	0,47976	16,14340
7:40	1,53590	0,59970	-17,15230
7:46	1,66390	0,95952	17,15230
7:52	1,66390	0,95952	-17,15230
7:58	1,53590	1,31930	-18,16130
8:04	1,27990	1,55920	-17,15230
8:10	0,51196	1,79910	18,16130
8:16	-0,38397	1,91900	17,15230
8:22	0,63995	1,91900	-17,15230
8:28	-0,51196	2,03900	19,29640
8:34	0,63995	2,15890	17,15230
8:40	0,89593	2,27890	8,82840
8:46	-1,02390	2,15890	-14,25160
8:52	1,27990	2,15890	-9,08060
8:58	-1,15190	1,91900	-11,85530
9:04	-1,02390	1,79910	8,57620
9:10	-1,27990	2,03900	-9,96350
9:16	-1,53590	2,39880	11,85530
9:22	1,27990	2,27890	11,85530

Time (hh:mm)	DEP-1 Calculated Field, (V/m)	DEP-2 Calculated Field, (V/m)	DEP-3 Calculated Field, (V/m)
9:28	-1,15190	1,79910	-7,94560
9:34	-1,27990	1,67920	6,30600
9:40	1,27990	1,67920	-4,54030
9:46	1,27990	1,79910	5,92760
9:52	-1,40790	1,55920	5,17090
9:58	-1,53590	1,43930	-4,16200
10:04	-1,66390	1,43930	3,90970
10:10	-1,53590	1,19940	2,52240
10:16	-1,53590	1,19940	1,89180
10:22	-1,53590	1,07950	1,00900
10:28	-1,40790	0,71964	-1,00900
10:34	-1,53590	0,83958	-0,88284
10:40	-1,53590	0,83958	-0,75672
10:46	-1,27990	0,71964	-0,50448
10:52	-1,40790	0,83958	-0,50448
10:58	-1,40790	0,71964	-0,25224
11:04	-1,40790	0,59970	-0,25224
11:10	-1,40790	0,59970	0,00000
11:16	-1,27990	0,47976	0,00000
11:22	-1,40790	-0,47976	0,00000
11:28	-1,27990	-0,47976	0,00000
11:34	-1,27990	0,47976	0,00000
11:40	-1,40790	0,47976	0,12612
11:46	-1,40790	0,47976	0,12612
11:52	-1,66390	0,35982	0,12612
11:58	4,86360	0,23988	0,75672
12:04	5,88750	0,59970	0,63060
12:10	5,88750	0,59970	0,50448
12:16	5,63160	0,59970	0,50448
12:22	5,50360	-0,47976	0,50448
12:28	5,24760	0,47976	-0,50448
12:34	5,11960	0,47976	-0,50448
12:40	5,11960	0,35982	0,50448
12:46	5,11960	0,35982	0,50448
12:52	5,11960	0,35982	0,50448
12:58	-1,91980	0,23988	-0,50448
13:04	-1,79190	-0,47976	0,50448
13:10	1,66390	-0,59970	-0,50448
13:16	-1,66390	-0,59970	-0,63060
13:22	-1,79190	-0,59970	0,50448
13:28	-1,40790	-0,59970	0,63060
13:34	-1,79190	-0,71964	0,50448
13:40	-1,79190	-0,59970	0,50448
13:46	-1,79190	-0,59970	0,63060

Time (hh:mm)	DEP-1 Calculated Field, (V/m)	DEP-2 Calculated Field, (V/m)	DEP-3 Calculated Field, (V/m)
13:52	-1,79190	-0,59970	-0,50448
13:58	-1,79190	-0,59970	0,50448
14:04	-1,79190	-0,59970	-0,50448
14:10	-2,17580	-0,59970	-0,50448
14:16	1,79190	-0,59970	0,50448
14:22	-1,91980	-0,59970	-0,50448
14:28	-1,91980	-0,59970	-0,50448
14:34	1,40790	-0,59970	-0,50448
14:40	-2,04780	-0,59970	0,50448
14:46	-1,91980	-0,59970	-0,50448
14:52	-1,27990	-0,59970	-0,50448
14:58	-1,66390	-0,59970	0,50448
15:04	-1,79190	-0,59970	0,50448
15:10	1,79190	-0,59970	0,50448
15:16	-1,79190	-0,59970	0,50448
15:22	-1,79190	-0,59970	0,50448
15:28	-1,79190	-0,59970	-0,50448
15:34	-1,66390	-0,59970	-0,50448
15:40	-1,66390	-0,59970	0,50448
15:46	1,66390	-0,71964	-0,50448
15:52	-1,53590	-0,59970	0,50448
15:58	-2,17580	-0,59970	0,50448
16:04	1,66390	-0,59970	0,50448
16:10	-1,40790	-0,71964	0,50448
16:16	1,79190	-0,59970	0,50448
16:22	-2,94380	-0,59970	-0,50448
16:28	-2,43180	-0,59970	-0,50448
16:34	-1,79190	-0,59970	-0,37836
16:40	-1,27990	-0,59970	-0,50448
16:46	-1,53590	-0,59970	0,50448
16:52	1,02390	-0,59970	-1,38730
16:58	1,27990	-0,59970	1,51340
17:04	-1,40790	-0,47976	-1,38730
17:10	-1,02390	-0,71964	1,13510
17:16	1,27990	-0,83958	0,37836
17:22	-1,53590	0,83958	0,25224
17:28	1,53590	-0,83958	-0,25224
17:34	-1,40790	-0,83958	-0,88284
17:40	-1,15190	-0,83958	-1,00900
17:46	1,66390	-0,83958	-1,26120

Annex 18. Information from DEP-sensors for 23/08/00

Time (hh:mm)	DEP-1 Calculated Field, (V/m)	DEP-2 Calculated Field, (V/m)	DEP-3 Calculated Field, (V/m)
10:17	0,00000	0,00000	0,00000
10:23	0,00000	0,00000	0,00000
10:29	0,00000	0,00000	0,00000
10:35	0,00000	0,00000	0,00000
10:41	0,00000	0,00000	0,00000
10:47	0,00000	0,00000	0,00000
10:53	0,00000	0,00000	0,00000
10:59	0,00000	0,00000	0,00000
11:05	0,00000	0,00000	0,00000
11:11	0,00000	0,00000	0,00000
11:17	0,00000	0,00000	0,00000
11:23	0,00000	0,00000	0,00000
11:29	0,00000	0,00000	0,00000
11:35	0,00000	0,00000	0,00000
11:41	0,00000	0,00000	0,00000
11:47	0,00000	0,00000	0,00000
11:53	0,00000	0,00000	0,00000
11:59	0,00000	0,00000	0,00000
12:05	0,00000	0,00000	0,00000
12:11	0,00000	0,00000	0,00000
12:17	5,37560	0,59970	0,12612
12:23	5,24760	0,59970	0,12612
12:29	5,24760	0,59970	0,12612
12:35	5,11960	0,59970	0,12612
12:41	5,11960	0,47976	0,12612
12:47	-2,04780	-0,23988	0,12612
12:53	-1,91980	-0,47976	0,12612
12:59	-1,91980	-0,59970	0,12612
13:05	1,79190	-0,59970	-0,12612
13:11	-2,04780	-0,59970	0,12612
13:17	-2,04780	-0,59970	0,12612
13:23	-2,04780	-0,59970	0,12612
13:29	-1,91980	-0,59970	0,12612
13:35	-2,04780	-0,59970	-0,12612
13:41	-2,04780	-0,59970	0,12612
13:47	-2,04780	-0,59970	-0,12612
13:53	-2,04780	-0,71964	0,25224
13:59	-2,04780	-0,59970	-0,25224
14:05	-1,66390	-0,71964	0,12612
14:11	-2,04780	-0,59970	0,12612
14:17	-2,17580	-0,59970	0,25224
14:23	-2,17580	-0,71964	0,25224
14:29	-1,66390	-0,71964	0,25224
14:35	-2,17580	-0,71964	-0,25224
14:41	-2,17580	-0,71964	0,25224
14:47	-2,17580	-0,71964	0,25224
14:53	-2,17580	-0,71964	0,25224

Time (hh:mm)	DEP-1 Calculated Field, (V/m)	DEP-2 Calculated Field, (V/m)	DEP-3 Calculated Field, (V/m)
14:59	1,91980	-0,71964	-0,25224
15:05	-2,04780	-0,71964	-0,25224
15:11	1,91980	-0,59970	0,25224
15:17	-2,04780	-0,59970	0,25224
15:23	-1,79190	-0,59970	0,25224
15:29	1,66390	-0,59970	-0,25224
15:35	1,79190	-0,59970	-0,25224
15:41	1,66390	-0,59970	0,25224
15:47	1,53590	-0,59970	0,25224
15:53	1,40790	-0,59970	-0,37836
15:59	1,02390	-0,59970	0,37836
16:05	1,27990	-0,59970	0,37836
16:11	1,40790	-0,59970	0,37836
16:17	-2,17580	-0,59970	0,37836
16:23	3,07180	-0,59970	-0,37836
16:29	3,07180	-0,59970	-0,37836
16:35	2,55980	-0,59970	1,13510
16:41	-2,04780	-0,59970	1,13510
16:47	-2,17580	-0,59970	1,26120
16:53	-2,43180	-0,59970	-1,26120
16:59	-1,79190	-0,59970	0,25224
17:05	-2,17580	-0,59970	-0,25224
17:11	-1,53590	-0,83958	0,25224
17:17	-1,27990	-0,83958	-0,25224
17:23	-1,40790	-0,83958	-0,25224
17:29	1,40790	-0,83958	0,63060
17:35	-1,40790	-0,83958	0,88284
17:41	1,40790	-0,83958	-1,13510
17:47	1,27990	-0,83958	-1,26120
17:53	-1,40790	-0,83958	-1,26120
17:59	-1,40790	0,47976	-1,26120
18:05	-1,40790	-0,47976	-1,26120
18:11	1,27990	-0,71964	-1,26120
18:17	-1,27990	-0,71964	-1,26120
18:23	-1,53590	-0,83958	-1,26120
18:29	-1,40790	0,71964	-1,26120
18:35	-1,66390	-0,71964	-1,13510
18:41	-1,66390	-0,71964	-1,26120
18:47	1,66390	-0,71964	-1,00900
18:53	-1,66390	-0,71964	-1,13510
18:59	-2,04780	-0,71964	-1,13510
19:05	1,91980	-0,71964	-1,13510
19:11	-1,91980	-0,71964	-1,13510
19:17	-2,17580	-0,83958	-1,13510
19:23	-1,91980	-0,83958	-1,13510
19:29	-2,17580	-0,83958	-1,13510
19:35	-2,43180	-0,83958	-1,13510

Time (hh:mm)	DEP-1 Calculated Field, (V/m)	DEP-2 Calculated Field, (V/m)	DEP-3 Calculated Field, (V/m)
19:41	-1,91980	-0,83958	-1,00900
19:47	-2,17580	-0,83958	-1,00900
19:53	-2,17580	-0,83958	-1,00900
19:59	-2,04780	-0,95952	-1,00900
20:05	-2,30380	-0,83958	-0,88284
20:11	2,04780	-0,83958	-0,75672
20:17	1,91980	-0,95952	-0,88284
20:23	-2,04780	-0,95952	-0,75672
20:29	-2,04780	-0,95952	-0,75672
20:35	2,17580	-0,95952	-0,63060
20:41	-2,04780	-0,95952	0,63060
20:47	-2,17580	-0,95952	-0,63060
20:53	1,91980	-0,95952	-0,63060
20:59	1,91980	-0,95952	-0,50448
21:05	-1,91980	-0,95952	-0,50448
21:11	-2,04780	-1,07950	-0,50448
21:17	2,04780	-0,95952	-0,50448
21:23	-1,79190	-0,95952	-0,37836
21:29	-1,91980	-0,95952	-0,37836
21:35	-1,91980	-0,95952	-0,37836
21:41	-1,91980	-0,95952	-0,37836
21:47	1,91980	-0,95952	-0,37836

Time (hh:mm)	DEP-1 Calculated Field, (V/m)	DEP-2 Calculated Field, (V/m)	DEP-3 Calculated Field, (V/m)
21:53	-1,91980	-0,95952	-0,37836
21:59	-1,79190	-1,07950	-0,37836
22:05	-1,53590	-1,07950	-0,37836
22:11	-1,79190	-1,07950	-0,37836
22:17	-1,91980	-1,07950	-0,37836
22:23	-2,04780	-1,07950	-0,37836
22:29	-2,04780	-0,95952	-0,37836
22:35	1,79190	-0,95952	-0,37836
22:41	1,79190	-0,95952	-0,37836
22:47	1,79190	-1,07950	-0,37836
22:53	1,79190	-0,95952	-0,37836
22:59	-1,91980	-0,95952	-0,37836
23:05	-1,91980	-0,95952	-0,37836
23:11	1,79190	-0,95952	-0,37836
23:17	1,79190	-0,95952	-0,37836
23:23	-1,91980	-0,95952	-0,37836
23:29	-1,91980	-0,95952	-0,37836
23:35	-1,79190	-0,95952	-0,37836
23:41	-1,91980	-0,95952	-0,37836
23:47	-2,04780	-0,95952	-0,50448
23:53	-1,79190	-0,95952	-0,50448
23:59	-1,79190	-0,95952	0,37836

Annex 19. Information from DEP-sensors for 24/08/00

Time (hh:mm)	DEP-1 Calculated Field, (V/m)	DEP-2 Calculated Field, (V/m)	DEP-3 Calculated Field, (V/m)
0:05	1,53590	-0,95952	-0,50448
0:11	1,79190	-0,83958	-0,50448
0:17	-1,53590	-0,83958	-0,50448
0:23	-1,79190	-0,95952	-0,50448
0:29	-1,79190	-0,95952	-0,63060
0:35	-1,66390	-0,95952	-0,75672
0:41	-1,79190	-0,95952	-0,63060
0:47	-1,91980	-0,83958	-0,75672
0:53	-1,66390	-0,95952	-0,75672
0:59	-1,66390	-0,95952	-0,63060
1:05	-1,66390	-0,83958	-0,63060
1:11	-1,91980	-0,95952	-0,75672
1:17	-1,66390	0,95952	-0,75672
1:23	-1,79190	0,95952	-0,75672
1:29	-1,40790	0,95952	-0,75672
1:35	1,66390	0,95952	-0,75672
1:41	1,53590	0,95952	-0,88284
1:47	-1,66390	0,95952	-0,88284
1:53	-1,53590	0,95952	-0,75672
1:59	-1,53590	-0,95952	-0,88284
2:05	-1,53590	-0,95952	-0,88284
2:11	1,40790	-1,19940	-0,88284
2:17	1,40790	-1,19940	-0,88284
2:23	-1,27990	-1,19940	-0,88284
2:29	-1,40790	-1,19940	-0,75672
2:35	1,40790	-1,19940	-0,75672
2:41	-1,15190	-1,19940	-0,75672
2:47	1,02390	-1,07950	-0,75672
2:53	-1,15190	-1,07950	0,50448
2:59	-0,76794	-1,07950	0,12612
3:05	-0,76794	-1,07950	-0,12612
3:11	-1,02390	-1,07950	-0,12612
3:17	0,89593	-1,07950	-0,12612
3:23	0,76794	-0,95952	0,12612
3:29	0,89593	-0,95952	-0,12612
3:35	1,02390	-0,95952	0,12612
3:41	0,89593	-0,83958	0,12612
3:47	1,02390	-0,83958	-0,12612
3:53	-1,15190	-0,83958	-0,12612
3:59	1,15190	-0,83958	0,12612
4:05	-1,15190	-0,71964	-0,12612
4:11	-1,27990	-0,71964	0,12612
4:17	-1,91980	-0,59970	0,12612
4:23	1,66390	-0,59970	-0,12612
4:29	-2,17580	-0,59970	-0,12612
4:35	1,91980	-0,59970	0,12612
4:41	-1,79190	-0,59970	0,12612

Time (hh:mm)	DEP-1 Calculated Field, (V/m)	DEP-2 Calculated Field, (V/m)	DEP-3 Calculated Field, (V/m)
4:47	-1,66390	-0,59970	0,12612
4:53	-1,66390	-0,59970	0,12612
4:59	-1,53590	-0,59970	0,12612
5:05	-1,40790	-0,47976	0,12612
5:11	1,15190	-0,47976	-0,12612
5:17	-1,02390	-0,47976	0,12612
5:23	1,02390	-0,47976	0,12612
5:29	1,15190	-0,47976	0,12612
5:35	-1,02390	-0,59970	0,12612
5:41	1,40790	-0,47976	-0,12612
5:47	-1,27990	-0,47976	0,12612
5:53	-1,40790	-0,47976	-0,12612
5:59	-1,02390	-0,47976	-0,12612
6:05	-1,02390	-0,47976	-0,12612
6:11	0,89593	-0,35982	0,12612
6:17	-0,76794	-0,35982	0,12612
6:23	0,63995	-0,35982	0,12612
6:29	0,63995	-0,35982	-0,12612
6:35	0,76794	-0,47976	0,12612
6:41	0,63995	-0,35982	0,12612
6:47	0,63995	-0,35982	-0,12612
6:53	0,63995	-0,47976	-0,12612
6:59	0,63995	-0,47976	-0,12612
7:05	-0,76794	-0,59970	0,12612
7:11	-0,63995	-0,47976	0,12612
7:17	0,51196	-0,35982	0,12612
7:23	0,51196	-0,35982	-0,12612
7:29	0,51196	-0,35982	0,12612
7:35	0,51196	-0,47976	0,12612
7:41	0,38397	-0,47976	0,12612
7:47	0,51196	-0,47976	-0,25224
7:53	0,51196	-0,47976	-0,25224
7:59	0,51196	-0,47976	0,12612
8:05	-0,51196	-0,47976	0,12612
8:11	-0,51196	-0,47976	0,12612
8:17	0,51196	-0,47976	0,12612
8:23	-0,51196	-0,35982	0,12612
8:29	0,51196	-0,47976	0,12612
8:35	-0,51196	-0,47976	0,00000
8:41	0,76794	-0,35982	0,00000
8:47	-0,51196	0,35982	0,12612
8:53	-0,76794	-0,35982	0,00000
8:59	-0,63995	0,23988	0,00000
9:05	-0,76794	0,35982	0,00000
9:11	-0,76794	0,35982	0,00000
9:17	0,76794	0,35982	-0,12612
9:23	-0,63995	0,23988	0,00000

Time (hh:mm)	DEP-1 Calculated Field, (V/m)	DEP-2 Calculated Field, (V/m)	DEP-3 Calculated Field, (V/m)
9:29	0,63995	0,23988	0,00000
9:35	-0,51196	-0,35982	0,00000
9:41	-0,51196	0,47976	0,12612
9:47	0,63995	0,35982	0,12612
9:53	0,76794	0,35982	-0,12612
9:59	0,76794	0,47976	-0,25224
10:05	-0,89593	0,35982	-0,25224
10:11	-1,02390	0,47976	0,12612
10:17	-1,15190	0,59970	-0,12612
10:23	-1,02390	-0,23988	0,12612
10:29	-1,15190	0,47976	0,12612
10:35	-1,15190	-0,35982	0,12612
10:41	-1,15190	0,35982	0,12612
10:47	-1,15190	-0,35982	-0,12612
10:53	-1,02390	0,23988	-0,12612
10:59	-1,02390	-0,11994	-0,12612
11:05	-1,02390	-0,23988	0,12612
11:11	-1,15190	-0,23988	-0,12612
11:17	-1,15190	0,23988	0,12612
11:23	-1,15190	0,23988	0,12612
11:29	-1,15190	-0,23988	0,12612
11:35	-1,27990	0,23988	-0,12612
11:41	5,63160	0,95952	0,12612
11:47	5,50360	0,59970	0,12612
11:53	5,37560	0,59970	0,12612
11:59	5,24760	0,59970	-0,12612
12:05	5,24760	0,59970	0,12612
12:11	5,11960	0,59970	0,12612
12:17	4,99160	0,59970	-0,12612
12:23	4,99160	-0,47976	0,12612
12:29	4,99160	0,47976	0,12612
12:35	4,86360	0,47976	0,12612
12:41	-2,04780	-0,11994	0,12612
12:47	-1,91980	-0,35982	-0,12612
12:53	-1,79190	-0,47976	0,25224
12:59	-1,79190	-0,47976	-0,25224
13:05	-1,91980	-0,47976	0,25224
13:11	-1,91980	-0,47976	0,25224
13:17	-1,91980	-0,47976	-0,25224
13:23	-1,91980	-0,47976	-0,25224
13:29	-1,53590	-0,47976	0,25224
13:35	-1,53590	-0,47976	0,25224
13:41	-1,91980	-0,47976	-0,25224
13:47	-1,53590	-0,47976	0,25224
13:53	-2,04780	-0,47976	-0,25224
13:59	-2,04780	-0,47976	-0,25224
14:05	-1,66390	0,47976	0,25224
14:11	-1,66390	-0,47976	0,25224
14:17	-2,04780	-0,47976	-0,25224
14:23	-2,04780	-0,47976	0,25224

Time (hh:mm)	DEP-1 Calculated Field, (V/m)	DEP-2 Calculated Field, (V/m)	DEP-3 Calculated Field, (V/m)
14:29	-1,66390	-0,47976	0,25224
14:35	-2,04780	-0,47976	0,25224
14:41	-2,17580	-0,47976	-0,25224
14:47	-2,04780	-0,47976	-0,25224
14:53	-1,53590	-0,47976	0,25224
14:59	-1,79190	-0,47976	0,25224
15:05	1,91980	-0,47976	-0,25224
15:11	-2,04780	-0,47976	-0,25224
15:17	-2,04780	-0,47976	-0,25224
15:23	-1,91980	-0,47976	-0,25224
15:29	-1,66390	-0,47976	-0,25224
15:35	1,79190	-0,47976	0,25224
15:41	1,66390	-0,47976	-0,25224
15:47	1,66390	-0,47976	0,37836
15:53	1,53590	-0,47976	-0,37836
15:59	0,89593	-0,47976	0,37836
16:05	2,30380	0,47976	-0,37836
16:11	1,02390	-0,47976	0,37836
16:17	-1,27990	-0,47976	-0,37836
16:23	2,68780	0,47976	0,37836
16:29	-3,45570	-0,47976	-1,13510
16:35	2,55980	0,59970	-1,13510
16:41	-2,43180	-0,47976	1,00900
16:47	2,04780	-0,59970	1,13510
16:53	-1,91980	-0,59970	-1,13510
16:59	-1,79190	-0,59970	-0,75672
17:05	-1,91980	-0,47976	-0,25224
17:11	1,91980	-0,71964	0,25224
17:17	-1,79190	-0,83958	-0,25224
17:23	1,66390	-0,83958	0,25224
17:29	-1,79190	-0,83958	0,75672
17:35	-1,53590	-0,83958	-0,88284
17:41	1,53590	-0,83958	-1,13510
17:47	-1,27990	-0,83958	-1,26120
17:53	1,53590	-0,83958	-1,26120
17:59	1,27990	-0,83958	-1,26120
18:05	1,53590	-0,83958	-1,26120
18:11	-1,79190	-0,71964	-1,26120
18:17	-1,53590	-0,83958	-1,26120
18:23	-1,91980	-0,83958	-1,13510
18:29	-1,79190	-0,83958	-1,13510
18:35	1,91980	-0,83958	-1,13510
18:41	-2,04780	-0,83958	-1,00900
18:47	-1,91980	-0,83958	-1,13510
18:53	-2,04780	-0,83958	-1,13510
18:59	-1,79190	-0,83958	-1,00900
19:05	-1,79190	0,83958	-0,88284
19:11	-1,79190	-0,83958	-0,88284
19:17	1,91980	0,83958	-0,88284
19:23	-1,79190	0,83958	-1,00900

Time (hh:mm)	DEP-1 Calculated Field, (V/m)	DEP-2 Calculated Field, (V/m)	DEP-3 Calculated Field, (V/m)
19:29	-1,79190	-0,95952	-1,00900
19:35	1,66390	-0,95952	-0,88284
19:41	-1,79190	-0,95952	-0,88284
19:47	-1,66390	-0,95952	-0,88284
19:53	-1,40790	-0,95952	-0,88284
19:59	-1,79190	-0,95952	-0,88284
20:05	-1,79190	-0,95952	-0,75672
20:11	-1,79190	-0,95952	-0,75672
20:17	1,66390	-0,95952	-0,75672
20:23	-1,53590	-0,95952	-0,75672
20:29	-1,53590	-0,95952	-0,63060
20:35	-1,66390	-0,95952	-0,75672
20:41	1,53590	-0,95952	-0,63060
20:47	-1,66390	-0,95952	0,63060
20:53	1,40790	-0,95952	-0,50448
20:59	-1,53590	-1,07950	-0,50448
21:05	-1,66390	-1,07950	0,50448
21:11	-1,53590	-1,07950	-0,37836
21:17	-1,66390	-1,07950	-0,50448
21:23	-1,66390	-1,07950	-0,37836
21:29	-1,53590	-1,07950	-0,37836
21:35	-1,53590	-1,07950	-0,37836
21:41	1,53590	-1,07950	-0,37836

Time (hh:mm)	DEP-1 Calculated Field, (V/m)	DEP-2 Calculated Field, (V/m)	DEP-3 Calculated Field, (V/m)
21:47	-1,40790	-1,07950	-0,37836
21:53	-1,53590	-1,07950	-0,37836
21:59	-1,40790	-1,07950	-0,37836
22:05	1,66390	-1,07950	0,37836
22:11	1,40790	-1,07950	-0,37836
22:17	-1,53590	-1,07950	-0,37836
22:23	1,40790	-1,07950	0,37836
22:29	1,40790	-1,07950	0,37836
22:35	-1,40790	-1,07950	0,37836
22:41	1,53590	-0,95952	-0,37836
22:47	1,53590	-0,95952	-0,37836
22:53	-1,66390	-0,95952	-0,37836
22:59	-1,40790	-0,95952	-0,25224
23:05	-1,40790	-0,95952	0,37836
23:11	1,40790	-0,95952	-0,37836
23:17	1,27990	-0,95952	-0,37836
23:23	-1,40790	-0,95952	-0,25224
23:29	-1,27990	-0,95952	-0,37836
23:35	-1,53590	-0,95952	-0,37836
23:41	1,53590	-0,95952	-0,37836
23:47	-1,53590	-0,95952	0,37836
23:53	1,40790	-0,95952	-0,37836
23:59	-1,53590	-0,95952	-0,37836

Annex 20. Information from DEP-sensors for 25/08/00

Time (hh:mm)	DEP-1 Calculated Field, (V/m)	DEP-2 Calculated Field, (V/m)	DEP-3 Calculated Field, (V/m)
0:05	-1,53590	-0,83958	0,37836
0:11	-1,40790	-0,83958	-0,50448
0:17	-1,40790	-0,83958	-0,37836
0:23	-1,53590	-0,95952	-0,50448
0:29	-1,53590	0,95952	-0,50448
0:35	-1,66390	-0,95952	-0,50448
0:41	1,40790	-0,95952	-0,50448
0:47	-1,53590	-0,95952	-0,50448
0:53	1,40790	0,95952	-0,50448
0:59	-1,66390	-0,95952	-0,63060
1:05	1,53590	0,95952	-0,50448
1:11	-1,53590	-0,95952	-0,50448
1:17	-1,66390	1,07950	-0,63060
1:23	-1,66390	0,95952	-0,50448
1:29	-1,40790	0,95952	-0,63060
1:35	-1,53590	0,95952	-0,63060
1:41	1,66390	0,95952	0,63060
1:47	-1,53590	1,07950	-0,63060
1:53	-1,66390	0,95952	-0,63060
1:59	-1,66390	0,95952	-0,75672
2:05	-1,66390	0,95952	-0,75672
2:11	-1,53590	-1,67920	-0,75672
2:17	-1,79190	-1,19940	-0,88284
2:23	-1,53590	-1,19940	-0,75672
2:29	-1,66390	-1,19940	-0,75672
2:35	-1,66390	-1,19940	-0,75672
2:41	-1,53590	-1,19940	-0,75672
2:47	1,53590	-1,07950	0,75672
2:53	-1,40790	-1,07950	0,63060
2:59	-1,53590	-1,07950	0,50448
3:05	-1,15190	-1,07950	-0,12612
3:11	-1,27990	-1,07950	0,12612
3:17	-1,02390	-1,07950	0,12612
3:23	-0,76794	-0,95952	-0,37836
3:29	0,63995	-0,95952	0,12612
3:35	-0,89593	-0,95952	0,12612
3:41	-0,76794	-0,83958	0,12612
3:47	1,15190	-0,83958	-0,12612
3:53	0,63995	-0,83958	0,12612
3:59	-0,89593	-0,83958	0,12612
4:05	-0,89593	-0,71964	0,12612
4:11	-1,27990	0,71964	0,12612
4:17	-1,79190	0,71964	0,12612
4:23	-1,53590	-0,71964	0,12612
4:29	1,79190	-0,59970	-0,12612
4:35	1,91980	-0,59970	-0,12612
4:41	-1,66390	-0,59970	0,12612

Time (hh:mm)	DEP-1 Calculated Field, (V/m)	DEP-2 Calculated Field, (V/m)	DEP-3 Calculated Field, (V/m)
4:47	1,53590	-0,47976	-0,12612
4:53	1,40790	-0,47976	-0,12612
4:59	1,27990	-0,47976	0,12612
5:05	-1,27990	-0,47976	0,12612
5:11	1,15190	-0,47976	0,12612
5:17	-1,27990	-0,47976	0,12612
5:23	-1,40790	-0,47976	0,12612
5:29	1,15190	-0,47976	0,12612
5:35	1,15190	-0,47976	-0,12612
5:41	-1,02390	-0,47976	-0,12612
5:47	0,76794	-0,35982	-0,12612
5:53	0,76794	-0,35982	-0,12612
5:59	0,63995	-0,35982	0,12612
6:05	0,63995	-0,35982	0,12612
6:11	0,51196	-0,35982	0,12612
6:17	0,63995	-0,35982	0,12612
6:23	-0,63995	-0,35982	-0,12612
6:29	-0,63995	-0,35982	-0,12612
6:35	0,63995	-0,35982	0,12612
6:41	0,51196	-0,35982	0,12612
6:47	0,63995	-0,35982	-0,12612
6:53	-0,63995	-0,35982	0,12612
6:59	0,51196	-0,35982	0,12612
7:05	0,51196	-0,35982	-0,12612
7:11	-0,51196	-0,35982	-0,12612
7:17	-0,38397	-0,35982	0,12612
7:23	-0,38397	-0,35982	0,12612
7:29	0,38397	-0,35982	0,12612
7:35	-0,38397	-0,35982	-0,12612
7:41	0,38397	-0,35982	-0,12612
7:47	0,25598	-0,35982	0,12612
7:53	-0,25598	-0,35982	0,12612
7:59	0,25598	-0,35982	-0,12612
8:05	-0,38397	-0,35982	0,12612
8:11	0,38397	-0,35982	0,12612
8:17	-0,51196	-0,35982	0,12612
8:23	0,51196	-0,35982	0,12612
8:29	0,51196	-0,35982	0,12612
8:35	-0,63995	0,35982	-0,12612
8:41	0,76794	-0,35982	0,12612
8:47	-0,76794	0,35982	-0,12612
8:53	0,76794	-0,35982	-0,12612
8:59	-0,63995	-0,35982	0,12612
9:05	-0,76794	0,35982	0,12612
9:11	0,63995	0,35982	-0,12612
9:17	-0,63995	0,35982	-0,12612
9:23	0,51196	-0,35982	-0,12612

Time (hh:mm)	DEP-1 Calculated Field, (V/m)	DEP-2 Calculated Field, (V/m)	DEP-3 Calculated Field, (V/m)
9:29	0,38397	0,35982	-0,12612
9:35	0,38397	0,35982	0,12612
9:41	-0,38397	0,35982	0,12612
9:47	0,51196	0,35982	0,12612
9:53	0,51196	-0,47976	-0,12612
9:59	0,63995	0,35982	0,12612
10:05	-0,63995	0,35982	0,12612
10:11	0,63995	0,47976	-0,12612
10:17	-0,63995	0,59970	-0,12612
10:23	0,89593	0,35982	0,12612
10:29	-0,76794	0,35982	-0,12612
10:35	-0,76794	0,35982	0,12612
10:41	-0,76794	0,35982	0,12612
10:47	-0,76794	0,35982	0,12612
10:53	-0,76794	0,47976	-0,12612
10:59	-0,89593	-0,11994	-0,12612
11:05	-0,89593	0,23988	-0,12612
11:11	-1,02390	-0,23988	0,12612
11:17	-1,02390	-0,23988	0,12612
11:23	-1,15190	0,35982	0,12612
11:29	-1,15190	0,23988	0,12612
11:35	0,63995	0,71964	0,25224
11:41	5,50360	0,71964	0,12612
11:47	6,14350	0,83958	-0,12612
11:53	5,75950	0,83958	0,12612
11:59	5,63160	0,71964	0,12612
12:05	5,50360	0,71964	-0,12612
12:11	5,37560	0,59970	-0,12612
12:17	5,24760	0,59970	0,12612
12:23	5,24760	0,59970	0,12612
12:29	5,11960	0,59970	0,12612
12:35	5,11960	0,47976	0,12612
12:41	1,91980	-0,35982	-0,12612
12:47	-1,79190	-0,47976	-0,12612
12:53	-1,79190	-0,59970	-0,12612
12:59	-1,79190	-0,59970	-0,12612
13:05	-1,79190	-0,59970	0,12612
13:11	-1,79190	-0,59970	0,12612
13:17	-1,79190	-0,59970	0,12612
13:23	-1,91980	-0,59970	0,12612
13:29	-1,79190	-0,47976	-0,12612
13:35	-1,79190	-0,47976	0,12612
13:41	-1,79190	0,47976	-0,12612
13:47	-1,79190	-0,47976	0,12612
13:53	-1,79190	-0,59970	-0,12612
13:59	-1,79190	-0,47976	-0,12612
14:05	-1,79190	-0,47976	-0,12612
14:11	-1,53590	-0,47976	0,12612
14:17	-1,91980	-0,47976	-0,12612
14:23	-1,91980	-0,47976	0,12612

Time (hh:mm)	DEP-1 Calculated Field, (V/m)	DEP-2 Calculated Field, (V/m)	DEP-3 Calculated Field, (V/m)
14:29	-1,91980	-0,47976	0,12612
14:35	-2,04780	-0,47976	-0,12612
14:41	-1,91980	-0,47976	0,12612
14:47	-1,79190	-0,47976	0,12612
14:53	-1,79190	-0,47976	0,12612
14:59	-1,79190	-0,47976	-0,12612
15:05	1,79190	-0,47976	-0,12612
15:11	1,91980	-0,47976	-0,12612
15:17	-1,91980	-0,47976	-0,12612
15:23	-1,91980	-0,47976	-0,25224
15:29	-1,53590	-0,47976	-0,25224
15:35	1,53590	-0,59970	-0,25224
15:41	1,40790	-0,47976	0,25224
15:47	1,40790	-0,47976	-0,25224
15:53	-1,40790	-0,59970	0,37836
15:59	0,76794	-0,59970	-0,37836
16:05	0,89593	-0,59970	-0,37836
16:11	1,02390	-0,59970	0,37836
16:17	-1,27990	-0,59970	-0,37836
16:23	2,55980	-0,59970	-0,37836
16:29	-3,19970	-0,59970	-1,13510
16:35	-2,55980	-0,59970	1,00900
16:41	-1,91980	-0,59970	1,00900
16:47	-1,79190	-0,59970	-1,13510
16:53	-1,91980	0,59970	-1,13510
16:59	-2,04780	-0,59970	-0,25224
17:05	2,04780	-0,47976	-0,25224
17:11	1,91980	-0,71964	-0,25224
17:17	-1,66390	-0,83958	-0,25224
17:23	-1,53590	-0,83958	0,25224
17:29	1,40790	-0,83958	-0,63060
17:35	-1,66390	-0,83958	-0,88284
17:41	-1,53590	0,83958	-1,13510
17:47	-1,66390	-0,83958	-1,26120
17:53	1,53590	-0,83958	-1,26120
17:59	1,40790	-0,83958	-1,26120
18:05	1,53590	-0,83958	-1,26120
18:11	-1,66390	0,83958	-1,26120
18:17	-1,66390	-0,83958	-1,26120
18:23	1,66390	-0,83958	-1,13510
18:29	1,66390	0,83958	-1,13510
18:35	1,66390	0,83958	-1,13510
18:41	-1,53590	-0,83958	-1,13510
18:47	-1,91980	-0,83958	-1,26120
18:53	-1,91980	-0,83958	-1,13510
18:59	-1,66390	-0,83958	-1,13510
19:05	-1,91980	-0,83958	-1,13510
19:11	-1,91980	-0,83958	-1,13510
19:17	-1,66390	0,83958	-1,00900
19:23	-1,66390	-0,83958	-1,00900

Time (hh:mm)	DEP-1 Calculated Field, (V/m)	DEP-2 Calculated Field, (V/m)	DEP-3 Calculated Field, (V/m)
19:29	-1,53590	0,83958	-1,00900
19:35	-1,53590	-0,83958	-1,00900
19:41	-1,66390	-0,83958	-1,00900
19:47	1,53590	-0,95952	-1,00900
19:53	-1,53590	-0,95952	-0,88284
19:59	-1,53590	-0,83958	-0,88284
20:05	-1,66390	-0,95952	-0,88284
20:11	-1,66390	-0,95952	-0,88284
20:17	-1,53590	-0,95952	-0,75672
20:23	1,40790	-0,95952	-0,75672
20:29	-1,53590	-0,95952	-0,75672
20:35	-1,53590	-0,95952	-0,63060
20:41	1,27990	-0,95952	-0,75672
20:47	-1,53590	-0,95952	-0,63060
20:53	1,53590	-0,95952	-0,50448
20:59	-1,15190	-0,95952	-0,63060
21:05	-1,27990	-0,95952	-0,50448
21:11	1,40790	-0,95952	-0,50448
21:17	-1,40790	-0,95952	-0,50448
21:23	1,53590	-1,07950	-0,37836
21:29	-1,40790	-1,07950	-0,37836
21:35	-1,53590	-1,07950	-0,37836
21:41	-1,40790	-1,07950	-0,37836

Time (hh:mm)	DEP-1 Calculated Field, (V/m)	DEP-2 Calculated Field, (V/m)	DEP-3 Calculated Field, (V/m)
21:47	-1,53590	-1,07950	-0,37836
21:53	-1,40790	-1,07950	-0,37836
21:59	-1,40790	-1,07950	-0,37836
22:05	-1,27990	-1,07950	-0,37836
22:11	-1,66390	-1,07950	-0,37836
22:17	1,27990	-1,07950	-0,37836
22:23	1,27990	-1,07950	0,37836
22:29	1,27990	-1,07950	-0,37836
22:35	1,27990	-1,07950	-0,37836
22:41	-1,27990	-0,95952	-0,37836
22:47	-1,40790	-0,95952	-0,37836
22:53	-1,40790	-0,95952	-0,25224
22:59	-1,40790	-0,95952	0,25224
23:05	-1,40790	-0,95952	-0,25224
23:11	-1,27990	-0,95952	0,37836
23:17	-1,53590	-0,95952	-0,37836
23:23	-1,27990	-0,95952	-0,25224
23:29	-1,40790	-0,95952	-0,37836
23:35	1,27990	-0,95952	-0,37836
23:41	-1,40790	-0,95952	-0,37836
23:47	1,40790	-0,95952	-0,37836
23:53	1,02390	-0,95952	-0,37836
23:59	-1,27990	-0,95952	-0,50448

Annex 21. Information from DEP-sensors for 26/08/00

Time (hh:mm)	DEP-1 Calculated Field, (V/m)	DEP-2 Calculated Field, (V/m)	DEP-3 Calculated Field, (V/m)
0:05	-1,40790	-0,83958	0,37836
0:11	-1,40790	-0,83958	-0,50448
0:17	-1,27990	-0,71964	-0,50448
0:23	-1,40790	-0,83958	-0,50448
0:29	1,27990	0,95952	-0,50448
0:35	-1,40790	-0,95952	-0,63060
0:41	-1,40790	-0,95952	-0,63060
0:47	-1,40790	-0,95952	-0,63060
0:53	1,40790	-0,95952	0,75672
0:59	-1,66390	0,95952	-0,63060
1:05	-1,40790	0,95952	-0,75672
1:11	-1,40790	0,95952	-0,75672
1:17	1,40790	0,95952	-0,75672
1:23	-1,53590	0,95952	-0,75672
1:29	-1,53590	0,95952	0,75672
1:35	-1,79190	0,95952	-0,75672
1:41	-1,40790	0,95952	-0,75672
1:47	-1,40790	0,95952	-0,75672
1:53	-1,66390	0,95952	-0,75672
1:59	-1,53590	0,95952	-0,75672
2:05	-1,53590	0,95952	-0,88284
2:11	-1,53590	-1,31930	-0,88284
2:17	-1,53590	-1,19940	-0,88284
2:23	1,53590	-1,19940	-0,88284
2:29	-1,27990	-1,19940	-0,88284
2:35	-1,40790	-1,19940	-0,75672
2:41	-1,40790	-1,19940	0,75672
2:47	-1,27990	-1,07950	-0,75672
2:53	1,02390	-1,07950	-0,50448
2:59	-1,15190	-1,07950	0,37836
3:05	1,27990	-1,07950	-0,12612
3:11	1,02390	-1,07950	-0,12612
3:17	-1,02390	-0,95952	0,12612
3:23	0,89593	-0,95952	-0,12612
3:29	-1,02390	-0,95952	0,12612
3:35	-1,02390	-0,83958	0,12612
3:41	-0,89593	-0,83958	0,12612
3:47	0,89593	-0,83958	-0,12612
3:53	-1,02390	0,71964	0,12612
3:59	-0,76794	0,71964	-0,12612
4:05	0,63995	-0,59970	0,12612
4:11	-1,27990	-0,59970	-0,12612
4:17	-1,40790	-0,59970	-0,12612
4:23	-1,66390	-0,59970	0,12612
4:29	1,91980	0,47976	-0,12612
4:35	-1,66390	-0,47976	0,12612
4:41	1,53590	-0,47976	0,12612

Time (hh:mm)	DEP-1 Calculated Field, (V/m)	DEP-2 Calculated Field, (V/m)	DEP-3 Calculated Field, (V/m)
4:47	-1,53590	-0,47976	-0,12612
4:53	-1,40790	-0,47976	-0,12612
4:59	1,27990	-0,47976	-0,12612
5:05	-1,15190	-0,47976	-0,12612
5:11	1,02390	-0,47976	-0,12612
5:17	1,02390	-0,35982	-0,12612
5:23	-0,89593	-0,35982	-0,12612
5:29	-1,15190	-0,35982	-0,12612
5:35	-1,15190	0,35982	0,12612
5:41	-1,02390	0,35982	0,12612
5:47	0,76794	-0,35982	0,12612
5:53	0,63995	-0,35982	-0,12612
5:59	0,63995	-0,35982	0,12612
6:05	0,63995	-0,35982	0,12612
6:11	0,51196	-0,23988	0,12612
6:17	0,51196	-0,35982	0,12612
6:23	0,51196	-0,23988	0,12612
6:29	0,38397	-0,23988	0,12612
6:35	0,38397	-0,23988	-0,12612
6:41	0,38397	-0,35982	0,12612
6:47	-0,51196	-0,35982	0,12612
6:53	0,38397	-0,35982	-0,12612
6:59	0,51196	-0,35982	0,12612
7:05	-0,38397	-0,35982	0,12612
7:11	0,25598	-0,35982	0,12612
7:17	-0,38397	-0,35982	0,12612
7:23	-0,25598	-0,23988	-0,12612
7:29	0,25598	-0,23988	-0,12612
7:35	-0,25598	-0,35982	0,12612
7:41	-0,25598	-0,35982	0,12612
7:47	0,25598	-0,35982	-0,12612
7:53	-0,25598	-0,35982	-0,12612
7:59	-0,38397	-0,35982	0,12612
8:05	-0,38397	-0,35982	0,12612
8:11	-0,38397	-0,35982	-0,12612
8:17	0,51196	-0,35982	0,12612
8:23	0,51196	-0,35982	0,12612
8:29	0,51196	-0,35982	-0,12612
8:35	0,63995	-0,35982	-0,12612
8:41	-0,51196	-0,35982	-0,12612
8:47	0,51196	-0,35982	-0,12612
8:53	0,76794	-0,35982	-0,12612
8:59	0,51196	0,35982	0,12612
9:05	-0,38397	0,35982	0,12612
9:11	0,38397	0,35982	-0,12612
9:17	0,38397	0,35982	0,12612
9:23	-0,38397	0,35982	-0,12612

Time (hh:mm)	DEP-1 Calculated Field, (V/m)	DEP-2 Calculated Field, (V/m)	DEP-3 Calculated Field, (V/m)
9:29	0,38397	0,35982	0,12612
9:35	0,38397	0,35982	0,12612
9:41	0,38397	-0,35982	0,12612
9:47	0,51196	0,35982	0,12612
9:53	-0,63995	0,35982	-0,12612
9:59	-0,63995	0,35982	0,12612
10:05	-0,63995	0,35982	-0,12612
10:11	-0,63995	0,47976	-0,12612
10:17	-0,63995	0,59970	-0,12612
10:23	-0,76794	0,35982	0,12612
10:29	-0,76794	0,47976	-0,12612
10:35	0,89593	0,47976	-0,12612
10:41	-0,89593	0,35982	0,12612
10:47	-0,89593	0,35982	0,12612
10:53	-0,89593	0,47976	0,12612
10:59	-0,89593	0,23988	0,12612
11:05	-1,02390	-0,23988	0,12612
11:11	-1,02390	-0,35982	0,12612
11:17	-1,15190	-0,35982	-0,12612
11:23	-1,02390	0,35982	0,12612
11:29	-1,15190	-0,11994	0,12612
11:35	5,37560	0,83958	0,12612
11:41	5,37560	-0,59970	0,12612
11:47	5,37560	0,59970	0,12612
11:53	5,24760	0,59970	0,12612
11:59	5,11960	0,59970	0,12612
12:05	5,11960	0,59970	0,12612
12:11	5,11960	0,47976	0,12612
12:17	4,99160	0,47976	0,12612
12:23	4,73560	0,47976	0,12612
12:29	4,73560	0,47976	0,12612
12:35	-1,91980	1,07950	0,00000
12:41	-1,91980	-0,35982	0,00000
12:47	-1,91980	0,11994	0,00000
12:53	-1,40790	-0,11994	-0,12612
12:59	-1,79190	-0,11994	0,12612
13:05	-1,66390	-0,35982	0,12612
13:11	-1,66390	-0,35982	-0,12612
13:17	-1,53590	-0,47976	-0,12612
13:23	-1,53590	-0,47976	-0,12612
13:29	-1,66390	-0,47976	0,12612
13:35	-1,66390	-0,47976	-0,12612
13:41	-1,53590	-0,47976	0,12612
13:47	-1,66390	-0,47976	0,25224
13:53	-1,66390	-0,47976	-0,12612
13:59	-1,53590	-0,47976	0,25224
14:05	-1,53590	-0,47976	0,25224
14:11	-1,66390	-0,47976	0,25224
14:17	-1,53590	-0,47976	-0,25224
14:23	-1,53590	-0,47976	-0,25224

Time (hh:mm)	DEP-1 Calculated Field, (V/m)	DEP-2 Calculated Field, (V/m)	DEP-3 Calculated Field, (V/m)
14:29	-1,79190	-0,47976	-0,25224
14:35	-1,79190	-0,47976	0,25224
14:41	-1,79190	-0,47976	0,25224
14:47	-1,66390	-0,47976	-0,25224
14:53	-1,79190	-0,47976	-0,25224
14:59	-1,66390	-0,47976	-0,25224
15:05	-1,79190	-0,47976	-0,25224
15:11	-1,79190	-0,47976	0,25224
15:17	-1,79190	-0,47976	0,25224
15:23	-1,53590	-0,47976	0,25224
15:29	-1,40790	-0,47976	-0,25224
15:35	1,40790	-0,47976	-0,25224
15:41	1,27990	-0,47976	-0,25224
15:47	1,15190	-0,47976	-0,25224
15:53	1,27990	-0,47976	-0,37836
15:59	0,76794	-0,47976	0,37836
16:05	-0,89593	-0,59970	0,37836
16:11	1,15190	-0,47976	-0,37836
16:17	-1,66390	-0,59970	0,37836
16:23	2,68780	-0,59970	-0,37836
16:29	2,94380	-0,59970	0,37836
16:35	-1,91980	-0,47976	-1,13510
16:41	1,79190	-0,59970	1,00900
16:47	1,40790	-0,59970	1,00900
16:53	-1,79190	0,59970	1,00900
16:59	-1,79190	-0,59970	-1,13510
17:05	-1,66390	-0,47976	0,25224
17:11	-1,40790	-0,47976	0,25224
17:17	-1,40790	-0,71964	-0,25224
17:23	-1,27990	-0,83958	0,25224
17:29	1,02390	-0,83958	0,50448
17:35	1,02390	-0,83958	-0,75672
17:41	1,02390	-0,83958	-1,00900
17:47	-1,15190	-0,83958	-1,13510
17:53	-1,02390	-0,83958	-1,26120
17:59	1,02390	-0,83958	-1,26120
18:05	-1,02390	-0,83958	-1,26120
18:11	-1,27990	-0,83958	-1,26120
18:17	-1,15190	-0,83958	-1,26120
18:23	-1,15190	-0,83958	-1,13510
18:29	1,15190	-0,83958	-1,13510
18:35	1,66390	-0,83958	-1,13510
18:41	-1,66390	-0,71964	-1,00900
18:47	-1,53590	-0,71964	-1,13510
18:53	1,66390	0,83958	-1,13510
18:59	-1,53590	-0,83958	-1,00900
19:05	-1,53590	-0,83958	-0,88284
19:11	-1,40790	-0,83958	-1,13510
19:17	-1,53590	-0,83958	-0,88284
19:23	1,53590	-0,83958	-1,00900

Time (hh:mm)	DEP-1 Calculated Field, (V/m)	DEP-2 Calculated Field, (V/m)	DEP-3 Calculated Field, (V/m)
19:29	-1,66390	-0,95952	-0,88284
19:35	-1,53590	-0,83958	-1,00900
19:41	-1,66390	-0,83958	-1,00900
19:47	-1,53590	-0,83958	-0,75672
19:53	-1,27990	-0,83958	-0,88284
19:59	-1,27990	-0,83958	-0,88284
20:05	-1,27990	-0,95952	-0,75672
20:11	1,27990	-0,95952	-0,63060
20:17	-1,15190	-0,95952	-0,63060
20:23	1,27990	-0,95952	-0,75672
20:29	-1,15190	-0,95952	-0,75672
20:35	-1,27990	-0,95952	-0,75672
20:41	1,15190	-0,95952	-0,63060
20:47	1,15190	-0,95952	-0,63060
20:53	-1,15190	-1,07950	-0,50448
20:59	-1,02390	-1,07950	0,50448
21:05	-1,15190	-0,95952	-0,50448
21:11	-1,02390	-1,07950	-0,37836
21:17	1,15190	-1,07950	-0,50448
21:23	1,02390	-1,07950	-0,37836
21:29	-1,02390	-1,07950	0,37836
21:35	1,02390	-1,07950	-0,37836
21:41	-0,76794	-1,07950	-0,37836

Time (hh:mm)	DEP-1 Calculated Field, (V/m)	DEP-2 Calculated Field, (V/m)	DEP-3 Calculated Field, (V/m)
21:47	0,63995	-1,07950	0,37836
21:53	-0,63995	-1,07950	-0,37836
21:59	-0,89593	-1,07950	0,37836
22:05	-0,76794	-1,07950	0,37836
22:11	-0,89593	-1,07950	0,37836
22:17	-0,89593	-1,07950	-0,37836
22:23	0,76794	-1,07950	0,37836
22:29	0,63995	-1,07950	0,37836
22:35	0,76794	-0,95952	0,37836
22:41	0,76794	-1,07950	0,37836
22:47	-0,89593	-0,95952	-0,37836
22:53	0,76794	-0,95952	-0,37836
22:59	-0,89593	-1,07950	-0,25224
23:05	0,89593	-0,95952	-0,25224
23:11	-0,89593	-1,07950	0,25224
23:17	0,76794	-1,07950	-0,25224
23:23	-0,89593	-0,95952	-0,37836
23:29	-0,76794	-0,95952	0,25224
23:35	-0,89593	-0,95952	-0,37836
23:41	0,76794	-0,95952	-0,37836
23:47	0,76794	-0,95952	-0,37836
23:53	-0,76794	-0,95952	-0,37836
23:59	-1,02390	-0,95952	-0,37836

Annex 22. Information from DEP-sensors for 27/08/00

Time (hh:mm)	DEP-1 Calculated Field, (V/m)	DEP-2 Calculated Field, (V/m)	DEP-3 Calculated Field, (V/m)
0:05	-0,89593	-0,83958	-0,50448
0:11	-0,89593	-0,83958	-0,37836
0:17	-0,89593	-0,71964	-0,50448
0:23	-0,76794	-0,83958	0,50448
0:29	-0,76794	-0,95952	-0,50448
0:35	-0,76794	0,95952	-0,50448
0:41	-1,02390	-0,95952	-0,50448
0:47	0,89593	-0,95952	-0,50448
0:53	0,89593	-0,95952	-0,50448
0:59	-0,89593	0,95952	-0,50448
1:05	1,02390	0,95952	-0,63060
1:11	0,89593	0,95952	-0,50448
1:17	-0,89593	1,07950	-0,63060
1:23	-0,89593	0,95952	-0,50448
1:29	-1,02390	0,95952	-0,63060
1:35	-1,02390	0,95952	-0,63060
1:41	-1,02390	0,95952	-0,63060
1:47	1,02390	0,95952	-0,75672
1:53	-1,02390	0,95952	-0,63060
1:59	-0,89593	0,95952	-0,63060
2:05	-1,02390	0,95952	-0,75672
2:11	-1,02390	-1,67920	0,75672
2:17	-0,89593	-1,19940	-0,88284
2:23	-0,76794	-1,19940	-0,75672
2:29	0,89593	-1,19940	-0,75672
2:35	0,89593	-1,19940	-0,75672
2:41	-1,02390	-1,19940	0,75672
2:47	-0,76794	-1,07950	-0,75672
2:53	-0,89593	-1,07950	-0,63060
2:59	-0,76794	-1,07950	-0,37836
3:05	-0,76794	-1,07950	-0,12612
3:11	-0,76794	-1,07950	0,12612
3:17	-0,51196	-1,07950	0,37836
3:23	-0,63995	-1,07950	-0,12612
3:29	-0,76794	-1,07950	-0,12612
3:35	0,76794	-0,95952	0,12612
3:41	0,76794	-0,95952	-0,12612
3:47	-0,63995	-0,83958	0,12612
3:53	0,63995	-0,83958	-0,12612
3:59	0,76794	-1,07950	-0,12612
4:05	2,94380	-1,31930	-1,38730
4:11	-0,76794	-1,19940	0,00000
4:17	1,15190	-1,19940	-0,25224
4:23	1,91980	-1,31930	2,77460
4:29	-1,53590	-1,19940	-0,37836
4:35	1,91980	-1,07950	-0,12612
4:41	-1,40790	-1,07950	0,12612

Time (hh:mm)	DEP-1 Calculated Field, (V/m)	DEP-2 Calculated Field, (V/m)	DEP-3 Calculated Field, (V/m)
4:47	-1,53590	-1,07950	-0,12612
4:53	1,27990	-1,07950	-0,12612
4:59	-1,15190	-0,95952	0,12612
5:05	-1,02390	-0,95952	-0,12612
5:11	-0,89593	-0,95952	0,00000
5:17	0,89593	-0,83958	0,00000
5:23	-0,89593	-0,71964	0,00000
5:29	-1,02390	-0,47976	-0,12612
5:35	-0,89593	-0,35982	-0,12612
5:41	0,63995	-0,35982	0,12612
5:47	0,63995	0,35982	0,12612
5:53	0,51196	-0,35982	-0,12612
5:59	0,51196	-0,35982	0,12612
6:05	0,51196	-0,23988	0,12612
6:11	0,51196	-0,23988	-0,12612
6:17	0,38397	-0,23988	-0,12612
6:23	-0,25598	-0,23988	0,12612
6:29	0,25598	-0,23988	0,12612
6:35	0,25598	-0,23988	-0,12612
6:41	-0,25598	-0,23988	-0,12612
6:47	0,25598	-0,23988	0,12612
6:53	0,25598	-0,35982	-0,12612
6:59	0,25598	-0,35982	-0,12612
7:05	0,25598	-0,35982	0,12612
7:11	0,25598	-0,23988	-0,12612
7:17	-0,25598	-0,23988	0,12612
7:23	-0,25598	-0,23988	0,12612
7:29	0,25598	-0,23988	0,12612
7:35	-0,38397	-0,35982	0,12612
7:41	-0,38397	0,35982	0,12612
7:47	0,38397	-0,35982	0,12612
7:53	0,38397	-0,35982	-0,12612
7:59	0,51196	-0,35982	0,12612
8:05	0,51196	-0,23988	-0,12612
8:11	0,51196	-0,23988	0,12612
8:17	0,51196	-0,23988	0,12612
8:23	-0,51196	-0,35982	-0,12612
8:29	0,51196	0,35982	0,12612
8:35	0,63995	0,35982	-0,12612
8:41	0,63995	-0,35982	0,12612
8:47	0,63995	0,35982	0,12612
8:53	0,63995	-0,35982	0,12612
8:59	-0,63995	-0,35982	-0,12612
9:05	0,63995	-0,35982	-0,12612
9:11	0,51196	0,35982	0,12612
9:17	0,51196	-0,35982	0,12612
9:23	-0,51196	0,35982	0,12612

Time (hh:mm)	DEP-1 Calculated Field, (V/m)	DEP-2 Calculated Field, (V/m)	DEP-3 Calculated Field, (V/m)
9:29	0,38397	0,35982	0,12612
9:35	0,38397	-0,35982	0,12612
9:41	-0,38397	0,35982	0,12612
9:47	-0,38397	0,35982	0,12612
9:53	-0,51196	0,35982	-0,12612
9:59	-0,51196	0,35982	0,12612
10:05	-0,63995	0,35982	0,12612
10:11	-0,63995	0,47976	-0,12612
10:17	-0,63995	0,59970	-0,12612
10:23	-0,76794	0,59970	0,12612
10:29	-0,76794	0,47976	0,12612
10:35	-0,76794	-0,47976	-0,12612
10:41	-0,76794	-0,35982	0,12612
10:47	-0,89593	-0,47976	0,12612
10:53	-0,89593	0,59970	0,12612
10:59	-0,89593	0,35982	0,12612
11:05	-0,89593	0,35982	0,12612
11:11	-0,89593	-0,35982	0,12612
11:17	-1,02390	-0,35982	0,12612
11:23	-1,02390	0,35982	-0,12612
11:29	4,86360	0,59970	0,12612
11:35	5,63160	0,83958	0,12612
11:41	5,63160	0,83958	0,12612
11:47	5,50360	0,83958	0,12612
11:53	5,37560	0,71964	-0,12612
11:59	5,37560	0,59970	0,12612
12:05	5,11960	0,59970	-0,12612
12:11	5,24760	0,59970	0,12612
12:17	5,24760	0,59970	-0,12612
12:23	5,24760	0,59970	-0,12612
12:29	-1,66390	0,23988	0,12612
12:35	-1,40790	-0,47976	-0,12612
12:41	-1,40790	-0,59970	-0,12612
12:47	-1,40790	-0,59970	-0,12612
12:53	-1,27990	0,59970	0,12612
12:59	-1,40790	-0,47976	0,12612
13:05	-1,53590	-0,47976	-0,12612
13:11	-1,40790	-0,47976	0,12612
13:17	-1,40790	-0,47976	0,12612
13:23	-1,40790	-0,47976	-0,12612
13:29	-1,40790	-0,47976	0,12612
13:35	-1,53590	-0,47976	-0,12612
13:41	-1,53590	-0,47976	-0,12612
13:47	-1,53590	-0,47976	0,12612
13:53	-1,53590	0,47976	-0,12612
13:59	-1,53590	-0,47976	0,12612
14:05	-1,53590	-0,47976	-0,12612
14:11	-1,53590	-0,47976	-0,12612
14:17	-1,53590	-0,47976	-0,12612
14:23	-1,53590	-0,47976	-0,12612

Time (hh:mm)	DEP-1 Calculated Field, (V/m)	DEP-2 Calculated Field, (V/m)	DEP-3 Calculated Field, (V/m)
14:29	-1,53590	-0,47976	0,12612
14:35	-1,53590	-0,47976	-0,12612
14:41	-1,53590	-0,47976	-0,12612
14:47	-1,40790	-0,47976	0,12612
14:53	-1,27990	-0,47976	-0,12612
14:59	-1,40790	-0,47976	-0,12612
15:05	-1,27990	-0,47976	0,12612
15:11	-1,27990	0,47976	0,12612
15:17	-1,53590	-0,47976	0,12612
15:23	-1,40790	-0,47976	-0,12612
15:29	1,27990	-0,47976	0,25224
15:35	-1,27990	-0,47976	0,25224
15:41	1,27990	-0,47976	0,25224
15:47	1,15190	-0,47976	0,25224
15:53	1,02390	-0,47976	0,37836
15:59	-0,51196	-0,59970	0,37836
16:05	0,76794	-0,47976	0,37836
16:11	1,02390	-0,59970	-0,37836
16:17	1,02390	-0,59970	-0,37836
16:23	2,30380	-0,59970	0,37836
16:29	2,17580	-0,59970	-0,37836
16:35	1,53590	-0,59970	-1,13510
16:41	-1,02390	-0,59970	1,00900
16:47	1,02390	-0,59970	1,13510
16:53	-1,15190	-0,71964	1,13510
16:59	-1,27990	-0,59970	0,25224
17:05	1,15190	-0,59970	-0,25224
17:11	1,02390	-0,59970	-0,25224
17:17	-1,02390	-0,59970	0,25224
17:23	-0,89593	-0,83958	-0,25224
17:29	0,63995	-0,83958	-0,63060
17:35	-0,89593	-0,95952	0,75672
17:41	-0,89593	-0,95952	-1,00900
17:47	-0,89593	0,83958	-1,13510
17:53	-0,89593	-0,83958	-1,26120
17:59	-0,76794	-0,83958	-1,26120
18:05	-0,89593	-0,83958	-1,26120
18:11	-0,76794	0,83958	-1,26120
18:17	-1,02390	-0,83958	-1,26120
18:23	-0,76794	-0,83958	-1,13510
18:29	0,89593	-0,83958	-1,26120
18:35	-0,89593	-0,83958	-1,26120
18:41	-0,89593	-0,83958	-1,26120
18:47	1,15190	-0,83958	-1,26120
18:53	-1,02390	-0,83958	-1,13510
18:59	-1,02390	-0,83958	-1,13510
19:05	1,02390	0,83958	-1,13510
19:11	0,89593	0,83958	-1,00900
19:17	0,89593	-0,83958	-1,13510
19:23	-1,02390	-0,83958	-1,00900

Time (hh:mm)	DEP-1 Calculated Field, (V/m)	DEP-2 Calculated Field, (V/m)	DEP-3 Calculated Field, (V/m)
19:29	-1,02390	0,83958	-1,00900
19:35	0,63995	-0,95952	-1,00900
19:41	0,76794	-0,83958	-1,00900
19:47	0,89593	-0,83958	-0,88284
19:53	-0,89593	-0,83958	-0,88284
19:59	-0,76794	-0,95952	-0,88284
20:05	-0,76794	-0,95952	-0,88284
20:11	0,63995	-0,95952	-0,63060
20:17	-0,63995	-0,95952	-0,75672
20:23	0,76794	-0,95952	-0,75672
20:29	-0,76794	-0,95952	-0,75672
20:35	-0,76794	-0,95952	-0,75672
20:41	-0,63995	-0,95952	-0,63060
20:47	-0,63995	0,95952	-0,63060
20:53	0,63995	-0,95952	-0,63060
20:59	-0,63995	-0,95952	-0,63060
21:05	-0,76794	-0,95952	-0,63060
21:11	-0,63995	-0,95952	-0,50448
21:17	-0,76794	-0,95952	-0,50448
21:23	0,76794	-0,95952	-0,37836
21:29	-0,38397	-0,95952	-0,37836
21:35	0,63995	-0,95952	-0,37836
21:41	-0,63995	-0,95952	-0,37836

Time (hh:mm)	DEP-1 Calculated Field, (V/m)	DEP-2 Calculated Field, (V/m)	DEP-3 Calculated Field, (V/m)
21:47	-0,38397	-0,95952	-0,37836
21:53	0,63995	-0,95952	-0,37836
21:59	0,63995	-0,95952	-0,37836
22:05	0,63995	-0,95952	-0,37836
22:11	-0,76794	-1,07950	-0,37836
22:17	-0,63995	-1,07950	-0,37836
22:23	-0,51196	-0,95952	-0,37836
22:29	-0,51196	1,07950	0,37836
22:35	0,63995	-0,95952	-0,37836
22:41	0,63995	-0,95952	0,37836
22:47	-0,76794	-0,95952	-0,37836
22:53	-0,63995	-0,95952	0,25224
22:59	0,76794	-0,95952	0,25224
23:05	-0,63995	-0,95952	-0,37836
23:11	0,63995	-0,95952	-0,25224
23:17	0,63995	-0,83958	0,25224
23:23	-0,51196	-0,95952	-0,37836
23:29	-0,51196	-0,83958	-0,25224
23:35	0,63995	-0,83958	-0,37836
23:41	-0,63995	-0,83958	0,37836
23:47	-0,51196	-0,83958	0,37836
23:53	-0,63995	-0,71964	-0,50448
23:59	0,51196	-0,83958	-0,37836

Annex 23. Information from DEP-sensors for 28/08/00

Time (hh:mm)	DEP-1 Calculated Field, (V/m)	DEP-2 Calculated Field, (V/m)	DEP-3 Calculated Field, (V/m)
0:05	-0,63995	-0,71964	-0,37836
0:11	-0,63995	-0,83958	-0,37836
0:17	-0,76794	-0,71964	-0,37836
0:23	0,63995	-0,83958	-0,37836
0:29	-0,63995	-0,83958	-0,50448
0:35	-0,63995	0,83958	-0,50448
0:41	0,51196	0,95952	-0,50448
0:47	-0,63995	-0,95952	-0,50448
0:53	0,76794	-0,95952	-0,50448
0:59	0,76794	0,83958	-0,50448
1:05	0,63995	0,83958	-0,50448
1:11	-0,76794	0,95952	-0,37836
1:17	-0,76794	0,95952	-0,50448
1:23	-0,76794	0,95952	-0,50448
1:29	-0,76794	0,95952	-0,50448
1:35	-0,89593	0,95952	-0,50448
1:41	0,76794	0,95952	-0,50448
1:47	-0,76794	0,95952	-0,63060
1:53	0,76794	0,95952	-0,63060
1:59	-0,76794	-0,95952	-0,63060
2:05	-0,89593	-0,95952	-0,75672
2:11	-0,76794	1,67920	-0,75672
2:17	0,89593	-1,19940	-0,75672
2:23	-0,89593	-1,19940	-0,75672
2:29	-0,89593	-1,19940	-0,75672
2:35	-0,89593	-1,19940	0,75672
2:41	-1,02390	-1,19940	-0,88284
2:47	-0,76794	-1,31930	-0,50448
2:53	-1,40790	-1,19940	-0,37836
2:59	-1,27990	-1,31930	0,12612
3:05	1,66390	-1,31930	0,00000
3:11	1,66390	-1,31930	0,00000
3:17	1,53590	-1,31930	0,00000
3:23	1,27990	-1,19940	0,00000
3:29	2,43180	-1,31930	0,12612
3:35	3,19970	-1,43930	-0,25224
3:41	4,47960	-1,43930	-0,63060
3:47	6,39950	-1,43930	0,75672
3:53	7,55140	-1,43930	1,13510
3:59	16,38270	-2,03900	-3,78360
4:05	22,14230	-1,55920	-8,07170
4:11	11,39110	-2,03900	-7,69330
4:17	8,44730	-2,03900	7,31500
4:23	6,27150	-2,03900	6,93660
4:29	5,37560	-2,03900	-6,17990
4:35	5,37560	-2,03900	-6,30600
4:41	5,63160	-2,03900	-7,44110

Time (hh:mm)	DEP-1 Calculated Field, (V/m)	DEP-2 Calculated Field, (V/m)	DEP-3 Calculated Field, (V/m)
4:47	6,91150	-2,03900	-8,57620
4:53	8,19140	-2,03900	9,96350
4:59	9,21530	-2,03900	10,59410
5:05	9,47130	-2,03900	11,22470
5:11	8,95930	-2,03900	10,59410
5:17	8,19140	-2,15890	10,59410
5:23	7,42340	-2,03900	-9,96350
5:29	5,88750	-2,03900	-9,08060
5:35	4,86360	-1,91900	8,19780
5:41	4,09570	-1,91900	-7,94560
5:47	3,58370	-1,91900	-7,69330
5:53	2,81580	-1,79910	-7,44110
5:59	2,30380	-1,31930	6,68440
6:05	1,66390	-1,31930	-6,30600
6:11	1,15190	-1,31930	5,54930
6:17	0,76794	-1,31930	4,66640
6:23	0,51196	-1,19940	-4,03580
6:29	0,38397	-1,19940	-3,78360
6:35	0,51196	-1,19940	3,90970
6:41	-0,51196	-1,19940	3,02690
6:47	-0,38397	-1,07950	-1,89180
6:53	0,38397	-1,07950	-1,00900
6:59	-0,38397	-1,07950	0,88284
7:05	-0,38397	-0,95952	0,75672
7:11	-0,38397	-0,95952	-0,63060
7:17	-0,38397	-0,83958	0,50448
7:23	-0,25598	-0,71964	-0,25224
7:29	-0,25598	-0,59970	-0,12612
7:35	0,25598	-0,47976	0,00000
7:41	-0,25598	-0,47976	0,00000
7:47	-0,25598	-0,47976	0,00000
7:53	-0,25598	-0,47976	0,00000
7:59	-0,25598	-0,47976	0,12612
8:05	-0,38397	0,35982	0,12612
8:11	0,38397	-0,35982	0,12612
8:17	0,38397	0,23988	0,12612
8:23	0,51196	-0,23988	0,12612
8:29	0,51196	-0,23988	0,12612
8:35	0,51196	0,35982	0,25224
8:41	0,51196	0,35982	-0,25224
8:47	0,63995	0,35982	-0,25224
8:53	0,63995	0,35982	-0,25224
8:59	0,63995	-0,35982	0,25224
9:05	-0,63995	0,35982	-0,25224
9:11	0,51196	0,35982	-0,25224
9:17	-0,51196	0,35982	0,25224
9:23	0,38397	0,35982	0,25224

Time (hh:mm)	DEP-1 Calculated Field, (V/m)	DEP-2 Calculated Field, (V/m)	DEP-3 Calculated Field, (V/m)
9:29	-0,38397	-0,35982	-0,25224
9:35	-0,38397	0,35982	-0,25224
9:41	-0,38397	0,35982	0,25224
9:47	-0,38397	-0,35982	-0,25224
9:53	-0,38397	0,35982	0,25224
9:59	-0,51196	0,47976	-0,25224
10:05	-0,63995	0,35982	0,25224
10:11	-0,63995	0,47976	-0,25224
10:17	-0,63995	0,59970	0,25224
10:23	-0,76794	0,59970	0,25224
10:29	-0,76794	0,47976	-0,25224
10:35	-0,76794	0,47976	-0,25224
10:41	-0,76794	-0,47976	0,25224
10:47	-0,76794	-0,47976	-0,25224
10:53	-0,76794	-0,59970	-0,25224
10:59	-0,76794	0,47976	-0,25224
11:05	-0,76794	0,23988	-0,25224
11:11	-0,89593	0,35982	-0,25224
11:17	-0,89593	0,23988	-0,25224
11:23	-0,89593	-0,23988	0,25224
11:29	5,24760	0,83958	-0,12612
11:35	5,37560	0,59970	0,12612
11:41	5,24760	0,59970	0,12612
11:47	5,24760	0,59970	-0,12612
11:53	5,11960	0,59970	-0,12612
11:59	5,24760	0,47976	0,12612
12:05	5,24760	0,47976	0,12612
12:11	5,11960	0,47976	0,12612
12:17	4,99160	0,47976	0,12612
12:23	4,86360	0,35982	0,12612
12:29	-1,40790	-0,23988	-0,12612
12:35	-1,27990	-0,35982	-0,12612
12:41	-1,27990	0,47976	-0,12612
12:47	-1,27990	0,59970	0,12612
12:53	-1,27990	-0,59970	-0,12612
12:59	-1,40790	-0,59970	0,12612
13:05	-1,40790	-0,71964	0,25224
13:11	-1,40790	-0,59970	-0,25224
13:17	-1,40790	-0,71964	0,25224
13:23	-1,40790	-0,71964	-0,25224
13:29	-1,40790	-0,71964	0,25224
13:35	-1,40790	-0,83958	0,25224
13:41	-1,40790	-0,83958	-0,25224
13:47	-1,53590	-0,83958	-0,25224
13:53	-1,53590	-0,83958	-0,25224
13:59	-1,53590	-0,83958	0,25224
14:05	-1,53590	-0,83958	-0,25224
14:11	-1,53590	-0,71964	-0,25224
14:17	-1,53590	-0,83958	-0,25224
14:23	-1,53590	-0,71964	-0,25224

Time (hh:mm)	DEP-1 Calculated Field, (V/m)	DEP-2 Calculated Field, (V/m)	DEP-3 Calculated Field, (V/m)
14:29	-1,53590	-0,71964	-0,25224
14:35	-1,53590	-0,71964	0,25224
14:41	-1,53590	-0,59970	0,25224
14:47	-1,53590	-0,71964	0,25224
14:53	-1,53590	-0,71964	-0,25224
14:59	-1,53590	-0,71964	0,25224
15:05	-1,40790	-0,83958	-0,25224
15:11	-1,40790	-0,71964	-0,25224
15:17	-1,40790	-0,71964	0,25224
15:23	-1,40790	-0,71964	0,25224
15:29	-1,27990	-0,71964	0,25224
15:35	-1,40790	-0,71964	-0,25224
15:41	-1,15190	-0,71964	-0,25224
15:47	1,15190	-0,71964	0,37836
15:53	-1,15190	-0,71964	-0,37836
15:59	0,63995	-0,71964	0,37836
16:05	0,76794	-0,71964	0,37836
16:11	-0,89593	-0,71964	-0,37836
16:17	1,02390	-0,59970	-0,25224
16:23	-1,53590	-0,59970	0,25224
16:29	-1,91980	-0,59970	0,37836
16:35	1,15190	-0,59970	-1,13510
16:41	0,76794	-0,59970	1,13510
16:47	-0,89593	-0,59970	1,13510
16:53	-0,89593	-0,59970	1,13510
16:59	1,02390	-0,59970	-0,25224
17:05	-1,02390	-0,47976	0,88284
17:11	-1,02390	-0,47976	0,25224
17:17	-0,51196	-0,47976	-0,25224
17:23	-0,89593	-0,71964	-0,25224
17:29	-0,89593	0,83958	-0,25224
17:35	-0,76794	-0,83958	-0,75672
17:41	-0,89593	-0,83958	-1,00900
17:47	0,76794	-0,83958	-1,26120
17:53	0,89593	0,83958	-1,38730
17:59	-0,76794	-0,83958	-1,38730
18:05	0,63995	-0,83958	-1,26120
18:11	0,76794	-0,71964	-1,26120
18:17	-0,76794	0,83958	-1,26120
18:23	0,89593	-0,83958	-1,26120
18:29	-0,76794	0,71964	1,13510
18:35	-0,89593	-0,71964	-1,13510
18:41	-0,76794	0,71964	-1,26120
18:47	-1,02390	0,71964	-1,26120
18:53	-0,89593	-0,83958	-1,13510
18:59	-0,76794	0,83958	-1,13510
19:05	-0,76794	0,83958	-1,13510
19:11	-0,89593	0,83958	1,00900
19:17	-0,76794	0,83958	-1,13510
19:23	-0,89593	-0,83958	-1,13510

Time (hh:mm)	DEP-1 Calculated Field, (V/m)	DEP-2 Calculated Field, (V/m)	DEP-3 Calculated Field, (V/m)
19:29	-0,63995	-0,83958	-1,00900
19:35	0,76794	-0,83958	-1,00900
19:41	0,76794	-0,83958	-1,00900
19:47	0,76794	0,83958	-1,00900
19:53	0,76794	-0,83958	-1,00900
19:59	-0,63995	-0,95952	-0,88284
20:05	0,76794	-0,95952	-0,88284
20:11	0,63995	-0,83958	-0,88284
20:17	-0,76794	-0,83958	-0,88284
20:23	0,63995	-0,83958	-0,75672
20:29	0,51196	-0,83958	-0,75672
20:35	-0,63995	-0,83958	-0,63060
20:41	-0,63995	-0,83958	-0,75672
20:47	-0,63995	0,83958	-0,75672
20:53	0,63995	-0,95952	-0,63060
20:59	-0,63995	-0,83958	-0,63060
21:05	0,51196	-0,95952	-0,50448
21:11	-0,63995	-0,95952	-0,50448
21:17	-0,51196	-0,95952	-0,37836
21:23	0,51196	-0,95952	-0,37836
21:29	-0,63995	0,95952	-0,37836
21:35	-0,63995	-0,95952	-0,37836
21:41	-0,63995	-0,95952	-0,37836

Time (hh:mm)	DEP-1 Calculated Field, (V/m)	DEP-2 Calculated Field, (V/m)	DEP-3 Calculated Field, (V/m)
21:47	0,51196	-0,95952	-0,37836
21:53	-0,76794	-0,95952	-0,37836
21:59	-0,38397	-0,95952	-0,37836
22:05	-0,63995	-0,95952	-0,37836
22:11	-0,63995	-0,95952	0,37836
22:17	-0,51196	-0,95952	0,37836
22:23	-0,51196	-1,07950	0,37836
22:29	-0,63995	-0,95952	0,37836
22:35	-0,51196	-0,95952	0,37836
22:41	-0,51196	-0,95952	0,37836
22:47	-0,51196	0,95952	0,37836
22:53	-0,63995	-0,95952	-0,37836
22:59	0,51196	-0,83958	-0,37836
23:05	-0,63995	-0,95952	-0,37836
23:11	0,63995	-0,95952	-0,37836
23:17	-0,51196	-0,95952	-0,37836
23:23	0,51196	-0,83958	-0,37836
23:29	-0,51196	-0,83958	0,25224
23:35	0,51196	-0,71964	-0,37836
23:41	-0,51196	-0,83958	-0,37836
23:47	0,63995	-0,83958	-0,25224
23:53	0,63995	-0,83958	-0,37836
23:59	-0,51196	-0,83958	-0,25224

Annex 24. Information from DEP-sensors for 29/08/00

Time (hh:mm)	DEP-1 Calculated Field, (V/m)	DEP-2 Calculated Field, (V/m)	DEP-3 Calculated Field, (V/m)
0:05	-0,51196	-0,71964	-0,25224
0:11	-0,51196	-0,83958	-0,37836
0:17	0,51196	-0,71964	-0,37836
0:23	0,51196	-0,71964	-0,50448
0:29	0,76794	-0,83958	-0,50448
0:35	-0,63995	-0,83958	-0,50448
0:41	-0,63995	0,95952	0,37836
0:47	-0,51196	-0,83958	-0,50448
0:53	0,51196	-0,83958	-0,37836
0:59	0,63995	-0,95952	-0,50448
1:05	-0,76794	-0,95952	-0,88284
1:11	1,53590	0,95952	-1,00900
1:17	1,15190	1,07950	-0,63060
1:23	-4,09570	0,95952	-1,13510
1:29	1,15190	-1,07950	-0,50448
1:35	1,79190	1,07950	-1,13510
1:41	-1,79190	-1,07950	-0,75672
1:47	-1,02390	0,95952	-0,63060
1:53	-0,63995	0,95952	-1,00900
1:59	0,76794	0,95952	-0,88284
2:05	-0,76794	0,95952	-1,00900
2:11	-1,02390	-1,91900	-0,63060
2:17	1,27990	-1,91900	-0,50448
2:23	6,27150	-2,03900	0,25224
2:29	1,66390	-1,79910	-0,50448
2:35	1,15190	-1,79910	0,50448
2:41	-1,79190	-1,43930	-0,25224
2:47	-1,02390	-1,31930	-0,50448
2:53	-0,63995	-1,31930	0,50448
2:59	-0,51196	-1,31930	-0,12612
3:05	2,43180	-1,43930	0,00000
3:11	0,76794	-1,31930	0,00000
3:17	5,11960	-2,15890	-5,17090
3:23	8,44730	-2,15890	1,51340
3:29	3,07180	-2,03900	-0,75672
3:35	17,40660	-1,55920	-5,04480
3:41	48,63620	-2,27890	12,61200
3:47	22,14230	-2,15890	7,69330
3:53	3,71170	-1,43930	-2,27020
3:59	3,71170	-1,43930	1,38730
4:05	1,53590	-1,43930	1,00900
4:11	1,02390	-1,79910	-1,38730
4:17	-0,89593	-1,79910	-1,38730
4:23	0,89593	-1,43930	1,76570
4:29	-1,02390	-1,79910	-1,63960
4:35	1,40790	-1,79910	-1,76570
4:41	0,76794	-1,43930	1,51340

Time (hh:mm)	DEP-1 Calculated Field, (V/m)	DEP-2 Calculated Field, (V/m)	DEP-3 Calculated Field, (V/m)
4:47	-1,02390	-1,43930	-1,38730
4:53	1,02390	-1,43930	2,52240
4:59	-1,27990	-1,91900	4,91870
5:05	4,60760	-1,43930	8,82840
5:11	9,21530	-1,31930	14,25160
5:17	10,11120	-1,19940	15,13440
5:23	9,47130	-1,19940	15,13440
5:29	2,68780	-1,31930	7,94560
5:35	0,76794	-1,19940	1,00900
5:41	-0,89593	-1,19940	0,75672
5:47	0,76794	-1,19940	0,50448
5:53	-0,76794	-1,07950	0,37836
5:59	-0,76794	-1,07950	0,37836
6:05	-1,15190	-1,19940	-1,00900
6:11	-1,27990	-1,31930	3,40520
6:17	0,38397	-1,31930	-7,31500
6:23	1,40790	-1,19940	-10,59410
6:29	1,66390	-1,19940	-9,08060
6:35	1,02390	-1,19940	-10,59410
6:41	0,76794	-1,19940	-8,82840
6:47	0,63995	-1,07950	-8,82840
6:53	0,89593	-0,83958	11,85530
6:59	1,40790	0,11994	-13,36870
7:05	1,53590	0,23988	15,13440
7:11	1,53590	0,47976	15,13440
7:17	1,02390	0,47976	-15,13440
7:23	-0,51196	0,35982	-9,08060
7:29	-0,89593	0,11994	8,07170
7:35	-0,89593	-0,59970	-4,16200
7:41	-0,89593	-0,95952	2,14400
7:47	-0,76794	-0,95952	1,76570
7:53	-0,76794	-0,95952	-1,51340
7:59	-0,63995	-0,95952	-1,13510
8:05	-0,76794	-1,07950	0,88284
8:11	-0,63995	-0,95952	-0,88284
8:17	-0,76794	-0,95952	0,88284
8:23	-1,02390	-0,95952	-1,26120
8:29	-1,15190	-0,71964	2,14400
8:35	-1,40790	0,23988	-4,28810
8:41	-1,79190	0,59970	7,69330
8:47	-1,40790	1,07950	-8,32390
8:53	-1,79190	0,71964	-7,94560
8:59	-1,40790	0,23988	4,54030
9:05	-1,02390	0,23988	1,38730
9:11	-1,79190	0,59970	4,41420
9:17	-2,17580	1,43930	-11,22470
9:23	-2,17580	1,91900	14,25160

Time (hh:mm)	DEP-1 Calculated Field, (V/m)	DEP-2 Calculated Field, (V/m)	DEP-3 Calculated Field, (V/m)
9:29	-2,68780	2,51870	-17,15230
9:35	-2,17580	2,51870	-17,15230
9:41	-2,04780	2,39880	-15,13440
9:47	-2,04780	2,39880	-13,36870
9:53	-2,17580	2,15890	-11,22470
9:59	-1,91980	1,67920	-7,94560
10:05	-1,91980	1,91900	-5,92760
10:11	-1,91980	1,67920	-3,65750
10:17	-1,66390	1,55920	2,01790
10:23	-1,53590	1,31930	-1,51340
10:29	-1,40790	1,19940	1,38730
10:35	-1,53590	1,19940	1,13510
10:41	-1,40790	0,95952	-0,75672
10:47	-1,27990	0,95952	-0,63060
10:53	-1,27990	0,83958	0,37836
10:59	-1,15190	0,59970	-0,25224
11:05	-1,15190	-0,59970	0,25224
11:11	-1,15190	-0,35982	0,12612
11:17	-1,27990	-0,35982	0,12612
11:23	5,37560	0,59970	0,37836
11:29	5,63160	0,71964	-0,37836
11:35	5,50360	0,71964	0,37836
11:41	5,24760	0,59970	0,37836
11:47	5,24760	0,59970	0,25224
11:53	5,11960	0,47976	-0,25224
11:59	5,11960	0,47976	0,37836
12:05	4,99160	0,47976	0,25224
12:11	5,11960	0,47976	-0,25224
12:17	5,24760	-0,47976	0,25224
12:23	-1,53590	-0,35982	-0,37836
12:29	-1,40790	-0,59970	0,37836
12:35	-1,40790	-0,59970	0,37836
12:41	-1,40790	-0,59970	-0,37836
12:47	-1,27990	-0,59970	0,37836
12:53	-1,27990	-0,59970	-0,37836
12:59	-1,40790	-0,59970	0,37836
13:05	-1,40790	-0,59970	0,37836
13:11	-1,40790	-0,59970	-0,25224
13:17	-1,40790	-0,59970	0,25224
13:23	-1,40790	-0,47976	-0,25224
13:29	-1,40790	-0,47976	0,25224
13:35	-1,40790	-0,47976	0,25224
13:41	-1,40790	-0,47976	-0,25224
13:47	-1,40790	-0,47976	0,25224
13:53	-1,40790	-0,47976	-0,25224
13:59	-1,40790	-0,47976	0,25224
14:05	-1,40790	-0,47976	0,25224
14:11	-1,40790	-0,59970	-0,25224
14:17	-1,40790	-0,47976	0,25224
14:23	-1,40790	-0,59970	-0,25224

Time (hh:mm)	DEP-1 Calculated Field, (V/m)	DEP-2 Calculated Field, (V/m)	DEP-3 Calculated Field, (V/m)
14:29	-1,40790	-0,59970	0,25224
14:35	-1,40790	-0,59970	-0,25224
14:41	-1,40790	-0,59970	-0,25224
14:47	-1,27990	-0,59970	0,25224
14:53	-1,27990	-0,47976	-0,25224
14:59	-1,27990	-0,59970	-0,25224
15:05	-1,40790	-0,47976	0,25224
15:11	-1,27990	-0,47976	-0,25224
15:17	-1,40790	-0,47976	-0,25224
15:23	-1,27990	-0,47976	0,25224
15:29	-1,27990	-0,47976	-0,25224
15:35	-0,89593	-0,59970	0,25224
15:41	1,15190	-0,59970	-0,25224
15:47	1,02390	-0,59970	-0,37836
15:53	1,02390	-0,59970	-0,37836
15:59	-0,63995	-0,59970	0,37836
16:05	0,76794	-0,59970	-0,37836
16:11	-1,02390	-0,47976	0,37836
16:17	-1,02390	-0,47976	-0,37836
16:23	1,79190	-0,47976	-0,37836
16:29	-1,91980	-0,47976	0,37836
16:35	-1,27990	-0,59970	-0,37836
16:41	0,76794	-0,59970	-1,13510
16:47	-0,76794	-0,59970	1,13510
16:53	-0,89593	-0,59970	1,00900
16:59	1,02390	-0,59970	-1,13510
17:05	-1,02390	-0,59970	0,25224
17:11	-0,89593	-0,59970	0,25224
17:17	-0,89593	-0,59970	0,25224
17:23	0,76794	-0,59970	-0,12612
17:29	0,63995	-0,71964	0,12612
17:35	-0,63995	-0,83958	0,75672
17:41	-0,51196	0,95952	0,88284
17:47	0,76794	0,83958	-1,13510
17:53	0,63995	-0,83958	-1,26120
17:59	-0,63995	-0,83958	-1,26120
18:05	-0,76794	-0,83958	-1,26120
18:11	0,76794	0,83958	-1,26120
18:17	0,76794	0,83958	-1,13510
18:23	-1,02390	-0,83958	-1,13510
18:29	-0,89593	0,83958	-1,13510
18:35	-0,76794	-0,83958	-1,00900
18:41	0,76794	0,83958	-1,13510
18:47	1,02390	-0,83958	-1,00900
18:53	0,76794	-0,83958	-1,00900
18:59	-0,89593	-0,83958	-1,13510
19:05	-0,76794	0,83958	-1,13510
19:11	0,76794	-0,83958	-1,13510
19:17	-0,89593	-0,95952	-1,13510
19:23	-0,76794	-0,95952	1,00900

Time (hh:mm)	DEP-1 Calculated Field, (V/m)	DEP-2 Calculated Field, (V/m)	DEP-3 Calculated Field, (V/m)
19:29	-0,76794	-0,95952	-1,00900
19:35	0,63995	-0,95952	-0,88284
19:41	-0,63995	-0,95952	-1,00900
19:47	0,63995	-0,95952	0,88284
19:53	-0,63995	-0,95952	-0,88284
19:59	-0,63995	-0,95952	-0,88284
20:05	-0,51196	-0,95952	-0,75672
20:11	0,63995	-0,95952	-0,88284
20:17	0,51196	-0,95952	-0,75672
20:23	-0,63995	-1,07950	-0,75672
20:29	0,51196	-1,07950	-0,75672
20:35	-0,51196	-1,07950	-0,75672
20:41	-0,63995	-0,95952	-0,75672
20:47	0,51196	-0,95952	-0,63060
20:53	0,51196	-0,95952	-0,63060
20:59	0,51196	-0,95952	-0,50448
21:05	0,51196	-1,07950	-0,50448
21:11	-0,51196	-0,95952	-0,37836
21:17	-0,51196	-1,07950	-0,37836
21:23	-0,63995	-1,07950	-0,37836
21:29	-0,51196	-1,07950	-0,37836
21:35	-0,63995	-1,07950	-0,37836
21:41	0,51196	-1,07950	-0,37836

Time (hh:mm)	DEP-1 Calculated Field, (V/m)	DEP-2 Calculated Field, (V/m)	DEP-3 Calculated Field, (V/m)
21:47	0,51196	-1,07950	-0,37836
21:53	-0,51196	-1,07950	-0,50448
21:59	-0,38397	-1,07950	0,50448
22:05	-0,51196	-1,31930	-0,50448
22:11	0,51196	-1,07950	-0,50448
22:17	-0,51196	-1,07950	-0,50448
22:23	-0,51196	-1,07950	0,50448
22:29	-0,38397	-1,07950	-0,50448
22:35	0,51196	-1,07950	0,50448
22:41	-0,38397	-0,95952	0,50448
22:47	-0,38397	-0,95952	0,50448
22:53	-0,63995	-0,95952	-0,50448
22:59	-0,63995	-0,95952	0,50448
23:05	0,51196	-0,95952	-0,37836
23:11	-0,51196	-0,95952	-0,37836
23:17	0,38397	-0,95952	-0,37836
23:23	0,51196	-0,95952	-0,37836
23:29	-0,38397	-0,83958	-0,37836
23:35	0,38397	-0,83958	-0,37836
23:41	-0,51196	-0,83958	0,37836
23:47	-0,51196	-0,95952	-0,37836
23:53	0,51196	-0,83958	-0,37836
23:59	-0,51196	-0,83958	0,37836

Annex 25. Information from DEP-sensors for 30/08/00

Time (hh:mm)	DEP-1 Calculated Field, (V/m)	DEP-2 Calculated Field, (V/m)	DEP-3 Calculated Field, (V/m)
0:05	-0,51196	-0,83958	-0,37836
0:11	-0,51196	-0,83958	-0,25224
0:17	0,51196	-0,83958	-0,37836
0:23	-0,51196	-0,83958	-0,37836
0:29	-0,51196	-0,95952	-0,37836
0:35	-0,51196	-0,95952	-0,37836
0:41	-0,51196	-0,95952	0,37836
0:47	-0,63995	-0,83958	-0,37836
0:53	-0,63995	-0,95952	-0,37836
0:59	-0,63995	-0,95952	0,37836
1:05	-0,51196	0,95952	-0,50448
1:11	-0,63995	-0,95952	-0,50448
1:17	-0,63995	0,95952	-0,50448
1:23	-0,63995	0,95952	0,50448
1:29	0,63995	0,95952	0,50448
1:35	-0,51196	0,95952	-0,63060
1:41	0,63995	0,95952	-0,50448
1:47	-0,63995	-0,95952	0,63060
1:53	-0,76794	0,95952	-0,75672
1:59	0,89593	-0,95952	-0,88284
2:05	15,35880	-1,19940	0,37836
2:11	18,43060	-2,27890	0,25224
2:17	20,86240	-2,27890	-0,25224
2:23	11,39110	-1,55920	-0,50448
2:29	8,95930	-2,15890	-0,37836
2:35	17,40660	-2,15890	-0,25224
2:41	14,46290	-2,03900	0,25224
2:47	22,14230	-2,15890	0,25224
2:53	22,14230	-2,03900	0,25224
2:59	19,58250	-2,03900	0,12612
3:05	17,40660	-2,03900	0,12612
3:11	6,65550	-1,43930	0,00000
3:17	3,19970	-1,31930	-0,25224
3:23	1,15190	-1,31930	0,00000
3:29	2,43180	-1,31930	-0,12612
3:35	22,14230	-1,31930	4,66640
3:41	35,96520	-1,19940	-7,94560
3:47	40,57280	-1,19940	10,59410
3:53	38,14100	-1,31930	-11,85530
3:59	33,78940	-1,43930	-11,22470
4:05	18,43060	-1,43930	-9,08060
4:11	4,47960	-1,43930	6,30600
4:17	3,19970	-1,43930	6,05380
4:23	2,17580	-1,43930	5,17090
4:29	3,19970	-1,43930	5,42320
4:35	-2,68780	-1,91900	-5,29700
4:41	2,55980	-1,43930	-5,17090

Time (hh:mm)	DEP-1 Calculated Field, (V/m)	DEP-2 Calculated Field, (V/m)	DEP-3 Calculated Field, (V/m)
4:47	1,91980	-1,91900	-4,41420
4:53	4,22370	-1,91900	-7,31500
4:59	9,47130	-1,31930	-12,61200
5:05	10,11120	-1,43930	-13,36870
5:11	8,57530	-1,43930	-13,36870
5:17	10,11120	-1,31930	15,13440
5:23	15,35880	-1,31930	-19,29640
5:29	18,43060	-1,19940	24,59340
5:35	18,43060	-1,19940	-24,59340
5:41	16,38270	-1,07950	-24,59340
5:47	9,21530	-1,19940	-19,29640
5:53	8,57530	-1,19940	18,16130
5:59	10,11120	-1,07950	-23,20610
6:05	9,47130	-0,83958	-23,20610
6:11	8,57530	-0,47976	21,81880
6:17	7,80740	0,00000	-18,16130
6:23	7,03940	0,11994	-20,55760
6:29	5,11960	0,11994	18,16130
6:35	3,58370	-0,11994	-16,14340
6:41	2,17580	-0,47976	-13,36870
6:47	1,27990	-0,47976	10,59410
6:53	1,02390	-0,35982	-8,19780
6:59	0,89593	-0,47976	7,06270
7:05	-0,76794	-0,35982	-6,30600
7:11	0,63995	-0,35982	4,41420
7:17	0,63995	-0,35982	-5,04480
7:23	0,38397	-0,35982	-3,40520
7:29	-0,38397	-0,47976	-2,52240
7:35	-0,38397	-0,59970	-2,01790
7:41	-0,25598	-0,59970	-1,76570
7:47	-0,38397	-0,59970	1,63960
7:53	-0,25598	-0,71964	-1,26120
7:59	-0,25598	-0,71964	-1,00900
8:05	0,25598	-0,59970	-0,75672
8:11	0,25598	-0,59970	-0,75672
8:17	0,38397	-0,47976	0,50448
8:23	0,38397	-0,47976	-0,37836
8:29	0,38397	-0,47976	0,37836
8:35	0,51196	-0,47976	-0,25224
8:41	0,51196	-0,47976	-0,12612
8:47	0,51196	-0,47976	-0,12612
8:53	0,51196	-0,47976	0,00000
8:59	0,51196	-0,35982	0,00000
9:05	-0,51196	0,47976	0,00000
9:11	0,51196	0,47976	0,00000
9:17	0,51196	-0,35982	0,00000
9:23	-0,38397	-0,47976	0,00000

Time (hh:mm)	DEP-1 Calculated Field, (V/m)	DEP-2 Calculated Field, (V/m)	DEP-3 Calculated Field, (V/m)
9:29	0,38397	-0,35982	0,00000
9:35	-0,38397	-0,35982	0,00000
9:41	-0,38397	-0,35982	0,00000
9:47	-0,51196	0,35982	0,00000
9:53	-0,63995	0,35982	0,00000
9:59	-0,76794	0,35982	0,00000
10:05	-0,89593	-0,35982	0,00000
10:11	-0,89593	0,47976	0,00000
10:17	-0,89593	0,47976	0,00000
10:23	-0,89593	0,47976	0,00000
10:29	-0,89593	0,47976	0,12612
10:35	-1,02390	0,35982	-0,12612
10:41	-1,02390	-0,35982	-0,12612
10:47	-1,02390	0,35982	-0,12612
10:53	-1,02390	0,59970	0,12612
10:59	-1,02390	-0,23988	-0,25224
11:05	-1,02390	-0,47976	-0,25224
11:11	-1,02390	0,47976	-0,25224
11:17	5,50360	1,43930	0,50448
11:23	5,37560	0,71964	0,50448
11:29	5,37560	0,47976	-0,50448
11:35	5,24760	0,71964	0,37836
11:41	5,24760	0,59970	-0,37836
11:47	5,11960	0,59970	0,37836
11:53	5,11960	0,47976	-0,37836
11:59	5,11960	0,47976	-0,37836
12:05	4,99160	0,47976	0,37836
12:11	4,99160	0,35982	0,37836
12:17	4,86360	0,35982	-0,37836
12:23	-1,40790	0,35982	-0,37836
12:29	-1,27990	0,35982	0,37836
12:35	-1,27990	-0,47976	0,37836
12:41	-1,27990	-0,47976	-0,37836
12:47	-1,40790	-0,47976	0,37836
12:53	-1,40790	-0,47976	0,37836
12:59	-1,40790	-0,47976	-0,37836
13:05	-1,40790	-0,47976	-0,37836
13:11	-1,40790	-0,47976	-0,37836
13:17	-1,40790	-0,47976	0,37836
13:23	-1,40790	-0,35982	0,37836
13:29	-1,40790	-0,35982	0,37836
13:35	-1,53590	-0,35982	0,37836
13:41	-1,40790	0,35982	0,37836
13:47	-1,40790	-0,35982	0,37836
13:53	-1,40790	0,35982	-0,37836
13:59	-1,40790	-0,35982	-0,37836
14:05	-1,40790	-0,35982	0,37836
14:11	-1,40790	-0,35982	-0,37836
14:17	-1,40790	-0,35982	-0,37836
14:23	-1,40790	0,35982	-0,37836

Time (hh:mm)	DEP-1 Calculated Field, (V/m)	DEP-2 Calculated Field, (V/m)	DEP-3 Calculated Field, (V/m)
14:29	-1,40790	-0,35982	0,37836
14:35	-1,40790	0,35982	-0,37836
14:41	-1,40790	-0,35982	0,37836
14:47	-1,27990	0,35982	0,37836
14:53	-1,40790	-0,35982	-0,37836
14:59	-1,27990	-0,35982	-0,37836
15:05	-1,27990	-0,35982	-0,37836
15:11	-1,27990	0,35982	0,37836
15:17	-1,40790	-0,35982	-0,37836
15:23	-1,27990	-0,35982	-0,37836
15:29	-1,27990	-0,35982	-0,37836
15:35	0,63995	-0,35982	-0,37836
15:41	1,15190	-0,47976	-0,37836
15:47	-1,02390	-0,47976	-0,37836
15:53	1,02390	-0,47976	-0,50448
15:59	1,02390	-0,47976	-0,50448
16:05	1,02390	0,47976	0,37836
16:11	1,02390	-0,47976	-0,50448
16:17	1,15190	-0,47976	0,37836
16:23	1,79190	-0,47976	-0,37836
16:29	-1,79190	-0,47976	0,37836
16:35	-1,27990	-0,47976	0,50448
16:41	-0,76794	-0,47976	-1,38730
16:47	0,63995	-0,47976	1,38730
16:53	0,89593	-0,47976	1,38730
16:59	-1,02390	-0,47976	-1,26120
17:05	1,02390	-0,47976	0,25224
17:11	-1,02390	-0,47976	0,25224
17:17	-0,89593	-0,59970	0,25224
17:23	0,89593	-0,47976	-0,25224
17:29	-0,76794	-0,59970	0,25224
17:35	-0,76794	0,71964	-0,63060
17:41	0,63995	-0,71964	0,88284
17:47	0,63995	0,83958	-1,13510
17:53	0,76794	0,83958	-1,26120
17:59	-0,63995	-0,71964	-1,38730
18:05	0,76794	-0,71964	-1,26120
18:11	0,63995	0,71964	-1,26120
18:17	-0,76794	0,71964	-1,26120
18:23	-0,89593	0,83958	-1,13510
18:29	-0,89593	0,83958	-1,26120
18:35	-0,89593	0,83958	-1,13510
18:41	1,02390	0,83958	1,00900
18:47	-1,02390	0,83958	-1,13510
18:53	-1,02390	0,83958	-1,13510
18:59	0,89593	-0,83958	-1,13510
19:05	-0,89593	0,83958	-1,13510
19:11	0,76794	-0,83958	-1,13510
19:17	-0,76794	-0,83958	-1,13510
19:23	-0,89593	-0,83958	-1,00900

Time (hh:mm)	DEP-1 Calculated Field, (V/m)	DEP-2 Calculated Field, (V/m)	DEP-3 Calculated Field, (V/m)
19:29	-0,76794	-0,83958	-1,00900
19:35	0,63995	-0,83958	-1,00900
19:41	0,76794	-0,83958	-1,00900
19:47	-0,76794	-0,83958	-0,88284
19:53	-0,76794	-0,83958	-0,88284
19:59	0,63995	-0,95952	-0,88284
20:05	0,63995	-0,95952	-0,88284
20:11	0,76794	-0,95952	-0,75672
20:17	-0,76794	-0,95952	-0,63060
20:23	0,63995	-0,95952	-0,75672
20:29	-0,63995	-0,95952	-0,75672
20:35	0,63995	-0,95952	-0,75672
20:41	-0,51196	-0,95952	-0,63060
20:47	-0,76794	-0,95952	-0,63060
20:53	-0,63995	-0,95952	-0,50448
20:59	-0,63995	-0,95952	-0,50448
21:05	-0,63995	-0,95952	-0,50448
21:11	-0,63995	-1,07950	-0,50448
21:17	-0,63995	-1,07950	-0,37836
21:23	0,76794	-1,07950	-0,37836
21:29	-0,63995	-1,07950	0,37836
21:35	0,63995	-1,07950	-0,37836
21:41	0,63995	-1,07950	-0,37836

Time (hh:mm)	DEP-1 Calculated Field, (V/m)	DEP-2 Calculated Field, (V/m)	DEP-3 Calculated Field, (V/m)
21:47	0,51196	-1,07950	-0,37836
21:53	-0,63995	-1,07950	-0,50448
21:59	0,63995	-1,07950	0,50448
22:05	-0,63995	-1,07950	0,50448
22:11	0,63995	-1,07950	0,50448
22:17	-0,63995	-1,07950	-0,50448
22:23	0,63995	-1,07950	-0,50448
22:29	-0,76794	-0,95952	-0,50448
22:35	0,63995	-0,95952	-0,37836
22:41	-0,63995	-0,95952	0,37836
22:47	0,63995	-0,95952	-0,37836
22:53	-0,51196	-0,95952	0,37836
22:59	-0,63995	-0,95952	0,37836
23:05	0,51196	-0,95952	-0,37836
23:11	-0,63995	-0,83958	-0,37836
23:17	-0,51196	-0,95952	-0,37836
23:23	0,51196	-0,83958	0,25224
23:29	-0,63995	-0,83958	0,25224
23:35	0,63995	-0,83958	-0,37836
23:41	0,63995	-0,83958	-0,37836
23:47	-0,76794	-0,95952	-0,25224
23:53	-0,63995	-0,83958	-0,25224
23:59	0,63995	-0,83958	-0,37836

Annex 26. Information from DEP-sensors for 31/08/00

Time (hh:mm)	DEP-1 Calculated Field, (V/m)	DEP-2 Calculated Field, (V/m)	DEP-3 Calculated Field, (V/m)
0:05	-0,63995	-0,71964	-0,37836
0:11	-0,76794	-0,71964	-0,37836
0:17	-0,51196	-0,83958	-0,37836
0:23	-0,76794	-0,83958	-0,50448
0:29	-0,63995	-0,83958	-0,37836
0:35	0,63995	-0,95952	-0,50448
0:41	-0,63995	-0,95952	0,37836
0:47	0,51196	-0,83958	-0,50448
0:53	-0,63995	-0,83958	-0,50448
0:59	0,63995	-0,95952	-0,50448
1:05	0,76794	-0,95952	-0,50448
1:11	-0,76794	0,95952	-0,37836
1:17	-0,76794	-0,95952	-0,50448
1:23	-0,63995	0,95952	-0,50448
1:29	-0,63995	0,95952	-0,63060
1:35	-0,76794	-0,95952	-0,50448
1:41	-0,89593	0,95952	-0,50448
1:47	-0,76794	0,95952	0,50448
1:53	0,89593	0,95952	-0,63060
1:59	-0,76794	0,95952	-0,63060
2:05	0,76794	-0,95952	-0,75672
2:11	-0,76794	-1,55920	-0,75672
2:17	-1,02390	-1,19940	-0,88284
2:23	29,94970	-1,19940	2,27020
2:29	45,82040	-1,79910	3,90970
2:35	54,90770	-1,91900	5,17090
2:41	51,70800	-1,55920	4,28810
2:47	33,78940	-2,15890	1,63960
2:53	24,95810	-2,15890	1,13510
2:59	23,55020	-2,27890	0,63060
3:05	18,43060	-2,27890	-0,12612
3:11	13,56690	-2,15890	0,25224
3:17	9,21530	-2,03900	-1,38730
3:23	5,11960	-1,43930	0,12612
3:29	3,45570	-1,31930	0,00000
3:35	2,30380	-1,07950	0,00000
3:41	1,53590	-1,07950	0,12612
3:47	1,27990	-1,19940	0,25224
3:53	1,40790	-1,07950	0,00000
3:59	3,32770	-1,31930	0,50448
4:05	6,39950	-1,79910	2,14400
4:11	6,52750	-1,91900	4,41420
4:17	7,03940	-1,91900	-5,92760
4:23	5,24760	-1,79910	5,80150
4:29	4,99160	-1,43930	5,92760
4:35	6,91150	-2,03900	7,44110
4:41	7,80740	-1,91900	8,57620

Time (hh:mm)	DEP-1 Calculated Field, (V/m)	DEP-2 Calculated Field, (V/m)	DEP-3 Calculated Field, (V/m)
4:47	8,06340	-1,91900	9,08060
4:53	7,29540	-1,91900	9,96350
4:59	6,91150	-1,91900	9,96350
5:05	7,16740	-1,43930	10,59410
5:11	6,65550	-1,91900	11,22470
5:17	6,65550	-1,43930	11,22470
5:23	6,91150	-1,31930	11,85530
5:29	7,29540	-1,31930	12,61200
5:35	10,11120	-1,31930	16,14340
5:41	14,46290	-1,19940	18,16130
5:47	12,79900	-1,19940	-21,81880
5:53	11,39110	-1,07950	18,16130
5:59	9,21530	-1,07950	-17,15230
6:05	7,03940	-1,07950	-16,14340
6:11	5,11960	-1,07950	-15,13440
6:17	3,45570	-1,07950	12,61200
6:23	1,66390	-1,07950	-9,33290
6:29	0,76794	-1,19940	-6,68440
6:35	0,38397	-1,19940	-5,04480
6:41	0,63995	-1,19940	3,40520
6:47	0,76794	-1,19940	-2,01790
6:53	0,63995	-1,07950	1,63960
6:59	-0,63995	-1,07950	1,26120
7:05	0,63995	-1,07950	-1,00900
7:11	-0,51196	-0,95952	-0,88284
7:17	0,51196	-0,83958	0,63060
7:23	0,38397	-0,71964	0,50448
7:29	-0,25598	-0,59970	0,25224
7:35	-0,25598	-0,47976	0,12612
7:41	-0,25598	-0,47976	0,00000
7:47	0,25598	-0,35982	0,00000
7:53	0,25598	-0,35982	0,00000
7:59	-0,38397	-0,23988	0,00000
8:05	-0,38397	-0,23988	-0,12612
8:11	0,51196	-0,23988	0,12612
8:17	-0,51196	-0,23988	-0,12612
8:23	0,63995	-0,23988	-0,12612
8:29	0,63995	-0,23988	-0,12612
8:35	0,63995	-0,23988	-0,25224
8:41	0,63995	-0,23988	-0,25224
8:47	0,76794	-0,23988	0,25224
8:53	0,76794	0,23988	0,25224
8:59	0,76794	0,23988	0,25224
9:05	0,76794	-0,23988	-0,25224
9:11	0,63995	-0,23988	0,25224
9:17	0,63995	0,23988	-0,25224
9:23	0,51196	0,35982	-0,25224

Time (hh:mm)	DEP-1 Calculated Field, (V/m)	DEP-2 Calculated Field, (V/m)	DEP-3 Calculated Field, (V/m)
9:29	-0,51196	-0,23988	0,25224
9:35	0,38397	0,35982	0,25224
9:41	0,38397	-0,35982	-0,25224
9:47	0,38397	-0,35982	0,25224
9:53	-0,38397	-0,35982	0,25224
9:59	-0,51196	0,35982	0,25224
10:05	-0,63995	0,35982	0,25224
10:11	-0,51196	0,47976	0,25224
10:17	-0,76794	0,35982	-0,25224
10:23	-0,76794	0,59970	0,25224
10:29	-0,76794	0,47976	0,25224
10:35	-0,89593	0,35982	0,25224
10:41	-0,76794	0,35982	0,25224
10:47	0,89593	0,35982	-0,25224
10:53	-0,89593	-0,59970	0,25224
10:59	-0,89593	-0,35982	-0,25224
11:05	-0,89593	-0,47976	-0,25224
11:11	-0,89593	0,35982	-0,25224
11:17	4,60760	0,71964	0,25224
11:23	5,75950	1,07950	0,25224
11:29	5,63160	0,71964	-0,12612
11:35	5,37560	0,71964	-0,12612
11:41	5,24760	0,59970	0,12612
11:47	5,24760	0,59970	-0,12612
11:53	5,11960	0,47976	0,12612
11:59	5,11960	0,47976	0,12612
12:05	5,11960	0,47976	0,12612
12:11	5,24760	0,35982	-0,12612
12:17	-1,53590	-0,35982	0,12612
12:23	-1,40790	-0,59970	0,25224
12:29	-1,27990	-0,59970	-0,25224
12:35	-1,27990	-0,59970	0,25224
12:41	-1,27990	-0,59970	0,25224
12:47	-1,40790	-0,59970	-0,25224
12:53	-1,27990	0,59970	0,25224
12:59	-1,40790	-0,59970	-0,25224
13:05	-1,40790	-0,59970	0,25224
13:11	-1,53590	-0,47976	0,25224
13:17	-1,40790	0,47976	-0,25224
13:23	-1,40790	-0,47976	0,25224
13:29	-1,40790	-0,47976	0,25224
13:35	-1,40790	-0,47976	-0,25224
13:41	-1,40790	-0,47976	-0,25224
13:47	-1,53590	-0,47976	-0,25224
13:53	-1,40790	-0,47976	0,25224
13:59	-1,40790	-0,47976	0,25224
14:05	-1,40790	-0,47976	-0,25224
14:11	-1,40790	-0,47976	0,25224
14:17	-1,40790	-0,47976	0,25224
14:23	-1,40790	-0,47976	-0,25224

Time (hh:mm)	DEP-1 Calculated Field, (V/m)	DEP-2 Calculated Field, (V/m)	DEP-3 Calculated Field, (V/m)
14:29	-1,40790	-0,47976	-0,25224
14:35	-1,40790	-0,47976	-0,25224
14:41	-1,27990	0,47976	0,25224
14:47	-1,40790	-0,47976	-0,25224
14:53	-1,40790	-0,47976	0,25224
14:59	-1,40790	-0,47976	0,25224
15:05	-1,40790	-0,47976	0,25224
15:11	-1,27990	-0,47976	-0,25224
15:17	-1,27990	-0,47976	0,25224
15:23	-1,27990	-0,47976	0,25224
15:29	-1,27990	-0,47976	-0,25224
15:35	-1,02390	-0,47976	-0,25224
15:41	1,15190	-0,47976	0,25224
15:47	1,02390	-0,47976	0,37836
15:53	1,02390	-0,59970	0,37836
15:59	-1,15190	-0,47976	0,37836
16:05	0,89593	-0,47976	0,37836
16:11	1,15190	-0,47976	0,37836
16:17	-1,27990	-0,47976	0,37836
16:23	-1,91980	-0,47976	-0,37836
16:29	-1,91980	0,47976	0,37836
16:35	-1,27990	-0,59970	0,37836
16:41	-0,76794	-0,59970	-1,26120
16:47	1,02390	-0,59970	-1,26120
16:53	-1,27990	-0,59970	1,26120
16:59	-1,27990	0,71964	-1,26120
17:05	1,15190	-0,71964	-1,26120
17:11	-0,89593	-0,59970	-0,25224
17:17	0,76794	-0,59970	-0,25224
17:23	0,76794	-0,59970	-0,25224
17:29	-0,89593	-0,47976	-0,25224
17:35	0,76794	-0,47976	-0,63060
17:41	-0,76794	-0,71964	0,88284
17:47	0,89593	-0,83958	-1,13510
17:53	0,89593	-0,83958	-1,38730
17:59	-0,76794	-0,83958	-1,38730
18:05	-0,89593	-0,71964	-1,38730
18:11	-0,89593	-0,71964	-1,26120
18:17	-0,89593	-0,71964	-1,26120
18:23	-0,89593	-0,83958	-1,26120
18:29	-1,02390	-0,59970	-1,26120
18:35	-0,89593	-0,83958	-1,26120
18:41	-1,15190	-0,83958	-1,13510
18:47	-1,02390	-0,83958	-1,26120
18:53	1,02390	-0,71964	-1,26120
18:59	-1,02390	0,83958	-1,26120
19:05	0,89593	-0,83958	-1,00900
19:11	-1,15190	0,83958	-1,13510
19:17	-0,76794	-0,83958	-1,13510
19:23	-1,02390	-0,83958	-1,13510

Time (hh:mm)	DEP-1 Calculated Field, (V/m)	DEP-2 Calculated Field, (V/m)	DEP-3 Calculated Field, (V/m)
19:29	-1,02390	-0,83958	-1,13510
19:35	0,63995	-0,83958	-1,00900
19:41	-0,63995	-0,83958	-0,88284
19:47	-0,76794	-0,95952	-1,00900
19:53	-0,76794	-0,83958	-1,00900
19:59	0,63995	-0,83958	-0,88284
20:05	-0,76794	-0,95952	-0,88284
20:11	0,76794	-0,95952	-0,75672
20:17	-0,76794	-0,83958	-0,88284
20:23	0,63995	-0,95952	-0,75672
20:29	-0,63995	-0,95952	-0,75672
20:35	0,76794	-0,95952	-0,63060
20:41	0,63995	-0,95952	-0,63060
20:47	-0,76794	-0,95952	0,63060
20:53	-0,51196	-0,95952	-0,63060
20:59	0,63995	-0,95952	-0,63060
21:05	0,76794	-0,95952	-0,63060
21:11	-0,51196	-0,95952	-0,50448
21:17	0,63995	-0,95952	-0,50448
21:23	0,63995	-0,95952	-0,37836
21:29	-0,76794	-0,95952	-0,37836
21:35	-0,63995	-0,95952	-0,37836
21:41	-0,63995	-0,95952	-0,37836

Time (hh:mm)	DEP-1 Calculated Field, (V/m)	DEP-2 Calculated Field, (V/m)	DEP-3 Calculated Field, (V/m)
21:47	0,51196	-0,95952	-0,37836
21:53	-0,63995	-0,95952	0,37836
21:59	0,51196	-0,95952	0,37836
22:05	-0,63995	-0,95952	-0,37836
22:11	-0,51196	-1,07950	-0,50448
22:17	0,63995	-0,95952	0,37836
22:23	-0,51196	-0,95952	-0,37836
22:29	0,63995	-0,95952	0,37836
22:35	-0,63995	-0,95952	-0,37836
22:41	0,63995	-0,95952	-0,37836
22:47	-0,51196	-0,95952	-0,37836
22:53	-0,63995	-0,83958	0,37836
22:59	-0,63995	-0,83958	-0,37836
23:05	-0,63995	-0,83958	-0,50448
23:11	-0,51196	-0,83958	-0,37836
23:17	0,63995	-0,83958	0,37836
23:23	0,51196	-0,83958	0,37836
23:29	0,63995	-0,83958	0,37836
23:35	-0,63995	-0,71964	-0,37836
23:41	-0,51196	-0,71964	0,37836
23:47	0,63995	-0,83958	0,37836
23:53	-0,76794	-0,83958	-0,37836
23:59	-0,63995	-0,83958	-0,37836

Annex 27. Information from DEP-sensors for 01/09/00

Time (hh:mm)	DEP-1 Calculated Field, (V/m)	DEP-2 Calculated Field, (V/m)	DEP-3 Calculated Field, (V/m)
0:05	0,51196	-0,83958	-0,37836
0:11	0,63995	-0,71964	0,25224
0:17	-0,76794	-0,71964	-0,37836
0:23	0,63995	-0,71964	-0,37836
0:29	0,63995	-0,83958	-0,37836
0:35	-0,63995	-0,83958	-0,37836
0:41	0,63995	-0,95952	-0,37836
0:47	-0,89593	-0,95952	0,37836
0:53	-0,76794	-0,83958	-0,63060
0:59	-0,63995	-1,07950	-0,88284
1:05	0,76794	-0,95952	-0,88284
1:11	11,39110	-0,83958	-0,12612
1:17	2,94380	-1,07950	-0,50448
1:23	7,80740	-1,07950	-0,25224
1:29	38,14100	1,43930	2,27020
1:35	58,36340	1,31930	4,28810
1:41	62,07510	0,83958	6,05380
1:47	62,07510	0,47976	6,55820
1:53	43,13260	0,95952	5,42320
1:59	33,78940	-1,19940	4,66640
2:05	24,95810	-1,31930	2,77460
2:11	11,39110	-2,27890	0,88284
2:17	5,63160	-2,15890	-0,37836
2:23	-3,32770	-1,43930	-0,63060
2:29	-2,55980	-1,91900	0,63060
2:35	1,66390	-1,67920	-0,75672
2:41	1,40790	-1,31930	-0,75672
2:47	1,27990	-1,31930	-0,75672
2:53	1,02390	-1,31930	0,63060
2:59	-0,89593	-1,19940	-0,25224
3:05	1,02390	-1,31930	0,12612
3:11	-0,89593	-1,31930	-0,12612
3:17	1,02390	-1,19940	0,37836
3:23	1,15190	-1,19940	0,12612
3:29	0,89593	-1,07950	-0,12612
3:35	-0,38397	-0,83958	0,25224
3:41	-2,43180	-1,55920	0,75672
3:47	-2,81580	-1,91900	0,88284
3:53	-2,30380	-1,43930	0,63060
3:59	-0,51196	-1,19940	0,12612
4:05	1,27990	-1,31930	0,37836
4:11	2,17580	-1,91900	2,14400
4:17	3,07180	-1,91900	3,15300
4:23	4,60760	-2,03900	-4,28810
4:29	4,86360	-1,43930	5,17090
4:35	9,21530	-1,43930	-8,19780
4:41	15,35880	-1,91900	13,36870

Time (hh:mm)	DEP-1 Calculated Field, (V/m)	DEP-2 Calculated Field, (V/m)	DEP-3 Calculated Field, (V/m)
4:47	22,14230	-1,43930	18,16130
4:53	24,95810	-1,31930	21,81880
4:59	24,95810	-1,19940	-23,20610
5:05	22,14230	-1,19940	23,20610
5:11	22,14230	-1,19940	24,59340
5:17	19,58250	-1,19940	-23,20610
5:23	16,38270	-1,19940	-18,16130
5:29	12,03110	-1,19940	-17,15230
5:35	9,21530	-1,19940	15,13440
5:41	9,21530	-1,19940	16,14340
5:47	8,19140	-1,19940	16,14340
5:53	6,39950	-1,19940	-14,25160
5:59	4,86360	-1,19940	-12,61200
6:05	3,58370	-1,19940	9,08060
6:11	2,30380	-1,19940	8,82840
6:17	1,27990	-1,19940	-7,18880
6:23	1,02390	-1,07950	6,05380
6:29	0,89593	-1,07950	-6,17990
6:35	-0,63995	-1,07950	5,04480
6:41	0,38397	-1,07950	3,53140
6:47	0,38397	-1,07950	-2,39630
6:53	0,38397	-1,07950	1,63960
6:59	-0,51196	-0,95952	-1,13510
7:05	0,63995	-0,95952	-0,88284
7:11	-0,63995	-0,83958	-0,88284
7:17	-0,63995	-0,95952	0,88284
7:23	-0,63995	-0,83958	1,63960
7:29	-0,63995	-0,71964	-2,52240
7:35	-0,51196	-0,71964	-2,90080
7:41	-0,63995	-0,71964	-3,27910
7:47	-0,63995	-0,59970	3,27910
7:53	-0,38397	0,11994	-3,02690
7:59	0,38397	0,11994	-2,52240
8:05	-0,38397	0,11994	-1,89180
8:11	-0,38397	0,11994	-1,89180
8:17	-0,51196	0,11994	1,89180
8:23	-0,63995	0,23988	1,63960
8:29	-0,63995	0,23988	2,52240
8:35	-0,63995	0,23988	-2,52240
8:41	-0,76794	0,23988	2,64850
8:47	0,63995	0,11994	1,76570
8:53	0,51196	0,11994	-0,88284
8:59	-0,51196	0,23988	0,75672
9:05	-0,51196	0,23988	0,63060
9:11	-0,51196	-0,23988	-0,50448
9:17	-0,51196	0,23988	-0,63060
9:23	0,51196	0,23988	-1,76570

Time (hh:mm)	DEP-1 Calculated Field, (V/m)	DEP-2 Calculated Field, (V/m)	DEP-3 Calculated Field, (V/m)
9:29	-0,51196	0,23988	-1,51340
9:35	-0,51196	0,23988	-0,88284
9:41	-0,51196	0,23988	1,13510
9:47	-0,63995	0,23988	0,88284
9:53	-0,76794	0,23988	0,88284
9:59	-1,02390	0,47976	1,26120
10:05	-1,02390	0,71964	1,00900
10:11	-1,15190	1,19940	-1,63960
10:17	-1,15190	1,07950	-1,51340
10:23	-1,15190	1,67920	1,26120
10:29	-1,27990	2,15890	-1,38730
10:35	-1,27990	3,23840	-1,76570
10:41	-1,15190	3,35830	1,63960
10:47	-1,27990	3,83810	2,01790
10:53	-1,27990	3,59820	2,27020
10:59	-1,27990	3,83810	1,51340
11:05	-1,27990	3,83810	1,63960
11:11	5,24760	1,07950	-0,50448
11:17	5,50360	0,59970	0,37836
11:23	5,50360	0,47976	0,50448
11:29	5,50360	0,59970	0,37836
11:35	5,50360	0,47976	0,50448
11:41	5,50360	0,47976	-0,37836
11:47	5,50360	0,47976	0,37836
11:53	5,37560	-0,59970	-0,37836
11:59	5,37560	0,35982	0,37836
12:05	5,24760	0,35982	-0,37836
12:11	-1,66390	-0,11994	0,37836
12:17	-1,53590	-0,35982	-0,37836
12:23	-1,53590	-0,47976	0,37836
12:29	-1,53590	-0,47976	0,37836
12:35	-1,53590	-0,47976	0,37836
12:41	-1,53590	-0,47976	-0,37836
12:47	-1,53590	-0,47976	-0,37836
12:53	-1,53590	-0,47976	0,37836
12:59	-1,53590	-0,47976	0,37836
13:05	-1,53590	-0,47976	0,37836
13:11	-1,53590	-0,47976	0,37836
13:17	-1,53590	-0,47976	-0,37836
13:23	-1,53590	-0,35982	0,37836
13:29	-1,53590	-0,35982	-0,37836
13:35	-1,53590	-0,35982	0,37836
13:41	-1,53590	-0,35982	0,37836
13:47	-1,40790	0,35982	0,37836
13:53	-1,40790	-0,35982	-0,37836
13:59	-1,53590	-0,35982	0,37836
14:05	-1,66390	-0,35982	-0,37836
14:11	-1,53590	-0,35982	0,37836
14:17	-1,53590	-0,35982	-0,37836
14:23	-1,66390	-0,35982	-0,25224

Time (hh:mm)	DEP-1 Calculated Field, (V/m)	DEP-2 Calculated Field, (V/m)	DEP-3 Calculated Field, (V/m)
14:29	-1,53590	-0,47976	-0,37836
14:35	-1,66390	0,35982	0,37836
14:41	-1,66390	-0,47976	-0,37836
14:47	-1,40790	-0,47976	0,25224
14:53	-1,53590	-0,47976	0,37836
14:59	-1,53590	-0,47976	-0,37836
15:05	-1,27990	-0,47976	0,37836
15:11	-1,40790	-0,47976	0,25224
15:17	-1,53590	0,47976	0,25224
15:23	-1,40790	-0,47976	0,25224
15:29	1,40790	-0,47976	-0,37836
15:35	1,15190	-0,47976	-0,37836
15:41	1,15190	0,47976	0,37836
15:47	1,15190	-0,47976	0,37836
15:53	1,15190	-0,47976	-0,50448
15:59	1,53590	-0,47976	0,50448
16:05	1,79190	-0,47976	0,37836
16:11	1,15190	-0,47976	0,37836
16:17	1,40790	-0,47976	0,37836
16:23	2,43180	-0,47976	0,37836
16:29	-2,04780	-0,47976	-0,37836
16:35	-1,40790	-0,47976	-0,37836
16:41	0,76794	-0,47976	-1,26120
16:47	0,89593	-0,47976	-1,26120
16:53	1,02390	-0,59970	1,38730
16:59	1,02390	-0,59970	-1,26120
17:05	1,15190	-0,59970	-1,26120
17:11	0,89593	-0,47976	-0,37836
17:17	0,76794	-0,47976	-0,25224
17:23	0,76794	-0,59970	-0,25224
17:29	-0,89593	-0,59970	0,25224
17:35	-0,89593	-0,47976	-0,63060
17:41	0,89593	-0,47976	-0,88284
17:47	0,76794	-0,59970	-1,13510
17:53	-0,89593	-0,59970	-1,26120
17:59	-0,89593	-0,59970	-1,26120
18:05	0,76794	-0,59970	-1,26120
18:11	-0,89593	-0,47976	-1,26120
18:17	0,89593	0,59970	-1,26120
18:23	-0,89593	-0,47976	-1,26120
18:29	0,89593	-0,59970	-1,26120
18:35	-1,02390	-0,71964	-1,13510
18:41	1,15190	0,59970	-1,13510
18:47	-1,15190	-0,59970	-1,13510
18:53	-0,89593	-0,59970	-1,13510
18:59	1,02390	-0,59970	-1,13510
19:05	1,02390	-0,59970	-1,13510
19:11	0,89593	0,83958	-1,13510
19:17	-1,15190	-0,83958	-1,00900
19:23	-1,02390	0,83958	-1,13510

Time (hh:mm)	DEP-1 Calculated Field, (V/m)	DEP-2 Calculated Field, (V/m)	DEP-3 Calculated Field, (V/m)
19:29	-0,89593	-0,83958	-1,00900
19:35	-0,89593	-0,83958	-1,00900
19:41	0,76794	-0,83958	-0,88284
19:47	0,76794	-0,83958	-0,88284
19:53	0,76794	-0,83958	-0,88284
19:59	-0,63995	-0,95952	-0,88284
20:05	0,76794	-0,95952	-0,88284
20:11	0,76794	-0,95952	-0,75672
20:17	0,76794	-0,95952	-0,63060
20:23	-0,76794	-0,95952	-0,75672
20:29	-0,76794	-0,95952	-0,75672
20:35	0,76794	-0,95952	-0,75672
20:41	-0,63995	-0,95952	-0,63060
20:47	-0,63995	-0,95952	-0,75672
20:53	-0,63995	-0,95952	-0,63060
20:59	-0,63995	-0,95952	-0,63060
21:05	-0,76794	-0,95952	-0,50448
21:11	0,63995	-0,95952	-0,50448
21:17	0,51196	-0,95952	-0,50448
21:23	-0,63995	-0,95952	-0,37836
21:29	0,63995	-0,95952	-0,37836
21:35	-0,51196	-1,07950	-0,37836
21:41	0,63995	-1,07950	-0,37836

Time (hh:mm)	DEP-1 Calculated Field, (V/m)	DEP-2 Calculated Field, (V/m)	DEP-3 Calculated Field, (V/m)
21:47	-0,63995	-0,95952	-0,37836
21:53	-0,63995	-1,07950	-0,37836
21:59	-0,63995	-1,07950	0,50448
22:05	-0,76794	-1,07950	-0,50448
22:11	0,51196	-0,95952	-0,50448
22:17	-0,51196	-0,95952	0,50448
22:23	-0,51196	-0,95952	0,50448
22:29	0,63995	-0,95952	-0,50448
22:35	-0,63995	-0,95952	-0,50448
22:41	0,63995	-0,95952	-0,50448
22:47	0,63995	-0,83958	0,50448
22:53	-0,51196	-0,83958	-0,50448
22:59	-0,63995	-0,83958	-0,50448
23:05	-0,51196	-0,83958	-0,50448
23:11	-0,51196	-0,83958	-0,37836
23:17	-0,63995	-0,83958	0,37836
23:23	-0,51196	-0,71964	0,37836
23:29	-0,51196	-0,71964	-0,37836
23:35	-0,51196	-0,71964	0,37836
23:41	0,51196	-0,71964	-0,37836
23:47	-0,51196	-0,71964	0,37836
23:53	-0,51196	-0,71964	0,37836
23:59	-0,63995	-0,71964	-0,37836

Annex 28. Information from DEP-sensors for 04/09/00

Time (hh:mm)	DEP-1 Calculated Field, (V/m)	DEP-2 Calculated Field, (V/m)	DEP-3 Calculated Field, (V/m)
0:05	-0,76794	-0,83958	-0,37836
0:11	0,76794	-0,83958	-0,25224
0:17	-0,76794	-0,71964	-0,37836
0:23	-0,63995	-0,83958	-0,37836
0:29	-0,89593	-0,83958	-0,37836
0:35	-0,63995	-0,83958	-0,37836
0:41	-0,76794	-0,95952	-0,37836
0:47	0,63995	0,95952	-0,50448
0:53	0,89593	-0,95952	-0,50448
0:59	0,63995	-0,83958	-0,37836
1:05	-0,76794	-0,83958	-0,50448
1:11	0,76794	-0,83958	-0,50448
1:17	0,76794	0,83958	-0,50448
1:23	-0,76794	0,95952	-0,50448
1:29	-0,89593	0,95952	-0,50448
1:35	0,89593	0,95952	-0,75672
1:41	-0,89593	0,95952	-0,63060
1:47	0,76794	0,95952	-0,75672
1:53	0,89593	-0,95952	-0,75672
1:59	0,76794	-0,95952	-0,75672
2:05	-0,89593	0,95952	-0,75672
2:11	0,89593	-1,55920	-0,88284
2:17	-0,89593	-1,19940	-0,88284
2:23	-0,89593	-1,19940	-0,88284
2:29	-0,89593	-1,19940	-0,88284
2:35	-0,89593	-1,19940	-0,88284
2:41	0,76794	-1,19940	-0,75672
2:47	0,89593	-1,19940	-0,75672
2:53	-0,76794	-1,07950	-0,75672
2:59	0,63995	-1,07950	-0,50448
3:05	0,51196	-1,07950	-0,12612
3:11	0,51196	-1,07950	0,12612
3:17	-0,51196	-0,95952	-0,37836
3:23	-0,51196	-0,59970	0,12612
3:29	-1,02390	-0,59970	0,12612
3:35	-1,91980	-1,19940	0,37836
3:41	-3,45570	-1,43930	0,75672
3:47	-3,96770	-2,27890	1,00900
3:53	-4,22370	-2,39880	-1,00900
3:59	-4,22370	-2,39880	1,13510
4:05	-1,02390	-0,95952	0,25224
4:11	1,15190	1,07950	0,12612
4:17	-1,27990	-1,07950	-0,12612
4:23	-1,15190	0,95952	0,12612
4:29	-1,40790	-1,07950	-0,12612
4:35	2,43180	-1,79910	2,27020
4:41	6,78350	-2,03900	6,55820

Time (hh:mm)	DEP-1 Calculated Field, (V/m)	DEP-2 Calculated Field, (V/m)	DEP-3 Calculated Field, (V/m)
4:47	5,75950	-2,03900	6,93660
4:53	3,58370	-1,43930	5,17090
4:59	2,04780	-1,31930	-2,90080
5:05	1,15190	-1,19940	1,00900
5:11	1,15190	-1,07950	0,37836
5:17	-1,15190	-1,07950	0,25224
5:23	1,40790	-0,95952	0,25224
5:29	-1,53590	-0,95952	0,12612
5:35	1,15190	-0,83958	0,12612
5:41	1,15190	-0,83958	-0,12612
5:47	1,02390	-0,83958	0,25224
5:53	1,02390	-0,71964	-0,12612
5:59	1,02390	-0,59970	0,12612
6:05	0,89593	-0,47976	0,00000
6:11	0,89593	-0,35982	0,00000
6:17	0,76794	-0,35982	0,00000
6:23	0,63995	0,23988	0,00000
6:29	0,63995	-0,23988	0,00000
6:35	0,51196	-0,23988	0,12612
6:41	0,63995	-0,23988	-0,12612
6:47	0,63995	-0,23988	0,12612
6:53	0,63995	-0,23988	-0,12612
6:59	0,51196	-0,23988	-0,12612
7:05	0,51196	-0,23988	0,12612
7:11	-0,51196	-0,23988	-0,12612
7:17	0,51196	-0,23988	0,12612
7:23	-0,51196	-0,23988	-0,12612
7:29	-0,38397	-0,23988	0,12612
7:35	0,38397	-0,23988	0,12612
7:41	-0,38397	-0,23988	-0,12612
7:47	0,51196	-0,23988	-0,12612
7:53	-0,51196	-0,23988	-0,12612
7:59	0,51196	-0,23988	0,12612
8:05	0,63995	-0,23988	-0,12612
8:11	0,63995	-0,23988	-0,12612
8:17	-0,63995	-0,23988	0,12612
8:23	0,63995	-0,23988	-0,12612
8:29	-0,76794	-0,23988	-0,12612
8:35	0,76794	0,23988	0,12612
8:41	-0,89593	-0,23988	0,12612
8:47	0,89593	-0,23988	0,12612
8:53	0,76794	-0,23988	0,12612
8:59	0,89593	-0,23988	0,12612
9:05	0,76794	0,23988	-0,12612
9:11	0,76794	0,23988	-0,12612
9:17	0,63995	0,35982	0,12612
9:23	0,51196	-0,35982	0,12612

Time (hh:mm)	DEP-1 Calculated Field, (V/m)	DEP-2 Calculated Field, (V/m)	DEP-3 Calculated Field, (V/m)
9:29	-0,51196	-0,35982	-0,12612
9:35	0,51196	0,35982	-0,12612
9:41	0,38397	-0,35982	0,12612
9:47	0,51196	-0,35982	0,12612
9:53	-0,63995	0,35982	0,12612
9:59	-0,76794	0,47976	-0,12612
10:05	0,63995	0,35982	-0,12612
10:11	-0,89593	0,59970	0,12612
10:17	-0,89593	-0,35982	0,12612
10:23	0,89593	0,47976	-0,12612
10:29	-0,89593	0,47976	0,12612
10:35	-1,02390	0,35982	0,12612
10:41	-0,89593	0,35982	0,12612
10:47	-1,02390	-0,47976	0,12612
10:53	-0,89593	-0,47976	0,12612
10:59	-1,02390	-0,47976	-0,12612
11:05	-1,02390	0,47976	0,12612
11:11	-1,02390	0,35982	0,12612
11:17	-1,02390	-0,35982	0,12612
11:23	-1,15190	-0,47976	0,12612
11:29	-1,15190	-0,59970	-0,12612
11:35	-1,15190	0,59970	-0,12612
11:41	-1,15190	-0,59970	-0,12612
11:47	-1,15190	0,59970	-0,12612
11:53	-1,27990	-0,47976	0,12612
11:59	-1,27990	-0,47976	-0,12612
12:05	-1,27990	0,47976	-0,12612
12:11	-1,27990	-0,47976	0,12612
12:17	-1,40790	-0,35982	-0,12612
12:23	-1,40790	-0,35982	0,12612
12:29	-1,40790	-0,47976	0,12612
12:35	-1,53590	-0,35982	-0,12612
12:41	-1,40790	-0,23988	-0,12612
12:47	-1,40790	-0,23988	-0,12612
12:53	-1,40790	0,23988	-0,12612
12:59	-1,40790	-0,35982	-0,12612
13:05	-1,40790	0,23988	-0,12612
13:11	-1,40790	0,23988	0,12612
13:17	-1,66390	-0,23988	0,12612
13:23	-1,66390	0,23988	0,12612
13:29	-1,40790	-0,47976	-0,12612
13:35	-1,66390	-0,23988	0,12612
13:41	-1,66390	-0,23988	0,12612
13:47	-1,53590	-0,23988	0,12612
13:53	-1,66390	-0,23988	-0,12612
13:59	-1,79190	-0,23988	0,12612
14:05	-1,53590	0,47976	0,12612
14:11	-1,79190	-0,23988	0,12612
14:17	-1,79190	-0,35982	-0,12612
14:23	-1,79190	-0,35982	-0,12612

Time (hh:mm)	DEP-1 Calculated Field, (V/m)	DEP-2 Calculated Field, (V/m)	DEP-3 Calculated Field, (V/m)
14:29	-1,53590	-0,35982	0,12612
14:35	-1,53590	-0,35982	0,12612
14:41	-1,66390	-0,35982	-0,12612
14:47	-1,53590	-0,35982	-0,12612
14:53	-1,53590	-0,35982	0,12612
14:59	-1,53590	0,35982	-0,12612
15:05	-1,53590	-0,35982	0,12612
15:11	-1,53590	0,35982	-0,12612
15:17	-1,40790	-0,35982	-0,12612
15:23	-1,27990	0,35982	-0,12612
15:29	-1,27990	-0,35982	-0,12612
15:35	1,40790	0,59970	-0,12612
15:41	0,89593	-0,59970	0,25224
15:47	1,27990	-0,47976	-0,25224
15:53	1,53590	-0,59970	0,37836
15:59	0,76794	-0,59970	0,37836
16:05	1,15190	-0,47976	-0,37836
16:11	0,89593	-0,59970	0,37836
16:17	-1,40790	0,59970	-0,37836
16:23	-1,79190	-0,59970	-0,25224
16:29	-2,17580	-0,47976	0,25224
16:35	1,27990	-0,59970	-0,25224
16:41	-1,15190	-0,47976	0,25224
16:47	1,02390	0,47976	-1,00900
16:53	1,27990	0,59970	1,00900
16:59	-1,27990	-0,47976	1,00900
17:05	-1,02390	0,47976	-1,13510
17:11	-1,02390	-0,47976	1,13510
17:17	0,89593	-0,47976	0,25224
17:23	-1,02390	0,47976	-0,25224
17:29	0,76794	0,47976	-0,25224
17:35	-0,63995	-0,47976	0,25224
17:41	0,76794	-0,47976	-0,88284
17:47	0,76794	-0,47976	-1,13510
17:53	0,76794	-0,47976	1,26120
17:59	0,63995	0,35982	-1,26120
18:05	-0,89593	-0,35982	-1,26120
18:11	-1,02390	0,47976	-1,26120
18:17	-0,89593	0,35982	-1,26120
18:23	-1,02390	-0,35982	-1,13510
18:29	-1,02390	-0,35982	-1,13510
18:35	-1,02390	-0,47976	1,13510
18:41	1,02390	-0,47976	-1,13510
18:47	1,15190	-0,59970	-1,13510
18:53	-0,76794	-0,59970	-1,13510
18:59	-1,15190	-0,59970	-1,13510
19:05	1,15190	0,83958	-1,13510
19:11	1,02390	-0,83958	-1,13510
19:17	0,89593	-0,83958	-1,13510
19:23	-0,89593	-0,83958	-1,00900

Time (hh:mm)	DEP-1 Calculated Field, (V/m)	DEP-2 Calculated Field, (V/m)	DEP-3 Calculated Field, (V/m)
19:29	-1,02390	-0,83958	-1,00900
19:35	1,02390	0,83958	-1,00900
19:41	-1,02390	-0,83958	-1,00900
19:47	-1,02390	-0,83958	-0,75672
19:53	1,02390	-0,95952	-1,00900
19:59	-0,76794	-0,83958	-0,88284
20:05	-0,89593	-0,83958	-0,88284
20:11	-0,76794	-0,83958	-0,88284
20:17	-0,89593	-0,83958	-0,88284
20:23	-0,76794	-0,95952	-0,75672
20:29	0,76794	-0,95952	-0,88284
20:35	0,89593	-0,95952	-0,75672
20:41	-0,89593	-0,95952	-0,75672
20:47	0,89593	-0,95952	-0,75672
20:53	0,76794	-0,95952	-0,63060
20:59	-0,76794	-0,95952	-0,63060
21:05	-0,76794	-0,95952	-0,50448
21:11	-0,76794	-0,95952	-0,50448
21:17	-0,76794	-0,95952	-0,50448
21:23	0,76794	1,19940	-0,75672
21:29	0,63995	-1,19940	-0,63060
21:35	0,76794	-0,71964	-0,63060
21:41	0,89593	-0,95952	-0,63060

Time (hh:mm)	DEP-1 Calculated Field, (V/m)	DEP-2 Calculated Field, (V/m)	DEP-3 Calculated Field, (V/m)
21:47	-1,02390	-1,07950	-0,63060
21:53	-1,02390	-0,95952	0,50448
21:59	0,89593	-0,83958	-0,50448
22:05	-0,76794	-0,83958	-0,50448
22:11	0,76794	-0,95952	-0,50448
22:17	-1,27990	-1,19940	-0,75672
22:23	-1,40790	-1,07950	-0,75672
22:29	1,40790	-1,07950	-0,75672
22:35	-1,02390	-0,71964	-0,50448
22:41	-0,76794	-0,95952	-0,37836
22:47	-0,63995	-0,83958	-0,37836
22:53	-0,51196	-0,83958	-0,37836
22:59	0,76794	-1,07950	-0,50448
23:05	0,63995	-0,71964	-0,50448
23:11	-0,76794	-0,83958	-0,50448
23:17	-0,63995	-0,83958	-0,50448
23:23	-0,89593	-0,83958	-0,37836
23:29	1,02390	-0,71964	-0,37836
23:35	1,02390	-0,71964	-0,37836
23:41	-1,02390	-0,71964	-0,37836
23:47	-1,02390	-0,71964	-0,37836
23:53	-0,89593	-0,71964	-0,37836
23:59	0,76794	-0,71964	0,25224

Annex 29. Information from DEP-sensors for 07/09/00

Time (hh:mm)	DEP-1 Calculated Field, (V/m)	DEP-2 Calculated Field, (V/m)	DEP-3 Calculated Field, (V/m)
0:05	-0,38397	-0,83958	-0,37836
0:11	0,51196	-0,95952	-0,37836
0:17	-0,63995	-0,83958	-0,37836
0:23	0,51196	-0,95952	-0,37836
0:29	-0,51196	-0,95952	-0,37836
0:35	-0,76794	-0,95952	-0,50448
0:41	-0,63995	-0,95952	-0,50448
0:47	-0,51196	1,07950	-0,50448
0:53	-0,63995	-1,07950	-0,50448
0:59	0,76794	-0,83958	-0,50448
1:05	-0,63995	-0,95952	-0,50448
1:11	-0,63995	0,95952	-0,63060
1:17	-0,76794	1,07950	-0,63060
1:23	0,76794	0,95952	-0,63060
1:29	-0,63995	1,07950	-0,63060
1:35	-0,63995	0,95952	-0,63060
1:41	0,63995	0,95952	-0,75672
1:47	0,63995	-0,95952	-0,75672
1:53	-0,51196	0,95952	-0,75672
1:59	-0,63995	0,95952	-0,75672
2:05	-0,63995	0,95952	-0,75672
2:11	0,63995	-1,67920	-0,75672
2:17	0,63995	-1,19940	-0,75672
2:23	-0,63995	-1,19940	-0,88284
2:29	-0,63995	-1,19940	-0,75672
2:35	-0,76794	-1,19940	-0,75672
2:41	-0,63995	-1,19940	-0,75672
2:47	0,38397	-1,19940	-0,75672
2:53	-0,63995	-1,07950	-0,63060
2:59	-0,51196	-1,07950	-0,37836
3:05	-0,38397	-1,07950	-0,12612
3:11	-0,38397	-1,07950	-0,12612
3:17	0,51196	-0,83958	-0,50448
3:23	-0,76794	0,59970	-0,12612
3:29	-0,89593	0,71964	0,12612
3:35	-1,02390	0,83958	-0,12612
3:41	-1,02390	0,95952	-0,25224
3:47	-1,02390	0,95952	-0,25224
3:53	-1,02390	0,95952	0,25224
3:59	-1,02390	0,95952	0,25224
4:05	1,15190	-0,95952	0,25224
4:11	1,02390	-0,95952	-0,25224
4:17	-1,40790	-0,83958	0,12612
4:23	-1,27990	-0,95952	0,12612
4:29	-1,15190	0,95952	0,12612
4:35	-1,40790	0,95952	0,12612
4:41	1,40790	0,83958	0,12612

Time (hh:mm)	DEP-1 Calculated Field, (V/m)	DEP-2 Calculated Field, (V/m)	DEP-3 Calculated Field, (V/m)
4:47	1,27990	-0,83958	0,12612
4:53	-1,40790	0,83958	-0,12612
4:59	1,53590	-1,07950	0,12612
5:05	-1,27990	-1,07950	-0,12612
5:11	-1,27990	-0,95952	-0,12612
5:17	1,15190	-0,95952	0,12612
5:23	-1,27990	-0,83958	0,12612
5:29	-1,15190	-1,07950	-0,12612
5:35	-1,02390	-0,95952	0,12612
5:41	-0,76794	-1,07950	0,00000
5:47	0,76794	-0,95952	0,00000
5:53	-0,51196	-0,83958	0,00000
5:59	0,38397	-1,19940	0,63060
6:05	1,02390	-1,19940	-2,01790
6:11	-0,89593	-1,31930	3,53140
6:17	-1,15190	-1,31930	-2,77460
6:23	-1,02390	-1,19940	1,89180
6:29	-1,15190	-1,31930	-3,53140
6:35	-1,15190	-1,31930	-4,54030
6:41	-1,02390	-1,31930	5,67540
6:47	-1,02390	-1,19940	-5,42320
6:53	-1,02390	-1,19940	-5,29700
6:59	1,02390	-1,19940	-5,92760
7:05	-0,89593	-1,07950	-6,30600
7:11	-0,89593	-0,95952	5,80150
7:17	-0,76794	-0,71964	4,16200
7:23	-0,76794	-0,59970	3,65750
7:29	-0,76794	-0,59970	-3,90970
7:35	-0,76794	-0,59970	-3,90970
7:41	-0,76794	-0,59970	-2,64850
7:47	-0,76794	-0,59970	-1,89180
7:53	-0,76794	-0,59970	1,76570
7:59	-0,63995	-0,59970	1,38730
8:05	-0,51196	-0,47976	0,63060
8:11	-0,51196	-0,59970	-0,50448
8:17	-0,51196	-0,59970	0,63060
8:23	-0,51196	-0,47976	0,50448
8:29	0,51196	-0,47976	0,25224
8:35	0,51196	-0,47976	-0,25224
8:41	0,51196	-0,47976	0,50448
8:47	-0,63995	0,23988	-1,38730
8:53	-0,89593	0,35982	-2,90080
8:59	-0,89593	0,35982	3,15300
9:05	-1,02390	0,35982	3,40520
9:11	-0,89593	0,23988	-1,76570
9:17	-0,76794	0,23988	0,63060
9:23	-0,76794	0,23988	-0,37836

Time (hh:mm)	DEP-1 Calculated Field, (V/m)	DEP-2 Calculated Field, (V/m)	DEP-3 Calculated Field, (V/m)
9:29	-0,76794	0,23988	-0,37836
9:35	-0,76794	0,35982	-0,25224
9:41	-0,76794	0,23988	-0,12612
9:47	0,76794	0,23988	-0,12612
9:53	-0,89593	0,23988	0,12612
9:59	0,89593	0,35982	-0,12612
10:05	-0,89593	0,59970	0,00000
10:11	-0,89593	0,47976	0,00000
10:17	-1,02390	0,59970	0,00000
10:23	-0,89593	-0,59970	0,00000
10:29	-1,02390	0,47976	0,00000
10:35	-1,02390	0,47976	0,00000
10:41	-1,15190	0,47976	0,00000
10:47	2,55980	0,59970	-0,25224
10:53	3,32770	0,95952	-0,25224
10:59	3,32770	0,71964	0,25224
11:05	2,81580	0,71964	0,25224
11:11	4,09570	0,71964	-0,25224
11:17	5,37560	0,71964	0,25224
11:23	5,37560	0,71964	0,25224
11:29	5,37560	0,59970	0,25224
11:35	5,24760	0,59970	0,25224
11:41	5,24760	-0,59970	-0,25224
11:47	5,24760	0,47976	-0,25224
11:53	5,11960	-0,47976	0,25224
11:59	-1,53590	0,71964	0,00000
12:05	-1,53590	0,71964	-0,12612
12:11	-1,40790	-0,59970	0,00000
12:17	-1,40790	-0,23988	-0,12612
12:23	-1,40790	-0,35982	0,12612
12:29	-1,40790	0,35982	0,12612
12:35	-1,66390	0,35982	-0,12612
12:41	-1,66390	-0,59970	-0,12612
12:47	-1,79190	-0,47976	0,12612
12:53	-1,66390	0,35982	0,00000
12:59	-1,79190	0,47976	0,12612
13:05	-1,91980	0,59970	0,37836
13:11	-1,79190	0,47976	-0,25224
13:17	-1,53590	-0,47976	-0,37836
13:23	-1,79190	0,47976	-0,12612
13:29	-1,79190	-0,35982	0,00000
13:35	-1,79190	-0,35982	0,00000
13:41	-1,53590	-0,47976	-0,12612
13:47	-1,53590	-0,47976	0,12612
13:53	-1,53590	-0,59970	0,12612
13:59	-1,53590	-0,59970	0,25224
14:05	-1,40790	0,59970	-0,25224
14:11	-1,40790	-0,59970	0,25224
14:17	-1,53590	-0,71964	-0,25224
14:23	-1,53590	-0,59970	0,25224

Time (hh:mm)	DEP-1 Calculated Field, (V/m)	DEP-2 Calculated Field, (V/m)	DEP-3 Calculated Field, (V/m)
14:29	-1,40790	-0,71964	0,25224
14:35	-1,40790	-0,71964	-0,25224
14:41	-1,27990	-0,59970	0,25224
14:47	-1,40790	-0,59970	0,25224
14:53	-1,27990	-0,59970	0,25224
14:59	-1,27990	-0,59970	0,25224
15:05	-1,27990	-0,59970	-0,25224
15:11	-1,40790	-0,59970	-0,25224
15:17	-1,27990	-0,59970	0,25224
15:23	-1,27990	-0,59970	0,25224
15:29	-1,27990	-0,59970	0,25224
15:35	1,15190	-0,59970	0,25224
15:41	0,38397	-0,59970	-0,25224
15:47	1,40790	-0,59970	-0,37836
15:53	1,40790	-0,59970	-0,37836
15:59	1,02390	-0,59970	-0,37836
16:05	-0,63995	-0,59970	-0,37836
16:11	1,02390	-0,59970	-0,37836
16:17	1,53590	-0,59970	-0,37836
16:23	1,27990	-0,59970	-0,37836
16:29	-1,66390	-0,59970	0,37836
16:35	-1,02390	-0,59970	0,37836
16:41	-0,76794	-0,59970	-0,37836
16:47	-0,89593	-0,59970	-1,13510
16:53	0,89593	-0,71964	1,00900
16:59	-1,02390	-0,59970	1,00900
17:05	-0,89593	-0,71964	1,00900
17:11	-0,89593	0,71964	-1,13510
17:17	0,76794	0,71964	-0,25224
17:23	-0,89593	-0,59970	0,25224
17:29	-0,76794	-0,71964	0,25224
17:35	-0,76794	-0,59970	-0,25224
17:41	0,89593	-0,59970	-0,75672
17:47	-0,63995	-0,59970	-1,13510
17:53	-0,76794	-0,59970	-1,13510
17:59	-0,89593	-0,59970	-1,26120
18:05	0,89593	0,59970	-1,26120
18:11	-0,89593	0,59970	-1,26120
18:17	0,76794	-0,59970	-1,26120
18:23	-0,76794	-0,59970	-1,26120
18:29	0,89593	-0,59970	-1,26120
18:35	0,89593	-0,47976	-1,13510
18:41	0,89593	-0,59970	-1,26120
18:47	-1,02390	-0,59970	-1,13510
18:53	-0,76794	-0,59970	1,00900
18:59	-0,76794	-0,71964	-1,13510
19:05	-0,89593	0,83958	-1,13510
19:11	0,63995	-0,83958	-1,00900
19:17	-0,76794	-0,95952	-1,13510
19:23	-0,76794	-0,95952	-1,00900

Time (hh:mm)	DEP-1 Calculated Field, (V/m)	DEP-2 Calculated Field, (V/m)	DEP-3 Calculated Field, (V/m)
19:29	-0,63995	-0,95952	-1,13510
19:35	0,76794	-0,83958	-1,00900
19:41	-0,63995	-0,95952	-1,00900
19:47	-0,76794	-0,95952	-1,00900
19:53	0,63995	-0,95952	-1,00900
19:59	0,76794	-0,95952	-1,00900
20:05	0,76794	-0,95952	-0,88284
20:11	-0,76794	-0,95952	-0,88284
20:17	0,63995	-0,95952	-0,88284
20:23	0,76794	-0,95952	-0,88284
20:29	-0,63995	-0,95952	0,75672
20:35	-0,63995	-0,83958	-0,88284
20:41	-0,51196	-0,71964	-0,75672
20:47	-0,63995	0,71964	-0,63060
20:53	0,76794	0,95952	-0,63060
20:59	-0,76794	0,95952	-0,63060
21:05	-0,63995	0,83958	-0,50448
21:11	-0,76794	0,83958	-0,50448
21:17	0,63995	0,83958	-0,37836
21:23	0,63995	-0,95952	-0,50448
21:29	0,51196	-1,07950	-0,37836
21:35	0,76794	-1,07950	0,50448
21:41	-0,76794	-1,07950	-0,50448

Time (hh:mm)	DEP-1 Calculated Field, (V/m)	DEP-2 Calculated Field, (V/m)	DEP-3 Calculated Field, (V/m)
21:47	-0,76794	-1,07950	-0,63060
21:53	-0,63995	-1,07950	0,63060
21:59	0,63995	-1,07950	0,63060
22:05	0,63995	-1,07950	-0,75672
22:11	-0,63995	-1,07950	0,63060
22:17	0,63995	-0,95952	0,63060
22:23	0,63995	-0,95952	-0,63060
22:29	0,63995	-1,07950	0,63060
22:35	-0,63995	-1,07950	-0,63060
22:41	-0,63995	-1,07950	-0,63060
22:47	-0,63995	-0,95952	-0,63060
22:53	-0,51196	-1,07950	0,63060
22:59	-0,51196	-0,95952	0,50448
23:05	-0,51196	-1,07950	0,50448
23:11	-0,51196	-0,95952	0,50448
23:17	-0,63995	-0,95952	0,50448
23:23	0,51196	-0,95952	-0,50448
23:29	-0,51196	-0,95952	-0,50448
23:35	-0,63995	-0,95952	0,50448
23:41	-0,51196	-0,83958	-0,50448
23:47	-0,63995	-0,83958	0,37836
23:53	-0,63995	-0,95952	0,37836
23:59	-0,51196	-0,95952	0,37836

Annex 30. Information from DEP-sensors for 12/09/00

Time (hh:mm)	DEP-1 Calculated Field, (V/m)	DEP-2 Calculated Field, (V/m)	DEP-3 Calculated Field, (V/m)
0:04	-0,51196	0,83958	-0,37836
0:10	0,51196	-0,83958	-0,50448
0:16	-0,51196	-0,83958	-0,50448
0:22	0,51196	-0,71964	-0,50448
0:28	0,51196	-0,71964	-0,50448
0:34	-0,51196	-0,83958	-0,50448
0:40	-0,51196	-0,83958	-0,50448
0:46	0,38397	0,95952	-0,63060
0:52	-0,51196	0,95952	-0,50448
0:58	-0,38397	-0,83958	-0,63060
1:04	-0,51196	-0,83958	-0,50448
1:10	-0,51196	0,95952	0,63060
1:16	0,51196	1,07950	-0,63060
1:22	0,51196	1,19940	-0,63060
1:28	0,51196	1,07950	-0,63060
1:34	-0,51196	0,95952	-0,75672
1:40	-0,38397	0,95952	-0,75672
1:46	-0,51196	0,95952	0,75672
1:52	-0,38397	0,95952	-0,75672
1:58	-0,51196	-0,95952	-0,75672
2:04	0,63995	0,95952	-0,63060
2:10	-0,63995	1,67920	-0,63060
2:16	0,63995	-1,19940	-0,75672
2:22	0,51196	-1,19940	-0,75672
2:28	0,63995	-1,19940	-0,75672
2:34	-0,76794	-1,19940	-0,75672
2:40	-0,63995	-1,19940	-0,63060
2:46	-0,51196	-1,07950	-0,63060
2:52	0,63995	-1,07950	-0,63060
2:58	-0,38397	-1,07950	0,50448
3:04	-0,51196	-1,07950	-0,12612
3:10	-0,38397	-0,95952	0,12612
3:16	-0,63995	-0,59970	-0,50448
3:22	-0,63995	0,83958	0,12612
3:28	-0,76794	0,83958	-0,12612
3:34	-0,76794	0,95952	-0,12612
3:40	-0,76794	0,95952	0,25224
3:46	-0,76794	-0,71964	0,25224
3:52	-0,76794	0,95952	-0,25224
3:58	-0,76794	0,95952	0,25224
4:04	-0,89593	-1,07950	-0,25224
4:10	-1,15190	1,07950	0,25224
4:16	-1,02390	-0,95952	0,12612
4:22	-1,15190	-0,95952	-0,12612
4:28	1,27990	0,95952	0,12612
4:34	0,89593	0,95952	-0,12612
4:40	-1,27990	0,95952	-0,12612

Time (hh:mm)	DEP-1 Calculated Field, (V/m)	DEP-2 Calculated Field, (V/m)	DEP-3 Calculated Field, (V/m)
4:46	-1,15190	0,83958	0,12612
4:52	-1,02390	0,83958	0,12612
4:58	-1,02390	0,71964	0,12612
5:04	0,89593	0,71964	0,12612
5:10	-0,76794	0,59970	-0,12612
5:16	-0,76794	0,59970	-0,12612
5:22	-0,76794	0,59970	0,12612
5:28	0,63995	0,59970	0,12612
5:34	-0,76794	0,59970	0,12612
5:40	0,76794	0,59970	0,12612
5:46	-0,76794	0,71964	0,12612
5:52	-0,76794	0,59970	-0,12612
5:58	-0,76794	0,59970	0,12612
6:04	0,63995	0,47976	0,12612
6:10	-0,63995	-0,59970	0,12612
6:16	0,63995	-0,71964	0,12612
6:22	-0,76794	-1,07950	0,25224
6:28	-0,76794	-1,07950	-0,25224
6:34	0,63995	-0,95952	-0,12612
6:40	-0,63995	-0,95952	0,37836
6:46	-0,76794	-0,95952	0,63060
6:52	-0,63995	-0,83958	-0,25224
6:58	-0,51196	-0,59970	0,12612
7:04	-0,38397	-0,47976	-0,12612
7:10	-0,38397	0,47976	0,12612
7:16	-0,51196	-0,59970	-0,50448
7:22	-0,89593	-0,47976	-3,40520
7:28	-0,76794	-0,71964	1,76570
7:34	-0,63995	-0,59970	-0,63060
7:40	-0,63995	-0,47976	0,37836
7:46	-0,51196	-0,47976	-0,50448
7:52	-0,51196	-0,47976	0,88284
7:58	-0,63995	-0,47976	1,89180
8:04	-0,51196	0,35982	1,76570
8:10	-0,76794	0,23988	2,39630
8:16	-0,89593	0,35982	-4,66640
8:22	-0,89593	0,35982	5,42320
8:28	-1,02390	0,35982	-5,04480
8:34	-1,02390	0,35982	-3,90970
8:40	-0,89593	0,23988	2,64850
8:46	-0,76794	0,23988	-2,39630
8:52	-0,76794	0,23988	1,76570
8:58	-0,89593	0,35982	-2,27020
9:04	-0,89593	0,35982	-1,76570
9:10	-0,76794	0,35982	0,88284
9:16	-0,63995	0,35982	0,37836
9:22	-0,51196	0,35982	-0,25224

Time (hh:mm)	DEP-1 Calculated Field, (V/m)	DEP-2 Calculated Field, (V/m)	DEP-3 Calculated Field, (V/m)
9:28	-0,51196	0,35982	-0,12612
9:34	-0,51196	0,35982	0,00000
9:40	-0,51196	0,35982	0,00000
9:46	-0,51196	0,35982	0,00000
9:52	-0,51196	0,47976	0,00000
9:58	-0,63995	0,71964	0,00000
10:04	-0,63995	0,47976	0,00000
10:10	-0,63995	0,47976	0,12612
10:16	-0,76794	0,71964	0,12612
10:22	-0,76794	0,71964	0,12612
10:28	2,81580	0,71964	-0,25224
10:34	3,58370	0,71964	-0,12612
10:40	2,94380	0,83958	0,12612
10:46	2,94380	0,95952	-0,12612
10:52	3,58370	0,83958	0,12612
10:58	3,45570	0,71964	0,12612
11:04	2,94380	0,83958	-0,12612
11:10	2,94380	0,71964	0,12612
11:16	5,63160	0,59970	0,12612
11:22	5,63160	0,59970	-0,12612
11:28	5,63160	0,59970	-0,12612
11:34	5,63160	0,59970	0,12612
11:40	-1,15190	-0,71964	0,12612
11:46	-1,15190	-0,71964	0,25224
11:52	-1,15190	-0,71964	0,25224
11:58	-1,15190	-0,83958	-0,12612
12:04	-1,27990	-0,71964	0,12612
12:10	-1,27990	-0,71964	-0,12612
12:16	-1,27990	-0,71964	-0,12612
12:22	-1,27990	-0,71964	0,12612
12:28	-1,40790	-0,71964	0,12612
12:34	-1,40790	-0,71964	0,12612
12:40	-1,40790	-0,71964	-0,12612
12:46	-1,40790	0,71964	-0,12612
12:52	-1,40790	-0,71964	0,12612
12:58	-1,40790	0,59970	0,12612
13:04	-1,40790	-0,71964	0,12612
13:10	-1,40790	-0,71964	-0,12612
13:16	-1,40790	-0,71964	0,12612
13:22	-1,53590	-0,83958	0,25224
13:28	-1,53590	-0,83958	0,25224
13:34	-1,53590	-0,83958	-0,25224
13:40	-1,53590	-0,83958	0,25224
13:46	-1,53590	-0,83958	0,25224
13:52	-1,40790	-0,83958	0,25224
13:58	-1,53590	-0,95952	0,25224
14:04	-1,40790	-0,83958	-0,25224
14:10	-1,40790	-0,83958	0,25224
14:16	-1,40790	-0,95952	-0,25224
14:22	-1,53590	-0,95952	0,25224

Time (hh:mm)	DEP-1 Calculated Field, (V/m)	DEP-2 Calculated Field, (V/m)	DEP-3 Calculated Field, (V/m)
14:28	-1,53590	-0,95952	0,25224
14:34	-1,53590	-0,95952	0,25224
14:40	-1,40790	-0,95952	0,25224
14:46	-1,40790	-0,83958	-0,25224
14:52	-1,40790	-0,83958	-0,25224
14:58	-1,40790	-0,83958	0,25224
15:04	-1,15190	-0,71964	-0,25224
15:10	-1,27990	-0,83958	0,25224
15:16	1,02390	-0,83958	-0,25224
15:22	-0,38397	-0,71964	0,25224
15:28	0,51196	0,71964	0,25224
15:34	0,51196	-0,83958	-0,25224
15:40	-0,63995	-0,83958	0,25224
15:46	0,51196	-0,71964	-0,37836
15:52	0,63995	-0,71964	-0,37836
15:58	-0,76794	-0,71964	0,37836
16:04	-1,15190	-0,71964	0,37836
16:10	-1,27990	-0,71964	0,37836
16:16	0,89593	-0,59970	0,37836
16:22	-0,63995	-0,59970	0,37836
16:28	-0,51196	0,59970	0,25224
16:34	-0,38397	0,59970	-0,25224
16:40	-0,63995	0,59970	-0,25224
16:46	0,63995	0,59970	-1,13510
16:52	0,76794	0,59970	-1,26120
16:58	0,76794	-0,59970	1,26120
17:04	-0,63995	-0,59970	1,26120
17:10	-0,63995	-0,59970	-1,26120
17:16	-0,63995	0,59970	1,38730
17:22	0,51196	0,59970	0,25224
17:28	0,63995	-0,59970	0,25224
17:34	-0,63995	0,59970	-0,25224
17:40	-0,63995	-0,59970	0,75672
17:46	0,63995	0,59970	-1,00900
17:52	-0,76794	-0,59970	-1,26120
17:58	0,63995	-0,59970	-1,38730
18:04	-0,76794	-0,59970	-1,38730
18:10	-0,89593	-0,47976	-1,26120
18:16	-0,76794	0,47976	1,26120
18:22	-0,76794	0,47976	-1,26120
18:28	0,76794	0,59970	-1,13510
18:34	-0,89593	-0,59970	-1,13510
18:40	0,76794	0,59970	-1,13510
18:46	-0,63995	0,71964	-1,13510
18:52	-0,63995	0,83958	-1,13510
18:58	-0,63995	0,95952	-1,13510
19:04	-0,63995	0,95952	-1,00900
19:10	-0,51196	1,07950	-1,00900
19:16	-0,63995	0,95952	-1,00900
19:22	0,63995	0,95952	-1,00900

Time (hh:mm)	DEP-1 Calculated Field, (V/m)	DEP-2 Calculated Field, (V/m)	DEP-3 Calculated Field, (V/m)
19:28	0,63995	0,95952	-1,00900
19:34	-0,51196	0,95952	1,00900
19:40	-0,63995	0,95952	-1,00900
19:46	0,38397	0,95952	-1,00900
19:52	0,63995	0,83958	-1,00900
19:58	-0,51196	0,83958	-1,00900
20:04	0,51196	0,83958	-0,75672
20:10	0,63995	0,83958	-0,75672
20:16	0,63995	0,83958	-0,75672
20:22	-0,51196	0,83958	-0,88284
20:28	-0,63995	0,83958	-0,63060
20:34	-0,63995	1,07950	-0,75672
20:40	-0,51196	0,59970	-0,63060
20:46	0,51196	0,71964	-0,63060
20:52	-0,51196	0,95952	-0,50448
20:58	-0,38397	0,95952	-0,50448
21:04	-0,63995	0,71964	-0,50448
21:10	-0,51196	0,71964	-0,50448
21:16	-0,51196	0,95952	-0,37836
21:22	0,76794	-0,71964	-0,50448
21:28	-0,51196	-0,71964	-0,50448
21:34	-0,51196	-0,71964	-0,50448
21:40	-0,63995	-0,83958	0,50448

Time (hh:mm)	DEP-1 Calculated Field, (V/m)	DEP-2 Calculated Field, (V/m)	DEP-3 Calculated Field, (V/m)
21:46	-0,38397	-0,95952	-0,63060
21:52	-0,63995	-0,95952	-0,63060
21:58	-0,51196	-0,95952	0,63060
22:04	-0,63995	-0,95952	-0,63060
22:10	-0,63995	-0,95952	-0,63060
22:16	-0,51196	-0,95952	-0,63060
22:22	0,51196	-0,95952	0,63060
22:28	-0,51196	-0,95952	0,50448
22:34	-0,51196	-1,07950	0,50448
22:40	-0,51196	-1,07950	-0,50448
22:46	-0,38397	-1,07950	-0,50448
22:52	-0,63995	-0,95952	-0,50448
22:58	-0,51196	-0,95952	0,37836
23:04	-0,63995	-0,95952	-0,37836
23:10	0,51196	0,95952	-0,37836
23:16	-0,38397	-0,95952	0,37836
23:22	-0,63995	-0,95952	-0,37836
23:28	0,51196	-0,95952	0,37836
23:34	-0,51196	-0,95952	-0,25224
23:40	-0,63995	-0,95952	-0,37836
23:46	-0,51196	-0,83958	0,25224
23:52	-0,51196	-0,83958	-0,37836
23:58	0,38397	-0,83958	-0,25224

Annex 31. Information from DEP-sensors for 14/09/00

Time (hh:mm)	DEP-1 Calculated Field, (V/m)	DEP-2 Calculated Field, (V/m)	DEP-3 Calculated Field, (V/m)
0:04	-0,25598	-0,83958	-0,25224
0:10	0,38397	-0,83958	-0,25224
0:16	0,38397	-0,83958	-0,25224
0:22	0,38397	-0,83958	0,25224
0:28	-0,38397	-0,83958	-0,25224
0:34	0,38397	-0,83958	-0,25224
0:40	0,25598	-0,95952	-0,37836
0:46	-0,38397	-0,95952	-0,37836
0:52	-0,38397	-0,95952	-0,37836
0:58	-0,25598	-0,95952	-0,37836
1:04	-0,38397	-0,95952	-0,37836
1:10	-0,25598	-0,95952	-0,50448
1:16	-0,38397	-0,95952	0,37836
1:22	-0,25598	-1,07950	-0,50448
1:28	-0,38397	1,07950	-0,50448
1:34	-0,25598	1,07950	-0,63060
1:40	0,25598	0,95952	-0,50448
1:46	-0,38397	0,95952	-0,75672
1:52	-0,38397	0,95952	-0,75672
1:58	-0,38397	0,95952	-0,75672
2:04	-0,38397	0,95952	-0,75672
2:10	0,25598	-1,19940	-0,63060
2:16	-0,38397	-1,19940	-0,75672
2:22	-0,38397	-1,19940	-0,75672
2:28	0,38397	-1,19940	-0,75672
2:34	-0,38397	-1,19940	-0,75672
2:40	0,25598	-1,07950	-0,63060
2:46	-0,25598	-1,07950	-0,63060
2:52	-0,51196	-1,07950	0,63060
2:58	-0,38397	-1,07950	0,37836
3:04	-0,38397	-1,07950	0,12612
3:10	0,51196	0,59970	-0,12612
3:16	-0,89593	0,71964	-0,63060
3:22	-0,76794	0,95952	0,25224
3:28	-0,89593	0,95952	0,25224
3:34	-1,02390	0,95952	0,25224
3:40	-1,02390	0,95952	-0,25224
3:46	-1,02390	-1,07950	0,25224
3:52	-1,02390	-0,95952	-0,25224
3:58	-0,89593	-1,07950	0,25224
4:04	1,02390	-1,07950	0,25224
4:10	-1,15190	-1,19940	-0,25224
4:16	1,02390	-0,95952	-0,25224
4:22	-1,02390	0,95952	0,12612
4:28	-1,15190	0,95952	0,12612
4:34	-1,02390	0,83958	0,12612
4:40	1,02390	0,95952	0,12612

Time (hh:mm)	DEP-1 Calculated Field, (V/m)	DEP-2 Calculated Field, (V/m)	DEP-3 Calculated Field, (V/m)
4:46	1,02390	-0,83958	0,12612
4:52	-0,89593	0,83958	0,12612
4:58	-0,89593	0,71964	0,12612
5:04	0,76794	0,71964	0,12612
5:10	0,76794	0,59970	-0,12612
5:16	-0,76794	-0,59970	-0,12612
5:22	0,63995	0,59970	0,12612
5:28	-0,63995	0,59970	-0,12612
5:34	-0,63995	0,47976	0,12612
5:40	0,51196	0,47976	0,12612
5:46	-0,51196	0,47976	0,12612
5:52	-0,38397	0,47976	0,12612
5:58	-0,51196	0,35982	0,12612
6:04	-0,51196	-0,35982	-0,12612
6:10	0,51196	0,35982	0,12612
6:16	0,51196	0,35982	0,12612
6:22	-0,51196	0,35982	0,12612
6:28	-0,38397	0,23988	-0,12612
6:34	-0,38397	0,23988	0,12612
6:40	-0,25598	0,23988	0,12612
6:46	-0,25598	0,23988	0,12612
6:52	0,12799	0,23988	0,12612
6:58	0,12799	0,23988	0,12612
7:04	0,12799	0,23988	0,12612
7:10	0,12799	0,23988	0,12612
7:16	0,12799	0,23988	0,12612
7:22	0,12799	-0,23988	-0,12612
7:28	0,25598	0,23988	0,12612
7:34	0,25598	0,23988	0,12612
7:40	0,25598	-0,23988	0,12612
7:46	0,38397	0,23988	-0,12612
7:52	0,38397	0,23988	0,12612
7:58	0,38397	-0,23988	-0,12612
8:04	0,51196	0,35982	-0,12612
8:10	0,51196	-0,35982	-0,12612
8:16	0,51196	0,23988	-0,12612
8:22	0,63995	0,23988	0,12612
8:28	0,63995	0,35982	-0,12612
8:34	0,63995	0,23988	0,12612
8:40	0,76794	0,23988	-0,12612
8:46	0,76794	0,23988	0,12612
8:52	0,63995	0,35982	0,00000
8:58	-0,63995	0,23988	0,25224
9:04	0,63995	0,23988	0,37836
9:10	-0,51196	0,35982	-0,75672
9:16	-0,51196	0,35982	-0,75672
9:22	-0,51196	0,35982	0,37836

Time (hh:mm)	DEP-1 Calculated Field, (V/m)	DEP-2 Calculated Field, (V/m)	DEP-3 Calculated Field, (V/m)
9:28	-0,51196	0,35982	0,25224
9:34	-0,51196	0,35982	-0,37836
9:40	-0,51196	-0,35982	-0,12612
9:46	-0,51196	0,47976	0,12612
9:52	-0,63995	0,59970	-0,12612
9:58	-0,63995	0,71964	0,00000
10:04	-0,63995	-0,47976	0,00000
10:10	-0,76794	0,83958	0,00000
10:16	-0,63995	1,79910	0,12612
10:22	-0,63995	0,59970	-0,12612
10:28	5,11960	0,59970	0,12612
10:34	5,24760	0,59970	0,12612
10:40	5,37560	0,71964	-0,12612
10:46	5,37560	0,95952	0,12612
10:52	5,37560	0,95952	-0,12612
10:58	5,37560	0,83958	0,12612
11:04	5,37560	0,83958	-0,12612
11:10	5,63160	0,83958	0,12612
11:16	-1,15190	0,59970	-0,12612
11:22	-1,15190	0,59970	0,12612
11:28	-1,15190	-0,71964	-0,12612
11:34	-1,02390	0,71964	-0,12612
11:40	-1,02390	0,71964	0,25224
11:46	-1,15190	-0,71964	-0,25224
11:52	-1,15190	-0,71964	-0,25224
11:58	-1,15190	-0,71964	-0,25224
12:04	-1,27990	-0,71964	0,25224
12:10	-1,27990	-0,59970	0,25224
12:16	-1,40790	-0,71964	-0,25224
12:22	-1,40790	-0,71964	0,25224
12:28	-1,40790	0,71964	-0,25224
12:34	-1,40790	-0,71964	0,25224
12:40	-1,40790	-0,71964	-0,25224
12:46	-1,40790	-0,71964	-0,25224
12:52	-1,40790	-0,71964	-0,25224
12:58	-1,40790	0,71964	0,25224
13:04	-1,40790	-0,59970	0,25224
13:10	-1,40790	-0,71964	0,25224
13:16	-1,40790	-0,71964	0,25224
13:22	-1,40790	-0,59970	0,25224
13:28	-1,40790	-0,71964	0,25224
13:34	-1,40790	-0,47976	0,25224
13:40	-1,40790	-0,71964	-0,25224
13:46	-1,40790	-0,71964	0,25224
13:52	-1,40790	-0,71964	-0,25224
13:58	-1,40790	-0,59970	-0,25224
14:04	-1,40790	-0,71964	-0,25224
14:10	-1,40790	0,71964	0,25224
14:16	-1,40790	-0,71964	-0,25224
14:22	-1,40790	0,71964	-0,25224

Time (hh:mm)	DEP-1 Calculated Field, (V/m)	DEP-2 Calculated Field, (V/m)	DEP-3 Calculated Field, (V/m)
14:28	-1,40790	-0,71964	-0,25224
14:34	-1,40790	-0,71964	-0,25224
14:40	-1,40790	-0,71964	0,25224
14:46	-1,40790	0,71964	0,25224
14:52	-1,40790	-0,71964	-0,25224
14:58	-1,27990	-0,71964	-0,25224
15:04	-1,15190	-0,59970	-0,25224
15:10	-1,02390	-0,59970	0,25224
15:16	0,25598	-0,59970	0,25224
15:22	0,25598	-0,59970	-0,25224
15:28	0,63995	-0,59970	-0,25224
15:34	0,51196	-0,59970	0,25224
15:40	-0,38397	-0,59970	0,25224
15:46	-0,51196	-0,59970	0,25224
15:52	-0,51196	-0,59970	-0,37836
15:58	-0,76794	-0,59970	-0,37836
16:04	-1,02390	-0,59970	0,37836
16:10	0,89593	-0,59970	-0,37836
16:16	-0,63995	0,59970	0,37836
16:22	-0,51196	-0,71964	0,25224
16:28	-0,51196	-0,71964	-0,25224
16:34	0,38397	-0,71964	-0,25224
16:40	0,51196	-0,71964	-0,25224
16:46	-0,51196	-0,59970	-1,13510
16:52	-0,51196	-0,59970	1,00900
16:58	-0,51196	-0,71964	1,13510
17:04	-0,38397	0,59970	1,13510
17:10	-0,51196	-0,59970	-1,26120
17:16	-0,63995	-0,59970	-0,63060
17:22	0,63995	0,59970	-0,25224
17:28	-0,76794	-0,71964	-0,25224
17:34	-0,63995	0,59970	-0,25224
17:40	0,63995	0,59970	-0,75672
17:46	-0,63995	0,59970	-1,13510
17:52	-0,63995	0,59970	-1,26120
17:58	-0,63995	-0,59970	-1,26120
18:04	-0,51196	0,71964	-1,26120
18:10	-0,51196	-0,59970	-1,26120
18:16	0,63995	-0,59970	-1,13510
18:22	0,51196	0,59970	-1,26120
18:28	-0,51196	-0,71964	-1,13510
18:34	-0,51196	0,71964	-1,26120
18:40	0,51196	-0,71964	-1,26120
18:46	0,38397	0,83958	-1,00900
18:52	-0,51196	0,83958	-1,13510
18:58	-0,38397	0,95952	-0,88284
19:04	0,51196	0,95952	-1,13510
19:10	0,38397	0,95952	-1,13510
19:16	-0,38397	0,95952	-1,13510
19:22	-0,38397	1,07950	-1,00900

Time (hh:mm)	DEP-1 Calculated Field, (V/m)	DEP-2 Calculated Field, (V/m)	DEP-3 Calculated Field, (V/m)
19:28	-0,38397	0,95952	-0,88284
19:34	-0,38397	0,95952	-1,00900
19:40	0,38397	0,83958	-1,00900
19:46	-0,51196	0,83958	-1,00900
19:52	0,38397	0,95952	-1,00900
19:58	-0,38397	0,95952	-1,00900
20:04	-0,51196	0,95952	-0,75672
20:10	-0,38397	1,07950	-0,88284
20:16	0,38397	0,95952	-0,88284
20:22	-0,38397	0,95952	-0,75672
20:28	-0,38397	0,95952	0,75672
20:34	-0,38397	-0,95952	-0,75672
20:40	-0,38397	0,95952	-0,63060
20:46	-0,38397	-0,95952	0,63060
20:52	0,38397	0,95952	-0,63060
20:58	-0,51196	0,95952	-0,50448
21:04	-0,25598	0,95952	-0,50448
21:10	-0,38397	0,95952	-0,50448
21:16	-0,38397	0,95952	-0,37836
21:22	-0,51196	0,95952	-0,37836
21:28	-0,51196	1,07950	-0,50448
21:34	-0,38397	0,95952	-0,50448
21:40	0,38397	-0,71964	-0,50448

Time (hh:mm)	DEP-1 Calculated Field, (V/m)	DEP-2 Calculated Field, (V/m)	DEP-3 Calculated Field, (V/m)
21:46	-0,38397	-0,95952	-0,50448
21:52	0,51196	-0,95952	-0,50448
21:58	0,38397	-0,95952	-0,50448
22:04	0,25598	-0,95952	-0,63060
22:10	-0,38397	-0,83958	-0,50448
22:16	0,25598	-0,83958	0,50448
22:22	-0,38397	-0,83958	0,50448
22:28	-0,38397	-0,83958	0,50448
22:34	-0,25598	-0,83958	-0,50448
22:40	0,38397	-0,83958	0,50448
22:46	0,38397	-0,95952	-0,50448
22:52	-0,38397	-0,95952	0,37836
22:58	-0,38397	-0,83958	-0,37836
23:04	0,51196	-0,95952	-0,37836
23:10	0,38397	-0,83958	0,37836
23:16	-0,51196	-0,83958	-0,25224
23:22	0,51196	-0,83958	-0,37836
23:28	-0,38397	-0,83958	-0,25224
23:34	-0,51196	-0,83958	0,25224
23:40	-0,38397	-0,83958	-0,37836
23:46	0,38397	-0,83958	-0,37836
23:52	0,38397	-0,83958	-0,25224
23:58	0,38397	-0,83958	-0,37836

Annex 32. Information from DEP-sensors for 15/09/00

Time (hh:mm)	DEP-1 Calculated Field, (V/m)	DEP-2 Calculated Field, (V/m)	DEP-3 Calculated Field, (V/m)
0:04	-0,38397	-0,83958	0,25224
0:10	-0,38397	-0,83958	-0,25224
0:16	0,25598	-0,71964	-0,37836
0:22	0,38397	-0,71964	-0,37836
0:28	0,25598	-0,71964	-0,37836
0:34	0,38397	-0,83958	-0,37836
0:40	-0,38397	-0,83958	-0,37836
0:46	-0,25598	0,95952	-0,50448
0:52	0,38397	0,95952	-0,50448
0:58	-0,25598	-0,83958	-0,50448
1:04	-0,25598	-0,83958	-0,50448
1:10	-0,38397	-0,83958	-0,37836
1:16	-0,38397	0,95952	-0,37836
1:22	0,25598	0,95952	-0,50448
1:28	-0,25598	1,19940	-0,50448
1:34	0,25598	0,95952	-0,50448
1:40	-0,25598	0,95952	-0,50448
1:46	0,25598	0,95952	-0,63060
1:52	-0,25598	0,95952	-0,63060
1:58	-0,25598	0,95952	-0,63060
2:04	-0,25598	-0,95952	-0,75672
2:10	-0,38397	1,67920	-0,63060
2:16	-0,25598	1,55920	-0,75672
2:22	-0,38397	-1,19940	-0,88284
2:28	-0,38397	-1,19940	0,75672
2:34	-0,38397	-1,19940	-0,75672
2:40	0,38397	-1,19940	-0,63060
2:46	0,38397	-1,07950	0,63060
2:52	-0,51196	-1,07950	-0,63060
2:58	-0,38397	-1,07950	-0,50448
3:04	-0,38397	-1,07950	-0,12612
3:10	-0,51196	0,71964	0,12612
3:16	0,63995	0,71964	-0,50448
3:22	0,63995	0,83958	0,25224
3:28	0,76794	-0,95952	-0,12612
3:34	-0,89593	0,95952	0,25224
3:40	-0,89593	0,95952	0,25224
3:46	-0,89593	0,95952	0,25224
3:52	-0,76794	0,95952	-0,25224
3:58	0,89593	1,07950	0,25224
4:04	-0,89593	-1,07950	-0,25224
4:10	0,89593	-1,07950	-0,25224
4:16	-1,02390	-0,95952	0,25224
4:22	-1,02390	-0,95952	0,12612
4:28	-1,02390	0,95952	-0,12612
4:34	-0,89593	-0,83958	0,12612
4:40	0,89593	0,95952	0,12612

Time (hh:mm)	DEP-1 Calculated Field, (V/m)	DEP-2 Calculated Field, (V/m)	DEP-3 Calculated Field, (V/m)
4:46	1,02390	0,83958	0,12612
4:52	-0,89593	0,83958	0,12612
4:58	0,89593	0,71964	0,12612
5:04	0,76794	0,71964	0,12612
5:10	0,76794	0,59970	-0,12612
5:16	-0,76794	0,59970	0,12612
5:22	-0,63995	-0,59970	0,12612
5:28	0,63995	0,59970	0,12612
5:34	0,51196	0,47976	0,12612
5:40	-0,51196	0,47976	0,12612
5:46	-0,38397	-0,47976	0,12612
5:52	-0,38397	0,47976	0,12612
5:58	-0,38397	0,47976	0,12612
6:04	0,38397	0,35982	0,12612
6:10	-0,38397	0,35982	0,12612
6:16	0,38397	0,35982	0,12612
6:22	0,25598	0,35982	0,12612
6:28	0,25598	0,35982	0,12612
6:34	0,25598	0,23988	0,12612
6:40	0,25598	-0,23988	0,12612
6:46	0,12799	0,23988	0,12612
6:52	-0,12799	0,23988	0,12612
6:58	0,12799	0,23988	0,12612
7:04	0,12799	0,35982	-0,12612
7:10	0,12799	0,35982	-0,12612
7:16	0,12799	0,23988	0,12612
7:22	-0,12799	-0,23988	0,12612
7:28	-0,12799	0,23988	-0,12612
7:34	0,25598	0,23988	-0,12612
7:40	0,25598	0,23988	0,12612
7:46	0,25598	0,23988	0,12612
7:52	0,25598	0,23988	0,12612
7:58	0,38397	0,23988	-0,12612
8:04	0,38397	0,35982	0,12612
8:10	0,51196	0,35982	-0,12612
8:16	0,38397	0,23988	0,12612
8:22	0,51196	0,23988	0,12612
8:28	0,51196	0,35982	0,12612
8:34	0,63995	-0,35982	-0,12612
8:40	0,63995	0,23988	0,12612
8:46	0,63995	0,35982	0,12612
8:52	0,76794	0,35982	0,12612
8:58	0,76794	0,35982	-0,12612
9:04	0,76794	0,35982	-0,12612
9:10	0,63995	0,35982	-0,12612
9:16	0,51196	0,35982	-0,12612
9:22	0,51196	0,35982	-0,12612

Time (hh:mm)	DEP-1 Calculated Field, (V/m)	DEP-2 Calculated Field, (V/m)	DEP-3 Calculated Field, (V/m)
9:28	0,51196	0,35982	-0,12612
9:34	0,38397	0,35982	0,12612
9:40	-0,38397	0,35982	0,12612
9:46	-0,38397	0,47976	0,12612
9:52	-0,38397	0,71964	-0,12612
9:58	-0,51196	0,71964	-0,12612
10:04	-0,51196	-0,59970	-0,12612
10:10	-0,63995	0,83958	-0,12612
10:16	4,86360	0,83958	0,12612
10:22	5,24760	0,59970	0,12612
10:28	5,24760	0,71964	0,12612
10:34	5,37560	0,83958	-0,12612
10:40	5,37560	0,83958	0,12612
10:46	5,37560	0,95952	0,12612
10:52	5,37560	0,83958	0,12612
10:58	5,37560	0,71964	-0,12612
11:04	5,37560	0,71964	0,12612
11:10	5,37560	0,71964	0,12612
11:16	5,63160	-0,47976	0,12612
11:22	5,63160	-0,59970	0,12612
11:28	-1,02390	0,71964	-0,12612
11:34	-1,02390	-0,83958	0,12612
11:40	-1,02390	-0,83958	0,12612
11:46	-1,02390	-0,83958	0,12612
11:52	-1,02390	-0,71964	-0,12612
11:58	-1,15190	-0,83958	0,25224
12:04	-1,15190	-0,83958	0,12612
12:10	-1,27990	-0,83958	-0,12612
12:16	-1,27990	-0,83958	0,12612
12:22	-1,27990	-0,83958	-0,12612
12:28	-1,27990	0,83958	-0,25224
12:34	-1,40790	-0,83958	0,25224
12:40	-1,40790	-0,71964	0,12612
12:46	-1,40790	-0,71964	0,12612
12:52	-1,40790	-0,71964	0,25224
12:58	-1,40790	-0,71964	-0,12612
13:04	-1,40790	-0,71964	0,25224
13:10	-1,40790	-0,71964	-0,25224
13:16	-1,40790	-0,71964	0,12612
13:22	-1,40790	-0,71964	0,25224
13:28	-1,40790	-0,71964	-0,12612
13:34	-1,40790	-0,71964	-0,12612
13:40	-1,40790	-0,71964	-0,25224
13:46	-1,40790	-0,71964	0,12612
13:52	-1,40790	0,71964	-0,12612
13:58	-1,40790	-0,71964	0,12612
14:04	-1,40790	-0,71964	0,25224
14:10	-1,27990	-0,71964	-0,25224
14:16	-1,40790	0,83958	0,25224
14:22	-1,40790	-0,71964	0,12612

Time (hh:mm)	DEP-1 Calculated Field, (V/m)	DEP-2 Calculated Field, (V/m)	DEP-3 Calculated Field, (V/m)
14:28	-1,40790	-0,83958	0,25224
14:34	-1,40790	-0,71964	0,25224
14:40	-1,40790	-0,71964	-0,25224
14:46	-1,27990	0,71964	0,25224
14:52	-1,27990	-0,71964	-0,25224
14:58	-1,15190	-0,71964	0,25224
15:04	-1,02390	-0,71964	0,25224
15:10	-1,02390	-0,71964	0,12612
15:16	0,25598	-0,71964	0,25224
15:22	0,25598	-0,71964	-0,25224
15:28	-0,51196	0,59970	0,25224
15:34	-0,51196	-0,71964	-0,25224
15:40	0,51196	-0,71964	-0,25224
15:46	0,51196	-0,71964	0,25224
15:52	0,51196	-0,71964	0,37836
15:58	-0,76794	-0,71964	0,37836
16:04	0,76794	-0,71964	0,37836
16:10	-0,76794	-0,71964	-0,37836
16:16	-0,63995	-0,71964	0,37836
16:22	0,38397	-0,71964	-0,25224
16:28	-0,38397	-0,71964	0,25224
16:34	0,38397	0,71964	-0,25224
16:40	0,51196	-0,59970	-0,25224
16:46	-0,51196	-0,71964	-1,13510
16:52	0,63995	-0,71964	1,00900
16:58	-0,63995	-0,71964	1,13510
17:04	0,63995	-0,71964	1,13510
17:10	0,63995	-0,71964	-1,26120
17:16	-0,63995	-0,71964	-0,50448
17:22	0,63995	-0,71964	-0,25224
17:28	0,63995	0,71964	-0,25224
17:34	-0,76794	0,71964	-0,25224
17:40	0,63995	-0,59970	-0,88284
17:46	-0,63995	0,71964	-1,13510
17:52	-0,63995	-0,59970	-1,38730
17:58	-0,51196	-0,59970	-1,38730
18:04	0,63995	0,71964	-1,26120
18:10	0,51196	0,59970	-1,26120
18:16	-0,51196	-0,59970	-1,26120
18:22	-0,63995	-0,71964	-1,26120
18:28	0,63995	-0,59970	-1,13510
18:34	0,51196	0,71964	-1,13510
18:40	0,51196	-0,71964	-1,26120
18:46	-0,51196	0,83958	-1,13510
18:52	0,63995	0,95952	-1,00900
18:58	-0,51196	0,95952	-1,13510
19:04	0,51196	0,95952	-1,13510
19:10	-0,51196	0,95952	-1,00900
19:16	-0,51196	1,07950	-1,13510
19:22	-0,38397	1,07950	-1,13510

Time (hh:mm)	DEP-1 Calculated Field, (V/m)	DEP-2 Calculated Field, (V/m)	DEP-3 Calculated Field, (V/m)
19:28	0,38397	0,95952	-1,13510
19:34	0,51196	0,95952	-1,00900
19:40	-0,38397	1,07950	-1,00900
19:46	0,51196	0,95952	-1,00900
19:52	-0,51196	0,95952	-1,00900
19:58	0,38397	0,95952	-1,00900
20:04	0,38397	1,19940	-0,88284
20:10	0,38397	1,07950	-1,00900
20:16	0,38397	0,95952	-0,75672
20:22	-0,51196	0,95952	-0,75672
20:28	-0,38397	0,95952	-0,75672
20:34	0,51196	0,95952	-0,75672
20:40	0,38397	1,19940	-0,63060
20:46	0,38397	1,19940	-0,63060
20:52	-0,38397	1,07950	-0,63060
20:58	0,38397	1,19940	-0,63060
21:04	0,38397	1,19940	-0,50448
21:10	-0,51196	0,95952	-0,50448
21:16	0,38397	1,07950	-0,37836
21:22	0,38397	1,07950	-0,37836
21:28	-0,38397	1,07950	0,37836
21:34	0,51196	1,19940	-0,50448
21:40	-0,51196	-0,95952	-0,50448

Time (hh:mm)	DEP-1 Calculated Field, (V/m)	DEP-2 Calculated Field, (V/m)	DEP-3 Calculated Field, (V/m)
21:46	-0,51196	-0,95952	-0,50448
21:52	0,38397	-1,07950	-0,50448
21:58	-0,38397	-1,07950	-0,50448
22:04	0,51196	-0,95952	-0,50448
22:10	-0,38397	-0,95952	-0,50448
22:16	0,51196	-0,95952	0,50448
22:22	0,38397	-0,95952	-0,50448
22:28	0,38397	-0,95952	0,50448
22:34	0,25598	-0,95952	-0,37836
22:40	0,38397	-0,95952	-0,37836
22:46	-0,38397	-0,95952	-0,37836
22:52	0,38397	-1,07950	0,37836
22:58	-0,25598	-0,95952	0,37836
23:04	0,38397	-0,95952	0,37836
23:10	-0,25598	-0,95952	-0,37836
23:16	0,25598	-0,95952	-0,37836
23:22	0,25598	-0,95952	-0,37836
23:28	-0,25598	-0,95952	-0,37836
23:34	0,38397	-0,95952	-0,37836
23:40	0,25598	-0,95952	-0,37836
23:46	0,25598	-0,83958	-0,37836
23:52	-0,38397	-0,83958	-0,37836
23:58	-0,38397	-0,95952	-0,37836

Annex 33. Information from DEP-sensors for 19/09/00

Time (hh:mm)	DEP-1 Calculated Field, (V/m)	DEP-2 Calculated Field, (V/m)	DEP-3 Calculated Field, (V/m)
0:04	-0,25598	-0,83958	-0,37836
0:10	0,25598	-0,71964	-0,37836
0:16	-0,25598	-0,83958	-0,37836
0:22	-0,25598	-0,83958	0,37836
0:28	-0,25598	-0,83958	-0,37836
0:34	0,25598	0,83958	-0,37836
0:40	0,63995	-0,95952	-0,75672
0:46	-0,25598	-0,95952	-0,37836
0:52	0,25598	-0,95952	-0,37836
0:58	-0,12799	0,95952	0,63060
1:04	0,25598	-0,95952	-0,88284
1:10	22,14230	-0,95952	0,50448
1:16	15,35880	0,59970	-0,12612
1:22	22,14230	0,95952	0,37836
1:28	17,40660	0,95952	0,12612
1:34	15,35880	1,19940	0,12612
1:40	26,49390	0,95952	0,75672
1:46	43,13260	-0,71964	2,64850
1:52	45,82040	-0,95952	2,77460
1:58	33,78940	-1,43930	1,89180
2:04	31,86950	-1,19940	2,77460
2:10	19,58250	-2,27890	0,75672
2:16	16,38270	-2,27890	0,25224
2:22	7,67940	-2,15890	0,37836
2:28	6,78350	-2,15890	0,50448
2:34	3,32770	-2,03900	-0,63060
2:40	2,68780	-1,91900	-0,50448
2:46	1,79190	-1,67920	-0,63060
2:52	1,91980	-1,31930	-0,50448
2:58	1,02390	-1,19940	0,50448
3:04	-1,15190	-1,31930	-0,12612
3:10	-0,76794	-1,43930	0,50448
3:16	1,91980	-1,43930	-2,52240
3:22	-2,30380	-2,15890	0,63060
3:28	-2,30380	-2,27890	-0,75672
3:34	-2,43180	-2,27890	0,75672
3:40	-2,43180	-2,27890	0,75672
3:46	-1,27990	-2,27890	-0,75672
3:52	-2,43180	-2,27890	0,75672
3:58	-2,68780	-2,39880	0,88284
4:04	-4,22370	-2,99850	1,26120
4:10	-5,50360	-3,83810	-1,76570
4:16	-1,53590	-1,91900	0,37836
4:22	-0,89593	-1,43930	0,12612
4:28	1,02390	-1,79910	0,00000
4:34	0,76794	-1,19940	-0,50448
4:40	-0,76794	1,79910	-0,88284

Time (hh:mm)	DEP-1 Calculated Field, (V/m)	DEP-2 Calculated Field, (V/m)	DEP-3 Calculated Field, (V/m)
4:46	-0,76794	-1,31930	1,26120
4:52	-0,89593	-1,67920	1,00900
4:58	0,89593	-1,19940	-0,88284
5:04	-0,89593	-1,19940	0,50448
5:10	-0,89593	-1,07950	-0,25224
5:16	-0,89593	-1,07950	0,12612
5:22	-0,76794	-1,19940	-0,50448
5:28	-0,63995	-1,07950	-0,75672
5:34	-0,89593	-1,07950	-0,50448
5:40	-0,89593	1,07950	-0,25224
5:46	-0,89593	-0,95952	-0,12612
5:52	-0,76794	0,83958	0,00000
5:58	-0,76794	0,71964	0,00000
6:04	-0,63995	0,59970	0,00000
6:10	-0,63995	0,47976	0,12612
6:16	-0,38397	-0,35982	0,12612
6:22	-0,38397	0,35982	-0,12612
6:28	-0,25598	0,35982	0,12612
6:34	0,25598	0,35982	0,12612
6:40	0,25598	0,23988	0,12612
6:46	0,12799	0,23988	-0,12612
6:52	0,12799	0,23988	0,12612
6:58	-0,12799	0,35982	-0,12612
7:04	0,12799	0,35982	0,12612
7:10	0,12799	0,35982	0,12612
7:16	-0,12799	0,35982	-0,12612
7:22	0,12799	0,35982	0,12612
7:28	0,12799	0,35982	-0,12612
7:34	0,25598	0,35982	-0,12612
7:40	0,25598	0,35982	-0,12612
7:46	0,25598	0,35982	0,12612
7:52	0,38397	0,35982	-0,12612
7:58	0,25598	0,23988	-0,12612
8:04	-0,38397	0,23988	-0,88284
8:10	0,38397	-0,23988	0,50448
8:16	0,51196	0,23988	-0,12612
8:22	0,51196	0,35982	0,00000
8:28	0,63995	0,35982	0,00000
8:34	0,63995	0,35982	-0,12612
8:40	0,63995	0,35982	0,12612
8:46	0,76794	0,35982	0,12612
8:52	0,76794	0,35982	0,12612
8:58	0,76794	0,35982	0,12612
9:04	0,76794	0,35982	-0,12612
9:10	0,63995	0,35982	0,12612
9:16	0,63995	0,35982	0,12612
9:22	-0,51196	0,35982	-0,12612

Time (hh:mm)	DEP-1 Calculated Field, (V/m)	DEP-2 Calculated Field, (V/m)	DEP-3 Calculated Field, (V/m)
9:28	0,51196	0,47976	0,12612
9:34	-0,51196	0,47976	-0,12612
9:40	-0,51196	0,47976	0,12612
9:46	-0,38397	0,59970	-0,12612
9:52	-0,38397	0,71964	-0,12612
9:58	-0,51196	0,71964	-0,12612
10:04	-0,51196	-0,59970	-0,12612
10:10	-0,63995	0,83958	0,12612
10:16	-0,63995	0,71964	0,12612
10:22	-0,76794	0,71964	0,12612
10:28	-0,76794	0,71964	-0,12612
10:34	-0,76794	0,59970	-0,12612
10:40	-0,89593	0,59970	0,12612
10:46	-0,89593	0,35982	-0,12612
10:52	-0,89593	-0,47976	-0,12612
10:58	-0,89593	-0,47976	-0,12612
11:04	-0,89593	-0,47976	-0,12612
11:10	-0,89593	0,47976	-0,12612
11:16	-0,89593	0,47976	0,12612
11:22	-1,02390	-0,59970	0,12612
11:28	-1,02390	-0,59970	-0,12612
11:34	-1,02390	-0,47976	-0,12612
11:40	-1,02390	-0,47976	0,12612
11:46	-1,15190	-0,35982	0,12612
11:52	-1,15190	0,47976	0,12612
11:58	-1,15190	-0,35982	0,12612
12:04	-1,27990	-0,35982	-0,12612
12:10	-1,27990	0,35982	0,12612
12:16	-1,27990	0,35982	-0,12612
12:22	-1,27990	-0,35982	0,12612
12:28	-1,27990	-0,35982	0,12612
12:34	-1,27990	-0,47976	0,12612
12:40	-1,27990	-0,35982	0,12612
12:46	-1,27990	-0,35982	0,12612
12:52	-1,27990	-0,35982	0,12612
12:58	-1,27990	-0,35982	0,12612
13:04	-1,27990	-0,35982	0,12612
13:10	-1,27990	-0,35982	0,12612
13:16	-1,27990	0,47976	-0,12612
13:22	-1,40790	0,35982	-0,12612
13:28	-1,40790	-0,35982	0,12612
13:34	-1,40790	-0,47976	0,12612
13:40	-1,40790	0,35982	0,12612
13:46	-1,40790	-0,47976	0,12612
13:52	-1,40790	-0,47976	-0,12612
13:58	-1,40790	-0,35982	-0,12612
14:04	-1,40790	-0,35982	-0,12612
14:10	-1,40790	-0,47976	-0,12612
14:16	-1,40790	-0,47976	0,12612
14:22	-1,40790	-0,47976	-0,12612

Time (hh:mm)	DEP-1 Calculated Field, (V/m)	DEP-2 Calculated Field, (V/m)	DEP-3 Calculated Field, (V/m)
14:28	-1,40790	-0,47976	0,12612
14:34	-1,40790	0,47976	0,12612
14:40	-1,40790	-0,47976	0,12612
14:46	-1,27990	-0,47976	0,12612
14:52	-1,27990	-0,47976	-0,12612
14:58	-1,15190	0,47976	0,12612
15:04	-0,89593	-0,35982	-0,12612
15:10	-0,89593	-0,47976	-0,12612
15:16	0,25598	0,35982	0,12612
15:22	-0,12799	-0,47976	0,12612
15:28	-0,51196	-0,35982	-0,12612
15:34	-0,38397	-0,47976	0,12612
15:40	0,38397	-0,47976	-0,25224
15:46	0,51196	-0,47976	0,25224
15:52	-0,51196	-0,47976	0,25224
15:58	0,63995	0,47976	0,25224
16:04	-0,76794	-0,47976	0,25224
16:10	0,76794	0,47976	0,25224
16:16	0,63995	-0,47976	0,25224
16:22	-0,25598	-0,47976	-0,25224
16:28	0,38397	0,47976	-0,25224
16:34	0,38397	-0,59970	0,25224
16:40	0,51196	0,47976	-0,25224
16:46	-0,38397	-0,47976	-1,13510
16:52	-0,38397	-0,59970	-1,13510
16:58	-0,51196	-0,59970	1,13510
17:04	-0,51196	-0,47976	1,13510
17:10	-0,51196	0,47976	-1,26120
17:16	0,63995	-0,59970	0,37836
17:22	0,51196	0,59970	-0,25224
17:28	-0,51196	0,59970	0,25224
17:34	0,76794	-0,47976	0,37836
17:40	-0,51196	0,47976	0,88284
17:46	0,51196	-0,47976	-1,13510
17:52	-0,51196	0,47976	-1,26120
17:58	0,63995	-0,59970	-1,26120
18:04	-0,51196	0,47976	-1,26120
18:10	-0,51196	-0,47976	-1,26120
18:16	0,38397	-0,47976	-1,26120
18:22	-0,51196	-0,47976	-1,13510
18:28	0,51196	-0,59970	-1,13510
18:34	-0,51196	0,59970	-1,13510
18:40	0,51196	-0,71964	-1,13510
18:46	0,63995	0,59970	-1,13510
18:52	-0,51196	0,83958	-1,13510
18:58	-0,38397	0,83958	-1,00900
19:04	0,51196	0,95952	-1,13510
19:10	-0,51196	0,95952	-1,00900
19:16	0,51196	0,95952	-1,13510
19:22	-0,38397	0,95952	-0,88284

Time (hh:mm)	DEP-1 Calculated Field, (V/m)	DEP-2 Calculated Field, (V/m)	DEP-3 Calculated Field, (V/m)
19:28	-0,25598	0,95952	-1,13510
19:34	0,38397	0,95952	-1,00900
19:40	0,38397	1,07950	-1,00900
19:46	0,38397	0,95952	-0,88284
19:52	-0,38397	0,95952	-1,00900
19:58	0,25598	0,95952	-1,00900
20:04	0,51196	0,95952	-1,00900
20:10	-0,51196	0,95952	0,75672
20:16	0,38397	0,95952	-0,88284
20:22	0,38397	0,95952	-0,88284
20:28	-0,38397	1,19940	-0,75672
20:34	-0,38397	0,95952	-0,88284
20:40	0,25598	-1,19940	-0,75672
20:46	-0,38397	0,95952	-0,63060
20:52	0,25598	0,95952	-0,63060
20:58	0,25598	0,95952	-0,63060
21:04	-0,38397	0,95952	-0,50448
21:10	0,25598	0,95952	-0,50448
21:16	0,25598	0,95952	-0,50448
21:22	-0,38397	0,83958	-0,50448
21:28	-0,38397	-0,71964	-0,50448
21:34	-0,38397	-0,71964	-0,50448
21:40	-0,38397	-0,83958	-0,50448

Time (hh:mm)	DEP-1 Calculated Field, (V/m)	DEP-2 Calculated Field, (V/m)	DEP-3 Calculated Field, (V/m)
21:46	0,38397	-0,95952	0,50448
21:52	-0,38397	-0,95952	-0,50448
21:58	-0,76794	-0,95952	-1,63960
22:04	0,63995	-0,95952	-1,26120
22:10	-0,89593	-1,19940	-1,51340
22:16	-1,02390	-1,19940	-1,38730
22:22	1,02390	-1,19940	-1,51340
22:28	-1,15190	-1,07950	-1,63960
22:34	-1,27990	1,19940	-1,38730
22:40	-1,27990	-1,07950	-1,63960
22:46	-1,27990	-1,07950	-1,38730
22:52	1,02390	-1,07950	-1,76570
22:58	-1,27990	-1,07950	-1,63960
23:04	-1,27990	1,19940	-1,51340
23:10	-0,38397	0,83958	-0,50448
23:16	-0,51196	-0,83958	0,63060
23:22	0,51196	-0,95952	0,50448
23:28	-0,51196	-0,83958	0,50448
23:34	0,63995	-0,83958	-0,50448
23:40	-0,63995	-0,83958	-0,50448
23:46	0,51196	-0,83958	0,50448
23:52	-0,63995	-0,71964	-0,37836
23:58	0,63995	-0,71964	-0,37836

Annex 34. Information from DEP-sensors for 24/09/00

Time (hh:mm)	DEP-1 Calculated Field, (V/m)	DEP-2 Calculated Field, (V/m)	DEP-3 Calculated Field, (V/m)
0:05	-0,25598	-0,95952	-0,37836
0:11	-0,25598	-0,83958	0,37836
0:17	0,12799	-0,71964	0,37836
0:23	-0,12799	0,59970	-0,37836
0:29	-0,12799	-0,71964	0,25224
0:35	-0,25598	-0,71964	0,25224
0:41	-0,12799	-0,83958	-0,37836
0:47	-0,12799	0,95952	-0,37836
0:53	-0,12799	-0,95952	-0,37836
0:59	0,25598	-0,95952	0,37836
1:05	-0,25598	-0,83958	-0,37836
1:11	-0,12799	-0,95952	-0,37836
1:17	0,12799	0,83958	0,37836
1:23	0,12799	1,19940	-0,37836
1:29	-0,25598	1,19940	-0,50448
1:35	0,25598	0,95952	-0,50448
1:41	0,25598	-0,95952	-0,37836
1:47	0,25598	1,19940	-0,50448
1:53	0,25598	-1,07950	-0,50448
1:59	-0,25598	1,07950	-0,50448
2:05	-0,12799	-1,79910	-0,50448
2:11	0,12799	1,79910	-0,50448
2:17	-0,12799	-1,19940	-0,50448
2:23	0,12799	-1,67920	0,50448
2:29	-0,25598	1,55920	0,37836
2:35	0,25598	-1,19940	-0,12612
2:41	0,25598	-1,19940	0,12612
2:47	0,25598	-1,07950	-0,12612
2:53	0,25598	-1,07950	-0,12612
2:59	0,12799	-1,07950	0,12612
3:05	-0,38397	0,83958	0,25224
3:11	-0,38397	0,95952	0,75672
3:17	-0,51196	0,95952	0,25224
3:23	0,38397	1,07950	0,25224
3:29	-0,51196	0,95952	0,25224
3:35	-0,63995	-0,95952	0,25224
3:41	0,63995	1,07950	0,25224
3:47	0,63995	1,07950	0,25224
3:53	1,02390	1,07950	-0,25224
3:59	-1,02390	1,07950	0,25224
4:05	-1,02390	-1,07950	0,25224
4:11	1,02390	0,95952	0,25224
4:17	1,02390	-0,95952	0,12612
4:23	0,51196	0,95952	0,12612
4:29	0,76794	-0,83958	-0,12612
4:35	-0,76794	0,95952	0,12612
4:41	-0,76794	0,83958	0,12612

Time (hh:mm)	DEP-1 Calculated Field, (V/m)	DEP-2 Calculated Field, (V/m)	DEP-3 Calculated Field, (V/m)
4:47	0,76794	-0,83958	0,12612
4:53	-0,76794	-0,83958	0,12612
4:59	0,63995	0,71964	0,12612
5:05	-0,63995	0,71964	0,12612
5:11	-0,63995	0,71964	-0,12612
5:17	0,63995	0,59970	0,12612
5:23	-0,51196	0,59970	0,12612
5:29	-0,51196	0,59970	0,12612
5:35	0,51196	0,59970	0,12612
5:41	-0,38397	0,47976	0,12612
5:47	-0,51196	0,47976	0,12612
5:53	-0,38397	0,47976	-0,12612
5:59	-0,38397	0,47976	0,12612
6:05	0,38397	0,47976	0,12612
6:11	-0,38397	0,47976	0,12612
6:17	0,38397	0,35982	0,12612
6:23	0,38397	0,35982	0,12612
6:29	-0,38397	0,35982	-0,12612
6:35	0,38397	0,35982	0,12612
6:41	-0,38397	0,35982	0,12612
6:47	-0,51196	0,35982	0,12612
6:53	0,51196	0,47976	0,12612
6:59	-0,51196	0,47976	0,12612
7:05	0,51196	0,47976	0,12612
7:11	0,51196	0,47976	0,12612
7:17	0,51196	0,47976	0,12612
7:23	0,51196	0,47976	-0,12612
7:29	0,51196	0,47976	0,12612
7:35	0,51196	0,47976	0,12612
7:41	0,63995	0,47976	0,12612
7:47	0,63995	0,47976	0,12612
7:53	0,63995	0,35982	0,12612
7:59	0,63995	0,35982	-0,12612
8:05	0,63995	0,47976	0,12612
8:11	0,63995	0,35982	0,12612
8:17	0,63995	0,47976	0,12612
8:23	0,76794	0,47976	0,12612
8:29	0,76794	0,47976	0,12612
8:35	0,76794	0,35982	-0,12612
8:41	0,76794	0,35982	0,12612
8:47	0,76794	0,35982	0,12612
8:53	0,76794	0,35982	0,12612
8:59	0,76794	0,35982	0,12612
9:05	0,76794	0,35982	-0,12612
9:11	0,63995	0,47976	0,12612
9:17	0,63995	0,35982	0,12612
9:23	0,63995	0,47976	0,12612

Time (hh:mm)	DEP-1 Calculated Field, (V/m)	DEP-2 Calculated Field, (V/m)	DEP-3 Calculated Field, (V/m)
9:29	0,51196	0,47976	-0,12612
9:35	-0,51196	0,47976	0,12612
9:41	-0,51196	0,47976	0,12612
9:47	-0,51196	0,71964	0,12612
9:53	-0,51196	0,83958	-0,12612
9:59	-0,63995	0,95952	0,12612
10:05	-0,63995	0,59970	0,12612
10:11	-0,63995	0,83958	0,12612
10:17	-0,63995	0,59970	0,12612
10:23	-0,76794	0,83958	-0,12612
10:29	-0,76794	0,71964	-0,12612
10:35	-0,76794	0,71964	0,12612
10:41	-0,76794	0,83958	0,12612
10:47	-0,76794	0,83958	-0,12612
10:53	-0,76794	-0,71964	-0,12612
10:59	-0,76794	-0,59970	0,12612
11:05	-0,76794	0,71964	0,12612
11:11	-0,76794	0,71964	0,12612
11:17	-0,76794	0,71964	0,12612
11:23	-0,76794	0,83958	0,12612
11:29	-0,89593	-0,71964	0,12612
11:35	-0,89593	-0,71964	0,12612
11:41	-0,89593	-0,47976	0,12612
11:47	-0,89593	0,59970	-0,12612
11:53	-1,02390	-0,47976	0,12612
11:59	-1,02390	-0,47976	0,12612
12:05	-1,02390	-0,47976	0,12612
12:11	-1,02390	-0,35982	-0,12612
12:17	-1,02390	0,47976	0,12612
12:23	-1,15190	-0,35982	0,12612
12:29	-1,15190	-0,47976	0,12612
12:35	-1,15190	-0,35982	0,12612
12:41	-1,15190	-0,35982	0,12612
12:47	-1,15190	-0,35982	0,12612
12:53	-1,15190	0,47976	-0,12612
12:59	-1,15190	-0,47976	0,12612
13:05	-1,15190	-0,47976	-0,12612
13:11	-1,15190	-0,35982	-0,12612
13:17	-1,15190	-0,35982	-0,12612
13:23	-1,15190	0,35982	-0,12612
13:29	-1,27990	-0,47976	-0,12612
13:35	-1,27990	-0,47976	-0,12612
13:41	-1,27990	0,47976	0,12612
13:47	-1,27990	-0,47976	-0,12612
13:53	-1,27990	-0,47976	0,12612
13:59	-1,27990	0,47976	0,12612
14:05	-1,27990	-0,47976	-0,12612
14:11	-1,27990	-0,47976	-0,12612
14:17	-1,27990	-0,47976	0,12612
14:23	-1,27990	-0,47976	0,12612

Time (hh:mm)	DEP-1 Calculated Field, (V/m)	DEP-2 Calculated Field, (V/m)	DEP-3 Calculated Field, (V/m)
14:29	-1,27990	0,59970	-0,12612
14:35	-1,15190	-0,47976	-0,12612
14:41	-1,15190	-0,47976	0,12612
14:47	-1,02390	-0,47976	-0,12612
14:53	-1,02390	-0,47976	-0,12612
14:59	-1,02390	-0,47976	-0,12612
15:05	-1,15190	-0,47976	-0,12612
15:11	-0,38397	0,47976	0,12612
15:17	-0,51196	-0,47976	0,12612
15:23	0,51196	-0,47976	0,12612
15:29	0,51196	-0,47976	0,12612
15:35	-0,38397	-0,47976	0,12612
15:41	0,51196	-0,47976	0,25224
15:47	0,38397	-0,47976	0,37836
15:53	-0,38397	0,47976	0,37836
15:59	0,38397	-0,47976	-0,25224
16:05	0,25598	-0,47976	0,25224
16:11	-0,25598	-0,47976	0,25224
16:17	-0,25598	-0,47976	0,25224
16:23	-0,38397	-0,47976	-0,25224
16:29	-0,76794	-0,47976	0,25224
16:35	-0,63995	-0,47976	0,25224
16:41	-0,51196	0,47976	-0,25224
16:47	0,12799	-0,59970	0,25224
16:53	-0,12799	-0,59970	-0,25224
16:59	0,12799	0,59970	-0,25224
17:05	0,00000	-0,59970	0,25224
17:11	-0,12799	-0,59970	-1,13510
17:17	0,12799	0,71964	1,00900
17:23	-0,12799	-0,71964	1,00900
17:29	0,12799	-0,59970	0,25224
17:35	0,12799	0,59970	-0,25224
17:41	-0,12799	0,71964	-0,25224
17:47	-0,12799	-0,71964	0,25224
17:53	0,12799	0,59970	-0,37836
17:59	0,12799	0,71964	-0,75672
18:05	0,12799	0,59970	1,00900
18:11	-0,12799	0,59970	-1,13510
18:17	0,12799	-0,59970	-1,13510
18:23	0,25598	-0,71964	-1,13510
18:29	-0,25598	-0,71964	-1,13510
18:35	-0,25598	0,71964	-1,13510
18:41	-0,38397	0,83958	-1,13510
18:47	-0,25598	0,83958	-1,13510
18:53	0,25598	0,83958	-1,13510
18:59	0,25598	0,95952	-1,13510
19:05	0,25598	0,95952	-1,00900
19:11	0,25598	0,95952	-1,13510
19:17	-0,12799	0,95952	-1,00900
19:23	0,12799	0,95952	-1,13510

Time (hh:mm)	DEP-1 Calculated Field, (V/m)	DEP-2 Calculated Field, (V/m)	DEP-3 Calculated Field, (V/m)
19:29	-0,12799	0,95952	-1,00900
19:35	0,12799	0,95952	-1,00900
19:41	0,12799	0,95952	-1,00900
19:47	0,25598	0,95952	-0,88284
19:53	-0,25598	0,95952	-0,88284
19:59	0,38397	1,19940	-0,88284
20:05	-0,38397	0,95952	-0,88284
20:11	0,38397	1,19940	-0,75672
20:17	0,38397	0,95952	0,75672
20:23	0,38397	1,07950	-0,75672
20:29	0,38397	1,19940	-0,63060
20:35	0,38397	1,19940	-0,63060
20:41	0,38397	-1,31930	-0,50448
20:47	0,38397	1,07950	-0,50448
20:53	0,38397	1,31930	-0,50448
20:59	0,38397	1,07950	-0,50448
21:05	0,38397	1,07950	-0,37836
21:11	0,25598	1,07950	-0,50448
21:17	0,25598	1,07950	-0,50448
21:23	0,25598	0,95952	-0,50448
21:29	0,25598	0,95952	-0,50448
21:35	-0,12799	-0,95952	-0,50448
21:41	0,12799	-1,07950	-0,37836

Time (hh:mm)	DEP-1 Calculated Field, (V/m)	DEP-2 Calculated Field, (V/m)	DEP-3 Calculated Field, (V/m)
21:47	-0,12799	-0,95952	-0,25224
21:53	0,12799	-1,07950	-0,25224
21:59	-0,12799	-0,95952	0,25224
22:05	-0,25598	-1,43930	-0,25224
22:11	-0,76794	-1,19940	-0,50448
22:17	-0,89593	-1,43930	0,50448
22:23	-0,89593	-1,19940	-0,50448
22:29	-0,89593	-1,55920	-0,63060
22:35	-0,89593	-1,55920	-0,63060
22:41	-0,89593	-1,19940	-0,63060
22:47	-0,38397	-0,95952	-0,50448
22:53	-0,12799	0,95952	-0,63060
22:59	-0,12799	-0,95952	0,63060
23:05	0,25598	0,83958	-0,75672
23:11	0,25598	0,83958	0,75672
23:17	0,25598	0,83958	-0,63060
23:23	-0,25598	0,83958	-0,63060
23:29	-0,12799	-0,83958	0,50448
23:35	0,25598	-0,83958	0,63060
23:41	-0,12799	0,83958	-0,50448
23:47	-0,25598	-0,83958	-0,50448
23:53	-0,12799	-0,83958	-0,37836
23:59	-0,12799	-0,83958	0,37836

Annex 35. Information from DEP-sensors for 25/09/00

Time (hh:mm)	DEP-1 Calculated Field, (V/m)	DEP-2 Calculated Field, (V/m)	DEP-3 Calculated Field, (V/m)
0:05	-0,25598	-0,83958	-0,37836
0:11	-0,12799	0,83958	-0,37836
0:17	0,51196	-0,95952	-0,75672
0:23	1,40790	-0,95952	-0,75672
0:29	0,76794	0,95952	-0,75672
0:35	0,63995	-0,83958	-0,75672
0:41	-0,12799	-0,83958	-0,50448
0:47	0,12799	0,83958	-0,63060
0:53	0,12799	0,95952	-0,50448
0:59	-0,12799	0,95952	-0,37836
1:05	-0,12799	-0,83958	-0,37836
1:11	0,12799	-0,83958	-0,50448
1:17	-0,25598	0,83958	-0,63060
1:23	2,04780	0,95952	-0,25224
1:29	12,03110	0,95952	0,75672
1:35	12,03110	0,95952	0,63060
1:41	15,35880	0,83958	1,00900
1:47	7,80740	1,55920	-0,25224
1:53	4,73560	-1,31930	-1,26120
1:59	1,91980	-1,67920	1,26120
2:05	2,55980	-2,39880	-1,13510
2:11	3,32770	-2,39880	-0,75672
2:17	2,17580	-2,27890	-0,50448
2:23	2,17580	-2,27890	-0,37836
2:29	3,32770	-2,27890	-0,12612
2:35	1,91980	-2,27890	0,00000
2:41	-0,63995	-2,15890	-0,12612
2:47	0,89593	-2,15890	-0,12612
2:53	-0,89593	-2,03900	-0,12612
2:59	0,63995	-1,79910	-0,12612
3:05	-2,30380	-2,27890	-0,88284
3:11	-2,43180	-2,39880	3,53140
3:17	-2,68780	-2,51870	0,88284
3:23	-2,68780	-3,23840	1,13510
3:29	-2,68780	-3,47830	1,38730
3:35	-6,27150	-4,43780	1,89180
3:41	-5,88750	-5,15740	2,52240
3:47	-10,75120	-5,87710	3,40520
3:53	12,79900	-5,63720	3,65750
3:59	-15,35880	-6,35680	3,78360
4:05	-15,35880	-5,87710	-3,78360
4:11	-5,24760	-2,63870	1,00900
4:17	0,51196	-2,15890	-0,50448
4:23	0,25598	-2,27890	-0,75672
4:29	0,76794	-2,03900	-0,37836
4:35	0,76794	-2,15890	-1,76570
4:41	-0,89593	-2,15890	-2,14400

Time (hh:mm)	DEP-1 Calculated Field, (V/m)	DEP-2 Calculated Field, (V/m)	DEP-3 Calculated Field, (V/m)
4:47	-1,02390	-2,03900	-1,26120
4:53	-1,02390	-1,91900	0,50448
4:59	-1,02390	-1,91900	0,37836
5:05	-0,89593	-2,03900	1,00900
5:11	-0,89593	-1,31930	0,63060
5:17	-0,89593	-1,31930	0,37836
5:23	-0,76794	-1,19940	-0,37836
5:29	-0,89593	-1,19940	0,25224
5:35	-1,02390	-1,19940	0,12612
5:41	-1,02390	-1,07950	0,12612
5:47	-1,02390	-1,07950	-0,12612
5:53	1,02390	-1,07950	0,12612
5:59	-0,89593	0,95952	0,00000
6:05	-0,89593	-0,83958	0,00000
6:11	0,76794	0,59970	0,00000
6:17	-0,63995	0,35982	0,00000
6:23	-0,63995	0,35982	0,12612
6:29	-0,51196	0,35982	0,12612
6:35	0,51196	0,23988	0,12612
6:41	0,38397	0,35982	-0,12612
6:47	-0,38397	0,35982	0,12612
6:53	-0,38397	0,47976	0,12612
6:59	-0,38397	0,47976	0,12612
7:05	0,38397	-0,47976	0,12612
7:11	-0,38397	0,47976	-0,12612
7:17	-0,25598	0,47976	0,12612
7:23	-0,25598	0,59970	-0,12612
7:29	-0,25598	0,47976	0,12612
7:35	-0,38397	0,47976	0,12612
7:41	0,38397	0,47976	0,12612
7:47	0,51196	0,47976	0,12612
7:53	-0,51196	0,35982	-0,12612
7:59	0,51196	0,47976	0,12612
8:05	0,51196	0,47976	-0,12612
8:11	0,51196	0,47976	0,12612
8:17	0,63995	0,47976	-0,12612
8:23	0,63995	0,47976	-0,12612
8:29	0,63995	0,47976	0,12612
8:35	0,63995	0,35982	0,12612
8:41	0,63995	0,35982	0,12612
8:47	0,76794	0,35982	0,12612
8:53	0,76794	0,35982	0,12612
8:59	0,76794	0,35982	0,12612
9:05	0,63995	0,35982	0,12612
9:11	0,63995	0,47976	0,12612
9:17	0,51196	0,47976	0,12612
9:23	0,51196	0,47976	0,12612

Time (hh:mm)	DEP-1 Calculated Field, (V/m)	DEP-2 Calculated Field, (V/m)	DEP-3 Calculated Field, (V/m)
9:29	-0,51196	0,47976	0,12612
9:35	-0,51196	0,47976	0,12612
9:41	-0,51196	0,59970	-0,12612
9:47	-0,51196	0,59970	0,12612
9:53	0,51196	0,71964	0,12612
9:59	-0,63995	0,95952	0,12612
10:05	-0,63995	-0,47976	0,12612
10:11	-0,63995	-0,83958	-0,12612
10:17	-0,76794	0,71964	0,12612
10:23	-0,76794	0,71964	-0,12612
10:29	-0,89593	0,71964	0,00000
10:35	-0,89593	0,71964	0,00000
10:41	-0,89593	-0,23988	0,12612
10:47	-0,76794	0,59970	-0,12612
10:53	-0,76794	0,47976	-0,12612
10:59	-0,76794	0,47976	0,12612
11:05	-0,76794	0,59970	0,12612
11:11	-0,76794	0,59970	0,12612
11:17	-0,76794	-0,71964	0,12612
11:23	-0,89593	-0,71964	0,12612
11:29	-0,89593	-0,59970	0,12612
11:35	-0,89593	-0,59970	0,12612
11:41	-0,89593	0,47976	-0,12612
11:47	-0,89593	-0,59970	-0,12612
11:53	-1,02390	-0,47976	-0,12612
11:59	-1,02390	-0,35982	0,12612
12:05	-1,02390	-0,35982	0,12612
12:11	-1,15190	-0,35982	0,12612
12:17	-1,15190	-0,47976	0,12612
12:23	-1,15190	-0,47976	-0,12612
12:29	-1,15190	-0,35982	0,12612
12:35	-1,15190	-0,35982	0,12612
12:41	-1,15190	0,35982	0,12612
12:47	-1,15190	-0,35982	0,12612
12:53	-1,15190	-0,35982	0,12612
12:59	-1,15190	0,35982	0,12612
13:05	-1,15190	-0,35982	0,12612
13:11	-1,15190	-0,47976	-0,12612
13:17	-1,15190	-0,35982	-0,12612
13:23	-1,27990	-0,35982	0,12612
13:29	-1,27990	-0,47976	-0,12612
13:35	-1,27990	-0,35982	-0,12612
13:41	-1,27990	-0,35982	0,12612
13:47	-1,27990	-0,47976	0,12612
13:53	-1,27990	0,35982	0,12612
13:59	-1,27990	-0,35982	0,12612
14:05	-1,27990	-0,47976	-0,12612
14:11	-1,27990	-0,47976	0,12612
14:17	-1,27990	-0,47976	-0,25224
14:23	-1,15190	-0,47976	0,12612

Time (hh:mm)	DEP-1 Calculated Field, (V/m)	DEP-2 Calculated Field, (V/m)	DEP-3 Calculated Field, (V/m)
14:29	-1,15190	0,35982	0,25224
14:35	-1,15190	-0,47976	-0,25224
14:41	-1,15190	-0,47976	0,12612
14:47	-1,15190	0,47976	0,25224
14:53	-1,15190	-0,47976	-0,25224
14:59	-1,15190	-0,47976	0,25224
15:05	-1,15190	0,47976	0,25224
15:11	-0,51196	-0,47976	0,25224
15:17	-0,51196	0,47976	-0,25224
15:23	0,63995	-0,35982	0,25224
15:29	0,63995	-0,35982	0,25224
15:35	0,63995	-0,47976	0,25224
15:41	0,51196	-0,47976	-0,37836
15:47	-0,38397	-0,47976	0,37836
15:53	0,38397	0,47976	0,37836
15:59	0,38397	-0,47976	0,37836
16:05	0,25598	0,47976	-0,37836
16:11	0,38397	0,47976	-0,37836
16:17	-0,38397	-0,47976	0,37836
16:23	-0,38397	0,47976	0,25224
16:29	-0,38397	-0,47976	0,25224
16:35	0,51196	-0,59970	0,25224
16:41	-0,51196	-0,59970	-0,25224
16:47	-0,38397	-0,59970	0,25224
16:53	-0,38397	-0,59970	0,25224
16:59	0,25598	0,59970	0,25224
17:05	-0,12799	-0,59970	-0,25224
17:11	0,12799	-0,59970	-1,13510
17:17	0,12799	0,59970	-1,13510
17:23	0,12799	-0,59970	1,00900
17:29	-0,12799	-0,71964	0,25224
17:35	-0,12799	0,59970	0,25224
17:41	-0,12799	0,71964	0,25224
17:47	-0,25598	0,71964	-0,25224
17:53	-0,25598	0,71964	0,37836
17:59	-0,25598	-0,59970	0,63060
18:05	-0,38397	-0,59970	-0,88284
18:11	0,38397	-0,59970	-1,00900
18:17	0,38397	0,59970	-1,13510
18:23	-0,51196	0,71964	-1,13510
18:29	0,51196	-0,71964	-1,13510
18:35	-0,38397	-0,71964	-1,13510
18:41	-0,51196	0,83958	-1,13510
18:47	-0,51196	0,83958	-1,13510
18:53	0,38397	0,95952	-1,13510
18:59	0,38397	0,95952	-1,00900
19:05	0,38397	0,95952	-1,00900
19:11	0,38397	0,95952	-1,00900
19:17	-0,38397	0,95952	-1,00900
19:23	0,38397	0,95952	-1,00900

Time (hh:mm)	DEP-1 Calculated Field, (V/m)	DEP-2 Calculated Field, (V/m)	DEP-3 Calculated Field, (V/m)
19:29	-0,25598	0,95952	-1,00900
19:35	-0,25598	0,95952	-1,00900
19:41	-0,25598	0,95952	-1,00900
19:47	0,25598	0,95952	-1,00900
19:53	-0,25598	1,31930	-1,00900
19:59	-0,25598	0,95952	-0,88284
20:05	-0,25598	-0,95952	-0,88284
20:11	0,25598	0,95952	-0,88284
20:17	-0,25598	1,19940	-0,75672
20:23	0,25598	1,07950	-0,75672
20:29	-0,38397	1,19940	-0,63060
20:35	0,38397	0,95952	-0,63060
20:41	0,38397	0,83958	-0,50448
20:47	-0,38397	0,95952	-0,50448
20:53	0,38397	1,43930	-0,50448
20:59	0,38397	1,43930	-0,50448
21:05	0,38397	1,31930	-0,50448
21:11	0,38397	1,19940	0,50448
21:17	0,38397	1,31930	-0,63060
21:23	0,51196	0,95952	0,63060
21:29	0,38397	-1,43930	-0,50448
21:35	0,25598	-1,31930	-0,50448
21:41	-0,25598	-0,95952	-0,50448

Time (hh:mm)	DEP-1 Calculated Field, (V/m)	DEP-2 Calculated Field, (V/m)	DEP-3 Calculated Field, (V/m)
21:47	-0,25598	-1,19940	-0,37836
21:53	0,25598	1,19940	-0,25224
21:59	-0,25598	-1,19940	-0,25224
22:05	0,38397	-1,07950	0,37836
22:11	-0,76794	-1,31930	-0,50448
22:17	-0,89593	-1,43930	-0,50448
22:23	-0,89593	-1,55920	-0,50448
22:29	-0,89593	-1,55920	-0,63060
22:35	-0,89593	1,55920	-0,63060
22:41	-0,51196	-1,07950	-0,50448
22:47	0,25598	-0,95952	-0,63060
22:53	-0,25598	-0,95952	0,63060
22:59	-0,25598	-0,95952	-0,50448
23:05	-0,38397	-0,95952	0,50448
23:11	-0,25598	-0,95952	-0,63060
23:17	-0,25598	0,83958	-0,63060
23:23	-0,25598	0,83958	-0,63060
23:29	0,25598	-0,95952	0,63060
23:35	-0,25598	-0,95952	-0,50448
23:41	0,25598	-0,83958	0,37836
23:47	2,43180	-0,95952	-0,75672
23:53	3,07180	0,59970	-0,75672
23:59	14,46290	0,71964	-0,75672

Annex 36. Information from DEP-sensors for 28/09/00

Time (hh:mm)	DEP-1 Calculated Field, (V/m)	DEP-2 Calculated Field, (V/m)	DEP-3 Calculated Field, (V/m)
0:05	0,38397	-0,71964	0,37836
0:11	-0,38397	-0,83958	0,37836
0:17	0,38397	-0,71964	-0,50448
0:23	-0,38397	-0,71964	0,37836
0:29	-0,38397	0,83958	-0,37836
0:35	0,38397	0,83958	0,37836
0:41	0,38397	0,83958	-0,37836
0:47	0,25598	0,95952	-0,37836
0:53	0,25598	-0,95952	0,37836
0:59	0,25598	1,07950	-0,37836
1:05	-0,25598	0,83958	-0,37836
1:11	-0,51196	-1,07950	-1,00900
1:17	-0,25598	-1,07950	-1,13510
1:23	4,47960	1,07950	-0,25224
1:29	10,75120	1,31930	0,12612
1:35	33,78940	1,07950	3,02690
1:41	40,57280	0,71964	4,79260
1:47	35,96520	-1,07950	4,79260
1:53	26,49390	-1,55920	3,15300
1:59	19,58250	-1,31930	1,76570
2:05	13,56690	-2,39880	0,50448
2:11	8,31940	-2,27890	-0,25224
2:17	3,71170	-2,27890	-0,37836
2:23	2,94380	-2,15890	0,50448
2:29	1,53590	-2,03900	-0,50448
2:35	1,53590	-2,03900	-0,12612
2:41	-1,02390	-2,03900	-0,12612
2:47	0,76794	-1,31930	-0,12612
2:53	0,89593	-1,19940	0,12612
2:59	-0,76794	-1,07950	-0,12612
3:05	1,02390	-1,19940	-0,50448
3:11	-1,66390	-1,31930	-1,76570
3:17	-2,04780	-2,15890	0,63060
3:23	-1,79190	-2,15890	0,63060
3:29	1,53590	-2,03900	0,63060
3:35	-1,27990	-1,91900	-0,50448
3:41	-1,15190	-2,03900	-0,50448
3:47	-1,66390	-2,03900	0,63060
3:53	-1,91980	-2,03900	-0,50448
3:59	-2,68780	-2,15890	-0,75672
4:05	-3,07180	-2,27890	-0,88284
4:11	-1,27990	-0,95952	0,25224
4:17	-1,27990	-0,95952	0,12612
4:23	-0,38397	-0,95952	-0,12612
4:29	-1,02390	-0,95952	0,12612
4:35	1,02390	0,95952	0,12612
4:41	-0,89593	0,95952	0,12612

Time (hh:mm)	DEP-1 Calculated Field, (V/m)	DEP-2 Calculated Field, (V/m)	DEP-3 Calculated Field, (V/m)
4:47	0,51196	-1,91900	-0,63060
4:53	3,58370	-2,15890	-4,03580
4:59	5,75950	-2,15890	6,43210
5:05	8,44730	-2,03900	-8,57620
5:11	7,29540	-2,03900	8,19780
5:17	5,88750	-2,03900	-8,19780
5:23	5,37560	-1,31930	7,81940
5:29	4,47960	-1,31930	7,18880
5:35	6,52750	-1,07950	8,82840
5:41	8,70330	-1,07950	11,85530
5:47	7,80740	-1,07950	10,59410
5:53	6,39950	-1,07950	11,22470
5:59	5,63160	-1,07950	-9,96350
6:05	5,24760	-0,95952	11,85530
6:11	4,22370	-0,95952	11,85530
6:17	2,94380	-0,95952	-9,08060
6:23	1,27990	-0,95952	-7,56720
6:29	0,89593	-0,95952	-6,17990
6:35	1,02390	0,59970	7,18880
6:41	1,66390	0,47976	-10,59410
6:47	3,96770	1,07950	-15,13440
6:53	4,86360	1,19940	17,15230
6:59	3,71170	0,95952	16,14340
7:05	2,30380	0,83958	13,36870
7:11	1,53590	0,71964	-11,22470
7:17	1,15190	0,47976	-9,96350
7:23	-1,02390	0,47976	7,69330
7:29	0,89593	0,71964	8,82840
7:35	1,15190	0,71964	9,08060
7:41	-0,89593	0,59970	-10,59410
7:47	-0,38397	0,59970	-8,45000
7:53	-0,51196	0,47976	5,92760
7:59	-0,63995	0,35982	-3,15300
8:05	-0,63995	0,23988	-2,01790
8:11	-0,63995	0,35982	-1,38730
8:17	-0,51196	0,35982	1,00900
8:23	-0,51196	0,35982	0,75672
8:29	-0,51196	0,35982	-0,50448
8:35	-0,51196	0,47976	-0,37836
8:41	-0,51196	0,47976	-0,25224
8:47	-0,51196	0,47976	-0,25224
8:53	0,63995	0,47976	-0,12612
8:59	0,63995	0,47976	-0,12612
9:05	0,63995	0,47976	-0,12612
9:11	0,51196	0,35982	0,00000
9:17	0,51196	0,35982	0,00000
9:23	0,51196	0,35982	0,00000

Time (hh:mm)	DEP-1 Calculated Field, (V/m)	DEP-2 Calculated Field, (V/m)	DEP-3 Calculated Field, (V/m)
9:29	-0,51196	0,35982	0,00000
9:35	-0,51196	0,47976	0,00000
9:41	-0,51196	0,47976	0,00000
9:47	0,51196	0,59970	0,00000
9:53	-0,63995	0,71964	0,00000
9:59	-0,63995	0,83958	-0,12612
10:05	-0,76794	-0,71964	0,12612
10:11	-0,76794	0,83958	0,12612
10:17	-0,76794	0,71964	0,12612
10:23	-0,89593	0,35982	-0,12612
10:29	-0,89593	0,71964	-0,12612
10:35	-0,89593	0,59970	-0,12612
10:41	-0,89593	0,35982	-0,12612
10:47	-0,89593	0,59970	0,12612
10:53	-0,76794	0,47976	-0,25224
10:59	-0,76794	0,47976	0,25224
11:05	-0,76794	0,59970	0,25224
11:11	-0,76794	0,47976	0,25224
11:17	-0,89593	0,59970	0,25224
11:23	-0,89593	0,59970	0,25224
11:29	-0,89593	-0,47976	0,25224
11:35	-0,89593	-0,59970	0,25224
11:41	-0,89593	0,59970	-0,25224
11:47	-0,89593	-0,35982	0,12612
11:53	-1,02390	-0,35982	0,25224
11:59	-1,02390	-0,47976	-0,25224
12:05	-1,02390	-0,47976	0,12612
12:11	-1,15190	-0,47976	0,12612
12:17	-1,15190	-0,47976	0,12612
12:23	-1,15190	-0,35982	0,12612
12:29	-1,15190	-0,35982	0,12612
12:35	-1,27990	-0,35982	-0,12612
12:41	-1,27990	-0,47976	-0,12612
12:47	-1,27990	-0,35982	-0,12612
12:53	-1,27990	-0,35982	-0,12612
12:59	-1,27990	-0,35982	-0,12612
13:05	-1,27990	-0,35982	0,12612
13:11	-1,27990	-0,35982	-0,12612
13:17	-1,27990	0,47976	0,12612
13:23	-1,27990	-0,47976	0,12612
13:29	-1,27990	-0,47976	-0,12612
13:35	-1,27990	-0,47976	-0,12612
13:41	-1,27990	-0,47976	0,12612
13:47	-1,27990	-0,47976	0,12612
13:53	-1,27990	-0,47976	0,12612
13:59	-1,27990	0,47976	-0,12612
14:05	-1,27990	-0,47976	-0,12612
14:11	-1,27990	-0,47976	0,12612
14:17	-1,27990	-0,47976	-0,12612
14:23	-1,27990	-0,59970	0,12612

Time (hh:mm)	DEP-1 Calculated Field, (V/m)	DEP-2 Calculated Field, (V/m)	DEP-3 Calculated Field, (V/m)
14:29	-1,27990	0,47976	0,12612
14:35	-1,27990	-0,59970	0,12612
14:41	-1,27990	-0,47976	0,12612
14:47	-1,15190	-0,47976	-0,25224
14:53	-1,27990	-0,47976	-0,25224
14:59	-1,15190	-0,47976	0,25224
15:05	-1,15190	-0,47976	-0,25224
15:11	-0,51196	-0,47976	0,25224
15:17	-0,63995	-0,47976	0,25224
15:23	0,63995	0,47976	-0,25224
15:29	0,89593	-0,47976	-0,25224
15:35	-0,63995	0,47976	-0,37836
15:41	-0,63995	0,47976	-0,37836
15:47	-0,38397	0,59970	-0,37836
15:53	0,51196	0,47976	0,37836
15:59	-0,51196	-0,47976	0,37836
16:05	-0,38397	-0,59970	0,37836
16:11	0,38397	-0,59970	0,37836
16:17	-0,25598	-0,59970	0,37836
16:23	-0,25598	0,47976	-0,37836
16:29	-0,38397	-0,59970	0,25224
16:35	0,51196	-0,59970	-0,25224
16:41	-0,63995	-0,59970	-0,25224
16:47	-0,38397	0,59970	-0,25224
16:53	-0,38397	0,47976	0,25224
16:59	-0,38397	-0,59970	-0,37836
17:05	-0,38397	-0,47976	0,37836
17:11	-0,38397	0,47976	-1,13510
17:17	-0,25598	-0,59970	1,13510
17:23	0,25598	-0,59970	0,25224
17:29	-0,25598	-0,59970	-1,13510
17:35	0,25598	0,59970	0,25224
17:41	-0,38397	-0,47976	-0,25224
17:47	-0,51196	0,59970	-0,25224
17:53	-0,38397	-0,59970	0,63060
17:59	0,51196	-0,59970	-0,88284
18:05	0,51196	-0,59970	-1,00900
18:11	-0,63995	0,47976	-1,13510
18:17	-0,63995	0,59970	-1,13510
18:23	0,63995	-0,59970	-1,13510
18:29	-0,63995	0,71964	-1,13510
18:35	-0,51196	-0,71964	-1,13510
18:41	0,51196	0,71964	-1,26120
18:47	-0,51196	0,83958	-1,13510
18:53	-0,51196	0,83958	-1,13510
18:59	-0,38397	1,07950	-1,13510
19:05	-0,38397	0,95952	-1,13510
19:11	-0,51196	0,95952	-1,00900
19:17	0,51196	0,95952	-1,00900
19:23	-0,38397	0,95952	-1,13510

Time (hh:mm)	DEP-1 Calculated Field, (V/m)	DEP-2 Calculated Field, (V/m)	DEP-3 Calculated Field, (V/m)
19:29	0,51196	0,95952	-1,00900
19:35	0,51196	0,95952	-1,00900
19:41	-0,51196	0,95952	-1,00900
19:47	0,51196	0,95952	-1,00900
19:53	0,51196	0,95952	-0,88284
19:59	-0,38397	0,95952	-0,88284
20:05	0,38397	0,95952	-0,88284
20:11	0,38397	0,95952	-0,75672
20:17	0,25598	1,07950	-0,75672
20:23	0,38397	0,95952	-0,75672
20:29	0,38397	-1,19940	-0,63060
20:35	-0,38397	1,07950	-0,63060
20:41	0,51196	1,31930	-0,63060
20:47	-0,38397	1,07950	-0,63060
20:53	0,38397	0,95952	-0,50448
20:59	-0,38397	0,95952	-0,50448
21:05	-0,38397	1,31930	-0,50448
21:11	0,38397	1,31930	-0,50448
21:17	-0,38397	-0,95952	-0,50448
21:23	1,15190	-1,43930	-1,76570
21:29	0,76794	-1,07950	-1,51340
21:35	-0,76794	-1,19940	-1,38730
21:41	-0,89593	-1,19940	-1,26120

Time (hh:mm)	DEP-1 Calculated Field, (V/m)	DEP-2 Calculated Field, (V/m)	DEP-3 Calculated Field, (V/m)
21:47	-0,89593	-1,19940	-1,13510
21:53	-1,02390	-1,19940	-1,00900
21:59	1,02390	-1,07950	-1,00900
22:05	-1,15190	-1,19940	-1,13510
22:11	-1,15190	-1,55920	-1,26120
22:17	-1,27990	-1,43930	-1,38730
22:23	-1,40790	1,43930	-1,38730
22:29	-1,40790	1,43930	1,38730
22:35	-0,51196	-0,95952	-0,75672
22:41	-0,51196	0,83958	0,63060
22:47	0,51196	0,95952	-0,50448
22:53	-0,51196	0,95952	-0,63060
22:59	0,38397	0,95952	0,63060
23:05	-0,38397	0,83958	-0,50448
23:11	-0,38397	0,83958	-0,63060
23:17	0,38397	0,83958	-0,50448
23:23	-0,51196	-0,83958	-0,50448
23:29	0,38397	-0,83958	-0,50448
23:35	-0,38397	0,83958	0,50448
23:41	0,38397	0,71964	0,50448
23:47	-0,38397	0,71964	-0,37836
23:53	-0,38397	-0,71964	-0,37836
23:59	0,38397	-0,71964	-0,37836

Annex 37. Information from A-type sensors at work RT3C1 for 02/07/00

Time of thruster Start-Up - 09:15:43

Time of thruster Switching Off - 10:45:43

Time	DRT-1 Current	DRT-1 Bias Voltage	DRT-1 Current Density	DRT-1 Ion Energy	DRT-2 Current	DRT-2 Bias Voltage	DRT-2 Current Density	DRT-2 Ion Energy	SA Angle
hh:mm:ss	μA	V	μA/cm2	eV	μA	V	μA/cm2	eV	deg.
09:13:51	0,0	0,0	0,0	0,0	0,0	0,0	0,0	0,0	60
	0,0	13,7	-		0,0	13,7	-		
	0,0	27,5	-		0,0	27,5	-		
	0,0	41,2	-		0,0	41,2	-		
	0,0	54,9	-		0,0	54,9	-		
	0,0	68,6	-		0,0	68,6	-		
	0,0	82,4	-		0,0	82,4	-		
	0,0	96,1	-		0,0	96,1	-		
	0,0	109,8	-		0,0	109,8	-		
	0,0	123,5	-		0,0	123,5	-		
	0,0	137,3	-		0,0	137,3	-		
	0,0	151,0	-		0,0	151,0	-		
	0,0	164,7	-		0,0	164,7	-		
	0,0	178,4	-		0,0	178,4	-		
	0,0	192,2	-		0,0	192,2	-		
	0,0	205,9	-		0,0	205,9	-		
	0,0	219,6	-		0,0	219,6	-		
	0,0	233,3	-		0,0	233,3	-		
	0,0	247,1	-		0,0	247,1	-		
	0,0	260,8	-		0,0	260,8	-		
	0,0	274,5	-		0,0	274,5	-		
	0,0	288,2	-		0,0	288,2	-		
	0,0	302,0	-		0,0	302,0	-		
	0,0	315,7	-		0,0	315,7	-		
	0,0	329,4	-		0,0	329,4	-		
	0,0	343,1	-		0,0	343,1	-		
09:19:51	0,0	0,0	0,0	0,0	1,56250	0,0	3,634	201-40% 250- 1 %	60
	0,0	13,7	-		1,56250	13,7	-		
	0,0	27,5	-		1,56250	27,5	-		
	0,0	41,2	-		1,56250	41,2	-		
	0,0	54,9	-		1,56250	54,9	-		
	0,0	68,6	-		1,56250	68,6	-		
	0,0	82,4	-		1,56250	82,4	-		
	0,0	96,1	-		1,48438	96,1	-		
	0,0	109,8	-		1,48438	109,8	-		
	0,0	123,5	-		1,40625	123,5	-		
	0,0	137,3	-		1,32813	137,3	-		
	0,0	151,0	-		1,25000	151,0	-		
	0,0	164,7	-		1,17188	164,7	-		
	0,0	178,4	-		1,09375	178,4	-		
	0,0	192,2	-		0,93750	192,2	-		
	0,0	205,9	-		0,32031	205,9	-		
	0,0	219,6	-		0,19531	219,6	-		
	0,0	233,3	-		0,12500	233,3	-		
	0,0	247,1	-		0,07813	247,1	-		
	0,0	260,8	-		0,00000	260,8	-		
	0,0	274,5	-		0,00000	274,5	-		
	0,0	288,2	-		0,00000	288,2	-		
	0,0	302,0	-		0,00000	302,0	-		
	0,0	315,7	-		0,00000	315,7	-		
	0,0	329,4	-		0,00000	329,4	-		
	0,0	343,1	-		0,00000	343,1	-		

Time	DRT-1 Current	DRT-1 Bias Voltage	DRT-1 Current Density	DRT-1 Ion Energy	DRT-2 Current	DRT-2 Bias Voltage	DRT-2 Current Density	DRT-2 Ion Energy	SA Angle
hh:mm:ss	μA	V	μA/cm2	eV	μA	V	μA/cm2	eV	deg.
09:25:51	0,0	0,0	0,0	0,0	1,56250	0,0	3,634	201-25% 271- 1 %	60
	0,0	13,7	-		1,56250	13,7	-		
	0,0	27,5	-		1,56250	27,5	-		
	0,0	41,2	-		1,56250	41,2	-		
	0,0	54,9	-		1,56250	54,9	-		
	0,0	68,6	-		1,56250	68,6	-		
	0,0	82,4	-		1,48438	82,4	-		
	0,0	96,1	-		1,48438	96,1	-		
	0,0	109,8	-		1,48438	109,8	-		
	0,0	123,5	-		1,40625	123,5	-		
	0,0	137,3	-		1,32813	137,3	-		
	0,0	151,0	-		1,25000	151,0	-		
	0,0	164,7	-		1,17188	164,7	-		
	0,0	178,4	-		1,09375	178,4	-		
	0,0	192,2	-		0,93750	192,2	-		
	0,0	205,9	-		0,32031	205,9	-		
	0,0	219,6	-		0,23438	219,6	-		
	0,0	233,3	-		0,13281	233,3	-		
	0,0	247,1	-		0,08594	247,1	-		
	0,0	260,8	-		0,06250	260,8	-		
	0,0	274,5	-		0,00000	274,5	-		
	0,0	288,2	-		0,00000	288,2	-		
	0,0	302,0	-		0,00000	302,0	-		
	0,0	315,7	-		0,00000	315,7	-		
	0,0	329,4	-		0,00000	329,4	-		
	0,0	343,1	-		0,00000	343,1	-		
09:31:51	0,0	0,0	0,0	0,0	1,56250	0,0	3,634	201-25% 253-1,5 %	60
	0,0	13,7	-		1,56250	13,7	-		
	0,0	27,5	-		1,56250	27,5	-		
	0,0	41,2	-		1,56250	41,2	-		
	0,0	54,9	-		1,56250	54,9	-		
	0,0	68,6	-		1,56250	68,6	-		
	0,0	82,4	-		1,56250	82,4	-		
	0,0	96,1	-		1,56250	96,1	-		
	0,0	109,8	-		1,48438	109,8	-		
	0,0	123,5	-		1,40625	123,5	-		
	0,0	137,3	-		1,32813	137,3	-		
	0,0	151,0	-		1,25000	151,0	-		
	0,0	164,7	-		1,25000	164,7	-		
	0,0	178,4	-		1,09375	178,4	-		
	0,0	192,2	-		0,93750	192,2	-		
	0,0	205,9	-		0,32031	205,9	-		
	0,0	219,6	-		0,21875	219,6	-		
	0,0	233,3	-		0,12500	233,3	-		
	0,0	247,1	-		0,07031	247,1	-		
	0,0	260,8	-		0,00781	260,8	-		
	0,0	274,5	-		0,00000	274,5	-		
	0,0	288,2	-		0,00000	288,2	-		
	0,0	302,0	-		0,00000	302,0	-		
	0,0	315,7	-		0,00000	315,7	-		
	0,0	329,4	-		0,00000	329,4	-		
	0,0	343,1	-		0,00000	343,1	-		
09:37:51	0,0	0,0	0,0	0,0	1,48438	0,0	3,452	201-26% 270- 1 %	68
	0,0	13,7	-		1,48438	13,7	-		
	0,0	27,5	-		1,48438	27,5	-		
	0,0	41,2	-		1,48438	41,2	-		
	0,0	54,9	-		1,48438	54,9	-		
	0,0	68,6	-		1,48438	68,6	-		
	0,0	82,4	-		1,48438	82,4	-		
	0,0	96,1	-		1,48438	96,1	-		

Time	DRT-1 Current	DRT-1 Bias Voltage	DRT-1 Current Density	DRT-1 Ion Energy	DRT-2 Current	DRT-2 Bias Voltage	DRT-2 Current Density	DRT-2 Ion Energy	SA Angle
hh:mm:ss	μA	V	μA/cm2	eV	μA	V	μA/cm2	eV	deg.
	0,0	109,8	-		1,48438	109,8	-		
	0,0	123,5	-		1,40625	123,5	-		
	0,0	137,3	-		1,32813	137,3	-		
	0,0	151,0	-		1,25000	151,0	-		
	0,0	164,7	-		1,17188	164,7	-		
	0,0	178,4	-		1,09375	178,4	-		
	0,0	192,2	-		0,85938	192,2	-		
	0,0	205,9	-		0,32031	205,9	-		
	0,0	219,6	-		0,21094	219,6	-		
	0,0	233,3	-		0,09375	233,3	-		
	0,0	247,1	-		0,07031	247,1	-		
	0,0	260,8	-		0,03125	260,8	-		
	0,0	274,5	-		0,00000	274,5	-		
	0,0	288,2	-		0,00000	288,2	-		
	0,0	302,0	-		0,00781	302,0	-		
	0,0	315,7	-		0,00781	315,7	-		
	0,0	329,4	-		0,00000	329,4	-		
	0,0	343,1	-		0,00000	343,1	-		
09:43:51	0,0	0,0	0,0	0,0	1,48438	0,0	3,452	201-26% 262- 1 %	75
	0,0	13,7	-		1,48438	13,7	-		
	0,0	27,5	-		1,48438	27,5	-		
	0,0	41,2	-		1,48438	41,2	-		
	0,0	54,9	-		1,48438	54,9	-		
	0,0	68,6	-		1,48438	68,6	-		
	0,0	82,4	-		1,48438	82,4	-		
	0,0	96,1	-		1,48438	96,1	-		
	0,0	109,8	-		1,48438	109,8	-		
	0,0	123,5	-		1,40625	123,5	-		
	0,0	137,3	-		1,32813	137,3	-		
	0,0	151,0	-		1,25000	151,0	-		
	0,0	164,7	-		1,17188	164,7	-		
	0,0	178,4	-		1,01563	178,4	-		
	0,0	192,2	-		0,85938	192,2	-		
	0,0	205,9	-		0,32031	205,9	-		
	0,0	219,6	-		0,21875	219,6	-		
	0,0	233,3	-		0,12500	233,3	-		
	0,0	247,1	-		0,07031	247,1	-		
	0,0	260,8	-		0,03125	260,8	-		
	0,0	274,5	-		0,00000	274,5	-		
	0,0	288,2	-		0,00000	288,2	-		
	0,0	302,0	-		0,00000	302,0	-		
	0,0	315,7	-		0,00000	315,7	-		
	0,0	329,4	-		0,00000	329,4	-		
	0,0	343,1	-		0,00000	343,1	-		
09:49:51	0,0	0,0	0,0	0,0	1,48438	0,0	3,452	201-21% 270- 3,5 %	75
	0,0	13,7	-		1,48438	13,7	-		
	0,0	27,5	-		1,48438	27,5	-		
	0,0	41,2	-		1,48438	41,2	-		
	0,0	54,9	-		1,48438	54,9	-		
	0,0	68,6	-		1,48438	68,6	-		
	0,0	82,4	-		1,48438	82,4	-		
	0,0	96,1	-		1,48438	96,1	-		
	0,0	109,8	-		1,48438	109,8	-		
	0,0	123,5	-		1,40625	123,5	-		
	0,0	137,3	-		1,32813	137,3	-		
	0,0	151,0	-		1,25000	151,0	-		
	0,0	164,7	-		1,17188	164,7	-		
	0,0	178,4	-		1,09375	178,4	-		
	0,0	192,2	-		0,85938	192,2	-		
	0,0	205,9	-		0,46875	205,9	-		

Time	DRT-1 Current	DRT-1 Bias Voltage	DRT-1 Current Density	DRT-1 Ion Energy	DRT-2 Current	DRT-2 Bias Voltage	DRT-2 Current Density	DRT-2 Ion Energy	SA Angle
hh:mm:ss	μA	V	μA/cm2	eV	μA	V	μA/cm2	eV	deg.
	0,0	219,6	-		0,21875	219,6	-		
	0,0	233,3	-		0,13281	233,3	-		
	0,0	247,1	-		0,09375	247,1	-		
	0,0	260,8	-		0,06250	260,8	-		
	0,0	274,5	-		0,00000	274,5	-		
	0,0	288,2	-		0,00000	288,2	-		
	0,0	302,0	-		0,00000	302,0	-		
	0,0	315,7	-		0,00000	315,7	-		
	0,0	329,4	-		0,00000	329,4	-		
	0,0	343,1	-		0,00000	343,1	-		
09:55:51	0,0	0,0	0,0	0,0	1,48438	0,0	3,452	201-26% 270- 1 %	75
	0,0	13,7	-		1,48438	13,7	-		
	0,0	27,5	-		1,48438	27,5	-		
	0,0	41,2	-		1,48438	41,2	-		
	0,0	54,9	-		1,48438	54,9	-		
	0,0	68,6	-		1,48438	68,6	-		
	0,0	82,4	-		1,48438	82,4	-		
	0,0	96,1	-		1,48438	96,1	-		
	0,0	109,8	-		1,48438	109,8	-		
	0,0	123,5	-		1,40625	123,5	-		
	0,0	137,3	-		1,32813	137,3	-		
	0,0	151,0	-		1,25000	151,0	-		
	0,0	164,7	-		1,25000	164,7	-		
	0,0	178,4	-		1,09375	178,4	-		
	0,0	192,2	-		0,93750	192,2	-		
	0,0	205,9	-		0,32031	205,9	-		
	0,0	219,6	-		0,20313	219,6	-		
	0,0	233,3	-		0,11719	233,3	-		
	0,0	247,1	-		0,11719	247,1	-		
	0,0	260,8	-		0,03125	260,8	-		
	0,0	274,5	-		0,00000	274,5	-		
	0,0	288,2	-		0,00000	288,2	-		
	0,0	302,0	-		0,00000	302,0	-		
	0,0	315,7	-		0,00000	315,7	-		
	0,0	329,4	-		0,00000	329,4	-		
	0,0	343,1	-		0,00000	343,1	-		
10:01:51	0,0	0,0	0,0	0,0	1,48438	0,0	3,452	201-16% 250- 0,5 %	75
	0,0	13,7	-		1,48438	13,7	-		
	0,0	27,5	-		1,48438	27,5	-		
	0,0	41,2	-		1,48438	41,2	-		
	0,0	54,9	-		1,48438	54,9	-		
	0,0	68,6	-		1,48438	68,6	-		
	0,0	82,4	-		1,48438	82,4	-		
	0,0	96,1	-		1,48438	96,1	-		
	0,0	109,8	-		1,48438	109,8	-		
	0,0	123,5	-		1,40625	123,5	-		
	0,0	137,3	-		1,32813	137,3	-		
	0,0	151,0	-		1,25000	151,0	-		
	0,0	164,7	-		1,17188	164,7	-		
	0,0	178,4	-		1,09375	178,4	-		
	0,0	192,2	-		0,85938	192,2	-		
	0,0	205,9	-		0,46875	205,9	-		
	0,0	219,6	-		0,20313	219,6	-		
	0,0	233,3	-		0,14063	233,3	-		
	0,0	247,1	-		0,06250	247,1	-		
	0,0	260,8	-		0,00000	260,8	-		
	0,0	274,5	-		0,00000	274,5	-		
	0,0	288,2	-		0,00000	288,2	-		
	0,0	302,0	-		0,00000	302,0	-		
	0,0	315,7	-		0,00000	315,7	-		

Time	DRT-1 Current	DRT-1 Bias Voltage	DRT-1 Current Density	DRT-1 Ion Energy	DRT-2 Current	DRT-2 Bias Voltage	DRT-2 Current Density	DRT-2 Ion Energy	SA Angle
hh:mm:ss	μA	V	μA/cm2	eV	μA	V	μA/cm2	eV	deg.
10:07:51	0,0	329,4	-	0,0	0,00000	329,4	-	192-40% 265- 1 %	75
	0,0	343,1	-		0,00000	343,1	-		
	0,0	0,0	0,0		1,48438	0,0	3,452		
	0,0	13,7	-		1,48438	13,7	-		
	0,0	27,5	-		1,48438	27,5	-		
	0,0	41,2	-		1,48438	41,2	-		
	0,0	54,9	-		1,48438	54,9	-		
	0,0	68,6	-		1,48438	68,6	-		
	0,0	82,4	-		1,48438	82,4	-		
	0,0	96,1	-		1,48438	96,1	-		
	0,0	109,8	-		1,48438	109,8	-		
	0,0	123,5	-		1,40625	123,5	-		
	0,0	137,3	-		1,32813	137,3	-		
	0,0	151,0	-		1,32813	151,0	-		
	0,0	164,7	-		1,17188	164,7	-		
	0,0	178,4	-		1,09375	178,4	-		
	0,0	192,2	-		0,93750	192,2	-		
	0,0	205,9	-		0,32031	205,9	-		
	0,0	219,6	-		0,17969	219,6	-		
	0,0	233,3	-		0,11719	233,3	-		
	0,0	247,1	-		0,06250	247,1	-		
	0,0	260,8	-		0,03125	260,8	-		
	0,0	274,5	-		0,00000	274,5	-		
	0,0	288,2	-		0,00000	288,2	-		
	0,0	302,0	-		0,00000	302,0	-		
	0,0	315,7	-		0,00000	315,7	-		
	0,0	329,4	-		0,00000	329,4	-		
	0,0	343,1	-		0,00000	343,1	-		
10:13:51	0,0	0,0	0,0	0,0	1,48438	0,0	3,452	192-30% 250- 2,8 %	75
	0,0	13,7	-		1,48438	13,7	-		
	0,0	27,5	-		1,48438	27,5	-		
	0,0	41,2	-		1,48438	41,2	-		
	0,0	54,9	-		1,48438	54,9	-		
	0,0	68,6	-		1,48438	68,6	-		
	0,0	82,4	-		1,48438	82,4	-		
	0,0	96,1	-		1,48438	96,1	-		
	0,0	109,8	-		1,48438	109,8	-		
	0,0	123,5	-		1,40625	123,5	-		
	0,0	137,3	-		1,40625	137,3	-		
	0,0	151,0	-		1,32813	151,0	-		
	0,0	164,7	-		1,25000	164,7	-		
	0,0	178,4	-		1,09375	178,4	-		
	0,0	192,2	-		0,93750	192,2	-		
	0,0	205,9	-		0,46875	205,9	-		
	0,0	219,6	-		0,22656	219,6	-		
	0,0	233,3	-		0,13281	233,3	-		
	0,0	247,1	-		0,05469	247,1	-		
	0,0	260,8	-		0,00000	260,8	-		
	0,0	274,5	-		0,00000	274,5	-		
	0,0	288,2	-		0,00000	288,2	-		
	0,0	302,0	-		0,00000	302,0	-		
	0,0	315,7	-		0,00000	315,7	-		
	0,0	329,4	-		0,00000	329,4	-		
	0,0	343,1	-		0,00000	343,1	-		
10:19:51	0,0	0,0	0,0	0,0	1,48438	0,0	3,452	192-26% 250- 2 %	75
	0,0	13,7	-		1,48438	13,7	-		
	0,0	27,5	-		1,48438	27,5	-		
	0,0	41,2	-		1,48438	41,2	-		
	0,0	54,9	-		1,48438	54,9	-		
	0,0	68,6	-		1,48438	68,6	-		

Time	DRT-1 Current	DRT-1 Bias Voltage	DRT-1 Current Density	DRT-1 Ion Energy	DRT-2 Current	DRT-2 Bias Voltage	DRT-2 Current Density	DRT-2 Ion Energy	SA Angle
hh:mm:ss	μA	V	μA/cm2	eV	μA	V	μA/cm2	eV	deg.
	0,0	82,4	-		1,48438	82,4	-		
	0,0	96,1	-		1,48438	96,1	-		
	0,0	109,8	-		1,48438	109,8	-		
	0,0	123,5	-		1,40625	123,5	-		
	0,0	137,3	-		1,32813	137,3	-		
	0,0	151,0	-		1,25000	151,0	-		
	0,0	164,7	-		1,17188	164,7	-		
	0,0	178,4	-		1,09375	178,4	-		
	0,0	192,2	-		0,93750	192,2	-		
	0,0	205,9	-		0,32031	205,9	-		
	0,0	219,6	-		0,22656	219,6	-		
	0,0	233,3	-		0,11719	233,3	-		
	0,0	247,1	-		0,08594	247,1	-		
	0,0	260,8	-		0,00000	260,8	-		
	0,0	274,5	-		0,00000	274,5	-		
	0,0	288,2	-		0,00000	288,2	-		
	0,0	302,0	-		0,00000	302,0	-		
	0,0	315,7	-		0,00000	315,7	-		
	0,0	329,4	-		0,00000	329,4	-		
	0,0	343,1	-		0,00000	343,1	-		
10:25:51	0,0	0,0	0,0	0,0	1,48438	0,0	3,452	192-27% 237- 3 %	75
	0,0	13,7	-		1,48438	13,7	-		
	0,0	27,5	-		1,48438	27,5	-		
	0,0	41,2	-		1,48438	41,2	-		
	0,0	54,9	-		1,48438	54,9	-		
	0,0	68,6	-		1,48438	68,6	-		
	0,0	82,4	-		1,48438	82,4	-		
	0,0	96,1	-		1,48438	96,1	-		
	0,0	109,8	-		1,40625	109,8	-		
	0,0	123,5	-		1,40625	123,5	-		
	0,0	137,3	-		1,32813	137,3	-		
	0,0	151,0	-		1,25000	151,0	-		
	0,0	164,7	-		1,25000	164,7	-		
	0,0	178,4	-		1,01563	178,4	-		
	0,0	192,2	-		0,85938	192,2	-		
	0,0	205,9	-		0,31250	205,9	-		
	0,0	219,6	-		0,23438	219,6	-		
	0,0	233,3	-		0,11719	233,3	-		
	0,0	247,1	-		0,00000	247,1	-		
	0,0	260,8	-		0,00000	260,8	-		
	0,0	274,5	-		0,00000	274,5	-		
	0,0	288,2	-		0,00000	288,2	-		
	0,0	302,0	-		0,00000	302,0	-		
	0,0	315,7	-		0,00000	315,7	-		
	0,0	329,4	-		0,00000	329,4	-		
	0,0	343,1	-		0,00000	343,1	-		
10:31:51	0,0	0,0	0,0	0,0	1,48438	0,0	3,452	192-26% 237- 2,1 %	75
	0,0	13,7	-		1,48438	13,7	-		
	0,0	27,5	-		1,48438	27,5	-		
	0,0	41,2	-		1,48438	41,2	-		
	0,0	54,9	-		1,48438	54,9	-		
	0,0	68,6	-		1,48438	68,6	-		
	0,0	82,4	-		1,48438	82,4	-		
	0,0	96,1	-		1,48438	96,1	-		
	0,0	109,8	-		1,48438	109,8	-		
	0,0	123,5	-		1,40625	123,5	-		
	0,0	137,3	-		1,32813	137,3	-		
	0,0	151,0	-		1,25000	151,0	-		
	0,0	164,7	-		1,17188	164,7	-		
	0,0	178,4	-		1,01563	178,4	-		

Time	DRT-1 Current	DRT-1 Bias Voltage	DRT-1 Current Density	DRT-1 Ion Energy	DRT-2 Current	DRT-2 Bias Voltage	DRT-2 Current Density	DRT-2 Ion Energy	SA Angle
hh:mm:ss	μA	V	μA/cm2	eV	μA	V	μA/cm2	eV	deg.
	0,0	192,2	-		0,78125	192,2	-		
	0,0	205,9	-		0,32031	205,9	-		
	0,0	219,6	-		0,19531	219,6	-		
	0,0	233,3	-		0,12500	233,3	-		
	0,0	247,1	-		0,00000	247,1	-		
	0,0	260,8	-		0,00000	260,8	-		
	0,0	274,5	-		0,00000	274,5	-		
	0,0	288,2	-		0,00000	288,2	-		
	0,0	302,0	-		0,00000	302,0	-		
	0,0	315,7	-		0,00000	315,7	-		
	0,0	329,4	-		0,00000	329,4	-		
	0,0	343,1	-		0,00000	343,1	-		
10:37:51	0,0	0,0	0,0	0,0	1,48438	0,0	3,452	201-21% 250- 3,3 %	75
	0,0	13,7	-		1,48438	13,7	-		
	0,0	27,5	-		1,48438	27,5	-		
	0,0	41,2	-		1,48438	41,2	-		
	0,0	54,9	-		1,48438	54,9	-		
	0,0	68,6	-		1,48438	68,6	-		
	0,0	82,4	-		1,48438	82,4	-		
	0,0	96,1	-		1,48438	96,1	-		
	0,0	109,8	-		1,40625	109,8	-		
	0,0	123,5	-		1,32813	123,5	-		
	0,0	137,3	-		1,32813	137,3	-		
	0,0	151,0	-		1,25000	151,0	-		
	0,0	164,7	-		1,17188	164,7	-		
	0,0	178,4	-		0,93750	178,4	-		
	0,0	192,2	-		0,78125	192,2	-		
	0,0	205,9	-		0,32031	205,9	-		
	0,0	219,6	-		0,21094	219,6	-		
	0,0	233,3	-		0,08594	233,3	-		
	0,0	247,1	-		0,05469	247,1	-		
	0,0	260,8	-		0,00000	260,8	-		
	0,0	274,5	-		0,00000	274,5	-		
	0,0	288,2	-		0,00000	288,2	-		
	0,0	302,0	-		0,00000	302,0	-		
	0,0	315,7	-		0,00000	315,7	-		
	0,0	329,4	-		0,00000	329,4	-		
	0,0	343,1	-		0,00000	343,1	-		
10:43:51	0,0	0,0	0,0	0,0	1,48438	0,0	3,452	192-26% 250- 10 %	75
	0,0	13,7	-		1,48438	13,7	-		
	0,0	27,5	-		1,48438	27,5	-		
	0,0	41,2	-		1,48438	41,2	-		
	0,0	54,9	-		1,48438	54,9	-		
	0,0	68,6	-		1,48438	68,6	-		
	0,0	82,4	-		1,48438	82,4	-		
	0,0	96,1	-		1,48438	96,1	-		
	0,0	109,8	-		1,48438	109,8	-		
	0,0	123,5	-		1,40625	123,5	-		
	0,0	137,3	-		1,32813	137,3	-		
	0,0	151,0	-		1,25000	151,0	-		
	0,0	164,7	-		1,25000	164,7	-		
	0,0	178,4	-		1,09375	178,4	-		
	0,0	192,2	-		0,93750	192,2	-		
	0,0	205,9	-		0,30900	205,9	-		
	0,0	219,6	-		0,20000	219,6	-		
	0,0	233,3	-		0,10156	233,3	-		
	0,0	247,1	-		0,08594	247,1	-		
	0,0	260,8	-		0,00000	260,8	-		
	0,0	274,5	-		0,00000	274,5	-		
	0,0	288,2	-		0,00000	288,2	-		

Time	DRT-1 Current	DRT-1 Bias Voltage	DRT-1 Current Density	DRT-1 Ion Energy	DRT-2 Current	DRT-2 Bias Voltage	DRT-2 Current Density	DRT-2 Ion Energy	SA Angle
hh:mm:ss	μA	V	μA/cm2	eV	μA	V	μA/cm2	eV	deg.
	0,0	302,0	-		0,00000	302,0	-		
	0,0	315,7	-		0,00000	315,7	-		
	0,0	329,4	-		0,00000	329,4	-		
	0,0	343,1	-		0,00000	343,1	-		
10:49:51	0,0	0,0	0,0	0,0	0,0	0,0	0,0	0,0	75
	0,0	13,7	-		0,0	13,7	-		
	0,0	27,5	-		0,0	27,5	-		
	0,0	41,2	-		0,0	41,2	-		
	0,0	54,9	-		0,0	54,9	-		
	0,0	68,6	-		0,0	68,6	-		
	0,0	82,4	-		0,0	82,4	-		
	0,0	96,1	-		0,0	96,1	-		
	0,0	109,8	-		0,0	109,8	-		
	0,0	123,5	-		0,0	123,5	-		
	0,0	137,3	-		0,0	137,3	-		
	0,0	151,0	-		0,0	151,0	-		
	0,0	164,7	-		0,0	164,7	-		
	0,0	178,4	-		0,0	178,4	-		
	0,0	192,2	-		0,0	192,2	-		
	0,0	205,9	-		0,0	205,9	-		
	0,0	219,6	-		0,0	219,6	-		
	0,0	233,3	-		0,0	233,3	-		
	0,0	247,1	-		0,0	247,1	-		
	0,0	260,8	-		0,0	260,8	-		
	0,0	274,5	-		0,0	274,5	-		
	0,0	288,2	-		0,0	288,2	-		
	0,0	302,0	-		0,0	302,0	-		
	0,0	315,7	-		0,0	315,7	-		
	0,0	329,4	-		0,0	329,4	-		
	0,0	343,1	-		0,0	343,1	-		

Annex 38. Information from A-type sensors at work T3C1 for 02/07/00

Time of thruster Start-Up - 10:55:43

Time of thruster Switching Off - 12:25:43

Time	DRT-1 Current	DRT-1 Bias Voltage	Current Density DRT-1	DRT-1 Ion Energy	DRT-2 Current	DRT-2 Bias Voltage	Current Density DRT-2	DRT-2 Ion Energy	SA Angle
hh:mm:ss	μA	V	μA/cm2	eV - %	μA	V	μA/cm2	eV	deg.
10:49:51	0,0	0,0	0,0	0,0	0,0	0,0	0,0	0,0	90
	0,0	13,7	-		0,0	13,7	-		
	0,0	27,5	-		0,0	27,5	-		
	0,0	41,2	-		0,0	41,2	-		
	0,0	54,9	-		0,0	54,9	-		
	0,0	68,6	-		0,0	68,6	-		
	0,0	82,4	-		0,0	82,4	-		
	0,0	96,1	-		0,0	96,1	-		
	0,0	109,8	-		0,0	109,8	-		
	0,0	123,5	-		0,0	123,5	-		
	0,0	137,3	-		0,0	137,3	-		
	0,0	151,0	-		0,0	151,0	-		
	0,0	164,7	-		0,0	164,7	-		
	0,0	178,4	-		0,0	178,4	-		
	0,0	192,2	-		0,0	192,2	-		
	0,0	205,9	-		0,0	205,9	-		
	0,0	219,6	-		0,0	219,6	-		
	0,0	233,3	-		0,0	233,3	-		
	0,0	247,1	-		0,0	247,1	-		
	0,0	260,8	-		0,0	260,8	-		
	0,0	274,5	-		0,0	274,5	-		
	0,0	288,2	-		0,0	288,2	-		
	0,0	302,0	-		0,0	302,0	-		
	0,0	315,7	-		0,0	315,7	-		
	0,0	329,4	-		0,0	329,4	-		
	0,0	343,1	-		0,0	343,1	-		
10:55:51	0,0	0,0	0,0	0,0	0,93750	0,0	2,180	175- 26%; 227- 1,5 %	90
	0,0	13,7	-		0,93750	13,7	-		
	0,0	27,5	-		0,93750	27,5	-		
	0,0	41,2	-		0,93750	41,2	-		
	0,0	54,9	-		0,93750	54,9	-		
	0,0	68,6	-		0,93750	68,6	-		
	0,0	82,4	-		0,93750	82,4	-		
	0,0	96,1	-		0,93750	96,1	-		
	0,0	109,8	-		0,85938	109,8	-		
	0,0	123,5	-		0,85938	123,5	-		
	0,0	137,3	-		0,78125	137,3	-		
	0,0	151,0	-		0,70313	151,0	-		
	0,0	164,7	-		0,62500	164,7	-		
	0,0	178,4	-		0,54688	178,4	-		
	0,0	192,2	-		0,28906	192,2	-		
	0,0	205,9	-		0,16406	205,9	-		
	0,0	219,6	-		0,08594	219,6	-		
	0,0	233,3	-		0,00000	233,3	-		
	0,0	247,1	-		0,00000	247,1	-		
	0,0	260,8	-		0,00000	260,8	-		
	0,0	274,5	-		0,00000	274,5	-		
	0,0	288,2	-		0,00000	288,2	-		
	0,0	302,0	-		0,00000	302,0	-		
	0,0	315,7	-		0,00000	315,7	-		
	0,0	329,4	-		0,00000	329,4	-		
	0,0	343,1	-		0,00000	343,1	-		

Time	DRT-1 Current	DRT-1 Bias Voltage	Current Density DRT-1	DRT-1 Ion Energy	DRT-2 Current	DRT-2 Bias Voltage	Current Density DRT-2	DRT-2 Ion Energy	SA Angle
hh:mm:ss	μA	V	μA/cm2	eV - %	μA	V	μA/cm2	eV	deg.
11:01:51	0,0	0,0	0,0	0,0	0,93750	0,0	2,180	175- 26%; 227- 1,5 %	90
	0,0	13,7	-		0,93750	13,7	-		
	0,0	34,3	-		0,93750	27,5	-		
	0,0	41,2	-		0,93750	41,2	-		
	0,0	54,9	-		0,93750	54,9	-		
	0,0	68,6	-		0,93750	68,6	-		
	0,0	82,4	-		0,93750	82,4	-		
	0,0	96,1	-		0,93750	96,1	-		
	0,0	109,8	-		0,85937	109,8	-		
	0,0	123,5	-		0,78125	123,5	-		
	0,0	137,3	-		0,78125	137,3	-		
	0,0	151,0	-		0,70315	151,0	-		
	0,0	164,7	-		0,62500	164,7	-		
	0,0	178,4	-		0,54688	178,4	-		
	0,0	192,2	-		0,29687	192,2	-		
	0,0	205,9	-		0,18750	205,9	-		
	0,0	219,6	-		0,09375	219,6	-		
	0,0	233,3	-		0,00000	233,3	-		
	0,0	247,1	-		0,00000	247,1	-		
	0,0	260,8	-		0,00000	260,8	-		
	0,0	274,5	-		0,00000	274,5	-		
	0,0	288,2	-		0,00000	288,2	-		
	0,0	302,0	-		0,00000	302,0	-		
	0,0	315,7	-		0,00000	315,7	-		
	0,0	329,4	-		0,00000	329,4	-		
	0,0	343,1	-		0,00000	343,1	-		
11:07:51	0,0	0,0	0,0	0,0	0,93750	0,0	2,180	175- 30%; 245- 3,5 %	90
	0,0	13,7	-		0,93750	13,7	-		
	0,0	34,3	-		0,93750	27,5	-		
	0,0	41,2	-		0,93750	41,2	-		
	0,0	54,9	-		0,93750	54,9	-		
	0,0	68,6	-		0,93750	68,6	-		
	0,0	82,4	-		0,93750	82,4	-		
	0,0	96,1	-		0,93750	96,1	-		
	0,0	109,8	-		0,85938	109,8	-		
	0,0	123,5	-		0,85938	123,5	-		
	0,0	137,3	-		0,78125	137,3	-		
	0,0	151,0	-		0,70313	151,0	-		
	0,0	164,7	-		0,70313	164,7	-		
	0,0	178,4	-		0,54688	178,4	-		
	0,0	192,2	-		0,30469	192,2	-		
	0,0	205,9	-		0,17969	205,9	-		
	0,0	219,6	-		0,05469	219,6	-		
	0,0	233,3	-		0,05469	233,3	-		
	0,0	247,1	-		0,00000	247,1	-		
	0,0	260,8	-		0,00000	260,8	-		
	0,0	274,5	-		0,00000	274,5	-		
	0,0	288,2	-		0,00000	288,2	-		
	0,0	302,0	-		0,00000	302,0	-		
	0,0	315,7	-		0,00000	315,7	-		
	0,0	329,4	-		0,00000	329,4	-		
	0,0	343,1	-		0,00000	343,1	-		
11:13:51	0,0	0,0	0,0	0,0	0,93750	0,0	2,180	175- 25%; 210- 4 %	90
	0,0	13,7	-		0,93750	13,7	-		
	0,0	34,3	-		0,93750	27,5	-		
	0,0	41,2	-		0,93750	41,2	-		
	0,0	54,9	-		0,93750	54,9	-		
	0,0	68,6	-		0,93750	68,6	-		
	0,0	82,4	-		0,93750	82,4	-		
	0,0	96,1	-		0,85938	96,1	-		

Time	DRT-1 Current	DRT-1 Bias Voltage	Current Density DRT-1	DRT-1 Ion Energy	DRT-2 Current	DRT-2 Bias Voltage	Current Density DRT-2	DRT-2 Ion Energy	SA Angle
hh:mm:ss	μA	V	μA/cm2	eV - %	μA	V	μA/cm2	eV	deg.
	0,0	109,8	-		0,85938	109,8	-		
	0,0	123,5	-		0,85938	123,5	-		
	0,0	137,3	-		0,78125	137,3	-		
	0,0	151,0	-		0,70313	151,0	-		
	0,0	164,7	-		0,62500	164,7	-		
	0,0	178,4	-		0,54688	178,4	-		
	0,0	192,2	-		0,30469	192,2	-		
	0,0	205,9	-		0,17188	205,9	-		
	0,0	219,6	-		0,00000	219,6	-		
	0,0	233,3	-		0,00000	233,3	-		
	0,0	247,1	-		0,00000	247,1	-		
	0,0	260,8	-		0,00000	260,8	-		
	0,0	274,5	-		0,00000	274,5	-		
	0,0	288,2	-		0,00000	288,2	-		
	0,0	302,0	-		0,00000	302,0	-		
	0,0	315,7	-		0,00000	315,7	-		
	0,0	329,4	-		0,00000	329,4	-		
	0,0	343,1	-		0,00000	343,1	-		
11:19:51	0,0	0,0	0,0	0,0	0,93750	0,0	2,180	192- 19%; 245- 2,5 %	90
	0,0	13,7	-		0,93750	13,7	-		
	0,0	34,3	-		0,93750	27,5	-		
	0,0	41,2	-		0,93750	41,2	-		
	0,0	54,9	-		0,93750	54,9	-		
	0,0	68,6	-		0,93750	68,6	-		
	0,0	82,4	-		0,93750	82,4	-		
	0,0	96,1	-		0,85938	96,1	-		
	0,0	109,8	-		0,85938	109,8	-		
	0,0	123,5	-		0,78125	123,5	-		
	0,0	137,3	-		0,78125	137,3	-		
	0,0	151,0	-		0,70313	151,0	-		
	0,0	164,7	-		0,70313	164,7	-		
	0,0	178,4	-		0,54688	178,4	-		
	0,0	192,2	-		0,29688	192,2	-		
	0,0	205,9	-		0,17188	205,9	-		
	0,0	219,6	-		0,09375	219,6	-		
	0,0	233,3	-		0,06250	233,3	-		
	0,0	247,1	-		0,00000	247,1	-		
	0,0	260,8	-		0,00000	260,8	-		
	0,0	274,5	-		0,00000	274,5	-		
	0,0	288,2	-		0,00000	288,2	-		
	0,0	302,0	-		0,00000	302,0	-		
	0,0	315,7	-		0,00000	315,7	-		
	0,0	329,4	-		0,00000	329,4	-		
	0,0	343,1	-		0,00000	343,1	-		
11:25:51	0,0	0,0	0,0	0,0	0,93750	0,0	2,180	192- 18%; 227- 1,8 %	90
	0,0	13,7	-		0,93750	13,7	-		
	0,0	27,5	-		0,93750	27,5	-		
	0,0	41,2	-		0,93400	41,2	-		
	0,0	54,9	-		0,93750	54,9	-		
	0,0	68,6	-		0,93400	68,6	-		
	0,0	82,4	-		0,93750	82,4	-		
	0,0	96,1	-		0,93750	96,1	-		
	0,0	109,8	-		0,85938	109,8	-		
	0,0	123,5	-		0,85938	123,5	-		
	0,0	137,3	-		0,78125	137,3	-		
	0,0	151,0	-		0,78125	151,0	-		
	0,0	164,7	-		0,70313	164,7	-		
	0,0	178,4	-		0,54688	178,4	-		
	0,0	192,2	-		0,30469	192,2	-		
	0,0	205,9	-		0,17969	205,9	-		

Time	DRT-1 Current	DRT-1 Bias Voltage	Current Density DRT-1	DRT-1 Ion Energy	DRT-2 Current	DRT-2 Bias Voltage	Current Density DRT-2	DRT-2 Ion Energy	SA Angle
hh:mm:ss	μA	V	μA/cm2	eV - %	μA	V	μA/cm2	eV	deg.
	0,0	219,6	-		0,09375	219,6	-		
	0,0	233,3	-		0,00000	233,3	-		
	0,0	247,1	-		0,00000	247,1	-		
	0,0	260,8	-		0,00000	260,8	-		
	0,0	274,5	-		0,00000	274,5	-		
	0,0	288,2	-		0,00000	288,2	-		
	0,0	302,0	-		0,00000	302,0	-		
	0,0	315,7	-		0,00000	315,7	-		
	0,0	329,4	-		0,00000	329,4	-		
	0,0	343,1	-		0,00000	343,1	-		
11:31:51	0,0	0,0	0,0	0,0	0,93750	0,0	2,180	122- 20%; 227- 3,5 %	92
	0,0	13,7	-		0,93750	13,7	-		
	0,0	27,5	-		0,93750	27,5	-		
	0,0	41,2	-		0,93750	41,2	-		
	0,0	54,9	-		0,93750	54,9	-		
	0,0	68,6	-		0,93750	68,6	-		
	0,0	82,4	-		0,93750	82,4	-		
	0,0	96,1	-		0,93750	96,1	-		
	0,0	109,8	-		0,85938	109,8	-		
	0,0	123,5	-		0,85938	123,5	-		
	0,0	137,3	-		0,78125	137,3	-		
	0,0	151,0	-		0,70313	151,0	-		
	0,0	164,7	-		0,70313	164,7	-		
	0,0	178,4	-		0,54688	178,4	-		
	0,0	192,2	-		0,30469	192,2	-		
	0,0	205,9	-		0,17969	205,9	-		
	0,0	219,6	-		0,09375	219,6	-		
	0,0	233,3	-		0,00000	233,3	-		
	0,0	247,1	-		0,00000	247,1	-		
	0,0	260,8	-		0,00000	260,8	-		
	0,0	274,5	-		0,00000	274,5	-		
	0,0	288,2	-		0,00000	288,2	-		
	0,0	302,0	-		0,00000	302,0	-		
	0,0	315,7	-		0,00000	315,7	-		
	0,0	329,4	-		0,00000	329,4	-		
	0,0	343,1	-		0,00000	343,1	-		
11:37:51	0,0	0,0	0,0	0,0	0,93750	0,0	2,180	161- 33%; 253- 1 %	100
	0,0	13,7	-		0,93750	13,7	-		
	0,0	27,5	-		0,93750	27,5	-		
	0,0	41,2	-		0,93750	41,2	-		
	0,0	54,9	-		0,93750	54,9	-		
	0,0	68,6	-		0,93750	68,6	-		
	0,0	82,4	-		0,93750	82,4	-		
	0,0	96,1	-		0,93750	96,1	-		
	0,0	109,8	-		0,93750	109,8	-		
	0,0	123,5	-		0,85938	123,5	-		
	0,0	137,3	-		0,78125	137,3	-		
	0,0	151,0	-		0,78125	151,0	-		
	0,0	164,7	-		0,62500	164,7	-		
	0,0	178,4	-		0,32031	178,4	-		
	0,0	192,2	-		0,30469	192,2	-		
	0,0	205,9	-		0,17188	205,9	-		
	0,0	219,6	-		0,10156	219,6	-		
	0,0	233,3	-		0,07031	233,3	-		
	0,0	247,1	-		0,02344	247,1	-		
	0,0	260,8	-		0,00000	260,8	-		
	0,0	274,5	-		0,00000	274,5	-		
	0,0	288,2	-		0,00000	288,2	-		
	0,0	302,0	-		0,00000	302,0	-		
	0,0	315,7	-		0,00000	315,7	-		

Time	DRT-1 Current	DRT-1 Bias Voltage	Current Density DRT-1	DRT-1 Ion Energy	DRT-2 Current	DRT-2 Bias Voltage	Current Density DRT-2	DRT-2 Ion Energy	SA Angle
hh:mm:ss	μA	V	μA/cm2	eV - %	μA	V	μA/cm2	eV	deg.
11:43:51	0,0	329,4	-	0,0	0,00000	329,4	-	175- 25%; 227- 2,5 %	105
	0,0	343,1	-		0,00000	343,1	-		
	0,0	0,0	0,0		0,93750	0,0	2,180		
	0,0	13,7	-		0,93750	13,7	-		
	0,0	27,5	-		0,93750	27,5	-		
	0,0	41,2	-		0,93750	41,2	-		
	0,0	54,9	-		0,93750	54,9	-		
	0,0	68,6	-		0,93750	68,6	-		
	0,0	82,4	-		0,93750	82,4	-		
	0,0	96,1	-		0,93750	96,1	-		
	0,0	109,8	-		0,85938	109,8	-		
	0,0	123,5	-		0,85938	123,5	-		
	0,0	137,3	-		0,78125	137,3	-		
	0,0	151,0	-		0,78125	151,0	-		
	0,0	164,7	-		0,70313	164,7	-		
	0,0	178,4	-		0,54688	178,4	-		
	0,0	192,2	-		0,30469	192,2	-		
	0,0	205,9	-		0,16406	205,9	-		
	0,0	219,6	-		0,07813	219,6	-		
	0,0	233,3	-		0,00000	233,3	-		
	0,0	247,1	-		0,00000	247,1	-		
	0,0	260,8	-		0,00000	260,8	-		
	0,0	274,5	-		0,00000	274,5	-		
	0,0	288,2	-		0,00000	288,2	-		
	0,0	302,0	-		0,00000	302,0	-		
	0,0	315,7	-		0,00000	315,7	-		
	0,0	329,4	-		0,00000	329,4	-		
	0,0	343,1	-		0,00000	343,1	-		
11:49:51	0,0	0,0	0,0	0,0	0,93750	0,0	2,180	175- 30%; 240- 2,5 %	105
	0,0	13,7	-		0,93750	13,7	-		
	0,0	27,5	-		0,93750	27,5	-		
	0,0	41,2	-		0,93750	41,2	-		
	0,0	54,9	-		0,93750	54,9	-		
	0,0	68,6	-		0,93750	68,6	-		
	0,0	82,4	-		0,93750	82,4	-		
	0,0	96,1	-		0,93750	96,1	-		
	0,0	109,8	-		0,85938	109,8	-		
	0,0	123,5	-		0,78125	123,5	-		
	0,0	137,3	-		0,78125	137,3	-		
	0,0	151,0	-		0,70313	151,0	-		
	0,0	164,7	-		0,70313	164,7	-		
	0,0	178,4	-		0,54688	178,4	-		
	0,0	192,2	-		0,30469	192,2	-		
	0,0	205,9	-		0,16406	205,9	-		
	0,0	219,6	-		0,08594	219,6	-		
	0,0	233,3	-		0,05469	233,3	-		
	0,0	247,1	-		0,00000	247,1	-		
	0,0	260,8	-		0,00000	260,8	-		
	0,0	274,5	-		0,00000	274,5	-		
	0,0	288,2	-		0,00000	288,2	-		
	0,0	302,0	-		0,00000	302,0	-		
	0,0	315,7	-		0,00000	315,7	-		
	0,0	329,4	-		0,00000	329,4	-		
	0,0	343,1	-		0,00000	343,1	-		
11:55:51	0,0	0,0	0,0	0,0	0,93750	0,0	2,180	175- 25%; 240- 1,5 %	105
	0,0	13,7	-		0,93750	13,7	-		
	0,0	27,5	-		0,93750	27,5	-		
	0,0	41,2	-		0,93750	41,2	-		
	0,0	54,9	-		0,93750	54,9	-		
	0,0	68,6	-		0,93750	68,6	-		

Time	DRT-1 Current	DRT-1 Bias Voltage	Current Density DRT-1	DRT-1 Ion Energy	DRT-2 Current	DRT-2 Bias Voltage	Current Density DRT-2	DRT-2 Ion Energy	SA Angle
hh:mm:ss	μA	V	μA/cm2	eV - %	μA	V	μA/cm2	eV	deg.
	0,0	82,4	-		0,93750	82,4	-		
	0,0	96,1	-		0,93750	96,1	-		
	0,0	109,8	-		0,85938	109,8	-		
	0,0	123,5	-		0,85938	123,5	-		
	0,0	137,3	-		0,78125	137,3	-		
	0,0	151,0	-		0,70313	151,0	-		
	0,0	164,7	-		0,70313	164,7	-		
	0,0	178,4	-		0,54688	178,4	-		
	0,0	192,2	-		0,30469	192,2	-		
	0,0	205,9	-		0,17188	205,9	-		
	0,0	219,6	-		0,10938	219,6	-		
	0,0	233,3	-		0,05469	233,3	-		
	0,0	247,1	-		0,00000	247,1	-		
	0,0	260,8	-		0,00000	260,8	-		
	0,0	274,5	-		0,00000	274,5	-		
	0,0	288,2	-		0,00000	288,2	-		
	0,0	302,0	-		0,00000	302,0	-		
	0,0	315,7	-		0,00000	315,7	-		
	0,0	329,4	-		0,00000	329,4	-		
	0,0	343,1	-		0,00000	343,1	-		
12:01:51	0,0	0,0	0,0	0,0	0,93750	0,0	2,180	175- 26%; 240- 2,7 %	105
	0,0	13,7	-		0,93750	13,7	-		
	0,0	27,5	-		0,93750	27,5	-		
	0,0	41,2	-		0,93750	41,2	-		
	0,0	54,9	-		0,93750	54,9	-		
	0,0	68,6	-		0,93750	68,6	-		
	0,0	82,4	-		0,93750	82,4	-		
	0,0	96,1	-		0,93750	96,1	-		
	0,0	109,8	-		0,85938	109,8	-		
	0,0	123,5	-		0,85938	123,5	-		
	0,0	137,3	-		0,78125	137,3	-		
	0,0	151,0	-		0,70313	151,0	-		
	0,0	164,7	-		0,62500	164,7	-		
	0,0	178,4	-		0,54688	178,4	-		
	0,0	192,2	-		0,29688	192,2	-		
	0,0	205,9	-		0,21094	205,9	-		
	0,0	219,6	-		0,08594	219,6	-		
	0,0	233,3	-		0,05469	233,3	-		
	0,0	247,1	-		0,00000	247,1	-		
	0,0	260,8	-		0,00000	260,8	-		
	0,0	274,5	-		0,00000	274,5	-		
	0,0	288,2	-		0,00000	288,2	-		
	0,0	302,0	-		0,00000	302,0	-		
	0,0	315,7	-		0,00000	315,7	-		
	0,0	329,4	-		0,00000	329,4	-		
	0,0	343,1	-		0,00000	343,1	-		
12:07:51	0,0	0,0	0,0	0,0	0,93750	0,0	2,180	123- 19%; 240- 0,5 %	105
	0,0	13,7	-		0,93750	13,7	-		
	0,0	27,5	-		0,93750	27,5	-		
	0,0	41,2	-		0,93750	41,2	-		
	0,0	54,9	-		0,93750	54,9	-		
	0,0	68,6	-		0,93750	68,6	-		
	0,0	82,4	-		0,85938	82,4	-		
	0,0	96,1	-		0,85938	96,1	-		
	0,0	109,8	-		0,85938	109,8	-		
	0,0	123,5	-		0,85938	123,5	-		
	0,0	137,3	-		0,78125	137,3	-		
	0,0	151,0	-		0,78125	151,0	-		
	0,0	164,7	-		0,70313	164,7	-		
	0,0	178,4	-		0,54688	178,4	-		

Time	DRT-1 Current	DRT-1 Bias Voltage	Current Density DRT-1	DRT-1 Ion Energy	DRT-2 Current	DRT-2 Bias Voltage	Current Density DRT-2	DRT-2 Ion Energy	SA Angle
hh:mm:ss	μA	V	μA/cm2	eV - %	μA	V	μA/cm2	eV	deg.
	0,0	192,2	-		0,30469	192,2	-		
	0,0	205,9	-		0,16406	205,9	-		
	0,0	219,6	-		0,10156	219,6	-		
	0,0	233,3	-		0,06250	233,3	-		
	0,0	247,1	-		0,00000	247,1	-		
	0,0	260,8	-		0,00000	260,8	-		
	0,0	274,5	-		0,00000	274,5	-		
	0,0	288,2	-		0,00000	288,2	-		
	0,0	302,0	-		0,00000	302,0	-		
	0,0	315,7	-		0,00000	315,7	-		
	0,0	329,4	-		0,00000	329,4	-		
	0,0	343,1	-		0,00000	343,1	-		
12:13:51	0,0	0,0	0,0	0,0	0,93750	0,0	2,180	110- 20%; 230- 2,5 %	105
	0,0	13,7	-		0,93750	13,7	-		
	0,0	27,5	-		0,93750	27,5	-		
	0,0	41,2	-		0,93750	41,2	-		
	0,0	54,9	-		0,93750	54,9	-		
	0,0	68,6	-		0,93750	68,6	-		
	0,0	82,4	-		0,93750	82,4	-		
	0,0	96,1	-		0,93750	96,1	-		
	0,0	109,8	-		0,85938	109,8	-		
	0,0	123,5	-		0,78125	123,5	-		
	0,0	137,3	-		0,78125	137,3	-		
	0,0	151,0	-		0,70313	151,0	-		
	0,0	164,7	-		0,62500	164,7	-		
	0,0	178,4	-		0,54688	178,4	-		
	0,0	192,2	-		0,39063	192,2	-		
	0,0	205,9	-		0,19531	205,9	-		
	0,0	219,6	-		0,09375	219,6	-		
	0,0	233,3	-		0,00000	233,3	-		
	0,0	247,1	-		0,00000	247,1	-		
	0,0	260,8	-		0,00000	260,8	-		
	0,0	274,5	-		0,00000	274,5	-		
	0,0	288,2	-		0,00000	288,2	-		
	0,0	302,0	-		0,00000	302,0	-		
	0,0	315,7	-		0,00000	315,7	-		
	0,0	329,4	-		0,00000	329,4	-		
	0,0	343,1	-		0,00000	343,1	-		
12:19:51	0,0	0,0	0,0	0,0	0,93750	0,0	2,180	120- 19%; 215- 3,5 %	105
	0,0	13,7	-		0,93750	13,7	-		
	0,0	27,5	-		0,93750	27,5	-		
	0,0	41,2	-		0,93750	41,2	-		
	0,0	54,9	-		0,93750	54,9	-		
	0,0	68,6	-		0,93750	68,6	-		
	0,0	82,4	-		0,85938	82,4	-		
	0,0	96,1	-		0,85938	96,1	-		
	0,0	109,8	-		0,85938	109,8	-		
	0,0	123,5	-		0,78125	123,5	-		
	0,0	137,3	-		0,78125	137,3	-		
	0,0	151,0	-		0,70313	151,0	-		
	0,0	164,7	-		0,70313	164,7	-		
	0,0	178,4	-		0,54688	178,4	-		
	0,0	192,2	-		0,31250	192,2	-		
	0,0	205,9	-		0,19531	205,9	-		
	0,0	219,6	-		0,00000	219,6	-		
	0,0	233,3	-		0,00000	233,3	-		
	0,0	247,1	-		0,00000	247,1	-		
	0,0	260,8	-		0,00000	260,8	-		
	0,0	274,5	-		0,00000	274,5	-		
	0,0	288,2	-		0,00000	288,2	-		

Time	DRT-1 Current	DRT-1 Bias Voltage	Current Density DRT-1	DRT-1 Ion Energy	DRT-2 Current	DRT-2 Bias Voltage	Current Density DRT-2	DRT-2 Ion Energy	SA Angle
hh:mm:ss	μA	V	μA/cm2	eV - %	μA	V	μA/cm2	eV	deg.
	0,0	302,0	-		0,00000	302,0	-		
	0,0	315,7	-		0,00000	315,7	-		
	0,0	329,4	-		0,00000	329,4	-		
	0,0	343,1	-		0,00000	343,1	-		
12:25:51	0,0	0,0	0,0	0,0	0,0	0,0	0,0	0,0	105
	0,0	13,7	-		0,0	13,7	-		
	0,0	27,5	-		0,0	27,5	-		
	0,0	41,2	-		0,0	41,2	-		
	0,0	54,9	-		0,0	54,9	-		
	0,0	68,6	-		0,0	68,6	-		
	0,0	82,4	-		0,0	82,4	-		
	0,0	96,1	-		0,0	96,1	-		
	0,0	109,8	-		0,0	109,8	-		
	0,0	123,5	-		0,0	123,5	-		
	0,0	137,3	-		0,0	137,3	-		
	0,0	151,0	-		0,0	151,0	-		
	0,0	164,7	-		0,0	164,7	-		
	0,0	178,4	-		0,0	178,4	-		
	0,0	192,2	-		0,0	192,2	-		
	0,0	205,9	-		0,0	205,9	-		
	0,0	219,6	-		0,0	219,6	-		
	0,0	233,3	-		0,0	233,3	-		
	0,0	247,1	-		0,0	247,1	-		
	0,0	260,8	-		0,0	260,8	-		
	0,0	274,5	-		0,0	274,5	-		
	0,0	288,2	-		0,0	288,2	-		
	0,0	302,0	-		0,0	302,0	-		
	0,0	315,7	-		0,0	315,7	-		
	0,0	329,4	-		0,0	329,4	-		
	0,0	343,1	-		0,0	343,1	-		

Annex 39. Information from A-type sensors at work RT4C1 for 02/07/00

Time of thruster Start-Up - 21:22:43

Time of thruster Switching Off - 22:52:43

Time	DRT-1 Current	DRT-1 Bias Voltage	Current Density DRT-1	DRT-1 Ion Energy	DRT-2 Current	DRT-2 Bias Voltage	Current Density DRT-2	DRT-2 Ion Energy	SA Angle
hh:mm:ss	μA	V	μA/cm2	eV - %	μA	V	μA/cm2	eV	deg.
21:19:51	0,0	0,0	0,0	0,0	0,0	0,0	0,0	0,0	240-255
21:25:51	0,0	13,7	-		0,0	13,7	-		
21:31:51	0,0	27,5	-		0,0	27,5	-		
21:37:51	0,0	41,2	-		0,0	41,2	-		
21:43:51	0,0	54,9	-		0,0	54,9	-		
21:49:51	0,0	68,6	-		0,0	68,6	-		
21:55:51	0,0	82,4	-		0,0	82,4	-		
22:01:51	0,0	96,1	-		0,0	96,1	-		
22:07:51	0,0	109,8	-		0,0	109,8	-		
22:13:51	0,0	123,5	-		0,0	123,5	-		
22:19:51	0,0	137,3	-		0,0	137,3	-		
22:25:51	0,0	151,0	-		0,0	151,0	-		
22:31:51	0,0	164,7	-		0,0	164,7	-		
22:37:51	0,0	178,4	-		0,0	178,4	-		
22:43:51	0,0	192,2	-		0,0	192,2	-		
22:49:51	0,0	205,9	-		0,0	205,9	-		
22:55:51	0,0	219,6	-		0,0	219,6	-		
	0,0	233,3	-		0,0	233,3	-		
	0,0	247,1	-		0,0	247,1	-		
	0,0	260,8	-		0,0	260,8	-		
	0,0	274,5	-		0,0	274,5	-		
	0,0	288,2	-		0,0	288,2	-		
	0,0	302,0	-		0,0	302,0	-		
	0,0	315,7	-		0,0	315,7	-		
	0,0	329,4	-		0,0	329,4	-		
	0,0	343,1	-		0,0	343,1	-		

Annex 40. Information from A-type sensors at work T4C1 for 02/07/00 – 03/07/00

Time of thruster Start-Up - 23:02:43
Time of thruster Switching Off - 00:32:43

Time	DRT-1 Current	DRT-1 Bias Voltage	Current Density DRT-1	DRT-1 Ion Energy	DRT-2 Current	DRT-2 Bias Voltage	Current Density DRT-2	DRT-2 Ion Energy	SA Angle
hh:mm:ss	μA	V	μA/cm2	eV - %	μA	V	μA/cm2	eV	deg.
23:01:51	0,0	0,0	0,0	0,0	0,0	0,0	0,0	0,0	270-285
23:07:51	0,0	13,7	-		0,0	13,7	-		
23:13:51	0,0	27,5	-		0,0	27,5	-		
23:19:51	0,0	41,2	-		0,0	41,2	-		
23:25:51	0,0	54,9	-		0,0	54,9	-		
23:31:51	0,0	68,6	-		0,0	68,6	-		
23:37:51	0,0	82,4	-		0,0	82,4	-		
23:43:51	0,0	96,1	-		0,0	96,1	-		
23:49:51	0,0	109,8	-		0,0	109,8	-		
23:55:51	0,0	123,5	-		0,0	123,5	-		
00:01:51	0,0	137,3	-		0,0	137,3	-		
00:07:51	0,0	151,0	-		0,0	151,0	-		
00:13:51	0,0	164,7	-		0,0	164,7	-		
00:19:51	0,0	178,4	-		0,0	178,4	-		
00:25:51	0,0	192,2	-		0,0	192,2	-		
00:31:51	0,0	205,9	-		0,0	205,9	-		
00:37:51	0,0	219,6	-		0,0	219,6	-		
	0,0	233,3	-		0,0	233,3	-		
	0,0	247,1	-		0,0	247,1	-		
	0,0	260,8	-		0,0	260,8	-		
	0,0	274,5	-		0,0	274,5	-		
	0,0	288,2	-		0,0	288,2	-		
	0,0	302,0	-		0,0	302,0	-		
	0,0	315,7	-		0,0	315,7	-		
	0,0	329,4	-		0,0	329,4	-		
	0,0	343,1	-		0,0	343,1	-		

Annex 41. Information from A-type sensors at work T4C1 for 06/07/00

Time of thruster Start-Up - 06:19:43

Time of thruster Switching Off - 06:34:43

Time	DRT-1 Current	DRT-1 Bias Voltage	Current Density DRT-1	DRT-1 Ion Energy	DRT-2 Current	DRT-2 Bias Voltage	Current Density DRT-2	DRT-2 Ion Energy	SA Angle
hh:mm:ss	μA	V	μA/cm2	eV - %	μA	V	μA/cm2	eV	deg.
06:13:44	0,0	0,0	0,0	0,0	0,0	0,0	0,0	0,0	0
	0,0	13,7	-		0,0	13,7	-		
	0,0	27,5	-		0,0	27,5	-		
	0,0	41,2	-		0,0	41,2	-		
	0,0	54,9	-		0,0	54,9	-		
	0,0	68,6	-		0,0	68,6	-		
	0,0	82,4	-		0,0	82,4	-		
	0,0	96,1	-		0,0	96,1	-		
	0,0	109,8	-		0,0	109,8	-		
	0,0	123,5	-		0,0	123,5	-		
	0,0	137,3	-		0,0	137,3	-		
	0,0	151,0	-		0,0	151,0	-		
	0,0	164,7	-		0,0	164,7	-		
	0,0	178,4	-		0,0	178,4	-		
	0,0	192,2	-		0,0	192,2	-		
	0,0	205,9	-		0,0	205,9	-		
	0,0	219,6	-		0,0	219,6	-		
	0,0	233,3	-		0,0	233,3	-		
	0,0	247,1	-		0,0	247,1	-		
	0,0	260,8	-		0,0	260,8	-		
	0,0	274,5	-		0,0	274,5	-		
	0,0	288,2	-		0,0	288,2	-		
	0,0	302,0	-		0,0	302,0	-		
	0,0	315,7	-		0,0	315,7	-		
	0,0	329,4	-		0,0	329,4	-		
	0,0	343,1	-		0,0	343,1	-		
06:19:44	15,62500	0,0	36,337	252- 21%; 290- 2%	0,0	0,0	0,0	0,0	0
	15,62500	13,7	-		0,0	13,7	-		
	15,62500	27,5	-		0,0	27,5	-		
	15,62500	41,2	-		0,0	41,2	-		
	15,62500	54,9	-		0,0	54,9	-		
	15,62500	68,6	-		0,0	68,6	-		
	15,62500	82,4	-		0,0	82,4	-		
	15,62500	96,1	-		0,0	96,1	-		
	15,62500	109,8	-		0,0	109,8	-		
	15,62500	123,5	-		0,0	123,5	-		
	15,62500	137,3	-		0,0	137,3	-		
	15,62500	151,0	-		0,0	151,0	-		
	15,62500	164,7	-		0,0	164,7	-		
	14,84375	178,4	-		0,0	178,4	-		
	14,06250	192,2	-		0,0	192,2	-		
	14,06250	205,9	-		0,0	205,9	-		
	12,50000	219,6	-		0,0	219,6	-		
	10,93750	233,3	-		0,0	233,3	-		
	8,59375	247,1	-		0,0	247,1	-		
	3,04688	260,8	-		0,0	260,8	-		
	1,48438	274,5	-		0,0	274,5	-		
	0,93750	288,2	-		0,0	288,2	-		
	0,00000	302,0	-		0,0	302,0	-		
	0,00000	315,7	-		0,0	315,7	-		
	0,00000	329,4	-		0,0	329,4	-		
	0,00000	343,1	-		0,0	343,1	-		

Time	DRT-1 Current	DRT-1 Bias Voltage	Current Density DRT-1	DRT-1 Ion Energy	DRT-2 Current	DRT-2 Bias Voltage	Current Density DRT-2	DRT-2 Ion Energy	SA Angle
hh:mm:ss	μA	V	μA/cm2	eV - %	μA	V	μA/cm2	eV	deg.
06:25:44	18,75000	0,0	43,605	252- 17%; 290- 6%	0,0	0,0	0,0	0,0	0
	18,75000	13,7	-		0,0	13,7	-		
	18,75000	27,5	-		0,0	27,5	-		
	18,75000	41,2	-		0,0	41,2	-		
	18,75000	54,9	-		0,0	54,9	-		
	18,75000	68,6	-		0,0	68,6	-		
	18,75000	82,4	-		0,0	82,4	-		
	18,75000	96,1	-		0,0	96,1	-		
	18,75000	109,8	-		0,0	109,8	-		
	18,75000	123,5	-		0,0	123,5	-		
	18,75000	137,3	-		0,0	137,3	-		
	18,75000	151,0	-		0,0	151,0	-		
	17,96875	164,7	-		0,0	164,7	-		
	17,18750	178,4	-		0,0	178,4	-		
	17,18750	192,2	-		0,0	192,2	-		
	16,40625	205,9	-		0,0	205,9	-		
	14,84375	219,6	-		0,0	219,6	-		
	12,50000	233,3	-		0,0	233,3	-		
	8,59375	247,1	-		0,0	247,1	-		
	3,12500	260,8	-		0,0	260,8	-		
	1,79688	274,5	-		0,0	274,5	-		
	0,93750	288,2	-		0,0	288,2	-		
	0,00000	302,0	-		0,0	302,0	-		
	0,00000	315,7	-		0,0	315,7	-		
	0,00000	329,4	-		0,0	329,4	-		
	0,00000	343,1	-		0,0	343,1	-		
06:31:44	18,75000	0,0	43,605	252- 15%; 290- 7%	0,0	0,0	0,0	0,0	0
	18,75000	13,7	-		0,0	13,7	-		
	18,75000	27,5	-		0,0	27,5	-		
	18,75000	41,2	-		0,0	41,2	-		
	18,75000	54,9	-		0,0	54,9	-		
	18,75000	68,6	-		0,0	68,6	-		
	18,75000	82,4	-		0,0	82,4	-		
	18,75000	96,1	-		0,0	96,1	-		
	18,75000	109,8	-		0,0	109,8	-		
	18,75000	123,5	-		0,0	123,5	-		
	17,96875	137,3	-		0,0	137,3	-		
	17,96875	151,0	-		0,0	151,0	-		
	17,96875	164,7	-		0,0	164,7	-		
	17,18750	178,4	-		0,0	178,4	-		
	16,40625	192,2	-		0,0	192,2	-		
	15,62500	205,9	-		0,0	205,9	-		
	14,06250	219,6	-		0,0	219,6	-		
	11,71875	233,3	-		0,0	233,3	-		
	7,81250	247,1	-		0,0	247,1	-		
	2,57813	260,8	-		0,0	260,8	-		
	1,25000	274,5	-		0,0	274,5	-		
	1,56250	288,2	-		0,0	288,2	-		
	0,00000	302,0	-		0,0	302,0	-		
	0,00000	315,7	-		0,0	315,7	-		
	0,00000	329,4	-		0,0	329,4	-		
	0,00000	343,1	-		0,0	343,1	-		
06:37:44	0,0	0,0	0,0	0,0	0,0	0,0	0,0	0,0	0
	0,0	13,7	-		0,0	13,7	-		
	0,0	27,5	-		0,0	27,5	-		
	0,0	41,2	-		0,0	41,2	-		
	0,0	54,9	-		0,0	54,9	-		
	0,0	68,6	-		0,0	68,6	-		
	0,0	82,4	-		0,0	82,4	-		
	0,0	96,1	-		0,0	96,1	-		

Time	DRT-1 Current	DRT-1 Bias Voltage	Current Density DRT-1	DRT-1 Ion Energy	DRT-2 Current	DRT-2 Bias Voltage	Current Density DRT-2	DRT-2 Ion Energy	SA Angle
hh:mm:ss	μA	V	μA/cm2	eV - %	μA	V	μA/cm2	eV	deg.
	0,0	109,8	-		0,0	109,8	-		
	0,0	123,5	-		0,0	123,5	-		
	0,0	137,3	-		0,0	137,3	-		
	0,0	151,0	-		0,0	151,0	-		
	0,0	164,7	-		0,0	164,7	-		
	0,0	178,4	-		0,0	178,4	-		
	0,0	192,2	-		0,0	192,2	-		
	0,0	205,9	-		0,0	205,9	-		
	0,0	219,6	-		0,0	219,6	-		
	0,0	233,3	-		0,0	233,3	-		
	0,0	247,1	-		0,0	247,1	-		
	0,0	260,8	-		0,0	260,8	-		
	0,0	274,5	-		0,0	274,5	-		
	0,0	288,2	-		0,0	288,2	-		
	0,0	302,0	-		0,0	302,0	-		
	0,0	315,7	-		0,0	315,7	-		
	0,0	329,4	-		0,0	329,4	-		
	0,0	343,1	-		0,0	343,1	-		

Annex 42. Information from A-type sensors at work T4C1 for 06/07/00

Time of thruster Start-Up - 12:19:43

Time of thruster Switching Off - 12:34:43

Time	DRT-1 Current	DRT-1 Bias Voltage	Current Density DRT-1	DRT-1 Ion Energy	DRT-2 Current	DRT-2 Bias Voltage	Current Density DRT-2	DRT-2 Ion Energy	SA Angle
hh:mm:ss	μA	V	μA/cm2	eV - %	μA	V	μA/cm2	eV	deg.
12:13:44	0,0	0,0	0,0	0,0	0,0	0,0	0,0	0,0	90
	0,0	13,7	-		0,0	13,7	-		
	0,0	27,5	-		0,0	27,5	-		
	0,0	41,2	-		0,0	41,2	-		
	0,0	54,9	-		0,0	54,9	-		
	0,0	68,6	-		0,0	68,6	-		
	0,0	82,4	-		0,0	82,4	-		
	0,0	96,1	-		0,0	96,1	-		
	0,0	109,8	-		0,0	109,8	-		
	0,0	123,5	-		0,0	123,5	-		
	0,0	137,3	-		0,0	137,3	-		
	0,0	151,0	-		0,0	151,0	-		
	0,0	164,7	-		0,0	164,7	-		
	0,0	178,4	-		0,0	178,4	-		
	0,0	192,2	-		0,0	192,2	-		
	0,0	205,9	-		0,0	205,9	-		
	0,0	219,6	-		0,0	219,6	-		
	0,0	233,3	-		0,0	233,3	-		
	0,0	247,1	-		0,0	247,1	-		
	0,0	260,8	-		0,0	260,8	-		
	0,0	274,5	-		0,0	274,5	-		
	0,0	288,2	-		0,0	288,2	-		
	0,0	302,0	-		0,0	302,0	-		
	0,0	315,7	-		0,0	315,7	-		
	0,0	329,4	-		0,0	329,4	-		
	0,0	343,1	-		0,0	343,1	-		
12:19:44	1,09375	0,0	2,544	150- 18%; 262- 0,8%	0,0	0,0	0,0	0,0	90
	1,09375	13,7	-		0,0	13,7	-		
	1,09375	27,5	-		0,0	27,5	-		
	1,09375	41,2	-		0,0	41,2	-		
	1,09375	54,9	-		0,0	54,9	-		
	1,01563	68,6	-		0,0	68,6	-		
	1,01563	82,4	-		0,0	82,4	-		
	1,01563	96,1	-		0,0	96,1	-		
	0,93750	109,8	-		0,0	109,8	-		
	0,85938	123,5	-		0,0	123,5	-		
	0,78125	137,3	-		0,0	137,3	-		
	0,70313	151,0	-		0,0	151,0	-		
	0,54688	164,7	-		0,0	164,7	-		
	0,39844	178,4	-		0,0	178,4	-		
	0,28906	192,2	-		0,0	192,2	-		
	0,19531	205,9	-		0,0	205,9	-		
	0,12500	219,6	-		0,0	219,6	-		
	0,05469	233,3	-		0,0	233,3	-		
	0,01563	247,1	-		0,0	247,1	-		
	0,00781	260,8	-		0,0	260,8	-		
	0,00000	274,5	-		0,0	274,5	-		
	0,00000	288,2	-		0,0	288,2	-		
	0,00000	302,0	-		0,0	302,0	-		
	0,00000	315,7	-		0,0	315,7	-		
	0,00000	329,4	-		0,0	329,4	-		
	0,00000	343,1	-		0,0	343,1	-		

Time	DRT-1 Current	DRT-1 Bias Voltage	Current Density DRT-1	DRT-1 Ion Energy	DRT-2 Current	DRT-2 Bias Voltage	Current Density DRT-2	DRT-2 Ion Energy	SA Angle
hh:mm:ss	μA	V	μA/cm2	eV - %	μA	V	μA/cm2	eV	deg.
12:25:44	1,25000	0,0	2,907	115- 13%; 235- 0,7%	0,0	0,0	0,0	0,0	90
	1,25000	13,7	-		0,0	13,7	-		
	1,25000	27,5	-		0,0	27,5	-		
	1,25000	41,2	-		0,0	41,2	-		
	1,25000	54,9	-		0,0	54,9	-		
	1,17188	68,6	-		0,0	68,6	-		
	1,17188	82,4	-		0,0	82,4	-		
	1,09375	96,1	-		0,0	96,1	-		
	1,01563	109,8	-		0,0	109,8	-		
	0,93750	123,5	-		0,0	123,5	-		
	0,85938	137,3	-		0,0	137,3	-		
	0,70313	151,0	-		0,0	151,0	-		
	0,54688	164,7	-		0,0	164,7	-		
	0,39063	178,4	-		0,0	178,4	-		
	0,29688	192,2	-		0,0	192,2	-		
	0,19531	205,9	-		0,0	205,9	-		
	0,10938	219,6	-		0,0	219,6	-		
	0,03125	233,3	-		0,0	233,3	-		
	0,00000	247,1	-		0,0	247,1	-		
	0,00000	260,8	-		0,0	260,8	-		
	0,00000	274,5	-		0,0	274,5	-		
	0,00000	288,2	-		0,0	288,2	-		
	0,00000	302,0	-		0,0	302,0	-		
	0,00000	315,7	-		0,0	315,7	-		
	0,00000	329,4	-		0,0	329,4	-		
	0,00000	343,1	-		0,0	343,1	-		
12:31:44	1,17188	0,0	2,725	122- 15%; 245- 1,5%	0,0	0,0	0,0	0,0	90
	1,17188	13,7	-		0,0	13,7	-		
	1,17188	27,5	-		0,0	27,5	-		
	1,17188	41,2	-		0,0	41,2	-		
	1,17188	54,9	-		0,0	54,9	-		
	1,09375	68,6	-		0,0	68,6	-		
	1,09375	82,4	-		0,0	82,4	-		
	1,01563	96,1	-		0,0	96,1	-		
	1,01563	109,8	-		0,0	109,8	-		
	0,93750	123,5	-		0,0	123,5	-		
	0,78125	137,3	-		0,0	137,3	-		
	0,70313	151,0	-		0,0	151,0	-		
	0,54688	164,7	-		0,0	164,7	-		
	0,39063	178,4	-		0,0	178,4	-		
	0,31250	192,2	-		0,0	192,2	-		
	0,21094	205,9	-		0,0	205,9	-		
	0,14063	219,6	-		0,0	219,6	-		
	0,07031	233,3	-		0,0	233,3	-		
	0,00000	247,1	-		0,0	247,1	-		
	0,00000	260,8	-		0,0	260,8	-		
	0,00000	274,5	-		0,0	274,5	-		
	0,00000	288,2	-		0,0	288,2	-		
	0,00000	302,0	-		0,0	302,0	-		
	0,00000	315,7	-		0,0	315,7	-		
	0,00000	329,4	-		0,0	329,4	-		
	0,00000	343,1	-		0,0	343,1	-		
12:37:44	0,0	0,0	0,0	0,0	0,0	0,0	0,0	0,0	90
	0,0	13,7	-		0,0	13,7	-		
	0,0	27,5	-		0,0	27,5	-		
	0,0	41,2	-		0,0	41,2	-		
	0,0	54,9	-		0,0	54,9	-		
	0,0	68,6	-		0,0	68,6	-		
	0,0	82,4	-		0,0	82,4	-		
	0,0	96,1	-		0,0	96,1	-		

Time	DRT-1 Current	DRT-1 Bias Voltage	Current Density DRT-1	DRT-1 Ion Energy	DRT-2 Current	DRT-2 Bias Voltage	Current Density DRT-2	DRT-2 Ion Energy	SA Angle
hh:mm:ss	μA	V	μA/cm2	eV - %	μA	V	μA/cm2	eV	deg.
	0,0	109,8	-		0,0	109,8	-		
	0,0	123,5	-		0,0	123,5	-		
	0,0	137,3	-		0,0	137,3	-		
	0,0	151,0	-		0,0	151,0	-		
	0,0	164,7	-		0,0	164,7	-		
	0,0	178,4	-		0,0	178,4	-		
	0,0	192,2	-		0,0	192,2	-		
	0,0	205,9	-		0,0	205,9	-		
	0,0	219,6	-		0,0	219,6	-		
	0,0	233,3	-		0,0	233,3	-		
	0,0	247,1	-		0,0	247,1	-		
	0,0	260,8	-		0,0	260,8	-		
	0,0	274,5	-		0,0	274,5	-		
	0,0	288,2	-		0,0	288,2	-		
	0,0	302,0	-		0,0	302,0	-		
	0,0	315,7	-		0,0	315,7	-		
	0,0	329,4	-		0,0	329,4	-		
	0,0	343,1	-		0,0	343,1	-		

Annex 43. Information from A-type sensors at work RT4C1 for 07/07/00

Time of thruster Start-Up - 04:36:43

Time of thruster Switching Off - 04:51:43

Time	DRT-1 Current	DRT-1 Bias Voltage	Current Density DRT-1	DRT-1 Ion Energy	DRT-2 Current	DRT-2 Bias Voltage	Current Density DRT-2	DRT-2 Ion Energy	SA Angle
hh:mm:ss	μA	V	μA/cm2	eV - %	μA	V	μA/cm2	eV	deg.
04:30:50	0,0	0,0	0,0	0,0	0,0	0,0	0,0	0,0	330
	0,0	13,7	-		0,0	13,7	-		
	0,0	27,5	-		0,0	27,5	-		
	0,0	41,2	-		0,0	41,2	-		
	0,0	54,9	-		0,0	54,9	-		
	0,0	68,6	-		0,0	68,6	-		
	0,0	82,4	-		0,0	82,4	-		
	0,0	96,1	-		0,0	96,1	-		
	0,0	109,8	-		0,0	109,8	-		
	0,0	123,5	-		0,0	123,5	-		
	0,0	137,3	-		0,0	137,3	-		
	0,0	151,0	-		0,0	151,0	-		
	0,0	164,7	-		0,0	164,7	-		
	0,0	178,4	-		0,0	178,4	-		
	0,0	192,2	-		0,0	192,2	-		
	0,0	205,9	-		0,0	205,9	-		
	0,0	219,6	-		0,0	219,6	-		
	0,0	233,3	-		0,0	233,3	-		
	0,0	247,1	-		0,0	247,1	-		
	0,0	260,8	-		0,0	260,8	-		
	0,0	274,5	-		0,0	274,5	-		
	0,0	288,2	-		0,0	288,2	-		
	0,0	302,0	-		0,0	302,0	-		
	0,0	315,7	-		0,0	315,7	-		
	0,0	329,4	-		0,0	329,4	-		
	0,0	343,1	-		0,0	343,1	-		
04:36:50	8,59375	0,0	19,985	181- 21%; 262- 5,5%	0,0	0,0	0,0	0,0	330
	8,59375	13,7	-		0,0	13,7	-		
	8,59375	27,5	-		0,0	27,5	-		
	8,59375	41,2	-		0,0	41,2	-		
	8,59375	54,9	-		0,0	54,9	-		
	8,59375	68,6	-		0,0	68,6	-		
	8,59375	82,4	-		0,0	82,4	-		
	8,59375	96,1	-		0,0	96,1	-		
	8,59375	109,8	-		0,0	109,8	-		
	8,59375	123,5	-		0,0	123,5	-		
	8,59375	137,3	-		0,0	137,3	-		
	8,59375	151,0	-		0,0	151,0	-		
	7,81250	164,7	-		0,0	164,7	-		
	7,81250	178,4	-		0,0	178,4	-		
	7,03125	192,2	-		0,0	192,2	-		
	6,25000	205,9	-		0,0	205,9	-		
	5,46875	219,6	-		0,0	219,6	-		
	4,21875	233,3	-		0,0	233,3	-		
	2,34375	247,1	-		0,0	247,1	-		
	0,70313	260,8	-		0,0	260,8	-		
	0,00000	274,5	-		0,0	274,5	-		
	0,00000	288,2	-		0,0	288,2	-		
	0,00000	302,0	-		0,0	302,0	-		
	0,00000	315,7	-		0,0	315,7	-		
	0,00000	329,4	-		0,0	329,4	-		
	0,00000	343,1	-		0,0	343,1	-		

Time	DRT-1 Current	DRT-1 Bias Voltage	Current Density DRT-1	DRT-1 Ion Energy	DRT-2 Current	DRT-2 Bias Voltage	Current Density DRT-2	DRT-2 Ion Energy	SA Angle
hh:mm:ss	μA	V	μA/cm2	eV - %	μA	V	μA/cm2	eV	deg.
04:42:50	12,50000	0,0	29,070	157- 13%; 193- 13%; 227- 13%; 262- 5%	0,0	0,0	0,0	0,0	330
	12,50000	13,7	-		0,0	13,7	-		
	12,50000	27,5	-		0,0	27,5	-		
	12,50000	41,2	-		0,0	41,2	-		
	12,50000	54,9	-		0,0	54,9	-		
	12,50000	68,6	-		0,0	68,6	-		
	12,50000	82,4	-		0,0	82,4	-		
	12,50000	96,1	-		0,0	96,1	-		
	12,50000	109,8	-		0,0	109,8	-		
	12,50000	123,5	-		0,0	123,5	-		
	11,71875	137,3	-		0,0	137,3	-		
	11,71875	151,0	-		0,0	151,0	-		
	10,93750	164,7	-		0,0	164,7	-		
	10,93750	178,4	-		0,0	178,4	-		
	10,15625	192,2	-		0,0	192,2	-		
	9,37500	205,9	-		0,0	205,9	-		
	7,81250	219,6	-		0,0	219,6	-		
	5,46875	233,3	-		0,0	233,3	-		
	2,96875	247,1	-		0,0	247,1	-		
	0,93750	260,8	-		0,0	260,8	-		
	0,00000	274,5	-		0,0	274,5	-		
	0,00000	288,2	-		0,0	288,2	-		
	0,00000	302,0	-		0,0	302,0	-		
	0,00000	315,7	-		0,0	315,7	-		
	0,00000	329,4	-		0,0	329,4	-		
	0,00000	343,1	-		0,0	343,1	-		
04:48:50	13,28125	0,0	30,887	157- 13%; 262- 5,6%	0,0	0,0	0,0	0,0	330
	13,28125	13,7	-		0,0	13,7	-		
	13,28125	27,5	-		0,0	27,5	-		
	13,28125	41,2	-		0,0	41,2	-		
	13,28125	54,9	-		0,0	54,9	-		
	13,28125	68,6	-		0,0	68,6	-		
	13,28125	82,4	-		0,0	82,4	-		
	13,28125	96,1	-		0,0	96,1	-		
	13,28125	109,8	-		0,0	109,8	-		
	13,28125	123,5	-		0,0	123,5	-		
	13,28125	137,3	-		0,0	137,3	-		
	12,50000	151,0	-		0,0	151,0	-		
	11,71875	164,7	-		0,0	164,7	-		
	10,93750	178,4	-		0,0	178,4	-		
	10,15625	192,2	-		0,0	192,2	-		
	9,37500	205,9	-		0,0	205,9	-		
	7,81250	219,6	-		0,0	219,6	-		
	4,68750	233,3	-		0,0	233,3	-		
	3,12500	247,1	-		0,0	247,1	-		
	1,01563	260,8	-		0,0	260,8	-		
	0,00000	274,5	-		0,0	274,5	-		
	0,00000	288,2	-		0,0	288,2	-		
	0,00000	302,0	-		0,0	302,0	-		
	0,00000	315,7	-		0,0	315,7	-		
	0,00000	329,4	-		0,0	329,4	-		
	0,00000	343,1	-		0,0	343,1	-		
04:54:50	0,0	0,0	0,0	0,0	0,0	0,0	0,0	0,0	330
	0,0	13,7	-		0,0	13,7	-		
	0,0	27,5	-		0,0	27,5	-		
	0,0	41,2	-		0,0	41,2	-		
	0,0	54,9	-		0,0	54,9	-		
	0,0	68,6	-		0,0	68,6	-		
	0,0	82,4	-		0,0	82,4	-		
	0,0	96,1	-		0,0	96,1	-		

Time	DRT-1 Current	DRT-1 Bias Voltage	Current Density DRT-1	DRT-1 Ion Energy	DRT-2 Current	DRT-2 Bias Voltage	Current Density DRT-2	DRT-2 Ion Energy	SA Angle
hh:mm:ss	μA	V	μA/cm2	eV - %	μA	V	μA/cm2	eV	deg.
	0,0	109,8	-		0,0	109,8	-		
	0,0	123,5	-		0,0	123,5	-		
	0,0	137,3	-		0,0	137,3	-		
	0,0	151,0	-		0,0	151,0	-		
	0,0	164,7	-		0,0	164,7	-		
	0,0	178,4	-		0,0	178,4	-		
	0,0	192,2	-		0,0	192,2	-		
	0,0	205,9	-		0,0	205,9	-		
	0,0	219,6	-		0,0	219,6	-		
	0,0	233,3	-		0,0	233,3	-		
	0,0	247,1	-		0,0	247,1	-		
	0,0	260,8	-		0,0	260,8	-		
	0,0	274,5	-		0,0	274,5	-		
	0,0	288,2	-		0,0	288,2	-		
	0,0	302,0	-		0,0	302,0	-		
	0,0	315,7	-		0,0	315,7	-		
	0,0	329,4	-		0,0	329,4	-		
	0,0	343,1	-		0,0	343,1	-		

Annex 44. Information from A-type sensors at work RT4C1 for 07/07/00

Time of thruster Start-Up - 06:36:43

Time of thruster Switching Off - 06:51:43

Time	DRT-1 Current	DRT-1 Bias Voltage	Current Density DRT-1	DRT-1 Ion Energy	DRT-2 Current	DRT-2 Bias Voltage	Current Density DRT-2	DRT-2 Ion Energy	SA Angle
hh:mm:ss	μA	V	μA/cm2	eV - %	μA	V	μA/cm2	eV	deg.
06:30:50	0,0	0,0	0,0	0,0	0,0	0,0	0,0	0,0	0
	0,0	13,7	-		0,0	13,7	-		
	0,0	27,5	-		0,0	27,5	-		
	0,0	41,2	-		0,0	41,2	-		
	0,0	54,9	-		0,0	54,9	-		
	0,0	68,6	-		0,0	68,6	-		
	0,0	82,4	-		0,0	82,4	-		
	0,0	96,1	-		0,0	96,1	-		
	0,0	109,8	-		0,0	109,8	-		
	0,0	123,5	-		0,0	123,5	-		
	0,0	137,3	-		0,0	137,3	-		
	0,0	151,0	-		0,0	151,0	-		
	0,0	164,7	-		0,0	164,7	-		
	0,0	178,4	-		0,0	178,4	-		
	0,0	192,2	-		0,0	192,2	-		
	0,0	205,9	-		0,0	205,9	-		
	0,0	219,6	-		0,0	219,6	-		
	0,0	233,3	-		0,0	233,3	-		
	0,0	247,1	-		0,0	247,1	-		
	0,0	260,8	-		0,0	260,8	-		
	0,0	274,5	-		0,0	274,5	-		
	0,0	288,2	-		0,0	288,2	-		
	0,0	302,0	-		0,0	302,0	-		
	0,0	315,7	-		0,0	315,7	-		
	0,0	329,4	-		0,0	329,4	-		
	0,0	343,1	-		0,0	343,1	-		
06:36:50	17,18750	0,0	39,971	245- 18%; 290- 9,5%	0,0	0,0	0,0	0,0	0
	17,18750	13,7	-		0,0	13,7	-		
	17,18750	27,5	-		0,0	27,5	-		
	17,18750	41,2	-		0,0	41,2	-		
	17,18750	54,9	-		0,0	54,9	-		
	17,18750	68,6	-		0,0	68,6	-		
	17,18750	82,4	-		0,0	82,4	-		
	17,18750	96,1	-		0,0	96,1	-		
	17,18750	109,8	-		0,0	109,8	-		
	17,18750	123,5	-		0,0	123,5	-		
	17,18750	137,3	-		0,0	137,3	-		
	16,40625	151,0	-		0,0	151,0	-		
	16,40625	164,7	-		0,0	164,7	-		
	16,40625	178,4	-		0,0	178,4	-		
	15,62500	192,2	-		0,0	192,2	-		
	15,62500	205,9	-		0,0	205,9	-		
	14,84375	219,6	-		0,0	219,6	-		
	12,50000	233,3	-		0,0	233,3	-		
	7,81250	247,1	-		0,0	247,1	-		
	2,42188	260,8	-		0,0	260,8	-		
	1,01563	274,5	-		0,0	274,5	-		
	0,48438	288,2	-		0,0	288,2	-		
	0,00000	302,0	-		0,0	302,0	-		
	0,00000	315,7	-		0,0	315,7	-		
	0,00000	329,4	-		0,0	329,4	-		
	0,00000	343,1	-		0,0	343,1	-		

Time	DRT-1 Current	DRT-1 Bias Voltage	Current Density DRT-1	DRT-1 Ion Energy	DRT-2 Current	DRT-2 Bias Voltage	Current Density DRT-2	DRT-2 Ion Energy	SA Angle
hh:mm:ss	μA	V	μA/cm2	eV - %	μA	V	μA/cm2	eV	deg.
06:42:50	19,53125	0,0	45,422	235- 20%; 290- 7%	0,0	0,0	0,0	0,0	0
	19,53125	13,7	-		0,0	13,7	-		
	19,53125	27,5	-		0,0	27,5	-		
	19,53125	41,2	-		0,0	41,2	-		
	19,53125	54,9	-		0,0	54,9	-		
	19,53125	68,6	-		0,0	68,6	-		
	19,53125	82,4	-		0,0	82,4	-		
	19,53125	96,1	-		0,0	96,1	-		
	19,53125	109,8	-		0,0	109,8	-		
	19,53125	123,5	-		0,0	123,5	-		
	19,53125	137,3	-		0,0	137,3	-		
	19,53125	151,0	-		0,0	151,0	-		
	18,75000	164,7	-		0,0	164,7	-		
	18,75000	178,4	-		0,0	178,4	-		
	18,75000	192,2	-		0,0	192,2	-		
	17,96875	205,9	-		0,0	205,9	-		
	17,18750	219,6	-		0,0	219,6	-		
	14,84375	233,3	-		0,0	233,3	-		
	8,59375	247,1	-		0,0	247,1	-		
	2,81250	260,8	-		0,0	260,8	-		
	1,48438	274,5	-		0,0	274,5	-		
	0,85938	288,2	-		0,0	288,2	-		
	0,00000	302,0	-		0,0	302,0	-		
	0,00000	315,7	-		0,0	315,7	-		
	0,00000	329,4	-		0,0	329,4	-		
	0,00000	343,1	-		0,0	343,1	-		
06:48:50	23,43750	0,0	54,506	235- 17%; 290- 6%	0,0	0,0	0,0	0,0	0
	23,43750	13,7	-		0,0	13,7	-		
	23,43750	27,5	-		0,0	27,5	-		
	23,43750	41,2	-		0,0	41,2	-		
	23,43750	54,9	-		0,0	54,9	-		
	23,43750	68,6	-		0,0	68,6	-		
	23,43750	82,4	-		0,0	82,4	-		
	23,43750	96,1	-		0,0	96,1	-		
	23,43750	109,8	-		0,0	109,8	-		
	23,43750	123,5	-		0,0	123,5	-		
	23,43750	137,3	-		0,0	137,3	-		
	22,65625	151,0	-		0,0	151,0	-		
	22,65625	164,7	-		0,0	164,7	-		
	22,65625	178,4	-		0,0	178,4	-		
	21,87500	192,2	-		0,0	192,2	-		
	21,87500	205,9	-		0,0	205,9	-		
	20,31250	219,6	-		0,0	219,6	-		
	17,18750	233,3	-		0,0	233,3	-		
	9,37500	247,1	-		0,0	247,1	-		
	3,20313	260,8	-		0,0	260,8	-		
	1,79688	274,5	-		0,0	274,5	-		
	0,93750	288,2	-		0,0	288,2	-		
	0,00000	302,0	-		0,0	302,0	-		
	0,00000	315,7	-		0,0	315,7	-		
	0,00000	329,4	-		0,0	329,4	-		
	0,00000	343,1	-		0,0	343,1	-		
06:54:50	0,0	0,0	0,0	0,0	0,0	0,0	0,0	0,0	0
	0,0	13,7	-		0,0	13,7	-		
	0,0	27,5	-		0,0	27,5	-		
	0,0	41,2	-		0,0	41,2	-		
	0,0	54,9	-		0,0	54,9	-		
	0,0	68,6	-		0,0	68,6	-		
	0,0	82,4	-		0,0	82,4	-		
	0,0	96,1	-		0,0	96,1	-		

Time	DRT-1 Current	DRT-1 Bias Voltage	Current Density DRT-1	DRT-1 Ion Energy	DRT-2 Current	DRT-2 Bias Voltage	Current Density DRT-2	DRT-2 Ion Energy	SA Angle
hh:mm:ss	μA	V	μA/cm2	eV - %	μA	V	μA/cm2	eV	deg.
	0,0	109,8	-		0,0	109,8	-		
	0,0	123,5	-		0,0	123,5	-		
	0,0	137,3	-		0,0	137,3	-		
	0,0	151,0	-		0,0	151,0	-		
	0,0	164,7	-		0,0	164,7	-		
	0,0	178,4	-		0,0	178,4	-		
	0,0	192,2	-		0,0	192,2	-		
	0,0	205,9	-		0,0	205,9	-		
	0,0	219,6	-		0,0	219,6	-		
	0,0	233,3	-		0,0	233,3	-		
	0,0	247,1	-		0,0	247,1	-		
	0,0	260,8	-		0,0	260,8	-		
	0,0	274,5	-		0,0	274,5	-		
	0,0	288,2	-		0,0	288,2	-		
	0,0	302,0	-		0,0	302,0	-		
	0,0	315,7	-		0,0	315,7	-		
	0,0	329,4	-		0,0	329,4	-		
	0,0	343,1	-		0,0	343,1	-		

Annex 45. Information from A-type sensors at work RT4C1 for 07/07/00

Time of thruster Start-Up - 12:36:43

Time of thruster Switching Off - 12:51:43

Time	DRT-1 Current	DRT-1 Bias Voltage	Current Density DRT-1	DRT-1 Ion Energy	DRT-2 Current	DRT-2 Bias Voltage	Current Density DRT-2	DRT-2 Ion Energy	SA Angle
hh:mm:ss	μA	V	μA/cm2	eV - %	μA	V	μA/cm2	eV	deg.
12:30:50	0,0	0,0	0,0	0,0	0,0	0,0	0,0	0,0	90
	0,0	13,7	-		0,0	13,7	-		
	0,0	27,5	-		0,0	27,5	-		
	0,0	41,2	-		0,0	41,2	-		
	0,0	54,9	-		0,0	54,9	-		
	0,0	68,6	-		0,0	68,6	-		
	0,0	82,4	-		0,0	82,4	-		
	0,0	96,1	-		0,0	96,1	-		
	0,0	109,8	-		0,0	109,8	-		
	0,0	123,5	-		0,0	123,5	-		
	0,0	137,3	-		0,0	137,3	-		
	0,0	151,0	-		0,0	151,0	-		
	0,0	164,7	-		0,0	164,7	-		
	0,0	178,4	-		0,0	178,4	-		
	0,0	192,2	-		0,0	192,2	-		
	0,0	205,9	-		0,0	205,9	-		
	0,0	219,6	-		0,0	219,6	-		
	0,0	233,3	-		0,0	233,3	-		
	0,0	247,1	-		0,0	247,1	-		
	0,0	260,8	-		0,0	260,8	-		
	0,0	274,5	-		0,0	274,5	-		
	0,0	288,2	-		0,0	288,2	-		
	0,0	302,0	-		0,0	302,0	-		
	0,0	315,7	-		0,0	315,7	-		
	0,0	329,4	-		0,0	329,4	-		
	0,0	343,1	-		0,0	343,1	-		
12:36:50	0,46875	0,0	1,090	105- 33%; 262- 1,7%	0,0	0,0	0,0	0,0	90
	0,46875	13,7	-		0,0	13,7	-		
	0,46875	27,5	-		0,0	27,5	-		
	0,46875	41,2	-		0,0	41,2	-		
	0,46875	54,9	-		0,0	54,9	-		
	0,45313	68,6	-		0,0	68,6	-		
	0,43750	82,4	-		0,0	82,4	-		
	0,39844	96,1	-		0,0	96,1	-		
	0,36719	109,8	-		0,0	109,8	-		
	0,32813	123,5	-		0,0	123,5	-		
	0,26563	137,3	-		0,0	137,3	-		
	0,20313	151,0	-		0,0	151,0	-		
	0,13281	164,7	-		0,0	164,7	-		
	0,07031	178,4	-		0,0	178,4	-		
	0,03906	192,2	-		0,0	192,2	-		
	0,02344	205,9	-		0,0	205,9	-		
	0,02344	219,6	-		0,0	219,6	-		
	0,01563	233,3	-		0,0	233,3	-		
	0,01563	247,1	-		0,0	247,1	-		
	0,01563	260,8	-		0,0	260,8	-		
	0,00000	274,5	-		0,0	274,5	-		
	0,00000	288,2	-		0,0	288,2	-		
	0,00000	302,0	-		0,0	302,0	-		
	0,00000	315,7	-		0,0	315,7	-		
	0,00000	329,4	-		0,0	329,4	-		
	0,00000	343,1	-		0,0	343,1	-		

Time	DRT-1 Current	DRT-1 Bias Voltage	Current Density DRT-1	DRT-1 Ion Energy	DRT-2 Current	DRT-2 Bias Voltage	Current Density DRT-2	DRT-2 Ion Energy	SA Angle
hh:mm:ss	μA	V	μA/cm2	eV - %	μA	V	μA/cm2	eV	deg.
12:42:50	0,54688	0,0	1,272	87- 29%; 250- 1,5%	0,0	0,0	0,0	0,0	90
	0,54688	13,7	-		0,0	13,7	-		
	0,54688	27,5	-		0,0	27,5	-		
	0,54688	41,2	-		0,0	41,2	-		
	0,46875	54,9	-		0,0	54,9	-		
	0,46875	68,6	-		0,0	68,6	-		
	0,46875	82,4	-		0,0	82,4	-		
	0,39063	96,1	-		0,0	96,1	-		
	0,37500	109,8	-		0,0	109,8	-		
	0,32031	123,5	-		0,0	123,5	-		
	0,26563	137,3	-		0,0	137,3	-		
	0,20313	151,0	-		0,0	151,0	-		
	0,12500	164,7	-		0,0	164,7	-		
	0,07031	178,4	-		0,0	178,4	-		
	0,03125	192,2	-		0,0	192,2	-		
	0,02344	205,9	-		0,0	205,9	-		
	0,01563	219,6	-		0,0	219,6	-		
	0,01563	233,3	-		0,0	233,3	-		
	0,01563	247,1	-		0,0	247,1	-		
	0,00000	260,8	-		0,0	260,8	-		
	0,00000	274,5	-		0,0	274,5	-		
	0,00000	288,2	-		0,0	288,2	-		
	0,00000	302,0	-		0,0	302,0	-		
	0,00000	315,7	-		0,0	315,7	-		
	0,00000	329,4	-		0,0	329,4	-		
	0,00000	343,1	-		0,0	343,1	-		
12:48:50	0,54688	0,0	1,272	105- 32%; 227- 1,6%	0,0	0,0	0,0	0,0	90
	0,54688	13,7	-		0,0	13,7	-		
	0,54688	27,5	-		0,0	27,5	-		
	0,54688	41,2	-		0,0	41,2	-		
	0,46875	54,9	-		0,0	54,9	-		
	0,46875	68,6	-		0,0	68,6	-		
	0,46094	82,4	-		0,0	82,4	-		
	0,42188	96,1	-		0,0	96,1	-		
	0,38281	109,8	-		0,0	109,8	-		
	0,32813	123,5	-		0,0	123,5	-		
	0,25781	137,3	-		0,0	137,3	-		
	0,19531	151,0	-		0,0	151,0	-		
	0,12500	164,7	-		0,0	164,7	-		
	0,06250	178,4	-		0,0	178,4	-		
	0,03906	192,2	-		0,0	192,2	-		
	0,02344	205,9	-		0,0	205,9	-		
	0,01563	219,6	-		0,0	219,6	-		
	0,00000	233,3	-		0,0	233,3	-		
	0,00000	247,1	-		0,0	247,1	-		
	0,00000	260,8	-		0,0	260,8	-		
	0,00000	274,5	-		0,0	274,5	-		
	0,00000	288,2	-		0,0	288,2	-		
	0,00000	302,0	-		0,0	302,0	-		
	0,00000	315,7	-		0,0	315,7	-		
	0,00000	329,4	-		0,0	329,4	-		
	0,00000	343,1	-		0,0	343,1	-		
12:54:50	0,0	0,0	0,0	0,0	0,0	0,0	0,0	0,0	90
	0,0	13,7	-		0,0	13,7	-		
	0,0	27,5	-		0,0	27,5	-		
	0,0	41,2	-		0,0	41,2	-		
	0,0	54,9	-		0,0	54,9	-		
	0,0	68,6	-		0,0	68,6	-		
	0,0	82,4	-		0,0	82,4	-		
	0,0	96,1	-		0,0	96,1	-		

Time	DRT-1 Current	DRT-1 Bias Voltage	Current Density DRT-1	DRT-1 Ion Energy	DRT-2 Current	DRT-2 Bias Voltage	Current Density DRT-2	DRT-2 Ion Energy	SA Angle
hh:mm:ss	μA	V	μA/cm2	eV - %	μA	V	μA/cm2	eV	deg.
	0,0	109,8	-		0,0	109,8	-		
	0,0	123,5	-		0,0	123,5	-		
	0,0	137,3	-		0,0	137,3	-		
	0,0	151,0	-		0,0	151,0	-		
	0,0	164,7	-		0,0	164,7	-		
	0,0	178,4	-		0,0	178,4	-		
	0,0	192,2	-		0,0	192,2	-		
	0,0	205,9	-		0,0	205,9	-		
	0,0	219,6	-		0,0	219,6	-		
	0,0	233,3	-		0,0	233,3	-		
	0,0	247,1	-		0,0	247,1	-		
	0,0	260,8	-		0,0	260,8	-		
	0,0	274,5	-		0,0	274,5	-		
	0,0	288,2	-		0,0	288,2	-		
	0,0	302,0	-		0,0	302,0	-		
	0,0	315,7	-		0,0	315,7	-		
	0,0	329,4	-		0,0	329,4	-		
	0,0	343,1	-		0,0	343,1	-		

Annex 46. Information from A-type sensors at work RT4C1 for 08/07/00

Time of thruster Start-Up - 02:51:43

Time of thruster Switching Off - 03:06:43

Time	DRT-1 Current	DRT-1 Bias Voltage	Current Density DRT-1	DRT-1 Ion Energy	DRT-2 Current	DRT-2 Bias Voltage	Current Density DRT-2	DRT-2 Ion Energy	SA Angle
hh:mm:ss	μA	V	μA/cm2	eV - %	μA	V	μA/cm2	eV	deg.
02:48:50	0,0	0,0	0,0	0,0	0,0	0,0	0,0	0,0	90
	0,0	13,7	-		0,0	13,7	-		
	0,0	27,5	-		0,0	27,5	-		
	0,0	41,2	-		0,0	41,2	-		
	0,0	54,9	-		0,0	54,9	-		
	0,0	68,6	-		0,0	68,6	-		
	0,0	82,4	-		0,0	82,4	-		
	0,0	96,1	-		0,0	96,1	-		
	0,0	109,8	-		0,0	109,8	-		
	0,0	123,5	-		0,0	123,5	-		
	0,0	137,3	-		0,0	137,3	-		
	0,0	151,0	-		0,0	151,0	-		
	0,0	164,7	-		0,0	164,7	-		
	0,0	178,4	-		0,0	178,4	-		
	0,0	192,2	-		0,0	192,2	-		
	0,0	205,9	-		0,0	205,9	-		
	0,0	219,6	-		0,0	219,6	-		
	0,0	233,3	-		0,0	233,3	-		
	0,0	247,1	-		0,0	247,1	-		
	0,0	260,8	-		0,0	260,8	-		
	0,0	274,5	-		0,0	274,5	-		
	0,0	288,2	-		0,0	288,2	-		
	0,0	302,0	-		0,0	302,0	-		
	0,0	315,7	-		0,0	315,7	-		
	0,0	329,4	-		0,0	329,4	-		
	0,0	343,1	-		0,0	343,1	-		
02:54:50	0,32813	0,0	0,763	192- 10,2% 262- 2,5%	0,0	0,0	0,0	0,0	90
	0,32813	13,7	-		0,0	13,7	-		
	0,32813	27,5	-		0,0	27,5	-		
	0,32813	41,2	-		0,0	41,2	-		
	0,32031	54,9	-		0,0	54,9	-		
	0,32031	68,6	-		0,0	68,6	-		
	0,31250	82,4	-		0,0	82,4	-		
	0,30469	96,1	-		0,0	96,1	-		
	0,29688	109,8	-		0,0	109,8	-		
	0,28125	123,5	-		0,0	123,5	-		
	0,26563	137,3	-		0,0	137,3	-		
	0,24219	151,0	-		0,0	151,0	-		
	0,21875	164,7	-		0,0	164,7	-		
	0,17969	178,4	-		0,0	178,4	-		
	0,14063	192,2	-		0,0	192,2	-		
	0,08594	205,9	-		0,0	205,9	-		
	0,04688	219,6	-		0,0	219,6	-		
	0,03125	233,3	-		0,0	233,3	-		
	0,02344	247,1	-		0,0	247,1	-		
	0,01563	260,8	-		0,0	260,8	-		
	0,00000	274,5	-		0,0	274,5	-		
	0,00000	288,2	-		0,0	288,2	-		
	0,00000	302,0	-		0,0	302,0	-		
	0,00000	315,7	-		0,0	315,7	-		
	0,00000	329,4	-		0,0	329,4	-		
	0,00000	343,1	-		0,0	343,1	-		

Time	DRT-1 Current	DRT-1 Bias Voltage	Current Density DRT-1	DRT-1 Ion Energy	DRT-2 Current	DRT-2 Bias Voltage	Current Density DRT-2	DRT-2 Ion Energy	SA Angle
hh:mm:ss	μA	V	μA/cm2	eV - %	μA	V	μA/cm2	eV	deg.
03:00:50	0,35156	0,0	0,818	181- 9,5%	0,0	0,0	0,0	0,0	90
	0,35156	13,7	-	198- 9,5%	0,0	13,7	-		
	0,34375	27,5	-	210- 9,5%	0,0	27,5	-		
	0,34375	41,2	-	262- 2,2%	0,0	41,2	-		
	0,34375	54,9	-		0,0	54,9	-		
	0,34375	68,6	-		0,0	68,6	-		
	0,33594	82,4	-		0,0	82,4	-		
	0,32813	96,1	-		0,0	96,1	-		
	0,31250	109,8	-		0,0	109,8	-		
	0,29688	123,5	-		0,0	123,5	-		
	0,28125	137,3	-		0,0	137,3	-		
	0,25781	151,0	-		0,0	151,0	-		
	0,22656	164,7	-		0,0	164,7	-		
	0,18750	178,4	-		0,0	178,4	-		
	0,14063	192,2	-		0,0	192,2	-		
	0,08594	205,9	-		0,0	205,9	-		
	0,04688	219,6	-		0,0	219,6	-		
	0,03906	233,3	-		0,0	233,3	-		
	0,03125	247,1	-		0,0	247,1	-		
	0,02344	260,8	-		0,0	260,8	-		
	0,00000	274,5	-		0,0	274,5	-		
	0,00000	288,2	-		0,0	288,2	-		
	0,00000	302,0	-		0,0	302,0	-		
	0,00000	315,7	-		0,0	315,7	-		
	0,00000	329,4	-		0,0	329,4	-		
	0,00000	343,1	-		0,0	343,1	-		
03:06:50	0,0	0,0	0,0	0,0	0,0	0,0	0,0	0,0	90
	0,0	13,7	-		0,0	13,7	-		
	0,0	27,5	-		0,0	27,5	-		
	0,0	41,2	-		0,0	41,2	-		
	0,0	54,9	-		0,0	54,9	-		
	0,0	68,6	-		0,0	68,6	-		
	0,0	82,4	-		0,0	82,4	-		
	0,0	96,1	-		0,0	96,1	-		
	0,0	109,8	-		0,0	109,8	-		
	0,0	123,5	-		0,0	123,5	-		
	0,0	137,3	-		0,0	137,3	-		
	0,0	151,0	-		0,0	151,0	-		
	0,0	164,7	-		0,0	164,7	-		
	0,0	178,4	-		0,0	178,4	-		
	0,0	192,2	-		0,0	192,2	-		
	0,0	205,9	-		0,0	205,9	-		
	0,0	219,6	-		0,0	219,6	-		
	0,0	233,3	-		0,0	233,3	-		
	0,0	247,1	-		0,0	247,1	-		
	0,0	260,8	-		0,0	260,8	-		
	0,0	274,5	-		0,0	274,5	-		
	0,0	288,2	-		0,0	288,2	-		
	0,0	302,0	-		0,0	302,0	-		
	0,0	315,7	-		0,0	315,7	-		
	0,0	329,4	-		0,0	329,4	-		
	0,0	343,1	-		0,0	343,1	-		

Annex 47. Information from A-type sensors at work RT3C1 for 07/08/00

Time of thruster Start-Up - 12:48:19

Time of thruster Switching Off - 13:48:43

Time	DRT-1 Current	DRT-1 Bias Voltage	DRT-1 Current Density	DRT-1 Ion Energy	DRT-2 Current	DRT-2 Bias Voltage	DRT-2 Current Density	DRT-2 Ion Energy	SA Angle
hh:mm:ss	μA	V	μA/cm2	eV	μA	V	μA/cm2	eV	deg.
12:44:33	0,0	0,0	0,0	0,0	0,0	0,0	0,0	0,0	45
	0,0	13,7	-		0,0	13,7	-		
	0,0	27,5	-		0,0	27,5	-		
	0,0	41,2	-		0,0	41,2	-		
	0,0	54,9	-		0,0	54,9	-		
	0,0	68,6	-		0,0	68,6	-		
	0,0	82,4	-		0,0	82,4	-		
	0,0	96,1	-		0,0	96,1	-		
	0,0	109,8	-		0,0	109,8	-		
	0,0	123,5	-		0,0	123,5	-		
	0,0	137,3	-		0,0	137,3	-		
	0,0	151,0	-		0,0	151,0	-		
	0,0	164,7	-		0,0	164,7	-		
	0,0	178,4	-		0,0	178,4	-		
	0,0	192,2	-		0,0	192,2	-		
	0,0	205,9	-		0,0	205,9	-		
	0,0	219,6	-		0,0	219,6	-		
	0,0	233,3	-		0,0	233,3	-		
	0,0	247,1	-		0,0	247,1	-		
	0,0	260,8	-		0,0	260,8	-		
	0,0	274,5	-		0,0	274,5	-		
	0,0	288,2	-		0,0	288,2	-		
	0,0	302,0	-		0,0	302,0	-		
	0,0	315,7	-		0,0	315,7	-		
	0,0	329,4	-		0,0	329,4	-		
	0,0	343,1	-		0,0	343,1	-		
12:50:33	0,0	0,0	0,0	0,0	2,42188	0,0	5,632	200-20% 262- 2,5%	45
	0,0	13,7	-		2,42188	13,7	-		
	0,0	27,5	-		2,42188	27,5	-		
	0,0	41,2	-		2,42188	41,2	-		
	0,0	54,9	-		2,42188	54,9	-		
	0,0	68,6	-		2,42188	68,6	-		
	0,0	82,4	-		2,42188	82,4	-		
	0,0	96,1	-		2,42188	96,1	-		
	0,0	109,8	-		2,42188	109,8	-		
	0,0	123,5	-		2,42188	123,5	-		
	0,0	137,3	-		2,42188	137,3	-		
	0,0	151,0	-		2,42188	151,0	-		
	0,0	164,7	-		2,42188	164,7	-		
	0,0	178,4	-		2,18750	178,4	-		
	0,0	192,2	-		1,95313	192,2	-		
	0,0	205,9	-		1,17188	205,9	-		
	0,0	219,6	-		0,32031	219,6	-		
	0,0	233,3	-		0,22656	233,3	-		
	0,0	247,1	-		0,14063	247,1	-		
	0,0	260,8	-		0,07813	260,8	-		
	0,0	274,5	-		0,00000	274,5	-		
	0,0	288,2	-		0,00000	288,2	-		
	0,0	302,0	-		0,00000	302,0	-		
	0,0	315,7	-		0,00000	315,7	-		
	0,0	329,4	-		0,00000	329,4	-		
	0,0	343,1	-		0,00000	343,1	-		

Time	DRT-1 Current	DRT-1 Bias Voltage	DRT-1 Current Density	DRT-1 Ion Energy	DRT-2 Current	DRT-2 Bias Voltage	DRT-2 Current Density	DRT-2 Ion Energy	SA Angle
hh:mm:ss	μA	V	μA/cm2	eV	μA	V	μA/cm2	eV	deg.
12:56:33	0,0	0,0	0,0	0,0	2,73438	0,0	6,359	200-20% 270- 2%	45
	0,0	13,7	-		2,73438	13,7	-		
	0,0	27,5	-		2,73438	27,5	-		
	0,0	41,2	-		2,73438	41,2	-		
	0,0	54,9	-		2,65625	54,9	-		
	0,0	68,6	-		2,65625	68,6	-		
	0,0	82,4	-		2,65625	82,4	-		
	0,0	96,1	-		2,65625	96,1	-		
	0,0	109,8	-		2,65625	109,8	-		
	0,0	123,5	-		2,65625	123,5	-		
	0,0	137,3	-		2,65625	137,3	-		
	0,0	151,0	-		2,57813	151,0	-		
	0,0	164,7	-		2,57813	164,7	-		
	0,0	178,4	-		2,50000	178,4	-		
	0,0	192,2	-		2,18750	192,2	-		
	0,0	205,9	-		1,32813	205,9	-		
	0,0	219,6	-		0,46875	219,6	-		
	0,0	233,3	-		0,25781	233,3	-		
	0,0	247,1	-		0,17188	247,1	-		
	0,0	260,8	-		0,08594	260,8	-		
	0,0	274,5	-		0,00000	274,5	-		
	0,0	288,2	-		0,00000	288,2	-		
	0,0	302,0	-		0,00000	302,0	-		
	0,0	315,7	-		0,00000	315,7	-		
	0,0	329,4	-		0,00000	329,4	-		
	0,0	343,1	-		0,00000	343,1	-		
13:02:33	0,0	0,0	0,0	0,0	2,65625	0,0	6,177	200-20% 270- 2%	45
	0,0	13,7	-		2,65625	13,7	-		
	0,0	27,5	-		2,65625	27,5	-		
	0,0	41,2	-		2,65625	41,2	-		
	0,0	54,9	-		2,65625	54,9	-		
	0,0	68,6	-		2,65625	68,6	-		
	0,0	82,4	-		2,65625	82,4	-		
	0,0	96,1	-		2,65625	96,1	-		
	0,0	109,8	-		2,65625	109,8	-		
	0,0	123,5	-		2,65625	123,5	-		
	0,0	137,3	-		2,65625	137,3	-		
	0,0	151,0	-		2,65625	151,0	-		
	0,0	164,7	-		2,57813	164,7	-		
	0,0	178,4	-		2,50000	178,4	-		
	0,0	192,2	-		2,34375	192,2	-		
	0,0	205,9	-		1,48438	205,9	-		
	0,0	219,6	-		0,62500	219,6	-		
	0,0	233,3	-		0,28906	233,3	-		
	0,0	247,1	-		0,18750	247,1	-		
	0,0	260,8	-		0,10938	260,8	-		
	0,0	274,5	-		0,00000	274,5	-		
	0,0	288,2	-		0,00000	288,2	-		
	0,0	302,0	-		0,00000	302,0	-		
	0,0	315,7	-		0,00000	315,7	-		
	0,0	329,4	-		0,00000	329,4	-		
	0,0	343,1	-		0,00000	343,1	-		
13:08:33	0,0	0,0	0,0	0,0	2,65625	0,0	6,177	200-26% 270- 4%	45
	0,0	13,7	-		2,65625	13,7	-		
	0,0	27,5	-		2,65625	27,5	-		
	0,0	41,2	-		2,65625	41,2	-		
	0,0	54,9	-		2,65625	54,9	-		
	0,0	68,6	-		2,65625	68,6	-		
	0,0	82,4	-		2,65625	82,4	-		
	0,0	96,1	-		2,65625	96,1	-		

Time	DRT-1 Current	DRT-1 Bias Voltage	DRT-1 Current Density	DRT-1 Ion Energy	DRT-2 Current	DRT-2 Bias Voltage	DRT-2 Current Density	DRT-2 Ion Energy	SA Angle
hh:mm:ss	μA	V	μA/cm2	eV	μA	V	μA/cm2	eV	deg.
	0,0	109,8	-		2,65625	109,8	-		
	0,0	123,5	-		2,65625	123,5	-		
	0,0	137,3	-		2,65625	137,3	-		
	0,0	151,0	-		2,57813	151,0	-		
	0,0	164,7	-		2,57813	164,7	-		
	0,0	178,4	-		2,50000	178,4	-		
	0,0	192,2	-		2,34375	192,2	-		
	0,0	205,9	-		1,40625	205,9	-		
	0,0	219,6	-		0,62500	219,6	-		
	0,0	233,3	-		0,29688	233,3	-		
	0,0	247,1	-		0,17969	247,1	-		
	0,0	260,8	-		0,14063	260,8	-		
	0,0	274,5	-		0,00000	274,5	-		
	0,0	288,2	-		0,00000	288,2	-		
	0,0	302,0	-		0,00000	302,0	-		
	0,0	315,7	-		0,00000	315,7	-		
	0,0	329,4	-		0,00000	329,4	-		
	0,0	343,1	-		0,00000	343,1	-		
13:14:33	0,0	0,0	0,0	0,0	2,65625	0,0	6,177	210-26% 270- 3%	45
	0,0	13,7	-		2,65625	13,7	-		
	0,0	27,5	-		2,65625	27,5	-		
	0,0	41,2	-		2,65625	41,2	-		
	0,0	54,9	-		2,65625	54,9	-		
	0,0	68,6	-		2,65625	68,6	-		
	0,0	82,4	-		2,65625	82,4	-		
	0,0	96,1	-		2,65625	96,1	-		
	0,0	109,8	-		2,65625	109,8	-		
	0,0	123,5	-		2,65625	123,5	-		
	0,0	137,3	-		2,65625	137,3	-		
	0,0	151,0	-		2,57813	151,0	-		
	0,0	164,7	-		2,57813	164,7	-		
	0,0	178,4	-		2,50000	178,4	-		
	0,0	192,2	-		2,26563	192,2	-		
	0,0	205,9	-		1,56250	205,9	-		
	0,0	219,6	-		0,32031	219,6	-		
	0,0	233,3	-		0,28906	233,3	-		
	0,0	247,1	-		0,18750	247,1	-		
	0,0	260,8	-		0,12500	260,8	-		
	0,0	274,5	-		0,00000	274,5	-		
	0,0	288,2	-		0,00000	288,2	-		
	0,0	302,0	-		0,00000	302,0	-		
	0,0	315,7	-		0,00000	315,7	-		
	0,0	329,4	-		0,00000	329,4	-		
	0,0	343,1	-		0,00000	343,1	-		
13:20:33	0,0	0,0	0,0	0,0	2,57813	0,0	5,996	200-18% 262- 2%	54
	0,0	13,7	-		2,57813	13,7	-		
	0,0	27,5	-		2,57813	27,5	-		
	0,0	41,2	-		2,57813	41,2	-		
	0,0	54,9	-		2,57813	54,9	-		
	0,0	68,6	-		2,57813	68,6	-		
	0,0	82,4	-		2,57813	82,4	-		
	0,0	96,1	-		2,57813	96,1	-		
	0,0	109,8	-		2,50000	109,8	-		
	0,0	123,5	-		2,50000	123,5	-		
	0,0	137,3	-		2,50000	137,3	-		
	0,0	151,0	-		2,50000	151,0	-		
	0,0	164,7	-		2,42188	164,7	-		
	0,0	178,4	-		2,26563	178,4	-		
	0,0	192,2	-		1,87500	192,2	-		
	0,0	205,9	-		1,09375	205,9	-		

Time	DRT-1 Current	DRT-1 Bias Voltage	DRT-1 Current Density	DRT-1 Ion Energy	DRT-2 Current	DRT-2 Bias Voltage	DRT-2 Current Density	DRT-2 Ion Energy	SA Angle
hh:mm:ss	μA	V	μA/cm2	eV	μA	V	μA/cm2	eV	deg.
	0,0	219,6	-		0,46875	219,6	-		
	0,0	233,3	-		0,21094	233,3	-		
	0,0	247,1	-		0,12500	247,1	-		
	0,0	260,8	-		0,08594	260,8	-		
	0,0	274,5	-		0,00000	274,5	-		
	0,0	288,2	-		0,00000	288,2	-		
	0,0	302,0	-		0,00000	302,0	-		
	0,0	315,7	-		0,00000	315,7	-		
	0,0	329,4	-		0,00000	329,4	-		
	0,0	343,1	-		0,00000	343,1	-		
13:26:33	0,0	0,0	0,0	0,0	2,57813	0,0	5,996	200-18% 262- 1,5%	60
	0,0	13,7	-		2,57813	13,7	-		
	0,0	27,5	-		2,57813	27,5	-		
	0,0	41,2	-		2,57813	41,2	-		
	0,0	54,9	-		2,57813	54,9	-		
	0,0	68,6	-		2,57813	68,6	-		
	0,0	82,4	-		2,57813	82,4	-		
	0,0	96,1	-		2,57813	96,1	-		
	0,0	109,8	-		2,57813	109,8	-		
	0,0	123,5	-		2,57813	123,5	-		
	0,0	137,3	-		2,57813	137,3	-		
	0,0	151,0	-		2,42188	151,0	-		
	0,0	164,7	-		2,42188	164,7	-		
	0,0	178,4	-		2,34375	178,4	-		
	0,0	192,2	-		2,03125	192,2	-		
	0,0	205,9	-		1,17188	205,9	-		
	0,0	219,6	-		0,46875	219,6	-		
	0,0	233,3	-		0,21875	233,3	-		
	0,0	247,1	-		0,13281	247,1	-		
	0,0	260,8	-		0,06250	260,8	-		
	0,0	274,5	-		0,00000	274,5	-		
	0,0	288,2	-		0,00000	288,2	-		
	0,0	302,0	-		0,00000	302,0	-		
	0,0	315,7	-		0,00000	315,7	-		
	0,0	329,4	-		0,00000	329,4	-		
	0,0	343,1	-		0,00000	343,1	-		
13:32:33	0,0	0,0	0,0	0,0	2,57813	0,0	5,996	192-18% 262- 1,5%	60
	0,0	13,7	-		2,57813	13,7	-		
	0,0	27,5	-		2,57813	27,5	-		
	0,0	41,2	-		2,57813	41,2	-		
	0,0	54,9	-		2,57813	54,9	-		
	0,0	68,6	-		2,57813	68,6	-		
	0,0	82,4	-		2,57813	82,4	-		
	0,0	96,1	-		2,57813	96,1	-		
	0,0	109,8	-		2,57813	109,8	-		
	0,0	123,5	-		2,57813	123,5	-		
	0,0	137,3	-		2,50000	137,3	-		
	0,0	151,0	-		2,42188	151,0	-		
	0,0	164,7	-		2,34375	164,7	-		
	0,0	178,4	-		2,18750	178,4	-		
	0,0	192,2	-		1,87500	192,2	-		
	0,0	205,9	-		1,09375	205,9	-		
	0,0	219,6	-		0,32031	219,6	-		
	0,0	233,3	-		0,21875	233,3	-		
	0,0	247,1	-		0,13281	247,1	-		
	0,0	260,8	-		0,07031	260,8	-		
	0,0	274,5	-		0,00000	274,5	-		
	0,0	288,2	-		0,00000	288,2	-		
	0,0	302,0	-		0,00000	302,0	-		
	0,0	315,7	-		0,00000	315,7	-		

Time	DRT-1 Current	DRT-1 Bias Voltage	DRT-1 Current Density	DRT-1 Ion Energy	DRT-2 Current	DRT-2 Bias Voltage	DRT-2 Current Density	DRT-2 Ion Energy	SA Angle
hh:mm:ss	μA	V	μA/cm2	eV	μA	V	μA/cm2	eV	deg.
13:38:33	0,0	329,4	-	0,0	0,00000	329,4	-	200-19% 262- 2%	60
	0,0	343,1	-		0,00000	343,1	-		
	0,0	0,0	0,0		2,57813	0,0	5,996		
	0,0	13,7	-		2,57813	13,7	-		
	0,0	27,5	-		2,57813	27,5	-		
	0,0	41,2	-		2,57813	41,2	-		
	0,0	54,9	-		2,57813	54,9	-		
	0,0	68,6	-		2,57813	68,6	-		
	0,0	82,4	-		2,57813	82,4	-		
	0,0	96,1	-		2,42188	96,1	-		
	0,0	109,8	-		2,42188	109,8	-		
	0,0	123,5	-		2,42188	123,5	-		
	0,0	137,3	-		2,42188	137,3	-		
	0,0	151,0	-		2,34375	151,0	-		
	0,0	164,7	-		2,18750	164,7	-		
	0,0	178,4	-		2,10938	178,4	-		
	0,0	192,2	-		1,79688	192,2	-		
	0,0	205,9	-		1,01563	205,9	-		
	0,0	219,6	-		0,32031	219,6	-		
	0,0	233,3	-		0,18750	233,3	-		
	0,0	247,1	-		0,10938	247,1	-		
	0,0	260,8	-		0,08594	260,8	-		
	0,0	274,5	-		0,00000	274,5	-		
	0,0	288,2	-		0,00000	288,2	-		
	0,0	302,0	-		0,00000	302,0	-		
	0,0	315,7	-		0,00000	315,7	-		
	0,0	329,4	-		0,00000	329,4	-		
	0,0	343,1	-		0,00000	343,1	-		
13:44:33	0,0	0,0	0,0	0,0	2,57813	0,0	5,996	200-15% 262- 1,5%	60
	0,0	13,7	-		2,57813	13,7	-		
	0,0	27,5	-		2,57813	27,5	-		
	0,0	41,2	-		2,57813	41,2	-		
	0,0	54,9	-		2,57813	54,9	-		
	0,0	68,6	-		2,57813	68,6	-		
	0,0	82,4	-		2,57813	82,4	-		
	0,0	96,1	-		2,57813	96,1	-		
	0,0	109,8	-		2,57813	109,8	-		
	0,0	123,5	-		2,50000	123,5	-		
	0,0	137,3	-		2,42188	137,3	-		
	0,0	151,0	-		2,42188	151,0	-		
	0,0	164,7	-		2,34375	164,7	-		
	0,0	178,4	-		2,10938	178,4	-		
	0,0	192,2	-		1,79688	192,2	-		
	0,0	205,9	-		1,09375	205,9	-		
	0,0	219,6	-		0,31250	219,6	-		
	0,0	233,3	-		0,21094	233,3	-		
	0,0	247,1	-		0,11719	247,1	-		
	0,0	260,8	-		0,06250	260,8	-		
	0,0	274,5	-		0,00000	274,5	-		
	0,0	288,2	-		0,00000	288,2	-		
	0,0	302,0	-		0,00000	302,0	-		
	0,0	315,7	-		0,00000	315,7	-		
	0,0	329,4	-		0,00000	329,4	-		
	0,0	343,1	-		0,00000	343,1	-		
13:50:33	0,0	0,0	0,0	0,0	0,0	0,0	0,0	0	60
	0,0	13,7	-		0,0	13,7	-		
	0,0	27,5	-		0,0	27,5	-		
	0,0	41,2	-		0,0	41,2	-		
	0,0	54,9	-		0,0	54,9	-		
	0,0	68,6	-		0,0	68,6	-		

Time	DRT-1 Current	DRT-1 Bias Voltage	DRT-1 Current Density	DRT-1 Ion Energy	DRT-2 Current	DRT-2 Bias Voltage	DRT-2 Current Density	DRT-2 Ion Energy	SA Angle
hh:mm:ss	μA	V	μA/cm2	eV	μA	V	μA/cm2	eV	deg.
	0,0	82,4	-		0,0	82,4	-		
	0,0	96,1	-		0,0	96,1	-		
	0,0	109,8	-		0,0	109,8	-		
	0,0	123,5	-		0,0	123,5	-		
	0,0	137,3	-		0,0	137,3	-		
	0,0	151,0	-		0,0	151,0	-		
	0,0	164,7	-		0,0	164,7	-		
	0,0	178,4	-		0,0	178,4	-		
	0,0	192,2	-		0,0	192,2	-		
	0,0	205,9	-		0,0	205,9	-		
	0,0	219,6	-		0,0	219,6	-		
	0,0	233,3	-		0,0	233,3	-		
	0,0	247,1	-		0,0	247,1	-		
	0,0	260,8	-		0,0	260,8	-		
	0,0	274,5	-		0,0	274,5	-		
	0,0	288,2	-		0,0	288,2	-		
	0,0	302,0	-		0,0	302,0	-		
	0,0	315,7	-		0,0	315,7	-		
	0,0	329,4	-		0,0	329,4	-		
	0,0	343,1	-		0,0	343,1	-		

Annex 48. Information from A-type sensors at work RT3C1 for 08/08/00

Time of thruster Start-Up - 12:43:51

Time of thruster Switching Off - 13:44:15

Time	DRT-1 Current	DRT-1 Bias Voltage	DRT-1 Current Density	DRT-1 Ion Energy	DRT-2 Current	DRT-2 Bias Voltage	DRT-2 Current Density	DRT-2 Ion Energy	SA Angle
hh:mm:ss	μA	V	μA/cm2	eV	μA	V	μA/cm2	eV	deg.
12:38:33	0,0	0,0	0,0	0,0	0,0	0,0	0,0	0,0	45
	0,0	13,7	-		0,0	13,7	-		
	0,0	27,5	-		0,0	27,5	-		
	0,0	41,2	-		0,0	41,2	-		
	0,0	54,9	-		0,0	54,9	-		
	0,0	68,6	-		0,0	68,6	-		
	0,0	82,4	-		0,0	82,4	-		
	0,0	96,1	-		0,0	96,1	-		
	0,0	109,8	-		0,0	109,8	-		
	0,0	123,5	-		0,0	123,5	-		
	0,0	137,3	-		0,0	137,3	-		
	0,0	151,0	-		0,0	151,0	-		
	0,0	164,7	-		0,0	164,7	-		
	0,0	178,4	-		0,0	178,4	-		
	0,0	192,2	-		0,0	192,2	-		
	0,0	205,9	-		0,0	205,9	-		
	0,0	219,6	-		0,0	219,6	-		
	0,0	233,3	-		0,0	233,3	-		
	0,0	247,1	-		0,0	247,1	-		
	0,0	260,8	-		0,0	260,8	-		
	0,0	274,5	-		0,0	274,5	-		
	0,0	288,2	-		0,0	288,2	-		
	0,0	302,0	-		0,0	302,0	-		
	0,0	315,7	-		0,0	315,7	-		
	0,0	329,4	-		0,0	329,4	-		
	0,0	343,1	-		0,0	343,1	-		
12:44:33	0,0	0,0	0,0	0,0	2,34375	0,0	5,451	210-19% 262- 2,2%	45
	0,0	13,7	-		2,34375	13,7	-		
	0,0	27,5	-		2,34375	27,5	-		
	0,0	41,2	-		2,34375	41,2	-		
	0,0	54,9	-		2,34375	54,9	-		
	0,0	68,6	-		2,34375	68,6	-		
	0,0	82,4	-		2,34375	82,4	-		
	0,0	96,1	-		2,34375	96,1	-		
	0,0	109,8	-		2,34375	109,8	-		
	0,0	123,5	-		2,34375	123,5	-		
	0,0	137,3	-		2,34375	137,3	-		
	0,0	151,0	-		2,34375	151,0	-		
	0,0	164,7	-		2,34375	164,7	-		
	0,0	178,4	-		2,26563	178,4	-		
	0,0	192,2	-		1,87500	192,2	-		
	0,0	205,9	-		1,09375	205,9	-		
	0,0	219,6	-		0,46875	219,6	-		
	0,0	233,3	-		0,21094	233,3	-		
	0,0	247,1	-		0,14063	247,1	-		
	0,0	260,8	-		0,07813	260,8	-		
	0,0	274,5	-		0,00000	274,5	-		
	0,0	288,2	-		0,00000	288,2	-		
	0,0	302,0	-		0,00000	302,0	-		
	0,0	315,7	-		0,00000	315,7	-		
	0,0	329,4	-		0,00000	329,4	-		
	0,0	343,1	-		0,00000	343,1	-		

Time	DRT-1 Current	DRT-1 Bias Voltage	DRT-1 Current Density	DRT-1 Ion Energy	DRT-2 Current	DRT-2 Bias Voltage	DRT-2 Current Density	DRT-2 Ion Energy	SA Angle
hh:mm:ss	μA	V	μA/cm2	eV	μA	V	μA/cm2	eV	deg.
12:50:33	0,0	0,0	0,0	0,0	2,57813	0,0	5,996	210-28% 262- 1,5%	45
	0,0	13,7	-		2,57813	13,7	-		
	0,0	27,5	-		2,57813	27,5	-		
	0,0	41,2	-		2,57813	41,2	-		
	0,0	54,9	-		2,57813	54,9	-		
	0,0	68,6	-		2,57813	68,6	-		
	0,0	82,4	-		2,57813	82,4	-		
	0,0	96,1	-		2,57813	96,1	-		
	0,0	109,8	-		2,57813	109,8	-		
	0,0	123,5	-		2,42188	123,5	-		
	0,0	137,3	-		2,34375	137,3	-		
	0,0	151,0	-		2,34375	151,0	-		
	0,0	164,7	-		2,34375	164,7	-		
	0,0	178,4	-		2,26563	178,4	-		
	0,0	192,2	-		1,79688	192,2	-		
	0,0	205,9	-		1,01563	205,9	-		
	0,0	219,6	-		0,31250	219,6	-		
	0,0	233,3	-		0,21094	233,3	-		
	0,0	247,1	-		0,10938	247,1	-		
	0,0	260,8	-		0,07031	260,8	-		
	0,0	274,5	-		0,00000	274,5	-		
	0,0	288,2	-		0,00000	288,2	-		
	0,0	302,0	-		0,00000	302,0	-		
	0,0	315,7	-		0,00000	315,7	-		
	0,0	329,4	-		0,00000	329,4	-		
	0,0	343,1	-		0,00000	343,1	-		
12:56:33	0,0	0,0	0,0	0,0	2,57813	0,0	5,996	210-16% 270- 2,5%	45
	0,0	13,7	-		2,57813	13,7	-		
	0,0	27,5	-		2,57813	27,5	-		
	0,0	41,2	-		2,57813	41,2	-		
	0,0	54,9	-		2,57813	54,9	-		
	0,0	68,6	-		2,57813	68,6	-		
	0,0	82,4	-		2,57813	82,4	-		
	0,0	96,1	-		2,57813	96,1	-		
	0,0	109,8	-		2,50000	109,8	-		
	0,0	123,5	-		2,42188	123,5	-		
	0,0	137,3	-		2,42188	137,3	-		
	0,0	151,0	-		2,42188	151,0	-		
	0,0	164,7	-		2,42188	164,7	-		
	0,0	178,4	-		2,18750	178,4	-		
	0,0	192,2	-		1,79688	192,2	-		
	0,0	205,9	-		1,09375	205,9	-		
	0,0	219,6	-		0,31250	219,6	-		
	0,0	233,3	-		0,21094	233,3	-		
	0,0	247,1	-		0,09375	247,1	-		
	0,0	260,8	-		0,07031	260,8	-		
	0,0	274,5	-		0,00000	274,5	-		
	0,0	288,2	-		0,00000	288,2	-		
	0,0	302,0	-		0,00000	302,0	-		
	0,0	315,7	-		0,00000	315,7	-		
	0,0	329,4	-		0,00000	329,4	-		
	0,0	343,1	-		0,00000	343,1	-		
13:02:33	0,0	0,0	0,0	0,0	2,57813	0,0	5,996	200-21% 270- 3%	45
	0,0	13,7	-		2,57813	13,7	-		
	0,0	27,5	-		2,57813	27,5	-		
	0,0	41,2	-		2,57813	41,2	-		
	0,0	54,9	-		2,57813	54,9	-		
	0,0	68,6	-		2,57813	68,6	-		
	0,0	82,4	-		2,57813	82,4	-		
	0,0	96,1	-		2,57813	96,1	-		

Time	DRT-1 Current	DRT-1 Bias Voltage	DRT-1 Current Density	DRT-1 Ion Energy	DRT-2 Current	DRT-2 Bias Voltage	DRT-2 Current Density	DRT-2 Ion Energy	SA Angle
hh:mm:ss	μA	V	μA/cm2	eV	μA	V	μA/cm2	eV	deg.
	0,0	109,8	-		2,57813	109,8	-		
	0,0	123,5	-		2,57813	123,5	-		
	0,0	137,3	-		2,57813	137,3	-		
	0,0	151,0	-		2,42188	151,0	-		
	0,0	164,7	-		2,42188	164,7	-		
	0,0	178,4	-		2,34375	178,4	-		
	0,0	192,2	-		2,10938	192,2	-		
	0,0	205,9	-		1,48438	205,9	-		
	0,0	219,6	-		0,54688	219,6	-		
	0,0	233,3	-		0,25781	233,3	-		
	0,0	247,1	-		0,16406	247,1	-		
	0,0	260,8	-		0,07813	260,8	-		
	0,0	274,5	-		0,00000	274,5	-		
	0,0	288,2	-		0,00000	288,2	-		
	0,0	302,0	-		0,00000	302,0	-		
	0,0	315,7	-		0,00000	315,7	-		
	0,0	329,4	-		0,00000	329,4	-		
	0,0	343,1	-		0,00000	343,1	-		
13:08:33	0,0	0,0	0,0	0,0	2,57813	0,0	5,996	210-24% 262- 2,5%	45
	0,0	13,7	-		2,57813	13,7	-		
	0,0	27,5	-		2,57813	27,5	-		
	0,0	41,2	-		2,57813	41,2	-		
	0,0	54,9	-		2,57813	54,9	-		
	0,0	68,6	-		2,57813	68,6	-		
	0,0	82,4	-		2,57813	82,4	-		
	0,0	96,1	-		2,57813	96,1	-		
	0,0	109,8	-		2,57813	109,8	-		
	0,0	123,5	-		2,57813	123,5	-		
	0,0	137,3	-		2,57813	137,3	-		
	0,0	151,0	-		2,57813	151,0	-		
	0,0	164,7	-		2,42188	164,7	-		
	0,0	178,4	-		2,42188	178,4	-		
	0,0	192,2	-		2,10938	192,2	-		
	0,0	205,9	-		1,40625	205,9	-		
	0,0	219,6	-		0,32031	219,6	-		
	0,0	233,3	-		0,15625	233,3	-		
	0,0	247,1	-		0,19531	247,1	-		
	0,0	260,8	-		0,11719	260,8	-		
	0,0	274,5	-		0,00000	274,5	-		
	0,0	288,2	-		0,00000	288,2	-		
	0,0	302,0	-		0,00000	302,0	-		
	0,0	315,7	-		0,00000	315,7	-		
	0,0	329,4	-		0,00000	329,4	-		
	0,0	343,1	-		0,00000	343,1	-		
13:14:33	0,0	0,0	0,0	0,0	2,50000	0,0	5,814	210-16% 270- 1,5%	45
	0,0	13,7	-		2,50000	13,7	-		
	0,0	27,5	-		2,50000	27,5	-		
	0,0	41,2	-		2,50000	41,2	-		
	0,0	54,9	-		2,50000	54,9	-		
	0,0	68,6	-		2,50000	68,6	-		
	0,0	82,4	-		2,50000	82,4	-		
	0,0	96,1	-		2,50000	96,1	-		
	0,0	109,8	-		2,50000	109,8	-		
	0,0	123,5	-		2,42188	123,5	-		
	0,0	137,3	-		2,34375	137,3	-		
	0,0	151,0	-		2,34375	151,0	-		
	0,0	164,7	-		2,10938	164,7	-		
	0,0	178,4	-		2,10938	178,4	-		
	0,0	192,2	-		1,79688	192,2	-		
	0,0	205,9	-		1,09375	205,9	-		

Time	DRT-1 Current	DRT-1 Bias Voltage	DRT-1 Current Density	DRT-1 Ion Energy	DRT-2 Current	DRT-2 Bias Voltage	DRT-2 Current Density	DRT-2 Ion Energy	SA Angle
hh:mm:ss	μA	V	μA/cm2	eV	μA	V	μA/cm2	eV	deg.
	0,0	219,6	-		0,46875	219,6	-		
	0,0	233,3	-		0,21094	233,3	-		
	0,0	247,1	-		0,10156	247,1	-		
	0,0	260,8	-		0,03906	260,8	-		
	0,0	274,5	-		0,00000	274,5	-		
	0,0	288,2	-		0,00000	288,2	-		
	0,0	302,0	-		0,00000	302,0	-		
	0,0	315,7	-		0,00000	315,7	-		
	0,0	329,4	-		0,00000	329,4	-		
	0,0	343,1	-		0,00000	343,1	-		
13:20:33	0,0	0,0	0,0	0,0	2,42188	0,0	5,632	210-16% 270- 1,5%	54
	0,0	13,7	-		2,42188	13,7	-		
	0,0	27,5	-		2,42188	27,5	-		
	0,0	41,2	-		2,42188	41,2	-		
	0,0	54,9	-		2,42188	54,9	-		
	0,0	68,6	-		2,42188	68,6	-		
	0,0	82,4	-		2,42188	82,4	-		
	0,0	96,1	-		2,42188	96,1	-		
	0,0	109,8	-		2,42188	109,8	-		
	0,0	123,5	-		2,42188	123,5	-		
	0,0	137,3	-		2,42188	137,3	-		
	0,0	151,0	-		2,18750	151,0	-		
	0,0	164,7	-		2,18750	164,7	-		
	0,0	178,4	-		2,10938	178,4	-		
	0,0	192,2	-		1,71875	192,2	-		
	0,0	205,9	-		1,09375	205,9	-		
	0,0	219,6	-		0,39063	219,6	-		
	0,0	233,3	-		0,21094	233,3	-		
	0,0	247,1	-		0,12500	247,1	-		
	0,0	260,8	-		0,06250	260,8	-		
	0,0	274,5	-		0,00000	274,5	-		
	0,0	288,2	-		0,00000	288,2	-		
	0,0	302,0	-		0,00000	302,0	-		
	0,0	315,7	-		0,00000	315,7	-		
	0,0	329,4	-		0,00000	329,4	-		
	0,0	343,1	-		0,00000	343,1	-		
13:26:33	0,0	0,0	0,0	0,0	2,42188	0,0	5,632	200-16% 262- 2,5%	60
	0,0	13,7	-		2,42188	13,7	-		
	0,0	27,5	-		2,42188	27,5	-		
	0,0	41,2	-		2,42188	41,2	-		
	0,0	54,9	-		2,42188	54,9	-		
	0,0	68,6	-		2,42188	68,6	-		
	0,0	82,4	-		2,42188	82,4	-		
	0,0	96,1	-		2,42188	96,1	-		
	0,0	109,8	-		2,42188	109,8	-		
	0,0	123,5	-		2,42188	123,5	-		
	0,0	137,3	-		2,42188	137,3	-		
	0,0	151,0	-		2,42188	151,0	-		
	0,0	164,7	-		2,26563	164,7	-		
	0,0	178,4	-		2,03125	178,4	-		
	0,0	192,2	-		1,79688	192,2	-		
	0,0	205,9	-		1,09375	205,9	-		
	0,0	219,6	-		0,31250	219,6	-		
	0,0	233,3	-		0,19531	233,3	-		
	0,0	247,1	-		0,10156	247,1	-		
	0,0	260,8	-		0,08594	260,8	-		
	0,0	274,5	-		0,00000	274,5	-		
	0,0	288,2	-		0,00000	288,2	-		
	0,0	302,0	-		0,00000	302,0	-		
	0,0	315,7	-		0,00000	315,7	-		

Time	DRT-1 Current	DRT-1 Bias Voltage	DRT-1 Current Density	DRT-1 Ion Energy	DRT-2 Current	DRT-2 Bias Voltage	DRT-2 Current Density	DRT-2 Ion Energy	SA Angle
hh:mm:ss	μA	V	μA/cm2	eV	μA	V	μA/cm2	eV	deg.
13:32:33	0,0	329,4	-	0,0	0,00000	329,4	-	200-19% 262- 1,5%	60
	0,0	343,1	-		0,00000	343,1	-		
	0,0	0,0	0,0		2,42188	0,0	5,632		
	0,0	13,7	-		2,42188	13,7	-		
	0,0	27,5	-		2,42188	27,5	-		
	0,0	41,2	-		2,42188	41,2	-		
	0,0	54,9	-		2,42188	54,9	-		
	0,0	68,6	-		2,42188	68,6	-		
	0,0	82,4	-		2,42188	82,4	-		
	0,0	96,1	-		2,42188	96,1	-		
	0,0	109,8	-		2,42188	109,8	-		
	0,0	123,5	-		2,42188	123,5	-		
	0,0	137,3	-		2,34375	137,3	-		
	0,0	151,0	-		2,26563	151,0	-		
	0,0	164,7	-		2,26563	164,7	-		
	0,0	178,4	-		2,03125	178,4	-		
	0,0	192,2	-		1,71875	192,2	-		
	0,0	205,9	-		1,01563	205,9	-		
	0,0	219,6	-		0,31250	219,6	-		
	0,0	233,3	-		0,20313	233,3	-		
	0,0	247,1	-		0,10938	247,1	-		
	0,0	260,8	-		0,06250	260,8	-		
	0,0	274,5	-		0,00000	274,5	-		
	0,0	288,2	-		0,00000	288,2	-		
	0,0	302,0	-		0,00000	302,0	-		
	0,0	315,7	-		0,00000	315,7	-		
	0,0	329,4	-		0,00000	329,4	-		
	0,0	343,1	-		0,00000	343,1	-		
13:38:33	0,0	0,0	0,0	0,0	2,42188	0,0	5,632	210-16% 262- 1,5%	60
	0,0	13,7	-		2,42188	13,7	-		
	0,0	27,5	-		2,42188	27,5	-		
	0,0	41,2	-		2,42188	41,2	-		
	0,0	54,9	-		2,42188	54,9	-		
	0,0	68,6	-		2,42188	68,6	-		
	0,0	82,4	-		2,42188	82,4	-		
	0,0	96,1	-		2,42188	96,1	-		
	0,0	109,8	-		2,42188	109,8	-		
	0,0	123,5	-		2,34375	123,5	-		
	0,0	137,3	-		2,34375	137,3	-		
	0,0	151,0	-		2,34375	151,0	-		
	0,0	164,7	-		2,18750	164,7	-		
	0,0	178,4	-		2,03125	178,4	-		
	0,0	192,2	-		1,79688	192,2	-		
	0,0	205,9	-		1,01563	205,9	-		
	0,0	219,6	-		0,31250	219,6	-		
	0,0	233,3	-		0,19531	233,3	-		
	0,0	247,1	-		0,10938	247,1	-		
	0,0	260,8	-		0,05469	260,8	-		
	0,0	274,5	-		0,00000	274,5	-		
	0,0	288,2	-		0,00000	288,2	-		
	0,0	302,0	-		0,00000	302,0	-		
	0,0	315,7	-		0,00000	315,7	-		
	0,0	329,4	-		0,00000	329,4	-		
	0,0	343,1	-		0,00000	343,1	-		
13:44:33	0,0	0,0	0,0	0,0	0,0	0,0	0,0	0	60
	0,0	13,7	-		0,0	13,7	-		
	0,0	27,5	-		0,0	27,5	-		
	0,0	41,2	-		0,0	41,2	-		
	0,0	54,9	-		0,0	54,9	-		
	0,0	68,6	-		0,0	68,6	-		

Time	DRT-1 Current	DRT-1 Bias Voltage	DRT-1 Current Density	DRT-1 Ion Energy	DRT-2 Current	DRT-2 Bias Voltage	DRT-2 Current Density	DRT-2 Ion Energy	SA Angle
hh:mm:ss	μA	V	μA/cm2	eV	μA	V	μA/cm2	eV	deg.
	0,0	82,4	-		0,0	82,4	-		
	0,0	96,1	-		0,0	96,1	-		
	0,0	109,8	-		0,0	109,8	-		
	0,0	123,5	-		0,0	123,5	-		
	0,0	137,3	-		0,0	137,3	-		
	0,0	151,0	-		0,0	151,0	-		
	0,0	164,7	-		0,0	164,7	-		
	0,0	178,4	-		0,0	178,4	-		
	0,0	192,2	-		0,0	192,2	-		
	0,0	205,9	-		0,0	205,9	-		
	0,0	219,6	-		0,0	219,6	-		
	0,0	233,3	-		0,0	233,3	-		
	0,0	247,1	-		0,0	247,1	-		
	0,0	260,8	-		0,0	260,8	-		
	0,0	274,5	-		0,0	274,5	-		
	0,0	288,2	-		0,0	288,2	-		
	0,0	302,0	-		0,0	302,0	-		
	0,0	315,7	-		0,0	315,7	-		
	0,0	329,4	-		0,0	329,4	-		
	0,0	343,1	-		0,0	343,1	-		

Annex 49. Information from A-type sensors at work RT3C1 for 20/08/00

Time of thruster Start-Up - 11:57:27

Time of thruster Switching Off - 12:57:59

Time	DRT-1 Current	DRT-1 Bias Voltage	DRT-1 Current Density	DRT-1 Ion Energy	DRT-2 Current	DRT-2 Bias Voltage	DRT-2 Current Density	DRT-2 Ion Energy	SA Angle
hh:mm:ss	μA	V	μA/cm2	eV	μA	V	μA/cm2	eV	deg.
11:52:14	0,0	0,0	0,0	0,0	0,0	0,0	0,0	0,0	30
	0,0	13,7	-		0,0	13,7	-		
	0,0	27,5	-		0,0	27,5	-		
	0,0	41,2	-		0,0	41,2	-		
	0,0	54,9	-		0,0	54,9	-		
	0,0	68,6	-		0,0	68,6	-		
	0,0	82,4	-		0,0	82,4	-		
	0,0	96,1	-		0,0	96,1	-		
	0,0	109,8	-		0,0	109,8	-		
	0,0	123,5	-		0,0	123,5	-		
	0,0	137,3	-		0,0	137,3	-		
	0,0	151,0	-		0,0	151,0	-		
	0,0	164,7	-		0,0	164,7	-		
	0,0	178,4	-		0,0	178,4	-		
	0,0	192,2	-		0,0	192,2	-		
	0,0	205,9	-		0,0	205,9	-		
	0,0	219,6	-		0,0	219,6	-		
	0,0	233,3	-		0,0	233,3	-		
	0,0	247,1	-		0,0	247,1	-		
	0,0	260,8	-		0,0	260,8	-		
	0,0	274,5	-		0,0	274,5	-		
	0,0	288,2	-		0,0	288,2	-		
	0,0	302,0	-		0,0	302,0	-		
	0,0	315,7	-		0,0	315,7	-		
	0,0	329,4	-		0,0	329,4	-		
	0,0	343,1	-		0,0	343,1	-		
11:58:14	0,0	0,0	0,0	0,0	2,73438	0,0	6,359	218-20% 265- 3%	30
	0,0	13,7	-		2,73438	13,7	-		
	0,0	27,5	-		2,73438	27,5	-		
	0,0	41,2	-		2,73438	41,2	-		
	0,0	54,9	-		2,73438	54,9	-		
	0,0	68,6	-		2,73438	68,6	-		
	0,0	82,4	-		2,73438	82,4	-		
	0,0	96,1	-		2,73438	96,1	-		
	0,0	109,8	-		2,73438	109,8	-		
	0,0	123,5	-		2,73438	123,5	-		
	0,0	137,3	-		2,65625	137,3	-		
	0,0	151,0	-		2,65625	151,0	-		
	0,0	164,7	-		2,57813	164,7	-		
	0,0	178,4	-		2,57813	178,4	-		
	0,0	192,2	-		2,26563	192,2	-		
	0,0	205,9	-		1,95313	205,9	-		
	0,0	219,6	-		0,93750	219,6	-		
	0,0	233,3	-		0,31250	233,3	-		
	0,0	247,1	-		0,18750	247,1	-		
	0,0	260,8	-		0,10938	260,8	-		
	0,0	274,5	-		0,00000	274,5	-		
	0,0	288,2	-		0,00000	288,2	-		
	0,0	302,0	-		0,00000	302,0	-		
	0,0	315,7	-		0,00000	315,7	-		
	0,0	329,4	-		0,00000	329,4	-		
	0,0	343,1	-		0,00000	343,1	-		

Time	DRT-1 Current	DRT-1 Bias Voltage	DRT-1 Current Density	DRT-1 Ion Energy	DRT-2 Current	DRT-2 Bias Voltage	DRT-2 Current Density	DRT-2 Ion Energy	SA Angle
hh:mm:ss	μA	V	μA/cm2	eV	μA	V	μA/cm2	eV	deg.
12:04:14	0,0	0,0	0,0	0,0	2,96875	0,0	6,904	210-26% 270- 1%	30
	0,0	13,7	-		2,96875	13,7	-		
	0,0	27,5	-		2,96875	27,5	-		
	0,0	41,2	-		2,96875	41,2	-		
	0,0	54,9	-		2,96875	54,9	-		
	0,0	68,6	-		2,96875	68,6	-		
	0,0	82,4	-		2,96875	82,4	-		
	0,0	96,1	-		2,96875	96,1	-		
	0,0	109,8	-		2,96875	109,8	-		
	0,0	123,5	-		2,96875	123,5	-		
	0,0	137,3	-		2,96875	137,3	-		
	0,0	151,0	-		2,96875	151,0	-		
	0,0	164,7	-		2,96875	164,7	-		
	0,0	178,4	-		2,89063	178,4	-		
	0,0	192,2	-		2,89063	192,2	-		
	0,0	205,9	-		2,57813	205,9	-		
	0,0	219,6	-		1,25000	219,6	-		
	0,0	233,3	-		0,54688	233,3	-		
	0,0	247,1	-		0,28125	247,1	-		
	0,0	260,8	-		0,20313	260,8	-		
	0,0	274,5	-		0,00000	274,5	-		
	0,0	288,2	-		0,00000	288,2	-		
	0,0	302,0	-		0,00000	302,0	-		
	0,0	315,7	-		0,00000	315,7	-		
	0,0	329,4	-		0,00000	329,4	-		
	0,0	343,1	-		0,00000	343,1	-		
12:10:14	0,0	0,0	0,0	0,0	2,96875	0,0	6,904	210-29% 270- 1%	30
	0,0	13,7	-		2,96875	13,7	-		
	0,0	27,5	-		2,96875	27,5	-		
	0,0	41,2	-		2,96875	41,2	-		
	0,0	54,9	-		2,96875	54,9	-		
	0,0	68,6	-		2,96875	68,6	-		
	0,0	82,4	-		2,96875	82,4	-		
	0,0	96,1	-		2,96875	96,1	-		
	0,0	109,8	-		2,96875	109,8	-		
	0,0	123,5	-		2,96875	123,5	-		
	0,0	137,3	-		2,96875	137,3	-		
	0,0	151,0	-		2,96875	151,0	-		
	0,0	164,7	-		2,96875	164,7	-		
	0,0	178,4	-		2,89063	178,4	-		
	0,0	192,2	-		2,89063	192,2	-		
	0,0	205,9	-		2,57813	205,9	-		
	0,0	219,6	-		1,17188	219,6	-		
	0,0	233,3	-		0,46875	233,3	-		
	0,0	247,1	-		0,28125	247,1	-		
	0,0	260,8	-		0,21094	260,8	-		
	0,0	274,5	-		0,00000	274,5	-		
	0,0	288,2	-		0,00000	288,2	-		
	0,0	302,0	-		0,00000	302,0	-		
	0,0	315,7	-		0,00000	315,7	-		
	0,0	329,4	-		0,00000	329,4	-		
	0,0	343,1	-		0,00000	343,1	-		
12:16:14	0,0	0,0	0,0	0,0	2,89063	0,0	6,722	210-27% 270- 1%	32
	0,0	13,7	-		2,89063	13,7	-		
	0,0	27,5	-		2,89063	27,5	-		
	0,0	41,2	-		2,89063	41,2	-		
	0,0	54,9	-		2,89063	54,9	-		
	0,0	68,6	-		2,89063	68,6	-		
	0,0	82,4	-		2,89063	82,4	-		
	0,0	96,1	-		2,89063	96,1	-		

Time	DRT-1 Current	DRT-1 Bias Voltage	DRT-1 Current Density	DRT-1 Ion Energy	DRT-2 Current	DRT-2 Bias Voltage	DRT-2 Current Density	DRT-2 Ion Energy	SA Angle
hh:mm:ss	μA	V	μA/cm2	eV	μA	V	μA/cm2	eV	deg.
	0,0	109,8	-		2,89063	109,8	-		
	0,0	123,5	-		2,89063	123,5	-		
	0,0	137,3	-		2,89063	137,3	-		
	0,0	151,0	-		2,89063	151,0	-		
	0,0	164,7	-		2,89063	164,7	-		
	0,0	178,4	-		2,89063	178,4	-		
	0,0	192,2	-		2,81250	192,2	-		
	0,0	205,9	-		2,42188	205,9	-		
	0,0	219,6	-		0,93750	219,6	-		
	0,0	233,3	-		0,39063	233,3	-		
	0,0	247,1	-		0,26563	247,1	-		
	0,0	260,8	-		0,17969	260,8	-		
	0,0	274,5	-		0,00000	274,5	-		
	0,0	288,2	-		0,00000	288,2	-		
	0,0	302,0	-		0,00000	302,0	-		
	0,0	315,7	-		0,00000	315,7	-		
	0,0	329,4	-		0,00000	329,4	-		
	0,0	343,1	-		0,00000	343,1	-		
12:22:14	0,0	0,0	0,0	0,0	2,89063	0,0	6,722	200-30% 262- 3%	40
	0,0	13,7	-		2,89063	13,7	-		
	0,0	27,5	-		2,89063	27,5	-		
	0,0	41,2	-		2,89063	41,2	-		
	0,0	54,9	-		2,89063	54,9	-		
	0,0	68,6	-		2,89063	68,6	-		
	0,0	82,4	-		2,89063	82,4	-		
	0,0	96,1	-		2,89063	96,1	-		
	0,0	109,8	-		2,89063	109,8	-		
	0,0	123,5	-		2,89063	123,5	-		
	0,0	137,3	-		2,81250	137,3	-		
	0,0	151,0	-		2,81250	151,0	-		
	0,0	164,7	-		2,81250	164,7	-		
	0,0	178,4	-		2,81250	178,4	-		
	0,0	192,2	-		2,73438	192,2	-		
	0,0	205,9	-		2,26563	205,9	-		
	0,0	219,6	-		0,78125	219,6	-		
	0,0	233,3	-		0,31250	233,3	-		
	0,0	247,1	-		0,24219	247,1	-		
	0,0	260,8	-		0,14844	260,8	-		
	0,0	274,5	-		0,00000	274,5	-		
	0,0	288,2	-		0,00000	288,2	-		
	0,0	302,0	-		0,00000	302,0	-		
	0,0	315,7	-		0,00000	315,7	-		
	0,0	329,4	-		0,00000	329,4	-		
	0,0	343,1	-		0,00000	343,1	-		
12:28:14	0,0	0,0	0,0	0,0	2,89063	0,0	6,722	210-30% 262- 3%	45
	0,0	13,7	-		2,89063	13,7	-		
	0,0	27,5	-		2,89063	27,5	-		
	0,0	41,2	-		2,89063	41,2	-		
	0,0	54,9	-		2,89063	54,9	-		
	0,0	68,6	-		2,89063	68,6	-		
	0,0	82,4	-		2,89063	82,4	-		
	0,0	96,1	-		2,89063	96,1	-		
	0,0	109,8	-		2,89063	109,8	-		
	0,0	123,5	-		2,89063	123,5	-		
	0,0	137,3	-		2,89063	137,3	-		
	0,0	151,0	-		2,81250	151,0	-		
	0,0	164,7	-		2,81250	164,7	-		
	0,0	178,4	-		2,81250	178,4	-		
	0,0	192,2	-		2,73438	192,2	-		
	0,0	205,9	-		2,26563	205,9	-		

Time	DRT-1 Current	DRT-1 Bias Voltage	DRT-1 Current Density	DRT-1 Ion Energy	DRT-2 Current	DRT-2 Bias Voltage	DRT-2 Current Density	DRT-2 Ion Energy	SA Angle
hh:mm:ss	μA	V	μA/cm2	eV	μA	V	μA/cm2	eV	deg.
	0,0	219,6	-		0,78125	219,6	-		
	0,0	233,3	-		0,31250	233,3	-		
	0,0	247,1	-		0,24219	247,1	-		
	0,0	260,8	-		0,16406	260,8	-		
	0,0	274,5	-		0,00000	274,5	-		
	0,0	288,2	-		0,00000	288,2	-		
	0,0	302,0	-		0,00000	302,0	-		
	0,0	315,7	-		0,00000	315,7	-		
	0,0	329,4	-		0,00000	329,4	-		
	0,0	343,1	-		0,00000	343,1	-		
12:34:14	0,0	0,0	0,0	0,0	2,89063	0,0	6,722	210-23% 262- 1,5%	45
	0,0	13,7	-		2,89063	13,7	-		
	0,0	27,5	-		2,89063	27,5	-		
	0,0	41,2	-		2,89063	41,2	-		
	0,0	54,9	-		2,89063	54,9	-		
	0,0	68,6	-		2,89063	68,6	-		
	0,0	82,4	-		2,89063	82,4	-		
	0,0	96,1	-		2,89063	96,1	-		
	0,0	109,8	-		2,89063	109,8	-		
	0,0	123,5	-		2,89063	123,5	-		
	0,0	137,3	-		2,89063	137,3	-		
	0,0	151,0	-		2,89063	151,0	-		
	0,0	164,7	-		2,81250	164,7	-		
	0,0	178,4	-		2,81250	178,4	-		
	0,0	192,2	-		2,73438	192,2	-		
	0,0	205,9	-		2,18750	205,9	-		
	0,0	219,6	-		0,78125	219,6	-		
	0,0	233,3	-		0,30469	233,3	-		
	0,0	247,1	-		0,24219	247,1	-		
	0,0	260,8	-		0,14844	260,8	-		
	0,0	274,5	-		0,00000	274,5	-		
	0,0	288,2	-		0,00000	288,2	-		
	0,0	302,0	-		0,00000	302,0	-		
	0,0	315,7	-		0,00000	315,7	-		
	0,0	329,4	-		0,00000	329,4	-		
	0,0	343,1	-		0,00000	343,1	-		
12:40:14	0,0	0,0	0,0	0,0	2,89063	0,0	6,722	210-24% 262- 3%	45
	0,0	13,7	-		2,89063	13,7	-		
	0,0	27,5	-		2,89063	27,5	-		
	0,0	41,2	-		2,89063	41,2	-		
	0,0	54,9	-		2,89063	54,9	-		
	0,0	68,6	-		2,89063	68,6	-		
	0,0	82,4	-		2,89063	82,4	-		
	0,0	96,1	-		2,89063	96,1	-		
	0,0	109,8	-		2,89063	109,8	-		
	0,0	123,5	-		2,89063	123,5	-		
	0,0	137,3	-		2,89063	137,3	-		
	0,0	151,0	-		2,81250	151,0	-		
	0,0	164,7	-		2,81250	164,7	-		
	0,0	178,4	-		2,81250	178,4	-		
	0,0	192,2	-		2,73438	192,2	-		
	0,0	205,9	-		2,18750	205,9	-		
	0,0	219,6	-		0,78125	219,6	-		
	0,0	233,3	-		0,31250	233,3	-		
	0,0	247,1	-		0,24219	247,1	-		
	0,0	260,8	-		0,14844	260,8	-		
	0,0	274,5	-		0,00000	274,5	-		
	0,0	288,2	-		0,00000	288,2	-		
	0,0	302,0	-		0,00000	302,0	-		
	0,0	315,7	-		0,00000	315,7	-		

Time	DRT-1 Current	DRT-1 Bias Voltage	DRT-1 Current Density	DRT-1 Ion Energy	DRT-2 Current	DRT-2 Bias Voltage	DRT-2 Current Density	DRT-2 Ion Energy	SA Angle
hh:mm:ss	μA	V	μA/cm2	eV	μA	V	μA/cm2	eV	deg.
12:46:14	0,0	329,4	-	0,0	0,00000	329,4	-	210-25% 262- 2,5%	45
	0,0	343,1	-		0,00000	343,1	-		
	0,0	0,0	0,0		2,89063	0,0	6,722		
	0,0	13,7	-		2,89063	13,7	-		
	0,0	27,5	-		2,89063	27,5	-		
	0,0	41,2	-		2,89063	41,2	-		
	0,0	54,9	-		2,89063	54,9	-		
	0,0	68,6	-		2,89063	68,6	-		
	0,0	82,4	-		2,89063	82,4	-		
	0,0	96,1	-		2,89063	96,1	-		
	0,0	109,8	-		2,89063	109,8	-		
	0,0	123,5	-		2,89063	123,5	-		
	0,0	137,3	-		2,81250	137,3	-		
	0,0	151,0	-		2,81250	151,0	-		
	0,0	164,7	-		2,81250	164,7	-		
	0,0	178,4	-		2,81250	178,4	-		
	0,0	192,2	-		2,73438	192,2	-		
	0,0	205,9	-		2,18750	205,9	-		
	0,0	219,6	-		0,78125	219,6	-		
	0,0	233,3	-		0,31250	233,3	-		
	0,0	247,1	-		0,25000	247,1	-		
	0,0	260,8	-		0,15625	260,8	-		
	0,0	274,5	-		0,00000	274,5	-		
	0,0	288,2	-		0,00000	288,2	-		
	0,0	302,0	-		0,00000	302,0	-		
	0,0	315,7	-		0,00000	315,7	-		
	0,0	329,4	-		0,00000	329,4	-		
	0,0	343,1	-		0,00000	343,1	-		
12:52:14	0,0	0,0	0,0	0,0	2,89063	0,0	6,722	210-25% 262- 2,5%	45
	0,0	13,7	-		2,89063	13,7	-		
	0,0	27,5	-		2,89063	27,5	-		
	0,0	41,2	-		2,89063	41,2	-		
	0,0	54,9	-		2,89063	54,9	-		
	0,0	68,6	-		2,89063	68,6	-		
	0,0	82,4	-		2,89063	82,4	-		
	0,0	96,1	-		2,89063	96,1	-		
	0,0	109,8	-		2,89063	109,8	-		
	0,0	123,5	-		2,89063	123,5	-		
	0,0	137,3	-		2,89063	137,3	-		
	0,0	151,0	-		2,81250	151,0	-		
	0,0	164,7	-		2,81250	164,7	-		
	0,0	178,4	-		2,81250	178,4	-		
	0,0	192,2	-		2,73438	192,2	-		
	0,0	205,9	-		2,18750	205,9	-		
	0,0	219,6	-		0,85938	219,6	-		
	0,0	233,3	-		0,31250	233,3	-		
	0,0	247,1	-		0,26563	247,1	-		
	0,0	260,8	-		0,13281	260,8	-		
	0,0	274,5	-		0,00000	274,5	-		
	0,0	288,2	-		0,00000	288,2	-		
	0,0	302,0	-		0,00000	302,0	-		
	0,0	315,7	-		0,00000	315,7	-		
	0,0	329,4	-		0,00000	329,4	-		
	0,0	343,1	-		0,00000	343,1	-		
12:58:14	0,0	0,0	0,0	0,0	0,0	0,0	0,0	0	45
	0,0	13,7	-		0,0	13,7	-		
	0,0	27,5	-		0,0	27,5	-		
	0,0	41,2	-		0,0	41,2	-		
	0,0	54,9	-		0,0	54,9	-		
	0,0	68,6	-		0,0	68,6	-		

Time	DRT-1 Current	DRT-1 Bias Voltage	DRT-1 Current Density	DRT-1 Ion Energy	DRT-2 Current	DRT-2 Bias Voltage	DRT-2 Current Density	DRT-2 Ion Energy	SA Angle
hh:mm:ss	μA	V	μA/cm2	eV	μA	V	μA/cm2	eV	deg.
	0,0	82,4	-		0,0	82,4	-		
	0,0	96,1	-		0,0	96,1	-		
	0,0	109,8	-		0,0	109,8	-		
	0,0	123,5	-		0,0	123,5	-		
	0,0	137,3	-		0,0	137,3	-		
	0,0	151,0	-		0,0	151,0	-		
	0,0	164,7	-		0,0	164,7	-		
	0,0	178,4	-		0,0	178,4	-		
	0,0	192,2	-		0,0	192,2	-		
	0,0	205,9	-		0,0	205,9	-		
	0,0	219,6	-		0,0	219,6	-		
	0,0	233,3	-		0,0	233,3	-		
	0,0	247,1	-		0,0	247,1	-		
	0,0	260,8	-		0,0	260,8	-		
	0,0	274,5	-		0,0	274,5	-		
	0,0	288,2	-		0,0	288,2	-		
	0,0	302,0	-		0,0	302,0	-		
	0,0	315,7	-		0,0	315,7	-		
	0,0	329,4	-		0,0	329,4	-		
	0,0	343,1	-		0,0	343,1	-		

Annex 50. Information from A-type sensors at work RT3C1 for 21/08/00

Time of thruster Start-Up - 11:52:51

Time of thruster Switching Off - 12:53:23

Time	DRT-1 Current	DRT-1 Bias Voltage	DRT-1 Current Density	DRT-1 Ion Energy	DRT-2 Current	DRT-2 Bias Voltage	DRT-2 Current Density	DRT-2 Ion Energy	SA Angle
hh:mm:ss	μA	V	μA/cm2	eV	μA	V	μA/cm2	eV	deg.
11:52:14	0,0	0,0	0,0	0,0	0,0	0,0	0,0	0,0	30
	0,0	13,7	-		0,0	13,7	-		
	0,0	27,5	-		0,0	27,5	-		
	0,0	41,2	-		0,0	41,2	-		
	0,0	54,9	-		0,0	54,9	-		
	0,0	68,6	-		0,0	68,6	-		
	0,0	82,4	-		0,0	82,4	-		
	0,0	96,1	-		0,0	96,1	-		
	0,0	109,8	-		0,0	109,8	-		
	0,0	123,5	-		0,0	123,5	-		
	0,0	137,3	-		0,0	137,3	-		
	0,0	151,0	-		0,0	151,0	-		
	0,0	164,7	-		0,0	164,7	-		
	0,0	178,4	-		0,0	178,4	-		
	0,0	192,2	-		0,0	192,2	-		
	0,0	205,9	-		0,0	205,9	-		
	0,0	219,6	-		0,0	219,6	-		
	0,0	233,3	-		0,0	233,3	-		
	0,0	247,1	-		0,0	247,1	-		
	0,0	260,8	-		0,0	260,8	-		
	0,0	274,5	-		0,0	274,5	-		
	0,0	288,2	-		0,0	288,2	-		
	0,0	302,0	-		0,0	302,0	-		
	0,0	315,7	-		0,0	315,7	-		
	0,0	329,4	-		0,0	329,4	-		
	0,0	343,1	-		0,0	343,1	-		
11:58:14	0,0	0,0	0,0	0,0	2,81250	0,0	6,541	210-23% 270- 1,5%	30
	0,0	13,7	-		2,81250	13,7	-		
	0,0	27,5	-		2,81250	27,5	-		
	0,0	41,2	-		2,81250	41,2	-		
	0,0	54,9	-		2,81250	54,9	-		
	0,0	68,6	-		2,81250	68,6	-		
	0,0	82,4	-		2,81250	82,4	-		
	0,0	96,1	-		2,81250	96,1	-		
	0,0	109,8	-		2,81250	109,8	-		
	0,0	123,5	-		2,81250	123,5	-		
	0,0	137,3	-		2,81250	137,3	-		
	0,0	151,0	-		2,73438	151,0	-		
	0,0	164,7	-		2,73438	164,7	-		
	0,0	178,4	-		2,50000	178,4	-		
	0,0	192,2	-		2,34375	192,2	-		
	0,0	205,9	-		1,87500	205,9	-		
	0,0	219,6	-		0,78125	219,6	-		
	0,0	233,3	-		0,28125	233,3	-		
	0,0	247,1	-		0,18750	247,1	-		
	0,0	260,8	-		0,07813	260,8	-		
	0,0	274,5	-		0,00000	274,5	-		
	0,0	288,2	-		0,00000	288,2	-		
	0,0	302,0	-		0,00000	302,0	-		
	0,0	315,7	-		0,00000	315,7	-		
	0,0	329,4	-		0,00000	329,4	-		
	0,0	343,1	-		0,00000	343,1	-		

Time	DRT-1 Current	DRT-1 Bias Voltage	DRT-1 Current Density	DRT-1 Ion Energy	DRT-2 Current	DRT-2 Bias Voltage	DRT-2 Current Density	DRT-2 Ion Energy	SA Angle
hh:mm:ss	μA	V	μA/cm2	eV	μA	V	μA/cm2	eV	deg.
12:04:14	0,0	0,0	0,0	0,0	2,96875	0,0	6,904	210-26% 270- 3%	30
	0,0	13,7	-		2,96875	13,7	-		
	0,0	27,5	-		2,96875	27,5	-		
	0,0	41,2	-		2,96875	41,2	-		
	0,0	54,9	-		2,96875	54,9	-		
	0,0	68,6	-		2,96875	68,6	-		
	0,0	82,4	-		2,96875	82,4	-		
	0,0	96,1	-		2,96875	96,1	-		
	0,0	109,8	-		2,96875	109,8	-		
	0,0	123,5	-		2,96875	123,5	-		
	0,0	137,3	-		2,96875	137,3	-		
	0,0	151,0	-		2,96875	151,0	-		
	0,0	164,7	-		2,96875	164,7	-		
	0,0	178,4	-		2,89063	178,4	-		
	0,0	192,2	-		2,89063	192,2	-		
	0,0	205,9	-		2,57813	205,9	-		
	0,0	219,6	-		1,17188	219,6	-		
	0,0	233,3	-		0,54688	233,3	-		
	0,0	247,1	-		0,28125	247,1	-		
	0,0	260,8	-		0,19531	260,8	-		
	0,0	274,5	-		0,00000	274,5	-		
	0,0	288,2	-		0,00000	288,2	-		
	0,0	302,0	-		0,00000	302,0	-		
	0,0	315,7	-		0,00000	315,7	-		
	0,0	329,4	-		0,00000	329,4	-		
	0,0	343,1	-		0,00000	343,1	-		
12:10:14	0,0	0,0	0,0	0,0	2,96875	0,0	6,904	210-26% 270- 4%	30
	0,0	13,7	-		2,96875	13,7	-		
	0,0	27,5	-		2,96875	27,5	-		
	0,0	41,2	-		2,96875	41,2	-		
	0,0	54,9	-		2,96875	54,9	-		
	0,0	68,6	-		2,96875	68,6	-		
	0,0	82,4	-		2,96875	82,4	-		
	0,0	96,1	-		2,96875	96,1	-		
	0,0	109,8	-		2,96875	109,8	-		
	0,0	123,5	-		2,96875	123,5	-		
	0,0	137,3	-		2,96875	137,3	-		
	0,0	151,0	-		2,96875	151,0	-		
	0,0	164,7	-		2,96875	164,7	-		
	0,0	178,4	-		2,89063	178,4	-		
	0,0	192,2	-		2,89063	192,2	-		
	0,0	205,9	-		2,57813	205,9	-		
	0,0	219,6	-		1,25000	219,6	-		
	0,0	233,3	-		0,46875	233,3	-		
	0,0	247,1	-		0,28125	247,1	-		
	0,0	260,8	-		0,21094	260,8	-		
	0,0	274,5	-		0,00000	274,5	-		
	0,0	288,2	-		0,00000	288,2	-		
	0,0	302,0	-		0,00000	302,0	-		
	0,0	315,7	-		0,00000	315,7	-		
	0,0	329,4	-		0,00000	329,4	-		
	0,0	343,1	-		0,00000	343,1	-		
12:16:14	0,0	0,0	0,0	0,0	2,96875	0,0	6,904	210-29% 270- 4%	32
	0,0	13,7	-		2,96875	13,7	-		
	0,0	27,5	-		2,96875	27,5	-		
	0,0	41,2	-		2,96875	41,2	-		
	0,0	54,9	-		2,96875	54,9	-		
	0,0	68,6	-		2,96875	68,6	-		
	0,0	82,4	-		2,96875	82,4	-		
	0,0	96,1	-		2,96875	96,1	-		

Time	DRT-1 Current	DRT-1 Bias Voltage	DRT-1 Current Density	DRT-1 Ion Energy	DRT-2 Current	DRT-2 Bias Voltage	DRT-2 Current Density	DRT-2 Ion Energy	SA Angle
hh:mm:ss	μA	V	μA/cm2	eV	μA	V	μA/cm2	eV	deg.
	0,0	109,8	-		2,96875	109,8	-		
	0,0	123,5	-		2,96875	123,5	-		
	0,0	137,3	-		2,96875	137,3	-		
	0,0	151,0	-		2,96875	151,0	-		
	0,0	164,7	-		2,96875	164,7	-		
	0,0	178,4	-		2,89063	178,4	-		
	0,0	192,2	-		2,89063	192,2	-		
	0,0	205,9	-		2,57813	205,9	-		
	0,0	219,6	-		1,17188	219,6	-		
	0,0	233,3	-		0,46875	233,3	-		
	0,0	247,1	-		0,27344	247,1	-		
	0,0	260,8	-		0,19531	260,8	-		
	0,0	274,5	-		0,00000	274,5	-		
	0,0	288,2	-		0,00000	288,2	-		
	0,0	302,0	-		0,00000	302,0	-		
	0,0	315,7	-		0,00000	315,7	-		
	0,0	329,4	-		0,00000	329,4	-		
	0,0	343,1	-		0,00000	343,1	-		
12:22:14	0,0	0,0	0,0	0,0	2,96875	0,0	6,904	210-24% 270- 3%	40
	0,0	13,7	-		2,96875	13,7	-		
	0,0	27,5	-		2,96875	27,5	-		
	0,0	41,2	-		2,96875	41,2	-		
	0,0	54,9	-		2,96875	54,9	-		
	0,0	68,6	-		2,96875	68,6	-		
	0,0	82,4	-		2,96875	82,4	-		
	0,0	96,1	-		2,96875	96,1	-		
	0,0	109,8	-		2,89063	109,8	-		
	0,0	123,5	-		2,89063	123,5	-		
	0,0	137,3	-		2,89063	137,3	-		
	0,0	151,0	-		2,89063	151,0	-		
	0,0	164,7	-		2,89063	164,7	-		
	0,0	178,4	-		2,89063	178,4	-		
	0,0	192,2	-		2,81250	192,2	-		
	0,0	205,9	-		2,42188	205,9	-		
	0,0	219,6	-		1,01563	219,6	-		
	0,0	233,3	-		0,32031	233,3	-		
	0,0	247,1	-		0,25781	247,1	-		
	0,0	260,8	-		0,16406	260,8	-		
	0,0	274,5	-		0,00000	274,5	-		
	0,0	288,2	-		0,00000	288,2	-		
	0,0	302,0	-		0,00000	302,0	-		
	0,0	315,7	-		0,00000	315,7	-		
	0,0	329,4	-		0,00000	329,4	-		
	0,0	343,1	-		0,00000	343,1	-		
12:28:14	0,0	0,0	0,0	0,0	2,89063	0,0	6,722	200-27% 262- 2,5%	45
	0,0	13,7	-		2,89063	13,7	-		
	0,0	27,5	-		2,89063	27,5	-		
	0,0	41,2	-		2,89063	41,2	-		
	0,0	54,9	-		2,89063	54,9	-		
	0,0	68,6	-		2,89063	68,6	-		
	0,0	82,4	-		2,89063	82,4	-		
	0,0	96,1	-		2,89063	96,1	-		
	0,0	109,8	-		2,89063	109,8	-		
	0,0	123,5	-		2,89063	123,5	-		
	0,0	137,3	-		2,89063	137,3	-		
	0,0	151,0	-		2,81250	151,0	-		
	0,0	164,7	-		2,81250	164,7	-		
	0,0	178,4	-		2,81250	178,4	-		
	0,0	192,2	-		2,65625	192,2	-		
	0,0	205,9	-		2,18750	205,9	-		

Time	DRT-1 Current	DRT-1 Bias Voltage	DRT-1 Current Density	DRT-1 Ion Energy	DRT-2 Current	DRT-2 Bias Voltage	DRT-2 Current Density	DRT-2 Ion Energy	SA Angle
hh:mm:ss	μA	V	μA/cm2	eV	μA	V	μA/cm2	eV	deg.
	0,0	219,6	-		0,78125	219,6	-		
	0,0	233,3	-		0,30469	233,3	-		
	0,0	247,1	-		0,24219	247,1	-		
	0,0	260,8	-		0,15625	260,8	-		
	0,0	274,5	-		0,00000	274,5	-		
	0,0	288,2	-		0,00000	288,2	-		
	0,0	302,0	-		0,00000	302,0	-		
	0,0	315,7	-		0,00000	315,7	-		
	0,0	329,4	-		0,00000	329,4	-		
	0,0	343,1	-		0,00000	343,1	-		
12:34:14	0,0	0,0	0,0	0,0	2,89063	0,0	6,722	200-27% 270- 4%	45
	0,0	13,7	-		2,89063	13,7	-		
	0,0	27,5	-		2,89063	27,5	-		
	0,0	41,2	-		2,89063	41,2	-		
	0,0	54,9	-		2,89063	54,9	-		
	0,0	68,6	-		2,89063	68,6	-		
	0,0	82,4	-		2,89063	82,4	-		
	0,0	96,1	-		2,89063	96,1	-		
	0,0	109,8	-		2,89063	109,8	-		
	0,0	123,5	-		2,89063	123,5	-		
	0,0	137,3	-		2,81250	137,3	-		
	0,0	151,0	-		2,81250	151,0	-		
	0,0	164,7	-		2,81250	164,7	-		
	0,0	178,4	-		2,81250	178,4	-		
	0,0	192,2	-		2,65625	192,2	-		
	0,0	205,9	-		2,18750	205,9	-		
	0,0	219,6	-		0,78125	219,6	-		
	0,0	233,3	-		0,30469	233,3	-		
	0,0	247,1	-		0,24219	247,1	-		
	0,0	260,8	-		0,14844	260,8	-		
	0,0	274,5	-		0,00000	274,5	-		
	0,0	288,2	-		0,00000	288,2	-		
	0,0	302,0	-		0,00000	302,0	-		
	0,0	315,7	-		0,00000	315,7	-		
	0,0	329,4	-		0,00000	329,4	-		
	0,0	343,1	-		0,00000	343,1	-		
12:40:14	0,0	0,0	0,0	0,0	2,89063	0,0	6,722	200-27% 252- 1,5%	45
	0,0	13,7	-		2,89063	13,7	-		
	0,0	27,5	-		2,89063	27,5	-		
	0,0	41,2	-		2,89063	41,2	-		
	0,0	54,9	-		2,89063	54,9	-		
	0,0	68,6	-		2,89063	68,6	-		
	0,0	82,4	-		2,89063	82,4	-		
	0,0	96,1	-		2,89063	96,1	-		
	0,0	109,8	-		2,89063	109,8	-		
	0,0	123,5	-		2,89063	123,5	-		
	0,0	137,3	-		2,89063	137,3	-		
	0,0	151,0	-		2,81250	151,0	-		
	0,0	164,7	-		2,81250	164,7	-		
	0,0	178,4	-		2,81250	178,4	-		
	0,0	192,2	-		2,65625	192,2	-		
	0,0	205,9	-		2,18750	205,9	-		
	0,0	219,6	-		0,78125	219,6	-		
	0,0	233,3	-		0,30469	233,3	-		
	0,0	247,1	-		0,24219	247,1	-		
	0,0	260,8	-		0,00000	260,8	-		
	0,0	274,5	-		0,00000	274,5	-		
	0,0	288,2	-		0,00000	288,2	-		
	0,0	302,0	-		0,00000	302,0	-		
	0,0	315,7	-		0,00000	315,7	-		

Time	DRT-1 Current	DRT-1 Bias Voltage	DRT-1 Current Density	DRT-1 Ion Energy	DRT-2 Current	DRT-2 Bias Voltage	DRT-2 Current Density	DRT-2 Ion Energy	SA Angle
hh:mm:ss	μA	V	μA/cm2	eV	μA	V	μA/cm2	eV	deg.
12:46:14	0,0	329,4	-	0,0	0,00000	329,4	-	200-27% 245- 2,5%	45
	0,0	343,1	-		0,00000	343,1	-		
	0,0	0,0	0,0		2,81250	0,0	6,541		
	0,0	13,7	-		2,81250	13,7	-		
	0,0	27,5	-		2,81250	27,5	-		
	0,0	41,2	-		2,81250	41,2	-		
	0,0	54,9	-		2,81250	54,9	-		
	0,0	68,6	-		2,81250	68,6	-		
	0,0	82,4	-		2,81250	82,4	-		
	0,0	96,1	-		2,81250	96,1	-		
	0,0	109,8	-		2,81250	109,8	-		
	0,0	123,5	-		2,81250	123,5	-		
	0,0	137,3	-		2,81250	137,3	-		
	0,0	151,0	-		2,81250	151,0	-		
	0,0	164,7	-		2,81250	164,7	-		
	0,0	178,4	-		2,81250	178,4	-		
	0,0	192,2	-		2,65625	192,2	-		
	0,0	205,9	-		2,18750	205,9	-		
	0,0	219,6	-		0,78125	219,6	-		
	0,0	233,3	-		0,30469	233,3	-		
	0,0	247,1	-		0,00000	247,1	-		
	0,0	260,8	-		0,00000	260,8	-		
	0,0	274,5	-		0,00000	274,5	-		
	0,0	288,2	-		0,00000	288,2	-		
	0,0	302,0	-		0,00000	302,0	-		
	0,0	315,7	-		0,00000	315,7	-		
	0,0	329,4	-		0,00000	329,4	-		
	0,0	343,1	-		0,00000	343,1	-		
12:52:14	0,0	0,0	0,0	0,0	2,81250	0,0	6,541	200-27% 262- 3%	45
	0,0	13,7	-		2,81250	13,7	-		
	0,0	27,5	-		2,81250	27,5	-		
	0,0	41,2	-		2,81250	41,2	-		
	0,0	54,9	-		2,81250	54,9	-		
	0,0	68,6	-		2,81250	68,6	-		
	0,0	82,4	-		2,81250	82,4	-		
	0,0	96,1	-		2,81250	96,1	-		
	0,0	109,8	-		2,81250	109,8	-		
	0,0	123,5	-		2,81250	123,5	-		
	0,0	137,3	-		2,81250	137,3	-		
	0,0	151,0	-		2,81250	151,0	-		
	0,0	164,7	-		2,81250	164,7	-		
	0,0	178,4	-		2,81250	178,4	-		
	0,0	192,2	-		2,65625	192,2	-		
	0,0	205,9	-		2,18750	205,9	-		
	0,0	219,6	-		0,78125	219,6	-		
	0,0	233,3	-		0,30469	233,3	-		
	0,0	247,1	-		0,24219	247,1	-		
	0,0	260,8	-		0,15625	260,8	-		
	0,0	274,5	-		0,00000	274,5	-		
	0,0	288,2	-		0,00000	288,2	-		
	0,0	302,0	-		0,00000	302,0	-		
	0,0	315,7	-		0,00000	315,7	-		
	0,0	329,4	-		0,00000	329,4	-		
	0,0	343,1	-		0,00000	343,1	-		
12:58:14	0,0	0,0	0,0	0,0	0,0	0,0	0,0	0	45
	0,0	13,7	-		0,0	13,7	-		
	0,0	27,5	-		0,0	27,5	-		
	0,0	41,2	-		0,0	41,2	-		
	0,0	54,9	-		0,0	54,9	-		
	0,0	68,6	-		0,0	68,6	-		

Time	DRT-1 Current	DRT-1 Bias Voltage	DRT-1 Current Density	DRT-1 Ion Energy	DRT-2 Current	DRT-2 Bias Voltage	DRT-2 Current Density	DRT-2 Ion Energy	SA Angle
hh:mm:ss	μA	V	μA/cm2	eV	μA	V	μA/cm2	eV	deg.
	0,0	82,4	-		0,0	82,4	-		
	0,0	96,1	-		0,0	96,1	-		
	0,0	109,8	-		0,0	109,8	-		
	0,0	123,5	-		0,0	123,5	-		
	0,0	137,3	-		0,0	137,3	-		
	0,0	151,0	-		0,0	151,0	-		
	0,0	164,7	-		0,0	164,7	-		
	0,0	178,4	-		0,0	178,4	-		
	0,0	192,2	-		0,0	192,2	-		
	0,0	205,9	-		0,0	205,9	-		
	0,0	219,6	-		0,0	219,6	-		
	0,0	233,3	-		0,0	233,3	-		
	0,0	247,1	-		0,0	247,1	-		
	0,0	260,8	-		0,0	260,8	-		
	0,0	274,5	-		0,0	274,5	-		
	0,0	288,2	-		0,0	288,2	-		
	0,0	302,0	-		0,0	302,0	-		
	0,0	315,7	-		0,0	315,7	-		
	0,0	329,4	-		0,0	329,4	-		
	0,0	343,1	-		0,0	343,1	-		

Annex 51. Information from A-type sensors at work T3C1 for 22/08/00

Time of thruster Start-Up - 11:48:55

Time of thruster Switching Off - 12:49:27

Time	DRT-1 Current	DRT-1 Bias Voltage	DRT-1 Current Density	DRT-1 Ion Energy	DRT-2 Current	DRT-2 Bias Voltage	DRT-2 Current Density	DRT-2 Ion Energy	SA Angle
hh:mm:ss	μA	V	μA/cm2	eV	μA	V	μA/cm2	eV	deg.
11:46:14	0,0	0,0	0,0	0,0	0,0	0,0	0,0	0,0	30
	0,0	13,7	-		0,0	13,7	-		
	0,0	27,5	-		0,0	27,5	-		
	0,0	41,2	-		0,0	41,2	-		
	0,0	54,9	-		0,0	54,9	-		
	0,0	68,6	-		0,0	68,6	-		
	0,0	82,4	-		0,0	82,4	-		
	0,0	96,1	-		0,0	96,1	-		
	0,0	109,8	-		0,0	109,8	-		
	0,0	123,5	-		0,0	123,5	-		
	0,0	137,3	-		0,0	137,3	-		
	0,0	151,0	-		0,0	151,0	-		
	0,0	164,7	-		0,0	164,7	-		
	0,0	178,4	-		0,0	178,4	-		
	0,0	192,2	-		0,0	192,2	-		
	0,0	205,9	-		0,0	205,9	-		
	0,0	219,6	-		0,0	219,6	-		
	0,0	233,3	-		0,0	233,3	-		
	0,0	247,1	-		0,0	247,1	-		
	0,0	260,8	-		0,0	260,8	-		
	0,0	274,5	-		0,0	274,5	-		
	0,0	288,2	-		0,0	288,2	-		
	0,0	302,0	-		0,0	302,0	-		
	0,0	315,7	-		0,0	315,7	-		
	0,0	329,4	-		0,0	329,4	-		
	0,0	343,1	-		0,0	343,1	-		
11:52:14	0,0	0,0	0,0	0,0	2,42188	0,0	5,632	210-19,5% 270- 2,5%	30
	0,0	13,7	-		2,42188	13,7	-		
	0,0	27,5	-		2,42188	27,5	-		
	0,0	41,2	-		2,42188	41,2	-		
	0,0	54,9	-		2,42188	54,9	-		
	0,0	68,6	-		2,42188	68,6	-		
	0,0	82,4	-		2,42188	82,4	-		
	0,0	96,1	-		2,42188	96,1	-		
	0,0	109,8	-		2,42188	109,8	-		
	0,0	123,5	-		2,34375	123,5	-		
	0,0	137,3	-		2,26563	137,3	-		
	0,0	151,0	-		2,18750	151,0	-		
	0,0	164,7	-		2,12000	164,7	-		
	0,0	178,4	-		2,03125	178,4	-		
	0,0	192,2	-		2,03125	192,2	-		
	0,0	205,9	-		1,71875	205,9	-		
	0,0	219,6	-		1,01563	219,6	-		
	0,0	233,3	-		0,32031	233,3	-		
	0,0	247,1	-		0,25781	247,1	-		
	0,0	260,8	-		0,16406	260,8	-		
	0,0	274,5	-		0,00000	274,5	-		
	0,0	288,2	-		0,00000	288,2	-		
	0,0	302,0	-		0,00000	302,0	-		
	0,0	315,7	-		0,00000	315,7	-		
	0,0	329,4	-		0,00000	329,4	-		
	0,0	343,1	-		0,00000	343,1	-		

Time	DRT-1 Current	DRT-1 Bias Voltage	DRT-1 Current Density	DRT-1 Ion Energy	DRT-2 Current	DRT-2 Bias Voltage	DRT-2 Current Density	DRT-2 Ion Energy	SA Angle
hh:mm:ss	μA	V	μA/cm2	eV	μA	V	μA/cm2	eV	deg.
11:58:14	0,0	0,0	0,0	0,0	2,42188	0,0	5,632	210-19,5% 270- 2%	30
	0,0	13,7	-		2,42188	13,7	-		
	0,0	27,5	-		2,42188	27,5	-		
	0,0	41,2	-		2,42188	41,2	-		
	0,0	54,9	-		2,42188	54,9	-		
	0,0	68,6	-		2,42188	68,6	-		
	0,0	82,4	-		2,42188	82,4	-		
	0,0	96,1	-		2,42188	96,1	-		
	0,0	109,8	-		2,34375	109,8	-		
	0,0	123,5	-		2,34375	123,5	-		
	0,0	137,3	-		2,26563	137,3	-		
	0,0	151,0	-		2,18750	151,0	-		
	0,0	164,7	-		2,03125	164,7	-		
	0,0	178,4	-		1,87500	178,4	-		
	0,0	192,2	-		1,79688	192,2	-		
	0,0	205,9	-		1,79688	205,9	-		
	0,0	219,6	-		1,01563	219,6	-		
	0,0	233,3	-		0,32031	233,3	-		
	0,0	247,1	-		0,26563	247,1	-		
	0,0	260,8	-		0,14063	260,8	-		
	0,0	274,5	-		0,00000	274,5	-		
	0,0	288,2	-		0,00000	288,2	-		
	0,0	302,0	-		0,00000	302,0	-		
	0,0	315,7	-		0,00000	315,7	-		
	0,0	329,4	-		0,00000	329,4	-		
	0,0	343,1	-		0,00000	343,1	-		
12:04:14	0,0	0,0	0,0	0,0	2,42188	0,0	5,632	210-16,5% 270- 1,5%	30
	0,0	13,7	-		2,42188	13,7	-		
	0,0	27,5	-		2,42188	27,5	-		
	0,0	41,2	-		2,42188	41,2	-		
	0,0	54,9	-		2,42188	54,9	-		
	0,0	68,6	-		2,42188	68,6	-		
	0,0	82,4	-		2,42188	82,4	-		
	0,0	96,1	-		2,42188	96,1	-		
	0,0	109,8	-		2,42188	109,8	-		
	0,0	123,5	-		2,34375	123,5	-		
	0,0	137,3	-		2,26563	137,3	-		
	0,0	151,0	-		2,18750	151,0	-		
	0,0	164,7	-		2,18750	164,7	-		
	0,0	178,4	-		2,03125	178,4	-		
	0,0	192,2	-		2,03125	192,2	-		
	0,0	205,9	-		1,71875	205,9	-		
	0,0	219,6	-		1,01563	219,6	-		
	0,0	233,3	-		0,32031	233,3	-		
	0,0	247,1	-		0,25781	247,1	-		
	0,0	260,8	-		0,15625	260,8	-		
	0,0	274,5	-		0,00000	274,5	-		
	0,0	288,2	-		0,00000	288,2	-		
	0,0	302,0	-		0,00000	302,0	-		
	0,0	315,7	-		0,00000	315,7	-		
	0,0	329,4	-		0,00000	329,4	-		
	0,0	343,1	-		0,00000	343,1	-		
12:10:14	0,0	0,0	0,0	0,0	2,42188	0,0	5,632	210-23% 270- 2,5%	30
	0,0	13,7	-		2,42188	13,7	-		
	0,0	27,5	-		2,42188	27,5	-		
	0,0	41,2	-		2,42188	41,2	-		
	0,0	54,9	-		2,42188	54,9	-		
	0,0	68,6	-		2,42188	68,6	-		
	0,0	82,4	-		2,42188	82,4	-		
	0,0	96,1	-		2,42188	96,1	-		

Time	DRT-1 Current	DRT-1 Bias Voltage	DRT-1 Current Density	DRT-1 Ion Energy	DRT-2 Current	DRT-2 Bias Voltage	DRT-2 Current Density	DRT-2 Ion Energy	SA Angle
hh:mm:ss	μA	V	μA/cm2	eV	μA	V	μA/cm2	eV	deg.
	0,0	109,8	-		2,34375	109,8	-		
	0,0	123,5	-		2,34375	123,5	-		
	0,0	137,3	-		2,26563	137,3	-		
	0,0	151,0	-		2,26563	151,0	-		
	0,0	164,7	-		2,18750	164,7	-		
	0,0	178,4	-		2,03125	178,4	-		
	0,0	192,2	-		1,95313	192,2	-		
	0,0	205,9	-		1,79688	205,9	-		
	0,0	219,6	-		0,78125	219,6	-		
	0,0	233,3	-		0,23438	233,3	-		
	0,0	247,1	-		0,24219	247,1	-		
	0,0	260,8	-		0,14844	260,8	-		
	0,0	274,5	-		0,00000	274,5	-		
	0,0	288,2	-		0,00000	288,2	-		
	0,0	302,0	-		0,00000	302,0	-		
	0,0	315,7	-		0,00000	315,7	-		
	0,0	329,4	-		0,00000	329,4	-		
	0,0	343,1	-		0,00000	343,1	-		
12:16:14	0,0	0,0	0,0	0,0	2,42188	0,0	5,632	217-19,5% 270- 3,5%	32
	0,0	13,7	-		2,42188	13,7	-		
	0,0	27,5	-		2,42188	27,5	-		
	0,0	41,2	-		2,42188	41,2	-		
	0,0	54,9	-		2,42188	54,9	-		
	0,0	68,6	-		2,42188	68,6	-		
	0,0	82,4	-		2,42188	82,4	-		
	0,0	96,1	-		2,42188	96,1	-		
	0,0	109,8	-		2,34375	109,8	-		
	0,0	123,5	-		2,34375	123,5	-		
	0,0	137,3	-		2,26563	137,3	-		
	0,0	151,0	-		2,18750	151,0	-		
	0,0	164,7	-		2,10938	164,7	-		
	0,0	178,4	-		2,10938	178,4	-		
	0,0	192,2	-		1,95313	192,2	-		
	0,0	205,9	-		1,79688	205,9	-		
	0,0	219,6	-		1,01563	219,6	-		
	0,0	233,3	-		0,32031	233,3	-		
	0,0	247,1	-		0,15625	247,1	-		
	0,0	260,8	-		0,14844	260,8	-		
	0,0	274,5	-		0,00000	274,5	-		
	0,0	288,2	-		0,00000	288,2	-		
	0,0	302,0	-		0,00000	302,0	-		
	0,0	315,7	-		0,00000	315,7	-		
	0,0	329,4	-		0,00000	329,4	-		
	0,0	343,1	-		0,00000	343,1	-		
12:22:14	0,0	0,0	0,0	0,0	2,42188	0,0	5,632	210-23% 270- 1,2%	40
	0,0	13,7	-		2,42188	13,7	-		
	0,0	27,5	-		2,42188	27,5	-		
	0,0	41,2	-		2,42188	41,2	-		
	0,0	54,9	-		2,42188	54,9	-		
	0,0	68,6	-		2,42188	68,6	-		
	0,0	82,4	-		2,34375	82,4	-		
	0,0	96,1	-		2,34375	96,1	-		
	0,0	109,8	-		2,34375	109,8	-		
	0,0	123,5	-		2,34375	123,5	-		
	0,0	137,3	-		2,34375	137,3	-		
	0,0	151,0	-		2,26563	151,0	-		
	0,0	164,7	-		2,10938	164,7	-		
	0,0	178,4	-		2,03125	178,4	-		
	0,0	192,2	-		1,95313	192,2	-		
	0,0	205,9	-		1,64063	205,9	-		

Time	DRT-1 Current	DRT-1 Bias Voltage	DRT-1 Current Density	DRT-1 Ion Energy	DRT-2 Current	DRT-2 Bias Voltage	DRT-2 Current Density	DRT-2 Ion Energy	SA Angle
hh:mm:ss	μA	V	μA/cm2	eV	μA	V	μA/cm2	eV	deg.
	0,0	219,6	-		0,85938	219,6	-		
	0,0	233,3	-		0,31250	233,3	-		
	0,0	247,1	-		0,23438	247,1	-		
	0,0	260,8	-		0,14844	260,8	-		
	0,0	274,5	-		0,00000	274,5	-		
	0,0	288,2	-		0,00000	288,2	-		
	0,0	302,0	-		0,00000	302,0	-		
	0,0	315,7	-		0,00000	315,7	-		
	0,0	329,4	-		0,00000	329,4	-		
	0,0	343,1	-		0,00000	343,1	-		
12:28:14	0,0	0,0	0,0	0,0	2,34375	0,0	5,451	210-16,5% 270- 1,8%	45
	0,0	13,7	-		2,34375	13,7	-		
	0,0	27,5	-		2,34375	27,5	-		
	0,0	41,2	-		2,34375	41,2	-		
	0,0	54,9	-		2,34375	54,9	-		
	0,0	68,6	-		2,34375	68,6	-		
	0,0	82,4	-		2,34375	82,4	-		
	0,0	96,1	-		2,34375	96,1	-		
	0,0	109,8	-		2,26563	109,8	-		
	0,0	123,5	-		2,26563	123,5	-		
	0,0	137,3	-		2,26563	137,3	-		
	0,0	151,0	-		2,18750	151,0	-		
	0,0	164,7	-		2,10938	164,7	-		
	0,0	178,4	-		2,03125	178,4	-		
	0,0	192,2	-		1,95313	192,2	-		
	0,0	205,9	-		1,64063	205,9	-		
	0,0	219,6	-		0,85938	219,6	-		
	0,0	233,3	-		0,30469	233,3	-		
	0,0	247,1	-		0,23438	247,1	-		
	0,0	260,8	-		0,14063	260,8	-		
	0,0	274,5	-		0,00000	274,5	-		
	0,0	288,2	-		0,00000	288,2	-		
	0,0	302,0	-		0,00000	302,0	-		
	0,0	315,7	-		0,00000	315,7	-		
	0,0	329,4	-		0,00000	329,4	-		
	0,0	343,1	-		0,00000	343,1	-		
12:34:14	0,0	0,0	0,0	0,0	2,34375	0,0	5,451	200-20% 270- 2%	45
	0,0	13,7	-		2,34375	13,7	-		
	0,0	27,5	-		2,34375	27,5	-		
	0,0	41,2	-		2,34375	41,2	-		
	0,0	54,9	-		2,34375	54,9	-		
	0,0	68,6	-		2,34375	68,6	-		
	0,0	82,4	-		2,34375	82,4	-		
	0,0	96,1	-		2,34375	96,1	-		
	0,0	109,8	-		2,34375	109,8	-		
	0,0	123,5	-		2,34375	123,5	-		
	0,0	137,3	-		2,26563	137,3	-		
	0,0	151,0	-		2,18750	151,0	-		
	0,0	164,7	-		2,10938	164,7	-		
	0,0	178,4	-		2,03125	178,4	-		
	0,0	192,2	-		1,95313	192,2	-		
	0,0	205,9	-		1,64063	205,9	-		
	0,0	219,6	-		0,93750	219,6	-		
	0,0	233,3	-		0,31250	233,3	-		
	0,0	247,1	-		0,23438	247,1	-		
	0,0	260,8	-		0,17188	260,8	-		
	0,0	274,5	-		0,00000	274,5	-		
	0,0	288,2	-		0,00000	288,2	-		
	0,0	302,0	-		0,00000	302,0	-		
	0,0	315,7	-		0,00000	315,7	-		

Time	DRT-1 Current	DRT-1 Bias Voltage	DRT-1 Current Density	DRT-1 Ion Energy	DRT-2 Current	DRT-2 Bias Voltage	DRT-2 Current Density	DRT-2 Ion Energy	SA Angle
hh:mm:ss	μA	V	μA/cm2	eV	μA	V	μA/cm2	eV	deg.
12:40:14	0,0	329,4	-	0,0	0,00000	329,4	-	200-23% 270- 1,5%	45
	0,0	343,1	-		0,00000	343,1	-		
	0,0	0,0	0,0		2,34375	0,0	5,451		
	0,0	13,7	-		2,34375	13,7	-		
	0,0	27,5	-		2,34375	27,5	-		
	0,0	41,2	-		2,34375	41,2	-		
	0,0	54,9	-		2,34375	54,9	-		
	0,0	68,6	-		2,34375	68,6	-		
	0,0	82,4	-		2,34375	82,4	-		
	0,0	96,1	-		2,34375	96,1	-		
	0,0	109,8	-		2,26563	109,8	-		
	0,0	123,5	-		2,26563	123,5	-		
	0,0	137,3	-		2,18750	137,3	-		
	0,0	151,0	-		2,18750	151,0	-		
	0,0	164,7	-		2,10938	164,7	-		
	0,0	178,4	-		2,03125	178,4	-		
	0,0	192,2	-		1,95313	192,2	-		
	0,0	205,9	-		1,48438	205,9	-		
	0,0	219,6	-		0,62500	219,6	-		
	0,0	233,3	-		0,30469	233,3	-		
	0,0	247,1	-		0,22656	247,1	-		
	0,0	260,8	-		0,13281	260,8	-		
	0,0	274,5	-		0,00000	274,5	-		
	0,0	288,2	-		0,00000	288,2	-		
	0,0	302,0	-		0,00000	302,0	-		
	0,0	315,7	-		0,00000	315,7	-		
	0,0	329,4	-		0,00000	329,4	-		
	0,0	343,1	-		0,00000	343,1	-		
12:46:14	0,0	0,0	0,0	0,0	2,34375	0,0	5,451	200-16,5% 270- 3%	45
	0,0	13,7	-		2,34375	13,7	-		
	0,0	27,5	-		2,34375	27,5	-		
	0,0	41,2	-		2,34375	41,2	-		
	0,0	54,9	-		2,34375	54,9	-		
	0,0	68,6	-		2,34375	68,6	-		
	0,0	82,4	-		2,34375	82,4	-		
	0,0	96,1	-		2,34375	96,1	-		
	0,0	109,8	-		2,34375	109,8	-		
	0,0	123,5	-		2,34375	123,5	-		
	0,0	137,3	-		2,26563	137,3	-		
	0,0	151,0	-		2,18750	151,0	-		
	0,0	164,7	-		2,18750	164,7	-		
	0,0	178,4	-		2,03125	178,4	-		
	0,0	192,2	-		1,95313	192,2	-		
	0,0	205,9	-		1,64063	205,9	-		
	0,0	219,6	-		0,85938	219,6	-		
	0,0	233,3	-		0,30469	233,3	-		
	0,0	247,1	-		0,17969	247,1	-		
	0,0	260,8	-		0,14844	260,8	-		
	0,0	274,5	-		0,00000	274,5	-		
	0,0	288,2	-		0,00000	288,2	-		
	0,0	302,0	-		0,00000	302,0	-		
	0,0	315,7	-		0,00000	315,7	-		
	0,0	329,4	-		0,00000	329,4	-		
	0,0	343,1	-		0,00000	343,1	-		
12:52:14	0,0	0,0	0,0	0,0	0,0	0,0	0,0	0	45
	0,0	13,7	-		0,0	13,7	-		
	0,0	27,5	-		0,0	27,5	-		
	0,0	41,2	-		0,0	41,2	-		
	0,0	54,9	-		0,0	54,9	-		
	0,0	68,6	-		0,0	68,6	-		

Time	DRT-1 Current	DRT-1 Bias Voltage	DRT-1 Current Density	DRT-1 Ion Energy	DRT-2 Current	DRT-2 Bias Voltage	DRT-2 Current Density	DRT-2 Ion Energy	SA Angle
hh:mm:ss	μA	V	μA/cm2	eV	μA	V	μA/cm2	eV	deg.
	0,0	82,4	-		0,0	82,4	-		
	0,0	96,1	-		0,0	96,1	-		
	0,0	109,8	-		0,0	109,8	-		
	0,0	123,5	-		0,0	123,5	-		
	0,0	137,3	-		0,0	137,3	-		
	0,0	151,0	-		0,0	151,0	-		
	0,0	164,7	-		0,0	164,7	-		
	0,0	178,4	-		0,0	178,4	-		
	0,0	192,2	-		0,0	192,2	-		
	0,0	205,9	-		0,0	205,9	-		
	0,0	219,6	-		0,0	219,6	-		
	0,0	233,3	-		0,0	233,3	-		
	0,0	247,1	-		0,0	247,1	-		
	0,0	260,8	-		0,0	260,8	-		
	0,0	274,5	-		0,0	274,5	-		
	0,0	288,2	-		0,0	288,2	-		
	0,0	302,0	-		0,0	302,0	-		
	0,0	315,7	-		0,0	315,7	-		
	0,0	329,4	-		0,0	329,4	-		
	0,0	343,1	-		0,0	343,1	-		

Annex 52. Information from A-type sensors at work RT3C1 for 23/08/00

Time of thruster Start-Up - 11:44:55

Time of thruster Switching Off - 12:45:27

Time	DRT-1 Current	DRT-1 Bias Voltage	DRT-1 Current Density	DRT-1 Ion Energy	DRT-2 Current	DRT-2 Bias Voltage	DRT-2 Current Density	DRT-2 Ion Energy	SA Angle
hh:mm:ss	μA	V	μA/cm2	eV	μA	V	μA/cm2	eV	deg.
11:40:14	0,0	0,0	0,0	0,0	0,0	0,0	0,0	0,0	30
	0,0	13,7	-		0,0	13,7	-		
	0,0	27,5	-		0,0	27,5	-		
	0,0	41,2	-		0,0	41,2	-		
	0,0	54,9	-		0,0	54,9	-		
	0,0	68,6	-		0,0	68,6	-		
	0,0	82,4	-		0,0	82,4	-		
	0,0	96,1	-		0,0	96,1	-		
	0,0	109,8	-		0,0	109,8	-		
	0,0	123,5	-		0,0	123,5	-		
	0,0	137,3	-		0,0	137,3	-		
	0,0	151,0	-		0,0	151,0	-		
	0,0	164,7	-		0,0	164,7	-		
	0,0	178,4	-		0,0	178,4	-		
	0,0	192,2	-		0,0	192,2	-		
	0,0	205,9	-		0,0	205,9	-		
	0,0	219,6	-		0,0	219,6	-		
	0,0	233,3	-		0,0	233,3	-		
	0,0	247,1	-		0,0	247,1	-		
	0,0	260,8	-		0,0	260,8	-		
	0,0	274,5	-		0,0	274,5	-		
	0,0	288,2	-		0,0	288,2	-		
	0,0	302,0	-		0,0	302,0	-		
	0,0	315,7	-		0,0	315,7	-		
	0,0	329,4	-		0,0	329,4	-		
	0,0	343,1	-		0,0	343,1	-		
11:46:14	0,0	0,0	0,0	0,0	2,57813	0,0	5,996	220-25% 270- 3,5%	30
	0,0	13,7	-		2,57813	13,7	-		
	0,0	27,5	-		2,57813	27,5	-		
	0,0	41,2	-		2,57813	41,2	-		
	0,0	54,9	-		2,57813	54,9	-		
	0,0	68,6	-		2,57813	68,6	-		
	0,0	82,4	-		2,57813	82,4	-		
	0,0	96,1	-		2,57813	96,1	-		
	0,0	109,8	-		2,57813	109,8	-		
	0,0	123,5	-		2,57813	123,5	-		
	0,0	137,3	-		2,42188	137,3	-		
	0,0	151,0	-		2,42188	151,0	-		
	0,0	164,7	-		2,42188	164,7	-		
	0,0	178,4	-		2,26563	178,4	-		
	0,0	192,2	-		2,26563	192,2	-		
	0,0	205,9	-		2,10938	205,9	-		
	0,0	219,6	-		1,48438	219,6	-		
	0,0	233,3	-		0,54688	233,3	-		
	0,0	247,1	-		0,29688	247,1	-		
	0,0	260,8	-		0,21875	260,8	-		
	0,0	274,5	-		0,00000	274,5	-		
	0,0	288,2	-		0,00000	288,2	-		
	0,0	302,0	-		0,00000	302,0	-		
	0,0	315,7	-		0,00000	315,7	-		
	0,0	329,4	-		0,00000	329,4	-		
	0,0	343,1	-		0,00000	343,1	-		

Time	DRT-1 Current	DRT-1 Bias Voltage	DRT-1 Current Density	DRT-1 Ion Energy	DRT-2 Current	DRT-2 Bias Voltage	DRT-2 Current Density	DRT-2 Ion Energy	SA Angle
hh:mm:ss	μA	V	μA/cm2	eV	μA	V	μA/cm2	eV	deg.
11:52:14	0,0	0,0	0,0	0,0	2,57813	0,0	5,996	210-25% 270- 1,5%	30
	0,0	13,7	-		2,57813	13,7	-		
	0,0	27,5	-		2,57813	27,5	-		
	0,0	41,2	-		2,57813	41,2	-		
	0,0	54,9	-		2,57813	54,9	-		
	0,0	68,6	-		2,57813	68,6	-		
	0,0	82,4	-		2,57813	82,4	-		
	0,0	96,1	-		2,57813	96,1	-		
	0,0	109,8	-		2,57813	109,8	-		
	0,0	123,5	-		2,50000	123,5	-		
	0,0	137,3	-		2,50000	137,3	-		
	0,0	151,0	-		2,50000	151,0	-		
	0,0	164,7	-		2,34375	164,7	-		
	0,0	178,4	-		2,26563	178,4	-		
	0,0	192,2	-		2,18750	192,2	-		
	0,0	205,9	-		2,03100	205,9	-		
	0,0	219,6	-		1,48438	219,6	-		
	0,0	233,3	-		0,32031	233,3	-		
	0,0	247,1	-		0,29688	247,1	-		
	0,0	260,8	-		0,21875	260,8	-		
	0,0	274,5	-		0,00000	274,5	-		
	0,0	288,2	-		0,00000	288,2	-		
	0,0	302,0	-		0,00000	302,0	-		
	0,0	315,7	-		0,00000	315,7	-		
	0,0	329,4	-		0,00000	329,4	-		
	0,0	343,1	-		0,00000	343,1	-		
11:58:14	0,0	0,0	0,0	0,0	2,57813	0,0	5,996	210-23% 270- 1,5%	30
	0,0	13,7	-		2,57813	13,7	-		
	0,0	27,5	-		2,57813	27,5	-		
	0,0	41,2	-		2,57813	41,2	-		
	0,0	54,9	-		2,57813	54,9	-		
	0,0	68,6	-		2,57813	68,6	-		
	0,0	82,4	-		2,57813	82,4	-		
	0,0	96,1	-		2,57813	96,1	-		
	0,0	109,8	-		2,57813	109,8	-		
	0,0	123,5	-		2,57813	123,5	-		
	0,0	137,3	-		2,50000	137,3	-		
	0,0	151,0	-		2,50000	151,0	-		
	0,0	164,7	-		2,43500	164,7	-		
	0,0	178,4	-		2,43500	178,4	-		
	0,0	192,2	-		2,26563	192,2	-		
	0,0	205,9	-		2,26563	205,9	-		
	0,0	219,6	-		1,48438	219,6	-		
	0,0	233,3	-		0,32031	233,3	-		
	0,0	247,1	-		0,28906	247,1	-		
	0,0	260,8	-		0,21875	260,8	-		
	0,0	274,5	-		0,00000	274,5	-		
	0,0	288,2	-		0,00000	288,2	-		
	0,0	302,0	-		0,00000	302,0	-		
	0,0	315,7	-		0,00000	315,7	-		
	0,0	329,4	-		0,00000	329,4	-		
	0,0	343,1	-		0,00000	343,1	-		
12:04:14	0,0	0,0	0,0	0,0	2,57813	0,0	5,996	217-27% 270- 1%	30
	0,0	13,7	-		2,57813	13,7	-		
	0,0	27,5	-		2,57813	27,5	-		
	0,0	41,2	-		2,57813	41,2	-		
	0,0	54,9	-		2,57813	54,9	-		
	0,0	68,6	-		2,57813	68,6	-		
	0,0	82,4	-		2,57813	82,4	-		
	0,0	96,1	-		2,57813	96,1	-		

Time	DRT-1 Current	DRT-1 Bias Voltage	DRT-1 Current Density	DRT-1 Ion Energy	DRT-2 Current	DRT-2 Bias Voltage	DRT-2 Current Density	DRT-2 Ion Energy	SA Angle
hh:mm:ss	μA	V	μA/cm2	eV	μA	V	μA/cm2	eV	deg.
	0,0	109,8	-		2,57813	109,8	-		
	0,0	123,5	-		2,50000	123,5	-		
	0,0	137,3	-		2,50000	137,3	-		
	0,0	151,0	-		2,42188	151,0	-		
	0,0	164,7	-		2,34375	164,7	-		
	0,0	178,4	-		2,18750	178,4	-		
	0,0	192,2	-		2,10938	192,2	-		
	0,0	205,9	-		2,03100	205,9	-		
	0,0	219,6	-		1,48438	219,6	-		
	0,0	233,3	-		0,32031	233,3	-		
	0,0	247,1	-		0,28906	247,1	-		
	0,0	260,8	-		0,21875	260,8	-		
	0,0	274,5	-		0,00000	274,5	-		
	0,0	288,2	-		0,00000	288,2	-		
	0,0	302,0	-		0,00000	302,0	-		
	0,0	315,7	-		0,00000	315,7	-		
	0,0	329,4	-		0,00000	329,4	-		
	0,0	343,1	-		0,00000	343,1	-		
12:10:14	0,0	0,0	0,0	0,0	2,57813	0,0	5,996	210-24,5% 270- 0,5%	30
	0,0	13,7	-		2,57813	13,7	-		
	0,0	27,5	-		2,57813	27,5	-		
	0,0	41,2	-		2,57813	41,2	-		
	0,0	54,9	-		2,57813	54,9	-		
	0,0	68,6	-		2,57813	68,6	-		
	0,0	82,4	-		2,57813	82,4	-		
	0,0	96,1	-		2,57813	96,1	-		
	0,0	109,8	-		2,57813	109,8	-		
	0,0	123,5	-		2,50000	123,5	-		
	0,0	137,3	-		2,50000	137,3	-		
	0,0	151,0	-		2,42188	151,0	-		
	0,0	164,7	-		2,34375	164,7	-		
	0,0	178,4	-		2,27500	178,4	-		
	0,0	192,2	-		2,27500	192,2	-		
	0,0	205,9	-		2,03100	205,9	-		
	0,0	219,6	-		1,48438	219,6	-		
	0,0	233,3	-		0,32031	233,3	-		
	0,0	247,1	-		0,29688	247,1	-		
	0,0	260,8	-		0,21094	260,8	-		
	0,0	274,5	-		0,00000	274,5	-		
	0,0	288,2	-		0,00000	288,2	-		
	0,0	302,0	-		0,00000	302,0	-		
	0,0	315,7	-		0,00000	315,7	-		
	0,0	329,4	-		0,00000	329,4	-		
	0,0	343,1	-		0,00000	343,1	-		
12:16:14	0,0	0,0	0,0	0,0	2,57813	0,0	5,996	210-22% 262- 3,5%	32
	0,0	13,7	-		2,57813	13,7	-		
	0,0	27,5	-		2,57813	27,5	-		
	0,0	41,2	-		2,57813	41,2	-		
	0,0	54,9	-		2,57813	54,9	-		
	0,0	68,6	-		2,57813	68,6	-		
	0,0	82,4	-		2,57813	82,4	-		
	0,0	96,1	-		2,57813	96,1	-		
	0,0	109,8	-		2,57813	109,8	-		
	0,0	123,5	-		2,57813	123,5	-		
	0,0	137,3	-		2,57813	137,3	-		
	0,0	151,0	-		2,50000	151,0	-		
	0,0	164,7	-		2,50000	164,7	-		
	0,0	178,4	-		2,42700	178,4	-		
	0,0	192,2	-		2,42700	192,2	-		
	0,0	205,9	-		2,34375	205,9	-		

Time	DRT-1 Current	DRT-1 Bias Voltage	DRT-1 Current Density	DRT-1 Ion Energy	DRT-2 Current	DRT-2 Bias Voltage	DRT-2 Current Density	DRT-2 Ion Energy	SA Angle
hh:mm:ss	μA	V	μA/cm2	eV	μA	V	μA/cm2	eV	deg.
	0,0	219,6	-		1,48438	219,6	-		
	0,0	233,3	-		0,32031	233,3	-		
	0,0	247,1	-		0,28906	247,1	-		
	0,0	260,8	-		0,20313	260,8	-		
	0,0	274,5	-		0,00000	274,5	-		
	0,0	288,2	-		0,00000	288,2	-		
	0,0	302,0	-		0,00000	302,0	-		
	0,0	315,7	-		0,00000	315,7	-		
	0,0	329,4	-		0,00000	329,4	-		
	0,0	343,1	-		0,00000	343,1	-		
12:22:14	0,0	0,0	0,0	0,0	2,50000	0,0	5,814	210-28% 262- 3%	40
	0,0	13,7	-		2,50000	13,7	-		
	0,0	27,5	-		2,50000	27,5	-		
	0,0	41,2	-		2,50000	41,2	-		
	0,0	54,9	-		2,50000	54,9	-		
	0,0	68,6	-		2,50000	68,6	-		
	0,0	82,4	-		2,50000	82,4	-		
	0,0	96,1	-		2,50000	96,1	-		
	0,0	109,8	-		2,50000	109,8	-		
	0,0	123,5	-		2,50000	123,5	-		
	0,0	137,3	-		2,42188	137,3	-		
	0,0	151,0	-		2,42188	151,0	-		
	0,0	164,7	-		2,34375	164,7	-		
	0,0	178,4	-		2,34375	178,4	-		
	0,0	192,2	-		2,26563	192,2	-		
	0,0	205,9	-		2,26563	205,9	-		
	0,0	219,6	-		1,40625	219,6	-		
	0,0	233,3	-		0,32031	233,3	-		
	0,0	247,1	-		0,31250	247,1	-		
	0,0	260,8	-		0,21875	260,8	-		
	0,0	274,5	-		0,00000	274,5	-		
	0,0	288,2	-		0,00000	288,2	-		
	0,0	302,0	-		0,00000	302,0	-		
	0,0	315,7	-		0,00000	315,7	-		
	0,0	329,4	-		0,00000	329,4	-		
	0,0	343,1	-		0,00000	343,1	-		
12:28:14	0,0	0,0	0,0	0,0	2,50000	0,0	5,814	210-24% 262- 2%	45
	0,0	13,7	-		2,50000	13,7	-		
	0,0	27,5	-		2,50000	27,5	-		
	0,0	41,2	-		2,50000	41,2	-		
	0,0	54,9	-		2,50000	54,9	-		
	0,0	68,6	-		2,50000	68,6	-		
	0,0	82,4	-		2,50000	82,4	-		
	0,0	96,1	-		2,50000	96,1	-		
	0,0	109,8	-		2,50000	109,8	-		
	0,0	123,5	-		2,50000	123,5	-		
	0,0	137,3	-		2,50000	137,3	-		
	0,0	151,0	-		2,50000	151,0	-		
	0,0	164,7	-		2,26563	164,7	-		
	0,0	178,4	-		2,26563	178,4	-		
	0,0	192,2	-		2,18750	192,2	-		
	0,0	205,9	-		2,18750	205,9	-		
	0,0	219,6	-		1,48438	219,6	-		
	0,0	233,3	-		0,32031	233,3	-		
	0,0	247,1	-		0,29688	247,1	-		
	0,0	260,8	-		0,21875	260,8	-		
	0,0	274,5	-		0,00000	274,5	-		
	0,0	288,2	-		0,00000	288,2	-		
	0,0	302,0	-		0,00000	302,0	-		
	0,0	315,7	-		0,00000	315,7	-		

Time	DRT-1 Current	DRT-1 Bias Voltage	DRT-1 Current Density	DRT-1 Ion Energy	DRT-2 Current	DRT-2 Bias Voltage	DRT-2 Current Density	DRT-2 Ion Energy	SA Angle
hh:mm:ss	μA	V	μA/cm2	eV	μA	V	μA/cm2	eV	deg.
12:34:14	0,0	329,4	-	0,0	0,00000	329,4	-	210-24% 262- 2,5%	45
	0,0	343,1	-		0,00000	343,1	-		
	0,0	0,0	0,0		2,50000	0,0	5,814		
	0,0	13,7	-		2,50000	13,7	-		
	0,0	27,5	-		2,50000	27,5	-		
	0,0	41,2	-		2,50000	41,2	-		
	0,0	54,9	-		2,50000	54,9	-		
	0,0	68,6	-		2,50000	68,6	-		
	0,0	82,4	-		2,50000	82,4	-		
	0,0	96,1	-		2,50000	96,1	-		
	0,0	109,8	-		2,50000	109,8	-		
	0,0	123,5	-		2,50000	123,5	-		
	0,0	137,3	-		2,50000	137,3	-		
	0,0	151,0	-		2,34375	151,0	-		
	0,0	164,7	-		2,26563	164,7	-		
	0,0	178,4	-		2,18750	178,4	-		
	0,0	192,2	-		2,07600	192,2	-		
	0,0	205,9	-		2,03100	205,9	-		
	0,0	219,6	-		1,40625	219,6	-		
	0,0	233,3	-		0,32031	233,3	-		
	0,0	247,1	-		0,28906	247,1	-		
	0,0	260,8	-		0,21875	260,8	-		
	0,0	274,5	-		0,00000	274,5	-		
	0,0	288,2	-		0,00000	288,2	-		
	0,0	302,0	-		0,00000	302,0	-		
	0,0	315,7	-		0,00000	315,7	-		
	0,0	329,4	-		0,00000	329,4	-		
	0,0	343,1	-		0,00000	343,1	-		
12:40:14	0,0	0,0	0,0	0,0	2,50000	0,0	5,814	210-22% 262- 2,5%	45
	0,0	13,7	-		2,50000	13,7	-		
	0,0	27,5	-		2,50000	27,5	-		
	0,0	41,2	-		2,50000	41,2	-		
	0,0	54,9	-		2,50000	54,9	-		
	0,0	68,6	-		2,50000	68,6	-		
	0,0	82,4	-		2,50000	82,4	-		
	0,0	96,1	-		2,50000	96,1	-		
	0,0	109,8	-		2,50000	109,8	-		
	0,0	123,5	-		2,50000	123,5	-		
	0,0	137,3	-		2,50000	137,3	-		
	0,0	151,0	-		2,42188	151,0	-		
	0,0	164,7	-		2,26400	164,7	-		
	0,0	178,4	-		2,18500	178,4	-		
	0,0	192,2	-		2,07400	192,2	-		
	0,0	205,9	-		2,03100	205,9	-		
	0,0	219,6	-		1,48438	219,6	-		
	0,0	233,3	-		0,32031	233,3	-		
	0,0	247,1	-		0,28906	247,1	-		
	0,0	260,8	-		0,22656	260,8	-		
	0,0	274,5	-		0,00000	274,5	-		
	0,0	288,2	-		0,00000	288,2	-		
	0,0	302,0	-		0,00000	302,0	-		
	0,0	315,7	-		0,00000	315,7	-		
	0,0	329,4	-		0,00000	329,4	-		
	0,0	343,1	-		0,00000	343,1	-		
12:46:14	0,0	0,0	0,0	0,0	0,0	0,0	0,0	0	45
	0,0	13,7	-		0,0	13,7	-		
	0,0	27,5	-		0,0	27,5	-		
	0,0	41,2	-		0,0	41,2	-		
	0,0	54,9	-		0,0	54,9	-		
	0,0	68,6	-		0,0	68,6	-		

Time	DRT-1 Current	DRT-1 Bias Voltage	DRT-1 Current Density	DRT-1 Ion Energy	DRT-2 Current	DRT-2 Bias Voltage	DRT-2 Current Density	DRT-2 Ion Energy	SA Angle
hh:mm:ss	μA	V	μA/cm2	eV	μA	V	μA/cm2	eV	deg.
	0,0	82,4	-		0,0	82,4	-		
	0,0	96,1	-		0,0	96,1	-		
	0,0	109,8	-		0,0	109,8	-		
	0,0	123,5	-		0,0	123,5	-		
	0,0	137,3	-		0,0	137,3	-		
	0,0	151,0	-		0,0	151,0	-		
	0,0	164,7	-		0,0	164,7	-		
	0,0	178,4	-		0,0	178,4	-		
	0,0	192,2	-		0,0	192,2	-		
	0,0	205,9	-		0,0	205,9	-		
	0,0	219,6	-		0,0	219,6	-		
	0,0	233,3	-		0,0	233,3	-		
	0,0	247,1	-		0,0	247,1	-		
	0,0	260,8	-		0,0	260,8	-		
	0,0	274,5	-		0,0	274,5	-		
	0,0	288,2	-		0,0	288,2	-		
	0,0	302,0	-		0,0	302,0	-		
	0,0	315,7	-		0,0	315,7	-		
	0,0	329,4	-		0,0	329,4	-		
	0,0	343,1	-		0,0	343,1	-		

Annex 53. Information from A-type sensors at work T3C1 for 24/08/00

Time of thruster Start-Up - 11:40:59

Time of thruster Switching Off - 12:41:31

Time	DRT-1 Current	DRT-1 Bias Voltage	DRT-1 Current Density	DRT-1 Ion Energy	DRT-2 Current	DRT-2 Bias Voltage	DRT-2 Current Density	DRT-2 Ion Energy	SA Angle
hh:mm:ss	μA	V	μA/cm2	eV	μA	V	μA/cm2	eV	deg.
11:40:14	0,0	0,0	0,0	0,0	0,0	0,0	0,0	0,0	30
	0,0	13,7	-		0,0	13,7	-		
	0,0	27,5	-		0,0	27,5	-		
	0,0	41,2	-		0,0	41,2	-		
	0,0	54,9	-		0,0	54,9	-		
	0,0	68,6	-		0,0	68,6	-		
	0,0	82,4	-		0,0	82,4	-		
	0,0	96,1	-		0,0	96,1	-		
	0,0	109,8	-		0,0	109,8	-		
	0,0	123,5	-		0,0	123,5	-		
	0,0	137,3	-		0,0	137,3	-		
	0,0	151,0	-		0,0	151,0	-		
	0,0	164,7	-		0,0	164,7	-		
	0,0	178,4	-		0,0	178,4	-		
	0,0	192,2	-		0,0	192,2	-		
	0,0	205,9	-		0,0	205,9	-		
	0,0	219,6	-		0,0	219,6	-		
	0,0	233,3	-		0,0	233,3	-		
	0,0	247,1	-		0,0	247,1	-		
	0,0	260,8	-		0,0	260,8	-		
	0,0	274,5	-		0,0	274,5	-		
	0,0	288,2	-		0,0	288,2	-		
	0,0	302,0	-		0,0	302,0	-		
	0,0	315,7	-		0,0	315,7	-		
	0,0	329,4	-		0,0	329,4	-		
	0,0	343,1	-		0,0	343,1	-		
11:46:14	0,0	0,0	0,0	0,0	2,42188	0,0	5,632	227-16,5% 270- 2%	30
	0,0	13,7	-		2,42188	13,7	-		
	0,0	27,5	-		2,42188	27,5	-		
	0,0	41,2	-		2,42188	41,2	-		
	0,0	54,9	-		2,42188	54,9	-		
	0,0	68,6	-		2,42188	68,6	-		
	0,0	82,4	-		2,34375	82,4	-		
	0,0	96,1	-		2,34375	96,1	-		
	0,0	109,8	-		2,34375	109,8	-		
	0,0	123,5	-		2,34375	123,5	-		
	0,0	137,3	-		2,34375	137,3	-		
	0,0	151,0	-		2,18750	151,0	-		
	0,0	164,7	-		2,10938	164,7	-		
	0,0	178,4	-		2,10938	178,4	-		
	0,0	192,2	-		1,95313	192,2	-		
	0,0	205,9	-		1,79688	205,9	-		
	0,0	219,6	-		1,01563	219,6	-		
	0,0	233,3	-		0,54688	233,3	-		
	0,0	247,1	-		0,26563	247,1	-		
	0,0	260,8	-		0,16406	260,8	-		
	0,0	274,5	-		0,00000	274,5	-		
	0,0	288,2	-		0,00000	288,2	-		
	0,0	302,0	-		0,00000	302,0	-		
	0,0	315,7	-		0,00000	315,7	-		
	0,0	329,4	-		0,00000	329,4	-		
	0,0	343,1	-		0,00000	343,1	-		

Time	DRT-1 Current	DRT-1 Bias Voltage	DRT-1 Current Density	DRT-1 Ion Energy	DRT-2 Current	DRT-2 Bias Voltage	DRT-2 Current Density	DRT-2 Ion Energy	SA Angle
hh:mm:ss	μA	V	μA/cm2	eV	μA	V	μA/cm2	eV	deg.
11:52:14	0,0	0,0	0,0	0,0	2,42188	0,0	5,632	210-19,5% 270- 2%	30
	0,0	13,7	-		2,42188	13,7	-		
	0,0	27,5	-		2,42188	27,5	-		
	0,0	41,2	-		2,42188	41,2	-		
	0,0	54,9	-		2,42188	54,9	-		
	0,0	68,6	-		2,42188	68,6	-		
	0,0	82,4	-		2,42188	82,4	-		
	0,0	96,1	-		2,42188	96,1	-		
	0,0	109,8	-		2,34375	109,8	-		
	0,0	123,5	-		2,34375	123,5	-		
	0,0	137,3	-		2,26563	137,3	-		
	0,0	151,0	-		2,10938	151,0	-		
	0,0	164,7	-		2,10938	164,7	-		
	0,0	178,4	-		2,03125	178,4	-		
	0,0	192,2	-		1,95313	192,2	-		
	0,0	205,9	-		1,71875	205,9	-		
	0,0	219,6	-		1,01563	219,6	-		
	0,0	233,3	-		0,46875	233,3	-		
	0,0	247,1	-		0,26563	247,1	-		
	0,0	260,8	-		0,15625	260,8	-		
	0,0	274,5	-		0,00000	274,5	-		
	0,0	288,2	-		0,00000	288,2	-		
	0,0	302,0	-		0,00000	302,0	-		
	0,0	315,7	-		0,00000	315,7	-		
	0,0	329,4	-		0,00000	329,4	-		
	0,0	343,1	-		0,00000	343,1	-		
11:58:14	0,0	0,0	0,0	0,0	2,42188	0,0	5,632	217-16% 270- 0,5%	30
	0,0	13,7	-		2,42188	13,7	-		
	0,0	27,5	-		2,42188	27,5	-		
	0,0	41,2	-		2,42188	41,2	-		
	0,0	54,9	-		2,42188	54,9	-		
	0,0	68,6	-		2,42188	68,6	-		
	0,0	82,4	-		2,42188	82,4	-		
	0,0	96,1	-		2,42188	96,1	-		
	0,0	109,8	-		2,34375	109,8	-		
	0,0	123,5	-		2,34375	123,5	-		
	0,0	137,3	-		2,26563	137,3	-		
	0,0	151,0	-		2,18750	151,0	-		
	0,0	164,7	-		2,18750	164,7	-		
	0,0	178,4	-		2,10938	178,4	-		
	0,0	192,2	-		2,03125	192,2	-		
	0,0	205,9	-		1,64063	205,9	-		
	0,0	219,6	-		1,01563	219,6	-		
	0,0	233,3	-		0,32031	233,3	-		
	0,0	247,1	-		0,26563	247,1	-		
	0,0	260,8	-		0,15625	260,8	-		
	0,0	274,5	-		0,00000	274,5	-		
	0,0	288,2	-		0,00000	288,2	-		
	0,0	302,0	-		0,00000	302,0	-		
	0,0	315,7	-		0,00000	315,7	-		
	0,0	329,4	-		0,00000	329,4	-		
	0,0	343,1	-		0,00000	343,1	-		
12:04:14	0,0	0,0	0,0	0,0	2,42188	0,0	5,632	217-16,5% 270- 0,5%	30
	0,0	13,7	-		2,42188	13,7	-		
	0,0	27,5	-		2,42188	27,5	-		
	0,0	41,2	-		2,42188	41,2	-		
	0,0	54,9	-		2,42188	54,9	-		
	0,0	68,6	-		2,42188	68,6	-		
	0,0	82,4	-		2,42188	82,4	-		
	0,0	96,1	-		2,42188	96,1	-		

Time	DRT-1 Current	DRT-1 Bias Voltage	DRT-1 Current Density	DRT-1 Ion Energy	DRT-2 Current	DRT-2 Bias Voltage	DRT-2 Current Density	DRT-2 Ion Energy	SA Angle
hh:mm:ss	μA	V	μA/cm2	eV	μA	V	μA/cm2	eV	deg.
	0,0	109,8	-		2,34375	109,8	-		
	0,0	123,5	-		2,34375	123,5	-		
	0,0	137,3	-		2,26563	137,3	-		
	0,0	151,0	-		2,18750	151,0	-		
	0,0	164,7	-		2,18750	164,7	-		
	0,0	178,4	-		2,10938	178,4	-		
	0,0	192,2	-		2,03125	192,2	-		
	0,0	205,9	-		1,71875	205,9	-		
	0,0	219,6	-		1,01563	219,6	-		
	0,0	233,3	-		0,46875	233,3	-		
	0,0	247,1	-		0,23438	247,1	-		
	0,0	260,8	-		0,17188	260,8	-		
	0,0	274,5	-		0,00000	274,5	-		
	0,0	288,2	-		0,00000	288,2	-		
	0,0	302,0	-		0,00000	302,0	-		
	0,0	315,7	-		0,00000	315,7	-		
	0,0	329,4	-		0,00000	329,4	-		
	0,0	343,1	-		0,00000	343,1	-		
12:10:14	0,0	0,0	0,0	0,0	2,42188	0,0	5,632	210-19,5% 270- 0,5%	30
	0,0	13,7	-		2,42188	13,7	-		
	0,0	27,5	-		2,42188	27,5	-		
	0,0	41,2	-		2,42188	41,2	-		
	0,0	54,9	-		2,42188	54,9	-		
	0,0	68,6	-		2,42188	68,6	-		
	0,0	82,4	-		2,42188	82,4	-		
	0,0	96,1	-		2,42188	96,1	-		
	0,0	109,8	-		2,42188	109,8	-		
	0,0	123,5	-		2,34375	123,5	-		
	0,0	137,3	-		2,34375	137,3	-		
	0,0	151,0	-		2,26563	151,0	-		
	0,0	164,7	-		2,18750	164,7	-		
	0,0	178,4	-		2,10938	178,4	-		
	0,0	192,2	-		1,95313	192,2	-		
	0,0	205,9	-		1,79688	205,9	-		
	0,0	219,6	-		0,93750	219,6	-		
	0,0	233,3	-		0,46875	233,3	-		
	0,0	247,1	-		0,25781	247,1	-		
	0,0	260,8	-		0,15625	260,8	-		
	0,0	274,5	-		0,00000	274,5	-		
	0,0	288,2	-		0,00000	288,2	-		
	0,0	302,0	-		0,00000	302,0	-		
	0,0	315,7	-		0,00000	315,7	-		
	0,0	329,4	-		0,00000	329,4	-		
	0,0	343,1	-		0,00000	343,1	-		
12:16:14	0,0	0,0	0,0	0,0	2,42188	0,0	5,632	210-18,5% 270- 0,5%	32
	0,0	13,7	-		2,42188	13,7	-		
	0,0	27,5	-		2,42188	27,5	-		
	0,0	41,2	-		2,42188	41,2	-		
	0,0	54,9	-		2,42188	54,9	-		
	0,0	68,6	-		2,42188	68,6	-		
	0,0	82,4	-		2,34375	82,4	-		
	0,0	96,1	-		2,34375	96,1	-		
	0,0	109,8	-		2,34375	109,8	-		
	0,0	123,5	-		2,34375	123,5	-		
	0,0	137,3	-		2,34375	137,3	-		
	0,0	151,0	-		2,26563	151,0	-		
	0,0	164,7	-		2,10938	164,7	-		
	0,0	178,4	-		2,03125	178,4	-		
	0,0	192,2	-		2,03125	192,2	-		
	0,0	205,9	-		1,71875	205,9	-		

Time	DRT-1 Current	DRT-1 Bias Voltage	DRT-1 Current Density	DRT-1 Ion Energy	DRT-2 Current	DRT-2 Bias Voltage	DRT-2 Current Density	DRT-2 Ion Energy	SA Angle
hh:mm:ss	μA	V	μA/cm2	eV	μA	V	μA/cm2	eV	deg.
	0,0	219,6	-		0,93750	219,6	-		
	0,0	233,3	-		0,46875	233,3	-		
	0,0	247,1	-		0,26563	247,1	-		
	0,0	260,8	-		0,16406	260,8	-		
	0,0	274,5	-		0,00000	274,5	-		
	0,0	288,2	-		0,00000	288,2	-		
	0,0	302,0	-		0,00000	302,0	-		
	0,0	315,7	-		0,00000	315,7	-		
	0,0	329,4	-		0,00000	329,4	-		
	0,0	343,1	-		0,00000	343,1	-		
12:22:14	0,0	0,0	0,0	0,0	2,34375	0,0	5,451	200-20% 270- 2,5%	40
	0,0	13,7	-		2,34375	13,7	-		
	0,0	27,5	-		2,34375	27,5	-		
	0,0	41,2	-		2,34375	41,2	-		
	0,0	54,9	-		2,34375	54,9	-		
	0,0	68,6	-		2,34375	68,6	-		
	0,0	82,4	-		2,34375	82,4	-		
	0,0	96,1	-		2,34375	96,1	-		
	0,0	109,8	-		2,34375	109,8	-		
	0,0	123,5	-		2,34375	123,5	-		
	0,0	137,3	-		2,34375	137,3	-		
	0,0	151,0	-		2,18750	151,0	-		
	0,0	164,7	-		2,18750	164,7	-		
	0,0	178,4	-		2,10938	178,4	-		
	0,0	192,2	-		1,95313	192,2	-		
	0,0	205,9	-		1,79688	205,9	-		
	0,0	219,6	-		0,93750	219,6	-		
	0,0	233,3	-		0,32031	233,3	-		
	0,0	247,1	-		0,21875	247,1	-		
	0,0	260,8	-		0,15625	260,8	-		
	0,0	274,5	-		0,00000	274,5	-		
	0,0	288,2	-		0,00000	288,2	-		
	0,0	302,0	-		0,00000	302,0	-		
	0,0	315,7	-		0,00000	315,7	-		
	0,0	329,4	-		0,00000	329,4	-		
	0,0	343,1	-		0,00000	343,1	-		
12:28:14	0,0	0,0	0,0	0,0	2,34375	0,0	5,451	200-20% 270- 1,5%	45
	0,0	13,7	-		2,34375	13,7	-		
	0,0	27,5	-		2,34375	27,5	-		
	0,0	41,2	-		2,34375	41,2	-		
	0,0	54,9	-		2,34375	54,9	-		
	0,0	68,6	-		2,34375	68,6	-		
	0,0	82,4	-		2,34375	82,4	-		
	0,0	96,1	-		2,34375	96,1	-		
	0,0	109,8	-		2,34375	109,8	-		
	0,0	123,5	-		2,34375	123,5	-		
	0,0	137,3	-		2,26563	137,3	-		
	0,0	151,0	-		2,26563	151,0	-		
	0,0	164,7	-		2,18750	164,7	-		
	0,0	178,4	-		2,10938	178,4	-		
	0,0	192,2	-		1,95313	192,2	-		
	0,0	205,9	-		1,71875	205,9	-		
	0,0	219,6	-		0,93750	219,6	-		
	0,0	233,3	-		0,32031	233,3	-		
	0,0	247,1	-		0,25000	247,1	-		
	0,0	260,8	-		0,15625	260,8	-		
	0,0	274,5	-		0,00000	274,5	-		
	0,0	288,2	-		0,00000	288,2	-		
	0,0	302,0	-		0,00000	302,0	-		
	0,0	315,7	-		0,00000	315,7	-		

Time	DRT-1 Current	DRT-1 Bias Voltage	DRT-1 Current Density	DRT-1 Ion Energy	DRT-2 Current	DRT-2 Bias Voltage	DRT-2 Current Density	DRT-2 Ion Energy	SA Angle
hh:mm:ss	μA	V	μA/cm2	eV	μA	V	μA/cm2	eV	deg.
12:34:14	0,0	329,4	-	0,0	0,00000	329,4	-	200-20% 262- 2%	45
	0,0	343,1	-		0,00000	343,1	-		
	0,0	0,0	0,0		2,34375	0,0	5,451		
	0,0	13,7	-		2,34375	13,7	-		
	0,0	27,5	-		2,34375	27,5	-		
	0,0	41,2	-		2,34375	41,2	-		
	0,0	54,9	-		2,34375	54,9	-		
	0,0	68,6	-		2,34375	68,6	-		
	0,0	82,4	-		2,34375	82,4	-		
	0,0	96,1	-		2,34375	96,1	-		
	0,0	109,8	-		2,34375	109,8	-		
	0,0	123,5	-		2,26563	123,5	-		
	0,0	137,3	-		2,26563	137,3	-		
	0,0	151,0	-		2,18750	151,0	-		
	0,0	164,7	-		2,10938	164,7	-		
	0,0	178,4	-		1,95313	178,4	-		
	0,0	192,2	-		1,87500	192,2	-		
	0,0	205,9	-		1,56250	205,9	-		
	0,0	219,6	-		0,70313	219,6	-		
	0,0	233,3	-		0,30469	233,3	-		
	0,0	247,1	-		0,20313	247,1	-		
	0,0	260,8	-		0,14844	260,8	-		
	0,0	274,5	-		0,00000	274,5	-		
	0,0	288,2	-		0,00000	288,2	-		
	0,0	302,0	-		0,00000	302,0	-		
	0,0	315,7	-		0,00000	315,7	-		
	0,0	329,4	-		0,00000	329,4	-		
	0,0	343,1	-		0,00000	343,1	-		
12:40:14	0,0	0,0	0,0	0,0	2,34375	0,0	5,451	210-20% 270- 2%	45
	0,0	13,7	-		2,34375	13,7	-		
	0,0	27,5	-		2,34375	27,5	-		
	0,0	41,2	-		2,34375	41,2	-		
	0,0	54,9	-		2,34375	54,9	-		
	0,0	68,6	-		2,34375	68,6	-		
	0,0	82,4	-		2,34375	82,4	-		
	0,0	96,1	-		2,34375	96,1	-		
	0,0	109,8	-		2,34375	109,8	-		
	0,0	123,5	-		2,26563	123,5	-		
	0,0	137,3	-		2,26563	137,3	-		
	0,0	151,0	-		2,10938	151,0	-		
	0,0	164,7	-		2,10938	164,7	-		
	0,0	178,4	-		2,03125	178,4	-		
	0,0	192,2	-		1,95313	192,2	-		
	0,0	205,9	-		1,56250	205,9	-		
	0,0	219,6	-		0,78125	219,6	-		
	0,0	233,3	-		0,30469	233,3	-		
	0,0	247,1	-		0,19531	247,1	-		
	0,0	260,8	-		0,13281	260,8	-		
	0,0	274,5	-		0,00000	274,5	-		
	0,0	288,2	-		0,00000	288,2	-		
	0,0	302,0	-		0,00000	302,0	-		
	0,0	315,7	-		0,00000	315,7	-		
	0,0	329,4	-		0,00000	329,4	-		
	0,0	343,1	-		0,00000	343,1	-		
12:46:14	0,0	0,0	0,0	0,0	0,0	0,0	0,0	0	45
	0,0	13,7	-		0,0	13,7	-		
	0,0	27,5	-		0,0	27,5	-		
	0,0	41,2	-		0,0	41,2	-		
	0,0	54,9	-		0,0	54,9	-		
	0,0	68,6	-		0,0	68,6	-		

Time	DRT-1 Current	DRT-1 Bias Voltage	DRT-1 Current Density	DRT-1 Ion Energy	DRT-2 Current	DRT-2 Bias Voltage	DRT-2 Current Density	DRT-2 Ion Energy	SA Angle
hh:mm:ss	μA	V	μA/cm2	eV	μA	V	μA/cm2	eV	deg.
	0,0	82,4	-		0,0	82,4	-		
	0,0	96,1	-		0,0	96,1	-		
	0,0	109,8	-		0,0	109,8	-		
	0,0	123,5	-		0,0	123,5	-		
	0,0	137,3	-		0,0	137,3	-		
	0,0	151,0	-		0,0	151,0	-		
	0,0	164,7	-		0,0	164,7	-		
	0,0	178,4	-		0,0	178,4	-		
	0,0	192,2	-		0,0	192,2	-		
	0,0	205,9	-		0,0	205,9	-		
	0,0	219,6	-		0,0	219,6	-		
	0,0	233,3	-		0,0	233,3	-		
	0,0	247,1	-		0,0	247,1	-		
	0,0	260,8	-		0,0	260,8	-		
	0,0	274,5	-		0,0	274,5	-		
	0,0	288,2	-		0,0	288,2	-		
	0,0	302,0	-		0,0	302,0	-		
	0,0	315,7	-		0,0	315,7	-		
	0,0	329,4	-		0,0	329,4	-		
	0,0	343,1	-		0,0	343,1	-		

Annex 54. Information from A-type sensors at work T3C1 for 26/08/00

Time of thruster Start-Up - 11:33:07

Time of thruster Switching Off - 12:33:43

Time	DRT-1 Current	DRT-1 Bias Voltage	DRT-1 Current Density	DRT-1 Ion Energy	DRT-2 Current	DRT-2 Bias Voltage	DRT-2 Current Density	DRT-2 Ion Energy	SA Angle
hh:mm:ss	μA	V	μA/cm2	eV	μA	V	μA/cm2	eV	deg.
11:28:14	0,0	0,0	0,0	0,0	0,0	0,0	0,0	0,0	30
	0,0	13,7	-		0,0	13,7	-		
	0,0	27,5	-		0,0	27,5	-		
	0,0	41,2	-		0,0	41,2	-		
	0,0	54,9	-		0,0	54,9	-		
	0,0	68,6	-		0,0	68,6	-		
	0,0	82,4	-		0,0	82,4	-		
	0,0	96,1	-		0,0	96,1	-		
	0,0	109,8	-		0,0	109,8	-		
	0,0	123,5	-		0,0	123,5	-		
	0,0	137,3	-		0,0	137,3	-		
	0,0	151,0	-		0,0	151,0	-		
	0,0	164,7	-		0,0	164,7	-		
	0,0	178,4	-		0,0	178,4	-		
	0,0	192,2	-		0,0	192,2	-		
	0,0	205,9	-		0,0	205,9	-		
	0,0	219,6	-		0,0	219,6	-		
	0,0	233,3	-		0,0	233,3	-		
	0,0	247,1	-		0,0	247,1	-		
	0,0	260,8	-		0,0	260,8	-		
	0,0	274,5	-		0,0	274,5	-		
	0,0	288,2	-		0,0	288,2	-		
	0,0	302,0	-		0,0	302,0	-		
	0,0	315,7	-		0,0	315,7	-		
	0,0	329,4	-		0,0	329,4	-		
	0,0	343,1	-		0,0	343,1	-		
11:34:14	0,0	0,0	0,0	0,0	2,42188	0,0	5,632	210-20% 270- 2%	30
	0,0	13,7	-		2,42188	13,7	-		
	0,0	27,5	-		2,42188	27,5	-		
	0,0	41,2	-		2,42188	41,2	-		
	0,0	54,9	-		2,42188	54,9	-		
	0,0	68,6	-		2,34375	68,6	-		
	0,0	82,4	-		2,34375	82,4	-		
	0,0	96,1	-		2,34375	96,1	-		
	0,0	109,8	-		2,34375	109,8	-		
	0,0	123,5	-		2,34375	123,5	-		
	0,0	137,3	-		2,18750	137,3	-		
	0,0	151,0	-		2,18750	151,0	-		
	0,0	164,7	-		2,10938	164,7	-		
	0,0	178,4	-		2,03125	178,4	-		
	0,0	192,2	-		1,95313	192,2	-		
	0,0	205,9	-		1,40625	205,9	-		
	0,0	219,6	-		0,62500	219,6	-		
	0,0	233,3	-		0,28125	233,3	-		
	0,0	247,1	-		0,17188	247,1	-		
	0,0	260,8	-		0,09375	260,8	-		
	0,0	274,5	-		0,00000	274,5	-		
	0,0	288,2	-		0,00000	288,2	-		
	0,0	302,0	-		0,00000	302,0	-		
	0,0	315,7	-		0,00000	315,7	-		
	0,0	329,4	-		0,00000	329,4	-		
	0,0	343,1	-		0,00000	343,1	-		

Time	DRT-1 Current	DRT-1 Bias Voltage	DRT-1 Current Density	DRT-1 Ion Energy	DRT-2 Current	DRT-2 Bias Voltage	DRT-2 Current Density	DRT-2 Ion Energy	SA Angle
hh:mm:ss	μA	V	μA/cm2	eV	μA	V	μA/cm2	eV	deg.
11:40:14	0,0	0,0	0,0	0,0	2,42188	0,0	5,632	210-20% 270- 2,5%	30
	0,0	13,7	-		2,42188	13,7	-		
	0,0	27,5	-		2,42188	27,5	-		
	0,0	41,2	-		2,42188	41,2	-		
	0,0	54,9	-		2,42188	54,9	-		
	0,0	68,6	-		2,34375	68,6	-		
	0,0	82,4	-		2,34375	82,4	-		
	0,0	96,1	-		2,34375	96,1	-		
	0,0	109,8	-		2,34375	109,8	-		
	0,0	123,5	-		2,26563	123,5	-		
	0,0	137,3	-		2,18750	137,3	-		
	0,0	151,0	-		2,18750	151,0	-		
	0,0	164,7	-		2,10938	164,7	-		
	0,0	178,4	-		2,10938	178,4	-		
	0,0	192,2	-		1,87500	192,2	-		
	0,0	205,9	-		1,40625	205,9	-		
	0,0	219,6	-		0,62500	219,6	-		
	0,0	233,3	-		0,28125	233,3	-		
	0,0	247,1	-		0,17969	247,1	-		
	0,0	260,8	-		0,11719	260,8	-		
	0,0	274,5	-		0,00000	274,5	-		
	0,0	288,2	-		0,00000	288,2	-		
	0,0	302,0	-		0,00000	302,0	-		
	0,0	315,7	-		0,00000	315,7	-		
	0,0	329,4	-		0,00000	329,4	-		
	0,0	343,1	-		0,00000	343,1	-		
11:46:14	0,0	0,0	0,0	0,0	2,42188	0,0	5,632	210-20% 270- 2,5%	30
	0,0	13,7	-		2,42188	13,7	-		
	0,0	27,5	-		2,42188	27,5	-		
	0,0	41,2	-		2,42188	41,2	-		
	0,0	54,9	-		2,42188	54,9	-		
	0,0	68,6	-		2,42188	68,6	-		
	0,0	82,4	-		2,42188	82,4	-		
	0,0	96,1	-		2,42188	96,1	-		
	0,0	109,8	-		2,34375	109,8	-		
	0,0	123,5	-		2,26563	123,5	-		
	0,0	137,3	-		2,26563	137,3	-		
	0,0	151,0	-		2,18750	151,0	-		
	0,0	164,7	-		2,18750	164,7	-		
	0,0	178,4	-		2,03125	178,4	-		
	0,0	192,2	-		1,95313	192,2	-		
	0,0	205,9	-		1,40625	205,9	-		
	0,0	219,6	-		0,62500	219,6	-		
	0,0	233,3	-		0,31250	233,3	-		
	0,0	247,1	-		0,17188	247,1	-		
	0,0	260,8	-		0,11719	260,8	-		
	0,0	274,5	-		0,00000	274,5	-		
	0,0	288,2	-		0,00000	288,2	-		
	0,0	302,0	-		0,00000	302,0	-		
	0,0	315,7	-		0,00000	315,7	-		
	0,0	329,4	-		0,00000	329,4	-		
	0,0	343,1	-		0,00000	343,1	-		
11:52:14	0,0	0,0	0,0	0,0	2,42188	0,0	5,632	217-27% 270- 2,5%	30
	0,0	13,7	-		2,42188	13,7	-		
	0,0	27,5	-		2,42188	27,5	-		
	0,0	41,2	-		2,42188	41,2	-		
	0,0	54,9	-		2,42188	54,9	-		
	0,0	68,6	-		2,42188	68,6	-		
	0,0	82,4	-		2,42188	82,4	-		
	0,0	96,1	-		2,42188	96,1	-		

Time	DRT-1 Current	DRT-1 Bias Voltage	DRT-1 Current Density	DRT-1 Ion Energy	DRT-2 Current	DRT-2 Bias Voltage	DRT-2 Current Density	DRT-2 Ion Energy	SA Angle
hh:mm:ss	μA	V	μA/cm2	eV	μA	V	μA/cm2	eV	deg.
	0,0	109,8	-		2,34375	109,8	-		
	0,0	123,5	-		2,26563	123,5	-		
	0,0	137,3	-		2,18750	137,3	-		
	0,0	151,0	-		2,18750	151,0	-		
	0,0	164,7	-		2,10938	164,7	-		
	0,0	178,4	-		2,03125	178,4	-		
	0,0	192,2	-		1,87500	192,2	-		
	0,0	205,9	-		1,32813	205,9	-		
	0,0	219,6	-		0,32031	219,6	-		
	0,0	233,3	-		0,28125	233,3	-		
	0,0	247,1	-		0,17969	247,1	-		
	0,0	260,8	-		0,11719	260,8	-		
	0,0	274,5	-		0,00000	274,5	-		
	0,0	288,2	-		0,00000	288,2	-		
	0,0	302,0	-		0,00000	302,0	-		
	0,0	315,7	-		0,00000	315,7	-		
	0,0	329,4	-		0,00000	329,4	-		
	0,0	343,1	-		0,00000	343,1	-		
11:58:14	0,0	0,0	0,0	0,0	2,42188	0,0	5,632	210-26% 270- 1,4%	30
	0,0	13,7	-		2,42188	13,7	-		
	0,0	27,5	-		2,42188	27,5	-		
	0,0	41,2	-		2,42188	41,2	-		
	0,0	54,9	-		2,42188	54,9	-		
	0,0	68,6	-		2,42188	68,6	-		
	0,0	82,4	-		2,42188	82,4	-		
	0,0	96,1	-		2,34375	96,1	-		
	0,0	109,8	-		2,26563	109,8	-		
	0,0	123,5	-		2,26563	123,5	-		
	0,0	137,3	-		2,26563	137,3	-		
	0,0	151,0	-		2,18750	151,0	-		
	0,0	164,7	-		2,10938	164,7	-		
	0,0	178,4	-		2,10938	178,4	-		
	0,0	192,2	-		1,87500	192,2	-		
	0,0	205,9	-		1,40625	205,9	-		
	0,0	219,6	-		0,32031	219,6	-		
	0,0	233,3	-		0,28125	233,3	-		
	0,0	247,1	-		0,21875	247,1	-		
	0,0	260,8	-		0,11719	260,8	-		
	0,0	274,5	-		0,00000	274,5	-		
	0,0	288,2	-		0,00000	288,2	-		
	0,0	302,0	-		0,00000	302,0	-		
	0,0	315,7	-		0,00000	315,7	-		
	0,0	329,4	-		0,00000	329,4	-		
	0,0	343,1	-		0,00000	343,1	-		
12:04:14	0,0	0,0	0,0	0,0	2,42188	0,0	5,632	200-16% 270- 2%	30
	0,0	13,7	-		2,42188	13,7	-		
	0,0	27,5	-		2,42188	27,5	-		
	0,0	41,2	-		2,42188	41,2	-		
	0,0	54,9	-		2,42188	54,9	-		
	0,0	68,6	-		2,42188	68,6	-		
	0,0	82,4	-		2,42188	82,4	-		
	0,0	96,1	-		2,34375	96,1	-		
	0,0	109,8	-		2,34375	109,8	-		
	0,0	123,5	-		2,26563	123,5	-		
	0,0	137,3	-		2,26563	137,3	-		
	0,0	151,0	-		2,18750	151,0	-		
	0,0	164,7	-		2,18750	164,7	-		
	0,0	178,4	-		2,03125	178,4	-		
	0,0	192,2	-		1,87500	192,2	-		
	0,0	205,9	-		1,40625	205,9	-		

Time	DRT-1 Current	DRT-1 Bias Voltage	DRT-1 Current Density	DRT-1 Ion Energy	DRT-2 Current	DRT-2 Bias Voltage	DRT-2 Current Density	DRT-2 Ion Energy	SA Angle
hh:mm:ss	μA	V	μA/cm2	eV	μA	V	μA/cm2	eV	deg.
	0,0	219,6	-		0,70313	219,6	-		
	0,0	233,3	-		0,28906	233,3	-		
	0,0	247,1	-		0,21875	247,1	-		
	0,0	260,8	-		0,11719	260,8	-		
	0,0	274,5	-		0,00000	274,5	-		
	0,0	288,2	-		0,00000	288,2	-		
	0,0	302,0	-		0,00000	302,0	-		
	0,0	315,7	-		0,00000	315,7	-		
	0,0	329,4	-		0,00000	329,4	-		
	0,0	343,1	-		0,00000	343,1	-		
12:10:14	0,0	0,0	0,0	0,0	2,42188	0,0	5,632	210-26% 270- 1,5%	30
	0,0	13,7	-		2,42188	13,7	-		
	0,0	27,5	-		2,42188	27,5	-		
	0,0	41,2	-		2,42188	41,2	-		
	0,0	54,9	-		2,42188	54,9	-		
	0,0	68,6	-		2,42188	68,6	-		
	0,0	82,4	-		2,34375	82,4	-		
	0,0	96,1	-		2,34375	96,1	-		
	0,0	109,8	-		2,26563	109,8	-		
	0,0	123,5	-		2,26563	123,5	-		
	0,0	137,3	-		2,26563	137,3	-		
	0,0	151,0	-		2,18750	151,0	-		
	0,0	164,7	-		2,10938	164,7	-		
	0,0	178,4	-		2,03125	178,4	-		
	0,0	192,2	-		1,95313	192,2	-		
	0,0	205,9	-		1,40625	205,9	-		
	0,0	219,6	-		0,32031	219,6	-		
	0,0	233,3	-		0,27344	233,3	-		
	0,0	247,1	-		0,20313	247,1	-		
	0,0	260,8	-		0,11719	260,8	-		
	0,0	274,5	-		0,00000	274,5	-		
	0,0	288,2	-		0,00000	288,2	-		
	0,0	302,0	-		0,00000	302,0	-		
	0,0	315,7	-		0,00000	315,7	-		
	0,0	329,4	-		0,00000	329,4	-		
	0,0	343,1	-		0,00000	343,1	-		
12:16:14	0,0	0,0	0,0	0,0	2,34375	0,0	5,451	210-27% 270- 1,5%	32
	0,0	13,7	-		2,34375	13,7	-		
	0,0	27,5	-		2,34375	27,5	-		
	0,0	41,2	-		2,34375	41,2	-		
	0,0	54,9	-		2,34375	54,9	-		
	0,0	68,6	-		2,34375	68,6	-		
	0,0	82,4	-		2,34375	82,4	-		
	0,0	96,1	-		2,34375	96,1	-		
	0,0	109,8	-		2,34375	109,8	-		
	0,0	123,5	-		2,34375	123,5	-		
	0,0	137,3	-		2,18750	137,3	-		
	0,0	151,0	-		2,18750	151,0	-		
	0,0	164,7	-		2,10938	164,7	-		
	0,0	178,4	-		2,03125	178,4	-		
	0,0	192,2	-		1,87500	192,2	-		
	0,0	205,9	-		1,40625	205,9	-		
	0,0	219,6	-		0,32031	219,6	-		
	0,0	233,3	-		0,28125	233,3	-		
	0,0	247,1	-		0,17969	247,1	-		
	0,0	260,8	-		0,11719	260,8	-		
	0,0	274,5	-		0,00000	274,5	-		
	0,0	288,2	-		0,00000	288,2	-		
	0,0	302,0	-		0,00000	302,0	-		
	0,0	315,7	-		0,00000	315,7	-		

Time	DRT-1 Current	DRT-1 Bias Voltage	DRT-1 Current Density	DRT-1 Ion Energy	DRT-2 Current	DRT-2 Bias Voltage	DRT-2 Current Density	DRT-2 Ion Energy	SA Angle
hh:mm:ss	μA	V	μA/cm2	eV	μA	V	μA/cm2	eV	deg.
12:22:14	0,0	329,4	-	0,0	0,00000	329,4	-	210-20% 270- 1,5%	40
	0,0	343,1	-		0,00000	343,1	-		
	0,0	0,0	0,0		2,34375	0,0	5,451		
	0,0	13,7	-		2,34375	13,7	-		
	0,0	27,5	-		2,34375	27,5	-		
	0,0	41,2	-		2,34375	41,2	-		
	0,0	54,9	-		2,34375	54,9	-		
	0,0	68,6	-		2,34375	68,6	-		
	0,0	82,4	-		2,34375	82,4	-		
	0,0	96,1	-		2,26563	96,1	-		
	0,0	109,8	-		2,26563	109,8	-		
	0,0	123,5	-		2,26563	123,5	-		
	0,0	137,3	-		2,18750	137,3	-		
	0,0	151,0	-		2,10938	151,0	-		
	0,0	164,7	-		2,10938	164,7	-		
	0,0	178,4	-		2,03125	178,4	-		
	0,0	192,2	-		1,79688	192,2	-		
	0,0	205,9	-		1,17188	205,9	-		
	0,0	219,6	-		0,32031	219,6	-		
	0,0	233,3	-		0,26563	233,3	-		
	0,0	247,1	-		0,18750	247,1	-		
	0,0	260,8	-		0,10156	260,8	-		
	0,0	274,5	-		0,00000	274,5	-		
	0,0	288,2	-		0,00000	288,2	-		
	0,0	302,0	-		0,00000	302,0	-		
	0,0	315,7	-		0,00000	315,7	-		
	0,0	329,4	-		0,00000	329,4	-		
	0,0	343,1	-		0,00000	343,1	-		
12:28:14	0,0	0,0	0,0	0,0	2,34375	0,0	5,451	200-27% 262- 3%	45
	0,0	13,7	-		2,34375	13,7	-		
	0,0	27,5	-		2,34375	27,5	-		
	0,0	41,2	-		2,34375	41,2	-		
	0,0	54,9	-		2,34375	54,9	-		
	0,0	68,6	-		2,34375	68,6	-		
	0,0	82,4	-		2,26563	82,4	-		
	0,0	96,1	-		2,26563	96,1	-		
	0,0	109,8	-		2,26563	109,8	-		
	0,0	123,5	-		2,26563	123,5	-		
	0,0	137,3	-		2,18750	137,3	-		
	0,0	151,0	-		2,18750	151,0	-		
	0,0	164,7	-		2,10938	164,7	-		
	0,0	178,4	-		2,03125	178,4	-		
	0,0	192,2	-		1,79688	192,2	-		
	0,0	205,9	-		1,17188	205,9	-		
	0,0	219,6	-		0,32031	219,6	-		
	0,0	233,3	-		0,25000	233,3	-		
	0,0	247,1	-		0,17969	247,1	-		
	0,0	260,8	-		0,09375	260,8	-		
	0,0	274,5	-		0,00000	274,5	-		
	0,0	288,2	-		0,00000	288,2	-		
	0,0	302,0	-		0,00000	302,0	-		
	0,0	315,7	-		0,00000	315,7	-		
	0,0	329,4	-		0,00000	329,4	-		
	0,0	343,1	-		0,00000	343,1	-		
12:34:14	0,0	0,0	0,0	0,0	0,0	0,0	0,0	0	45
	0,0	13,7	-		0,0	13,7	-		
	0,0	27,5	-		0,0	27,5	-		
	0,0	41,2	-		0,0	41,2	-		
	0,0	54,9	-		0,0	54,9	-		
	0,0	68,6	-		0,0	68,6	-		

Time	DRT-1 Current	DRT-1 Bias Voltage	DRT-1 Current Density	DRT-1 Ion Energy	DRT-2 Current	DRT-2 Bias Voltage	DRT-2 Current Density	DRT-2 Ion Energy	SA Angle
hh:mm:ss	μA	V	μA/cm2	eV	μA	V	μA/cm2	eV	deg.
	0,0	82,4	-		0,0	82,4	-		
	0,0	96,1	-		0,0	96,1	-		
	0,0	109,8	-		0,0	109,8	-		
	0,0	123,5	-		0,0	123,5	-		
	0,0	137,3	-		0,0	137,3	-		
	0,0	151,0	-		0,0	151,0	-		
	0,0	164,7	-		0,0	164,7	-		
	0,0	178,4	-		0,0	178,4	-		
	0,0	192,2	-		0,0	192,2	-		
	0,0	205,9	-		0,0	205,9	-		
	0,0	219,6	-		0,0	219,6	-		
	0,0	233,3	-		0,0	233,3	-		
	0,0	247,1	-		0,0	247,1	-		
	0,0	260,8	-		0,0	260,8	-		
	0,0	274,5	-		0,0	274,5	-		
	0,0	288,2	-		0,0	288,2	-		
	0,0	302,0	-		0,0	302,0	-		
	0,0	315,7	-		0,0	315,7	-		
	0,0	329,4	-		0,0	329,4	-		
	0,0	343,1	-		0,0	343,1	-		

Annex 55. Information from A-type sensors at work T3C1 for 28/08/00

Time of thruster Start-Up - 11:25:15

Time of thruster Switching Off - 12:25:51

Time	DRT-1 Current	DRT-1 Bias Voltage	DRT-1 Current Density	DRT-1 Ion Energy	DRT-2 Current	DRT-2 Bias Voltage	DRT-2 Current Density	DRT-2 Ion Energy	SA Angle
hh:mm:ss	μA	V	μA/cm2	eV	μA	V	μA/cm2	eV	deg.
11:22:14	0,0	0,0	0,0	0,0	0,0	0,0	0,0	0,0	30
	0,0	13,7	-		0,0	13,7	-		
	0,0	27,5	-		0,0	27,5	-		
	0,0	41,2	-		0,0	41,2	-		
	0,0	54,9	-		0,0	54,9	-		
	0,0	68,6	-		0,0	68,6	-		
	0,0	82,4	-		0,0	82,4	-		
	0,0	96,1	-		0,0	96,1	-		
	0,0	109,8	-		0,0	109,8	-		
	0,0	123,5	-		0,0	123,5	-		
	0,0	137,3	-		0,0	137,3	-		
	0,0	151,0	-		0,0	151,0	-		
	0,0	164,7	-		0,0	164,7	-		
	0,0	178,4	-		0,0	178,4	-		
	0,0	192,2	-		0,0	192,2	-		
	0,0	205,9	-		0,0	205,9	-		
	0,0	219,6	-		0,0	219,6	-		
	0,0	233,3	-		0,0	233,3	-		
	0,0	247,1	-		0,0	247,1	-		
	0,0	260,8	-		0,0	260,8	-		
	0,0	274,5	-		0,0	274,5	-		
	0,0	288,2	-		0,0	288,2	-		
	0,0	302,0	-		0,0	302,0	-		
	0,0	315,7	-		0,0	315,7	-		
	0,0	329,4	-		0,0	329,4	-		
	0,0	343,1	-		0,0	343,1	-		
11:28:14	0,0	0,0	0,0	0,0	2,42188	0,0	5,632	210-23% 270- 4%	30
	0,0	13,7	-		2,42188	13,7	-		
	0,0	27,5	-		2,42188	27,5	-		
	0,0	41,2	-		2,42188	41,2	-		
	0,0	54,9	-		2,42188	54,9	-		
	0,0	68,6	-		2,42188	68,6	-		
	0,0	82,4	-		2,42188	82,4	-		
	0,0	96,1	-		2,42188	96,1	-		
	0,0	109,8	-		2,42188	109,8	-		
	0,0	123,5	-		2,34375	123,5	-		
	0,0	137,3	-		2,18750	137,3	-		
	0,0	151,0	-		2,18750	151,0	-		
	0,0	164,7	-		2,18750	164,7	-		
	0,0	178,4	-		2,03125	178,4	-		
	0,0	192,2	-		1,95313	192,2	-		
	0,0	205,9	-		1,71875	205,9	-		
	0,0	219,6	-		0,85938	219,6	-		
	0,0	233,3	-		0,32031	233,3	-		
	0,0	247,1	-		0,21094	247,1	-		
	0,0	260,8	-		0,15625	260,8	-		
	0,0	274,5	-		0,00000	274,5	-		
	0,0	288,2	-		0,00000	288,2	-		
	0,0	302,0	-		0,00000	302,0	-		
	0,0	315,7	-		0,00000	315,7	-		
	0,0	329,4	-		0,00000	329,4	-		
	0,0	343,1	-		0,00000	343,1	-		

Time	DRT-1 Current	DRT-1 Bias Voltage	DRT-1 Current Density	DRT-1 Ion Energy	DRT-2 Current	DRT-2 Bias Voltage	DRT-2 Current Density	DRT-2 Ion Energy	SA Angle
hh:mm:ss	μA	V	μA/cm2	eV	μA	V	μA/cm2	eV	deg.
11:34:14	0,0	0,0	0,0	0,0	2,42188	0,0	5,632	210-16,5% 270- 1%	30
	0,0	13,7	-		2,42188	13,7	-		
	0,0	27,5	-		2,42188	27,5	-		
	0,0	41,2	-		2,42188	41,2	-		
	0,0	54,9	-		2,42188	54,9	-		
	0,0	68,6	-		2,42188	68,6	-		
	0,0	82,4	-		2,42188	82,4	-		
	0,0	96,1	-		2,42188	96,1	-		
	0,0	109,8	-		2,42188	109,8	-		
	0,0	123,5	-		2,34375	123,5	-		
	0,0	137,3	-		2,26563	137,3	-		
	0,0	151,0	-		2,18750	151,0	-		
	0,0	164,7	-		2,10938	164,7	-		
	0,0	178,4	-		2,03125	178,4	-		
	0,0	192,2	-		1,95313	192,2	-		
	0,0	205,9	-		1,64063	205,9	-		
	0,0	219,6	-		0,93750	219,6	-		
	0,0	233,3	-		0,31250	233,3	-		
	0,0	247,1	-		0,23438	247,1	-		
	0,0	260,8	-		0,17188	260,8	-		
	0,0	274,5	-		0,00000	274,5	-		
	0,0	288,2	-		0,00000	288,2	-		
	0,0	302,0	-		0,00000	302,0	-		
	0,0	315,7	-		0,00000	315,7	-		
	0,0	329,4	-		0,00000	329,4	-		
	0,0	343,1	-		0,00000	343,1	-		
11:40:14	0,0	0,0	0,0	0,0	2,42188	0,0	5,632	200-21% 270- 1,2%	30
	0,0	13,7	-		2,42188	13,7	-		
	0,0	27,5	-		2,42188	27,5	-		
	0,0	41,2	-		2,42188	41,2	-		
	0,0	54,9	-		2,42188	54,9	-		
	0,0	68,6	-		2,42188	68,6	-		
	0,0	82,4	-		2,42188	82,4	-		
	0,0	96,1	-		2,42188	96,1	-		
	0,0	109,8	-		2,42188	109,8	-		
	0,0	123,5	-		2,42188	123,5	-		
	0,0	137,3	-		2,26563	137,3	-		
	0,0	151,0	-		2,18750	151,0	-		
	0,0	164,7	-		2,10938	164,7	-		
	0,0	178,4	-		2,10938	178,4	-		
	0,0	192,2	-		1,95313	192,2	-		
	0,0	205,9	-		1,71875	205,9	-		
	0,0	219,6	-		0,85938	219,6	-		
	0,0	233,3	-		0,30469	233,3	-		
	0,0	247,1	-		0,21875	247,1	-		
	0,0	260,8	-		0,15625	260,8	-		
	0,0	274,5	-		0,00000	274,5	-		
	0,0	288,2	-		0,00000	288,2	-		
	0,0	302,0	-		0,00000	302,0	-		
	0,0	315,7	-		0,00000	315,7	-		
	0,0	329,4	-		0,00000	329,4	-		
	0,0	343,1	-		0,00000	343,1	-		
11:46:14	0,0	0,0	0,0	0,0	2,42188	0,0	5,632	210-19,5% 270- 1%	30
	0,0	13,7	-		2,42188	13,7	-		
	0,0	27,5	-		2,42188	27,5	-		
	0,0	41,2	-		2,42188	41,2	-		
	0,0	54,9	-		2,42188	54,9	-		
	0,0	68,6	-		2,42188	68,6	-		
	0,0	82,4	-		2,42188	82,4	-		
	0,0	96,1	-		2,42188	96,1	-		

Time	DRT-1 Current	DRT-1 Bias Voltage	DRT-1 Current Density	DRT-1 Ion Energy	DRT-2 Current	DRT-2 Bias Voltage	DRT-2 Current Density	DRT-2 Ion Energy	SA Angle
hh:mm:ss	μA	V	μA/cm2	eV	μA	V	μA/cm2	eV	deg.
	0,0	109,8	-		2,42188	109,8	-		
	0,0	123,5	-		2,34375	123,5	-		
	0,0	137,3	-		2,26563	137,3	-		
	0,0	151,0	-		2,26563	151,0	-		
	0,0	164,7	-		2,18750	164,7	-		
	0,0	178,4	-		2,03125	178,4	-		
	0,0	192,2	-		1,95313	192,2	-		
	0,0	205,9	-		1,64063	205,9	-		
	0,0	219,6	-		0,85938	219,6	-		
	0,0	233,3	-		0,31250	233,3	-		
	0,0	247,1	-		0,21875	247,1	-		
	0,0	260,8	-		0,14844	260,8	-		
	0,0	274,5	-		0,00000	274,5	-		
	0,0	288,2	-		0,00000	288,2	-		
	0,0	302,0	-		0,00000	302,0	-		
	0,0	315,7	-		0,00000	315,7	-		
	0,0	329,4	-		0,00000	329,4	-		
	0,0	343,1	-		0,00000	343,1	-		
11:52:14	0,0	0,0	0,0	0,0	2,42188	0,0	5,632	200-23% 262- 3%	30
	0,0	13,7	-		2,42188	13,7	-		
	0,0	27,5	-		2,42188	27,5	-		
	0,0	41,2	-		2,42188	41,2	-		
	0,0	54,9	-		2,42188	54,9	-		
	0,0	68,6	-		2,42188	68,6	-		
	0,0	82,4	-		2,42188	82,4	-		
	0,0	96,1	-		2,42188	96,1	-		
	0,0	109,8	-		2,42188	109,8	-		
	0,0	123,5	-		2,42188	123,5	-		
	0,0	137,3	-		2,26563	137,3	-		
	0,0	151,0	-		2,26563	151,0	-		
	0,0	164,7	-		2,18750	164,7	-		
	0,0	178,4	-		2,10938	178,4	-		
	0,0	192,2	-		1,95313	192,2	-		
	0,0	205,9	-		1,71875	205,9	-		
	0,0	219,6	-		0,78125	219,6	-		
	0,0	233,3	-		0,32031	233,3	-		
	0,0	247,1	-		0,23438	247,1	-		
	0,0	260,8	-		0,14063	260,8	-		
	0,0	274,5	-		0,00000	274,5	-		
	0,0	288,2	-		0,00000	288,2	-		
	0,0	302,0	-		0,00000	302,0	-		
	0,0	315,7	-		0,00000	315,7	-		
	0,0	329,4	-		0,00000	329,4	-		
	0,0	343,1	-		0,00000	343,1	-		
11:58:14	0,0	0,0	0,0	0,0	2,42188	0,0	5,632	210-19,5% 262- 2%	30
	0,0	13,7	-		2,42188	13,7	-		
	0,0	27,5	-		2,42188	27,5	-		
	0,0	41,2	-		2,42188	41,2	-		
	0,0	54,9	-		2,42188	54,9	-		
	0,0	68,6	-		2,42188	68,6	-		
	0,0	82,4	-		2,42188	82,4	-		
	0,0	96,1	-		2,34375	96,1	-		
	0,0	109,8	-		2,34375	109,8	-		
	0,0	123,5	-		2,26563	123,5	-		
	0,0	137,3	-		2,18750	137,3	-		
	0,0	151,0	-		2,18750	151,0	-		
	0,0	164,7	-		2,10938	164,7	-		
	0,0	178,4	-		1,95313	178,4	-		
	0,0	192,2	-		1,87500	192,2	-		
	0,0	205,9	-		1,56250	205,9	-		

Time	DRT-1 Current	DRT-1 Bias Voltage	DRT-1 Current Density	DRT-1 Ion Energy	DRT-2 Current	DRT-2 Bias Voltage	DRT-2 Current Density	DRT-2 Ion Energy	SA Angle
hh:mm:ss	μA	V	μA/cm2	eV	μA	V	μA/cm2	eV	deg.
	0,0	219,6	-		0,78125	219,6	-		
	0,0	233,3	-		0,30469	233,3	-		
	0,0	247,1	-		0,22656	247,1	-		
	0,0	260,8	-		0,10938	260,8	-		
	0,0	274,5	-		0,00000	274,5	-		
	0,0	288,2	-		0,00000	288,2	-		
	0,0	302,0	-		0,00000	302,0	-		
	0,0	315,7	-		0,00000	315,7	-		
	0,0	329,4	-		0,00000	329,4	-		
	0,0	343,1	-		0,00000	343,1	-		
12:04:14	0,0	0,0	0,0	0,0	2,42188	0,0	5,632	200-20% 270- 1,5%	32
	0,0	13,7	-		2,42188	13,7	-		
	0,0	27,5	-		2,42188	27,5	-		
	0,0	41,2	-		2,42188	41,2	-		
	0,0	54,9	-		2,42188	54,9	-		
	0,0	68,6	-		2,42188	68,6	-		
	0,0	82,4	-		2,42188	82,4	-		
	0,0	96,1	-		2,42188	96,1	-		
	0,0	109,8	-		2,42188	109,8	-		
	0,0	123,5	-		2,26563	123,5	-		
	0,0	137,3	-		2,26563	137,3	-		
	0,0	151,0	-		2,18750	151,0	-		
	0,0	164,7	-		2,10938	164,7	-		
	0,0	178,4	-		2,03125	178,4	-		
	0,0	192,2	-		1,87500	192,2	-		
	0,0	205,9	-		1,56250	205,9	-		
	0,0	219,6	-		0,78125	219,6	-		
	0,0	233,3	-		0,30469	233,3	-		
	0,0	247,1	-		0,22656	247,1	-		
	0,0	260,8	-		0,12500	260,8	-		
	0,0	274,5	-		0,00000	274,5	-		
	0,0	288,2	-		0,00000	288,2	-		
	0,0	302,0	-		0,00000	302,0	-		
	0,0	315,7	-		0,00000	315,7	-		
	0,0	329,4	-		0,00000	329,4	-		
	0,0	343,1	-		0,00000	343,1	-		
12:10:14	0,0	0,0	0,0	0,0	2,42188	0,0	5,632	200-20% 270- 2,5%	40
	0,0	13,7	-		2,42188	13,7	-		
	0,0	27,5	-		2,42188	27,5	-		
	0,0	41,2	-		2,42188	41,2	-		
	0,0	54,9	-		2,42188	54,9	-		
	0,0	68,6	-		2,42188	68,6	-		
	0,0	82,4	-		2,42188	82,4	-		
	0,0	96,1	-		2,42188	96,1	-		
	0,0	109,8	-		2,42188	109,8	-		
	0,0	123,5	-		2,42188	123,5	-		
	0,0	137,3	-		2,26563	137,3	-		
	0,0	151,0	-		2,18750	151,0	-		
	0,0	164,7	-		2,10938	164,7	-		
	0,0	178,4	-		2,03125	178,4	-		
	0,0	192,2	-		1,95313	192,2	-		
	0,0	205,9	-		1,64063	205,9	-		
	0,0	219,6	-		0,78125	219,6	-		
	0,0	233,3	-		0,31250	233,3	-		
	0,0	247,1	-		0,21094	247,1	-		
	0,0	260,8	-		0,14063	260,8	-		
	0,0	274,5	-		0,00000	274,5	-		
	0,0	288,2	-		0,00000	288,2	-		
	0,0	302,0	-		0,00000	302,0	-		
	0,0	315,7	-		0,00000	315,7	-		

Time	DRT-1 Current	DRT-1 Bias Voltage	DRT-1 Current Density	DRT-1 Ion Energy	DRT-2 Current	DRT-2 Bias Voltage	DRT-2 Current Density	DRT-2 Ion Energy	SA Angle
hh:mm:ss	μA	V	μA/cm2	eV	μA	V	μA/cm2	eV	deg.
12:16:14	0,0	329,4	-	0,0	0,00000	329,4	-	210-20% 270- 2%	45
	0,0	343,1	-		0,00000	343,1	-		
	0,0	0,0	0,0		2,34375	0,0	5,451		
	0,0	13,7	-		2,34375	13,7	-		
	0,0	27,5	-		2,34375	27,5	-		
	0,0	41,2	-		2,34375	41,2	-		
	0,0	54,9	-		2,34375	54,9	-		
	0,0	68,6	-		2,34375	68,6	-		
	0,0	82,4	-		2,34375	82,4	-		
	0,0	96,1	-		2,34375	96,1	-		
	0,0	109,8	-		2,34375	109,8	-		
	0,0	123,5	-		2,26563	123,5	-		
	0,0	137,3	-		2,26563	137,3	-		
	0,0	151,0	-		2,18750	151,0	-		
	0,0	164,7	-		2,18750	164,7	-		
	0,0	178,4	-		2,03125	178,4	-		
	0,0	192,2	-		2,03125	192,2	-		
	0,0	205,9	-		1,64063	205,9	-		
	0,0	219,6	-		0,85938	219,6	-		
	0,0	233,3	-		0,39063	233,3	-		
	0,0	247,1	-		0,24219	247,1	-		
	0,0	260,8	-		0,15625	260,8	-		
	0,0	274,5	-		0,00000	274,5	-		
	0,0	288,2	-		0,00000	288,2	-		
	0,0	302,0	-		0,00000	302,0	-		
	0,0	315,7	-		0,00000	315,7	-		
	0,0	329,4	-		0,00000	329,4	-		
	0,0	343,1	-		0,00000	343,1	-		
12:22:14	0,0	0,0	0,0	0,0	2,34375	0,0	5,451	210-16,5% 270- 2%	45
	0,0	13,7	-		2,34375	13,7	-		
	0,0	27,5	-		2,34375	27,5	-		
	0,0	41,2	-		2,34375	41,2	-		
	0,0	54,9	-		2,34375	54,9	-		
	0,0	68,6	-		2,34375	68,6	-		
	0,0	82,4	-		2,34375	82,4	-		
	0,0	96,1	-		2,34375	96,1	-		
	0,0	109,8	-		2,34375	109,8	-		
	0,0	123,5	-		2,34375	123,5	-		
	0,0	137,3	-		2,26563	137,3	-		
	0,0	151,0	-		2,18750	151,0	-		
	0,0	164,7	-		2,18750	164,7	-		
	0,0	178,4	-		2,10938	178,4	-		
	0,0	192,2	-		1,95313	192,2	-		
	0,0	205,9	-		1,64063	205,9	-		
	0,0	219,6	-		0,93750	219,6	-		
	0,0	233,3	-		0,32031	233,3	-		
	0,0	247,1	-		0,22656	247,1	-		
	0,0	260,8	-		0,14844	260,8	-		
	0,0	274,5	-		0,00000	274,5	-		
	0,0	288,2	-		0,00000	288,2	-		
	0,0	302,0	-		0,00000	302,0	-		
	0,0	315,7	-		0,00000	315,7	-		
	0,0	329,4	-		0,00000	329,4	-		
	0,0	343,1	-		0,00000	343,1	-		
12:28:14	0,0	0,0	0,0	0,0	0,0	0,0	0,0	0	45
	0,0	13,7	-		0,0	13,7	-		
	0,0	27,5	-		0,0	27,5	-		
	0,0	41,2	-		0,0	41,2	-		
	0,0	54,9	-		0,0	54,9	-		
	0,0	68,6	-		0,0	68,6	-		

Time	DRT-1 Current	DRT-1 Bias Voltage	DRT-1 Current Density	DRT-1 Ion Energy	DRT-2 Current	DRT-2 Bias Voltage	DRT-2 Current Density	DRT-2 Ion Energy	SA Angle
hh:mm:ss	μA	V	μA/cm2	eV	μA	V	μA/cm2	eV	deg.
	0,0	82,4	-		0,0	82,4	-		
	0,0	96,1	-		0,0	96,1	-		
	0,0	109,8	-		0,0	109,8	-		
	0,0	123,5	-		0,0	123,5	-		
	0,0	137,3	-		0,0	137,3	-		
	0,0	151,0	-		0,0	151,0	-		
	0,0	164,7	-		0,0	164,7	-		
	0,0	178,4	-		0,0	178,4	-		
	0,0	192,2	-		0,0	192,2	-		
	0,0	205,9	-		0,0	205,9	-		
	0,0	219,6	-		0,0	219,6	-		
	0,0	233,3	-		0,0	233,3	-		
	0,0	247,1	-		0,0	247,1	-		
	0,0	260,8	-		0,0	260,8	-		
	0,0	274,5	-		0,0	274,5	-		
	0,0	288,2	-		0,0	288,2	-		
	0,0	302,0	-		0,0	302,0	-		
	0,0	315,7	-		0,0	315,7	-		
	0,0	329,4	-		0,0	329,4	-		
	0,0	343,1	-		0,0	343,1	-		

Annex 56. Information from A-type sensors at work RT3C1 for 31/08/00

Time of thruster Start-Up - 11:13:27

Time of thruster Switching Off - 12:14:03

Time	DRT-1 Current	DRT-1 Bias Voltage	DRT-1 Current Density	DRT-1 Ion Energy	DRT-2 Current	DRT-2 Bias Voltage	DRT-2 Current Density	DRT-2 Ion Energy	SA Angle
hh:mm:ss	μA	V	μA/cm2	eV	μA	V	μA/cm2	eV	deg.
11:11:33	0,0	0,0	0,0	0,0	0,0	0,0	0,0	0,0	20
	0,0	13,7	-		0,0	13,7	-		
	0,0	27,5	-		0,0	27,5	-		
	0,0	41,2	-		0,0	41,2	-		
	0,0	54,9	-		0,0	54,9	-		
	0,0	68,6	-		0,0	68,6	-		
	0,0	82,4	-		0,0	82,4	-		
	0,0	96,1	-		0,0	96,1	-		
	0,0	109,8	-		0,0	109,8	-		
	0,0	123,5	-		0,0	123,5	-		
	0,0	137,3	-		0,0	137,3	-		
	0,0	151,0	-		0,0	151,0	-		
	0,0	164,7	-		0,0	164,7	-		
	0,0	178,4	-		0,0	178,4	-		
	0,0	192,2	-		0,0	192,2	-		
	0,0	205,9	-		0,0	205,9	-		
	0,0	219,6	-		0,0	219,6	-		
	0,0	233,3	-		0,0	233,3	-		
	0,0	247,1	-		0,0	247,1	-		
	0,0	260,8	-		0,0	260,8	-		
	0,0	274,5	-		0,0	274,5	-		
	0,0	288,2	-		0,0	288,2	-		
	0,0	302,0	-		0,0	302,0	-		
	0,0	315,7	-		0,0	315,7	-		
	0,0	329,4	-		0,0	329,4	-		
	0,0	343,1	-		0,0	343,1	-		
11:17:33	0,0	0,0	0,0	0,0	2,81250	0,0	6,541	210-20% 270-3,3%	28
	0,0	13,7	-		2,81250	13,7	-		
	0,0	27,5	-		2,81250	27,5	-		
	0,0	41,2	-		2,81250	41,2	-		
	0,0	54,9	-		2,81250	54,9	-		
	0,0	68,6	-		2,81250	68,6	-		
	0,0	82,4	-		2,81250	82,4	-		
	0,0	96,1	-		2,81250	96,1	-		
	0,0	109,8	-		2,81250	109,8	-		
	0,0	123,5	-		2,81250	123,5	-		
	0,0	137,3	-		2,81250	137,3	-		
	0,0	151,0	-		2,73438	151,0	-		
	0,0	164,7	-		2,73438	164,7	-		
	0,0	178,4	-		2,65625	178,4	-		
	0,0	192,2	-		2,57813	192,2	-		
	0,0	205,9	-		1,95313	205,9	-		
	0,0	219,6	-		0,93750	219,6	-		
	0,0	233,3	-		0,31250	233,3	-		
	0,0	247,1	-		0,18750	247,1	-		
	0,0	260,8	-		0,10938	260,8	-		
	0,0	274,5	-		0,00000	274,5	-		
	0,0	288,2	-		0,00000	288,2	-		
	0,0	302,0	-		0,00000	302,0	-		
	0,0	315,7	-		0,00000	315,7	-		
	0,0	329,4	-		0,00000	329,4	-		
	0,0	343,1	-		0,00000	343,1	-		

Time	DRT-1 Current	DRT-1 Bias Voltage	DRT-1 Current Density	DRT-1 Ion Energy	DRT-2 Current	DRT-2 Bias Voltage	DRT-2 Current Density	DRT-2 Ion Energy	SA Angle
hh:mm:ss	μA	V	μA/cm2	eV	μA	V	μA/cm2	eV	deg.
11:23:33	0,0	0,0	0,0	0,0	2,96875	0,0	6,904	210-26% 270-0,5%	30
	0,0	13,7	-		2,96875	13,7	-		
	0,0	27,5	-		2,96875	27,5	-		
	0,0	41,2	-		2,96875	41,2	-		
	0,0	54,9	-		2,96875	54,9	-		
	0,0	68,6	-		2,96875	68,6	-		
	0,0	82,4	-		2,96875	82,4	-		
	0,0	96,1	-		2,96875	96,1	-		
	0,0	109,8	-		2,96875	109,8	-		
	0,0	123,5	-		2,96875	123,5	-		
	0,0	137,3	-		2,96875	137,3	-		
	0,0	151,0	-		2,96875	151,0	-		
	0,0	164,7	-		2,96875	164,7	-		
	0,0	178,4	-		2,89063	178,4	-		
	0,0	192,2	-		2,81250	192,2	-		
	0,0	205,9	-		2,57813	205,9	-		
	0,0	219,6	-		1,25000	219,6	-		
	0,0	233,3	-		0,54688	233,3	-		
	0,0	247,1	-		0,28125	247,1	-		
	0,0	260,8	-		0,20313	260,8	-		
	0,0	274,5	-		0,00000	274,5	-		
	0,0	288,2	-		0,00000	288,2	-		
	0,0	302,0	-		0,00000	302,0	-		
	0,0	315,7	-		0,00000	315,7	-		
	0,0	329,4	-		0,00000	329,4	-		
	0,0	343,1	-		0,00000	343,1	-		
11:29:33	0,0	0,0	0,0	0,0	2,96875	0,0	6,904	200-26% 262-2,5%	30
	0,0	13,7	-		2,96875	13,7	-		
	0,0	27,5	-		2,96875	27,5	-		
	0,0	41,2	-		2,96875	41,2	-		
	0,0	54,9	-		2,96875	54,9	-		
	0,0	68,6	-		2,96875	68,6	-		
	0,0	82,4	-		2,96875	82,4	-		
	0,0	96,1	-		2,96875	96,1	-		
	0,0	109,8	-		2,96875	109,8	-		
	0,0	123,5	-		2,96875	123,5	-		
	0,0	137,3	-		2,96875	137,3	-		
	0,0	151,0	-		2,96875	151,0	-		
	0,0	164,7	-		2,96875	164,7	-		
	0,0	178,4	-		2,89063	178,4	-		
	0,0	192,2	-		2,81250	192,2	-		
	0,0	205,9	-		2,03125	205,9	-		
	0,0	219,6	-		0,93750	219,6	-		
	0,0	233,3	-		0,39063	233,3	-		
	0,0	247,1	-		0,18750	247,1	-		
	0,0	260,8	-		0,10938	260,8	-		
	0,0	274,5	-		0,00000	274,5	-		
	0,0	288,2	-		0,00000	288,2	-		
	0,0	302,0	-		0,00000	302,0	-		
	0,0	315,7	-		0,00000	315,7	-		
	0,0	329,4	-		0,00000	329,4	-		
	0,0	343,1	-		0,00000	343,1	-		
11:35:33	0,0	0,0	0,0	0,0	2,96875	0,0	6,904	200-26% 262-2,5%	30
	0,0	13,7	-		2,96875	13,7	-		
	0,0	27,5	-		2,96875	27,5	-		
	0,0	41,2	-		2,96875	41,2	-		
	0,0	54,9	-		2,96875	54,9	-		
	0,0	68,6	-		2,96875	68,6	-		
	0,0	82,4	-		2,96875	82,4	-		
	0,0	96,1	-		2,96875	96,1	-		

Time	DRT-1 Current	DRT-1 Bias Voltage	DRT-1 Current Density	DRT-1 Ion Energy	DRT-2 Current	DRT-2 Bias Voltage	DRT-2 Current Density	DRT-2 Ion Energy	SA Angle
hh:mm:ss	μA	V	μA/cm2	eV	μA	V	μA/cm2	eV	deg.
	0,0	109,8	-		2,96875	109,8	-		
	0,0	123,5	-		2,96875	123,5	-		
	0,0	137,3	-		2,96875	137,3	-		
	0,0	151,0	-		2,96875	151,0	-		
	0,0	164,7	-		2,96875	164,7	-		
	0,0	178,4	-		2,89063	178,4	-		
	0,0	192,2	-		2,81250	192,2	-		
	0,0	205,9	-		2,03125	205,9	-		
	0,0	219,6	-		0,93750	219,6	-		
	0,0	233,3	-		0,31250	233,3	-		
	0,0	247,1	-		0,18750	247,1	-		
	0,0	260,8	-		0,13281	260,8	-		
	0,0	274,5	-		0,00000	274,5	-		
	0,0	288,2	-		0,00000	288,2	-		
	0,0	302,0	-		0,00000	302,0	-		
	0,0	315,7	-		0,00000	315,7	-		
	0,0	329,4	-		0,00000	329,4	-		
	0,0	343,1	-		0,00000	343,1	-		
11:41:33	0,0	0,0	0,0	0,0	2,96875	0,0	6,904	210-18,5% 270-3%	30
	0,0	13,7	-		2,96875	13,7	-		
	0,0	27,5	-		2,96875	27,5	-		
	0,0	41,2	-		2,96875	41,2	-		
	0,0	54,9	-		2,96875	54,9	-		
	0,0	68,6	-		2,96875	68,6	-		
	0,0	82,4	-		2,96875	82,4	-		
	0,0	96,1	-		2,96875	96,1	-		
	0,0	109,8	-		2,96875	109,8	-		
	0,0	123,5	-		2,96875	123,5	-		
	0,0	137,3	-		2,96875	137,3	-		
	0,0	151,0	-		2,96875	151,0	-		
	0,0	164,7	-		2,89063	164,7	-		
	0,0	178,4	-		2,89063	178,4	-		
	0,0	192,2	-		2,81250	192,2	-		
	0,0	205,9	-		2,03125	205,9	-		
	0,0	219,6	-		0,93750	219,6	-		
	0,0	233,3	-		0,31250	233,3	-		
	0,0	247,1	-		0,18750	247,1	-		
	0,0	260,8	-		0,10938	260,8	-		
	0,0	274,5	-		0,00000	274,5	-		
	0,0	288,2	-		0,00000	288,2	-		
	0,0	302,0	-		0,00000	302,0	-		
	0,0	315,7	-		0,00000	315,7	-		
	0,0	329,4	-		0,00000	329,4	-		
	0,0	343,1	-		0,00000	343,1	-		
11:47:33	0,0	0,0	0,0	0,0	2,96875	0,0	6,904	210-26% 270-2,5%	30
	0,0	13,7	-		2,96875	13,7	-		
	0,0	27,5	-		2,96875	27,5	-		
	0,0	41,2	-		2,96875	41,2	-		
	0,0	54,9	-		2,96875	54,9	-		
	0,0	68,6	-		2,96875	68,6	-		
	0,0	82,4	-		2,96875	82,4	-		
	0,0	96,1	-		2,96875	96,1	-		
	0,0	109,8	-		2,96875	109,8	-		
	0,0	123,5	-		2,96875	123,5	-		
	0,0	137,3	-		2,96875	137,3	-		
	0,0	151,0	-		2,96875	151,0	-		
	0,0	164,7	-		2,96875	164,7	-		
	0,0	178,4	-		2,89063	178,4	-		
	0,0	192,2	-		2,89063	192,2	-		
	0,0	205,9	-		2,18750	205,9	-		

Time	DRT-1 Current	DRT-1 Bias Voltage	DRT-1 Current Density	DRT-1 Ion Energy	DRT-2 Current	DRT-2 Bias Voltage	DRT-2 Current Density	DRT-2 Ion Energy	SA Angle
hh:mm:ss	μA	V	μA/cm2	eV	μA	V	μA/cm2	eV	deg.
	0,0	219,6	-		0,93750	219,6	-		
	0,0	233,3	-		0,31250	233,3	-		
	0,0	247,1	-		0,18750	247,1	-		
	0,0	260,8	-		0,10938	260,8	-		
	0,0	274,5	-		0,00000	274,5	-		
	0,0	288,2	-		0,00000	288,2	-		
	0,0	302,0	-		0,00000	302,0	-		
	0,0	315,7	-		0,00000	315,7	-		
	0,0	329,4	-		0,00000	329,4	-		
	0,0	343,1	-		0,00000	343,1	-		
11:53:33	0,0	0,0	0,0	0,0	2,96875	0,0	6,904	192-23% 270-2%	30
	0,0	13,7	-		2,96875	13,7	-		
	0,0	27,5	-		2,96875	27,5	-		
	0,0	41,2	-		2,96875	41,2	-		
	0,0	54,9	-		2,96875	54,9	-		
	0,0	68,6	-		2,96875	68,6	-		
	0,0	82,4	-		2,96875	82,4	-		
	0,0	96,1	-		2,96875	96,1	-		
	0,0	109,8	-		2,96875	109,8	-		
	0,0	123,5	-		2,96875	123,5	-		
	0,0	137,3	-		2,96875	137,3	-		
	0,0	151,0	-		2,96875	151,0	-		
	0,0	164,7	-		2,96875	164,7	-		
	0,0	178,4	-		2,89063	178,4	-		
	0,0	192,2	-		2,89063	192,2	-		
	0,0	205,9	-		1,95313	205,9	-		
	0,0	219,6	-		0,93750	219,6	-		
	0,0	233,3	-		0,31250	233,3	-		
	0,0	247,1	-		0,20313	247,1	-		
	0,0	260,8	-		0,10938	260,8	-		
	0,0	274,5	-		0,00000	274,5	-		
	0,0	288,2	-		0,00000	288,2	-		
	0,0	302,0	-		0,00000	302,0	-		
	0,0	315,7	-		0,00000	315,7	-		
	0,0	329,4	-		0,00000	329,4	-		
	0,0	343,1	-		0,00000	343,1	-		
11:59:33	0,0	0,0	0,0	0,0	2,96875	0,0	6,904	200-26% 262-2,5%	30
	0,0	13,7	-		2,96875	13,7	-		
	0,0	27,5	-		2,96875	27,5	-		
	0,0	41,2	-		2,96875	41,2	-		
	0,0	54,9	-		2,96875	54,9	-		
	0,0	68,6	-		2,96875	68,6	-		
	0,0	82,4	-		2,96875	82,4	-		
	0,0	96,1	-		2,96875	96,1	-		
	0,0	109,8	-		2,96875	109,8	-		
	0,0	123,5	-		2,96875	123,5	-		
	0,0	137,3	-		2,96875	137,3	-		
	0,0	151,0	-		2,96875	151,0	-		
	0,0	164,7	-		2,96875	164,7	-		
	0,0	178,4	-		2,89063	178,4	-		
	0,0	192,2	-		2,89063	192,2	-		
	0,0	205,9	-		1,95313	205,9	-		
	0,0	219,6	-		1,01563	219,6	-		
	0,0	233,3	-		0,31250	233,3	-		
	0,0	247,1	-		0,17188	247,1	-		
	0,0	260,8	-		0,09375	260,8	-		
	0,0	274,5	-		0,00000	274,5	-		
	0,0	288,2	-		0,00000	288,2	-		
	0,0	302,0	-		0,00000	302,0	-		
	0,0	315,7	-		0,00000	315,7	-		

Time	DRT-1 Current	DRT-1 Bias Voltage	DRT-1 Current Density	DRT-1 Ion Energy	DRT-2 Current	DRT-2 Bias Voltage	DRT-2 Current Density	DRT-2 Ion Energy	SA Angle
hh:mm:ss	μA	V	μA/cm2	eV	μA	V	μA/cm2	eV	deg.
12:05:33	0,0	329,4	-	0,0	0,00000	329,4	-	192-23% 262-2%	30
	0,0	343,1	-		0,00000	343,1	-		
	0,0	0,0	0,0		2,96875	0,0	6,904		
	0,0	13,7	-		2,96875	13,7	-		
	0,0	27,5	-		2,96875	27,5	-		
	0,0	41,2	-		2,96875	41,2	-		
	0,0	54,9	-		2,96875	54,9	-		
	0,0	68,6	-		2,96875	68,6	-		
	0,0	82,4	-		2,96875	82,4	-		
	0,0	96,1	-		2,96875	96,1	-		
	0,0	109,8	-		2,96875	109,8	-		
	0,0	123,5	-		2,96875	123,5	-		
	0,0	137,3	-		2,96875	137,3	-		
	0,0	151,0	-		2,96875	151,0	-		
	0,0	164,7	-		2,89063	164,7	-		
	0,0	178,4	-		2,89063	178,4	-		
	0,0	192,2	-		2,89063	192,2	-		
	0,0	205,9	-		1,95313	205,9	-		
	0,0	219,6	-		1,01563	219,6	-		
	0,0	233,3	-		0,39063	233,3	-		
	0,0	247,1	-		0,18750	247,1	-		
	0,0	260,8	-		0,09375	260,8	-		
	0,0	274,5	-		0,00000	274,5	-		
	0,0	288,2	-		0,00000	288,2	-		
	0,0	302,0	-		0,00000	302,0	-		
	0,0	315,7	-		0,00000	315,7	-		
	0,0	329,4	-		0,00000	329,4	-		
	0,0	343,1	-		0,00000	343,1	-		
12:11:33	0,0	0,0	0,0	0,0	2,96875	0,0	6,904	192-20% 262-1%	30
	0,0	13,7	-		2,96875	13,7	-		
	0,0	27,5	-		2,96875	27,5	-		
	0,0	41,2	-		2,96875	41,2	-		
	0,0	54,9	-		2,96875	54,9	-		
	0,0	68,6	-		2,96875	68,6	-		
	0,0	82,4	-		2,96875	82,4	-		
	0,0	96,1	-		2,96875	96,1	-		
	0,0	109,8	-		2,96875	109,8	-		
	0,0	123,5	-		2,96875	123,5	-		
	0,0	137,3	-		2,96875	137,3	-		
	0,0	151,0	-		2,96875	151,0	-		
	0,0	164,7	-		2,89063	164,7	-		
	0,0	178,4	-		2,89063	178,4	-		
	0,0	192,2	-		2,89063	192,2	-		
	0,0	205,9	-		2,03125	205,9	-		
	0,0	219,6	-		1,01563	219,6	-		
	0,0	233,3	-		0,31250	233,3	-		
	0,0	247,1	-		0,17188	247,1	-		
	0,0	260,8	-		0,09375	260,8	-		
	0,0	274,5	-		0,00000	274,5	-		
	0,0	288,2	-		0,00000	288,2	-		
	0,0	302,0	-		0,00000	302,0	-		
	0,0	315,7	-		0,00000	315,7	-		
	0,0	329,4	-		0,00000	329,4	-		
	0,0	343,1	-		0,00000	343,1	-		
12:17:33	0,0	0,0	0,0	0,0	0,0	0,0	0,0	0,0	30
	0,0	13,7	-		0,0	13,7	-		
	0,0	27,5	-		0,0	27,5	-		
	0,0	41,2	-		0,0	41,2	-		
	0,0	54,9	-		0,0	54,9	-		
	0,0	68,6	-		0,0	68,6	-		

Time	DRT-1 Current	DRT-1 Bias Voltage	DRT-1 Current Density	DRT-1 Ion Energy	DRT-2 Current	DRT-2 Bias Voltage	DRT-2 Current Density	DRT-2 Ion Energy	SA Angle
hh:mm:ss	μA	V	μA/cm2	eV	μA	V	μA/cm2	eV	deg.
	0,0	82,4	-		0,0	82,4	-		
	0,0	96,1	-		0,0	96,1	-		
	0,0	109,8	-		0,0	109,8	-		
	0,0	123,5	-		0,0	123,5	-		
	0,0	137,3	-		0,0	137,3	-		
	0,0	151,0	-		0,0	151,0	-		
	0,0	164,7	-		0,0	164,7	-		
	0,0	178,4	-		0,0	178,4	-		
	0,0	192,2	-		0,0	192,2	-		
	0,0	205,9	-		0,0	205,9	-		
	0,0	219,6	-		0,0	219,6	-		
	0,0	233,3	-		0,0	233,3	-		
	0,0	247,1	-		0,0	247,1	-		
	0,0	260,8	-		0,0	260,8	-		
	0,0	274,5	-		0,0	274,5	-		
	0,0	288,2	-		0,0	288,2	-		
	0,0	302,0	-		0,0	302,0	-		
	0,0	315,7	-		0,0	315,7	-		
	0,0	329,4	-		0,0	329,4	-		
	0,0	343,1	-		0,0	343,1	-		

Annex 57. Information from A-type sensors at work T3C1 for 01/09/00

Time of thruster Start-Up - 11:09:31

Time of thruster Switching Off - 12:10:07

Time	DRT-1 Current	DRT-1 Bias Voltage	DRT-1 Current Density	DRT-1 Ion Energy	DRT-2 Current	DRT-2 Bias Voltage	DRT-2 Current Density	DRT-2 Ion Energy	SA Angle
hh:mm:ss	μA	V	μA/cm2	eV	μA	V	μA/cm2	eV	deg.
11:05:33	0,0	0,0	0,0	0,0	0,0	0,0	0,0	0,0	15
	0,0	13,7	-		0,0	13,7	-		
	0,0	27,5	-		0,0	27,5	-		
	0,0	41,2	-		0,0	41,2	-		
	0,0	54,9	-		0,0	54,9	-		
	0,0	68,6	-		0,0	68,6	-		
	0,0	82,4	-		0,0	82,4	-		
	0,0	96,1	-		0,0	96,1	-		
	0,0	109,8	-		0,0	109,8	-		
	0,0	123,5	-		0,0	123,5	-		
	0,0	137,3	-		0,0	137,3	-		
	0,0	151,0	-		0,0	151,0	-		
	0,0	164,7	-		0,0	164,7	-		
	0,0	178,4	-		0,0	178,4	-		
	0,0	192,2	-		0,0	192,2	-		
	0,0	205,9	-		0,0	205,9	-		
	0,0	219,6	-		0,0	219,6	-		
	0,0	233,3	-		0,0	233,3	-		
	0,0	247,1	-		0,0	247,1	-		
	0,0	260,8	-		0,0	260,8	-		
	0,0	274,5	-		0,0	274,5	-		
	0,0	288,2	-		0,0	288,2	-		
	0,0	302,0	-		0,0	302,0	-		
	0,0	315,7	-		0,0	315,7	-		
	0,0	329,4	-		0,0	329,4	-		
	0,0	343,1	-		0,0	343,1	-		
11:11:33	0,0	0,0	0,0	0,0	2,81250	0,0	6,541	210-23% 270-1,2%	20
	0,0	13,7	-		2,81250	13,7	-		
	0,0	27,5	-		2,81250	27,5	-		
	0,0	41,2	-		2,81250	41,2	-		
	0,0	54,9	-		2,81250	54,9	-		
	0,0	68,6	-		2,81250	68,6	-		
	0,0	82,4	-		2,81250	82,4	-		
	0,0	96,1	-		2,81250	96,1	-		
	0,0	109,8	-		2,81250	109,8	-		
	0,0	123,5	-		2,81250	123,5	-		
	0,0	137,3	-		2,81250	137,3	-		
	0,0	151,0	-		2,73438	151,0	-		
	0,0	164,7	-		2,73438	164,7	-		
	0,0	178,4	-		2,50000	178,4	-		
	0,0	192,2	-		2,34375	192,2	-		
	0,0	205,9	-		1,87500	205,9	-		
	0,0	219,6	-		0,78125	219,6	-		
	0,0	233,3	-		0,28125	233,3	-		
	0,0	247,1	-		0,18750	247,1	-		
	0,0	260,8	-		0,07813	260,8	-		
	0,0	274,5	-		0,00000	274,5	-		
	0,0	288,2	-		0,00000	288,2	-		
	0,0	302,0	-		0,00000	302,0	-		
	0,0	315,7	-		0,00000	315,7	-		

Time	DRT-1 Current	DRT-1 Bias Voltage	DRT-1 Current Density	DRT-1 Ion Energy	DRT-2 Current	DRT-2 Bias Voltage	DRT-2 Current Density	DRT-2 Ion Energy	SA Angle
hh:mm:ss	μA	V	μA/cm2	eV	μA	V	μA/cm2	eV	deg.
11:17:33	0,0	329,4	-	0,0	0,00000	329,4	-	210-21% 270-4%	28
	0,0	343,1	-		0,00000	343,1	-		
	0,0	0,0	0,0		2,57813	0,0	5,996		
	0,0	13,7	-		2,57813	13,7	-		
	0,0	27,5	-		2,57813	27,5	-		
	0,0	41,2	-		2,57813	41,2	-		
	0,0	54,9	-		2,57813	54,9	-		
	0,0	68,6	-		2,57813	68,6	-		
	0,0	82,4	-		2,57813	82,4	-		
	0,0	96,1	-		2,57813	96,1	-		
	0,0	109,8	-		2,57813	109,8	-		
	0,0	123,5	-		2,57813	123,5	-		
	0,0	137,3	-		2,50000	137,3	-		
	0,0	151,0	-		2,42188	151,0	-		
	0,0	164,7	-		2,42188	164,7	-		
	0,0	178,4	-		2,34375	178,4	-		
	0,0	192,2	-		2,26563	192,2	-		
	0,0	205,9	-		1,79688	205,9	-		
	0,0	219,6	-		1,17188	219,6	-		
	0,0	233,3	-		0,54688	233,3	-		
	0,0	247,1	-		0,28125	247,1	-		
	0,0	260,8	-		0,19531	260,8	-		
	0,0	274,5	-		0,00000	274,5	-		
	0,0	288,2	-		0,00000	288,2	-		
	0,0	302,0	-		0,00000	302,0	-		
	0,0	315,7	-		0,00000	315,7	-		
	0,0	329,4	-		0,00000	329,4	-		
	0,0	343,1	-		0,00000	343,1	-		
11:23:33	0,0	0,0	0,0	0,0	2,42188	0,0	5,632	217-23% 270-4,5%	30
	0,0	13,7	-		2,42188	13,7	-		
	0,0	27,5	-		2,42188	27,5	-		
	0,0	41,2	-		2,42188	41,2	-		
	0,0	54,9	-		2,42188	54,9	-		
	0,0	68,6	-		2,42188	68,6	-		
	0,0	82,4	-		2,42188	82,4	-		
	0,0	96,1	-		2,42188	96,1	-		
	0,0	109,8	-		2,42188	109,8	-		
	0,0	123,5	-		2,34375	123,5	-		
	0,0	137,3	-		2,34375	137,3	-		
	0,0	151,0	-		2,26563	151,0	-		
	0,0	164,7	-		2,18750	164,7	-		
	0,0	178,4	-		2,03125	178,4	-		
	0,0	192,2	-		2,03125	192,2	-		
	0,0	205,9	-		1,79688	205,9	-		
	0,0	219,6	-		1,25000	219,6	-		
	0,0	233,3	-		0,46875	233,3	-		
	0,0	247,1	-		0,28125	247,1	-		
	0,0	260,8	-		0,21094	260,8	-		
	0,0	274,5	-		0,00000	274,5	-		
	0,0	288,2	-		0,00000	288,2	-		
	0,0	302,0	-		0,00000	302,0	-		
	0,0	315,7	-		0,00000	315,7	-		
	0,0	329,4	-		0,00000	329,4	-		
	0,0	343,1	-		0,00000	343,1	-		
11:29:33	0,0	0,0	0,0	0,0	2,42188	0,0	5,632	210-26% 270-4,5%	30
	0,0	13,7	-		2,42188	13,7	-		
	0,0	27,5	-		2,42188	27,5	-		
	0,0	41,2	-		2,42188	41,2	-		
	0,0	54,9	-		2,42188	54,9	-		
	0,0	68,6	-		2,42188	68,6	-		

Time	DRT-1 Current	DRT-1 Bias Voltage	DRT-1 Current Density	DRT-1 Ion Energy	DRT-2 Current	DRT-2 Bias Voltage	DRT-2 Current Density	DRT-2 Ion Energy	SA Angle
hh:mm:ss	μA	V	μA/cm2	eV	μA	V	μA/cm2	eV	deg.
	0,0	82,4	-		2,42188	82,4	-		
	0,0	96,1	-		2,42188	96,1	-		
	0,0	109,8	-		2,42188	109,8	-		
	0,0	123,5	-		2,34375	123,5	-		
	0,0	137,3	-		2,26563	137,3	-		
	0,0	151,0	-		2,18750	151,0	-		
	0,0	164,7	-		2,10938	164,7	-		
	0,0	178,4	-		2,03125	178,4	-		
	0,0	192,2	-		2,03125	192,2	-		
	0,0	205,9	-		1,87500	205,9	-		
	0,0	219,6	-		1,17188	219,6	-		
	0,0	233,3	-		0,46875	233,3	-		
	0,0	247,1	-		0,27344	247,1	-		
	0,0	260,8	-		0,19531	260,8	-		
	0,0	274,5	-		0,00000	274,5	-		
	0,0	288,2	-		0,00000	288,2	-		
	0,0	302,0	-		0,00000	302,0	-		
	0,0	315,7	-		0,00000	315,7	-		
	0,0	329,4	-		0,00000	329,4	-		
	0,0	343,1	-		0,00000	343,1	-		
11:35:33	0,0	0,0	0,0	0,0	2,42188	0,0	5,632	210-29% 270-4%	30
	0,0	13,7	-		2,42188	13,7	-		
	0,0	27,5	-		2,42188	27,5	-		
	0,0	41,2	-		2,42188	41,2	-		
	0,0	54,9	-		2,42188	54,9	-		
	0,0	68,6	-		2,42188	68,6	-		
	0,0	82,4	-		2,42188	82,4	-		
	0,0	96,1	-		2,42188	96,1	-		
	0,0	109,8	-		2,42188	109,8	-		
	0,0	123,5	-		2,34375	123,5	-		
	0,0	137,3	-		2,26563	137,3	-		
	0,0	151,0	-		2,18750	151,0	-		
	0,0	164,7	-		2,10938	164,7	-		
	0,0	178,4	-		2,03125	178,4	-		
	0,0	192,2	-		2,03125	192,2	-		
	0,0	205,9	-		1,71875	205,9	-		
	0,0	219,6	-		1,01563	219,6	-		
	0,0	233,3	-		0,32031	233,3	-		
	0,0	247,1	-		0,25781	247,1	-		
	0,0	260,8	-		0,16406	260,8	-		
	0,0	274,5	-		0,00000	274,5	-		
	0,0	288,2	-		0,00000	288,2	-		
	0,0	302,0	-		0,00000	302,0	-		
	0,0	315,7	-		0,00000	315,7	-		
	0,0	329,4	-		0,00000	329,4	-		
	0,0	343,1	-		0,00000	343,1	-		
11:41:33	0,0	0,0	0,0	0,0	2,42188	0,0	5,632	210-26% 270-3%	30
	0,0	13,7	-		2,42188	13,7	-		
	0,0	27,5	-		2,42188	27,5	-		
	0,0	41,2	-		2,42188	41,2	-		
	0,0	54,9	-		2,42188	54,9	-		
	0,0	68,6	-		2,42188	68,6	-		
	0,0	82,4	-		2,42188	82,4	-		
	0,0	96,1	-		2,42188	96,1	-		
	0,0	109,8	-		2,42188	109,8	-		
	0,0	123,5	-		2,34375	123,5	-		
	0,0	137,3	-		2,26563	137,3	-		
	0,0	151,0	-		2,18750	151,0	-		
	0,0	164,7	-		2,10938	164,7	-		
	0,0	178,4	-		2,03125	178,4	-		

Time	DRT-1 Current	DRT-1 Bias Voltage	DRT-1 Current Density	DRT-1 Ion Energy	DRT-2 Current	DRT-2 Bias Voltage	DRT-2 Current Density	DRT-2 Ion Energy	SA Angle
hh:mm:ss	μA	V	μA/cm2	eV	μA	V	μA/cm2	eV	deg.
	0,0	192,2	-		2,03125	192,2	-		
	0,0	205,9	-		1,95313	205,9	-		
	0,0	219,6	-		1,17188	219,6	-		
	0,0	233,3	-		0,30469	233,3	-		
	0,0	247,1	-		0,24219	247,1	-		
	0,0	260,8	-		0,14844	260,8	-		
	0,0	274,5	-		0,00000	274,5	-		
	0,0	288,2	-		0,00000	288,2	-		
	0,0	302,0	-		0,00000	302,0	-		
	0,0	315,7	-		0,00000	315,7	-		
	0,0	329,4	-		0,00000	329,4	-		
	0,0	343,1	-		0,00000	343,1	-		
11:47:33	0,0	0,0	0,0	0,0	2,42188	0,0	5,632	210-22% 270-2,5%	30
	0,0	13,7	-		2,42188	13,7	-		
	0,0	27,5	-		2,42188	27,5	-		
	0,0	41,2	-		2,42188	41,2	-		
	0,0	54,9	-		2,42188	54,9	-		
	0,0	68,6	-		2,42188	68,6	-		
	0,0	82,4	-		2,42188	82,4	-		
	0,0	96,1	-		2,42188	96,1	-		
	0,0	109,8	-		2,42188	109,8	-		
	0,0	123,5	-		2,34375	123,5	-		
	0,0	137,3	-		2,26563	137,3	-		
	0,0	151,0	-		2,18750	151,0	-		
	0,0	164,7	-		2,10938	164,7	-		
	0,0	178,4	-		2,03125	178,4	-		
	0,0	192,2	-		2,03125	192,2	-		
	0,0	205,9	-		1,95313	205,9	-		
	0,0	219,6	-		0,85938	219,6	-		
	0,0	233,3	-		0,30469	233,3	-		
	0,0	247,1	-		0,24219	247,1	-		
	0,0	260,8	-		0,13281	260,8	-		
	0,0	274,5	-		0,00000	274,5	-		
	0,0	288,2	-		0,00000	288,2	-		
	0,0	302,0	-		0,00000	302,0	-		
	0,0	315,7	-		0,00000	315,7	-		
	0,0	329,4	-		0,00000	329,4	-		
	0,0	343,1	-		0,00000	343,1	-		
11:53:33	0,0	0,0	0,0	0,0	2,34375	0,0	5,451	210-26% 245-2,5%	30
	0,0	13,7	-		2,34375	13,7	-		
	0,0	27,5	-		2,34375	27,5	-		
	0,0	41,2	-		2,34375	41,2	-		
	0,0	54,9	-		2,34375	54,9	-		
	0,0	68,6	-		2,34375	68,6	-		
	0,0	82,4	-		2,34375	82,4	-		
	0,0	96,1	-		2,34375	96,1	-		
	0,0	109,8	-		2,34375	109,8	-		
	0,0	123,5	-		2,34375	123,5	-		
	0,0	137,3	-		2,26563	137,3	-		
	0,0	151,0	-		2,18750	151,0	-		
	0,0	164,7	-		2,10938	164,7	-		
	0,0	178,4	-		2,03125	178,4	-		
	0,0	192,2	-		2,03125	192,2	-		
	0,0	205,9	-		1,79688	205,9	-		
	0,0	219,6	-		0,78125	219,6	-		
	0,0	233,3	-		0,30469	233,3	-		
	0,0	247,1	-		0,00000	247,1	-		
	0,0	260,8	-		0,00000	260,8	-		
	0,0	274,5	-		0,00000	274,5	-		
	0,0	288,2	-		0,00000	288,2	-		

Time	DRT-1 Current	DRT-1 Bias Voltage	DRT-1 Current Density	DRT-1 Ion Energy	DRT-2 Current	DRT-2 Bias Voltage	DRT-2 Current Density	DRT-2 Ion Energy	SA Angle
hh:mm:ss	μA	V	μA/cm2	eV	μA	V	μA/cm2	eV	deg.
	0,0	302,0	-		0,02344	302,0	-		
	0,0	315,7	-		0,00781	315,7	-		
	0,0	329,4	-		0,00000	329,4	-		
	0,0	343,1	-		0,00000	343,1	-		
11:59:33	0,0	0,0	0,0	0,0	2,34375	0,0	5,451	210-26% 245-2,5%	30
	0,0	13,7	-		2,34375	13,7	-		
	0,0	27,5	-		2,34375	27,5	-		
	0,0	41,2	-		2,34375	41,2	-		
	0,0	54,9	-		2,34375	54,9	-		
	0,0	68,6	-		2,34375	68,6	-		
	0,0	82,4	-		2,34375	82,4	-		
	0,0	96,1	-		2,34375	96,1	-		
	0,0	109,8	-		2,34375	109,8	-		
	0,0	123,5	-		2,34375	123,5	-		
	0,0	137,3	-		2,26563	137,3	-		
	0,0	151,0	-		2,18750	151,0	-		
	0,0	164,7	-		2,10938	164,7	-		
	0,0	178,4	-		2,03125	178,4	-		
	0,0	192,2	-		2,03125	192,2	-		
	0,0	205,9	-		1,87500	205,9	-		
	0,0	219,6	-		0,93750	219,6	-		
	0,0	233,3	-		0,30469	233,3	-		
	0,0	247,1	-		0,00000	247,1	-		
	0,0	260,8	-		0,00000	260,8	-		
	0,0	274,5	-		0,00000	274,5	-		
	0,0	288,2	-		0,00000	288,2	-		
	0,0	302,0	-		0,00000	302,0	-		
	0,0	315,7	-		0,00000	315,7	-		
	0,0	329,4	-		0,00000	329,4	-		
	0,0	343,1	-		0,00000	343,1	-		
12:05:33	0,0	0,0	0,0	0,0	2,34375	0,0	5,451	210-24% 245-2,5%	30
	0,0	13,7	-		2,34375	13,7	-		
	0,0	27,5	-		2,34375	27,5	-		
	0,0	41,2	-		2,34375	41,2	-		
	0,0	54,9	-		2,34375	54,9	-		
	0,0	68,6	-		2,34375	68,6	-		
	0,0	82,4	-		2,34375	82,4	-		
	0,0	96,1	-		2,34375	96,1	-		
	0,0	109,8	-		2,34375	109,8	-		
	0,0	123,5	-		2,34375	123,5	-		
	0,0	137,3	-		2,26563	137,3	-		
	0,0	151,0	-		2,18750	151,0	-		
	0,0	164,7	-		2,10938	164,7	-		
	0,0	178,4	-		2,03125	178,4	-		
	0,0	192,2	-		2,03125	192,2	-		
	0,0	205,9	-		1,95313	205,9	-		
	0,0	219,6	-		1,09375	219,6	-		
	0,0	233,3	-		0,30469	233,3	-		
	0,0	247,1	-		0,00000	247,1	-		
	0,0	260,8	-		0,00000	260,8	-		
	0,0	274,5	-		0,00000	274,5	-		
	0,0	288,2	-		0,00000	288,2	-		
	0,0	302,0	-		0,00000	302,0	-		
	0,0	315,7	-		0,00000	315,7	-		
	0,0	329,4	-		0,00000	329,4	-		
	0,0	343,1	-		0,00000	343,1	-		
12:11:33	0,0	0,0	0,0	0,0	0,0	0,0	0,0	0,0	30
	0,0	13,7	-		0,0	13,7	-		
	0,0	27,5	-		0,0	27,5	-		
	0,0	41,2	-		0,0	41,2	-		

Time	DRT-1 Current	DRT-1 Bias Voltage	DRT-1 Current Density	DRT-1 Ion Energy	DRT-2 Current	DRT-2 Bias Voltage	DRT-2 Current Density	DRT-2 Ion Energy	SA Angle
hh:mm:ss	μA	V	μA/cm2	eV	μA	V	μA/cm2	eV	deg.
	0,0	54,9	-		0,0	54,9	-		
	0,0	68,6	-		0,0	68,6	-		
	0,0	82,4	-		0,0	82,4	-		
	0,0	96,1	-		0,0	96,1	-		
	0,0	109,8	-		0,0	109,8	-		
	0,0	123,5	-		0,0	123,5	-		
	0,0	137,3	-		0,0	137,3	-		
	0,0	151,0	-		0,0	151,0	-		
	0,0	164,7	-		0,0	164,7	-		
	0,0	178,4	-		0,0	178,4	-		
	0,0	192,2	-		0,0	192,2	-		
	0,0	205,9	-		0,0	205,9	-		
	0,0	219,6	-		0,0	219,6	-		
	0,0	233,3	-		0,0	233,3	-		
	0,0	247,1	-		0,0	247,1	-		
	0,0	260,8	-		0,0	260,8	-		
	0,0	274,5	-		0,0	274,5	-		
	0,0	288,2	-		0,0	288,2	-		
	0,0	302,0	-		0,0	302,0	-		
	0,0	315,7	-		0,0	315,7	-		
	0,0	329,4	-		0,0	329,4	-		
	0,0	343,1	-		0,0	343,1	-		

Annex 58. Information from A-type sensors at work RT4C1 for 04/09/00

Time of thruster Start-Up - 21:21:15

Time of thruster Switching Off - 22:31:59

Time	DRT-1 Current	DRT-1 Bias Voltage	DRT-1 Current Density	DRT-1 Ion Energy	DRT-2 Current	DRT-2 Bias Voltage	DRT-2 Current Density	DRT-2 Ion Energy	SA Angle
hh:mm:ss	μA	V	μA/cm2	eV	μA	V	μA/cm2	eV	deg.
21:17:33	0,0	0,0	0,0	0,0	0,0	0,0	0,0	0,0	180-195
21:23:33	0,0	13,7	-		0,0	13,7	-		
21:29:33	0,0	27,5	-		0,0	27,5	-		
21:35:33	0,0	41,2	-		0,0	41,2	-		
21:41:33	0,0	54,9	-		0,0	54,9	-		
21:47:33	0,0	68,6	-		0,0	68,6	-		
21:53:33	0,0	82,4	-		0,0	82,4	-		
21:59:33	0,0	96,1	-		0,0	96,1	-		
22:05:33	0,0	109,8	-		0,0	109,8	-		
22:11:33	0,0	123,5	-		0,0	123,5	-		
22:17:33	0,0	137,3	-		0,0	137,3	-		
22:23:33	0,0	151,0	-		0,0	151,0	-		
22:29:33	0,0	164,7	-		0,0	164,7	-		
22:35:33	0,0	178,4	-		0,0	178,4	-		
	0,0	192,2	-		0,0	192,2	-		
	0,0	205,9	-		0,0	205,9	-		
	0,0	219,6	-		0,0	219,6	-		
	0,0	233,3	-		0,0	233,3	-		
	0,0	247,1	-		0,0	247,1	-		
	0,0	260,8	-		0,0	260,8	-		
	0,0	274,5	-		0,0	274,5	-		
	0,0	288,2	-		0,0	288,2	-		
	0,0	302,0	-		0,0	302,0	-		
	0,0	315,7	-		0,0	315,7	-		
	0,0	329,4	-		0,0	329,4	-		
	0,0	343,1	-		0,0	343,1	-		

Annex 59. Information from A-type sensors at work RT3C1 for 07/09/00

Time of thruster Start-Up - 10:41:27

Time of thruster Switching Off - 11:52:11

Time	DRT-1 Current	DRT-1 Bias Voltage	DRT-1 Current Density	DRT-1 Ion Energy	DRT-2 Current	DRT-2 Bias Voltage	DRT-2 Current Density	DRT-2 Ion Energy	SA Angle
hh:mm:ss	μA	V	μA/cm2	eV	μA	V	μA/cm2	eV	deg.
10:35:31	0,0	0,0	0,0	0,0	0,0	0,0	0,0	0,0	15
	0,0	13,7	-		0,0	13,7	-		
	0,0	27,5	-		0,0	27,5	-		
	0,0	41,2	-		0,0	41,2	-		
	0,0	54,9	-		0,0	54,9	-		
	0,0	68,6	-		0,0	68,6	-		
	0,0	82,4	-		0,0	82,4	-		
	0,0	96,1	-		0,0	96,1	-		
	0,0	109,8	-		0,0	109,8	-		
	0,0	123,5	-		0,0	123,5	-		
	0,0	137,3	-		0,0	137,3	-		
	0,0	151,0	-		0,0	151,0	-		
	0,0	164,7	-		0,0	164,7	-		
	0,0	178,4	-		0,0	178,4	-		
	0,0	192,2	-		0,0	192,2	-		
	0,0	205,9	-		0,0	205,9	-		
	0,0	219,6	-		0,0	219,6	-		
	0,0	233,3	-		0,0	233,3	-		
	0,0	247,1	-		0,0	247,1	-		
	0,0	260,8	-		0,0	260,8	-		
	0,0	274,5	-		0,0	274,5	-		
	0,0	288,2	-		0,0	288,2	-		
	0,0	302,0	-		0,0	302,0	-		
	0,0	315,7	-		0,0	315,7	-		
	0,0	329,4	-		0,0	329,4	-		
	0,0	343,1	-		0,0	343,1	-		
10:41:31	0,0	0,0	0,0	0,0	2,89063	0,0	6,722	210-28% 250-4%	15
	0,0	13,7	-		2,89063	13,7	-		
	0,0	27,5	-		2,89063	27,5	-		
	0,0	41,2	-		2,89063	41,2	-		
	0,0	54,9	-		2,89063	54,9	-		
	0,0	68,6	-		2,89063	68,6	-		
	0,0	82,4	-		2,89063	82,4	-		
	0,0	96,1	-		2,89063	96,1	-		
	0,0	109,8	-		2,89063	109,8	-		
	0,0	123,5	-		2,89063	123,5	-		
	0,0	137,3	-		2,89063	137,3	-		
	0,0	151,0	-		2,89063	151,0	-		
	0,0	164,7	-		2,89063	164,7	-		
	0,0	178,4	-		2,89063	178,4	-		
	0,0	192,2	-		2,89063	192,2	-		
	0,0	205,9	-		2,50000	205,9	-		
	0,0	219,6	-		0,85938	219,6	-		
	0,0	233,3	-		0,31250	233,3	-		
	0,0	247,1	-		0,24219	247,1	-		
	0,0	260,8	-		0,00000	260,8	-		
	0,0	274,5	-		0,00000	274,5	-		
	0,0	288,2	-		0,00000	288,2	-		
	0,0	302,0	-		0,00000	302,0	-		
	0,0	315,7	-		0,00000	315,7	-		
	0,0	329,4	-		0,00000	329,4	-		
	0,0	343,1	-		0,00000	343,1	-		

Time	DRT-1 Current	DRT-1 Bias Voltage	DRT-1 Current Density	DRT-1 Ion Energy	DRT-2 Current	DRT-2 Bias Voltage	DRT-2 Current Density	DRT-2 Ion Energy	SA Angle
hh:mm:ss	μA	V	μA/cm2	eV	μA	V	μA/cm2	eV	deg.
10:47:31	0,0	0,0	0,0	0,0	2,96875	0,0	6,904	210-30% 262-2,5%	15
	0,0	13,7	-		2,96875	13,7	-		
	0,0	27,5	-		2,96875	27,5	-		
	0,0	41,2	-		2,96875	41,2	-		
	0,0	54,9	-		2,96875	54,9	-		
	0,0	68,6	-		2,96875	68,6	-		
	0,0	82,4	-		2,96875	82,4	-		
	0,0	96,1	-		2,96875	96,1	-		
	0,0	109,8	-		2,96875	109,8	-		
	0,0	123,5	-		2,96875	123,5	-		
	0,0	137,3	-		2,96875	137,3	-		
	0,0	151,0	-		2,96875	151,0	-		
	0,0	164,7	-		2,96875	164,7	-		
	0,0	178,4	-		2,96875	178,4	-		
	0,0	192,2	-		2,96875	192,2	-		
	0,0	205,9	-		2,50000	205,9	-		
	0,0	219,6	-		0,78125	219,6	-		
	0,0	233,3	-		0,31250	233,3	-		
	0,0	247,1	-		0,24219	247,1	-		
	0,0	260,8	-		0,17969	260,8	-		
	0,0	274,5	-		0,00000	274,5	-		
	0,0	288,2	-		0,00000	288,2	-		
	0,0	302,0	-		0,00000	302,0	-		
	0,0	315,7	-		0,00000	315,7	-		
	0,0	329,4	-		0,00000	329,4	-		
	0,0	343,1	-		0,00000	343,1	-		
10:53:31	0,0	0,0	0,0	0,0	2,96875	0,0	6,904	210-32% 262-2%	15
	0,0	13,7	-		2,96875	13,7	-		
	0,0	27,5	-		2,96875	27,5	-		
	0,0	41,2	-		2,96875	41,2	-		
	0,0	54,9	-		2,96875	54,9	-		
	0,0	68,6	-		2,96875	68,6	-		
	0,0	82,4	-		2,96875	82,4	-		
	0,0	96,1	-		2,96875	96,1	-		
	0,0	109,8	-		2,96875	109,8	-		
	0,0	123,5	-		2,96875	123,5	-		
	0,0	137,3	-		2,96875	137,3	-		
	0,0	151,0	-		2,96875	151,0	-		
	0,0	164,7	-		2,96875	164,7	-		
	0,0	178,4	-		2,96875	178,4	-		
	0,0	192,2	-		2,89063	192,2	-		
	0,0	205,9	-		2,50000	205,9	-		
	0,0	219,6	-		0,78125	219,6	-		
	0,0	233,3	-		0,31250	233,3	-		
	0,0	247,1	-		0,24219	247,1	-		
	0,0	260,8	-		0,19531	260,8	-		
	0,0	274,5	-		0,00000	274,5	-		
	0,0	288,2	-		0,00000	288,2	-		
	0,0	302,0	-		0,00000	302,0	-		
	0,0	315,7	-		0,00000	315,7	-		
	0,0	329,4	-		0,00000	329,4	-		
	0,0	343,1	-		0,00000	343,1	-		
10:59:31	0,0	0,0	0,0	0,0	2,96875	0,0	6,904	210-31,5% 262-1%	15
	0,0	13,7	-		2,96875	13,7	-		
	0,0	27,5	-		2,96875	27,5	-		
	0,0	41,2	-		2,96875	41,2	-		
	0,0	54,9	-		2,96875	54,9	-		
	0,0	68,6	-		2,96875	68,6	-		
	0,0	82,4	-		2,96875	82,4	-		
	0,0	96,1	-		2,96875	96,1	-		

Time	DRT-1 Current	DRT-1 Bias Voltage	DRT-1 Current Density	DRT-1 Ion Energy	DRT-2 Current	DRT-2 Bias Voltage	DRT-2 Current Density	DRT-2 Ion Energy	SA Angle
hh:mm:ss	μA	V	μA/cm2	eV	μA	V	μA/cm2	eV	deg.
	0,0	109,8	-		2,96875	109,8	-		
	0,0	123,5	-		2,96875	123,5	-		
	0,0	137,3	-		2,96875	137,3	-		
	0,0	151,0	-		2,96875	151,0	-		
	0,0	164,7	-		2,96875	164,7	-		
	0,0	178,4	-		2,96875	178,4	-		
	0,0	192,2	-		2,96875	192,2	-		
	0,0	205,9	-		2,89063	205,9	-		
	0,0	219,6	-		1,56250	219,6	-		
	0,0	233,3	-		0,54688	233,3	-		
	0,0	247,1	-		0,28125	247,1	-		
	0,0	260,8	-		0,18750	260,8	-		
	0,0	274,5	-		0,00000	274,5	-		
	0,0	288,2	-		0,00000	288,2	-		
	0,0	302,0	-		0,00000	302,0	-		
	0,0	315,7	-		0,00000	315,7	-		
	0,0	329,4	-		0,00000	329,4	-		
	0,0	343,1	-		0,00000	343,1	-		
11:05:31	0,0	0,0	0,0	0,0	2,96875	0,0	6,904	210-34% 262-0,5%	15
	0,0	13,7	-		2,96875	13,7	-		
	0,0	27,5	-		2,96875	27,5	-		
	0,0	41,2	-		2,96875	41,2	-		
	0,0	54,9	-		2,96875	54,9	-		
	0,0	68,6	-		2,96875	68,6	-		
	0,0	82,4	-		2,96875	82,4	-		
	0,0	96,1	-		2,96875	96,1	-		
	0,0	109,8	-		2,96875	109,8	-		
	0,0	123,5	-		2,96875	123,5	-		
	0,0	137,3	-		2,96875	137,3	-		
	0,0	151,0	-		2,96875	151,0	-		
	0,0	164,7	-		2,96875	164,7	-		
	0,0	178,4	-		2,96875	178,4	-		
	0,0	192,2	-		2,96875	192,2	-		
	0,0	205,9	-		2,89063	205,9	-		
	0,0	219,6	-		1,48438	219,6	-		
	0,0	233,3	-		0,54688	233,3	-		
	0,0	247,1	-		0,28125	247,1	-		
	0,0	260,8	-		0,19531	260,8	-		
	0,0	274,5	-		0,00000	274,5	-		
	0,0	288,2	-		0,00000	288,2	-		
	0,0	302,0	-		0,00000	302,0	-		
	0,0	315,7	-		0,00000	315,7	-		
	0,0	329,4	-		0,00000	329,4	-		
	0,0	343,1	-		0,00000	343,1	-		
11:11:31	0,0	0,0	0,0	0,0	2,96875	0,0	6,904	210-34% 262-0,5%	20
	0,0	13,7	-		2,96875	13,7	-		
	0,0	27,5	-		2,96875	27,5	-		
	0,0	41,2	-		2,96875	41,2	-		
	0,0	54,9	-		2,96875	54,9	-		
	0,0	68,6	-		2,96875	68,6	-		
	0,0	82,4	-		2,96875	82,4	-		
	0,0	96,1	-		2,96875	96,1	-		
	0,0	109,8	-		2,96875	109,8	-		
	0,0	123,5	-		2,96875	123,5	-		
	0,0	137,3	-		2,96875	137,3	-		
	0,0	151,0	-		2,96875	151,0	-		
	0,0	164,7	-		2,96875	164,7	-		
	0,0	178,4	-		2,96875	178,4	-		
	0,0	192,2	-		2,96875	192,2	-		
	0,0	205,9	-		2,81250	205,9	-		

Time	DRT-1 Current	DRT-1 Bias Voltage	DRT-1 Current Density	DRT-1 Ion Energy	DRT-2 Current	DRT-2 Bias Voltage	DRT-2 Current Density	DRT-2 Ion Energy	SA Angle
hh:mm:ss	μA	V	μA/cm2	eV	μA	V	μA/cm2	eV	deg.
	0,0	219,6	-		1,48438	219,6	-		
	0,0	233,3	-		0,54688	233,3	-		
	0,0	247,1	-		0,28125	247,1	-		
	0,0	260,8	-		0,21094	260,8	-		
	0,0	274,5	-		0,00000	274,5	-		
	0,0	288,2	-		0,00000	288,2	-		
	0,0	302,0	-		0,00000	302,0	-		
	0,0	315,7	-		0,00000	315,7	-		
	0,0	329,4	-		0,00000	329,4	-		
	0,0	343,1	-		0,00000	343,1	-		
11:17:31	0,0	0,0	0,0	0,0	2,96875	0,0	6,904	210-31% 245-1%	28
	0,0	13,7	-		2,96875	13,7	-		
	0,0	27,5	-		2,96875	27,5	-		
	0,0	41,2	-		2,96875	41,2	-		
	0,0	54,9	-		2,96875	54,9	-		
	0,0	68,6	-		2,96875	68,6	-		
	0,0	82,4	-		2,96875	82,4	-		
	0,0	96,1	-		2,96875	96,1	-		
	0,0	109,8	-		2,96875	109,8	-		
	0,0	123,5	-		2,96875	123,5	-		
	0,0	137,3	-		2,96875	137,3	-		
	0,0	151,0	-		2,96875	151,0	-		
	0,0	164,7	-		2,96875	164,7	-		
	0,0	178,4	-		2,96875	178,4	-		
	0,0	192,2	-		2,96875	192,2	-		
	0,0	205,9	-		2,81250	205,9	-		
	0,0	219,6	-		1,40625	219,6	-		
	0,0	233,3	-		0,46875	233,3	-		
	0,0	247,1	-		0,00000	247,1	-		
	0,0	260,8	-		0,00000	260,8	-		
	0,0	274,5	-		0,00000	274,5	-		
	0,0	288,2	-		0,00000	288,2	-		
	0,0	302,0	-		0,00000	302,0	-		
	0,0	315,7	-		0,00000	315,7	-		
	0,0	329,4	-		0,00000	329,4	-		
	0,0	343,1	-		0,00000	343,1	-		
11:23:31	0,0	0,0	0,0	0,0	2,96875	0,0	6,904	210-31% 245-1%	30
	0,0	13,7	-		2,96875	13,7	-		
	0,0	27,5	-		2,96875	27,5	-		
	0,0	41,2	-		2,96875	41,2	-		
	0,0	54,9	-		2,96875	54,9	-		
	0,0	68,6	-		2,96875	68,6	-		
	0,0	82,4	-		2,96875	82,4	-		
	0,0	96,1	-		2,96875	96,1	-		
	0,0	109,8	-		2,96875	109,8	-		
	0,0	123,5	-		2,96875	123,5	-		
	0,0	137,3	-		2,96875	137,3	-		
	0,0	151,0	-		2,96875	151,0	-		
	0,0	164,7	-		2,96875	164,7	-		
	0,0	178,4	-		2,96875	178,4	-		
	0,0	192,2	-		2,89063	192,2	-		
	0,0	205,9	-		2,65625	205,9	-		
	0,0	219,6	-		1,25000	219,6	-		
	0,0	233,3	-		0,46875	233,3	-		
	0,0	247,1	-		0,00000	247,1	-		
	0,0	260,8	-		0,00000	260,8	-		
	0,0	274,5	-		0,00000	274,5	-		
	0,0	288,2	-		0,00000	288,2	-		
	0,0	302,0	-		0,00000	302,0	-		
	0,0	315,7	-		0,00000	315,7	-		

Time	DRT-1 Current	DRT-1 Bias Voltage	DRT-1 Current Density	DRT-1 Ion Energy	DRT-2 Current	DRT-2 Bias Voltage	DRT-2 Current Density	DRT-2 Ion Energy	SA Angle
hh:mm:ss	μA	V	μA/cm2	eV	μA	V	μA/cm2	eV	deg.
11:29:31	0,0	329,4	-	0,0	0,00000	329,4	-	210-29% 245-1%	30
	0,0	343,1	-		0,00000	343,1	-		
	0,0	0,0	0,0		2,96875	0,0	6,904		
	0,0	13,7	-		2,96875	13,7	-		
	0,0	27,5	-		2,96875	27,5	-		
	0,0	41,2	-		2,96875	41,2	-		
	0,0	54,9	-		2,96875	54,9	-		
	0,0	68,6	-		2,96875	68,6	-		
	0,0	82,4	-		2,96875	82,4	-		
	0,0	96,1	-		2,96875	96,1	-		
	0,0	109,8	-		2,96875	109,8	-		
	0,0	123,5	-		2,96875	123,5	-		
	0,0	137,3	-		2,96875	137,3	-		
	0,0	151,0	-		2,96875	151,0	-		
	0,0	164,7	-		2,96875	164,7	-		
	0,0	178,4	-		2,89063	178,4	-		
	0,0	192,2	-		2,89063	192,2	-		
	0,0	205,9	-		2,57813	205,9	-		
	0,0	219,6	-		1,17188	219,6	-		
	0,0	233,3	-		0,46875	233,3	-		
	0,0	247,1	-		0,00000	247,1	-		
	0,0	260,8	-		0,00000	260,8	-		
	0,0	274,5	-		0,00000	274,5	-		
	0,0	288,2	-		0,00000	288,2	-		
	0,0	302,0	-		0,00000	302,0	-		
	0,0	315,7	-		0,00000	315,7	-		
	0,0	329,4	-		0,00000	329,4	-		
	0,0	343,1	-		0,00000	343,1	-		
11:35:31	0,0	0,0	0,0	0,0	2,96875	0,0	6,904	210-29% 236-1,5%	30
	0,0	13,7	-		2,96875	13,7	-		
	0,0	27,5	-		2,96875	27,5	-		
	0,0	41,2	-		2,96875	41,2	-		
	0,0	54,9	-		2,96875	54,9	-		
	0,0	68,6	-		2,96875	68,6	-		
	0,0	82,4	-		2,96875	82,4	-		
	0,0	96,1	-		2,96875	96,1	-		
	0,0	109,8	-		2,96875	109,8	-		
	0,0	123,5	-		2,96875	123,5	-		
	0,0	137,3	-		2,96875	137,3	-		
	0,0	151,0	-		2,96875	151,0	-		
	0,0	164,7	-		2,96875	164,7	-		
	0,0	178,4	-		2,89063	178,4	-		
	0,0	192,2	-		2,89063	192,2	-		
	0,0	205,9	-		2,65625	205,9	-		
	0,0	219,6	-		1,17188	219,6	-		
	0,0	233,3	-		0,46875	233,3	-		
	0,0	247,1	-		0,00000	247,1	-		
	0,0	260,8	-		0,00000	260,8	-		
	0,0	274,5	-		0,00000	274,5	-		
	0,0	288,2	-		0,00000	288,2	-		
	0,0	302,0	-		0,00000	302,0	-		
	0,0	315,7	-		0,00000	315,7	-		
	0,0	329,4	-		0,00000	329,4	-		
	0,0	343,1	-		0,00000	343,1	-		
11:41:31	0,0	0,0	0,0	0,0	2,96875	0,0	6,904	210-28,5% 236-1%	30
	0,0	13,7	-		2,96875	13,7	-		
	0,0	27,5	-		2,96875	27,5	-		
	0,0	41,2	-		2,96875	41,2	-		
	0,0	54,9	-		2,96875	54,9	-		
	0,0	68,6	-		2,96875	68,6	-		

Time	DRT-1 Current	DRT-1 Bias Voltage	DRT-1 Current Density	DRT-1 Ion Energy	DRT-2 Current	DRT-2 Bias Voltage	DRT-2 Current Density	DRT-2 Ion Energy	SA Angle
hh:mm:ss	μA	V	μA/cm2	eV	μA	V	μA/cm2	eV	deg.
	0,0	82,4	-		2,96875	82,4	-		
	0,0	96,1	-		2,96875	96,1	-		
	0,0	109,8	-		2,96875	109,8	-		
	0,0	123,5	-		2,96875	123,5	-		
	0,0	137,3	-		2,96875	137,3	-		
	0,0	151,0	-		2,96875	151,0	-		
	0,0	164,7	-		2,96875	164,7	-		
	0,0	178,4	-		2,89063	178,4	-		
	0,0	192,2	-		2,89063	192,2	-		
	0,0	205,9	-		2,57813	205,9	-		
	0,0	219,6	-		1,17188	219,6	-		
	0,0	233,3	-		0,46875	233,3	-		
	0,0	247,1	-		0,00000	247,1	-		
	0,0	260,8	-		0,00000	260,8	-		
	0,0	274,5	-		0,00000	274,5	-		
	0,0	288,2	-		0,00000	288,2	-		
	0,0	302,0	-		0,00000	302,0	-		
	0,0	315,7	-		0,00000	315,7	-		
	0,0	329,4	-		0,00000	329,4	-		
	0,0	343,1	-		0,00000	343,1	-		
11:47:31	0,0	0,0	0,0	0,0	2,96875	0,0	6,904	210-26% 245-2,5%	30
	0,0	13,7	-		2,96875	13,7	-		
	0,0	27,5	-		2,96875	27,5	-		
	0,0	41,2	-		2,96875	41,2	-		
	0,0	54,9	-		2,96875	54,9	-		
	0,0	68,6	-		2,96875	68,6	-		
	0,0	82,4	-		2,96875	82,4	-		
	0,0	96,1	-		2,96875	96,1	-		
	0,0	109,8	-		2,96875	109,8	-		
	0,0	123,5	-		2,96875	123,5	-		
	0,0	137,3	-		2,96875	137,3	-		
	0,0	151,0	-		2,96875	151,0	-		
	0,0	164,7	-		2,96875	164,7	-		
	0,0	178,4	-		2,89063	178,4	-		
	0,0	192,2	-		2,89063	192,2	-		
	0,0	205,9	-		2,57813	205,9	-		
	0,0	219,6	-		1,09375	219,6	-		
	0,0	233,3	-		0,54688	233,3	-		
	0,0	247,1	-		0,00000	247,1	-		
	0,0	260,8	-		0,00000	260,8	-		
	0,0	274,5	-		0,00000	274,5	-		
	0,0	288,2	-		0,00000	288,2	-		
	0,0	302,0	-		0,00000	302,0	-		
	0,0	315,7	-		0,00000	315,7	-		
	0,0	329,4	-		0,00000	329,4	-		
	0,0	343,1	-		0,00000	343,1	-		
11:53:31	0,0	0,0	0,0	0,0	0,0	0,0	0,0	0	30
	0,0	13,7	-		0,0	13,7	-		
	0,0	27,5	-		0,0	27,5	-		
	0,0	41,2	-		0,0	41,2	-		
	0,0	54,9	-		0,0	54,9	-		
	0,0	68,6	-		0,0	68,6	-		
	0,0	82,4	-		0,0	82,4	-		
	0,0	96,1	-		0,0	96,1	-		
	0,0	109,8	-		0,0	109,8	-		
	0,0	123,5	-		0,0	123,5	-		
	0,0	137,3	-		0,0	137,3	-		
	0,0	151,0	-		0,0	151,0	-		
	0,0	164,7	-		0,0	164,7	-		
	0,0	178,4	-		0,0	178,4	-		

Time	DRT-1 Current	DRT-1 Bias Voltage	DRT-1 Current Density	DRT-1 Ion Energy	DRT-2 Current	DRT-2 Bias Voltage	DRT-2 Current Density	DRT-2 Ion Energy	SA Angle
hh:mm:ss	μA	V	μA/cm2	eV	μA	V	μA/cm2	eV	deg.
	0,0	192,2	-		0,0	192,2	-		
	0,0	205,9	-		0,0	205,9	-		
	0,0	219,6	-		0,0	219,6	-		
	0,0	233,3	-		0,0	233,3	-		
	0,0	247,1	-		0,0	247,1	-		
	0,0	260,8	-		0,0	260,8	-		
	0,0	274,5	-		0,0	274,5	-		
	0,0	288,2	-		0,0	288,2	-		
	0,0	302,0	-		0,0	302,0	-		
	0,0	315,7	-		0,0	315,7	-		
	0,0	329,4	-		0,0	329,4	-		
	0,0	343,1	-		0,0	343,1	-		

Annex 60. Information from A-type sensors at work T3C1 for 11/09/00

Time of thruster Start-Up - 10:25:35

Time of thruster Switching Off - 11:36:23

Time	DRT-1 Current	DRT-1 Bias Voltage	DRT-1 Current Density	DRT-1 Ion Energy	DRT-2 Current	DRT-2 Bias Voltage	DRT-2 Current Density	DRT-2 Ion Energy	SA Angle
hh:mm:ss	μA	V	μA/cm2	eV	μA	V	μA/cm2	eV	deg.
10:23:31	0,0	0,0	0,0	0,0	0,0	0,0	0,0	0,0	15
	0,0	13,7	-		0,0	13,7	-		
	0,0	27,5	-		0,0	27,5	-		
	0,0	41,2	-		0,0	41,2	-		
	0,0	54,9	-		0,0	54,9	-		
	0,0	68,6	-		0,0	68,6	-		
	0,0	82,4	-		0,0	82,4	-		
	0,0	96,1	-		0,0	96,1	-		
	0,0	109,8	-		0,0	109,8	-		
	0,0	123,5	-		0,0	123,5	-		
	0,0	137,3	-		0,0	137,3	-		
	0,0	151,0	-		0,0	151,0	-		
	0,0	164,7	-		0,0	164,7	-		
	0,0	178,4	-		0,0	178,4	-		
	0,0	192,2	-		0,0	192,2	-		
	0,0	205,9	-		0,0	205,9	-		
	0,0	219,6	-		0,0	219,6	-		
	0,0	233,3	-		0,0	233,3	-		
	0,0	247,1	-		0,0	247,1	-		
	0,0	260,8	-		0,0	260,8	-		
	0,0	274,5	-		0,0	274,5	-		
	0,0	288,2	-		0,0	288,2	-		
	0,0	302,0	-		0,0	302,0	-		
	0,0	315,7	-		0,0	315,7	-		
	0,0	329,4	-		0,0	329,4	-		
	0,0	343,1	-		0,0	343,1	-		
10:29:31	0,0	0,0	0,0	0,0	2,81250	0,0	6,541	210-25% 250-0,5%	15
	0,0	13,7	-		2,81250	13,7	-		
	0,0	27,5	-		2,81250	27,5	-		
	0,0	41,2	-		2,81250	41,2	-		
	0,0	54,9	-		2,81250	54,9	-		
	0,0	68,6	-		2,81250	68,6	-		
	0,0	82,4	-		2,81250	82,4	-		
	0,0	96,1	-		2,81250	96,1	-		
	0,0	109,8	-		2,81250	109,8	-		
	0,0	123,5	-		2,73438	123,5	-		
	0,0	137,3	-		2,73438	137,3	-		
	0,0	151,0	-		2,65625	151,0	-		
	0,0	164,7	-		2,65625	164,7	-		
	0,0	178,4	-		2,57813	178,4	-		
	0,0	192,2	-		2,50000	192,2	-		
	0,0	205,9	-		1,95313	205,9	-		
	0,0	219,6	-		0,78125	219,6	-		
	0,0	233,3	-		0,31250	233,3	-		
	0,0	247,1	-		0,22656	247,1	-		
	0,0	260,8	-		0,00000	260,8	-		
	0,0	274,5	-		0,00000	274,5	-		
	0,0	288,2	-		0,00000	288,2	-		
	0,0	302,0	-		0,00000	302,0	-		
	0,0	315,7	-		0,00000	315,7	-		
	0,0	329,4	-		0,00000	329,4	-		
	0,0	343,1	-		0,00000	343,1	-		

Time	DRT-1 Current	DRT-1 Bias Voltage	DRT-1 Current Density	DRT-1 Ion Energy	DRT-2 Current	DRT-2 Bias Voltage	DRT-2 Current Density	DRT-2 Ion Energy	SA Angle
hh:mm:ss	μA	V	μA/cm2	eV	μA	V	μA/cm2	eV	deg.
10:35:31	0,0	0,0	0,0	0,0	2,73438	0,0	6,359	210-20% 245-2%	15
	0,0	13,7	-		2,73438	13,7	-		
	0,0	27,5	-		2,73438	27,5	-		
	0,0	41,2	-		2,73438	41,2	-		
	0,0	54,9	-		2,73438	54,9	-		
	0,0	68,6	-		2,73438	68,6	-		
	0,0	82,4	-		2,73438	82,4	-		
	0,0	96,1	-		2,73438	96,1	-		
	0,0	109,8	-		2,73438	109,8	-		
	0,0	123,5	-		2,73438	123,5	-		
	0,0	137,3	-		2,73438	137,3	-		
	0,0	151,0	-		2,65625	151,0	-		
	0,0	164,7	-		2,65625	164,7	-		
	0,0	178,4	-		2,57813	178,4	-		
	0,0	192,2	-		2,50000	192,2	-		
	0,0	205,9	-		2,18750	205,9	-		
	0,0	219,6	-		1,09375	219,6	-		
	0,0	233,3	-		0,46875	233,3	-		
	0,0	247,1	-		0,00000	247,1	-		
	0,0	260,8	-		0,00000	260,8	-		
	0,0	274,5	-		0,00000	274,5	-		
	0,0	288,2	-		0,00000	288,2	-		
	0,0	302,0	-		0,00000	302,0	-		
	0,0	315,7	-		0,00000	315,7	-		
	0,0	329,4	-		0,00000	329,4	-		
	0,0	343,1	-		0,00000	343,1	-		
10:41:31	0,0	0,0	0,0	0,0	2,73438	0,0	6,359	210-23% 245-2%	15
	0,0	13,7	-		2,73438	13,7	-		
	0,0	27,5	-		2,73438	27,5	-		
	0,0	41,2	-		2,73438	41,2	-		
	0,0	54,9	-		2,73438	54,9	-		
	0,0	68,6	-		2,73438	68,6	-		
	0,0	82,4	-		2,73438	82,4	-		
	0,0	96,1	-		2,73438	96,1	-		
	0,0	109,8	-		2,73438	109,8	-		
	0,0	123,5	-		2,73438	123,5	-		
	0,0	137,3	-		2,73438	137,3	-		
	0,0	151,0	-		2,65625	151,0	-		
	0,0	164,7	-		2,65625	164,7	-		
	0,0	178,4	-		2,57813	178,4	-		
	0,0	192,2	-		2,50000	192,2	-		
	0,0	205,9	-		2,18750	205,9	-		
	0,0	219,6	-		1,17188	219,6	-		
	0,0	233,3	-		0,54688	233,3	-		
	0,0	247,1	-		0,00000	247,1	-		
	0,0	260,8	-		0,00000	260,8	-		
	0,0	274,5	-		0,00000	274,5	-		
	0,0	288,2	-		0,00000	288,2	-		
	0,0	302,0	-		0,00000	302,0	-		
	0,0	315,7	-		0,00000	315,7	-		
	0,0	329,4	-		0,00000	329,4	-		
	0,0	343,1	-		0,00000	343,1	-		
10:47:31	0,0	0,0	0,0	0,0	2,73438	0,0	6,359	210-23% 245-0,5%	15
	0,0	13,7	-		2,73438	13,7	-		
	0,0	27,5	-		2,73438	27,5	-		
	0,0	41,2	-		2,73438	41,2	-		
	0,0	54,9	-		2,73438	54,9	-		
	0,0	68,6	-		2,73438	68,6	-		
	0,0	82,4	-		2,73438	82,4	-		
	0,0	96,1	-		2,73438	96,1	-		

Time	DRT-1 Current	DRT-1 Bias Voltage	DRT-1 Current Density	DRT-1 Ion Energy	DRT-2 Current	DRT-2 Bias Voltage	DRT-2 Current Density	DRT-2 Ion Energy	SA Angle
hh:mm:ss	μA	V	μA/cm2	eV	μA	V	μA/cm2	eV	deg.
	0,0	109,8	-		2,73438	109,8	-		
	0,0	123,5	-		2,73438	123,5	-		
	0,0	137,3	-		2,73438	137,3	-		
	0,0	151,0	-		2,65625	151,0	-		
	0,0	164,7	-		2,65625	164,7	-		
	0,0	178,4	-		2,57813	178,4	-		
	0,0	192,2	-		2,50000	192,2	-		
	0,0	205,9	-		2,18750	205,9	-		
	0,0	219,6	-		1,17188	219,6	-		
	0,0	233,3	-		0,54688	233,3	-		
	0,0	247,1	-		0,00000	247,1	-		
	0,0	260,8	-		0,00000	260,8	-		
	0,0	274,5	-		0,00000	274,5	-		
	0,0	288,2	-		0,00000	288,2	-		
	0,0	302,0	-		0,00000	302,0	-		
	0,0	315,7	-		0,00000	315,7	-		
	0,0	329,4	-		0,00000	329,4	-		
	0,0	343,1	-		0,00000	343,1	-		
10:53:31	0,0	0,0	0,0	0,0	2,73438	0,0	6,359	210-20% 245-1,5%	15
	0,0	13,7	-		2,73438	13,7	-		
	0,0	27,5	-		2,73438	27,5	-		
	0,0	41,2	-		2,73438	41,2	-		
	0,0	54,9	-		2,73438	54,9	-		
	0,0	68,6	-		2,73438	68,6	-		
	0,0	82,4	-		2,73438	82,4	-		
	0,0	96,1	-		2,73438	96,1	-		
	0,0	109,8	-		2,73438	109,8	-		
	0,0	123,5	-		2,73438	123,5	-		
	0,0	137,3	-		2,73438	137,3	-		
	0,0	151,0	-		2,65625	151,0	-		
	0,0	164,7	-		2,65625	164,7	-		
	0,0	178,4	-		2,57813	178,4	-		
	0,0	192,2	-		2,50000	192,2	-		
	0,0	205,9	-		2,26563	205,9	-		
	0,0	219,6	-		1,25000	219,6	-		
	0,0	233,3	-		0,54688	233,3	-		
	0,0	247,1	-		0,00000	247,1	-		
	0,0	260,8	-		0,00000	260,8	-		
	0,0	274,5	-		0,00000	274,5	-		
	0,0	288,2	-		0,00000	288,2	-		
	0,0	302,0	-		0,00000	302,0	-		
	0,0	315,7	-		0,00000	315,7	-		
	0,0	329,4	-		0,00000	329,4	-		
	0,0	343,1	-		0,00000	343,1	-		
10:59:31	0,0	0,0	0,0	0,0	2,73438	0,0	6,359	210-20% 245-0,5%	15
	0,0	13,7	-		2,73438	13,7	-		
	0,0	27,5	-		2,73438	27,5	-		
	0,0	41,2	-		2,73438	41,2	-		
	0,0	54,9	-		2,73438	54,9	-		
	0,0	68,6	-		2,73438	68,6	-		
	0,0	82,4	-		2,73438	82,4	-		
	0,0	96,1	-		2,73438	96,1	-		
	0,0	109,8	-		2,73438	109,8	-		
	0,0	123,5	-		2,73438	123,5	-		
	0,0	137,3	-		2,65625	137,3	-		
	0,0	151,0	-		2,65625	151,0	-		
	0,0	164,7	-		2,57813	164,7	-		
	0,0	178,4	-		2,57813	178,4	-		
	0,0	192,2	-		2,50000	192,2	-		
	0,0	205,9	-		2,26563	205,9	-		

Time	DRT-1 Current	DRT-1 Bias Voltage	DRT-1 Current Density	DRT-1 Ion Energy	DRT-2 Current	DRT-2 Bias Voltage	DRT-2 Current Density	DRT-2 Ion Energy	SA Angle
hh:mm:ss	μA	V	μA/cm2	eV	μA	V	μA/cm2	eV	deg.
	0,0	219,6	-		1,25000	219,6	-		
	0,0	233,3	-		0,54688	233,3	-		
	0,0	247,1	-		0,00000	247,1	-		
	0,0	260,8	-		0,00000	260,8	-		
	0,0	274,5	-		0,00000	274,5	-		
	0,0	288,2	-		0,00000	288,2	-		
	0,0	302,0	-		0,00000	302,0	-		
	0,0	315,7	-		0,00000	315,7	-		
	0,0	329,4	-		0,00000	329,4	-		
	0,0	343,1	-		0,00000	343,1	-		
11:05:31	0,0	0,0	0,0	0,0	2,73438	0,0	6,359	210-20% 236-4%	15
	0,0	13,7	-		2,73438	13,7	-		
	0,0	27,5	-		2,73438	27,5	-		
	0,0	41,2	-		2,73438	41,2	-		
	0,0	54,9	-		2,73438	54,9	-		
	0,0	68,6	-		2,73438	68,6	-		
	0,0	82,4	-		2,73438	82,4	-		
	0,0	96,1	-		2,73438	96,1	-		
	0,0	109,8	-		2,73438	109,8	-		
	0,0	123,5	-		2,73438	123,5	-		
	0,0	137,3	-		2,65625	137,3	-		
	0,0	151,0	-		2,65625	151,0	-		
	0,0	164,7	-		2,65625	164,7	-		
	0,0	178,4	-		2,57813	178,4	-		
	0,0	192,2	-		2,50000	192,2	-		
	0,0	205,9	-		2,18750	205,9	-		
	0,0	219,6	-		1,25000	219,6	-		
	0,0	233,3	-		0,54688	233,3	-		
	0,0	247,1	-		0,00000	247,1	-		
	0,0	260,8	-		0,00000	260,8	-		
	0,0	274,5	-		0,00000	274,5	-		
	0,0	288,2	-		0,00000	288,2	-		
	0,0	302,0	-		0,00000	302,0	-		
	0,0	315,7	-		0,00000	315,7	-		
	0,0	329,4	-		0,00000	329,4	-		
	0,0	343,1	-		0,00000	343,1	-		
11:11:31	0,0	0,0	0,0	0,0	2,65625	0,0	6,177	210-24% 236-2%	20
	0,0	13,7	-		2,65625	13,7	-		
	0,0	27,5	-		2,65625	27,5	-		
	0,0	41,2	-		2,65625	41,2	-		
	0,0	54,9	-		2,65625	54,9	-		
	0,0	68,6	-		2,65625	68,6	-		
	0,0	82,4	-		2,65625	82,4	-		
	0,0	96,1	-		2,65625	96,1	-		
	0,0	109,8	-		2,65625	109,8	-		
	0,0	123,5	-		2,65625	123,5	-		
	0,0	137,3	-		2,57813	137,3	-		
	0,0	151,0	-		2,57813	151,0	-		
	0,0	164,7	-		2,50000	164,7	-		
	0,0	178,4	-		2,50000	178,4	-		
	0,0	192,2	-		2,34375	192,2	-		
	0,0	205,9	-		2,03125	205,9	-		
	0,0	219,6	-		1,01563	219,6	-		
	0,0	233,3	-		0,54688	233,3	-		
	0,0	247,1	-		0,00000	247,1	-		
	0,0	260,8	-		0,00000	260,8	-		
	0,0	274,5	-		0,00000	274,5	-		
	0,0	288,2	-		0,00000	288,2	-		
	0,0	302,0	-		0,00000	302,0	-		
	0,0	315,7	-		0,00000	315,7	-		

Time	DRT-1 Current	DRT-1 Bias Voltage	DRT-1 Current Density	DRT-1 Ion Energy	DRT-2 Current	DRT-2 Bias Voltage	DRT-2 Current Density	DRT-2 Ion Energy	SA Angle
hh:mm:ss	μA	V	μA/cm2	eV	μA	V	μA/cm2	eV	deg.
11:17:31	0,0	329,4	-	0,0	0,00000	329,4	-	210-18,5% 236-2%	28
	0,0	343,1	-		0,00000	343,1	-		
	0,0	0,0	0,0		2,50000	0,0	5,814		
	0,0	13,7	-		2,50000	13,7	-		
	0,0	27,5	-		2,50000	27,5	-		
	0,0	41,2	-		2,50000	41,2	-		
	0,0	54,9	-		2,50000	54,9	-		
	0,0	68,6	-		2,50000	68,6	-		
	0,0	82,4	-		2,50000	82,4	-		
	0,0	96,1	-		2,50000	96,1	-		
	0,0	109,8	-		2,50000	109,8	-		
	0,0	123,5	-		2,50000	123,5	-		
	0,0	137,3	-		2,42188	137,3	-		
	0,0	151,0	-		2,34375	151,0	-		
	0,0	164,7	-		2,26563	164,7	-		
	0,0	178,4	-		2,18750	178,4	-		
	0,0	192,2	-		2,10938	192,2	-		
	0,0	205,9	-		1,71875	205,9	-		
	0,0	219,6	-		0,85938	219,6	-		
	0,0	233,3	-		0,32031	233,3	-		
	0,0	247,1	-		0,00000	247,1	-		
	0,0	260,8	-		0,00000	260,8	-		
	0,0	274,5	-		0,00000	274,5	-		
	0,0	288,2	-		0,00000	288,2	-		
	0,0	302,0	-		0,00000	302,0	-		
	0,0	315,7	-		0,00000	315,7	-		
	0,0	329,4	-		0,00000	329,4	-		
	0,0	343,1	-		0,00000	343,1	-		
11:23:31	0,0	0,0	0,0	0,0	2,34375	0,0	5,451	210-19% 236-2%	30
	0,0	13,7	-		2,34375	13,7	-		
	0,0	27,5	-		2,34375	27,5	-		
	0,0	41,2	-		2,34375	41,2	-		
	0,0	54,9	-		2,34375	54,9	-		
	0,0	68,6	-		2,34375	68,6	-		
	0,0	82,4	-		2,34375	82,4	-		
	0,0	96,1	-		2,34375	96,1	-		
	0,0	109,8	-		2,34375	109,8	-		
	0,0	123,5	-		2,34375	123,5	-		
	0,0	137,3	-		2,26563	137,3	-		
	0,0	151,0	-		2,18750	151,0	-		
	0,0	164,7	-		2,10938	164,7	-		
	0,0	178,4	-		2,03125	178,4	-		
	0,0	192,2	-		1,95313	192,2	-		
	0,0	205,9	-		1,56250	205,9	-		
	0,0	219,6	-		0,70313	219,6	-		
	0,0	233,3	-		0,29688	233,3	-		
	0,0	247,1	-		0,00000	247,1	-		
	0,0	260,8	-		0,00000	260,8	-		
	0,0	274,5	-		0,00000	274,5	-		
	0,0	288,2	-		0,00000	288,2	-		
	0,0	302,0	-		0,00000	302,0	-		
	0,0	315,7	-		0,00000	315,7	-		
	0,0	329,4	-		0,00000	329,4	-		
	0,0	343,1	-		0,00000	343,1	-		
11:29:31	0,0	0,0	0,0	0,0	2,34375	0,0	5,451	202-20% 236-2%	30
	0,0	13,7	-		2,34375	13,7	-		
	0,0	27,5	-		2,34375	27,5	-		
	0,0	41,2	-		2,34375	41,2	-		
	0,0	54,9	-		2,34375	54,9	-		
	0,0	68,6	-		2,34375	68,6	-		

Time	DRT-1 Current	DRT-1 Bias Voltage	DRT-1 Current Density	DRT-1 Ion Energy	DRT-2 Current	DRT-2 Bias Voltage	DRT-2 Current Density	DRT-2 Ion Energy	SA Angle
hh:mm:ss	μA	V	μA/cm2	eV	μA	V	μA/cm2	eV	deg.
	0,0	82,4	-		2,34375	82,4	-		
	0,0	96,1	-		2,34375	96,1	-		
	0,0	109,8	-		2,34375	109,8	-		
	0,0	123,5	-		2,34375	123,5	-		
	0,0	137,3	-		2,26563	137,3	-		
	0,0	151,0	-		2,18750	151,0	-		
	0,0	164,7	-		2,10938	164,7	-		
	0,0	178,4	-		2,03125	178,4	-		
	0,0	192,2	-		1,87500	192,2	-		
	0,0	205,9	-		1,56250	205,9	-		
	0,0	219,6	-		0,70313	219,6	-		
	0,0	233,3	-		0,29688	233,3	-		
	0,0	247,1	-		0,00000	247,1	-		
	0,0	260,8	-		0,00000	260,8	-		
	0,0	274,5	-		0,00000	274,5	-		
	0,0	288,2	-		0,00000	288,2	-		
	0,0	302,0	-		0,00000	302,0	-		
	0,0	315,7	-		0,00000	315,7	-		
	0,0	329,4	-		0,00000	329,4	-		
	0,0	343,1	-		0,00000	343,1	-		
11:35:31	0,0	0,0	0,0	0,0	2,34375	0,0	5,451	202-20% 236-2%	30
	0,0	13,7	-		2,34375	13,7	-		
	0,0	27,5	-		2,34375	27,5	-		
	0,0	41,2	-		2,34375	41,2	-		
	0,0	54,9	-		2,34375	54,9	-		
	0,0	68,6	-		2,34375	68,6	-		
	0,0	82,4	-		2,34375	82,4	-		
	0,0	96,1	-		2,34375	96,1	-		
	0,0	109,8	-		2,34375	109,8	-		
	0,0	123,5	-		2,34375	123,5	-		
	0,0	137,3	-		2,26563	137,3	-		
	0,0	151,0	-		2,18750	151,0	-		
	0,0	164,7	-		2,10938	164,7	-		
	0,0	178,4	-		2,03125	178,4	-		
	0,0	192,2	-		1,95313	192,2	-		
	0,0	205,9	-		1,56250	205,9	-		
	0,0	219,6	-		0,78125	219,6	-		
	0,0	233,3	-		0,29688	233,3	-		
	0,0	247,1	-		0,00000	247,1	-		
	0,0	260,8	-		0,00000	260,8	-		
	0,0	274,5	-		0,00000	274,5	-		
	0,0	288,2	-		0,00000	288,2	-		
	0,0	302,0	-		0,00000	302,0	-		
	0,0	315,7	-		0,00000	315,7	-		
	0,0	329,4	-		0,00000	329,4	-		
	0,0	343,1	-		0,00000	343,1	-		
11:41:31	0,0	0,0	0,0	0,0	0,0	0,0	0,0	0	30
	0,0	13,7	-		0,0	13,7	-		
	0,0	27,5	-		0,0	27,5	-		
	0,0	41,2	-		0,0	41,2	-		
	0,0	54,9	-		0,0	54,9	-		
	0,0	68,6	-		0,0	68,6	-		
	0,0	82,4	-		0,0	82,4	-		
	0,0	96,1	-		0,0	96,1	-		
	0,0	109,8	-		0,0	109,8	-		
	0,0	123,5	-		0,0	123,5	-		
	0,0	137,3	-		0,0	137,3	-		
	0,0	151,0	-		0,0	151,0	-		
	0,0	164,7	-		0,0	164,7	-		
	0,0	178,4	-		0,0	178,4	-		

Time	DRT-1 Current	DRT-1 Bias Voltage	DRT-1 Current Density	DRT-1 Ion Energy	DRT-2 Current	DRT-2 Bias Voltage	DRT-2 Current Density	DRT-2 Ion Energy	SA Angle
hh:mm:ss	μA	V	μA/cm2	eV	μA	V	μA/cm2	eV	deg.
	0,0	192,2	-		0,0	192,2	-		
	0,0	205,9	-		0,0	205,9	-		
	0,0	219,6	-		0,0	219,6	-		
	0,0	233,3	-		0,0	233,3	-		
	0,0	247,1	-		0,0	247,1	-		
	0,0	260,8	-		0,0	260,8	-		
	0,0	274,5	-		0,0	274,5	-		
	0,0	288,2	-		0,0	288,2	-		
	0,0	302,0	-		0,0	302,0	-		
	0,0	315,7	-		0,0	315,7	-		
	0,0	329,4	-		0,0	329,4	-		
	0,0	343,1	-		0,0	343,1	-		

Annex 61. Information from A-type sensors at work T3C1 for 14/09/00

Time of thruster Start-Up - 10:13:43

Time of thruster Switching Off - 11:24:31

Time	DRT-1 Current	DRT-1 Bias Voltage	DRT-1 Current Density	DRT-1 Ion Energy	DRT-2 Current	DRT-2 Bias Voltage	DRT-2 Current Density	DRT-2 Ion Energy	SA Angle
hh:mm:ss	μA	V	μA/cm2	eV	μA	V	μA/cm2	eV	deg.
10:10:10	0,0	0,0	0,0	0,0	0,0	0,0	0,0	0,0	6
	0,0	13,7	-		0,0	13,7	-		
	0,0	27,5	-		0,0	27,5	-		
	0,0	41,2	-		0,0	41,2	-		
	0,0	54,9	-		0,0	54,9	-		
	0,0	68,6	-		0,0	68,6	-		
	0,0	82,4	-		0,0	82,4	-		
	0,0	96,1	-		0,0	96,1	-		
	0,0	109,8	-		0,0	109,8	-		
	0,0	123,5	-		0,0	123,5	-		
	0,0	137,3	-		0,0	137,3	-		
	0,0	151,0	-		0,0	151,0	-		
	0,0	164,7	-		0,0	164,7	-		
	0,0	178,4	-		0,0	178,4	-		
	0,0	192,2	-		0,0	192,2	-		
	0,0	205,9	-		0,0	205,9	-		
	0,0	219,6	-		0,0	219,6	-		
	0,0	233,3	-		0,0	233,3	-		
	0,0	247,1	-		0,0	247,1	-		
	0,0	260,8	-		0,0	260,8	-		
	0,0	274,5	-		0,0	274,5	-		
	0,0	288,2	-		0,0	288,2	-		
	0,0	302,0	-		0,0	302,0	-		
	0,0	315,7	-		0,0	315,7	-		
	0,0	329,4	-		0,0	329,4	-		
	0,0	343,1	-		0,0	343,1	-		
10:16:10	0,0	0,0	0,0	0,0	2,81250	0,0	6,541	210 23% 270-3,5%	15
	0,0	13,7	-		2,81250	13,7	-		
	0,0	27,5	-		2,81250	27,5	-		
	0,0	41,2	-		2,81250	41,2	-		
	0,0	54,9	-		2,81250	54,9	-		
	0,0	68,6	-		2,81250	68,6	-		
	0,0	82,4	-		2,81250	82,4	-		
	0,0	96,1	-		2,81250	96,1	-		
	0,0	109,8	-		2,81250	109,8	-		
	0,0	123,5	-		2,81250	123,5	-		
	0,0	137,3	-		2,81250	137,3	-		
	0,0	151,0	-		2,65625	151,0	-		
	0,0	164,7	-		2,57813	164,7	-		
	0,0	178,4	-		2,50000	178,4	-		
	0,0	192,2	-		2,34375	192,2	-		
	0,0	205,9	-		1,56250	205,9	-		
	0,0	219,6	-		0,62500	219,6	-		
	0,0	233,3	-		0,28906	233,3	-		
	0,0	247,1	-		0,21875	247,1	-		
	0,0	260,8	-		0,11719	260,8	-		
	0,0	274,5	-		0,00000	274,5	-		
	0,0	288,2	-		0,00000	288,2	-		
	0,0	302,0	-		0,00000	302,0	-		
	0,0	315,7	-		0,00000	315,7	-		
	0,0	329,4	-		0,00000	329,4	-		
	0,0	343,1	-		0,00000	343,1	-		

Time	DRT-1 Current	DRT-1 Bias Voltage	DRT-1 Current Density	DRT-1 Ion Energy	DRT-2 Current	DRT-2 Bias Voltage	DRT-2 Current Density	DRT-2 Ion Energy	SA Angle
hh:mm:ss	μA	V	μA/cm2	eV	μA	V	μA/cm2	eV	deg.
10:22:10	0,0	0,0	0,0	0,0	2,81250	0,0	6,541	210 23% 270-2,5%	15
	0,0	13,7	-		2,81250	13,7	-		
	0,0	27,5	-		2,81250	27,5	-		
	0,0	41,2	-		2,81250	41,2	-		
	0,0	54,9	-		2,81250	54,9	-		
	0,0	68,6	-		2,81250	68,6	-		
	0,0	82,4	-		2,81250	82,4	-		
	0,0	96,1	-		2,81250	96,1	-		
	0,0	109,8	-		2,81250	109,8	-		
	0,0	123,5	-		2,81250	123,5	-		
	0,0	137,3	-		2,81250	137,3	-		
	0,0	151,0	-		2,73438	151,0	-		
	0,0	164,7	-		2,65625	164,7	-		
	0,0	178,4	-		2,50000	178,4	-		
	0,0	192,2	-		2,26563	192,2	-		
	0,0	205,9	-		1,56250	205,9	-		
	0,0	219,6	-		0,62500	219,6	-		
	0,0	233,3	-		0,28906	233,3	-		
	0,0	247,1	-		0,21094	247,1	-		
	0,0	260,8	-		0,12500	260,8	-		
	0,0	274,5	-		0,00000	274,5	-		
	0,0	288,2	-		0,00000	288,2	-		
	0,0	302,0	-		0,00000	302,0	-		
	0,0	315,7	-		0,00000	315,7	-		
	0,0	329,4	-		0,00000	329,4	-		
	0,0	343,1	-		0,00000	343,1	-		
10:28:10	0,0	0,0	0,0	0,0	2,81250	0,0	6,541	210 23% 270-3%	15
	0,0	13,7	-		2,81250	13,7	-		
	0,0	27,5	-		2,81250	27,5	-		
	0,0	41,2	-		2,81250	41,2	-		
	0,0	54,9	-		2,81250	54,9	-		
	0,0	68,6	-		2,81250	68,6	-		
	0,0	82,4	-		2,81250	82,4	-		
	0,0	96,1	-		2,81250	96,1	-		
	0,0	109,8	-		2,81250	109,8	-		
	0,0	123,5	-		2,81250	123,5	-		
	0,0	137,3	-		2,81250	137,3	-		
	0,0	151,0	-		2,73438	151,0	-		
	0,0	164,7	-		2,65625	164,7	-		
	0,0	178,4	-		2,57813	178,4	-		
	0,0	192,2	-		2,34375	192,2	-		
	0,0	205,9	-		1,56250	205,9	-		
	0,0	219,6	-		0,32031	219,6	-		
	0,0	233,3	-		0,28906	233,3	-		
	0,0	247,1	-		0,19531	247,1	-		
	0,0	260,8	-		0,11719	260,8	-		
	0,0	274,5	-		0,00000	274,5	-		
	0,0	288,2	-		0,00000	288,2	-		
	0,0	302,0	-		0,00000	302,0	-		
	0,0	315,7	-		0,00000	315,7	-		
	0,0	329,4	-		0,00000	329,4	-		
	0,0	343,1	-		0,00000	343,1	-		
10:34:10	0,0	0,0	0,0	0,0	2,81250	0,0	6,541	210 22,5% 270-2,5%	15
	0,0	13,7	-		2,81250	13,7	-		
	0,0	27,5	-		2,81250	27,5	-		
	0,0	41,2	-		2,81250	41,2	-		
	0,0	54,9	-		2,81250	54,9	-		
	0,0	68,6	-		2,81250	68,6	-		
	0,0	82,4	-		2,81250	82,4	-		
	0,0	96,1	-		2,81250	96,1	-		

Time	DRT-1 Current	DRT-1 Bias Voltage	DRT-1 Current Density	DRT-1 Ion Energy	DRT-2 Current	DRT-2 Bias Voltage	DRT-2 Current Density	DRT-2 Ion Energy	SA Angle
hh:mm:ss	μA	V	μA/cm2	eV	μA	V	μA/cm2	eV	deg.
	0,0	109,8	-		2,81250	109,8	-		
	0,0	123,5	-		2,81250	123,5	-		
	0,0	137,3	-		2,81250	137,3	-		
	0,0	151,0	-		2,65625	151,0	-		
	0,0	164,7	-		2,50000	164,7	-		
	0,0	178,4	-		2,50000	178,4	-		
	0,0	192,2	-		2,34375	192,2	-		
	0,0	205,9	-		1,56250	205,9	-		
	0,0	219,6	-		0,32031	219,6	-		
	0,0	233,3	-		0,28906	233,3	-		
	0,0	247,1	-		0,20313	247,1	-		
	0,0	260,8	-		0,11719	260,8	-		
	0,0	274,5	-		0,00000	274,5	-		
	0,0	288,2	-		0,00000	288,2	-		
	0,0	302,0	-		0,00000	302,0	-		
	0,0	315,7	-		0,00000	315,7	-		
	0,0	329,4	-		0,00000	329,4	-		
	0,0	343,1	-		0,00000	343,1	-		
10:40:10	0,0	0,0	0,0	0,0	2,81250	0,0	6,541	210 20% 270-3,3%	15
	0,0	13,7	-		2,81250	13,7	-		
	0,0	27,5	-		2,81250	27,5	-		
	0,0	41,2	-		2,81250	41,2	-		
	0,0	54,9	-		2,81250	54,9	-		
	0,0	68,6	-		2,81250	68,6	-		
	0,0	82,4	-		2,81250	82,4	-		
	0,0	96,1	-		2,81250	96,1	-		
	0,0	109,8	-		2,81250	109,8	-		
	0,0	123,5	-		2,81250	123,5	-		
	0,0	137,3	-		2,81250	137,3	-		
	0,0	151,0	-		2,65625	151,0	-		
	0,0	164,7	-		2,42188	164,7	-		
	0,0	178,4	-		2,42188	178,4	-		
	0,0	192,2	-		2,18750	192,2	-		
	0,0	205,9	-		1,48438	205,9	-		
	0,0	219,6	-		0,54688	219,6	-		
	0,0	233,3	-		0,28906	233,3	-		
	0,0	247,1	-		0,19531	247,1	-		
	0,0	260,8	-		0,13281	260,8	-		
	0,0	274,5	-		0,00000	274,5	-		
	0,0	288,2	-		0,00000	288,2	-		
	0,0	302,0	-		0,00000	302,0	-		
	0,0	315,7	-		0,00000	315,7	-		
	0,0	329,4	-		0,00000	329,4	-		
	0,0	343,1	-		0,00000	343,1	-		
10:46:10	0,0	0,0	0,0	0,0	2,81250	0,0	6,541	210 20% 270-3,5%	15
	0,0	13,7	-		2,81250	13,7	-		
	0,0	27,5	-		2,81250	27,5	-		
	0,0	41,2	-		2,81250	41,2	-		
	0,0	54,9	-		2,81250	54,9	-		
	0,0	68,6	-		2,81250	68,6	-		
	0,0	82,4	-		2,81250	82,4	-		
	0,0	96,1	-		2,81250	96,1	-		
	0,0	109,8	-		2,81250	109,8	-		
	0,0	123,5	-		2,81250	123,5	-		
	0,0	137,3	-		2,81250	137,3	-		
	0,0	151,0	-		2,57813	151,0	-		
	0,0	164,7	-		2,57813	164,7	-		
	0,0	178,4	-		2,50000	178,4	-		
	0,0	192,2	-		2,26563	192,2	-		
	0,0	205,9	-		1,56250	205,9	-		

Time	DRT-1 Current	DRT-1 Bias Voltage	DRT-1 Current Density	DRT-1 Ion Energy	DRT-2 Current	DRT-2 Bias Voltage	DRT-2 Current Density	DRT-2 Ion Energy	SA Angle
hh:mm:ss	μA	V	μA/cm2	eV	μA	V	μA/cm2	eV	deg.
	0,0	219,6	-		0,70313	219,6	-		
	0,0	233,3	-		0,28125	233,3	-		
	0,0	247,1	-		0,20313	247,1	-		
	0,0	260,8	-		0,12500	260,8	-		
	0,0	274,5	-		0,00000	274,5	-		
	0,0	288,2	-		0,00000	288,2	-		
	0,0	302,0	-		0,00000	302,0	-		
	0,0	315,7	-		0,00000	315,7	-		
	0,0	329,4	-		0,00000	329,4	-		
	0,0	343,1	-		0,00000	343,1	-		
10:52:10	0,0	0,0	0,0	0,0	2,81250	0,0	6,541	210 22,5% 270-3%	15
	0,0	13,7	-		2,81250	13,7	-		
	0,0	27,5	-		2,81250	27,5	-		
	0,0	41,2	-		2,81250	41,2	-		
	0,0	54,9	-		2,81250	54,9	-		
	0,0	68,6	-		2,81250	68,6	-		
	0,0	82,4	-		2,81250	82,4	-		
	0,0	96,1	-		2,81250	96,1	-		
	0,0	109,8	-		2,81250	109,8	-		
	0,0	123,5	-		2,81250	123,5	-		
	0,0	137,3	-		2,81250	137,3	-		
	0,0	151,0	-		2,73438	151,0	-		
	0,0	164,7	-		2,57813	164,7	-		
	0,0	178,4	-		2,50000	178,4	-		
	0,0	192,2	-		2,26563	192,2	-		
	0,0	205,9	-		1,56250	205,9	-		
	0,0	219,6	-		0,32031	219,6	-		
	0,0	233,3	-		0,29688	233,3	-		
	0,0	247,1	-		0,21875	247,1	-		
	0,0	260,8	-		0,11719	260,8	-		
	0,0	274,5	-		0,00000	274,5	-		
	0,0	288,2	-		0,00000	288,2	-		
	0,0	302,0	-		0,00000	302,0	-		
	0,0	315,7	-		0,00000	315,7	-		
	0,0	329,4	-		0,00000	329,4	-		
	0,0	343,1	-		0,00000	343,1	-		
10:58:10	0,0	0,0	0,0	0,0	2,81250	0,0	6,541	200-23% 270-3%	15
	0,0	13,7	-		2,81250	13,7	-		
	0,0	27,5	-		2,81250	27,5	-		
	0,0	41,2	-		2,81250	41,2	-		
	0,0	54,9	-		2,81250	54,9	-		
	0,0	68,6	-		2,81250	68,6	-		
	0,0	82,4	-		2,81250	82,4	-		
	0,0	96,1	-		2,81250	96,1	-		
	0,0	109,8	-		2,81250	109,8	-		
	0,0	123,5	-		2,81250	123,5	-		
	0,0	137,3	-		2,81250	137,3	-		
	0,0	151,0	-		2,65700	151,0	-		
	0,0	164,7	-		2,57813	164,7	-		
	0,0	178,4	-		2,57813	178,4	-		
	0,0	192,2	-		2,26563	192,2	-		
	0,0	205,9	-		1,48438	205,9	-		
	0,0	219,6	-		0,54688	219,6	-		
	0,0	233,3	-		0,28906	233,3	-		
	0,0	247,1	-		0,19531	247,1	-		
	0,0	260,8	-		0,12500	260,8	-		
	0,0	274,5	-		0,00000	274,5	-		
	0,0	288,2	-		0,00000	288,2	-		
	0,0	302,0	-		0,00000	302,0	-		
	0,0	315,7	-		0,00000	315,7	-		

Time	DRT-1 Current	DRT-1 Bias Voltage	DRT-1 Current Density	DRT-1 Ion Energy	DRT-2 Current	DRT-2 Bias Voltage	DRT-2 Current Density	DRT-2 Ion Energy	SA Angle
hh:mm:ss	μA	V	μA/cm2	eV	μA	V	μA/cm2	eV	deg.
11:04:10	0,0	329,4	-	0,0	0,00000	329,4	-	210-23% 270-3%	15
	0,0	343,1	-		0,00000	343,1	-		
	0,0	0,0	0,0		2,81250	0,0	6,541		
	0,0	13,7	-		2,81250	13,7	-		
	0,0	27,5	-		2,81250	27,5	-		
	0,0	41,2	-		2,81250	41,2	-		
	0,0	54,9	-		2,81250	54,9	-		
	0,0	68,6	-		2,81250	68,6	-		
	0,0	82,4	-		2,81250	82,4	-		
	0,0	96,1	-		2,81250	96,1	-		
	0,0	109,8	-		2,81250	109,8	-		
	0,0	123,5	-		2,81250	123,5	-		
	0,0	137,3	-		2,81250	137,3	-		
	0,0	151,0	-		2,65400	151,0	-		
	0,0	164,7	-		2,57813	164,7	-		
	0,0	178,4	-		2,50000	178,4	-		
	0,0	192,2	-		2,42188	192,2	-		
	0,0	205,9	-		1,56250	205,9	-		
	0,0	219,6	-		0,32031	219,6	-		
	0,0	233,3	-		0,28906	233,3	-		
	0,0	247,1	-		0,20313	247,1	-		
	0,0	260,8	-		0,12500	260,8	-		
	0,0	274,5	-		0,00000	274,5	-		
	0,0	288,2	-		0,00000	288,2	-		
	0,0	302,0	-		0,00000	302,0	-		
	0,0	315,7	-		0,00000	315,7	-		
	0,0	329,4	-		0,00000	329,4	-		
	0,0	343,1	-		0,00000	343,1	-		
11:10:10	0,0	0,0	0,0	0,0	2,73438	0,0	6,359	210-23% 270-3%	20
	0,0	13,7	-		2,73438	13,7	-		
	0,0	27,5	-		2,73438	27,5	-		
	0,0	41,2	-		2,73438	41,2	-		
	0,0	54,9	-		2,73438	54,9	-		
	0,0	68,6	-		2,73438	68,6	-		
	0,0	82,4	-		2,73438	82,4	-		
	0,0	96,1	-		2,73438	96,1	-		
	0,0	109,8	-		2,73438	109,8	-		
	0,0	123,5	-		2,73438	123,5	-		
	0,0	137,3	-		2,73438	137,3	-		
	0,0	151,0	-		2,73438	151,0	-		
	0,0	164,7	-		2,57813	164,7	-		
	0,0	178,4	-		2,57813	178,4	-		
	0,0	192,2	-		2,34375	192,2	-		
	0,0	205,9	-		1,56250	205,9	-		
	0,0	219,6	-		0,62500	219,6	-		
	0,0	233,3	-		0,29688	233,3	-		
	0,0	247,1	-		0,20313	247,1	-		
	0,0	260,8	-		0,13281	260,8	-		
	0,0	274,5	-		0,00000	274,5	-		
	0,0	288,2	-		0,00000	288,2	-		
	0,0	302,0	-		0,00000	302,0	-		
	0,0	315,7	-		0,00000	315,7	-		
	0,0	329,4	-		0,00000	329,4	-		
	0,0	343,1	-		0,00000	343,1	-		
11:16:10	0,0	0,0	0,0	0,0	2,73438	0,0	6,359	210-22,5% 262-2,5%	22
	0,0	13,7	-		2,73438	13,7	-		
	0,0	27,5	-		2,73438	27,5	-		
	0,0	41,2	-		2,73438	41,2	-		
	0,0	54,9	-		2,73438	54,9	-		
	0,0	68,6	-		2,73438	68,6	-		

Time	DRT-1 Current	DRT-1 Bias Voltage	DRT-1 Current Density	DRT-1 Ion Energy	DRT-2 Current	DRT-2 Bias Voltage	DRT-2 Current Density	DRT-2 Ion Energy	SA Angle
hh:mm:ss	μA	V	μA/cm2	eV	μA	V	μA/cm2	eV	deg.
	0,0	82,4	-		2,73438	82,4	-		
	0,0	96,1	-		2,73438	96,1	-		
	0,0	109,8	-		2,73438	109,8	-		
	0,0	123,5	-		2,73438	123,5	-		
	0,0	137,3	-		2,73438	137,3	-		
	0,0	151,0	-		2,73438	151,0	-		
	0,0	164,7	-		2,57813	164,7	-		
	0,0	178,4	-		2,57813	178,4	-		
	0,0	192,2	-		2,34375	192,2	-		
	0,0	205,9	-		1,56250	205,9	-		
	0,0	219,6	-		0,62500	219,6	-		
	0,0	233,3	-		0,28906	233,3	-		
	0,0	247,1	-		0,22656	247,1	-		
	0,0	260,8	-		0,13281	260,8	-		
	0,0	274,5	-		0,00000	274,5	-		
	0,0	288,2	-		0,00000	288,2	-		
	0,0	302,0	-		0,00000	302,0	-		
	0,0	315,7	-		0,00000	315,7	-		
	0,0	329,4	-		0,00000	329,4	-		
	0,0	343,1	-		0,00000	343,1	-		
11:22:10	0,0	0,0	0,0	0,0	2,65625	0,0	6,177	210-23% 262-3%	28
	0,0	13,7	-		2,65625	13,7	-		
	0,0	27,5	-		2,65625	27,5	-		
	0,0	41,2	-		2,65625	41,2	-		
	0,0	54,9	-		2,65625	54,9	-		
	0,0	68,6	-		2,65625	68,6	-		
	0,0	82,4	-		2,65625	82,4	-		
	0,0	96,1	-		2,65625	96,1	-		
	0,0	109,8	-		2,65625	109,8	-		
	0,0	123,5	-		2,65625	123,5	-		
	0,0	137,3	-		2,65625	137,3	-		
	0,0	151,0	-		2,65625	151,0	-		
	0,0	164,7	-		2,57813	164,7	-		
	0,0	178,4	-		2,50000	178,4	-		
	0,0	192,2	-		2,34375	192,2	-		
	0,0	205,9	-		1,56250	205,9	-		
	0,0	219,6	-		0,62500	219,6	-		
	0,0	233,3	-		0,28906	233,3	-		
	0,0	247,1	-		0,19531	247,1	-		
	0,0	260,8	-		0,10938	260,8	-		
	0,0	274,5	-		0,00000	274,5	-		
	0,0	288,2	-		0,00000	288,2	-		
	0,0	302,0	-		0,00000	302,0	-		
	0,0	315,7	-		0,00000	315,7	-		
	0,0	329,4	-		0,00000	329,4	-		
	0,0	343,1	-		0,00000	343,1	-		
11:28:10	0,0	0,0	0,0	0,0	0,0	0,0	0,0	0	30
	0,0	13,7	-		0,0	13,7	-		
	0,0	27,5	-		0,0	27,5	-		
	0,0	41,2	-		0,0	41,2	-		
	0,0	54,9	-		0,0	54,9	-		
	0,0	68,6	-		0,0	68,6	-		
	0,0	82,4	-		0,0	82,4	-		
	0,0	96,1	-		0,0	96,1	-		
	0,0	109,8	-		0,0	109,8	-		
	0,0	123,5	-		0,0	123,5	-		
	0,0	137,3	-		0,0	137,3	-		
	0,0	151,0	-		0,0	151,0	-		
	0,0	164,7	-		0,0	164,7	-		
	0,0	178,4	-		0,0	178,4	-		

Time	DRT-1 Current	DRT-1 Bias Voltage	DRT-1 Current Density	DRT-1 Ion Energy	DRT-2 Current	DRT-2 Bias Voltage	DRT-2 Current Density	DRT-2 Ion Energy	SA Angle
hh:mm:ss	μA	V	μA/cm2	eV	μA	V	μA/cm2	eV	deg.
	0,0	192,2	-		0,0	192,2	-		
	0,0	205,9	-		0,0	205,9	-		
	0,0	219,6	-		0,0	219,6	-		
	0,0	233,3	-		0,0	233,3	-		
	0,0	247,1	-		0,0	247,1	-		
	0,0	260,8	-		0,0	260,8	-		
	0,0	274,5	-		0,0	274,5	-		
	0,0	288,2	-		0,0	288,2	-		
	0,0	302,0	-		0,0	302,0	-		
	0,0	315,7	-		0,0	315,7	-		
	0,0	329,4	-		0,0	329,4	-		
	0,0	343,1	-		0,0	343,1	-		

Annex 62. Information from A-type sensors at work RT4C1 for 19/09/00

Time of thruster Start-Up - 21:51:16

Time of thruster Switching Off - 23:03:04

Time	DRT-1 Current	DRT-1 Bias Voltage	DRT-1 Current Density	DRT-1 Ion Energy	DRT-2 Current	DRT-2 Bias Voltage	DRT-2 Current Density	DRT-2 Ion Energy	SA Angle
hh:mm:ss	μA	V	μA/cm2	eV	μA	V	μA/cm2	eV	deg.
21:46:10	0,0	0,0	0,0	0,0	0,0	0,0	0,0	0,0	180-197
21:52:10	0,0	13,7	-		0,0	13,7	-		
21:58:10	0,0	27,5	-		0,0	27,5	-		
22:04:10	0,0	41,2	-		0,0	41,2	-		
22:10:10	0,0	54,9	-		0,0	54,9	-		
22:16:10	0,0	68,6	-		0,0	68,6	-		
22:22:10	0,0	82,4	-		0,0	82,4	-		
22:28:10	0,0	96,1	-		0,0	96,1	-		
22:34:10	0,0	109,8	-		0,0	109,8	-		
22:40:10	0,0	123,5	-		0,0	123,5	-		
22:46:10	0,0	137,3	-		0,0	137,3	-		
22:52:10	0,0	151,0	-		0,0	151,0	-		
22:58:10	0,0	164,7	-		0,0	164,7	-		
23:04:10	0,0	178,4	-		0,0	178,4	-		
	0,0	192,2	-		0,0	192,2	-		
	0,0	205,9	-		0,0	205,9	-		
	0,0	219,6	-		0,0	219,6	-		
	0,0	233,3	-		0,0	233,3	-		
	0,0	247,1	-		0,0	247,1	-		
	0,0	260,8	-		0,0	260,8	-		
	0,0	274,5	-		0,0	274,5	-		
	0,0	288,2	-		0,0	288,2	-		
	0,0	302,0	-		0,0	302,0	-		
	0,0	315,7	-		0,0	315,7	-		
	0,0	329,4	-		0,0	329,4	-		
	0,0	343,1	-		0,0	343,1	-		

Annex 63. Information from A-type sensors at work RT4C1 for 20/09/00

Time of thruster Start-Up - 21:47:23

Time of thruster Switching Off - 22:59:11

Time	DRT-1 Current	DRT-1 Bias Voltage	DRT-1 Current Density	DRT-1 Ion Energy	DRT-2 Current	DRT-2 Bias Voltage	DRT-2 Current Density	DRT-2 Ion Energy	SA Angle
hh:mm:ss	μA	V	μA/cm2	eV	μA	V	μA/cm2	eV	deg.
21:46:10	0,0	0,0	0,0	0,0	0,0	0,0	0,0	0,0	180-195
21:52:10	0,0	13,7	-		0,0	13,7	-		
21:58:10	0,0	27,5	-		0,0	27,5	-		
22:04:10	0,0	41,2	-		0,0	41,2	-		
22:10:10	0,0	54,9	-		0,0	54,9	-		
22:16:10	0,0	68,6	-		0,0	68,6	-		
22:22:10	0,0	82,4	-		0,0	82,4	-		
22:28:10	0,0	96,1	-		0,0	96,1	-		
22:34:10	0,0	109,8	-		0,0	109,8	-		
22:40:10	0,0	123,5	-		0,0	123,5	-		
22:46:10	0,0	137,3	-		0,0	137,3	-		
22:52:10	0,0	151,0	-		0,0	151,0	-		
22:58:10	0,0	164,7	-		0,0	164,7	-		
23:04:10	0,0	178,4	-		0,0	178,4	-		
	0,0	192,2	-		0,0	192,2	-		
	0,0	205,9	-		0,0	205,9	-		
	0,0	219,6	-		0,0	219,6	-		
	0,0	233,3	-		0,0	233,3	-		
	0,0	247,1	-		0,0	247,1	-		
	0,0	260,8	-		0,0	260,8	-		
	0,0	274,5	-		0,0	274,5	-		
	0,0	288,2	-		0,0	288,2	-		
	0,0	302,0	-		0,0	302,0	-		
	0,0	315,7	-		0,0	315,7	-		
	0,0	329,4	-		0,0	329,4	-		
	0,0	343,1	-		0,0	343,1	-		

Annex 64. Information from A-type sensors at work RT4C1 for 24/09/00

Time of thruster Start-Up - 21:31:47

Time of thruster Switching Off - 22:43:35

Time	DRT-1 Current	DRT-1 Bias Voltage	DRT-1 Current Density	DRT-1 Ion Energy	DRT-2 Current	DRT-2 Bias Voltage	DRT-2 Current Density	DRT-2 Ion Energy	SA Angle
hh:mm:ss	μA	V	μA/cm2	eV	μA	V	μA/cm2	eV	deg.
21:28:10	0,0	0,0	0,0	0,0	0,0	0,0	0,0	0,0	180-195
21:34:10	0,0	13,7	-		0,0	13,7	-		
21:40:10	0,0	27,5	-		0,0	27,5	-		
21:46:10	0,0	41,2	-		0,0	41,2	-		
21:52:10	0,0	54,9	-		0,0	54,9	-		
21:58:10	0,0	68,6	-		0,0	68,6	-		
22:04:10	0,0	82,4	-		0,0	82,4	-		
22:10:10	0,0	96,1	-		0,0	96,1	-		
22:16:10	0,0	109,8	-		0,0	109,8	-		
22:22:10	0,0	123,5	-		0,0	123,5	-		
22:28:10	0,0	137,3	-		0,0	137,3	-		
22:34:10	0,0	151,0	-		0,0	151,0	-		
22:40:10	0,0	164,7	-		0,0	164,7	-		
22:46:10	0,0	178,4	-		0,0	178,4	-		
	0,0	192,2	-		0,0	192,2	-		
	0,0	205,9	-		0,0	205,9	-		
	0,0	219,6	-		0,0	219,6	-		
	0,0	233,3	-		0,0	233,3	-		
	0,0	247,1	-		0,0	247,1	-		
	0,0	260,8	-		0,0	260,8	-		
	0,0	274,5	-		0,0	274,5	-		
	0,0	288,2	-		0,0	288,2	-		
	0,0	302,0	-		0,0	302,0	-		
	0,0	315,7	-		0,0	315,7	-		
	0,0	329,4	-		0,0	329,4	-		
	0,0	343,1	-		0,0	343,1	-		

Annex 65. Information from A-type sensors at work RT4C1 for 25/09/00

Time of thruster Start-Up - 21:27:55

Time of thruster Switching Off - 22:39:47

Time	DRT-1 Current	DRT-1 Bias Voltage	DRT-1 Current Density	DRT-1 Ion Energy	DRT-2 Current	DRT-2 Bias Voltage	DRT-2 Current Density	DRT-2 Ion Energy	SA Angle
hh:mm:ss	μA	V	μA/cm2	eV	μA	V	μA/cm2	eV	deg.
21:22:10	0,0	0,0	0,0	0,0	0,0	0,0	0,0	0,0	180-195
21:28:10	0,0	13,7	-		0,0	13,7	-		
21:34:10	0,0	27,5	-		0,0	27,5	-		
21:40:10	0,0	41,2	-		0,0	41,2	-		
21:46:10	0,0	54,9	-		0,0	54,9	-		
21:52:10	0,0	68,6	-		0,0	68,6	-		
21:58:10	0,0	82,4	-		0,0	82,4	-		
22:04:10	0,0	96,1	-		0,0	96,1	-		
22:10:10	0,0	109,8	-		0,0	109,8	-		
22:16:10	0,0	123,5	-		0,0	123,5	-		
22:22:10	0,0	137,3	-		0,0	137,3	-		
22:28:10	0,0	151,0	-		0,0	151,0	-		
22:34:10	0,0	164,7	-		0,0	164,7	-		
22:40:10	0,0	178,4	-		0,0	178,4	-		
	0,0	192,2	-		0,0	192,2	-		
	0,0	205,9	-		0,0	205,9	-		
	0,0	219,6	-		0,0	219,6	-		
	0,0	233,3	-		0,0	233,3	-		
	0,0	247,1	-		0,0	247,1	-		
	0,0	260,8	-		0,0	260,8	-		
	0,0	274,5	-		0,0	274,5	-		
	0,0	288,2	-		0,0	288,2	-		
	0,0	302,0	-		0,0	302,0	-		
	0,0	315,7	-		0,0	315,7	-		
	0,0	329,4	-		0,0	329,4	-		
	0,0	343,1	-		0,0	343,1	-		

Annex 66. Information from A-type sensors at work T4C1 for 28/09/00

Time of thruster Start-Up - 21:16:11

Time of thruster Switching Off - 22:28:03

Time	DRT-1 Current	DRT-1 Bias Voltage	DRT-1 Current Density	DRT-1 Ion Energy	DRT-2 Current	DRT-2 Bias Voltage	DRT-2 Current Density	DRT-2 Ion Energy	SA Angle
hh:mm:ss	μA	V	μA/cm2	eV	μA	V	μA/cm2	eV	deg.
21:16:10	0,0	0,0	0,0	0,0	0,0	0,0	0,0	0,0	180-195
21:22:10	0,0	13,7	-		0,0	13,7	-		
21:28:10	0,0	27,5	-		0,0	27,5	-		
21:34:10	0,0	41,2	-		0,0	41,2	-		
21:40:10	0,0	54,9	-		0,0	54,9	-		
21:46:10	0,0	68,6	-		0,0	68,6	-		
21:52:10	0,0	82,4	-		0,0	82,4	-		
21:58:10	0,0	96,1	-		0,0	96,1	-		
22:04:10	0,0	109,8	-		0,0	109,8	-		
22:10:10	0,0	123,5	-		0,0	123,5	-		
22:16:10	0,0	137,3	-		0,0	137,3	-		
22:22:10	0,0	151,0	-		0,0	151,0	-		
22:28:10	0,0	164,7	-		0,0	164,7	-		
	0,0	178,4	-		0,0	178,4	-		
	0,0	192,2	-		0,0	192,2	-		
	0,0	205,9	-		0,0	205,9	-		
	0,0	219,6	-		0,0	219,6	-		
	0,0	233,3	-		0,0	233,3	-		
	0,0	247,1	-		0,0	247,1	-		
	0,0	260,8	-		0,0	260,8	-		
	0,0	274,5	-		0,0	274,5	-		
	0,0	288,2	-		0,0	288,2	-		
	0,0	302,0	-		0,0	302,0	-		
	0,0	315,7	-		0,0	315,7	-		
	0,0	329,4	-		0,0	329,4	-		
	0,0	343,1	-		0,0	343,1	-		

Annex 67. Information from B-type sensors at work RT3C1 for 02/07/00

Time of thruster Start-Up - 09:15:43

Time of thruster Switching Off - 10:45:43

Time	DRT3-2 Current	DRT3-2 Bias Voltage	DRT3-2 Current Density	DRT3-2 Ion Energy	DRT3-1 Current	DRT3-1 Bias Voltage	DRT3-1 Current Density	DRT3-1 Ion Energy
hh:mm:ss	nA	V	nA/cm2	eV	nA	V	nA/cm2	eV
09:10:17	0,0	0,0	0,0	0,0	0,0	0,0	0,0	0,0
09:16:17	0,0	13,5	-		0,0	13,5	-	
09:22:17	0,0	26,9	-		0,0	26,9	-	
09:28:17	0,0	40,4	-		0,0	40,4	-	
09:34:17	0,0	53,8	-		0,0	53,8	-	
09:40:17	0,0	67,3	-		0,0	67,3	-	
09:46:17	0,0	80,8	-		0,0	80,8	-	
09:52:17	0,0	94,2	-		0,0	94,2	-	
09:58:17	0,0	107,7	-		0,0	107,7	-	
10:04:17	0,0	121,2	-		0,0	121,2	-	
10:10:17	0,0	134,6	-		0,0	134,6	-	
10:16:17	0,0	148,1	-		0,0	148,1	-	
10:22:17	0,0	161,5	-		0,0	161,5	-	
10:28:17	0,0	175,0	-		0,0	175,0	-	
10:34:17	0,0	188,5	-		0,0	188,5	-	
10:40:17	0,0	201,9	-		0,0	201,9	-	
10:46:17	0,0	215,4	-		0,0	215,4	-	
	0,0	228,8	-		0,0	228,8	-	
	0,0	242,3	-		0,0	242,3	-	
	0,0	255,8	-		0,0	255,8	-	
	0,0	269,2	-		0,0	269,2	-	
	0,0	282,7	-		0,0	282,7	-	
	0,0	309,6	-		0,0	309,6	-	
	0,0	323,1	-		0,0	323,1	-	
	0,0	336,5	-		0,0	336,5	-	
	0,0	350,0	-		0,0	350,0	-	

Annex 68. Information from B-type sensors at work T3C1 for 02/07/00

Time of thruster Start-Up - 10:55:43

Time of thruster Switching Off - 12:25:43

Time	DRT3-2 Current	DRT3-2 Bias Voltage	DRT3-2 Current Density	DRT3-2 Ion Energy	DRT3-1 Current	DRT3-1 Bias Voltage	DRT3-1 Current Density	DRT3-1 Ion Energy
hh:mm:ss	nA	V	nA/cm2	eV	nA	V	nA/cm2	eV
10:52:17	0,0	0,0	-	0,0	0,0	0,0	-	0,0
10:58:17	0,0	13,5	-		0,0	13,5	-	
11:04:17	0,0	26,9	-		0,0	26,9	-	
11:10:17	0,0	40,4	-		0,0	40,4	-	
11:16:17	0,0	53,8	-		0,0	53,8	-	
11:22:17	0,0	67,3	-		0,0	67,3	-	
11:28:17	0,0	80,8	-		0,0	80,8	-	
11:34:17	0,0	94,2	-		0,0	94,2	-	
11:40:17	0,0	107,7	-		0,0	107,7	-	
11:46:17	0,0	121,2	-		0,0	121,2	-	
11:52:17	0,0	134,6	-		0,0	134,6	-	
11:58:17	0,0	148,1	-		0,0	148,1	-	
12:04:17	0,0	161,5	-		0,0	161,5	-	
12:10:17	0,0	175,0	-		0,0	175,0	-	
12:16:17	0,0	188,5	-		0,0	188,5	-	
12:22:17	0,0	201,9	-		0,0	201,9	-	
12:28:17	0,0	215,4	-		0,0	215,4	-	
	0,0	228,8	-		0,0	228,8	-	
	0,0	242,3	-		0,0	242,3	-	
	0,0	255,8	-		0,0	255,8	-	
	0,0	269,2	-		0,0	269,2	-	
	0,0	282,7	-		0,0	282,7	-	
	0,0	309,6	-		0,0	309,6	-	
	0,0	323,1	-		0,0	323,1	-	
	0,0	336,5	-		0,0	336,5	-	
	0,0	350,0	-		0,0	350,0	-	

Annex 69. Information from B-type sensors at work RT4C1 for 02/07/00

Time of thruster Start-Up - 21:22:43

Time of thruster Switching Off - 22:52:43

Time	DRT3-2 Current	DRT3-2 Bias Voltage	DRT3-2 Current Density	DRT3-2 Ion Energy	DRT3-1 Current	DRT3-1 Bias Voltage	DRT3-1 Current Density	DRT3-1 Ion Energy
hh:mm:ss	nA	V	nA/cm2	eV	nA	V	nA/cm2	eV
21:22:17	0,0	0,0	0,0	0,0	0,0	0,0	0,0	0,0
	0,0	13,5	-		0,0	13,5	-	
	0,0	26,9	-		0,0	26,9	-	
	0,0	40,4	-		0,0	40,4	-	
	0,0	53,8	-		0,0	53,8	-	
	0,0	67,3	-		0,0	67,3	-	
	0,0	80,8	-		0,0	80,8	-	
	0,0	94,2	-		0,0	94,2	-	
	0,0	107,7	-		0,0	107,7	-	
	0,0	121,2	-		0,0	121,2	-	
	0,0	134,6	-		0,0	134,6	-	
	0,0	148,1	-		0,0	148,1	-	
	0,0	161,5	-		0,0	161,5	-	
	0,0	175,0	-		0,0	175,0	-	
	0,0	188,5	-		0,0	188,5	-	
	0,0	201,9	-		0,0	201,9	-	
	0,0	215,4	-		0,0	215,4	-	
	0,0	228,8	-		0,0	228,8	-	
	0,0	242,3	-		0,0	242,3	-	
	0,0	255,8	-		0,0	255,8	-	
	0,0	269,2	-		0,0	269,2	-	
	0,0	282,7	-		0,0	282,7	-	
	0,0	309,6	-		0,0	309,6	-	
	0,0	323,1	-		0,0	323,1	-	
	0,0	336,5	-		0,0	336,5	-	
	0,0	350,0	-		0,0	350,0	-	
21:28:17	0,0	0,0	0,0	0,0	89,58511	0,0	223,963	25-47% 243-2,1%
	0,0	13,5	-		89,58511	13,5	-	
	0,0	26,9	-		73,45979	26,9	-	
	0,0	40,4	-		35,31721	40,4	-	
	0,0	53,8	-		27,54742	53,8	-	
	0,0	67,3	-		22,03794	67,3	-	
	0,0	80,8	-		17,88794	80,8	-	
	0,0	94,2	-		15,13595	94,2	-	
	0,0	107,7	-		12,29796	107,7	-	
	0,0	121,2	-		10,84544	121,2	-	
	0,0	134,6	-		9,83837	134,6	-	
	0,0	148,1	-		8,71754	148,1	-	
	0,0	161,5	-		8,00797	161,5	-	
	0,0	175,0	-		7,32644	175,0	-	
	0,0	188,5	-		6,49703	188,5	-	
	0,0	201,9	-		5,93694	201,9	-	
	0,0	215,4	-		4,99048	215,4	-	
	0,0	228,8	-		4,14871	228,8	-	
	0,0	242,3	-		2,94310	242,3	-	
	0,0	255,8	-		0,0	255,8	-	
	0,0	269,2	-		0,0	269,2	-	
	0,0	282,7	-		0,0	282,7	-	
	0,0	309,6	-		0,0	309,6	-	
	0,0	323,1	-		0,0	323,1	-	
	0,0	336,5	-		0,0	336,5	-	
	0,0	350,0	-		0,0	350,0	-	

Time	DRT3-2 Current	DRT3-2 Bias Voltage	DRT3-2 Current Density	DRT3-2 Ion Energy	DRT3-1 Current	DRT3-1 Bias Voltage	DRT3-1 Current Density	DRT3-1 Ion Energy
hh:mm:ss	nA	V	nA/cm2	eV	nA	V	nA/cm2	eV
21:34:17	0,0	0,0	0,0	0,0	90,31942	0,0	225,799	25-50% 245-2,3%
	0,0	13,5	-		90,31942	13,5	-	
	0,0	26,9	-		73,45979	26,9	-	
	0,0	40,4	-		32,40873	40,4	-	
	0,0	53,8	-		26,74507	53,8	-	
	0,0	67,3	-		20,86926	67,3	-	
	0,0	80,8	-		17,43508	80,8	-	
	0,0	94,2	-		14,34762	94,2	-	
	0,0	107,7	-		11,47809	107,7	-	
	0,0	121,2	-		9,69980	121,2	-	
	0,0	134,6	-		8,50229	134,6	-	
	0,0	148,1	-		7,40522	148,1	-	
	0,0	161,5	-		6,81867	161,5	-	
	0,0	175,0	-		6,14898	175,0	-	
	0,0	188,5	-		5,50948	188,5	-	
	0,0	201,9	-		4,91918	201,9	-	
	0,0	215,4	-		4,25115	215,4	-	
	0,0	228,8	-		3,58690	228,8	-	
	0,0	242,3	-		2,56972	242,3	-	
	0,0	255,8	-		0,0	255,8	-	
	0,0	269,2	-		0,0	269,2	-	
	0,0	282,7	-		0,0	282,7	-	
	0,0	309,6	-		0,0	309,6	-	
	0,0	323,1	-		0,0	323,1	-	
	0,0	336,5	-		0,0	336,5	-	
	0,0	350,0	-		0,0	350,0	-	
21:40:17	0,0	0,0	0,0	0,0	90,31942	0,0	225,799	25-50% 245-2,3%
	0,0	13,5	-		90,31942	13,5	-	
	0,0	26,9	-		76,52062	26,9	-	
	0,0	40,4	-		34,00916	40,4	-	
	0,0	53,8	-		27,54742	53,8	-	
	0,0	67,3	-		21,52142	67,3	-	
	0,0	80,8	-		17,65860	80,8	-	
	0,0	94,2	-		14,34762	94,2	-	
	0,0	107,7	-		11,67264	107,7	-	
	0,0	121,2	-		9,69980	121,2	-	
	0,0	134,6	-		8,19864	134,6	-	
	0,0	148,1	-		7,40522	148,1	-	
	0,0	161,5	-		6,55891	161,5	-	
	0,0	175,0	-		5,78727	175,0	-	
	0,0	188,5	-		5,21732	188,5	-	
	0,0	201,9	-		4,71702	201,9	-	
	0,0	215,4	-		4,14871	215,4	-	
	0,0	228,8	-		3,44343	228,8	-	
	0,0	242,3	-		2,53193	242,3	-	
	0,0	255,8	-		0,0	255,8	-	
	0,0	269,2	-		0,0	269,2	-	
	0,0	282,7	-		0,0	282,7	-	
	0,0	309,6	-		0,0	309,6	-	
	0,0	323,1	-		0,0	323,1	-	
	0,0	336,5	-		0,0	336,5	-	
	0,0	350,0	-		0,0	350,0	-	
21:46:17	0,0	0,0	0,0	0,0	88,86265	0,0	222,157	25-47% 260-2,3%
	0,0	13,5	-		88,86265	13,5	-	
	0,0	26,9	-		76,52062	26,9	-	
	0,0	40,4	-		37,22625	40,4	-	
	0,0	53,8	-		29,30577	53,8	-	
	0,0	67,3	-		24,16441	67,3	-	
	0,0	80,8	-		19,13015	80,8	-	
	0,0	94,2	-		15,47608	94,2	-	

Time	DRT3-2 Current	DRT3-2 Bias Voltage	DRT3-2 Current Density	DRT3-2 Ion Energy	DRT3-1 Current	DRT3-1 Bias Voltage	DRT3-1 Current Density	DRT3-1 Ion Energy
hh:mm:ss	nA	V	nA/cm2	eV	nA	V	nA/cm2	eV
	0,0	107,7	-		12,75344	107,7	-	
	0,0	121,2	-		10,43463	121,2	-	
	0,0	134,6	-		8,94397	134,6	-	
	0,0	148,1	-		7,91593	148,1	-	
	0,0	161,5	-		7,02740	161,5	-	
	0,0	175,0	-		6,20437	175,0	-	
	0,0	188,5	-		5,78727	188,5	-	
	0,0	201,9	-		4,99048	201,9	-	
	0,0	215,4	-		4,41465	215,4	-	
	0,0	228,8	-		3,62466	228,8	-	
	0,0	242,3	-		2,64879	242,3	-	
	0,0	255,8	-		1,26597	255,8	-	
	0,0	269,2	-		0,0	269,2	-	
	0,0	282,7	-		0,0	282,7	-	
	0,0	309,6	-		0,0	309,6	-	
	0,0	323,1	-		0,0	323,1	-	
	0,0	336,5	-		0,0	336,5	-	
	0,0	350,0	-		0,0	350,0	-	
21:52:17	0,0	0,0	0,0	0,0	88,86265	0,0	222,157	25-52% 260-2,5%
	0,0	13,5	-		88,86265	13,5	-	
	0,0	26,9	-		76,52062	26,9	-	
	0,0	40,4	-		34,00916	40,4	-	
	0,0	53,8	-		27,00728	53,8	-	
	0,0	67,3	-		21,69088	67,3	-	
	0,0	80,8	-		17,88794	80,8	-	
	0,0	94,2	-		14,19970	94,2	-	
	0,0	107,7	-		11,77240	107,7	-	
	0,0	121,2	-		9,69980	121,2	-	
	0,0	134,6	-		8,29742	134,6	-	
	0,0	148,1	-		7,32644	148,1	-	
	0,0	161,5	-		6,31822	161,5	-	
	0,0	175,0	-		5,88620	175,0	-	
	0,0	188,5	-		5,13944	188,5	-	
	0,0	201,9	-		4,59124	201,9	-	
	0,0	215,4	-		4,00399	215,4	-	
	0,0	228,8	-		3,34313	228,8	-	
	0,0	242,3	-		2,45959	242,3	-	
	0,0	255,8	-		1,13271	255,8	-	
	0,0	269,2	-		0,0	269,2	-	
	0,0	282,7	-		0,0	282,7	-	
	0,0	309,6	-		0,0	309,6	-	
	0,0	323,1	-		0,0	323,1	-	
	0,0	336,5	-		0,0	336,5	-	
	0,0	350,0	-		0,0	350,0	-	
21:58:17	0,0	0,0	0,0	0,0	88,86265	0,0	222,157	25-47% 260-2,3%
	0,0	13,5	-		88,86265	13,5	-	
	0,0	26,9	-		75,47239	26,9	-	
	0,0	40,4	-		36,72990	40,4	-	
	0,0	53,8	-		29,62088	53,8	-	
	0,0	67,3	-		23,74778	67,3	-	
	0,0	80,8	-		19,13015	80,8	-	
	0,0	94,2	-		15,30412	94,2	-	
	0,0	107,7	-		12,63643	107,7	-	
	0,0	121,2	-		10,59516	121,2	-	
	0,0	134,6	-		8,82930	134,6	-	
	0,0	148,1	-		8,10218	148,1	-	
	0,0	161,5	-		6,95642	161,5	-	
	0,0	175,0	-		6,04110	175,0	-	
	0,0	188,5	-		5,59907	188,5	-	
	0,0	201,9	-		4,99048	201,9	-	

Time	DRT3-2 Current	DRT3-2 Bias Voltage	DRT3-2 Current Density	DRT3-2 Ion Energy	DRT3-1 Current	DRT3-1 Bias Voltage	DRT3-1 Current Density	DRT3-1 Ion Energy
hh:mm:ss	nA	V	nA/cm2	eV	nA	V	nA/cm2	eV
	0,0	215,4	-		4,47198	215,4	-	
	0,0	228,8	-		3,78399	228,8	-	
	0,0	242,3	-		2,64879	242,3	-	
	0,0	255,8	-		1,17926	255,8	-	
	0,0	269,2	-		0,0	269,2	-	
	0,0	282,7	-		0,0	282,7	-	
	0,0	309,6	-		0,0	309,6	-	
	0,0	323,1	-		0,0	323,1	-	
	0,0	336,5	-		0,0	336,5	-	
	0,0	350,0	-		0,0	350,0	-	
22:04:17	0,0	0,0	0,0	0,0	88,15175	0,0	220,379	25-51% 260-2,3%
	0,0	13,5	-		88,15175	13,5	-	
	0,0	26,9	-		75,47239	26,9	-	
	0,0	40,4	-		34,00916	40,4	-	
	0,0	53,8	-		27,00728	53,8	-	
	0,0	67,3	-		21,52142	67,3	-	
	0,0	80,8	-		17,65860	80,8	-	
	0,0	94,2	-		14,05481	94,2	-	
	0,0	107,7	-		11,67264	107,7	-	
	0,0	121,2	-		9,69980	121,2	-	
	0,0	134,6	-		8,39860	134,6	-	
	0,0	148,1	-		7,40522	148,1	-	
	0,0	161,5	-		6,26078	161,5	-	
	0,0	175,0	-		5,59907	175,0	-	
	0,0	188,5	-		5,29758	188,5	-	
	0,0	201,9	-		4,65328	201,9	-	
	0,0	215,4	-		4,00399	215,4	-	
	0,0	228,8	-		3,40933	228,8	-	
	0,0	242,3	-		2,35851	242,3	-	
	0,0	255,8	-		1,07607	255,8	-	
	0,0	269,2	-		0,0	269,2	-	
	0,0	282,7	-		0,0	282,7	-	
	0,0	309,6	-		0,0	309,6	-	
	0,0	323,1	-		0,0	323,1	-	
	0,0	336,5	-		0,0	336,5	-	
	0,0	350,0	-		0,0	350,0	-	
22:10:17	0,0	0,0	0,0	0,0	88,15175	0,0	220,379	25-47% 260-2,3%
	0,0	13,5	-		88,15175	13,5	-	
	0,0	26,9	-		75,47239	26,9	-	
	0,0	40,4	-		36,72990	40,4	-	
	0,0	53,8	-		29,30577	53,8	-	
	0,0	67,3	-		22,95619	67,3	-	
	0,0	80,8	-		18,86810	80,8	-	
	0,0	94,2	-		15,65194	94,2	-	
	0,0	107,7	-		12,29796	107,7	-	
	0,0	121,2	-		10,27889	121,2	-	
	0,0	134,6	-		8,94397	134,6	-	
	0,0	148,1	-		7,91593	148,1	-	
	0,0	161,5	-		7,09985	161,5	-	
	0,0	175,0	-		6,26078	175,0	-	
	0,0	188,5	-		5,59907	188,5	-	
	0,0	201,9	-		4,91918	201,9	-	
	0,0	215,4	-		4,30429	215,4	-	
	0,0	228,8	-		3,54993	228,8	-	
	0,0	242,3	-		2,53193	242,3	-	
	0,0	255,8	-		1,11800	255,8	-	
	0,0	269,2	-		0,0	269,2	-	
	0,0	282,7	-		0,0	282,7	-	
	0,0	309,6	-		0,0	309,6	-	
	0,0	323,1	-		0,0	323,1	-	

Time	DRT3-2 Current	DRT3-2 Bias Voltage	DRT3-2 Current Density	DRT3-2 Ion Energy	DRT3-1 Current	DRT3-1 Bias Voltage	DRT3-1 Current Density	DRT3-1 Ion Energy
hh:mm:ss	nA	V	nA/cm2	eV	nA	V	nA/cm2	eV
22:16:17	0,0	336,5	-	0,0	0,0	336,5	-	25-47% 260-2,3%
	0,0	350,0	-		0,0	350,0	-	
	0,0	0,0	0,0		88,15175	0,0	220,379	
	0,0	13,5	-		88,15175	13,5	-	
	0,0	26,9	-		75,47239	26,9	-	
	0,0	40,4	-		36,72990	40,4	-	
	0,0	53,8	-		29,30577	53,8	-	
	0,0	67,3	-		23,14909	67,3	-	
	0,0	80,8	-		19,13015	80,8	-	
	0,0	94,2	-		15,30412	94,2	-	
	0,0	107,7	-		12,40875	107,7	-	
	0,0	121,2	-		9,98095	121,2	-	
	0,0	134,6	-		8,82930	134,6	-	
	0,0	148,1	-		7,65206	148,1	-	
	0,0	161,5	-		6,95642	161,5	-	
	0,0	175,0	-		6,26078	175,0	-	
	0,0	188,5	-		5,64496	188,5	-	
	0,0	201,9	-		4,91918	201,9	-	
	0,0	215,4	-		4,41465	215,4	-	
	0,0	228,8	-		3,62466	228,8	-	
	0,0	242,3	-		2,53193	242,3	-	
	0,0	255,8	-		1,08969	255,8	-	
	0,0	269,2	-		0,0	269,2	-	
	0,0	282,7	-		0,0	282,7	-	
	0,0	309,6	-		0,0	309,6	-	
	0,0	323,1	-		0,0	323,1	-	
	0,0	336,5	-		0,0	336,5	-	
	0,0	350,0	-		0,0	350,0	-	
22:22:17	0,0	0,0	0,0	0,0	87,45213	0,0	218,630	25-48% 260-2,3%
	0,0	13,5	-		87,45213	13,5	-	
	0,0	26,9	-		74,45249	26,9	-	
	0,0	40,4	-		35,31721	40,4	-	
	0,0	53,8	-		28,99729	53,8	-	
	0,0	67,3	-		23,34527	67,3	-	
	0,0	80,8	-		19,13015	80,8	-	
	0,0	94,2	-		15,30412	94,2	-	
	0,0	107,7	-		12,40875	107,7	-	
	0,0	121,2	-		10,43463	121,2	-	
	0,0	134,6	-		9,06165	134,6	-	
	0,0	148,1	-		7,91593	148,1	-	
	0,0	161,5	-		7,02740	161,5	-	
	0,0	175,0	-		6,31822	175,0	-	
	0,0	188,5	-		5,55392	188,5	-	
	0,0	201,9	-		4,91918	201,9	-	
	0,0	215,4	-		4,41465	215,4	-	
	0,0	228,8	-		3,54993	228,8	-	
	0,0	242,3	-		2,56972	242,3	-	
	0,0	255,8	-		1,04983	255,8	-	
	0,0	269,2	-		0,0	269,2	-	
	0,0	282,7	-		0,0	282,7	-	
	0,0	309,6	-		0,0	309,6	-	
	0,0	323,1	-		0,0	323,1	-	
	0,0	336,5	-		0,0	336,5	-	
	0,0	350,0	-		0,0	350,0	-	
22:28:17	0,0	0,0	0,0	0,0	87,45213	0,0	218,630	25-46% 260-2,3%
	0,0	13,5	-		87,45213	13,5	-	
	0,0	26,9	-		74,45249	26,9	-	
	0,0	40,4	-		35,77587	40,4	-	
	0,0	53,8	-		29,30577	53,8	-	
	0,0	67,3	-		23,34527	67,3	-	

Time	DRT3-2 Current	DRT3-2 Bias Voltage	DRT3-2 Current Density	DRT3-2 Ion Energy	DRT3-1 Current	DRT3-1 Bias Voltage	DRT3-1 Current Density	DRT3-1 Ion Energy
hh:mm:ss	nA	V	nA/cm2	eV	nA	V	nA/cm2	eV
	0,0	80,8	-		19,13015	80,8	-	
	0,0	94,2	-		14,81044	94,2	-	
	0,0	107,7	-		11,97714	107,7	-	
	0,0	121,2	-		9,69980	121,2	-	
	0,0	134,6	-		8,71754	134,6	-	
	0,0	148,1	-		8,00797	148,1	-	
	0,0	161,5	-		6,81867	161,5	-	
	0,0	175,0	-		6,31822	175,0	-	
	0,0	188,5	-		5,59907	188,5	-	
	0,0	201,9	-		4,99048	201,9	-	
	0,0	215,4	-		4,25115	215,4	-	
	0,0	228,8	-		3,47821	228,8	-	
	0,0	242,3	-		2,49524	242,3	-	
	0,0	255,8	-		1,01277	255,8	-	
	0,0	269,2	-		0,0	269,2	-	
	0,0	282,7	-		0,0	282,7	-	
	0,0	309,6	-		0,0	309,6	-	
	0,0	323,1	-		0,0	323,1	-	
	0,0	336,5	-		0,0	336,5	-	
	0,0	350,0	-		0,0	350,0	-	
22:34:17	0,0	0,0	0,0	0,0	87,45213	0,0	218,630	25-50% 260-2,6%
	0,0	13,5	-		87,45213	13,5	-	
	0,0	26,9	-		74,45249	26,9	-	
	0,0	40,4	-		34,00916	40,4	-	
	0,0	53,8	-		27,00728	53,8	-	
	0,0	67,3	-		20,86926	67,3	-	
	0,0	80,8	-		16,59483	80,8	-	
	0,0	94,2	-		13,63734	94,2	-	
	0,0	107,7	-		11,87389	107,7	-	
	0,0	121,2	-		11,28993	121,2	-	
	0,0	134,6	-		11,10783	134,6	-	
	0,0	148,1	-		9,70000	148,1	-	
	0,0	161,5	-		8,70000	161,5	-	
	0,0	175,0	-		6,80000	175,0	-	
	0,0	188,5	-		6,30000	188,5	-	
	0,0	201,9	-		6,00000	201,9	-	
	0,0	215,4	-		5,30000	215,4	-	
	0,0	228,8	-		4,30000	228,8	-	
	0,0	242,3	-		3,30000	242,3	-	
	0,0	255,8	-		1,55109	255,8	-	
	0,0	269,2	-		0,0	269,2	-	
	0,0	282,7	-		0,0	282,7	-	
	0,0	309,6	-		0,0	309,6	-	
	0,0	323,1	-		0,0	323,1	-	
	0,0	336,5	-		0,0	336,5	-	
	0,0	350,0	-		0,0	350,0	-	
22:40:17	0,0	0,0	0,0	0,0	87,45213	0,0	218,630	25-46% 245-2,2%
	0,0	13,5	-		87,45213	13,5	-	
	0,0	26,9	-		72,49322	26,9	-	
	0,0	40,4	-		34,87015	40,4	-	
	0,0	53,8	-		28,69523	53,8	-	
	0,0	67,3	-		22,57985	67,3	-	
	0,0	80,8	-		18,36495	80,8	-	
	0,0	94,2	-		14,97143	94,2	-	
	0,0	107,7	-		12,40875	107,7	-	
	0,0	121,2	-		10,59516	121,2	-	
	0,0	134,6	-		9,30656	134,6	-	
	0,0	148,1	-		8,29742	148,1	-	
	0,0	161,5	-		7,40522	161,5	-	
	0,0	175,0	-		6,68627	175,0	-	

Time	DRT3-2 Current	DRT3-2 Bias Voltage	DRT3-2 Current Density	DRT3-2 Ion Energy	DRT3-1 Current	DRT3-1 Bias Voltage	DRT3-1 Current Density	DRT3-1 Ion Energy
hh:mm:ss	nA	V	nA/cm2	eV	nA	V	nA/cm2	eV
	0,0	188,5	-		6,14898	188,5	-	
	0,0	201,9	-		5,46576	201,9	-	
	0,0	215,4	-		4,71702	215,4	-	
	0,0	228,8	-		3,78399	228,8	-	
	0,0	242,3	-		2,69018	242,3	-	
	0,0	255,8	-		0,0	255,8	-	
	0,0	269,2	-		0,0	269,2	-	
	0,0	282,7	-		0,0	282,7	-	
	0,0	309,6	-		0,0	309,6	-	
	0,0	323,1	-		0,0	323,1	-	
	0,0	336,5	-		0,0	336,5	-	
	0,0	350,0	-		0,0	350,0	-	
22:46:17	0,0	0,0	0,0	0,0	88,86265	0,0	222,157	25-42% 260-2,2%
	0,0	13,5	-		88,86265	13,5	-	
	0,0	26,9	-		71,55175	26,9	-	
	0,0	40,4	-		35,31721	40,4	-	
	0,0	53,8	-		27,82568	53,8	-	
	0,0	67,3	-		22,57985	67,3	-	
	0,0	80,8	-		18,12330	80,8	-	
	0,0	94,2	-		14,81044	94,2	-	
	0,0	107,7	-		12,29796	107,7	-	
	0,0	121,2	-		10,12773	121,2	-	
	0,0	134,6	-		9,06165	134,6	-	
	0,0	148,1	-		7,82597	148,1	-	
	0,0	161,5	-		7,02740	161,5	-	
	0,0	175,0	-		6,20437	175,0	-	
	0,0	188,5	-		5,50948	188,5	-	
	0,0	201,9	-		5,13944	201,9	-	
	0,0	215,4	-		4,35877	215,4	-	
	0,0	228,8	-		3,62466	228,8	-	
	0,0	242,3	-		2,64879	242,3	-	
	0,0	255,8	-		1,11800	255,8	-	
	0,0	269,2	-		0,0	269,2	-	
	0,0	282,7	-		0,0	282,7	-	
	0,0	309,6	-		0,0	309,6	-	
	0,0	323,1	-		0,0	323,1	-	
	0,0	336,5	-		0,0	336,5	-	
	0,0	350,0	-		0,0	350,0	-	
22:52:17	0,0	0,0	0,0	0,0	88,86265	0,0	222,157	25-47% 260-2,2%
	0,0	13,5	-		88,86265	13,5	-	
	0,0	26,9	-		75,47239	26,9	-	
	0,0	40,4	-		36,72990	40,4	-	
	0,0	53,8	-		29,30577	53,8	-	
	0,0	67,3	-		22,57985	67,3	-	
	0,0	80,8	-		19,13015	80,8	-	
	0,0	94,2	-		15,30412	94,2	-	
	0,0	107,7	-		12,40875	107,7	-	
	0,0	121,2	-		10,59516	121,2	-	
	0,0	134,6	-		8,82930	134,6	-	
	0,0	148,1	-		7,91593	148,1	-	
	0,0	161,5	-		7,09985	161,5	-	
	0,0	175,0	-		6,37672	175,0	-	
	0,0	188,5	-		5,73905	188,5	-	
	0,0	201,9	-		5,13944	201,9	-	
	0,0	215,4	-		4,41465	215,4	-	
	0,0	228,8	-		3,62466	228,8	-	
	0,0	242,3	-		2,64879	242,3	-	
	0,0	255,8	-		1,22980	255,8	-	
	0,0	269,2	-		0,0	269,2	-	
	0,0	282,7	-		0,0	282,7	-	

Time	DRT3-2 Current	DRT3-2 Bias Voltage	DRT3-2 Current Density	DRT3-2 Ion Energy	DRT3-1 Current	DRT3-1 Bias Voltage	DRT3-1 Current Density	DRT3-1 Ion Energy
hh:mm:ss	nA	V	nA/cm2	eV	nA	V	nA/cm2	eV
	0,0	309,6	-		0,0	309,6	-	
	0,0	323,1	-		0,0	323,1	-	
	0,0	336,5	-		0,0	336,5	-	
	0,0	350,0	-		0,0	350,0	-	
22:58:17	0,0	0,0	0,0	0,0	0,0	0,0	0,0	0,0
	0,0	13,5	-		0,0	13,5	-	
	0,0	26,9	-		0,0	26,9	-	
	0,0	40,4	-		0,0	40,4	-	
	0,0	53,8	-		0,0	53,8	-	
	0,0	67,3	-		0,0	67,3	-	
	0,0	80,8	-		0,0	80,8	-	
	0,0	94,2	-		0,0	94,2	-	
	0,0	107,7	-		0,0	107,7	-	
	0,0	121,2	-		0,0	121,2	-	
	0,0	134,6	-		0,0	134,6	-	
	0,0	148,1	-		0,0	148,1	-	
	0,0	161,5	-		0,0	161,5	-	
	0,0	175,0	-		0,0	175,0	-	
	0,0	188,5	-		0,0	188,5	-	
	0,0	201,9	-		0,0	201,9	-	
	0,0	215,4	-		0,0	215,4	-	
	0,0	228,8	-		0,0	228,8	-	
	0,0	242,3	-		0,0	242,3	-	
	0,0	255,8	-		0,0	255,8	-	
	0,0	269,2	-		0,0	269,2	-	
	0,0	282,7	-		0,0	282,7	-	
	0,0	309,6	-		0,0	309,6	-	
	0,0	323,1	-		0,0	323,1	-	
	0,0	336,5	-		0,0	336,5	-	
	0,0	350,0	-		0,0	350,0	-	

Annex 70. Information from B-type sensors at work T4C1 for 02/07/00

Time of thruster Start-Up - 23:02:43

Time of thruster Switching Off - 00:32:43

Time	DRT3-2 Current	DRT3-2 Bias Voltage	DRT3-2 Current Density	DRT3-2 Ion Energy	DRT3-1 Current	DRT3-1 Bias Voltage	DRT3-1 Current Density	DRT3-1 Ion Energy
hh:mm:ss	nA	V	nA/cm2	eV	nA	V	nA/cm2	eV
22:58:17	0,0	0,0	0,0	0,0	0,0	0,0	0,0	0,0
	0,0	13,5	-		0,0	13,5	-	
	0,0	26,9	-		0,0	26,9	-	
	0,0	40,4	-		0,0	40,4	-	
	0,0	53,8	-		0,0	53,8	-	
	0,0	67,3	-		0,0	67,3	-	
	0,0	80,8	-		0,0	80,8	-	
	0,0	94,2	-		0,0	94,2	-	
	0,0	107,7	-		0,0	107,7	-	
	0,0	121,2	-		0,0	121,2	-	
	0,0	134,6	-		0,0	134,6	-	
	0,0	148,1	-		0,0	148,1	-	
	0,0	161,5	-		0,0	161,5	-	
	0,0	175,0	-		0,0	175,0	-	
	0,0	188,5	-		0,0	188,5	-	
	0,0	201,9	-		0,0	201,9	-	
	0,0	215,4	-		0,0	215,4	-	
	0,0	228,8	-		0,0	228,8	-	
	0,0	242,3	-		0,0	242,3	-	
	0,0	255,8	-		0,0	255,8	-	
	0,0	269,2	-		0,0	269,2	-	
	0,0	282,7	-		0,0	282,7	-	
	0,0	309,6	-		0,0	309,6	-	
	0,0	323,1	-		0,0	323,1	-	
	0,0	336,5	-		0,0	336,5	-	
	0,0	350,0	-		0,0	350,0	-	
23:04:17	0,0	0,0	0,0	0,0	77,59837	0,0	193,996	16-25% 245-3%
	0,0	13,5	-		77,59837	13,5	-	
	0,0	26,9	-		36,72990	26,9	-	
	0,0	40,4	-		27,82568	40,4	-	
	0,0	53,8	-		22,76646	53,8	-	
	0,0	67,3	-		19,39959	67,3	-	
	0,0	80,8	-		16,79721	80,8	-	
	0,0	94,2	-		14,65288	94,2	-	
	0,0	107,7	-		11,97714	107,7	-	
	0,0	121,2	-		10,27889	121,2	-	
	0,0	134,6	-		9,30656	134,6	-	
	0,0	148,1	-		8,94397	148,1	-	
	0,0	161,5	-		8,19864	161,5	-	
	0,0	175,0	-		7,65206	175,0	-	
	0,0	188,5	-		7,02740	188,5	-	
	0,0	201,9	-		6,20437	201,9	-	
	0,0	215,4	-		5,13944	215,4	-	
	0,0	228,8	-		3,82603	228,8	-	
	0,0	242,3	-		1,97898	242,3	-	
	0,0	255,8	-		0,0	255,8	-	
	0,0	269,2	-		0,0	269,2	-	
	0,0	282,7	-		0,0	282,7	-	
	0,0	309,6	-		0,0	309,6	-	
	0,0	323,1	-		0,0	323,1	-	
	0,0	336,5	-		0,0	336,5	-	
	0,0	350,0	-		0,0	350,0	-	

Time	DRT3-2 Current	DRT3-2 Bias Voltage	DRT3-2 Current Density	DRT3-2 Ion Energy	DRT3-1 Current	DRT3-1 Bias Voltage	DRT3-1 Current Density	DRT3-1 Ion Energy
hh:mm:ss	nA	V	nA/cm2	eV	nA	V	nA/cm2	eV
23:10:17	0,0	0,0	0,0	0,0	36,72990	0,0	91,825	16-27% 245-3,5%
	0,0	13,5	-		36,72990	13,5	-	
	0,0	26,9	-		27,27468	26,9	-	
	0,0	40,4	-		21,69088	40,4	-	
	0,0	53,8	-		17,43508	53,8	-	
	0,0	67,3	-		14,05481	67,3	-	
	0,0	80,8	-		11,47809	80,8	-	
	0,0	94,2	-		9,69980	94,2	-	
	0,0	107,7	-		8,39860	107,7	-	
	0,0	121,2	-		7,65206	121,2	-	
	0,0	134,6	-		7,02740	134,6	-	
	0,0	148,1	-		6,43631	148,1	-	
	0,0	161,5	-		5,98857	161,5	-	
	0,0	175,0	-		5,50948	175,0	-	
	0,0	188,5	-		4,99048	188,5	-	
	0,0	201,9	-		4,47198	201,9	-	
	0,0	215,4	-		3,70261	215,4	-	
	0,0	228,8	-		2,73288	228,8	-	
	0,0	242,3	-		1,35568	242,3	-	
	0,0	255,8	-		0,0	255,8	-	
	0,0	269,2	-		0,0	269,2	-	
	0,0	282,7	-		0,0	282,7	-	
	0,0	309,6	-		0,0	309,6	-	
	0,0	323,1	-		0,0	323,1	-	
	0,0	336,5	-		0,0	336,5	-	
	0,0	350,0	-		0,0	350,0	-	
23:16:17	0,0	0,0	0,0	0,0	33,59442	0,0	83,986	16-27% 245-3,5%
	0,0	13,5	-		33,59442	13,5	-	
	0,0	26,9	-		25,04311	26,9	-	
	0,0	40,4	-		20,25546	40,4	-	
	0,0	53,8	-		16,01594	53,8	-	
	0,0	67,3	-		12,99407	67,3	-	
	0,0	80,8	-		10,76071	80,8	-	
	0,0	94,2	-		8,94397	94,2	-	
	0,0	107,7	-		7,56797	107,7	-	
	0,0	121,2	-		6,75182	121,2	-	
	0,0	134,6	-		6,04110	134,6	-	
	0,0	148,1	-		5,59907	148,1	-	
	0,0	161,5	-		5,21732	161,5	-	
	0,0	175,0	-		4,78254	175,0	-	
	0,0	188,5	-		4,30429	188,5	-	
	0,0	201,9	-		3,74286	201,9	-	
	0,0	215,4	-		3,13039	215,4	-	
	0,0	228,8	-		2,29562	228,8	-	
	0,0	242,3	-		1,10366	242,3	-	
	0,0	255,8	-		0,0	255,8	-	
	0,0	269,2	-		0,0	269,2	-	
	0,0	282,7	-		0,0	282,7	-	
	0,0	309,6	-		0,0	309,6	-	
	0,0	323,1	-		0,0	323,1	-	
	0,0	336,5	-		0,0	336,5	-	
	0,0	350,0	-		0,0	350,0	-	
23:22:17	0,0	0,0	0,0	0,0	34,00916	0,0	85,023	16-27% 245-3,5%
	0,0	13,5	-		34,00916	13,5	-	
	0,0	26,9	-		25,27286	26,9	-	
	0,0	40,4	-		20,86926	40,4	-	
	0,0	53,8	-		16,39728	53,8	-	
	0,0	67,3	-		13,11782	67,3	-	
	0,0	80,8	-		10,76071	80,8	-	
	0,0	94,2	-		8,71754	94,2	-	

Time	DRT3-2 Current	DRT3-2 Bias Voltage	DRT3-2 Current Density	DRT3-2 Ion Energy	DRT3-1 Current	DRT3-1 Bias Voltage	DRT3-1 Current Density	DRT3-1 Ion Energy
hh:mm:ss	nA	V	nA/cm2	eV	nA	V	nA/cm2	eV
	0,0	107,7	-		7,40522	107,7	-	
	0,0	121,2	-		6,62198	121,2	-	
	0,0	134,6	-		5,98857	134,6	-	
	0,0	148,1	-		5,42272	148,1	-	
	0,0	161,5	-		5,06386	161,5	-	
	0,0	175,0	-		4,59124	175,0	-	
	0,0	188,5	-		4,14871	188,5	-	
	0,0	201,9	-		3,66322	201,9	-	
	0,0	215,4	-		3,04728	215,4	-	
	0,0	228,8	-		2,20733	228,8	-	
	0,0	242,3	-		1,06279	242,3	-	
	0,0	255,8	-		0,0	255,8	-	
	0,0	269,2	-		0,0	269,2	-	
	0,0	282,7	-		0,0	282,7	-	
	0,0	309,6	-		0,0	309,6	-	
	0,0	323,1	-		0,0	323,1	-	
	0,0	336,5	-		0,0	336,5	-	
	0,0	350,0	-		0,0	350,0	-	
23:28:17	0,0	0,0	0,0	0,0	35,77587	0,0	89,440	16-24,7% 245-3,5%
	0,0	13,5	-		35,77587	13,5	-	
	0,0	26,9	-		27,27468	26,9	-	
	0,0	40,4	-		21,52142	40,4	-	
	0,0	53,8	-		17,43508	53,8	-	
	0,0	67,3	-		14,05481	67,3	-	
	0,0	80,8	-		11,10783	80,8	-	
	0,0	94,2	-		9,30656	94,2	-	
	0,0	107,7	-		7,91593	107,7	-	
	0,0	121,2	-		6,88686	121,2	-	
	0,0	134,6	-		6,37672	134,6	-	
	0,0	148,1	-		5,73905	148,1	-	
	0,0	161,5	-		5,29758	161,5	-	
	0,0	175,0	-		4,78254	175,0	-	
	0,0	188,5	-		4,35877	188,5	-	
	0,0	201,9	-		3,82603	201,9	-	
	0,0	215,4	-		3,15911	215,4	-	
	0,0	228,8	-		2,29562	228,8	-	
	0,0	242,3	-		1,11800	242,3	-	
	0,0	255,8	-		0,0	255,8	-	
	0,0	269,2	-		0,0	269,2	-	
	0,0	282,7	-		0,0	282,7	-	
	0,0	309,6	-		0,0	309,6	-	
	0,0	323,1	-		0,0	323,1	-	
	0,0	336,5	-		0,0	336,5	-	
	0,0	350,0	-		0,0	350,0	-	
23:34:17	0,0	0,0	0,0	0,0	33,18967	0,0	82,974	16-26% 245-3,5%
	0,0	13,5	-		33,18967	13,5	-	
	0,0	26,9	-		24,81750	26,9	-	
	0,0	40,4	-		20,55778	40,4	-	
	0,0	53,8	-		16,20437	53,8	-	
	0,0	67,3	-		12,99407	67,3	-	
	0,0	80,8	-		10,43463	80,8	-	
	0,0	94,2	-		8,50229	94,2	-	
	0,0	107,7	-		7,09985	107,7	-	
	0,0	121,2	-		6,37672	121,2	-	
	0,0	134,6	-		5,73905	134,6	-	
	0,0	148,1	-		5,21732	148,1	-	
	0,0	161,5	-		4,78254	161,5	-	
	0,0	175,0	-		4,41465	175,0	-	
	0,0	188,5	-		4,05109	188,5	-	
	0,0	201,9	-		3,51370	201,9	-	

Time	DRT3-2 Current	DRT3-2 Bias Voltage	DRT3-2 Current Density	DRT3-2 Ion Energy	DRT3-1 Current	DRT3-1 Bias Voltage	DRT3-1 Current Density	DRT3-1 Ion Energy
hh:mm:ss	nA	V	nA/cm2	eV	nA	V	nA/cm2	eV
	0,0	215,4	-		2,89364	215,4	-	
	0,0	228,8	-		2,09965	228,8	-	
	0,0	242,3	-		0,98949	242,3	-	
	0,0	255,8	-		0,0	255,8	-	
	0,0	269,2	-		0,0	269,2	-	
	0,0	282,7	-		0,0	282,7	-	
	0,0	309,6	-		0,0	309,6	-	
	0,0	323,1	-		0,0	323,1	-	
	0,0	336,5	-		0,0	336,5	-	
	0,0	350,0	-		0,0	350,0	-	
23:40:17	0,0	0,0	0,0	0,0	35,77587	0,0	89,440	16-25% 245-3,5%
	0,0	13,5	-		35,77587	13,5	-	
	0,0	26,9	-		27,27468	26,9	-	
	0,0	40,4	-		21,19033	40,4	-	
	0,0	53,8	-		17,00458	53,8	-	
	0,0	67,3	-		13,63734	67,3	-	
	0,0	80,8	-		10,93152	80,8	-	
	0,0	94,2	-		9,06165	94,2	-	
	0,0	107,7	-		7,65206	107,7	-	
	0,0	121,2	-		6,88686	121,2	-	
	0,0	134,6	-		6,20437	134,6	-	
	0,0	148,1	-		5,69162	148,1	-	
	0,0	161,5	-		5,21732	161,5	-	
	0,0	175,0	-		4,78254	175,0	-	
	0,0	188,5	-		4,25115	188,5	-	
	0,0	201,9	-		3,66322	201,9	-	
	0,0	215,4	-		3,10219	215,4	-	
	0,0	228,8	-		2,23599	228,8	-	
	0,0	242,3	-		1,04983	242,3	-	
	0,0	255,8	-		0,0	255,8	-	
	0,0	269,2	-		0,0	269,2	-	
	0,0	282,7	-		0,0	282,7	-	
	0,0	309,6	-		0,0	309,6	-	
	0,0	323,1	-		0,0	323,1	-	
	0,0	336,5	-		0,0	336,5	-	
	0,0	350,0	-		0,0	350,0	-	
23:46:17	0,0	0,0	0,0	0,0	35,77587	0,0	89,440	16-24% 245-3,5%
	0,0	13,5	-		35,77587	13,5	-	
	0,0	26,9	-		27,54742	26,9	-	
	0,0	40,4	-		21,69088	40,4	-	
	0,0	53,8	-		17,21714	53,8	-	
	0,0	67,3	-		13,77371	67,3	-	
	0,0	80,8	-		11,01897	80,8	-	
	0,0	94,2	-		8,94397	94,2	-	
	0,0	107,7	-		7,82597	107,7	-	
	0,0	121,2	-		6,81867	121,2	-	
	0,0	134,6	-		6,20437	134,6	-	
	0,0	148,1	-		5,69162	148,1	-	
	0,0	161,5	-		5,21732	161,5	-	
	0,0	175,0	-		4,71702	175,0	-	
	0,0	188,5	-		4,30429	188,5	-	
	0,0	201,9	-		3,74286	201,9	-	
	0,0	215,4	-		3,10219	215,4	-	
	0,0	228,8	-		2,29562	228,8	-	
	0,0	242,3	-		1,14781	242,3	-	
	0,0	255,8	-		0,0	255,8	-	
	0,0	269,2	-		0,0	269,2	-	
	0,0	282,7	-		0,0	282,7	-	
	0,0	309,6	-		0,0	309,6	-	
	0,0	323,1	-		0,0	323,1	-	

Time	DRT3-2 Current	DRT3-2 Bias Voltage	DRT3-2 Current Density	DRT3-2 Ion Energy	DRT3-1 Current	DRT3-1 Bias Voltage	DRT3-1 Current Density	DRT3-1 Ion Energy
hh:mm:ss	nA	V	nA/cm2	eV	nA	V	nA/cm2	eV
23:52:17	0,0	336,5	-	0,0	0,0	336,5	-	16-22% 245-4%
	0,0	350,0	-		0,0	350,0	-	
	0,0	0,0	0,0		33,18967	0,0	82,974	
	0,0	13,5	-		33,18967	13,5	-	
	0,0	26,9	-		26,23564	26,9	-	
	0,0	40,4	-		21,19033	40,4	-	
	0,0	53,8	-		16,39728	53,8	-	
	0,0	67,3	-		13,11782	67,3	-	
	0,0	80,8	-		10,59516	80,8	-	
	0,0	94,2	-		8,71754	94,2	-	
	0,0	107,7	-		7,32644	107,7	-	
	0,0	121,2	-		6,43631	121,2	-	
	0,0	134,6	-		5,78727	134,6	-	
	0,0	148,1	-		5,42272	148,1	-	
	0,0	161,5	-		4,91918	161,5	-	
	0,0	175,0	-		4,59124	175,0	-	
	0,0	188,5	-		4,05109	188,5	-	
	0,0	201,9	-		3,58690	201,9	-	
	0,0	215,4	-		3,02055	215,4	-	
	0,0	228,8	-		2,35851	228,8	-	
	0,0	242,3	-		1,26597	242,3	-	
	0,0	255,8	-		0,0	255,8	-	
	0,0	269,2	-		0,0	269,2	-	
	0,0	282,7	-		0,0	282,7	-	
	0,0	309,6	-		0,0	309,6	-	
	0,0	323,1	-		0,0	323,1	-	
	0,0	336,5	-		0,0	336,5	-	
	0,0	350,0	-		0,0	350,0	-	
23:58:17	0,0	0,0	0,0	0,0	35,77587	0,0	89,440	16-22% 245-4,2%
	0,0	13,5	-		35,77587	13,5	-	
	0,0	26,9	-		28,39940	26,9	-	
	0,0	40,4	-		22,57985	40,4	-	
	0,0	53,8	-		18,12330	53,8	-	
	0,0	67,3	-		14,65288	67,3	-	
	0,0	80,8	-		11,57455	80,8	-	
	0,0	94,2	-		9,18247	94,2	-	
	0,0	107,7	-		8,00797	107,7	-	
	0,0	121,2	-		6,88686	121,2	-	
	0,0	134,6	-		6,20437	134,6	-	
	0,0	148,1	-		5,78727	148,1	-	
	0,0	161,5	-		5,21732	161,5	-	
	0,0	175,0	-		4,91918	175,0	-	
	0,0	188,5	-		4,41465	188,5	-	
	0,0	201,9	-		3,91299	201,9	-	
	0,0	215,4	-		3,31099	215,4	-	
	0,0	228,8	-		2,49524	228,8	-	
	0,0	242,3	-		1,37737	242,3	-	
	0,0	255,8	-		0,0	255,8	-	
	0,0	269,2	-		0,0	269,2	-	
	0,0	282,7	-		0,0	282,7	-	
	0,0	309,6	-		0,0	309,6	-	
	0,0	323,1	-		0,0	323,1	-	
	0,0	336,5	-		0,0	336,5	-	
	0,0	350,0	-		0,0	350,0	-	
00:04:17	0,0	0,0	0,0	0,0	36,24661	0,0	90,617	16-22% 245-4,4%
	0,0	13,5	-		36,24661	13,5	-	
	0,0	26,9	-		28,69523	26,9	-	
	0,0	40,4	-		22,57985	40,4	-	
	0,0	53,8	-		17,88794	53,8	-	
	0,0	67,3	-		14,49864	67,3	-	

Time	DRT3-2 Current	DRT3-2 Bias Voltage	DRT3-2 Current Density	DRT3-2 Ion Energy	DRT3-1 Current	DRT3-1 Bias Voltage	DRT3-1 Current Density	DRT3-1 Ion Energy
hh:mm:ss	nA	V	nA/cm2	eV	nA	V	nA/cm2	eV
	0,0	80,8	-		11,57455	80,8	-	
	0,0	94,2	-		9,43405	94,2	-	
	0,0	107,7	-		7,82597	107,7	-	
	0,0	121,2	-		6,95642	121,2	-	
	0,0	134,6	-		6,31822	134,6	-	
	0,0	148,1	-		5,83632	148,1	-	
	0,0	161,5	-		5,29758	161,5	-	
	0,0	175,0	-		4,91918	175,0	-	
	0,0	188,5	-		4,47198	188,5	-	
	0,0	201,9	-		3,91299	201,9	-	
	0,0	215,4	-		3,27946	215,4	-	
	0,0	228,8	-		2,49524	228,8	-	
	0,0	242,3	-		1,37737	242,3	-	
	0,0	255,8	-		0,0	255,8	-	
	0,0	269,2	-		0,0	269,2	-	
	0,0	282,7	-		0,0	282,7	-	
	0,0	309,6	-		0,0	309,6	-	
	0,0	323,1	-		0,0	323,1	-	
	0,0	336,5	-		0,0	336,5	-	
	0,0	350,0	-		0,0	350,0	-	
00:10:17	0,0	0,0	0,0	0,0	35,24661	0,0	88,117	16-21% 245-4,2%
	0,0	13,5	-		35,24661	13,5	-	
	0,0	26,9	-		27,69523	26,9	-	
	0,0	40,4	-		22,57985	40,4	-	
	0,0	53,8	-		17,88894	53,8	-	
	0,0	67,3	-		13,49864	67,3	-	
	0,0	80,8	-		12,57455	80,8	-	
	0,0	94,2	-		10,43405	94,2	-	
	0,0	107,7	-		8,82597	107,7	-	
	0,0	121,2	-		7,95642	121,2	-	
	0,0	134,6	-		6,31822	134,6	-	
	0,0	148,1	-		5,69632	148,1	-	
	0,0	161,5	-		5,29758	161,5	-	
	0,0	175,0	-		4,91918	175,0	-	
	0,0	188,5	-		4,11198	188,5	-	
	0,0	201,9	-		3,61299	201,9	-	
	0,0	215,4	-		3,27946	215,4	-	
	0,0	228,8	-		2,49524	228,8	-	
	0,0	242,3	-		1,37737	242,3	-	
	0,0	255,8	-		0,0	255,8	-	
	0,0	269,2	-		0,0	269,2	-	
	0,0	282,7	-		0,0	282,7	-	
	0,0	309,6	-		0,0	309,6	-	
	0,0	323,1	-		0,0	323,1	-	
	0,0	336,5	-		0,0	336,5	-	
	0,0	350,0	-		0,0	350,0	-	
00:16:17	0,0	0,0	0,0	0,0	33,59442	0,0	83,986	16-22% 245-4,4%
	0,0	13,5	-		33,59442	13,5	-	
	0,0	26,9	-		26,04311	26,9	-	
	0,0	40,4	-		23,25546	40,4	-	
	0,0	53,8	-		20,01594	53,8	-	
	0,0	67,3	-		17,99407	67,3	-	
	0,0	80,8	-		12,76071	80,8	-	
	0,0	94,2	-		10,94397	94,2	-	
	0,0	107,7	-		9,56797	107,7	-	
	0,0	121,2	-		7,75182	121,2	-	
	0,0	134,6	-		7,04110	134,6	-	
	0,0	148,1	-		6,59907	148,1	-	
	0,0	161,5	-		6,21732	161,5	-	
	0,0	175,0	-		5,78254	175,0	-	

Time	DRT3-2 Current	DRT3-2 Bias Voltage	DRT3-2 Current Density	DRT3-2 Ion Energy	DRT3-1 Current	DRT3-1 Bias Voltage	DRT3-1 Current Density	DRT3-1 Ion Energy
hh:mm:ss	nA	V	nA/cm2	eV	nA	V	nA/cm2	eV
	0,0	188,5	-		4,30429	188,5	-	
	0,0	201,9	-		3,24286	201,9	-	
	0,0	215,4	-		3,13039	215,4	-	
	0,0	228,8	-		2,29562	228,8	-	
	0,0	242,3	-		1,00366	242,3	-	
	0,0	255,8	-		0,0	255,8	-	
	0,0	269,2	-		0,0	269,2	-	
	0,0	282,7	-		0,0	282,7	-	
	0,0	309,6	-		0,0	309,6	-	
	0,0	323,1	-		0,0	323,1	-	
	0,0	336,5	-		0,0	336,5	-	
	0,0	350,0	-		0,0	350,0	-	
00:22:17	0,0	0,0	0,0	0,0	34,77587	0,0	86,940	16-20% 245-4,5%
	0,0	13,5	-		34,77587	13,5	-	
	0,0	26,9	-		28,27468	26,9	-	
	0,0	40,4	-		23,52142	40,4	-	
	0,0	53,8	-		19,43508	53,8	-	
	0,0	67,3	-		15,05481	67,3	-	
	0,0	80,8	-		12,10783	80,8	-	
	0,0	94,2	-		10,30656	94,2	-	
	0,0	107,7	-		8,91593	107,7	-	
	0,0	121,2	-		7,88686	121,2	-	
	0,0	134,6	-		6,37672	134,6	-	
	0,0	148,1	-		5,73905	148,1	-	
	0,0	161,5	-		5,29758	161,5	-	
	0,0	175,0	-		4,78254	175,0	-	
	0,0	188,5	-		4,35877	188,5	-	
	0,0	201,9	-		3,82603	201,9	-	
	0,0	215,4	-		3,15911	215,4	-	
	0,0	228,8	-		2,29562	228,8	-	
	0,0	242,3	-		1,11800	242,3	-	
	0,0	255,8	-		0,0	255,8	-	
	0,0	269,2	-		0,0	269,2	-	
	0,0	282,7	-		0,0	282,7	-	
	0,0	309,6	-		0,0	309,6	-	
	0,0	323,1	-		0,0	323,1	-	
	0,0	336,5	-		0,0	336,5	-	
	0,0	350,0	-		0,0	350,0	-	
00:28:17	0,0	0,0	0,0	0,0	33,18967	0,0	82,974	16-19% 245-4,0%
	0,0	13,5	-		33,18967	13,5	-	
	0,0	26,9	-		24,81750	26,9	-	
	0,0	40,4	-		20,55778	40,4	-	
	0,0	53,8	-		16,20437	53,8	-	
	0,0	67,3	-		12,99407	67,3	-	
	0,0	80,8	-		10,43463	80,8	-	
	0,0	94,2	-		8,50229	94,2	-	
	0,0	107,7	-		7,09985	107,7	-	
	0,0	121,2	-		6,37672	121,2	-	
	0,0	134,6	-		5,73905	134,6	-	
	0,0	148,1	-		5,21732	148,1	-	
	0,0	161,5	-		4,78254	161,5	-	
	0,0	175,0	-		4,41465	175,0	-	
	0,0	188,5	-		4,05109	188,5	-	
	0,0	201,9	-		3,51370	201,9	-	
	0,0	215,4	-		2,89364	215,4	-	
	0,0	228,8	-		2,09965	228,8	-	
	0,0	242,3	-		0,98949	242,3	-	
	0,0	255,8	-		0,0	255,8	-	
	0,0	269,2	-		0,0	269,2	-	
	0,0	282,7	-		0,0	282,7	-	

Time	DRT3-2 Current	DRT3-2 Bias Voltage	DRT3-2 Current Density	DRT3-2 Ion Energy	DRT3-1 Current	DRT3-1 Bias Voltage	DRT3-1 Current Density	DRT3-1 Ion Energy
hh:mm:ss	nA	V	nA/cm2	eV	nA	V	nA/cm2	eV
	0,0	309,6	-		0,0	309,6	-	
	0,0	323,1	-		0,0	323,1	-	
	0,0	336,5	-		0,0	336,5	-	
	0,0	350,0	-		0,0	350,0	-	
00:34:17	0,0	0,0	0,0	0,0	0,0	0,0	0,0	0,0
	0,0	13,5	-		0,0	13,5	-	
	0,0	26,9	-		0,0	26,9	-	
	0,0	40,4	-		0,0	40,4	-	
	0,0	53,8	-		0,0	53,8	-	
	0,0	67,3	-		0,0	67,3	-	
	0,0	80,8	-		0,0	80,8	-	
	0,0	94,2	-		0,0	94,2	-	
	0,0	107,7	-		0,0	107,7	-	
	0,0	121,2	-		0,0	121,2	-	
	0,0	134,6	-		0,0	134,6	-	
	0,0	148,1	-		0,0	148,1	-	
	0,0	161,5	-		0,0	161,5	-	
	0,0	175,0	-		0,0	175,0	-	
	0,0	188,5	-		0,0	188,5	-	
	0,0	201,9	-		0,0	201,9	-	
	0,0	215,4	-		0,0	215,4	-	
	0,0	228,8	-		0,0	228,8	-	
	0,0	242,3	-		0,0	242,3	-	
	0,0	255,8	-		0,0	255,8	-	
	0,0	269,2	-		0,0	269,2	-	
	0,0	282,7	-		0,0	282,7	-	
	0,0	309,6	-		0,0	309,6	-	
	0,0	323,1	-		0,0	323,1	-	
	0,0	336,5	-		0,0	336,5	-	
	0,0	350,0	-		0,0	350,0	-	

Annex 71. Information from B-type sensors at work T4C1 for 06/07/00

Time of thruster Start-Up - 06:19:43

Time of thruster Switching Off - 06:34:43

Time	DRT3-2 Current	DRT3-2 Bias Voltage	DRT3-2 Current Density	DRT3-2 Ion Energy	DRT3-1 Current	DRT3-1 Bias Voltage	DRT3-1 Current Density	DRT3-1 Ion Energy
hh:mm:ss	nA	V	nA/cm2	eV	nA	V	nA/cm2	eV
06:16:10	0,0	0,0	0,0	0,0	0,0	0,0	0,0	0,0
	0,0	13,5	-		0,0	13,5	-	
	0,0	26,9	-		0,0	26,9	-	
	0,0	40,4	-		0,0	40,4	-	
	0,0	53,8	-		0,0	53,8	-	
	0,0	67,3	-		0,0	67,3	-	
	0,0	80,8	-		0,0	80,8	-	
	0,0	94,2	-		0,0	94,2	-	
	0,0	107,7	-		0,0	107,7	-	
	0,0	121,2	-		0,0	121,2	-	
	0,0	134,6	-		0,0	134,6	-	
	0,0	148,1	-		0,0	148,1	-	
	0,0	161,5	-		0,0	161,5	-	
	0,0	175,0	-		0,0	175,0	-	
	0,0	188,5	-		0,0	188,5	-	
	0,0	201,9	-		0,0	201,9	-	
	0,0	215,4	-		0,0	215,4	-	
	0,0	228,8	-		0,0	228,8	-	
	0,0	242,3	-		0,0	242,3	-	
	0,0	255,8	-		0,0	255,8	-	
	0,0	269,2	-		0,0	269,2	-	
	0,0	282,7	-		0,0	282,7	-	
	0,0	309,6	-		0,0	309,6	-	
	0,0	323,1	-		0,0	323,1	-	
	0,0	336,5	-		0,0	336,5	-	
	0,0	350,0	-		0,0	350,0	-	
06:22:10	0,0	0,0	0,0	0,0	95,81712	0,0	239,543	52,5 – 36% 270 – 4%
	0,0	13,5	-		95,81712	13,5	-	
	0,0	26,9	-		88,15175	26,9	-	
	0,0	40,4	-		76,52062	40,4	-	
	0,0	53,8	-		69,74031	53,8	-	
	0,0	67,3	-		36,72990	67,3	-	
	0,0	80,8	-		35,77587	80,8	-	
	0,0	94,2	-		35,77587	94,2	-	
	0,0	107,7	-		31,66370	107,7	-	
	0,0	121,2	-		30,95216	121,2	-	
	0,0	134,6	-		29,94285	134,6	-	
	0,0	148,1	-		27,00728	148,1	-	
	0,0	161,5	-		26,23564	161,5	-	
	0,0	175,0	-		23,74778	175,0	-	
	0,0	188,5	-		21,52142	188,5	-	
	0,0	201,9	-		20,25546	201,9	-	
	0,0	215,4	-		16,39728	215,4	-	
	0,0	228,8	-		12,75344	228,8	-	
	0,0	242,3	-		9,43405	242,3	-	
	0,0	255,8	-		5,29758	255,8	-	
	0,0	269,2	-		1,89199	269,2	-	
	0,0	282,7	-		0,0	282,7	-	
	0,0	309,6	-		0,0	309,6	-	
	0,0	323,1	-		0,0	323,1	-	
	0,0	336,5	-		0,0	336,5	-	
	0,0	350,0	-		0,0	350,0	-	

Time	DRT3-2 Current	DRT3-2 Bias Voltage	DRT3-2 Current Density	DRT3-2 Ion Energy	DRT3-1 Current	DRT3-1 Bias Voltage	DRT3-1 Current Density	DRT3-1 Ion Energy
hh:mm:ss	nA	V	nA/cm2	eV	nA	V	nA/cm2	eV
06:28:10	0,0	0,0	0,0	0,0	38,26031	0,0	95,651	17 – 20% 245 – 4,2%
	0,0	13,5	-		38,26031	13,5	-	
	0,0	26,9	-		30,95216	26,9	-	
	0,0	40,4	-		24,16441	40,4	-	
	0,0	53,8	-		18,86810	53,8	-	
	0,0	67,3	-		15,30412	67,3	-	
	0,0	80,8	-		11,97714	80,8	-	
	0,0	94,2	-		10,27889	94,2	-	
	0,0	107,7	-		9,06165	107,7	-	
	0,0	121,2	-		8,19864	121,2	-	
	0,0	134,6	-		7,56797	134,6	-	
	0,0	148,1	-		6,88686	148,1	-	
	0,0	161,5	-		6,26078	161,5	-	
	0,0	175,0	-		5,98857	175,0	-	
	0,0	188,5	-		5,42272	188,5	-	
	0,0	201,9	-		4,91918	201,9	-	
	0,0	215,4	-		4,09932	215,4	-	
	0,0	228,8	-		3,31099	228,8	-	
	0,0	242,3	-		2,09965	242,3	-	
	0,0	255,8	-		0,0	255,8	-	
	0,0	269,2	-		0,0	269,2	-	
	0,0	282,7	-		0,0	282,7	-	
	0,0	309,6	-		0,0	309,6	-	
	0,0	323,1	-		0,0	323,1	-	
	0,0	336,5	-		0,0	336,5	-	
	0,0	350,0	-		0,0	350,0	-	
06:34:10	0,0	0,0	0,0	0,0	34,00916	0,0	85,023	17 – 26% 227 – 4,1%
	0,0	13,5	-		34,00916	13,5	-	
	0,0	26,9	-		25,27286	26,9	-	
	0,0	40,4	-		20,86926	40,4	-	
	0,0	53,8	-		16,20437	53,8	-	
	0,0	67,3	-		12,99407	67,3	-	
	0,0	80,8	-		10,59516	80,8	-	
	0,0	94,2	-		8,50229	94,2	-	
	0,0	107,7	-		7,40522	107,7	-	
	0,0	121,2	-		6,81867	121,2	-	
	0,0	134,6	-		6,26078	134,6	-	
	0,0	148,1	-		5,64496	148,1	-	
	0,0	161,5	-		5,29758	161,5	-	
	0,0	175,0	-		4,84990	175,0	-	
	0,0	188,5	-		4,30429	188,5	-	
	0,0	201,9	-		3,82603	201,9	-	
	0,0	215,4	-		3,18836	215,4	-	
	0,0	228,8	-		0,0	228,8	-	
	0,0	242,3	-		0,0	242,3	-	
	0,0	255,8	-		0,0	255,8	-	
	0,0	269,2	-		0,0	269,2	-	
	0,0	282,7	-		0,0	282,7	-	
	0,0	309,6	-		0,0	309,6	-	
	0,0	323,1	-		0,0	323,1	-	
	0,0	336,5	-		0,0	336,5	-	
	0,0	350,0	-		0,0	350,0	-	
06:40:10	0,0	0,0	0,0	0,0	0,0	0,0	0,0	0,0
	0,0	13,5	-		0,0	13,5	-	
	0,0	26,9	-		0,0	26,9	-	
	0,0	40,4	-		0,0	40,4	-	
	0,0	53,8	-		0,0	53,8	-	
	0,0	67,3	-		0,0	67,3	-	
	0,0	80,8	-		0,0	80,8	-	
	0,0	94,2	-		0,0	94,2	-	

Time	DRT3-2 Current	DRT3-2 Bias Voltage	DRT3-2 Current Density	DRT3-2 Ion Energy	DRT3-1 Current	DRT3-1 Bias Voltage	DRT3-1 Current Density	DRT3-1 Ion Energy
hh:mm:ss	nA	V	nA/cm2	eV	nA	V	nA/cm2	eV
	0,0	107,7	-		0,0	107,7	-	
	0,0	121,2	-		0,0	121,2	-	
	0,0	134,6	-		0,0	134,6	-	
	0,0	148,1	-		0,0	148,1	-	
	0,0	161,5	-		0,0	161,5	-	
	0,0	175,0	-		0,0	175,0	-	
	0,0	188,5	-		0,0	188,5	-	
	0,0	201,9	-		0,0	201,9	-	
	0,0	215,4	-		0,0	215,4	-	
	0,0	228,8	-		0,0	228,8	-	
	0,0	242,3	-		0,0	242,3	-	
	0,0	255,8	-		0,0	255,8	-	
	0,0	269,2	-		0,0	269,2	-	
	0,0	282,7	-		0,0	282,7	-	
	0,0	309,6	-		0,0	309,6	-	
	0,0	323,1	-		0,0	323,1	-	
	0,0	336,5	-		0,0	336,5	-	
	0,0	350,0	-		0,0	350,0	-	

Annex 72. Information from B-type sensors at work T4C1 for 06/07/00

Time of thruster Start-Up - 12:19:43

Time of thruster Switching Off - 12:34:43

Time	DRT3-2 Current	DRT3-2 Bias Voltage	DRT3-2 Current Density	DRT3-2 Ion Energy	DRT3-1 Current	DRT3-1 Bias Voltage	DRT3-1 Current Density	DRT3-1 Ion Energy
hh:mm:ss	nA	V	nA/cm2	eV	nA	V	nA/cm2	eV
12:16:10	0,0	0,0	0,0	0,0	0,0	0,0	0,0	0,0
	0,0	13,5	-		0,0	13,5	-	
	0,0	26,9	-		0,0	26,9	-	
	0,0	40,4	-		0,0	40,4	-	
	0,0	53,8	-		0,0	53,8	-	
	0,0	67,3	-		0,0	67,3	-	
	0,0	80,8	-		0,0	80,8	-	
	0,0	94,2	-		0,0	94,2	-	
	0,0	107,7	-		0,0	107,7	-	
	0,0	121,2	-		0,0	121,2	-	
	0,0	134,6	-		0,0	134,6	-	
	0,0	148,1	-		0,0	148,1	-	
	0,0	161,5	-		0,0	161,5	-	
	0,0	175,0	-		0,0	175,0	-	
	0,0	188,5	-		0,0	188,5	-	
	0,0	201,9	-		0,0	201,9	-	
	0,0	215,4	-		0,0	215,4	-	
	0,0	228,8	-		0,0	228,8	-	
	0,0	242,3	-		0,0	242,3	-	
	0,0	255,8	-		0,0	255,8	-	
	0,0	269,2	-		0,0	269,2	-	
	0,0	282,7	-		0,0	282,7	-	
	0,0	309,6	-		0,0	309,6	-	
	0,0	323,1	-		0,0	323,1	-	
	0,0	336,5	-		0,0	336,5	-	
	0,0	350,0	-		0,0	350,0	-	
12:22:10	0,0	0,0	0,0	0,0	38,79919	0,0	96,998	17-30% 262-12,1%
	0,0	13,5	-		38,79919	13,5	-	
	0,0	26,9	-		31,30389	26,9	-	
	0,0	40,4	-		28,10961	40,4	-	
	0,0	53,8	-		26,23564	53,8	-	
	0,0	67,3	-		23,74778	67,3	-	
	0,0	80,8	-		23,74778	80,8	-	
	0,0	94,2	-		23,74525	94,2	-	
	0,0	107,7	-		23,04311	107,7	-	
	0,0	121,2	-		22,37825	121,2	-	
	0,0	134,6	-		21,54481	134,6	-	
	0,0	148,1	-		21,54481	148,1	-	
	0,0	161,5	-		21,54481	161,5	-	
	0,0	175,0	-		21,52142	175,0	-	
	0,0	188,5	-		19,96190	188,5	-	
	0,0	201,9	-		18,61312	201,9	-	
	0,0	215,4	-		14,97143	215,4	-	
	0,0	228,8	-		11,67264	228,8	-	
	0,0	242,3	-		7,24932	242,3	-	
	0,0	255,8	-		3,66322	255,8	-	
	0,0	269,2	-		0,0	269,2	-	
	0,0	282,7	-		0,0	282,7	-	
	0,0	309,6	-		0,0	309,6	-	
	0,0	323,1	-		0,0	323,1	-	
	0,0	336,5	-		0,0	336,5	-	
	0,0	350,0	-		0,0	350,0	-	

Time	DRT3-2 Current	DRT3-2 Bias Voltage	DRT3-2 Current Density	DRT3-2 Ion Energy	DRT3-1 Current	DRT3-1 Bias Voltage	DRT3-1 Current Density	DRT3-1 Ion Energy
hh:mm:ss	nA	V	nA/cm2	eV	nA	V	nA/cm2	eV
12:28:10	0,0	0,0	0,0	0,0	32,40873	0,0	81,022	17-26,6% 227-4,2%
	0,0	13,5	-		32,40873	13,5	-	
	0,0	26,9	-		23,95428	26,9	-	
	0,0	40,4	-		19,39959	40,4	-	
	0,0	53,8	-		15,30412	53,8	-	
	0,0	67,3	-		12,29796	67,3	-	
	0,0	80,8	-		9,83837	80,8	-	
	0,0	94,2	-		8,82930	94,2	-	
	0,0	107,7	-		7,91593	107,7	-	
	0,0	121,2	-		7,24932	121,2	-	
	0,0	134,6	-		6,68627	134,6	-	
	0,0	148,1	-		6,20437	148,1	-	
	0,0	161,5	-		5,93694	161,5	-	
	0,0	175,0	-		5,42272	175,0	-	
	0,0	188,5	-		4,91918	188,5	-	
	0,0	201,9	-		4,35877	201,9	-	
	0,0	215,4	-		3,58690	215,4	-	
	0,0	228,8	-		0,0	228,8	-	
	0,0	242,3	-		0,0	242,3	-	
	0,0	255,8	-		0,0	255,8	-	
	0,0	269,2	-		0,0	269,2	-	
	0,0	282,7	-		0,0	282,7	-	
	0,0	309,6	-		0,0	309,6	-	
	0,0	323,1	-		0,0	323,1	-	
	0,0	336,5	-		0,0	336,5	-	
	0,0	350,0	-		0,0	350,0	-	
12:34:10	0,0	0,0	0,0	0,0	34,00916	0,0	85,023	17-26,6% 245-4,1%
	0,0	13,5	-		34,00916	13,5	-	
	0,0	26,9	-		25,27286	26,9	-	
	0,0	40,4	-		20,86926	40,4	-	
	0,0	53,8	-		16,20437	53,8	-	
	0,0	67,3	-		12,99407	67,3	-	
	0,0	80,8	-		10,59516	80,8	-	
	0,0	94,2	-		8,50229	94,2	-	
	0,0	107,7	-		7,40522	107,7	-	
	0,0	121,2	-		6,81867	121,2	-	
	0,0	134,6	-		6,26078	134,6	-	
	0,0	148,1	-		5,64496	148,1	-	
	0,0	161,5	-		5,29758	161,5	-	
	0,0	175,0	-		4,84990	175,0	-	
	0,0	188,5	-		4,30429	188,5	-	
	0,0	201,9	-		3,82603	201,9	-	
	0,0	215,4	-		3,18836	215,4	-	
	0,0	228,8	-		2,32664	228,8	-	
	0,0	242,3	-		1,03718	242,3	-	
	0,0	255,8	-		0,0	255,8	-	
	0,0	269,2	-		0,0	269,2	-	
	0,0	282,7	-		0,0	282,7	-	
	0,0	309,6	-		0,0	309,6	-	
	0,0	323,1	-		0,0	323,1	-	
	0,0	336,5	-		0,0	336,5	-	
	0,0	350,0	-		0,0	350,0	-	
12:40:10	0,0	0,0	0,0	0,0	0,0	0,0	0,0	0,0
	0,0	13,5	-		0,0	13,5	-	
	0,0	26,9	-		0,0	26,9	-	
	0,0	40,4	-		0,0	40,4	-	
	0,0	53,8	-		0,0	53,8	-	
	0,0	67,3	-		0,0	67,3	-	
	0,0	80,8	-		0,0	80,8	-	
	0,0	94,2	-		0,0	94,2	-	

Time	DRT3-2 Current	DRT3-2 Bias Voltage	DRT3-2 Current Density	DRT3-2 Ion Energy	DRT3-1 Current	DRT3-1 Bias Voltage	DRT3-1 Current Density	DRT3-1 Ion Energy
hh:mm:ss	nA	V	nA/cm2	eV	nA	V	nA/cm2	eV
	0,0	107,7	-		0,0	107,7	-	
	0,0	121,2	-		0,0	121,2	-	
	0,0	134,6	-		0,0	134,6	-	
	0,0	148,1	-		0,0	148,1	-	
	0,0	161,5	-		0,0	161,5	-	
	0,0	175,0	-		0,0	175,0	-	
	0,0	188,5	-		0,0	188,5	-	
	0,0	201,9	-		0,0	201,9	-	
	0,0	215,4	-		0,0	215,4	-	
	0,0	228,8	-		0,0	228,8	-	
	0,0	242,3	-		0,0	242,3	-	
	0,0	255,8	-		0,0	255,8	-	
	0,0	269,2	-		0,0	269,2	-	
	0,0	282,7	-		0,0	282,7	-	
	0,0	309,6	-		0,0	309,6	-	
	0,0	323,1	-		0,0	323,1	-	
	0,0	336,5	-		0,0	336,5	-	
	0,0	350,0	-		0,0	350,0	-	

Annex 73. Information from B-type sensors at work RT4C1 for 07/07/00

Time of thruster Start-Up - 04:36:43

Time of thruster Switching Off - 04:51:43

Time	DRT3-2 Current	DRT3-2 Bias Voltage	DRT3-2 Current Density	DRT3-2 Ion Energy	DRT3-1 Current	DRT3-1 Bias Voltage	DRT3-1 Current Density	DRT3-1 Ion Energy
hh:mm:ss	nA	V	nA/cm2	eV	nA	V	nA/cm2	eV
04:33:16	0,0	0,0	0,0	0,0	0,0	0,0	0,0	0,0
	0,0	13,5	-		0,0	13,5	-	
	0,0	26,9	-		0,0	26,9	-	
	0,0	40,4	-		0,0	40,4	-	
	0,0	53,8	-		0,0	53,8	-	
	0,0	67,3	-		0,0	67,3	-	
	0,0	80,8	-		0,0	80,8	-	
	0,0	94,2	-		0,0	94,2	-	
	0,0	107,7	-		0,0	107,7	-	
	0,0	121,2	-		0,0	121,2	-	
	0,0	134,6	-		0,0	134,6	-	
	0,0	148,1	-		0,0	148,1	-	
	0,0	161,5	-		0,0	161,5	-	
	0,0	175,0	-		0,0	175,0	-	
	0,0	188,5	-		0,0	188,5	-	
	0,0	201,9	-		0,0	201,9	-	
	0,0	215,4	-		0,0	215,4	-	
	0,0	228,8	-		0,0	228,8	-	
	0,0	242,3	-		0,0	242,3	-	
	0,0	255,8	-		0,0	255,8	-	
	0,0	269,2	-		0,0	269,2	-	
	0,0	282,7	-		0,0	282,7	-	
	0,0	309,6	-		0,0	309,6	-	
	0,0	323,1	-		0,0	323,1	-	
	0,0	336,5	-		0,0	336,5	-	
	0,0	350,0	-		0,0	350,0	-	
04:39:16	0,0	0,0	0,0	0,0	173,52707	0,0	433,818	19-12% 262-2%
	0,0	13,5	-		173,52707	13,5	-	
	0,0	26,9	-		164,46222	26,9	-	
	0,0	40,4	-		143,10349	40,4	-	
	0,0	53,8	-		129,63493	53,8	-	
	0,0	67,3	-		119,77140	67,3	-	
	0,0	80,8	-		113,59762	80,8	-	
	0,0	94,2	-		105,95162	94,2	-	
	0,0	107,7	-		98,38365	107,7	-	
	0,0	121,2	-		92,59638	121,2	-	
	0,0	134,6	-		84,76130	134,6	-	
	0,0	148,1	-		77,59837	148,1	-	
	0,0	161,5	-		68,01833	161,5	-	
	0,0	175,0	-		33,59442	175,0	-	
	0,0	188,5	-		27,54742	188,5	-	
	0,0	201,9	-		23,74778	201,9	-	
	0,0	215,4	-		18,36495	215,4	-	
	0,0	228,8	-		11,38323	228,8	-	
	0,0	242,3	-		7,09985	242,3	-	
	0,0	255,8	-		3,54993	255,8	-	
	0,0	269,2	-		0,0	269,2	-	
	0,0	282,7	-		0,0	282,7	-	
	0,0	309,6	-		0,0	309,6	-	
	0,0	323,1	-		0,0	323,1	-	
	0,0	336,5	-		0,0	336,5	-	
	0,0	350,0	-		0,0	350,0	-	

Time	DRT3-2 Current	DRT3-2 Bias Voltage	DRT3-2 Current Density	DRT3-2 Ion Energy	DRT3-1 Current	DRT3-1 Bias Voltage	DRT3-1 Current Density	DRT3-1 Ion Energy
hh:mm:ss	nA	V	nA/cm2	eV	nA	V	nA/cm2	eV
04:45:16	0,0	0,0	0,0	0,0	95,81712	0,0	239,543	18-46% 262-2,4%
	0,0	13,5	-		95,81712	13,5	-	
	0,0	26,9	-		79,84760	26,9	-	
	0,0	40,4	-		38,79919	40,4	-	
	0,0	53,8	-		30,27189	53,8	-	
	0,0	67,3	-		24,37825	67,3	-	
	0,0	80,8	-		19,96190	80,8	-	
	0,0	94,2	-		15,65194	94,2	-	
	0,0	107,7	-		13,24395	107,7	-	
	0,0	121,2	-		11,19814	121,2	-	
	0,0	134,6	-		9,83837	134,6	-	
	0,0	148,1	-		8,94397	148,1	-	
	0,0	161,5	-		7,91593	161,5	-	
	0,0	175,0	-		7,32644	175,0	-	
	0,0	188,5	-		6,62198	188,5	-	
	0,0	201,9	-		5,93694	201,9	-	
	0,0	215,4	-		5,29758	215,4	-	
	0,0	228,8	-		4,35877	228,8	-	
	0,0	242,3	-		3,37591	242,3	-	
	0,0	255,8	-		1,89199	255,8	-	
	0,0	269,2	-		0,0	269,2	-	
	0,0	282,7	-		0,0	282,7	-	
	0,0	309,6	-		0,0	309,6	-	
	0,0	323,1	-		0,0	323,1	-	
	0,0	336,5	-		0,0	336,5	-	
	0,0	350,0	-		0,0	350,0	-	
04:51:16	0,0	0,0	0,0	0,0	95,42712	0,0	238,568	18-45% 262-2,2%
	0,0	13,5	-		95,42712	13,5	-	
	0,0	26,9	-		78,74764	26,9	-	
	0,0	40,4	-		36,75319	40,4	-	
	0,0	53,8	-		31,36089	53,8	-	
	0,0	67,3	-		23,35025	67,3	-	
	0,0	80,8	-		19,85190	80,8	-	
	0,0	94,2	-		15,55284	94,2	-	
	0,0	107,7	-		13,15695	107,7	-	
	0,0	121,2	-		10,99514	121,2	-	
	0,0	134,6	-		9,72837	134,6	-	
	0,0	148,1	-		8,75397	148,1	-	
	0,0	161,5	-		7,83493	161,5	-	
	0,0	175,0	-		7,21344	175,0	-	
	0,0	188,5	-		6,31192	188,5	-	
	0,0	201,9	-		5,71394	201,9	-	
	0,0	215,4	-		5,50758	215,4	-	
	0,0	228,8	-		4,09877	228,8	-	
	0,0	242,3	-		3,69594	242,3	-	
	0,0	255,8	-		1,79288	255,8	-	
	0,0	269,2	-		0,0	269,2	-	
	0,0	282,7	-		0,0	282,7	-	
	0,0	309,6	-		0,0	309,6	-	
	0,0	323,1	-		0,0	323,1	-	
	0,0	336,5	-		0,0	336,5	-	
	0,0	350,0	-		0,0	350,0	-	
04:57:16	0,0	0,0	0,0	0,0	0,0	0,0	0,0	0,0
	0,0	13,5	-		0,0	13,5	-	
	0,0	26,9	-		0,0	26,9	-	
	0,0	40,4	-		0,0	40,4	-	
	0,0	53,8	-		0,0	53,8	-	
	0,0	67,3	-		0,0	67,3	-	
	0,0	80,8	-		0,0	80,8	-	
	0,0	94,2	-		0,0	94,2	-	

Time	DRT3-2 Current	DRT3-2 Bias Voltage	DRT3-2 Current Density	DRT3-2 Ion Energy	DRT3-1 Current	DRT3-1 Bias Voltage	DRT3-1 Current Density	DRT3-1 Ion Energy
hh:mm:ss	nA	V	nA/cm2	eV	nA	V	nA/cm2	eV
	0,0	107,7	-		0,0	107,7	-	
	0,0	121,2	-		0,0	121,2	-	
	0,0	134,6	-		0,0	134,6	-	
	0,0	148,1	-		0,0	148,1	-	
	0,0	161,5	-		0,0	161,5	-	
	0,0	175,0	-		0,0	175,0	-	
	0,0	188,5	-		0,0	188,5	-	
	0,0	201,9	-		0,0	201,9	-	
	0,0	215,4	-		0,0	215,4	-	
	0,0	228,8	-		0,0	228,8	-	
	0,0	242,3	-		0,0	242,3	-	
	0,0	255,8	-		0,0	255,8	-	
	0,0	269,2	-		0,0	269,2	-	
	0,0	282,7	-		0,0	282,7	-	
	0,0	309,6	-		0,0	309,6	-	
	0,0	323,1	-		0,0	323,1	-	
	0,0	336,5	-		0,0	336,5	-	
	0,0	350,0	-		0,0	350,0	-	

Annex 74. Information from B-type sensors at work RT4C1 for 07/07/00

Time of thruster Start-Up - 06:36:43

Time of thruster Switching Off - 06:51:43

Time	DRT3-2 Current	DRT3-2 Bias Voltage	DRT3-2 Current Density	DRT3-2 Ion Energy	DRT3-1 Current	DRT3-1 Bias Voltage	DRT3-1 Current Density	DRT3-1 Ion Energy
hh:mm:ss	nA	V	nA/cm2	eV	nA	V	nA/cm2	EV
06:33:16	0,0	0,0	0,0	0,0	0,0	0,0	0,0	0,0
	0,0	13,5	-		0,0	13,5	-	
	0,0	26,9	-		0,0	26,9	-	
	0,0	40,4	-		0,0	40,4	-	
	0,0	53,8	-		0,0	53,8	-	
	0,0	67,3	-		0,0	67,3	-	
	0,0	80,8	-		0,0	80,8	-	
	0,0	94,2	-		0,0	94,2	-	
	0,0	107,7	-		0,0	107,7	-	
	0,0	121,2	-		0,0	121,2	-	
	0,0	134,6	-		0,0	134,6	-	
	0,0	148,1	-		0,0	148,1	-	
	0,0	161,5	-		0,0	161,5	-	
	0,0	175,0	-		0,0	175,0	-	
	0,0	188,5	-		0,0	188,5	-	
	0,0	201,9	-		0,0	201,9	-	
	0,0	215,4	-		0,0	215,4	-	
	0,0	228,8	-		0,0	228,8	-	
	0,0	242,3	-		0,0	242,3	-	
	0,0	255,8	-		0,0	255,8	-	
	0,0	269,2	-		0,0	269,2	-	
	0,0	282,7	-		0,0	282,7	-	
	0,0	309,6	-		0,0	309,6	-	
	0,0	323,1	-		0,0	323,1	-	
	0,0	336,5	-		0,0	336,5	-	
06:39:16	0,0	0,0	0,0	0,0	90,31942	0,0	225,799	20-41% 245-2,1%
	0,0	13,5	-		90,31942	13,5	-	
	0,0	26,9	-		68,86856	26,9	-	
	0,0	40,4	-		33,59442	40,4	-	
	0,0	53,8	-		26,48791	53,8	-	
	0,0	67,3	-		21,19033	67,3	-	
	0,0	80,8	-		17,21714	80,8	-	
	0,0	94,2	-		14,49864	94,2	-	
	0,0	107,7	-		11,67264	107,7	-	
	0,0	121,2	-		10,43463	121,2	-	
	0,0	134,6	-		9,30656	134,6	-	
	0,0	148,1	-		8,71754	148,1	-	
	0,0	161,5	-		7,73804	161,5	-	
	0,0	175,0	-		7,17381	175,0	-	
	0,0	188,5	-		6,49703	188,5	-	
	0,0	201,9	-		5,83632	201,9	-	
	0,0	215,4	-		4,99048	215,4	-	
	0,0	228,8	-		4,09932	228,8	-	
	0,0	242,3	-		2,73288	242,3	-	
	0,0	255,8	-		0,0	255,8	-	
	0,0	269,2	-		0,0	269,2	-	
	0,0	282,7	-		0,0	282,7	-	
	0,0	309,6	-		0,0	309,6	-	
	0,0	323,1	-		0,0	323,1	-	
	0,0	336,5	-		0,0	336,5	-	
	0,0	350,0	-		0,0	350,0	-	

Time	DRT3-2 Current	DRT3-2 Bias Voltage	DRT3-2 Current Density	DRT3-2 Ion Energy	DRT3-1 Current	DRT3-1 Bias Voltage	DRT3-1 Current Density	DRT3-1 Ion Energy
hh:mm:ss	nA	V	nA/cm2	eV	nA	V	nA/cm2	EV
06:45:16	0,0	0,0	0,0	0,0	87,45213	0,0	218,630	20-41% 245-2,1%
	0,0	13,5	-		87,45213	13,5	-	
	0,0	26,9	-		68,01833	26,9	-	
	0,0	40,4	-		34,00916	40,4	-	
	0,0	53,8	-		27,27468	53,8	-	
	0,0	67,3	-		22,39628	67,3	-	
	0,0	80,8	-		17,65860	80,8	-	
	0,0	94,2	-		14,49864	94,2	-	
	0,0	107,7	-		11,87389	107,7	-	
	0,0	121,2	-		10,27889	121,2	-	
	0,0	134,6	-		8,71754	134,6	-	
	0,0	148,1	-		7,82597	148,1	-	
	0,0	161,5	-		7,09985	161,5	-	
	0,0	175,0	-		6,43631	175,0	-	
	0,0	188,5	-		5,98857	188,5	-	
	0,0	201,9	-		5,13944	201,9	-	
	0,0	215,4	-		4,47198	215,4	-	
	0,0	228,8	-		3,74286	228,8	-	
	0,0	242,3	-		2,60866	242,3	-	
	0,0	255,8	-		0,0	255,8	-	
	0,0	269,2	-		0,0	269,2	-	
	0,0	282,7	-		0,0	282,7	-	
	0,0	309,6	-		0,0	309,6	-	
	0,0	323,1	-		0,0	323,1	-	
	0,0	336,5	-		0,0	336,5	-	
06:51:16	0,0	0,0	0,0	0,0	87,34529	0,0	218,363	20-41% 245-2,1%
	0,0	13,5	-		87,34529	13,5	-	
	0,0	26,9	-		68,30733	26,9	-	
	0,0	40,4	-		34,11816	40,4	-	
	0,0	53,8	-		26,38568	53,8	-	
	0,0	67,3	-		22,90738	67,3	-	
	0,0	80,8	-		18,71290	80,8	-	
	0,0	94,2	-		16,58764	94,2	-	
	0,0	107,7	-		11,95679	107,7	-	
	0,0	121,2	-		10,36599	121,2	-	
	0,0	134,6	-		8,82594	134,6	-	
	0,0	148,1	-		7,96577	148,1	-	
	0,0	161,5	-		7,48862	161,5	-	
	0,0	175,0	-		6,55961	175,0	-	
	0,0	188,5	-		5,97727	188,5	-	
	0,0	201,9	-		5,29944	201,9	-	
	0,0	215,4	-		4,62498	215,4	-	
	0,0	228,8	-		3,82396	228,8	-	
	0,0	242,3	-		2,41966	242,3	-	
	0,0	255,8	-		0,0	255,8	-	
	0,0	269,2	-		0,0	269,2	-	
	0,0	282,7	-		0,0	282,7	-	
	0,0	309,6	-		0,0	309,6	-	
	0,0	323,1	-		0,0	323,1	-	
	0,0	336,5	-		0,0	336,5	-	
	0,0	350,0	-		0,0	350,0	-	
06:57:16	0,0	0,0	0,0	0,0	0,0	0,0	0,0	0,0
	0,0	13,5	-		0,0	13,5	-	
	0,0	26,9	-		0,0	26,9	-	
	0,0	40,4	-		0,0	40,4	-	
	0,0	53,8	-		0,0	53,8	-	
	0,0	67,3	-		0,0	67,3	-	
	0,0	80,8	-		0,0	80,8	-	
	0,0	94,2	-		0,0	94,2	-	
	0,0	107,7	-		0,0	107,7	-	

Time	DRT3-2 Current	DRT3-2 Bias Voltage	DRT3-2 Current Density	DRT3-2 Ion Energy	DRT3-1 Current	DRT3-1 Bias Voltage	DRT3-1 Current Density	DRT3-1 Ion Energy
hh:mm:ss	nA	V	nA/cm2	eV	nA	V	nA/cm2	EV
	0,0	121,2	-		0,0	121,2	-	
	0,0	134,6	-		0,0	134,6	-	
	0,0	148,1	-		0,0	148,1	-	
	0,0	161,5	-		0,0	161,5	-	
	0,0	175,0	-		0,0	175,0	-	
	0,0	188,5	-		0,0	188,5	-	
	0,0	201,9	-		0,0	201,9	-	
	0,0	215,4	-		0,0	215,4	-	
	0,0	228,8	-		0,0	228,8	-	
	0,0	242,3	-		0,0	242,3	-	
	0,0	255,8	-		0,0	255,8	-	
	0,0	269,2	-		0,0	269,2	-	
	0,0	282,7	-		0,0	282,7	-	
	0,0	309,6	-		0,0	309,6	-	
	0,0	323,1	-		0,0	323,1	-	
	0,0	336,5	-		0,0	336,5	-	
	0,0	350,0	-		0,0	350,0	-	

Annex 75. Information from B-type sensors at work RT4C1 for 07/07/00

Time of thruster Start-Up - 12:36:43

Time of thruster Switching Off - 12:51:43

Time	DRT3-2 Current	DRT3-2 Bias Voltage	DRT3-2 Current Density	DRT3-2 Ion Energy	DRT3-1 Current	DRT3-1 Bias Voltage	DRT3-1 Current Density	DRT3-1 Ion Energy
hh:mm:ss	nA	V	nA/cm2	eV - %	nA	V	nA/cm2	eV
12:33:16	0,0	0,0	0,0	0,0	0,0	0,0	0,0	0,0
	0,0	13,5	-		0,0	13,5	-	
	0,0	26,9	-		0,0	26,9	-	
	0,0	40,4	-		0,0	40,4	-	
	0,0	53,8	-		0,0	53,8	-	
	0,0	67,3	-		0,0	67,3	-	
	0,0	80,8	-		0,0	80,8	-	
	0,0	94,2	-		0,0	94,2	-	
	0,0	107,7	-		0,0	107,7	-	
	0,0	121,2	-		0,0	121,2	-	
	0,0	134,6	-		0,0	134,6	-	
	0,0	148,1	-		0,0	148,1	-	
	0,0	161,5	-		0,0	161,5	-	
	0,0	175,0	-		0,0	175,0	-	
	0,0	188,5	-		0,0	188,5	-	
	0,0	201,9	-		0,0	201,9	-	
	0,0	215,4	-		0,0	215,4	-	
	0,0	228,8	-		0,0	228,8	-	
	0,0	242,3	-		0,0	242,3	-	
	0,0	255,8	-		0,0	255,8	-	
	0,0	269,2	-		0,0	269,2	-	
	0,0	282,7	-		0,0	282,7	-	
	0,0	309,6	-		0,0	309,6	-	
	0,0	323,1	-		0,0	323,1	-	
	0,0	336,5	-		0,0	336,5	-	
	0,0	350,0	-		0,0	350,0	-	
12:39:16	0,0	0,0	0,0	0,0	88,15175	0,0	220,379	17-57% 245-2,7%
	0,0	13,5	-		88,15175	13,5	-	
	0,0	26,9	-		39,35346	26,9	-	
	0,0	40,4	-		30,95216	40,4	-	
	0,0	53,8	-		23,54481	53,8	-	
	0,0	67,3	-		18,12330	67,3	-	
	0,0	80,8	-		14,49864	80,8	-	
	0,0	94,2	-		12,29796	94,2	-	
	0,0	107,7	-		10,76071	107,7	-	
	0,0	121,2	-		9,98095	121,2	-	
	0,0	134,6	-		9,06165	134,6	-	
	0,0	148,1	-		8,39860	148,1	-	
	0,0	161,5	-		7,73804	161,5	-	
	0,0	175,0	-		7,24932	175,0	-	
	0,0	188,5	-		6,55891	188,5	-	
	0,0	201,9	-		5,73905	201,9	-	
	0,0	215,4	-		4,91918	215,4	-	
	0,0	228,8	-		3,78399	228,8	-	
	0,0	242,3	-		2,26541	242,3	-	
	0,0	255,8	-		0,0	255,8	-	
	0,0	269,2	-		0,0	269,2	-	
	0,0	282,7	-		0,0	282,7	-	
	0,0	309,6	-		0,0	309,6	-	
	0,0	323,1	-		0,0	323,1	-	
	0,0	336,5	-		0,0	336,5	-	
	0,0	350,0	-		0,0	350,0	-	

Time	DRT3-2 Current	DRT3-2 Bias Voltage	DRT3-2 Current Density	DRT3-2 Ion Energy	DRT3-1 Current	DRT3-1 Bias Voltage	DRT3-1 Current Density	DRT3-1 Ion Energy
hh:mm:ss	nA	V	nA/cm2	eV - %	nA	V	nA/cm2	eV
12:45:16	0,0	0,0	0,0	0,0	78,70692	0,0	196,767	17-58% 245-2,3%
	0,0	13,5	-		78,70692	13,5	-	
	0,0	26,9	-		34,87015	26,9	-	
	0,0	40,4	-		28,69523	40,4	-	
	0,0	53,8	-		22,57985	53,8	-	
	0,0	67,3	-		18,12330	67,3	-	
	0,0	80,8	-		14,97143	80,8	-	
	0,0	94,2	-		12,08220	94,2	-	
	0,0	107,7	-		10,27889	107,7	-	
	0,0	121,2	-		8,71754	121,2	-	
	0,0	134,6	-		7,65206	134,6	-	
	0,0	148,1	-		6,68627	148,1	-	
	0,0	161,5	-		5,93694	161,5	-	
	0,0	175,0	-		5,29758	175,0	-	
	0,0	188,5	-		4,84990	188,5	-	
	0,0	201,9	-		4,25115	201,9	-	
	0,0	215,4	-		3,70261	215,4	-	
	0,0	228,8	-		2,86952	228,8	-	
	0,0	242,3	-		1,79345	242,3	-	
	0,0	255,8	-		0,0	255,8	-	
	0,0	269,2	-		0,0	269,2	-	
	0,0	282,7	-		0,0	282,7	-	
	0,0	309,6	-		0,0	309,6	-	
	0,0	323,1	-		0,0	323,1	-	
	0,0	336,5	-		0,0	336,5	-	
	0,0	350,0	-		0,0	350,0	-	
12:51:16	0,0	0,0	0,0	0,0	78,56740	0,0	196,419	17-55% 245-2,1%
	0,0	13,5	-		78,56740	13,5	-	
	0,0	26,9	-		32,67352	26,9	-	
	0,0	40,4	-		28,26841	40,4	-	
	0,0	53,8	-		22,47325	53,8	-	
	0,0	67,3	-		18,26735	67,3	-	
	0,0	80,8	-		14,84563	80,8	-	
	0,0	94,2	-		12,12475	94,2	-	
	0,0	107,7	-		10,85436	107,7	-	
	0,0	121,2	-		8,23452	121,2	-	
	0,0	134,6	-		7,83556	134,6	-	
	0,0	148,1	-		6,35624	148,1	-	
	0,0	161,5	-		5,97543	161,5	-	
	0,0	175,0	-		5,49754	175,0	-	
	0,0	188,5	-		4,34658	188,5	-	
	0,0	201,9	-		4,12345	201,9	-	
	0,0	215,4	-		3,34752	215,4	-	
	0,0	228,8	-		2,64367	228,8	-	
	0,0	242,3	-		1,34753	242,3	-	
	0,0	255,8	-		0,0	255,8	-	
	0,0	269,2	-		0,0	269,2	-	
	0,0	282,7	-		0,0	282,7	-	
	0,0	309,6	-		0,0	309,6	-	
	0,0	323,1	-		0,0	323,1	-	
	0,0	336,5	-		0,0	336,5	-	
	0,0	350,0	-		0,0	350,0	-	
12:57:16	0,0	0,0	0,0	0,0	0,0	0,0	0,0	0,0
	0,0	13,5	-		0,0	13,5	-	
	0,0	26,9	-		0,0	26,9	-	
	0,0	40,4	-		0,0	40,4	-	
	0,0	53,8	-		0,0	53,8	-	
	0,0	67,3	-		0,0	67,3	-	
	0,0	80,8	-		0,0	80,8	-	
	0,0	94,2	-		0,0	94,2	-	

Time	DRT3-2 Current	DRT3-2 Bias Voltage	DRT3-2 Current Density	DRT3-2 Ion Energy	DRT3-1 Current	DRT3-1 Bias Voltage	DRT3-1 Current Density	DRT3-1 Ion Energy
hh:mm:ss	nA	V	nA/cm2	eV - %	nA	V	nA/cm2	eV
	0,0	107,7	-		0,0	107,7	-	
	0,0	121,2	-		0,0	121,2	-	
	0,0	134,6	-		0,0	134,6	-	
	0,0	148,1	-		0,0	148,1	-	
	0,0	161,5	-		0,0	161,5	-	
	0,0	175,0	-		0,0	175,0	-	
	0,0	188,5	-		0,0	188,5	-	
	0,0	201,9	-		0,0	201,9	-	
	0,0	215,4	-		0,0	215,4	-	
	0,0	228,8	-		0,0	228,8	-	
	0,0	242,3	-		0,0	242,3	-	
	0,0	255,8	-		0,0	255,8	-	
	0,0	269,2	-		0,0	269,2	-	
	0,0	282,7	-		0,0	282,7	-	
	0,0	309,6	-		0,0	309,6	-	
	0,0	323,1	-		0,0	323,1	-	
	0,0	336,5	-		0,0	336,5	-	
	0,0	350,0	-		0,0	350,0	-	

Annex 76. Information from B-type sensors at work RT4C1 for 08/07/00

Time of thruster Start-Up - 02:51:43

Time of thruster Switching Off - 03:06:43

Time	DRT3-2 Current	DRT3-2 Bias Voltage	DRT3-2 Current Density	DRT3-2 Ion Energy	DRT3-1 Current	DRT3-1 Bias Voltage	DRT3-1 Current Density	DRT3-1 Ion Energy
hh:mm:ss	nA	V	nA/cm2	eV - %	nA	V	nA/cm2	eV
02:51:16	0,0	0,0	0,0	0,0	0,0	0,0	0,0	0,0
	0,0	13,5	-		0,0	13,5	-	
	0,0	26,9	-		0,0	26,9	-	
	0,0	40,4	-		0,0	40,4	-	
	0,0	53,8	-		0,0	53,8	-	
	0,0	67,3	-		0,0	67,3	-	
	0,0	80,8	-		0,0	80,8	-	
	0,0	94,2	-		0,0	94,2	-	
	0,0	107,7	-		0,0	107,7	-	
	0,0	121,2	-		0,0	121,2	-	
	0,0	134,6	-		0,0	134,6	-	
	0,0	148,1	-		0,0	148,1	-	
	0,0	161,5	-		0,0	161,5	-	
	0,0	175,0	-		0,0	175,0	-	
	0,0	188,5	-		0,0	188,5	-	
	0,0	201,9	-		0,0	201,9	-	
	0,0	215,4	-		0,0	215,4	-	
	0,0	228,8	-		0,0	228,8	-	
	0,0	242,3	-		0,0	242,3	-	
	0,0	255,8	-		0,0	255,8	-	
	0,0	269,2	-		0,0	269,2	-	
	0,0	282,7	-		0,0	282,7	-	
	0,0	309,6	-		0,0	309,6	-	
	0,0	323,1	-		0,0	323,1	-	
	0,0	336,5	-		0,0	336,5	-	
	0,0	350,0	-		0,0	350,0	-	
02:57:16	0,0	0,0	0,0	0,0	91,82474	0,0	229,562	25-50% 245-2,1%
	0,0	13,5	-		91,82474	13,5	-	
	0,0	26,9	-		82,23111	26,9	-	
	0,0	40,4	-		38,79919	40,4	-	
	0,0	53,8	-		30,95216	53,8	-	
	0,0	67,3	-		24,81750	67,3	-	
	0,0	80,8	-		20,25546	80,8	-	
	0,0	94,2	-		16,01594	94,2	-	
	0,0	107,7	-		13,63734	107,7	-	
	0,0	121,2	-		11,67264	121,2	-	
	0,0	134,6	-		10,59516	134,6	-	
	0,0	148,1	-		9,18247	148,1	-	
	0,0	161,5	-		8,29742	161,5	-	
	0,0	175,0	-		7,73804	175,0	-	
	0,0	188,5	-		7,02740	188,5	-	
	0,0	201,9	-		6,31822	201,9	-	
	0,0	215,4	-		5,42272	215,4	-	
	0,0	228,8	-		4,65328	228,8	-	
	0,0	242,3	-		3,44343	242,3	-	
	0,0	255,8	-		0,0	255,8	-	
	0,0	269,2	-		0,0	269,2	-	
	0,0	282,7	-		0,0	282,7	-	
	0,0	309,6	-		0,0	309,6	-	
	0,0	323,1	-		0,0	323,1	-	
	0,0	336,5	-		0,0	336,5	-	
	0,0	350,0	-		0,0	350,0	-	

Time	DRT3-2 Current	DRT3-2 Bias Voltage	DRT3-2 Current Density	DRT3-2 Ion Energy	DRT3-1 Current	DRT3-1 Bias Voltage	DRT3-1 Current Density	DRT3-1 Ion Energy
hh:mm:ss	nA	V	nA/cm2	eV - %	nA	V	nA/cm2	eV
03:03:16	0,0	0,0	0,0	0,0	93,38109	0,0	233,453	25-48% 245-2,1%
	0,0	13,5	-		93,38109	13,5	-	
	0,0	26,9	-		82,23111	26,9	-	
	0,0	40,4	-		39,35346	40,4	-	
	0,0	53,8	-		31,66370	53,8	-	
	0,0	67,3	-		25,27286	67,3	-	
	0,0	80,8	-		19,67673	80,8	-	
	0,0	94,2	-		16,79721	94,2	-	
	0,0	107,7	-		13,63734	107,7	-	
	0,0	121,2	-		11,38323	121,2	-	
	0,0	134,6	-		9,69980	134,6	-	
	0,0	148,1	-		8,71754	148,1	-	
	0,0	161,5	-		7,73804	161,5	-	
	0,0	175,0	-		7,17381	175,0	-	
	0,0	188,5	-		6,43631	188,5	-	
	0,0	201,9	-		5,78727	201,9	-	
	0,0	215,4	-		5,06386	215,4	-	
	0,0	228,8	-		4,25115	228,8	-	
	0,0	242,3	-		3,13039	242,3	-	
	0,0	255,8	-		0,0	255,8	-	
	0,0	269,2	-		0,0	269,2	-	
	0,0	282,7	-		0,0	282,7	-	
	0,0	309,6	-		0,0	309,6	-	
	0,0	323,1	-		0,0	323,1	-	
	0,0	336,5	-		0,0	336,5	-	
	0,0	350,0	-		0,0	350,0	-	
03:09:16	0,0	0,0	0,0	0,0	0,0	0,0	0,0	0,0
	0,0	13,5	-		0,0	13,5	-	
	0,0	26,9	-		0,0	26,9	-	
	0,0	40,4	-		0,0	40,4	-	
	0,0	53,8	-		0,0	53,8	-	
	0,0	67,3	-		0,0	67,3	-	
	0,0	80,8	-		0,0	80,8	-	
	0,0	94,2	-		0,0	94,2	-	
	0,0	107,7	-		0,0	107,7	-	
	0,0	121,2	-		0,0	121,2	-	
	0,0	134,6	-		0,0	134,6	-	
	0,0	148,1	-		0,0	148,1	-	
	0,0	161,5	-		0,0	161,5	-	
	0,0	175,0	-		0,0	175,0	-	
	0,0	188,5	-		0,0	188,5	-	
	0,0	201,9	-		0,0	201,9	-	
	0,0	215,4	-		0,0	215,4	-	
	0,0	228,8	-		0,0	228,8	-	
	0,0	242,3	-		0,0	242,3	-	
	0,0	255,8	-		0,0	255,8	-	
	0,0	269,2	-		0,0	269,2	-	
	0,0	282,7	-		0,0	282,7	-	
	0,0	309,6	-		0,0	309,6	-	
	0,0	323,1	-		0,0	323,1	-	
	0,0	336,5	-		0,0	336,5	-	
	0,0	350,0	-		0,0	350,0	-	

Annex 77. Information from B-type sensors at work RT3C1 for 07/08/00

Time of thruster Start-Up - 12:48:19

Time of thruster Switching Off - 13:48:43

Time	DRT3-2 Current	DRT3-2 Bias Voltage	DRT3-2 Current Density	DRT3-2 Ion Energy	DRT3-1 Current	DRT3-1 Bias Voltage	DRT3-1 Current Density	DRT3-1 Ion Energy
hh:mm:ss	nA	V	nA/cm2	eV - %	nA	V	nA/cm2	eV
12:46:59	0,0	0,0	0,0	0,0	0,0	0,0	0,0	0,0
12:52:59	0,0	13,5	-		0,0	13,5	-	
12:58:59	0,0	26,9	-		0,0	26,9	-	
13:04:59	0,0	40,4	-		0,0	40,4	-	
13:10:59	0,0	53,8	-		0,0	53,8	-	
13:16:59	0,0	67,3	-		0,0	67,3	-	
13:22:59	0,0	80,8	-		0,0	80,8	-	
13:28:59	0,0	94,2	-		0,0	94,2	-	
13:34:59	0,0	107,7	-		0,0	107,7	-	
13:40:59	0,0	121,2	-		0,0	121,2	-	
13:46:59	0,0	134,6	-		0,0	134,6	-	
13:52:59	0,0	148,1	-		0,0	148,1	-	
	0,0	161,5	-		0,0	161,5	-	
	0,0	175,0	-		0,0	175,0	-	
	0,0	188,5	-		0,0	188,5	-	
	0,0	201,9	-		0,0	201,9	-	
	0,0	215,4	-		0,0	215,4	-	
	0,0	228,8	-		0,0	228,8	-	
	0,0	242,3	-		0,0	242,3	-	
	0,0	255,8	-		0,0	255,8	-	
	0,0	269,2	-		0,0	269,2	-	
	0,0	282,7	-		0,0	282,7	-	
	0,0	309,6	-		0,0	309,6	-	
	0,0	323,1	-		0,0	323,1	-	
	0,0	336,5	-		0,0	336,5	-	
	0,0	350,0	-		0,0	350,0	-	

Annex 78. Information from B-type sensors at work RT3C1 for 08/08/00

Time of thruster Start-Up - 12:43:51

Time of thruster Switching Off - 13:44:15

Time	DRT3-2 Current	DRT3-2 Bias Voltage	DRT3-2 Current Density	DRT3-2 Ion Energy	DRT3-1 Current	DRT3-1 Bias Voltage	DRT3-1 Current Density	DRT3-1 Ion Energy
hh:mm:ss	nA	V	nA/cm2	eV - %	nA	V	nA/cm2	eV
12:40:59	0,0	0,0	0,0	0,0	0,0	0,0	0,0	0,0
12:46:59	0,0	13,5	-		0,0	13,5	-	
12:52:59	0,0	26,9	-		0,0	26,9	-	
12:58:59	0,0	40,4	-		0,0	40,4	-	
13:04:59	0,0	53,8	-		0,0	53,8	-	
13:10:59	0,0	67,3	-		0,0	67,3	-	
13:16:59	0,0	80,8	-		0,0	80,8	-	
13:22:59	0,0	94,2	-		0,0	94,2	-	
13:28:59	0,0	107,7	-		0,0	107,7	-	
13:34:59	0,0	121,2	-		0,0	121,2	-	
13:40:59	0,0	134,6	-		0,0	134,6	-	
13:46:59	0,0	148,1	-		0,0	148,1	-	
	0,0	161,5	-		0,0	161,5	-	
	0,0	175,0	-		0,0	175,0	-	
	0,0	188,5	-		0,0	188,5	-	
	0,0	201,9	-		0,0	201,9	-	
	0,0	215,4	-		0,0	215,4	-	
	0,0	228,8	-		0,0	228,8	-	
	0,0	242,3	-		0,0	242,3	-	
	0,0	255,8	-		0,0	255,8	-	
	0,0	269,2	-		0,0	269,2	-	
	0,0	282,7	-		0,0	282,7	-	
	0,0	309,6	-		0,0	309,6	-	
	0,0	323,1	-		0,0	323,1	-	
	0,0	336,5	-		0,0	336,5	-	
	0,0	350,0	-		0,0	350,0	-	

Annex 79. Information from B-type sensors at work RT3C1 for 20/08/00

Time of thruster Start-Up - 11:57:27

Time of thruster Switching Off - 12:57:59

Time	DRT3-2 Current	DRT3-2 Bias Voltage	DRT3-2 Current Density	DRT3-2 Ion Energy	DRT3-1 Current	DRT3-1 Bias Voltage	DRT3-1 Current Density	DRT3-1 Ion Energy
hh:mm:ss	nA	V	nA/cm2	eV - %	nA	V	nA/cm2	eV
11:54:40	0,0	0,0	0,0	0,0	0,0	0,0	0,0	0,0
12:00:40	0,0	13,5	-		0,0	13,5	-	
12:06:40	0,0	26,9	-		0,0	26,9	-	
12:12:40	0,0	40,4	-		0,0	40,4	-	
12:18:40	0,0	53,8	-		0,0	53,8	-	
12:24:40	0,0	67,3	-		0,0	67,3	-	
12:30:40	0,0	80,8	-		0,0	80,8	-	
12:36:40	0,0	94,2	-		0,0	94,2	-	
12:42:40	0,0	107,7	-		0,0	107,7	-	
12:48:40	0,0	121,2	-		0,0	121,2	-	
12:54:40	0,0	134,6	-		0,0	134,6	-	
13:00:40	0,0	148,1	-		0,0	148,1	-	
	0,0	161,5	-		0,0	161,5	-	
	0,0	175,0	-		0,0	175,0	-	
	0,0	188,5	-		0,0	188,5	-	
	0,0	201,9	-		0,0	201,9	-	
	0,0	215,4	-		0,0	215,4	-	
	0,0	228,8	-		0,0	228,8	-	
	0,0	242,3	-		0,0	242,3	-	
	0,0	255,8	-		0,0	255,8	-	
	0,0	269,2	-		0,0	269,2	-	
	0,0	282,7	-		0,0	282,7	-	
	0,0	309,6	-		0,0	309,6	-	
	0,0	323,1	-		0,0	323,1	-	
	0,0	336,5	-		0,0	336,5	-	
	0,0	350,0	-		0,0	350,0	-	

Annex 80. Information from B-type sensors at work RT3C1 for 21/08/00

Time of thruster Start-Up - 11:52:51

Time of thruster Switching Off - 12:53:23

Time	DRT3-2 Current	DRT3-2 Bias Voltage	DRT3-2 Current Density	DRT3-2 Ion Energy	DRT3-1 Current	DRT3-1 Bias Voltage	DRT3-1 Current Density	DRT3-1 Ion Energy
hh:mm:ss	nA	V	nA/cm2	eV - %	nA	V	nA/cm2	eV
11:48:40	0,0	0,0	0,0	0,0	0,0	0,0	0,0	0,0
11:54:40	0,0	13,5	-		0,0	13,5	-	
12:00:40	0,0	26,9	-		0,0	26,9	-	
12:06:40	0,0	40,4	-		0,0	40,4	-	
12:12:40	0,0	53,8	-		0,0	53,8	-	
12:18:40	0,0	67,3	-		0,0	67,3	-	
12:24:40	0,0	80,8	-		0,0	80,8	-	
12:30:40	0,0	94,2	-		0,0	94,2	-	
12:36:40	0,0	107,7	-		0,0	107,7	-	
12:42:40	0,0	121,2	-		0,0	121,2	-	
12:48:40	0,0	134,6	-		0,0	134,6	-	
12:54:40	0,0	148,1	-		0,0	148,1	-	
	0,0	161,5	-		0,0	161,5	-	
	0,0	175,0	-		0,0	175,0	-	
	0,0	188,5	-		0,0	188,5	-	
	0,0	201,9	-		0,0	201,9	-	
	0,0	215,4	-		0,0	215,4	-	
	0,0	228,8	-		0,0	228,8	-	
	0,0	242,3	-		0,0	242,3	-	
	0,0	255,8	-		0,0	255,8	-	
	0,0	269,2	-		0,0	269,2	-	
	0,0	282,7	-		0,0	282,7	-	
	0,0	309,6	-		0,0	309,6	-	
	0,0	323,1	-		0,0	323,1	-	
	0,0	336,5	-		0,0	336,5	-	
	0,0	350,0	-		0,0	350,0	-	

Annex 81. Information from B-type sensors at work T3C1 for 22/08/00

Time of thruster Start-Up - 11:48:55

Time of thruster Switching Off - 12:49:27

Time	DRT3-2 Current	DRT3-2 Bias Voltage	DRT3-2 Current Density	DRT3-2 Ion Energy	DRT3-1 Current	DRT3-1 Bias Voltage	DRT3-1 Current Density	DRT3-1 Ion Energy
hh:mm:ss	nA	V	nA/cm2	eV - %	nA	V	nA/cm2	eV
11:46:40	0,0	0,0	0,0	0,0	0,0	0,0	0,0	0,0
11:52:40	0,0	13,5	-		0,0	13,5	-	
11:58:40	0,0	26,9	-		0,0	26,9	-	
12:04:40	0,0	40,4	-		0,0	40,4	-	
12:10:40	0,0	53,8	-		0,0	53,8	-	
12:16:40	0,0	67,3	-		0,0	67,3	-	
12:22:40	0,0	80,8	-		0,0	80,8	-	
12:28:40	0,0	94,2	-		0,0	94,2	-	
12:34:40	0,0	107,7	-		0,0	107,7	-	
12:40:40	0,0	121,2	-		0,0	121,2	-	
12:46:40	0,0	134,6	-		0,0	134,6	-	
12:52:40	0,0	148,1	-		0,0	148,1	-	
	0,0	161,5	-		0,0	161,5	-	
	0,0	175,0	-		0,0	175,0	-	
	0,0	188,5	-		0,0	188,5	-	
	0,0	201,9	-		0,0	201,9	-	
	0,0	215,4	-		0,0	215,4	-	
	0,0	228,8	-		0,0	228,8	-	
	0,0	242,3	-		0,0	242,3	-	
	0,0	255,8	-		0,0	255,8	-	
	0,0	269,2	-		0,0	269,2	-	
	0,0	282,7	-		0,0	282,7	-	
	0,0	309,6	-		0,0	309,6	-	
	0,0	323,1	-		0,0	323,1	-	
	0,0	336,5	-		0,0	336,5	-	
	0,0	350,0	-		0,0	350,0	-	

Annex 82. Information from B-type sensors at work T3C1 for 23/08/00

Time of thruster Start-Up - 11:44:55

Time of thruster Switching Off - 12:45:27

Time	DRT3-2 Current	DRT3-2 Bias Voltage	DRT3-2 Current Density	DRT3-2 Ion Energy	DRT3-1 Current	DRT3-1 Bias Voltage	DRT3-1 Current Density	DRT3-1 Ion Energy
hh:mm:ss	nA	V	nA/cm2	eV - %	nA	V	nA/cm2	eV
11:42:40	0,0	0,0	0,0	0,0	0,0	0,0	0,0	0,0
11:48:40	0,0	13,5	-		0,0	13,5	-	
11:54:40	0,0	26,9	-		0,0	26,9	-	
12:00:40	0,0	40,4	-		0,0	40,4	-	
12:06:40	0,0	53,8	-		0,0	53,8	-	
12:12:40	0,0	67,3	-		0,0	67,3	-	
12:18:40	0,0	80,8	-		0,0	80,8	-	
12:24:40	0,0	94,2	-		0,0	94,2	-	
12:30:40	0,0	107,7	-		0,0	107,7	-	
12:36:40	0,0	121,2	-		0,0	121,2	-	
12:42:40	0,0	134,6	-		0,0	134,6	-	
12:48:40	0,0	148,1	-		0,0	148,1	-	
	0,0	161,5	-		0,0	161,5	-	
	0,0	175,0	-		0,0	175,0	-	
	0,0	188,5	-		0,0	188,5	-	
	0,0	201,9	-		0,0	201,9	-	
	0,0	215,4	-		0,0	215,4	-	
	0,0	228,8	-		0,0	228,8	-	
	0,0	242,3	-		0,0	242,3	-	
	0,0	255,8	-		0,0	255,8	-	
	0,0	269,2	-		0,0	269,2	-	
	0,0	282,7	-		0,0	282,7	-	
	0,0	309,6	-		0,0	309,6	-	
	0,0	323,1	-		0,0	323,1	-	
	0,0	336,5	-		0,0	336,5	-	
	0,0	350,0	-		0,0	350,0	-	

Annex 83. Information from B-type sensors at work T3C1 for 24/08/00

Time of thruster Start-Up - 11:40:59

Time of thruster Switching Off - 12:41:31

Time	DRT3-2 Current	DRT3-2 Bias Voltage	DRT3-2 Current Density	DRT3-2 Ion Energy	DRT3-1 Current	DRT3-1 Bias Voltage	DRT3-1 Current Density	DRT3-1 Ion Energy
hh:mm:ss	nA	V	nA/cm2	eV - %	nA	V	nA/cm2	eV
11:36:40	0,0	0,0	0,0	0,0	0,0	0,0	0,0	0,0
11:42:40	0,0	13,5	-		0,0	13,5	-	
11:48:40	0,0	26,9	-		0,0	26,9	-	
11:54:40	0,0	40,4	-		0,0	40,4	-	
12:00:40	0,0	53,8	-		0,0	53,8	-	
12:06:40	0,0	67,3	-		0,0	67,3	-	
12:12:40	0,0	80,8	-		0,0	80,8	-	
12:18:40	0,0	94,2	-		0,0	94,2	-	
12:24:40	0,0	107,7	-		0,0	107,7	-	
12:30:40	0,0	121,2	-		0,0	121,2	-	
12:36:40	0,0	134,6	-		0,0	134,6	-	
12:42:40	0,0	148,1	-		0,0	148,1	-	
	0,0	161,5	-		0,0	161,5	-	
	0,0	175,0	-		0,0	175,0	-	
	0,0	188,5	-		0,0	188,5	-	
	0,0	201,9	-		0,0	201,9	-	
	0,0	215,4	-		0,0	215,4	-	
	0,0	228,8	-		0,0	228,8	-	
	0,0	242,3	-		0,0	242,3	-	
	0,0	255,8	-		0,0	255,8	-	
	0,0	269,2	-		0,0	269,2	-	
	0,0	282,7	-		0,0	282,7	-	
	0,0	309,6	-		0,0	309,6	-	
	0,0	323,1	-		0,0	323,1	-	
	0,0	336,5	-		0,0	336,5	-	
	0,0	350,0	-		0,0	350,0	-	

Annex 84. Information from B-type sensors at work T3C1 for 26/08/00

Time of thruster Start-Up - 11:33:07

Time of thruster Switching Off - 12:33:43

Time	DRT3-2 Current	DRT3-2 Bias Voltage	DRT3-2 Current Density	DRT3-2 Ion Energy	DRT3-1 Current	DRT3-1 Bias Voltage	DRT3-1 Current Density	DRT3-1 Ion Energy
hh:mm:ss	nA	V	nA/cm2	eV - %	nA	V	nA/cm2	eV
11:30:40	0,0	0,0	0,0	0,0	0,0	0,0	0,0	0,0
11:36:40	0,0	13,5	-		0,0	13,5	-	
11:42:40	0,0	26,9	-		0,0	26,9	-	
11:48:40	0,0	40,4	-		0,0	40,4	-	
11:54:40	0,0	53,8	-		0,0	53,8	-	
12:00:40	0,0	67,3	-		0,0	67,3	-	
12:06:40	0,0	80,8	-		0,0	80,8	-	
12:12:40	0,0	94,2	-		0,0	94,2	-	
12:18:40	0,0	107,7	-		0,0	107,7	-	
12:24:40	0,0	121,2	-		0,0	121,2	-	
12:30:40	0,0	134,6	-		0,0	134,6	-	
12:36:40	0,0	148,1	-		0,0	148,1	-	
	0,0	161,5	-		0,0	161,5	-	
	0,0	175,0	-		0,0	175,0	-	
	0,0	188,5	-		0,0	188,5	-	
	0,0	201,9	-		0,0	201,9	-	
	0,0	215,4	-		0,0	215,4	-	
	0,0	228,8	-		0,0	228,8	-	
	0,0	242,3	-		0,0	242,3	-	
	0,0	255,8	-		0,0	255,8	-	
	0,0	269,2	-		0,0	269,2	-	
	0,0	282,7	-		0,0	282,7	-	
	0,0	309,6	-		0,0	309,6	-	
	0,0	323,1	-		0,0	323,1	-	
	0,0	336,5	-		0,0	336,5	-	
	0,0	350,0	-		0,0	350,0	-	

Annex 85. Information from B-type sensors at work T3C1 for 28/08/00

Time of thruster Start-Up - 11:25:15

Time of thruster Switching Off - 12:25:51

Time	DRT3-2 Current	DRT3-2 Bias Voltage	DRT3-2 Current Density	DRT3-2 Ion Energy	DRT3-1 Current	DRT3-1 Bias Voltage	DRT3-1 Current Density	DRT3-1 Ion Energy
hh:mm:ss	nA	V	nA/cm2	eV - %	nA	V	nA/cm2	eV
11:24:40	0,0	0,0	0,0	0,0	0,0	0,0	0,0	0,0
11:30:40	0,0	13,5	-		0,0	13,5	-	
11:36:40	0,0	26,9	-		0,0	26,9	-	
11:42:40	0,0	40,4	-		0,0	40,4	-	
11:48:40	0,0	53,8	-		0,0	53,8	-	
11:54:40	0,0	67,3	-		0,0	67,3	-	
12:00:40	0,0	80,8	-		0,0	80,8	-	
12:06:40	0,0	94,2	-		0,0	94,2	-	
12:12:40	0,0	107,7	-		0,0	107,7	-	
12:18:40	0,0	121,2	-		0,0	121,2	-	
12:24:40	0,0	134,6	-		0,0	134,6	-	
12:30:40	0,0	148,1	-		0,0	148,1	-	
	0,0	161,5	-		0,0	161,5	-	
	0,0	175,0	-		0,0	175,0	-	
	0,0	188,5	-		0,0	188,5	-	
	0,0	201,9	-		0,0	201,9	-	
	0,0	215,4	-		0,0	215,4	-	
	0,0	228,8	-		0,0	228,8	-	
	0,0	242,3	-		0,0	242,3	-	
	0,0	255,8	-		0,0	255,8	-	
	0,0	269,2	-		0,0	269,2	-	
	0,0	282,7	-		0,0	282,7	-	
	0,0	309,6	-		0,0	309,6	-	
	0,0	323,1	-		0,0	323,1	-	
	0,0	336,5	-		0,0	336,5	-	
	0,0	350,0	-		0,0	350,0	-	

Annex 86. Information from B-type sensors at work T3C1 for 31/08/00

Time of thruster Start-Up - 11:13:27

Time of thruster Switching Off - 12:14:03

Time	DRT3-2 Current	DRT3-2 Bias Voltage	DRT3-2 Current Density	DRT3-2 Ion Energy	DRT3-1 Current	DRT3-1 Bias Voltage	DRT3-1 Current Density	DRT3-1 Ion Energy
hh:mm:ss	nA	V	nA/cm2	eV - %	nA	V	nA/cm2	eV
11:07:59	0,0	0,0	0,0	0,0	0,0	0,0	0,0	0,0
11:13:59	0,0	13,5	-		0,0	13,5	-	
11:19:59	0,0	26,9	-		0,0	26,9	-	
11:25:59	0,0	40,4	-		0,0	40,4	-	
11:31:59	0,0	53,8	-		0,0	53,8	-	
11:37:59	0,0	67,3	-		0,0	67,3	-	
11:43:59	0,0	80,8	-		0,0	80,8	-	
11:49:59	0,0	94,2	-		0,0	94,2	-	
11:55:59	0,0	107,7	-		0,0	107,7	-	
12:01:59	0,0	121,2	-		0,0	121,2	-	
12:07:59	0,0	134,6	-		0,0	134,6	-	
12:13:59	0,0	148,1	-		0,0	148,1	-	
12:19:59	0,0	161,5	-		0,0	161,5	-	
	0,0	175,0	-		0,0	175,0	-	
	0,0	188,5	-		0,0	188,5	-	
	0,0	201,9	-		0,0	201,9	-	
	0,0	215,4	-		0,0	215,4	-	
	0,0	228,8	-		0,0	228,8	-	
	0,0	242,3	-		0,0	242,3	-	
	0,0	255,8	-		0,0	255,8	-	
	0,0	269,2	-		0,0	269,2	-	
	0,0	282,7	-		0,0	282,7	-	
	0,0	309,6	-		0,0	309,6	-	
	0,0	323,1	-		0,0	323,1	-	
	0,0	336,5	-		0,0	336,5	-	
	0,0	350,0	-		0,0	350,0	-	

Annex 87. Information from B-type sensors at work T3C1 for 01/09/00

Time of thruster Start-Up - 11:09:31

Time of thruster Switching Off - 12:10:07

Time	DRT3-2 Current	DRT3-2 Bias Voltage	DRT3-2 Current Density	DRT3-2 Ion Energy	DRT3-1 Current	DRT3-1 Bias Voltage	DRT3-1 Current Density	DRT3-1 Ion Energy
hh:mm:ss	nA	V	nA/cm2	eV - %	nA	V	nA/cm2	eV
11:07:59	0,0	0,0	0,0	0,0	0,0	0,0	0,0	0,0
11:13:59	0,0	13,5	-		0,0	13,5	-	
11:19:59	0,0	26,9	-		0,0	26,9	-	
11:25:59	0,0	40,4	-		0,0	40,4	-	
11:31:59	0,0	53,8	-		0,0	53,8	-	
11:37:59	0,0	67,3	-		0,0	67,3	-	
11:43:59	0,0	80,8	-		0,0	80,8	-	
11:49:59	0,0	94,2	-		0,0	94,2	-	
11:55:59	0,0	107,7	-		0,0	107,7	-	
12:01:59	0,0	121,2	-		0,0	121,2	-	
12:07:59	0,0	134,6	-		0,0	134,6	-	
12:13:59	0,0	148,1	-		0,0	148,1	-	
	0,0	161,5	-		0,0	161,5	-	
	0,0	175,0	-		0,0	175,0	-	
	0,0	188,5	-		0,0	188,5	-	
	0,0	201,9	-		0,0	201,9	-	
	0,0	215,4	-		0,0	215,4	-	
	0,0	228,8	-		0,0	228,8	-	
	0,0	242,3	-		0,0	242,3	-	
	0,0	255,8	-		0,0	255,8	-	
	0,0	269,2	-		0,0	269,2	-	
	0,0	282,7	-		0,0	282,7	-	
	0,0	309,6	-		0,0	309,6	-	
	0,0	323,1	-		0,0	323,1	-	
	0,0	336,5	-		0,0	336,5	-	
	0,0	350,0	-		0,0	350,0	-	

Annex 88. Information from B-type sensors at work RT4C1 for 04/09/00

Time of thruster Start-Up - 21:21:15

Time of thruster Switching Off - 22:31:59

Time	DRT3-2 Current	DRT3-2 Bias Voltage	DRT3-2 Current Density	DRT3-2 Ion Energy	DRT3-1 Current	DRT3-1 Bias Voltage	DRT3-1 Current Density	DRT3-1 Ion Energy
hh:mm:ss	nA	V	nA/cm2	eV - %	nA	V	nA/cm2	eV
21:19:59	0,0	0,0	0,0	0,0	0,0	0,0	0,0	0,0
	0,0	13,5	-		0,0	13,5	-	
	0,0	26,9	-		0,0	26,9	-	
	0,0	40,4	-		0,0	40,4	-	
	0,0	53,8	-		0,0	53,8	-	
	0,0	67,3	-		0,0	67,3	-	
	0,0	80,8	-		0,0	80,8	-	
	0,0	94,2	-		0,0	94,2	-	
	0,0	107,7	-		0,0	107,7	-	
	0,0	121,2	-		0,0	121,2	-	
	0,0	134,6	-		0,0	134,6	-	
	0,0	148,1	-		0,0	148,1	-	
	0,0	161,5	-		0,0	161,5	-	
	0,0	175,0	-		0,0	175,0	-	
	0,0	188,5	-		0,0	188,5	-	
	0,0	201,9	-		0,0	201,9	-	
	0,0	215,4	-		0,0	215,4	-	
	0,0	228,8	-		0,0	228,8	-	
	0,0	242,3	-		0,0	242,3	-	
	0,0	255,8	-		0,0	255,8	-	
	0,0	269,2	-		0,0	269,2	-	
	0,0	282,7	-		0,0	282,7	-	
	0,0	309,6	-		0,0	309,6	-	
	0,0	323,1	-		0,0	323,1	-	
	0,0	336,5	-		0,0	336,5	-	
	0,0	350,0	-		0,0	350,0	-	
21:25:59	0,0	0,0	0,0	0,0	99,26999	0,0	248,175	20-37% 245-2%
	0,0	13,5	-		99,26999	13,5	-	
	0,0	26,9	-		82,23111	26,9	-	
	0,0	40,4	-		72,49322	40,4	-	
	0,0	53,8	-		37,22625	53,8	-	
	0,0	67,3	-		30,60825	67,3	-	
	0,0	80,8	-		24,59591	80,8	-	
	0,0	94,2	-		19,67673	94,2	-	
	0,0	107,7	-		16,01594	107,7	-	
	0,0	121,2	-		13,11782	121,2	-	
	0,0	134,6	-		11,10783	134,6	-	
	0,0	148,1	-		10,27889	148,1	-	
	0,0	161,5	-		8,94397	161,5	-	
	0,0	175,0	-		8,00797	175,0	-	
	0,0	188,5	-		7,09985	188,5	-	
	0,0	201,9	-		6,37672	201,9	-	
	0,0	215,4	-		5,38036	215,4	-	
	0,0	228,8	-		4,14871	228,8	-	
	0,0	242,3	-		2,35851	242,3	-	
	0,0	255,8	-		0,0	255,8	-	
	0,0	269,2	-		0,0	269,2	-	
	0,0	282,7	-		0,0	282,7	-	
	0,0	309,6	-		0,0	309,6	-	
	0,0	323,1	-		0,0	323,1	-	
	0,0	336,5	-		0,0	336,5	-	
	0,0	350,0	-		0,0	350,0	-	

Time	DRT3-2 Current	DRT3-2 Bias Voltage	DRT3-2 Current Density	DRT3-2 Ion Energy	DRT3-1 Current	DRT3-1 Bias Voltage	DRT3-1 Current Density	DRT3-1 Ion Energy
hh:mm:ss	nA	V	nA/cm2	eV - %	nA	V	nA/cm2	eV
21:31:59	0,0	0,0	0,0	0,0	94,99111	0,0	237,478	20-39% 245-2%
	0,0	13,5	-		94,99111	13,5	-	
	0,0	26,9	-		70,63442	26,9	-	
	0,0	40,4	-		35,77587	40,4	-	
	0,0	53,8	-		28,10961	53,8	-	
	0,0	67,3	-		22,39628	67,3	-	
	0,0	80,8	-		18,86810	80,8	-	
	0,0	94,2	-		15,83185	94,2	-	
	0,0	107,7	-		13,24395	107,7	-	
	0,0	121,2	-		11,38323	121,2	-	
	0,0	134,6	-		9,56508	134,6	-	
	0,0	148,1	-		8,50229	148,1	-	
	0,0	161,5	-		7,48571	161,5	-	
	0,0	175,0	-		6,62198	175,0	-	
	0,0	188,5	-		5,78727	188,5	-	
	0,0	201,9	-		5,29758	201,9	-	
	0,0	215,4	-		4,65328	215,4	-	
	0,0	228,8	-		3,62466	228,8	-	
	0,0	242,3	-		2,32664	242,3	-	
	0,0	255,8	-		0,0	255,8	-	
	0,0	269,2	-		0,0	269,2	-	
	0,0	282,7	-		0,0	282,7	-	
	0,0	309,6	-		0,0	309,6	-	
	0,0	323,1	-		0,0	323,1	-	
	0,0	336,5	-		0,0	336,5	-	
	0,0	350,0	-		0,0	350,0	-	
21:37:59	0,0	0,0	0,0	0,0	96,65762	0,0	241,644	20-41% 245-2%
	0,0	13,5	-		96,65762	13,5	-	
	0,0	26,9	-		74,45249	26,9	-	
	0,0	40,4	-		36,72990	40,4	-	
	0,0	53,8	-		28,39940	53,8	-	
	0,0	67,3	-		22,57985	67,3	-	
	0,0	80,8	-		18,86810	80,8	-	
	0,0	94,2	-		15,30412	94,2	-	
	0,0	107,7	-		12,63643	107,7	-	
	0,0	121,2	-		10,59516	121,2	-	
	0,0	134,6	-		9,06165	134,6	-	
	0,0	148,1	-		7,91593	148,1	-	
	0,0	161,5	-		6,88686	161,5	-	
	0,0	175,0	-		6,14898	175,0	-	
	0,0	188,5	-		5,42272	188,5	-	
	0,0	201,9	-		4,78254	201,9	-	
	0,0	215,4	-		4,14871	215,4	-	
	0,0	228,8	-		3,27946	228,8	-	
	0,0	242,3	-		2,17939	242,3	-	
	0,0	255,8	-		0,0	255,8	-	
	0,0	269,2	-		0,0	269,2	-	
	0,0	282,7	-		0,0	282,7	-	
	0,0	309,6	-		0,0	309,6	-	
	0,0	323,1	-		0,0	323,1	-	
	0,0	336,5	-		0,0	336,5	-	
	0,0	350,0	-		0,0	350,0	-	
21:43:59	0,0	0,0	0,0	0,0	96,65762	0,0	241,644	20-39% 245-2%
	0,0	13,5	-		96,65762	13,5	-	
	0,0	26,9	-		75,47239	26,9	-	
	0,0	40,4	-		39,35346	40,4	-	
	0,0	53,8	-		30,95216	53,8	-	
	0,0	67,3	-		24,81750	67,3	-	
	0,0	80,8	-		20,25546	80,8	-	
	0,0	94,2	-		16,59483	94,2	-	

Time	DRT3-2 Current	DRT3-2 Bias Voltage	DRT3-2 Current Density	DRT3-2 Ion Energy	DRT3-1 Current	DRT3-1 Bias Voltage	DRT3-1 Current Density	DRT3-1 Ion Energy
hh:mm:ss	nA	V	nA/cm2	eV - %	nA	V	nA/cm2	eV
	0,0	107,7	-		13,63734	107,7	-	
	0,0	121,2	-		11,19814	121,2	-	
	0,0	134,6	-		9,43405	134,6	-	
	0,0	148,1	-		8,19864	148,1	-	
	0,0	161,5	-		7,24932	161,5	-	
	0,0	175,0	-		6,43631	175,0	-	
	0,0	188,5	-		5,78727	188,5	-	
	0,0	201,9	-		5,13944	201,9	-	
	0,0	215,4	-		4,41465	215,4	-	
	0,0	228,8	-		3,51370	228,8	-	
	0,0	242,3	-		2,35851	242,3	-	
	0,0	255,8	-		0,0	255,8	-	
	0,0	269,2	-		0,0	269,2	-	
	0,0	282,7	-		0,0	282,7	-	
	0,0	309,6	-		0,0	309,6	-	
	0,0	323,1	-		0,0	323,1	-	
	0,0	336,5	-		0,0	336,5	-	
	0,0	350,0	-		0,0	350,0	-	
21:49:59	0,0	0,0	0,0	0,0	95,81712	0,0	239,543	20-43% 245-2%
	0,0	13,5	-		95,81712	13,5	-	
	0,0	26,9	-		76,52062	26,9	-	
	0,0	40,4	-		36,72990	40,4	-	
	0,0	53,8	-		29,62088	53,8	-	
	0,0	67,3	-		22,95619	67,3	-	
	0,0	80,8	-		19,13015	80,8	-	
	0,0	94,2	-		15,65194	94,2	-	
	0,0	107,7	-		12,63643	107,7	-	
	0,0	121,2	-		10,59516	121,2	-	
	0,0	134,6	-		9,18247	134,6	-	
	0,0	148,1	-		7,91593	148,1	-	
	0,0	161,5	-		6,75182	161,5	-	
	0,0	175,0	-		5,98857	175,0	-	
	0,0	188,5	-		5,42272	188,5	-	
	0,0	201,9	-		4,78254	201,9	-	
	0,0	215,4	-		4,19930	215,4	-	
	0,0	228,8	-		3,37591	228,8	-	
	0,0	242,3	-		2,15214	242,3	-	
	0,0	255,8	-		0,0	255,8	-	
	0,0	269,2	-		0,0	269,2	-	
	0,0	282,7	-		0,0	282,7	-	
	0,0	309,6	-		0,0	309,6	-	
	0,0	323,1	-		0,0	323,1	-	
	0,0	336,5	-		0,0	336,5	-	
	0,0	350,0	-		0,0	350,0	-	
21:55:59	0,0	0,0	0,0	0,0	96,65762	0,0	241,644	20-40% 245-2%
	0,0	13,5	-		96,65762	13,5	-	
	0,0	26,9	-		76,52062	26,9	-	
	0,0	40,4	-		39,35346	40,4	-	
	0,0	53,8	-		31,66370	53,8	-	
	0,0	67,3	-		25,50687	67,3	-	
	0,0	80,8	-		20,25546	80,8	-	
	0,0	94,2	-		16,79721	94,2	-	
	0,0	107,7	-		13,77371	107,7	-	
	0,0	121,2	-		11,19814	121,2	-	
	0,0	134,6	-		9,43405	134,6	-	
	0,0	148,1	-		8,29742	148,1	-	
	0,0	161,5	-		7,09985	161,5	-	
	0,0	175,0	-		6,43631	175,0	-	
	0,0	188,5	-		5,73905	188,5	-	
	0,0	201,9	-		5,13944	201,9	-	

Time	DRT3-2 Current	DRT3-2 Bias Voltage	DRT3-2 Current Density	DRT3-2 Ion Energy	DRT3-1 Current	DRT3-1 Bias Voltage	DRT3-1 Current Density	DRT3-1 Ion Energy
hh:mm:ss	nA	V	nA/cm2	eV - %	nA	V	nA/cm2	eV
	0,0	215,4	-		4,41465	215,4	-	
	0,0	228,8	-		3,54993	228,8	-	
	0,0	242,3	-		2,32664	242,3	-	
	0,0	255,8	-		0,0	255,8	-	
	0,0	269,2	-		0,0	269,2	-	
	0,0	282,7	-		0,0	282,7	-	
	0,0	309,6	-		0,0	309,6	-	
	0,0	323,1	-		0,0	323,1	-	
	0,0	336,5	-		0,0	336,5	-	
	0,0	350,0	-		0,0	350,0	-	
22:01:59	0,0	0,0	0,0	0,0	96,65762	0,0	241,644	20-42% 245-2%
	0,0	13,5	-		96,65762	13,5	-	
	0,0	26,9	-		75,47239	26,9	-	
	0,0	40,4	-		36,72990	40,4	-	
	0,0	53,8	-		29,94285	53,8	-	
	0,0	67,3	-		23,95428	67,3	-	
	0,0	80,8	-		19,39959	80,8	-	
	0,0	94,2	-		15,65194	94,2	-	
	0,0	107,7	-		12,99407	107,7	-	
	0,0	121,2	-		10,76071	121,2	-	
	0,0	134,6	-		9,06165	134,6	-	
	0,0	148,1	-		7,65206	148,1	-	
	0,0	161,5	-		6,81867	161,5	-	
	0,0	175,0	-		5,93694	175,0	-	
	0,0	188,5	-		5,38036	188,5	-	
	0,0	201,9	-		4,78254	201,9	-	
	0,0	215,4	-		4,14871	215,4	-	
	0,0	228,8	-		3,21816	228,8	-	
	0,0	242,3	-		2,15214	242,3	-	
	0,0	255,8	-		0,0	255,8	-	
	0,0	269,2	-		0,0	269,2	-	
	0,0	282,7	-		0,0	282,7	-	
	0,0	309,6	-		0,0	309,6	-	
	0,0	323,1	-		0,0	323,1	-	
	0,0	336,5	-		0,0	336,5	-	
	0,0	350,0	-		0,0	350,0	-	
22:07:59	0,0	0,0	0,0	0,0	95,81712	0,0	239,543	20-40% 245-2%
	0,0	13,5	-		95,81712	13,5	-	
	0,0	26,9	-		75,47239	26,9	-	
	0,0	40,4	-		39,35346	40,4	-	
	0,0	53,8	-		31,66370	53,8	-	
	0,0	67,3	-		25,27286	67,3	-	
	0,0	80,8	-		19,96190	80,8	-	
	0,0	94,2	-		16,59483	94,2	-	
	0,0	107,7	-		14,05481	107,7	-	
	0,0	121,2	-		11,01897	121,2	-	
	0,0	134,6	-		9,56508	134,6	-	
	0,0	148,1	-		8,10218	148,1	-	
	0,0	161,5	-		7,24932	161,5	-	
	0,0	175,0	-		6,20437	175,0	-	
	0,0	188,5	-		5,50948	188,5	-	
	0,0	201,9	-		5,06386	201,9	-	
	0,0	215,4	-		4,30429	215,4	-	
	0,0	228,8	-		3,44343	228,8	-	
	0,0	242,3	-		2,26541	242,3	-	
	0,0	255,8	-		0,0	255,8	-	
	0,0	269,2	-		0,0	269,2	-	
	0,0	282,7	-		0,0	282,7	-	
	0,0	309,6	-		0,0	309,6	-	
	0,0	323,1	-		0,0	323,1	-	

Time	DRT3-2 Current	DRT3-2 Bias Voltage	DRT3-2 Current Density	DRT3-2 Ion Energy	DRT3-1 Current	DRT3-1 Bias Voltage	DRT3-1 Current Density	DRT3-1 Ion Energy
hh:mm:ss	nA	V	nA/cm2	eV - %	nA	V	nA/cm2	eV
22:13:59	0,0	336,5	-	0,0	0,0	336,5	-	20-42% 245-2%
	0,0	350,0	-		0,0	350,0	-	
	0,0	0,0	0,0		95,81712	0,0	239,543	
	0,0	13,5	-		95,81712	13,5	-	
	0,0	26,9	-		75,47239	26,9	-	
	0,0	40,4	-		36,72990	40,4	-	
	0,0	53,8	-		28,99729	53,8	-	
	0,0	67,3	-		23,74778	67,3	-	
	0,0	80,8	-		19,67673	80,8	-	
	0,0	94,2	-		15,65194	94,2	-	
	0,0	107,7	-		12,99407	107,7	-	
	0,0	121,2	-		10,76071	121,2	-	
	0,0	134,6	-		8,94397	134,6	-	
	0,0	148,1	-		7,73804	148,1	-	
	0,0	161,5	-		6,55891	161,5	-	
	0,0	175,0	-		6,04110	175,0	-	
	0,0	188,5	-		5,21732	188,5	-	
	0,0	201,9	-		4,65328	201,9	-	
	0,0	215,4	-		4,09932	215,4	-	
	0,0	228,8	-		3,24852	228,8	-	
	0,0	242,3	-		2,07435	242,3	-	
	0,0	255,8	-		0,0	255,8	-	
	0,0	269,2	-		0,0	269,2	-	
	0,0	282,7	-		0,0	282,7	-	
	0,0	309,6	-		0,0	309,6	-	
	0,0	323,1	-		0,0	323,1	-	
	0,0	336,5	-		0,0	336,5	-	
	0,0	350,0	-		0,0	350,0	-	
22:19:59	0,0	0,0	0,0	0,0	95,81712	0,0	239,543	20-40% 245-2%
	0,0	13,5	-		95,81712	13,5	-	
	0,0	26,9	-		75,47239	26,9	-	
	0,0	40,4	-		39,35346	40,4	-	
	0,0	53,8	-		31,66370	53,8	-	
	0,0	67,3	-		25,50687	67,3	-	
	0,0	80,8	-		20,25546	80,8	-	
	0,0	94,2	-		16,79721	94,2	-	
	0,0	107,7	-		13,63734	107,7	-	
	0,0	121,2	-		11,28993	121,2	-	
	0,0	134,6	-		9,43405	134,6	-	
	0,0	148,1	-		8,19864	148,1	-	
	0,0	161,5	-		7,09985	161,5	-	
	0,0	175,0	-		6,26078	175,0	-	
	0,0	188,5	-		5,59907	188,5	-	
	0,0	201,9	-		4,99048	201,9	-	
	0,0	215,4	-		4,19930	215,4	-	
	0,0	228,8	-		3,44343	228,8	-	
	0,0	242,3	-		2,20733	242,3	-	
	0,0	255,8	-		0,0	255,8	-	
	0,0	269,2	-		0,0	269,2	-	
	0,0	282,7	-		0,0	282,7	-	
	0,0	309,6	-		0,0	309,6	-	
	0,0	323,1	-		0,0	323,1	-	
	0,0	336,5	-		0,0	336,5	-	
	0,0	350,0	-		0,0	350,0	-	
22:25:59	0,0	0,0	0,0	0,0	95,81712	0,0	239,543	20-40% 245-2%
	0,0	13,5	-		95,81712	13,5	-	
	0,0	26,9	-		75,47239	26,9	-	
	0,0	40,4	-		39,35346	40,4	-	
	0,0	53,8	-		30,95216	53,8	-	
	0,0	67,3	-		24,59591	67,3	-	

Time	DRT3-2 Current	DRT3-2 Bias Voltage	DRT3-2 Current Density	DRT3-2 Ion Energy	DRT3-1 Current	DRT3-1 Bias Voltage	DRT3-1 Current Density	DRT3-1 Ion Energy
hh:mm:ss	nA	V	nA/cm2	eV - %	nA	V	nA/cm2	eV
	0,0	80,8	-		20,55778	80,8	-	
	0,0	94,2	-		16,01594	94,2	-	
	0,0	107,7	-		13,37254	107,7	-	
	0,0	121,2	-		11,01897	121,2	-	
	0,0	134,6	-		9,30656	134,6	-	
	0,0	148,1	-		7,91593	148,1	-	
	0,0	161,5	-		7,09985	161,5	-	
	0,0	175,0	-		6,26078	175,0	-	
	0,0	188,5	-		5,50948	188,5	-	
	0,0	201,9	-		4,91918	201,9	-	
	0,0	215,4	-		4,19930	215,4	-	
	0,0	228,8	-		3,37591	228,8	-	
	0,0	242,3	-		2,20733	242,3	-	
	0,0	255,8	-		0,0	255,8	-	
	0,0	269,2	-		0,0	269,2	-	
	0,0	282,7	-		0,0	282,7	-	
	0,0	309,6	-		0,0	309,6	-	
	0,0	323,1	-		0,0	323,1	-	
	0,0	336,5	-		0,0	336,5	-	
	0,0	350,0	-		0,0	350,0	-	
22:31:59	0,0	0,0	0,0	0,0	94,72576	0,0	236,814	20-39% 245-2%
	0,0	13,5	-		94,72576	13,5	-	
	0,0	26,9	-		75,74567	26,9	-	
	0,0	40,4	-		39,67545	40,4	-	
	0,0	53,8	-		30,74433	53,8	-	
	0,0	67,3	-		24,76357	67,3	-	
	0,0	80,8	-		20,63528	80,8	-	
	0,0	94,2	-		14,96537	94,2	-	
	0,0	107,7	-		13,06853	107,7	-	
	0,0	121,2	-		11,35621	121,2	-	
	0,0	134,6	-		9,64324	134,6	-	
	0,0	148,1	-		7,54367	148,1	-	
	0,0	161,5	-		7,05436	161,5	-	
	0,0	175,0	-		6,26078	175,0	-	
	0,0	188,5	-		5,50948	188,5	-	
	0,0	201,9	-		4,86331	201,9	-	
	0,0	215,4	-		4,01993	215,4	-	
	0,0	228,8	-		3,12543	228,8	-	
	0,0	242,3	-		2,26438	242,3	-	
	0,0	255,8	-		0,0	255,8	-	
	0,0	269,2	-		0,0	269,2	-	
	0,0	282,7	-		0,0	282,7	-	
	0,0	309,6	-		0,0	309,6	-	
	0,0	323,1	-		0,0	323,1	-	
	0,0	336,5	-		0,0	336,5	-	
	0,0	350,0	-		0,0	350,0	-	
22:37:59	0,0	0,0	0,0	0,0	0,0	0,0	0,0	0,0
	0,0	13,5	-		0,0	13,5	-	
	0,0	26,9	-		0,0	26,9	-	
	0,0	40,4	-		0,0	40,4	-	
	0,0	53,8	-		0,0	53,8	-	
	0,0	67,3	-		0,0	67,3	-	
	0,0	80,8	-		0,0	80,8	-	
	0,0	94,2	-		0,0	94,2	-	
	0,0	107,7	-		0,0	107,7	-	
	0,0	121,2	-		0,0	121,2	-	
	0,0	134,6	-		0,0	134,6	-	
	0,0	148,1	-		0,0	148,1	-	
	0,0	161,5	-		0,0	161,5	-	
	0,0	175,0	-		0,0	175,0	-	

Time	DRT3-2 Current	DRT3-2 Bias Voltage	DRT3-2 Current Density	DRT3-2 Ion Energy	DRT3-1 Current	DRT3-1 Bias Voltage	DRT3-1 Current Density	DRT3-1 Ion Energy
hh:mm:ss	nA	V	nA/cm2	eV - %	nA	V	nA/cm2	eV
	0,0	188,5	-		0,0	188,5	-	
	0,0	201,9	-		0,0	201,9	-	
	0,0	215,4	-		0,0	215,4	-	
	0,0	228,8	-		0,0	228,8	-	
	0,0	242,3	-		0,0	242,3	-	
	0,0	255,8	-		0,0	255,8	-	
	0,0	269,2	-		0,0	269,2	-	
	0,0	282,7	-		0,0	282,7	-	
	0,0	309,6	-		0,0	309,6	-	
	0,0	323,1	-		0,0	323,1	-	
	0,0	336,5	-		0,0	336,5	-	
	0,0	350,0	-		0,0	350,0	-	

Annex 89. Information from B-type sensors at work RT3C1 for 07/09/00

Time of thruster Start-Up - 10:41:27

Time of thruster Switching Off - 11:52:11

Time	DRT3-2 Current	DRT3-2 Bias Voltage	DRT3-2 Current Density	DRT3-2 Ion Energy	DRT3-1 Current	DRT3-1 Bias Voltage	DRT3-1 Current Density	DRT3-1 Ion Energy
hh:mm:ss	nA	V	nA/cm2	eV - %	nA	V	nA/cm2	eV
10:37:57	0,0	0,0	0,0	0,0	0,0	0,0	0,0	0,0
10:43:57	0,0	13,5	-		0,0	13,5	-	
10:49:57	0,0	26,9	-		0,0	26,9	-	
10:55:57	0,0	40,4	-		0,0	40,4	-	
11:01:57	0,0	53,8	-		0,0	53,8	-	
11:07:57	0,0	67,3	-		0,0	67,3	-	
11:13:57	0,0	80,8	-		0,0	80,8	-	
11:19:57	0,0	94,2	-		0,0	94,2	-	
11:25:57	0,0	107,7	-		0,0	107,7	-	
11:31:57	0,0	121,2	-		0,0	121,2	-	
11:37:57	0,0	134,6	-		0,0	134,6	-	
11:43:57	0,0	148,1	-		0,0	148,1	-	
11:49:57	0,0	161,5	-		0,0	161,5	-	
11:55:57	0,0	175,0	-		0,0	175,0	-	
	0,0	188,5	-		0,0	188,5	-	
	0,0	201,9	-		0,0	201,9	-	
	0,0	215,4	-		0,0	215,4	-	
	0,0	228,8	-		0,0	228,8	-	
	0,0	242,3	-		0,0	242,3	-	
	0,0	255,8	-		0,0	255,8	-	
	0,0	269,2	-		0,0	269,2	-	
	0,0	282,7	-		0,0	282,7	-	
	0,0	309,6	-		0,0	309,6	-	
	0,0	323,1	-		0,0	323,1	-	
	0,0	336,5	-		0,0	336,5	-	
	0,0	350,0	-		0,0	350,0	-	

Annex 90. Information from B-type sensors at work T3C1 for 11/09/00

Time of thruster Start-Up - 10:25:35

Time of thruster Switching Off - 11:36:23

Time	DRT3-2 Current	DRT3-2 Bias Voltage	DRT3-2 Current Density	DRT3-2 Ion Energy	DRT3-1 Current	DRT3-1 Bias Voltage	DRT3-1 Current Density	DRT3-1 Ion Energy
hh:mm:ss	nA	V	nA/cm2	eV - %	nA	V	nA/cm2	eV
10:19:57	0,0	0,0	0,0	0,0	0,0	0,0	0,0	0,0
10:25:57	0,0	13,5	-		0,0	13,5	-	
10:31:57	0,0	26,9	-		0,0	26,9	-	
10:37:57	0,0	40,4	-		0,0	40,4	-	
10:43:57	0,0	53,8	-		0,0	53,8	-	
10:49:57	0,0	67,3	-		0,0	67,3	-	
10:55:57	0,0	80,8	-		0,0	80,8	-	
11:01:57	0,0	94,2	-		0,0	94,2	-	
11:07:57	0,0	107,7	-		0,0	107,7	-	
11:13:57	0,0	121,2	-		0,0	121,2	-	
11:19:57	0,0	134,6	-		0,0	134,6	-	
11:25:57	0,0	148,1	-		0,0	148,1	-	
11:31:57	0,0	161,5	-		0,0	161,5	-	
11:37:57	0,0	175,0	-		0,0	175,0	-	
	0,0	188,5	-		0,0	188,5	-	
	0,0	201,9	-		0,0	201,9	-	
	0,0	215,4	-		0,0	215,4	-	
	0,0	228,8	-		0,0	228,8	-	
	0,0	242,3	-		0,0	242,3	-	
	0,0	255,8	-		0,0	255,8	-	
	0,0	269,2	-		0,0	269,2	-	
	0,0	282,7	-		0,0	282,7	-	
	0,0	309,6	-		0,0	309,6	-	
	0,0	323,1	-		0,0	323,1	-	
	0,0	336,5	-		0,0	336,5	-	
	0,0	350,0	-		0,0	350,0	-	

Annex 91. Information from B-type sensors at work T3C1 for 14/09/00

Time of thruster Start-Up - 10:13:43

Time of thruster Switching Off - 11:24:31

Time	DRT3-2 Current	DRT3-2 Bias Voltage	DRT3-2 Current Density	DRT3-2 Ion Energy	DRT3-1 Current	DRT3-1 Bias Voltage	DRT3-1 Current Density	DRT3-1 Ion Energy
hh:mm:ss	nA	V	nA/cm2	eV - %	nA	V	nA/cm2	eV
10:12:36	0,0	0,0	0,0	0,0	0,0	0,0	0,0	0,0
10:18:36	0,0	13,5	-		0,0	13,5	-	
10:24:36	0,0	26,9	-		0,0	26,9	-	
10:30:36	0,0	40,4	-		0,0	40,4	-	
10:36:36	0,0	53,8	-		0,0	53,8	-	
10:42:36	0,0	67,3	-		0,0	67,3	-	
10:48:36	0,0	80,8	-		0,0	80,8	-	
10:54:36	0,0	94,2	-		0,0	94,2	-	
11:00:36	0,0	107,7	-		0,0	107,7	-	
11:06:36	0,0	121,2	-		0,0	121,2	-	
11:12:36	0,0	134,6	-		0,0	134,6	-	
11:18:36	0,0	148,1	-		0,0	148,1	-	
11:24:36	0,0	161,5	-		0,0	161,5	-	
11:30:36	0,0	175,0	-		0,0	175,0	-	
	0,0	188,5	-		0,0	188,5	-	
	0,0	201,9	-		0,0	201,9	-	
	0,0	215,4	-		0,0	215,4	-	
	0,0	228,8	-		0,0	228,8	-	
	0,0	242,3	-		0,0	242,3	-	
	0,0	255,8	-		0,0	255,8	-	
	0,0	269,2	-		0,0	269,2	-	
	0,0	282,7	-		0,0	282,7	-	
	0,0	309,6	-		0,0	309,6	-	
	0,0	323,1	-		0,0	323,1	-	
	0,0	336,5	-		0,0	336,5	-	
	0,0	350,0	-		0,0	350,0	-	

Annex 92. Information from B-type sensors at work RT4C1 for 19/09/00

Time of thruster Start-Up - 21:51:16

Time of thruster Switching Off - 23:03:04

Time	DRT3-2 Current	DRT3-2 Bias Voltage	DRT3-2 Current Density	DRT3-2 Ion Energy	DRT3-1 Current	DRT3-1 Bias Voltage	DRT3-1 Current Density	DRT3-1 Ion Energy
hh:mm:ss	nA	V	nA/cm2	eV - %	nA	V	nA/cm2	eV
21:48:36	0,0	0,0	0,0	0,0	0,0	0,0	0,0	0,0
	0,0	13,5	-		0,0	13,5	-	
	0,0	26,9	-		0,0	26,9	-	
	0,0	40,4	-		0,0	40,4	-	
	0,0	53,8	-		0,0	53,8	-	
	0,0	67,3	-		0,0	67,3	-	
	0,0	80,8	-		0,0	80,8	-	
	0,0	94,2	-		0,0	94,2	-	
	0,0	107,7	-		0,0	107,7	-	
	0,0	121,2	-		0,0	121,2	-	
	0,0	134,6	-		0,0	134,6	-	
	0,0	148,1	-		0,0	148,1	-	
	0,0	161,5	-		0,0	161,5	-	
	0,0	175,0	-		0,0	175,0	-	
	0,0	188,5	-		0,0	188,5	-	
	0,0	201,9	-		0,0	201,9	-	
	0,0	215,4	-		0,0	215,4	-	
	0,0	228,8	-		0,0	228,8	-	
	0,0	242,3	-		0,0	242,3	-	
	0,0	255,8	-		0,0	255,8	-	
	0,0	269,2	-		0,0	269,2	-	
	0,0	282,7	-		0,0	282,7	-	
	0,0	309,6	-		0,0	309,6	-	
	0,0	323,1	-		0,0	323,1	-	
	0,0	336,5	-		0,0	336,5	-	
	0,0	350,0	-		0,0	350,0	-	
21:54:36	0,0	0,0	0,0	0,0	90,31942	0,0	225,799	25 – 46% 245 – 2,3%
	0,0	13,5	-		90,31942	13,5	-	
	0,0	26,9	-		73,45979	26,9	-	
	0,0	40,4	-		32,40873	40,4	-	
	0,0	53,8	-		26,74507	53,8	-	
	0,0	67,3	-		20,86926	67,3	-	
	0,0	80,8	-		17,43508	80,8	-	
	0,0	94,2	-		14,34762	94,2	-	
	0,0	107,7	-		11,47809	107,7	-	
	0,0	121,2	-		9,69979	121,2	-	
	0,0	134,6	-		8,50229	134,6	-	
	0,0	148,1	-		7,40522	148,1	-	
	0,0	161,5	-		6,81866	161,5	-	
	0,0	175,0	-		6,14897	175,0	-	
	0,0	188,5	-		5,50948	188,5	-	
	0,0	201,9	-		4,91918	201,9	-	
	0,0	215,4	-		4,25114	215,4	-	
	0,0	228,8	-		3,58690	228,8	-	
	0,0	242,3	-		2,56972	242,3	-	
	0,0	255,8	-		0,0	255,8	-	
	0,0	269,2	-		0,0	269,2	-	
	0,0	282,7	-		0,0	282,7	-	
	0,0	309,6	-		0,0	309,6	-	
	0,0	323,1	-		0,0	323,1	-	
	0,0	336,5	-		0,0	336,5	-	
	0,0	350,0	-		0,0	350,0	-	

Time	DRT3-2 Current	DRT3-2 Bias Voltage	DRT3-2 Current Density	DRT3-2 Ion Energy	DRT3-1 Current	DRT3-1 Bias Voltage	DRT3-1 Current Density	DRT3-1 Ion Energy
hh:mm:ss	nA	V	nA/cm2	eV - %	nA	V	nA/cm2	eV
22:00:36	0,0	0,0	0,0	0,0	90,31942	0,0	225,799	25-50% 262-2,4%
	0,0	13,5	-		90,31942	13,5	-	
	0,0	26,9	-		73,45979	26,9	-	
	0,0	40,4	-		32,40873	40,4	-	
	0,0	53,8	-		26,74507	53,8	-	
	0,0	67,3	-		20,86926	67,3	-	
	0,0	80,8	-		17,43508	80,8	-	
	0,0	94,2	-		14,34762	94,2	-	
	0,0	107,7	-		11,47809	107,7	-	
	0,0	121,2	-		9,69979	121,2	-	
	0,0	134,6	-		8,50229	134,6	-	
	0,0	148,1	-		7,40522	148,1	-	
	0,0	161,5	-		6,81866	161,5	-	
	0,0	175,0	-		6,14897	175,0	-	
	0,0	188,5	-		5,50948	188,5	-	
	0,0	201,9	-		4,91918	201,9	-	
	0,0	215,4	-		4,25114	215,4	-	
	0,0	228,8	-		3,58690	228,8	-	
	0,0	242,3	-		2,56972	242,3	-	
	0,0	255,8	-		1,14780	255,8	-	
	0,0	269,2	-		0,0	269,2	-	
	0,0	282,7	-		0,0	282,7	-	
	0,0	309,6	-		0,0	309,6	-	
	0,0	323,1	-		0,0	323,1	-	
	0,0	336,5	-		0,0	336,5	-	
	0,0	350,0	-		0,0	350,0	-	
22:06:36	0,0	0,0	0,0	0,0	90,31942	0,0	225,799	25-51% 260-2,4%
	0,0	13,5	-		90,31942	13,5	-	
	0,0	26,9	-		76,52062	26,9	-	
	0,0	40,4	-		34,00916	40,4	-	
	0,0	53,8	-		27,54742	53,8	-	
	0,0	67,3	-		21,52142	67,3	-	
	0,0	80,8	-		17,65860	80,8	-	
	0,0	94,2	-		14,34762	94,2	-	
	0,0	107,7	-		11,67264	107,7	-	
	0,0	121,2	-		9,69980	121,2	-	
	0,0	134,6	-		8,19864	134,6	-	
	0,0	148,1	-		7,40522	148,1	-	
	0,0	161,5	-		6,55891	161,5	-	
	0,0	175,0	-		5,78727	175,0	-	
	0,0	188,5	-		5,21732	188,5	-	
	0,0	201,9	-		4,71702	201,9	-	
	0,0	215,4	-		4,14871	215,4	-	
	0,0	228,8	-		3,44343	228,8	-	
	0,0	242,3	-		2,53193	242,3	-	
	0,0	255,8	-		1,21248	255,8	-	
	0,0	269,2	-		0,0	269,2	-	
	0,0	282,7	-		0,0	282,7	-	
	0,0	309,6	-		0,0	309,6	-	
	0,0	323,1	-		0,0	323,1	-	
	0,0	336,5	-		0,0	336,5	-	
	0,0	350,0	-		0,0	350,0	-	
22:12:36	0,0	0,0	0,0	0,0	88,86265	0,0	222,157	25-47% 260-2,3%
	0,0	13,5	-		88,86265	13,5	-	
	0,0	26,9	-		76,52062	26,9	-	
	0,0	40,4	-		37,22625	40,4	-	
	0,0	53,8	-		29,30577	53,8	-	
	0,0	67,3	-		24,16441	67,3	-	
	0,0	80,8	-		19,13015	80,8	-	
	0,0	94,2	-		15,47608	94,2	-	

Time	DRT3-2 Current	DRT3-2 Bias Voltage	DRT3-2 Current Density	DRT3-2 Ion Energy	DRT3-1 Current	DRT3-1 Bias Voltage	DRT3-1 Current Density	DRT3-1 Ion Energy
hh:mm:ss	nA	V	nA/cm2	eV - %	nA	V	nA/cm2	eV
	0,0	107,7	-		12,75344	107,7	-	
	0,0	121,2	-		10,43463	121,2	-	
	0,0	134,6	-		8,94397	134,6	-	
	0,0	148,1	-		7,91593	148,1	-	
	0,0	161,5	-		7,02740	161,5	-	
	0,0	175,0	-		6,20437	175,0	-	
	0,0	188,5	-		5,78727	188,5	-	
	0,0	201,9	-		4,99048	201,9	-	
	0,0	215,4	-		4,41465	215,4	-	
	0,0	228,8	-		3,62466	228,8	-	
	0,0	242,3	-		2,64879	242,3	-	
	0,0	255,8	-		1,26597	255,8	-	
	0,0	269,2	-		0,0	269,2	-	
	0,0	282,7	-		0,0	282,7	-	
	0,0	309,6	-		0,0	309,6	-	
	0,0	323,1	-		0,0	323,1	-	
	0,0	336,5	-		0,0	336,5	-	
	0,0	350,0	-		0,0	350,0	-	
22:18:36	0,0	0,0	0,0	0,0	88,86265	0,0	222,157	25-51% 260-2,4%
	0,0	13,5	-		88,86265	13,5	-	
	0,0	26,9	-		76,52062	26,9	-	
	0,0	40,4	-		34,00916	40,4	-	
	0,0	53,8	-		27,00728	53,8	-	
	0,0	67,3	-		21,69088	67,3	-	
	0,0	80,8	-		17,88794	80,8	-	
	0,0	94,2	-		14,19970	94,2	-	
	0,0	107,7	-		11,77240	107,7	-	
	0,0	121,2	-		9,69980	121,2	-	
	0,0	134,6	-		8,29742	134,6	-	
	0,0	148,1	-		7,32644	148,1	-	
	0,0	161,5	-		6,31822	161,5	-	
	0,0	175,0	-		5,88620	175,0	-	
	0,0	188,5	-		5,13944	188,5	-	
	0,0	201,9	-		4,59124	201,9	-	
	0,0	215,4	-		4,00399	215,4	-	
	0,0	228,8	-		3,34313	228,8	-	
	0,0	242,3	-		2,45959	242,3	-	
	0,0	255,8	-		1,13271	255,8	-	
	0,0	269,2	-		0,0	269,2	-	
	0,0	282,7	-		0,0	282,7	-	
	0,0	309,6	-		0,0	309,6	-	
	0,0	323,1	-		0,0	323,1	-	
	0,0	336,5	-		0,0	336,5	-	
	0,0	350,0	-		0,0	350,0	-	
22:24:36	0,0	0,0	0,0	0,0	88,86265	0,0	222,157	25-47% 260-2,3%
	0,0	13,5	-		88,86265	13,5	-	
	0,0	26,9	-		75,47239	26,9	-	
	0,0	40,4	-		36,72990	40,4	-	
	0,0	53,8	-		29,62088	53,8	-	
	0,0	67,3	-		23,74778	67,3	-	
	0,0	80,8	-		19,13015	80,8	-	
	0,0	94,2	-		15,30412	94,2	-	
	0,0	107,7	-		12,63643	107,7	-	
	0,0	121,2	-		10,59516	121,2	-	
	0,0	134,6	-		8,82930	134,6	-	
	0,0	148,1	-		8,10218	148,1	-	
	0,0	161,5	-		6,95642	161,5	-	
	0,0	175,0	-		6,04110	175,0	-	
	0,0	188,5	-		5,59907	188,5	-	
	0,0	201,9	-		4,99048	201,9	-	

Time	DRT3-2 Current	DRT3-2 Bias Voltage	DRT3-2 Current Density	DRT3-2 Ion Energy	DRT3-1 Current	DRT3-1 Bias Voltage	DRT3-1 Current Density	DRT3-1 Ion Energy
hh:mm:ss	nA	V	nA/cm2	eV - %	nA	V	nA/cm2	eV
	0,0	215,4	-		4,47198	215,4	-	
	0,0	228,8	-		3,78399	228,8	-	
	0,0	242,3	-		2,64879	242,3	-	
	0,0	255,8	-		1,17926	255,8	-	
	0,0	269,2	-		0,0	269,2	-	
	0,0	282,7	-		0,0	282,7	-	
	0,0	309,6	-		0,0	309,6	-	
	0,0	323,1	-		0,0	323,1	-	
	0,0	336,5	-		0,0	336,5	-	
	0,0	350,0	-		0,0	350,0	-	
22:30:36	0,0	0,0	0,0	0,0	88,15175	0,0	220,379	25-51% 260-2,5%
	0,0	13,5	-		88,15175	13,5	-	
	0,0	26,9	-		75,47239	26,9	-	
	0,0	40,4	-		34,00916	40,4	-	
	0,0	53,8	-		27,00728	53,8	-	
	0,0	67,3	-		21,52142	67,3	-	
	0,0	80,8	-		17,65860	80,8	-	
	0,0	94,2	-		14,05481	94,2	-	
	0,0	107,7	-		11,67264	107,7	-	
	0,0	121,2	-		9,69980	121,2	-	
	0,0	134,6	-		8,39860	134,6	-	
	0,0	148,1	-		7,40522	148,1	-	
	0,0	161,5	-		6,26078	161,5	-	
	0,0	175,0	-		5,59907	175,0	-	
	0,0	188,5	-		5,29758	188,5	-	
	0,0	201,9	-		4,65328	201,9	-	
	0,0	215,4	-		4,00399	215,4	-	
	0,0	228,8	-		3,40933	228,8	-	
	0,0	242,3	-		2,35851	242,3	-	
	0,0	255,8	-		1,07607	255,8	-	
	0,0	269,2	-		0,0	269,2	-	
	0,0	282,7	-		0,0	282,7	-	
	0,0	309,6	-		0,0	309,6	-	
	0,0	323,1	-		0,0	323,1	-	
	0,0	336,5	-		0,0	336,5	-	
	0,0	350,0	-		0,0	350,0	-	
22:36:36	0,0	0,0	0,0	0,0	88,15175	0,0	220,379	25-47% 260-2,3%
	0,0	13,5	-		88,15175	13,5	-	
	0,0	26,9	-		75,47239	26,9	-	
	0,0	40,4	-		36,72990	40,4	-	
	0,0	53,8	-		29,30577	53,8	-	
	0,0	67,3	-		22,95619	67,3	-	
	0,0	80,8	-		18,86810	80,8	-	
	0,0	94,2	-		15,65194	94,2	-	
	0,0	107,7	-		12,29796	107,7	-	
	0,0	121,2	-		10,27889	121,2	-	
	0,0	134,6	-		8,94397	134,6	-	
	0,0	148,1	-		7,91593	148,1	-	
	0,0	161,5	-		7,09985	161,5	-	
	0,0	175,0	-		6,26078	175,0	-	
	0,0	188,5	-		5,59907	188,5	-	
	0,0	201,9	-		4,91918	201,9	-	
	0,0	215,4	-		4,30429	215,4	-	
	0,0	228,8	-		3,54993	228,8	-	
	0,0	242,3	-		2,53193	242,3	-	
	0,0	255,8	-		1,11800	255,8	-	
	0,0	269,2	-		0,0	269,2	-	
	0,0	282,7	-		0,0	282,7	-	
	0,0	309,6	-		0,0	309,6	-	
	0,0	323,1	-		0,0	323,1	-	

Time	DRT3-2 Current	DRT3-2 Bias Voltage	DRT3-2 Current Density	DRT3-2 Ion Energy	DRT3-1 Current	DRT3-1 Bias Voltage	DRT3-1 Current Density	DRT3-1 Ion Energy
hh:mm:ss	nA	V	nA/cm2	eV - %	nA	V	nA/cm2	eV
22:42:36	0,0	336,5	-	0,0	0,0	336,5	-	25-47% 260-2,3%
	0,0	350,0	-		0,0	350,0	-	
	0,0	0,0	0,0		88,15175	0,0	220,379	
	0,0	13,5	-		88,15175	13,5	-	
	0,0	26,9	-		75,47239	26,9	-	
	0,0	40,4	-		36,72990	40,4	-	
	0,0	53,8	-		29,30577	53,8	-	
	0,0	67,3	-		23,14909	67,3	-	
	0,0	80,8	-		19,13015	80,8	-	
	0,0	94,2	-		15,30412	94,2	-	
	0,0	107,7	-		12,40875	107,7	-	
	0,0	121,2	-		9,98095	121,2	-	
	0,0	134,6	-		8,82930	134,6	-	
	0,0	148,1	-		7,65206	148,1	-	
	0,0	161,5	-		6,95642	161,5	-	
	0,0	175,0	-		6,26078	175,0	-	
	0,0	188,5	-		5,64496	188,5	-	
	0,0	201,9	-		4,91918	201,9	-	
	0,0	215,4	-		4,41465	215,4	-	
	0,0	228,8	-		3,62466	228,8	-	
	0,0	242,3	-		2,53193	242,3	-	
	0,0	255,8	-		1,08969	255,8	-	
	0,0	269,2	-		0,0	269,2	-	
	0,0	282,7	-		0,0	282,7	-	
	0,0	309,6	-		0,0	309,6	-	
	0,0	323,1	-		0,0	323,1	-	
	0,0	336,5	-		0,0	336,5	-	
	0,0	350,0	-		0,0	350,0	-	
22:48:36	0,0	0,0	0,0	0,0	87,45213	0,0	218,630	25-48% 260-2,4%
	0,0	13,5	-		87,45213	13,5	-	
	0,0	26,9	-		74,45249	26,9	-	
	0,0	40,4	-		35,31721	40,4	-	
	0,0	53,8	-		28,99729	53,8	-	
	0,0	67,3	-		23,34527	67,3	-	
	0,0	80,8	-		19,13015	80,8	-	
	0,0	94,2	-		15,30412	94,2	-	
	0,0	107,7	-		12,40875	107,7	-	
	0,0	121,2	-		10,43463	121,2	-	
	0,0	134,6	-		9,06165	134,6	-	
	0,0	148,1	-		7,91593	148,1	-	
	0,0	161,5	-		7,02740	161,5	-	
	0,0	175,0	-		6,31822	175,0	-	
	0,0	188,5	-		5,55392	188,5	-	
	0,0	201,9	-		4,91918	201,9	-	
	0,0	215,4	-		4,41465	215,4	-	
	0,0	228,8	-		3,54993	228,8	-	
	0,0	242,3	-		2,56972	242,3	-	
	0,0	255,8	-		1,04983	255,8	-	
	0,0	269,2	-		0,0	269,2	-	
	0,0	282,7	-		0,0	282,7	-	
	0,0	309,6	-		0,0	309,6	-	
	0,0	323,1	-		0,0	323,1	-	
	0,0	336,5	-		0,0	336,5	-	
	0,0	350,0	-		0,0	350,0	-	
22:54:36	0,0	0,0	0,0	0,0	87,45213	0,0	218,630	25-47% 260-2,3%
	0,0	13,5	-		87,45213	13,5	-	
	0,0	26,9	-		74,45249	26,9	-	
	0,0	40,4	-		35,77587	40,4	-	
	0,0	53,8	-		29,30577	53,8	-	
	0,0	67,3	-		23,34527	67,3	-	

Time	DRT3-2 Current	DRT3-2 Bias Voltage	DRT3-2 Current Density	DRT3-2 Ion Energy	DRT3-1 Current	DRT3-1 Bias Voltage	DRT3-1 Current Density	DRT3-1 Ion Energy
hh:mm:ss	nA	V	nA/cm2	eV - %	nA	V	nA/cm2	eV
	0,0	80,8	-		19,13015	80,8	-	
	0,0	94,2	-		14,81044	94,2	-	
	0,0	107,7	-		11,97714	107,7	-	
	0,0	121,2	-		9,69980	121,2	-	
	0,0	134,6	-		8,71754	134,6	-	
	0,0	148,1	-		8,00797	148,1	-	
	0,0	161,5	-		6,81867	161,5	-	
	0,0	175,0	-		6,31822	175,0	-	
	0,0	188,5	-		5,59907	188,5	-	
	0,0	201,9	-		4,99048	201,9	-	
	0,0	215,4	-		4,25115	215,4	-	
	0,0	228,8	-		3,47821	228,8	-	
	0,0	242,3	-		2,49524	242,3	-	
	0,0	255,8	-		1,01277	255,8	-	
	0,0	269,2	-		0,0	269,2	-	
	0,0	282,7	-		0,0	282,7	-	
	0,0	309,6	-		0,0	309,6	-	
	0,0	323,1	-		0,0	323,1	-	
	0,0	336,5	-		0,0	336,5	-	
	0,0	350,0	-		0,0	350,0	-	
23:00:36	0,0	0,0	0,0	0,0	87,45213	0,0	218,630	25-46% 175-8%
	0,0	13,5	-		87,45213	13,5	-	
	0,0	26,9	-		74,45249	26,9	-	
	0,0	40,4	-		36,72990	40,4	-	
	0,0	53,8	-		28,99729	53,8	-	
	0,0	67,3	-		22,39628	67,3	-	
	0,0	80,8	-		18,86810	80,8	-	
	0,0	94,2	-		15,65194	94,2	-	
	0,0	107,7	-		12,29796	107,7	-	
	0,0	121,2	-		10,59516	121,2	-	
	0,0	134,6	-		8,71754	134,6	-	
	0,0	148,1	-		7,91593	148,1	-	
	0,0	161,5	-		6,88686	161,5	-	
	0,0	175,0	-		6,20437	175,0	-	
	0,0	188,5	-		0,0	188,5	-	
	0,0	201,9	-		0,0	201,9	-	
	0,0	215,4	-		0,0	215,4	-	
	0,0	228,8	-		0,0	228,8	-	
	0,0	242,3	-		0,0	242,3	-	
	0,0	255,8	-		0,0	255,8	-	
	0,0	269,2	-		0,0	269,2	-	
	0,0	282,7	-		0,0	282,7	-	
	0,0	309,6	-		0,0	309,6	-	
	0,0	323,1	-		0,0	323,1	-	
	0,0	336,5	-		0,0	336,5	-	
	0,0	350,0	-		0,0	350,0	-	
23:06:36	0,0	0,0	0,0	0,0	0,0	0,0	0,0	0,0
	0,0	13,5	-		0,0	13,5	-	
	0,0	26,9	-		0,0	26,9	-	
	0,0	40,4	-		0,0	40,4	-	
	0,0	53,8	-		0,0	53,8	-	
	0,0	67,3	-		0,0	67,3	-	
	0,0	80,8	-		0,0	80,8	-	
	0,0	94,2	-		0,0	94,2	-	
	0,0	107,7	-		0,0	107,7	-	
	0,0	121,2	-		0,0	121,2	-	
	0,0	134,6	-		0,0	134,6	-	
	0,0	148,1	-		0,0	148,1	-	
	0,0	161,5	-		0,0	161,5	-	
	0,0	175,0	-		0,0	175,0	-	

Time	DRT3-2 Current	DRT3-2 Bias Voltage	DRT3-2 Current Density	DRT3-2 Ion Energy	DRT3-1 Current	DRT3-1 Bias Voltage	DRT3-1 Current Density	DRT3-1 Ion Energy
hh:mm:ss	nA	V	nA/cm2	eV - %	nA	V	nA/cm2	eV
	0,0	188,5	-		0,0	188,5	-	
	0,0	201,9	-		0,0	201,9	-	
	0,0	215,4	-		0,0	215,4	-	
	0,0	228,8	-		0,0	228,8	-	
	0,0	242,3	-		0,0	242,3	-	
	0,0	255,8	-		0,0	255,8	-	
	0,0	269,2	-		0,0	269,2	-	
	0,0	282,7	-		0,0	282,7	-	
	0,0	309,6	-		0,0	309,6	-	
	0,0	323,1	-		0,0	323,1	-	
	0,0	336,5	-		0,0	336,5	-	
	0,0	350,0	-		0,0	350,0	-	

Annex 93. Information from B-type sensors at work RT4C1 for 20/09/00

Time of thruster Start-Up - 21:47:23

Time of thruster Switching Off - 22:59:11

Time	DRT3-2 Current	DRT3-2 Bias Voltage	DRT3-2 Current Density	DRT3-2 Ion Energy	DRT3-1 Current	DRT3-1 Bias Voltage	DRT3-1 Current Density	DRT3-1 Ion Energy
hh:mm:ss	nA	V	nA/cm2	eV - %	nA	V	nA/cm2	eV
21:42:36	0,0	0,0	0,0	0,0	0,0	0,0	0,0	0,0
	0,0	13,5	-		0,0	13,5	-	
	0,0	26,9	-		0,0	26,9	-	
	0,0	40,4	-		0,0	40,4	-	
	0,0	53,8	-		0,0	53,8	-	
	0,0	67,3	-		0,0	67,3	-	
	0,0	80,8	-		0,0	80,8	-	
	0,0	94,2	-		0,0	94,2	-	
	0,0	107,7	-		0,0	107,7	-	
	0,0	121,2	-		0,0	121,2	-	
	0,0	134,6	-		0,0	134,6	-	
	0,0	148,1	-		0,0	148,1	-	
	0,0	161,5	-		0,0	161,5	-	
	0,0	175,0	-		0,0	175,0	-	
	0,0	188,5	-		0,0	188,5	-	
	0,0	201,9	-		0,0	201,9	-	
	0,0	215,4	-		0,0	215,4	-	
	0,0	228,8	-		0,0	228,8	-	
	0,0	242,3	-		0,0	242,3	-	
	0,0	255,8	-		0,0	255,8	-	
	0,0	269,2	-		0,0	269,2	-	
	0,0	282,7	-		0,0	282,7	-	
	0,0	309,6	-		0,0	309,6	-	
	0,0	323,1	-		0,0	323,1	-	
	0,0	336,5	-		0,0	336,5	-	
	0,0	350,0	-		0,0	350,0	-	
21:48:36	0,0	0,0	0,0	0,0	87,45213	0,0	218,630	25-45% 245-2,3%
	0,0	13,5	-		87,45213	13,5	-	
	0,0	26,9	-		72,49322	26,9	-	
	0,0	40,4	-		34,87015	40,4	-	
	0,0	53,8	-		28,69523	53,8	-	
	0,0	67,3	-		22,57985	67,3	-	
	0,0	80,8	-		18,36495	80,8	-	
	0,0	94,2	-		14,97143	94,2	-	
	0,0	107,7	-		12,40875	107,7	-	
	0,0	121,2	-		10,59516	121,2	-	
	0,0	134,6	-		9,30656	134,6	-	
	0,0	148,1	-		8,29742	148,1	-	
	0,0	161,5	-		7,40522	161,5	-	
	0,0	175,0	-		6,68627	175,0	-	
	0,0	188,5	-		6,14898	188,5	-	
	0,0	201,9	-		5,46576	201,9	-	
	0,0	215,4	-		4,71702	215,4	-	
	0,0	228,8	-		3,78399	228,8	-	
	0,0	242,3	-		2,69018	242,3	-	
	0,0	255,8	-		0,0	255,8	-	
	0,0	269,2	-		0,0	269,2	-	
	0,0	282,7	-		0,0	282,7	-	
	0,0	309,6	-		0,0	309,6	-	
	0,0	323,1	-		0,0	323,1	-	
	0,0	336,5	-		0,0	336,5	-	
	0,0	350,0	-		0,0	350,0	-	

Time	DRT3-2 Current	DRT3-2 Bias Voltage	DRT3-2 Current Density	DRT3-2 Ion Energy	DRT3-1 Current	DRT3-1 Bias Voltage	DRT3-1 Current Density	DRT3-1 Ion Energy
hh:mm:ss	nA	V	nA/cm2	eV - %	nA	V	nA/cm2	eV
21:54:36	0,0	0,0	0,0	0,0	88,86265	0,0	222,157	25-44% 245-2,2%
	0,0	13,5	-		88,86265	13,5	-	
	0,0	26,9	-		71,55175	26,9	-	
	0,0	40,4	-		35,31721	40,4	-	
	0,0	53,8	-		27,82568	53,8	-	
	0,0	67,3	-		22,57985	67,3	-	
	0,0	80,8	-		18,12330	80,8	-	
	0,0	94,2	-		14,81044	94,2	-	
	0,0	107,7	-		12,29796	107,7	-	
	0,0	121,2	-		10,12773	121,2	-	
	0,0	134,6	-		9,06165	134,6	-	
	0,0	148,1	-		7,82597	148,1	-	
	0,0	161,5	-		7,02740	161,5	-	
	0,0	175,0	-		6,20437	175,0	-	
	0,0	188,5	-		5,50948	188,5	-	
	0,0	201,9	-		5,13944	201,9	-	
	0,0	215,4	-		4,35877	215,4	-	
	0,0	228,8	-		3,62466	228,8	-	
	0,0	242,3	-		2,64879	242,3	-	
	0,0	255,8	-		1,11800	255,8	-	
	0,0	269,2	-		0,0	269,2	-	
	0,0	282,7	-		0,0	282,7	-	
	0,0	309,6	-		0,0	309,6	-	
	0,0	323,1	-		0,0	323,1	-	
	0,0	336,5	-		0,0	336,5	-	
	0,0	350,0	-		0,0	350,0	-	
22:00:36	0,0	0,0	0,0	0,0	88,86265	0,0	222,157	25-47% 260-2,3%
	0,0	13,5	-		88,86265	13,5	-	
	0,0	26,9	-		75,47239	26,9	-	
	0,0	40,4	-		36,72990	40,4	-	
	0,0	53,8	-		29,30577	53,8	-	
	0,0	67,3	-		22,57985	67,3	-	
	0,0	80,8	-		19,13015	80,8	-	
	0,0	94,2	-		15,30412	94,2	-	
	0,0	107,7	-		12,40875	107,7	-	
	0,0	121,2	-		10,59516	121,2	-	
	0,0	134,6	-		8,82930	134,6	-	
	0,0	148,1	-		7,91593	148,1	-	
	0,0	161,5	-		7,09985	161,5	-	
	0,0	175,0	-		6,37672	175,0	-	
	0,0	188,5	-		5,73905	188,5	-	
	0,0	201,9	-		5,13944	201,9	-	
	0,0	215,4	-		4,41465	215,4	-	
	0,0	228,8	-		3,62466	228,8	-	
	0,0	242,3	-		2,64879	242,3	-	
	0,0	255,8	-		1,22980	255,8	-	
	0,0	269,2	-		0,0	269,2	-	
	0,0	282,7	-		0,0	282,7	-	
	0,0	309,6	-		0,0	309,6	-	
	0,0	323,1	-		0,0	323,1	-	
	0,0	336,5	-		0,0	336,5	-	
	0,0	350,0	-		0,0	350,0	-	
22:06:36	0,0	0,0	0,0	0,0	88,86265	0,0	222,157	25-48% 262-2,4%
	0,0	13,5	-		88,86265	13,5	-	
	0,0	26,9	-		75,47239	26,9	-	
	0,0	40,4	-		34,43428	40,4	-	
	0,0	53,8	-		27,27468	53,8	-	
	0,0	67,3	-		22,39628	67,3	-	
	0,0	80,8	-		18,12330	80,8	-	
	0,0	94,2	-		14,19970	94,2	-	

Time	DRT3-2 Current	DRT3-2 Bias Voltage	DRT3-2 Current Density	DRT3-2 Ion Energy	DRT3-1 Current	DRT3-1 Bias Voltage	DRT3-1 Current Density	DRT3-1 Ion Energy
hh:mm:ss	nA	V	nA/cm2	eV - %	nA	V	nA/cm2	eV
	0,0	107,7	-		11,47809	107,7	-	
	0,0	121,2	-		9,69980	121,2	-	
	0,0	134,6	-		8,39860	134,6	-	
	0,0	148,1	-		7,17381	148,1	-	
	0,0	161,5	-		6,37672	161,5	-	
	0,0	175,0	-		5,64496	175,0	-	
	0,0	188,5	-		5,29758	188,5	-	
	0,0	201,9	-		4,59124	201,9	-	
	0,0	215,4	-		4,05109	215,4	-	
	0,0	228,8	-		3,37591	228,8	-	
	0,0	242,3	-		2,45959	242,3	-	
	0,0	255,8	-		1,13271	255,8	-	
	0,0	269,2	-		0,0	269,2	-	
	0,0	282,7	-		0,0	282,7	-	
	0,0	309,6	-		0,0	309,6	-	
	0,0	323,1	-		0,0	323,1	-	
	0,0	336,5	-		0,0	336,5	-	
	0,0	350,0	-		0,0	350,0	-	
22:12:36	0,0	0,0	0,0	0,0	88,15175	0,0	220,379	25-48% 262-2,4%
	0,0	13,5	-		88,15175	13,5	-	
	0,0	26,9	-		76,52062	26,9	-	
	0,0	40,4	-		36,24661	40,4	-	
	0,0	53,8	-		28,99729	53,8	-	
	0,0	67,3	-		23,74778	67,3	-	
	0,0	80,8	-		19,13015	80,8	-	
	0,0	94,2	-		15,30412	94,2	-	
	0,0	107,7	-		12,63643	107,7	-	
	0,0	121,2	-		10,59516	121,2	-	
	0,0	134,6	-		9,18247	134,6	-	
	0,0	148,1	-		7,91593	148,1	-	
	0,0	161,5	-		7,02740	161,5	-	
	0,0	175,0	-		6,26078	175,0	-	
	0,0	188,5	-		5,59907	188,5	-	
	0,0	201,9	-		5,06386	201,9	-	
	0,0	215,4	-		4,53083	215,4	-	
	0,0	228,8	-		3,66322	228,8	-	
	0,0	242,3	-		2,60866	242,3	-	
	0,0	255,8	-		1,16332	255,8	-	
	0,0	269,2	-		0,0	269,2	-	
	0,0	282,7	-		0,0	282,7	-	
	0,0	309,6	-		0,0	309,6	-	
	0,0	323,1	-		0,0	323,1	-	
	0,0	336,5	-		0,0	336,5	-	
	0,0	350,0	-		0,0	350,0	-	
22:18:36	0,0	0,0	0,0	0,0	87,45213	0,0	218,630	25-48% 262-2,3%
	0,0	13,5	-		87,45213	13,5	-	
	0,0	26,9	-		75,47239	26,9	-	
	0,0	40,4	-		36,72990	40,4	-	
	0,0	53,8	-		29,62088	53,8	-	
	0,0	67,3	-		23,74778	67,3	-	
	0,0	80,8	-		18,86810	80,8	-	
	0,0	94,2	-		15,83185	94,2	-	
	0,0	107,7	-		12,63643	107,7	-	
	0,0	121,2	-		10,43463	121,2	-	
	0,0	134,6	-		8,82930	134,6	-	
	0,0	148,1	-		7,73804	148,1	-	
	0,0	161,5	-		6,95642	161,5	-	
	0,0	175,0	-		6,14898	175,0	-	
	0,0	188,5	-		5,55392	188,5	-	
	0,0	201,9	-		5,06386	201,9	-	

Time	DRT3-2 Current	DRT3-2 Bias Voltage	DRT3-2 Current Density	DRT3-2 Ion Energy	DRT3-1 Current	DRT3-1 Bias Voltage	DRT3-1 Current Density	DRT3-1 Ion Energy
hh:mm:ss	nA	V	nA/cm2	eV - %	nA	V	nA/cm2	eV
	0,0	215,4	-		4,25115	215,4	-	
	0,0	228,8	-		3,58690	228,8	-	
	0,0	242,3	-		2,56972	242,3	-	
	0,0	255,8	-		1,14781	255,8	-	
	0,0	269,2	-		0,0	269,2	-	
	0,0	282,7	-		0,0	282,7	-	
	0,0	309,6	-		0,0	309,6	-	
	0,0	323,1	-		0,0	323,1	-	
	0,0	336,5	-		0,0	336,5	-	
	0,0	350,0	-		0,0	350,0	-	
22:24:36	0,0	0,0	0,0	0,0	87,45213	0,0	218,630	25-48% 262-2,4%
	0,0	13,5	-		87,45213	13,5	-	
	0,0	26,9	-		74,45249	26,9	-	
	0,0	40,4	-		34,00916	40,4	-	
	0,0	53,8	-		27,00728	53,8	-	
	0,0	67,3	-		22,03794	67,3	-	
	0,0	80,8	-		17,65860	80,8	-	
	0,0	94,2	-		14,19970	94,2	-	
	0,0	107,7	-		11,57455	107,7	-	
	0,0	121,2	-		9,69980	121,2	-	
	0,0	134,6	-		8,10218	134,6	-	
	0,0	148,1	-		7,24932	148,1	-	
	0,0	161,5	-		6,55891	161,5	-	
	0,0	175,0	-		5,78727	175,0	-	
	0,0	188,5	-		5,21732	188,5	-	
	0,0	201,9	-		4,71702	201,9	-	
	0,0	215,4	-		4,14871	215,4	-	
	0,0	228,8	-		3,31099	228,8	-	
	0,0	242,3	-		2,35851	242,3	-	
	0,0	255,8	-		1,02483	255,8	-	
	0,0	269,2	-		0,0	269,2	-	
	0,0	282,7	-		0,0	282,7	-	
	0,0	309,6	-		0,0	309,6	-	
	0,0	323,1	-		0,0	323,1	-	
	0,0	336,5	-		0,0	336,5	-	
	0,0	350,0	-		0,0	350,0	-	
22:30:36	0,0	0,0	0,0	0,0	88,15175	0,0	220,379	25-47% 262-2,3%
	0,0	13,5	-		88,15175	13,5	-	
	0,0	26,9	-		74,45249	26,9	-	
	0,0	40,4	-		34,00916	40,4	-	
	0,0	53,8	-		27,27468	53,8	-	
	0,0	67,3	-		21,86303	67,3	-	
	0,0	80,8	-		17,65860	80,8	-	
	0,0	94,2	-		14,19970	94,2	-	
	0,0	107,7	-		11,28993	107,7	-	
	0,0	121,2	-		9,69980	121,2	-	
	0,0	134,6	-		8,10218	134,6	-	
	0,0	148,1	-		7,24932	148,1	-	
	0,0	161,5	-		6,31822	161,5	-	
	0,0	175,0	-		5,83632	175,0	-	
	0,0	188,5	-		5,21732	188,5	-	
	0,0	201,9	-		4,78254	201,9	-	
	0,0	215,4	-		4,00399	215,4	-	
	0,0	228,8	-		3,27946	228,8	-	
	0,0	242,3	-		2,35851	242,3	-	
	0,0	255,8	-		1,02483	255,8	-	
	0,0	269,2	-		0,0	269,2	-	
	0,0	282,7	-		0,0	282,7	-	
	0,0	309,6	-		0,0	309,6	-	
	0,0	323,1	-		0,0	323,1	-	

Time	DRT3-2 Current	DRT3-2 Bias Voltage	DRT3-2 Current Density	DRT3-2 Ion Energy	DRT3-1 Current	DRT3-1 Bias Voltage	DRT3-1 Current Density	DRT3-1 Ion Energy
hh:mm:ss	nA	V	nA/cm2	eV - %	nA	V	nA/cm2	eV
22:36:36	0,0	336,5	-	0,0	0,0	336,5	-	25-47% 262-2,3%
	0,0	350,0	-		0,0	350,0	-	
	0,0	0,0	0,0		87,45213	0,0	218,630	
	0,0	13,5	-		87,45213	13,5	-	
	0,0	26,9	-		74,45249	26,9	-	
	0,0	40,4	-		36,24661	40,4	-	
	0,0	53,8	-		28,99729	53,8	-	
	0,0	67,3	-		23,54481	67,3	-	
	0,0	80,8	-		18,61312	80,8	-	
	0,0	94,2	-		15,30412	94,2	-	
	0,0	107,7	-		12,63643	107,7	-	
	0,0	121,2	-		9,98095	121,2	-	
	0,0	134,6	-		8,94397	134,6	-	
	0,0	148,1	-		7,65206	148,1	-	
	0,0	161,5	-		6,81867	161,5	-	
	0,0	175,0	-		6,26078	175,0	-	
	0,0	188,5	-		5,69162	188,5	-	
	0,0	201,9	-		5,06386	201,9	-	
	0,0	215,4	-		4,35877	215,4	-	
	0,0	228,8	-		3,62466	228,8	-	
	0,0	242,3	-		2,45959	242,3	-	
	0,0	255,8	-		1,06279	255,8	-	
	0,0	269,2	-		0,0	269,2	-	
	0,0	282,7	-		0,0	282,7	-	
	0,0	309,6	-		0,0	309,6	-	
	0,0	323,1	-		0,0	323,1	-	
	0,0	336,5	-		0,0	336,5	-	
	0,0	350,0	-		0,0	350,0	-	
22:42:36	0,0	0,0	0,0	0,0	87,45213	0,0	218,630	25-46% 262-2,2%
	0,0	13,5	-		87,45213	13,5	-	
	0,0	26,9	-		74,45249	26,9	-	
	0,0	40,4	-		36,72990	40,4	-	
	0,0	53,8	-		30,27189	53,8	-	
	0,0	67,3	-		22,95619	67,3	-	
	0,0	80,8	-		19,39959	80,8	-	
	0,0	94,2	-		15,30412	94,2	-	
	0,0	107,7	-		12,40875	107,7	-	
	0,0	121,2	-		10,43463	121,2	-	
	0,0	134,6	-		9,06165	134,6	-	
	0,0	148,1	-		7,73804	148,1	-	
	0,0	161,5	-		6,95642	161,5	-	
	0,0	175,0	-		6,31822	175,0	-	
	0,0	188,5	-		5,73905	188,5	-	
	0,0	201,9	-		5,06386	201,9	-	
	0,0	215,4	-		4,30429	215,4	-	
	0,0	228,8	-		3,58690	228,8	-	
	0,0	242,3	-		2,56972	242,3	-	
	0,0	255,8	-		1,04983	255,8	-	
	0,0	269,2	-		0,0	269,2	-	
	0,0	282,7	-		0,0	282,7	-	
	0,0	309,6	-		0,0	309,6	-	
	0,0	323,1	-		0,0	323,1	-	
	0,0	336,5	-		0,0	336,5	-	
	0,0	350,0	-		0,0	350,0	-	
22:48:36	0,0	0,0	0,0	0,0	87,45213	0,0	218,630	25-48% 262-2,4%
	0,0	13,5	-		87,45213	13,5	-	
	0,0	26,9	-		74,45249	26,9	-	
	0,0	40,4	-		34,87015	40,4	-	
	0,0	53,8	-		29,62088	53,8	-	
	0,0	67,3	-		23,34527	67,3	-	

Time	DRT3-2 Current	DRT3-2 Bias Voltage	DRT3-2 Current Density	DRT3-2 Ion Energy	DRT3-1 Current	DRT3-1 Bias Voltage	DRT3-1 Current Density	DRT3-1 Ion Energy
hh:mm:ss	nA	V	nA/cm2	eV - %	nA	V	nA/cm2	eV
	0,0	80,8	-		19,13015	80,8	-	
	0,0	94,2	-		14,97143	94,2	-	
	0,0	107,7	-		12,29796	107,7	-	
	0,0	121,2	-		10,27889	121,2	-	
	0,0	134,6	-		8,71754	134,6	-	
	0,0	148,1	-		7,56797	148,1	-	
	0,0	161,5	-		6,62198	161,5	-	
	0,0	175,0	-		5,93694	175,0	-	
	0,0	188,5	-		5,46576	188,5	-	
	0,0	201,9	-		4,91918	201,9	-	
	0,0	215,4	-		4,19930	215,4	-	
	0,0	228,8	-		3,51370	228,8	-	
	0,0	242,3	-		2,45959	242,3	-	
	0,0	255,8	-		0,98949	255,8	-	
	0,0	269,2	-		0,0	269,2	-	
	0,0	282,7	-		0,0	282,7	-	
	0,0	309,6	-		0,0	309,6	-	
	0,0	323,1	-		0,0	323,1	-	
	0,0	336,5	-		0,0	336,5	-	
	0,0	350,0	-		0,0	350,0	-	
22:54:36	0,0	0,0	0,0	0,0	87,45213	0,0	218,630	25-46% 175-8%
	0,0	13,5	-		87,45213	13,5	-	
	0,0	26,9	-		74,45249	26,9	-	
	0,0	40,4	-		36,72990	40,4	-	
	0,0	53,8	-		28,99729	53,8	-	
	0,0	67,3	-		22,39628	67,3	-	
	0,0	80,8	-		18,86810	80,8	-	
	0,0	94,2	-		15,65194	94,2	-	
	0,0	107,7	-		12,29796	107,7	-	
	0,0	121,2	-		10,59516	121,2	-	
	0,0	134,6	-		8,71754	134,6	-	
	0,0	148,1	-		7,91593	148,1	-	
	0,0	161,5	-		6,88686	161,5	-	
	0,0	175,0	-		6,20437	175,0	-	
	0,0	188,5	-		0,0	188,5	-	
	0,0	201,9	-		0,0	201,9	-	
	0,0	215,4	-		0,0	215,4	-	
	0,0	228,8	-		0,0	228,8	-	
	0,0	242,3	-		0,0	242,3	-	
	0,0	255,8	-		0,0	255,8	-	
	0,0	269,2	-		0,0	269,2	-	
	0,0	282,7	-		0,0	282,7	-	
	0,0	309,6	-		0,0	309,6	-	
	0,0	323,1	-		0,0	323,1	-	
	0,0	336,5	-		0,0	336,5	-	
	0,0	350,0	-		0,0	350,0	-	
23:00:36	0,0	0,0	0,0	0,0	0,0	0,0	0,0	0,0
	0,0	13,5	-		0,0	13,5	-	
	0,0	26,9	-		0,0	26,9	-	
	0,0	40,4	-		0,0	40,4	-	
	0,0	53,8	-		0,0	53,8	-	
	0,0	67,3	-		0,0	67,3	-	
	0,0	80,8	-		0,0	80,8	-	
	0,0	94,2	-		0,0	94,2	-	
	0,0	107,7	-		0,0	107,7	-	
	0,0	121,2	-		0,0	121,2	-	
	0,0	134,6	-		0,0	134,6	-	
	0,0	148,1	-		0,0	148,1	-	
	0,0	161,5	-		0,0	161,5	-	
	0,0	175,0	-		0,0	175,0	-	

Time	DRT3-2 Current	DRT3-2 Bias Voltage	DRT3-2 Current Density	DRT3-2 Ion Energy	DRT3-1 Current	DRT3-1 Bias Voltage	DRT3-1 Current Density	DRT3-1 Ion Energy
hh:mm:ss	nA	V	nA/cm2	eV - %	nA	V	nA/cm2	eV
	0,0	188,5	-		0,0	188,5	-	
	0,0	201,9	-		0,0	201,9	-	
	0,0	215,4	-		0,0	215,4	-	
	0,0	228,8	-		0,0	228,8	-	
	0,0	242,3	-		0,0	242,3	-	
	0,0	255,8	-		0,0	255,8	-	
	0,0	269,2	-		0,0	269,2	-	
	0,0	282,7	-		0,0	282,7	-	
	0,0	309,6	-		0,0	309,6	-	
	0,0	323,1	-		0,0	323,1	-	
	0,0	336,5	-		0,0	336,5	-	
	0,0	350,0	-		0,0	350,0	-	

Annex 94. Information from B-type sensors at work RT4C1 for 24/09/00

Time of thruster Start-Up - 21:31:47

Time of thruster Switching Off - 22:43:35

Time	DRT3-2 Current	DRT3-2 Bias Voltage	DRT3-2 Current Density	DRT3-2 Ion Energy	DRT3-1 Current	DRT3-1 Bias Voltage	DRT3-1 Current Density	DRT3-1 Ion Energy
hh:mm:ss	nA	V	nA/cm2	eV - %	nA	V	nA/cm2	eV
21:30:10	0,0	0,0	0,0	0,0	0,0	0,0	0,0	0,0
	0,0	13,5	-		0,0	13,5	-	
	0,0	26,9	-		0,0	26,9	-	
	0,0	40,4	-		0,0	40,4	-	
	0,0	53,8	-		0,0	53,8	-	
	0,0	67,3	-		0,0	67,3	-	
	0,0	80,8	-		0,0	80,8	-	
	0,0	94,2	-		0,0	94,2	-	
	0,0	107,7	-		0,0	107,7	-	
	0,0	121,2	-		0,0	121,2	-	
	0,0	134,6	-		0,0	134,6	-	
	0,0	148,1	-		0,0	148,1	-	
	0,0	161,5	-		0,0	161,5	-	
	0,0	175,0	-		0,0	175,0	-	
	0,0	188,5	-		0,0	188,5	-	
	0,0	201,9	-		0,0	201,9	-	
	0,0	215,4	-		0,0	215,4	-	
	0,0	228,8	-		0,0	228,8	-	
	0,0	242,3	-		0,0	242,3	-	
	0,0	255,8	-		0,0	255,8	-	
	0,0	269,2	-		0,0	269,2	-	
	0,0	282,7	-		0,0	282,7	-	
	0,0	309,6	-		0,0	309,6	-	
	0,0	323,1	-		0,0	323,1	-	
	0,0	336,5	-		0,0	336,5	-	
	0,0	350,0	-		0,0	350,0	-	
21:36:10	0,0	0,0	0,0	0,0	102,98102	0,0	257,453	42-38% 245-1,9%
	0,0	13,5	-		102,98102	13,5	-	
	0,0	26,9	-		83,47704	26,9	-	
	0,0	40,4	-		72,49322	40,4	-	
	0,0	53,8	-		34,87015	53,8	-	
	0,0	67,3	-		29,62088	67,3	-	
	0,0	80,8	-		23,14909	80,8	-	
	0,0	94,2	-		18,61312	94,2	-	
	0,0	107,7	-		14,34762	107,7	-	
	0,0	121,2	-		11,97714	121,2	-	
	0,0	134,6	-		10,43463	134,6	-	
	0,0	148,1	-		9,18247	148,1	-	
	0,0	161,5	-		8,19864	161,5	-	
	0,0	175,0	-		7,09985	175,0	-	
	0,0	188,5	-		6,14898	188,5	-	
	0,0	201,9	-		5,29758	201,9	-	
	0,0	215,4	-		4,41465	215,4	-	
	0,0	228,8	-		3,27946	228,8	-	
	0,0	242,3	-		1,85131	242,3	-	
	0,0	255,8	-		0,0	255,8	-	
	0,0	269,2	-		0,0	269,2	-	
	0,0	282,7	-		0,0	282,7	-	
	0,0	309,6	-		0,0	309,6	-	
	0,0	323,1	-		0,0	323,1	-	
	0,0	336,5	-		0,0	336,5	-	
	0,0	350,0	-		0,0	350,0	-	

Time	DRT3-2 Current	DRT3-2 Bias Voltage	DRT3-2 Current Density	DRT3-2 Ion Energy	DRT3-1 Current	DRT3-1 Bias Voltage	DRT3-1 Current Density	DRT3-1 Ion Energy
hh:mm:ss	nA	V	nA/cm2	eV - %	nA	V	nA/cm2	eV
21:42:10	0,0	0,0	0,0	0,0	97,51300	0,0	243,782	25-41% 245-1,9%
	0,0	13,5	-		97,51300	13,5	-	
	0,0	26,9	-		76,52062	26,9	-	
	0,0	40,4	-		34,87015	40,4	-	
	0,0	53,8	-		28,10961	53,8	-	
	0,0	67,3	-		22,03794	67,3	-	
	0,0	80,8	-		18,36495	80,8	-	
	0,0	94,2	-		14,49864	94,2	-	
	0,0	107,7	-		12,18913	107,7	-	
	0,0	121,2	-		9,69980	121,2	-	
	0,0	134,6	-		8,00797	134,6	-	
	0,0	148,1	-		6,88686	148,1	-	
	0,0	161,5	-		5,93694	161,5	-	
	0,0	175,0	-		5,46576	175,0	-	
	0,0	188,5	-		4,78254	188,5	-	
	0,0	201,9	-		4,25115	201,9	-	
	0,0	215,4	-		3,66322	215,4	-	
	0,0	228,8	-		2,99429	228,8	-	
	0,0	242,3	-		2,02555	242,3	-	
	0,0	255,8	-		0,0	255,8	-	
	0,0	269,2	-		0,0	269,2	-	
	0,0	282,7	-		0,0	282,7	-	
	0,0	309,6	-		0,0	309,6	-	
	0,0	323,1	-		0,0	323,1	-	
	0,0	336,5	-		0,0	336,5	-	
	0,0	350,0	-		0,0	350,0	-	
21:48:10	0,0	0,0	0,0	0,0	99,26999	0,0	248,175	25-44% 245-1,9%
	0,0	13,5	-		99,26999	13,5	-	
	0,0	26,9	-		77,59837	26,9	-	
	0,0	40,4	-		36,24661	40,4	-	
	0,0	53,8	-		28,99729	53,8	-	
	0,0	67,3	-		22,39628	67,3	-	
	0,0	80,8	-		18,61312	80,8	-	
	0,0	94,2	-		15,13595	94,2	-	
	0,0	107,7	-		11,97714	107,7	-	
	0,0	121,2	-		9,56508	121,2	-	
	0,0	134,6	-		8,39860	134,6	-	
	0,0	148,1	-		7,17381	148,1	-	
	0,0	161,5	-		5,93694	161,5	-	
	0,0	175,0	-		5,38036	175,0	-	
	0,0	188,5	-		4,71702	188,5	-	
	0,0	201,9	-		4,25115	201,9	-	
	0,0	215,4	-		3,70261	215,4	-	
	0,0	228,8	-		3,04728	228,8	-	
	0,0	242,3	-		2,00199	242,3	-	
	0,0	255,8	-		0,0	255,8	-	
	0,0	269,2	-		0,0	269,2	-	
	0,0	282,7	-		0,0	282,7	-	
	0,0	309,6	-		0,0	309,6	-	
	0,0	323,1	-		0,0	323,1	-	
	0,0	336,5	-		0,0	336,5	-	
	0,0	350,0	-		0,0	350,0	-	
21:54:10	0,0	0,0	0,0	0,0	98,38365	0,0	245,959	25-42% 245-1,9%
	0,0	13,5	-		98,38365	13,5	-	
	0,0	26,9	-		77,59837	26,9	-	
	0,0	40,4	-		38,26031	40,4	-	
	0,0	53,8	-		30,95216	53,8	-	
	0,0	67,3	-		25,27286	67,3	-	
	0,0	80,8	-		19,39959	80,8	-	
	0,0	94,2	-		16,20437	94,2	-	

Time	DRT3-2 Current	DRT3-2 Bias Voltage	DRT3-2 Current Density	DRT3-2 Ion Energy	DRT3-1 Current	DRT3-1 Bias Voltage	DRT3-1 Current Density	DRT3-1 Ion Energy
hh:mm:ss	nA	V	nA/cm2	eV - %	nA	V	nA/cm2	eV
	0,0	107,7	-		12,87263	107,7	-	
	0,0	121,2	-		10,59516	121,2	-	
	0,0	134,6	-		8,82930	134,6	-	
	0,0	148,1	-		7,48571	148,1	-	
	0,0	161,5	-		6,49703	161,5	-	
	0,0	175,0	-		5,78727	175,0	-	
	0,0	188,5	-		5,29758	188,5	-	
	0,0	201,9	-		4,53083	201,9	-	
	0,0	215,4	-		4,00399	215,4	-	
	0,0	228,8	-		3,24852	228,8	-	
	0,0	242,3	-		2,15214	242,3	-	
	0,0	255,8	-		0,61490	255,8	-	
	0,0	269,2	-		0,0	269,2	-	
	0,0	282,7	-		0,0	282,7	-	
	0,0	309,6	-		0,0	309,6	-	
	0,0	323,1	-		0,0	323,1	-	
	0,0	336,5	-		0,0	336,5	-	
	0,0	350,0	-		0,0	350,0	-	
22:00:10	0,0	0,0	0,0	0,0	98,38365	0,0	245,959	25-44% 245-1,9%
	0,0	13,5	-		98,38365	13,5	-	
	0,0	26,9	-		77,59837	26,9	-	
	0,0	40,4	-		36,24661	40,4	-	
	0,0	53,8	-		28,99729	53,8	-	
	0,0	67,3	-		22,95619	67,3	-	
	0,0	80,8	-		18,61312	80,8	-	
	0,0	94,2	-		14,81044	94,2	-	
	0,0	107,7	-		12,18913	107,7	-	
	0,0	121,2	-		9,98095	121,2	-	
	0,0	134,6	-		8,50229	134,6	-	
	0,0	148,1	-		7,09985	148,1	-	
	0,0	161,5	-		5,98857	161,5	-	
	0,0	175,0	-		5,38036	175,0	-	
	0,0	188,5	-		4,84990	188,5	-	
	0,0	201,9	-		4,19930	201,9	-	
	0,0	215,4	-		3,74286	215,4	-	
	0,0	228,8	-		3,02055	228,8	-	
	0,0	242,3	-		2,00199	242,3	-	
	0,0	255,8	-		0,0	255,8	-	
	0,0	269,2	-		0,0	269,2	-	
	0,0	282,7	-		0,0	282,7	-	
	0,0	309,6	-		0,0	309,6	-	
	0,0	323,1	-		0,0	323,1	-	
	0,0	336,5	-		0,0	336,5	-	
	0,0	350,0	-		0,0	350,0	-	
22:06:10	0,0	0,0	0,0	0,0	98,38365	0,0	245,959	25-40% 245-1,9%
	0,0	13,5	-		98,38365	13,5	-	
	0,0	26,9	-		76,52062	26,9	-	
	0,0	40,4	-		38,79919	40,4	-	
	0,0	53,8	-		30,95216	53,8	-	
	0,0	67,3	-		24,81750	67,3	-	
	0,0	80,8	-		19,67673	80,8	-	
	0,0	94,2	-		16,20437	94,2	-	
	0,0	107,7	-		12,63643	107,7	-	
	0,0	121,2	-		10,59516	121,2	-	
	0,0	134,6	-		8,94397	134,6	-	
	0,0	148,1	-		7,40522	148,1	-	
	0,0	161,5	-		6,55891	161,5	-	
	0,0	175,0	-		5,88620	175,0	-	
	0,0	188,5	-		5,13944	188,5	-	
	0,0	201,9	-		4,65328	201,9	-	

Time	DRT3-2 Current	DRT3-2 Bias Voltage	DRT3-2 Current Density	DRT3-2 Ion Energy	DRT3-1 Current	DRT3-1 Bias Voltage	DRT3-1 Current Density	DRT3-1 Ion Energy
hh:mm:ss	nA	V	nA/cm2	eV - %	nA	V	nA/cm2	eV
	0,0	215,4	-		4,00399	215,4	-	
	0,0	228,8	-		3,18836	228,8	-	
	0,0	242,3	-		2,12557	242,3	-	
	0,0	255,8	-		0,0	255,8	-	
	0,0	269,2	-		0,0	269,2	-	
	0,0	282,7	-		0,0	282,7	-	
	0,0	309,6	-		0,0	309,6	-	
	0,0	323,1	-		0,0	323,1	-	
	0,0	336,5	-		0,0	336,5	-	
	0,0	350,0	-		0,0	350,0	-	
22:12:10	0,0	0,0	0,0	0,0	97,51300	0,0	243,782	25-40% 245-1,9%
	0,0	13,5	-		97,51300	13,5	-	
	0,0	26,9	-		76,52062	26,9	-	
	0,0	40,4	-		38,79919	40,4	-	
	0,0	53,8	-		31,66370	53,8	-	
	0,0	67,3	-		24,37825	67,3	-	
	0,0	80,8	-		19,67673	80,8	-	
	0,0	94,2	-		15,83185	94,2	-	
	0,0	107,7	-		12,99407	107,7	-	
	0,0	121,2	-		10,59516	121,2	-	
	0,0	134,6	-		8,82930	134,6	-	
	0,0	148,1	-		7,82597	148,1	-	
	0,0	161,5	-		6,62198	161,5	-	
	0,0	175,0	-		5,69162	175,0	-	
	0,0	188,5	-		5,29758	188,5	-	
	0,0	201,9	-		4,59124	201,9	-	
	0,0	215,4	-		4,05109	215,4	-	
	0,0	228,8	-		3,15911	228,8	-	
	0,0	242,3	-		2,07435	242,3	-	
	0,0	255,8	-		0,0	255,8	-	
	0,0	269,2	-		0,0	269,2	-	
	0,0	282,7	-		0,0	282,7	-	
	0,0	309,6	-		0,0	309,6	-	
	0,0	323,1	-		0,0	323,1	-	
	0,0	336,5	-		0,0	336,5	-	
	0,0	350,0	-		0,0	350,0	-	
22:18:10	0,0	0,0	0,0	0,0	98,38365	0,0	245,959	25-44% 245-1,9%
	0,0	13,5	-		98,38365	13,5	-	
	0,0	26,9	-		76,52062	26,9	-	
	0,0	40,4	-		35,77587	40,4	-	
	0,0	53,8	-		28,99729	53,8	-	
	0,0	67,3	-		22,57985	67,3	-	
	0,0	80,8	-		18,61312	80,8	-	
	0,0	94,2	-		14,65288	94,2	-	
	0,0	107,7	-		12,08220	107,7	-	
	0,0	121,2	-		9,83837	121,2	-	
	0,0	134,6	-		8,19864	134,6	-	
	0,0	148,1	-		7,02740	148,1	-	
	0,0	161,5	-		6,09456	161,5	-	
	0,0	175,0	-		5,29758	175,0	-	
	0,0	188,5	-		4,71702	188,5	-	
	0,0	201,9	-		4,25115	201,9	-	
	0,0	215,4	-		3,70261	215,4	-	
	0,0	228,8	-		2,96847	228,8	-	
	0,0	242,3	-		1,93451	242,3	-	
	0,0	255,8	-		0,0	255,8	-	
	0,0	269,2	-		0,0	269,2	-	
	0,0	282,7	-		0,0	282,7	-	
	0,0	309,6	-		0,0	309,6	-	
	0,0	323,1	-		0,0	323,1	-	

Time	DRT3-2 Current	DRT3-2 Bias Voltage	DRT3-2 Current Density	DRT3-2 Ion Energy	DRT3-1 Current	DRT3-1 Bias Voltage	DRT3-1 Current Density	DRT3-1 Ion Energy
hh:mm:ss	nA	V	nA/cm2	eV - %	nA	V	nA/cm2	eV
22:24:10	0,0	336,5	-	0,0	0,0	336,5	-	25-42% 245-1,9%
	0,0	350,0	-		0,0	350,0	-	
	0,0	0,0	0,0		97,51300	0,0	243,782	
	0,0	13,5	-		97,51300	13,5	-	
	0,0	26,9	-		75,47239	26,9	-	
	0,0	40,4	-		35,77587	40,4	-	
	0,0	53,8	-		29,62088	53,8	-	
	0,0	67,3	-		22,57985	67,3	-	
	0,0	80,8	-		18,61312	80,8	-	
	0,0	94,2	-		14,97143	94,2	-	
	0,0	107,7	-		12,18913	107,7	-	
	0,0	121,2	-		9,83837	121,2	-	
	0,0	134,6	-		8,39860	134,6	-	
	0,0	148,1	-		7,09985	148,1	-	
	0,0	161,5	-		6,04110	161,5	-	
	0,0	175,0	-		5,38036	175,0	-	
	0,0	188,5	-		4,78254	188,5	-	
	0,0	201,9	-		4,19930	201,9	-	
	0,0	215,4	-		3,58690	215,4	-	
	0,0	228,8	-		2,91816	228,8	-	
	0,0	242,3	-		1,91302	242,3	-	
	0,0	255,8	-		0,0	255,8	-	
	0,0	269,2	-		0,0	269,2	-	
	0,0	282,7	-		0,0	282,7	-	
	0,0	309,6	-		0,0	309,6	-	
	0,0	323,1	-		0,0	323,1	-	
	0,0	336,5	-		0,0	336,5	-	
	0,0	350,0	-		0,0	350,0	-	
22:30:10	0,0	0,0	0,0	0,0	97,51300	0,0	243,782	25-42% 245-1,9%
	0,0	13,5	-		97,51300	13,5	-	
	0,0	26,9	-		75,47239	26,9	-	
	0,0	40,4	-		35,77587	40,4	-	
	0,0	53,8	-		29,62088	53,8	-	
	0,0	67,3	-		22,57985	67,3	-	
	0,0	80,8	-		18,61312	80,8	-	
	0,0	94,2	-		14,97143	94,2	-	
	0,0	107,7	-		12,18913	107,7	-	
	0,0	121,2	-		9,83837	121,2	-	
	0,0	134,6	-		8,39860	134,6	-	
	0,0	148,1	-		7,09985	148,1	-	
	0,0	161,5	-		6,04110	161,5	-	
	0,0	175,0	-		5,38036	175,0	-	
	0,0	188,5	-		4,78254	188,5	-	
	0,0	201,9	-		4,19930	201,9	-	
	0,0	215,4	-		3,58690	215,4	-	
	0,0	228,8	-		2,91816	228,8	-	
	0,0	242,3	-		1,91302	242,3	-	
	0,0	255,8	-		0,0	255,8	-	
	0,0	269,2	-		0,0	269,2	-	
	0,0	282,7	-		0,0	282,7	-	
	0,0	309,6	-		0,0	309,6	-	
	0,0	323,1	-		0,0	323,1	-	
	0,0	336,5	-		0,0	336,5	-	
	0,0	350,0	-		0,0	350,0	-	
22:36:10	0,0	0,0	0,0	0,0	96,65762	0,0	241,644	25-42% 245-1,9%
	0,0	13,5	-		96,65762	13,5	-	
	0,0	26,9	-		76,52062	26,9	-	
	0,0	40,4	-		37,73619	40,4	-	
	0,0	53,8	-		30,95216	53,8	-	
	0,0	67,3	-		24,16441	67,3	-	

Time	DRT3-2 Current	DRT3-2 Bias Voltage	DRT3-2 Current Density	DRT3-2 Ion Energy	DRT3-1 Current	DRT3-1 Bias Voltage	DRT3-1 Current Density	DRT3-1 Ion Energy
hh:mm:ss	nA	V	nA/cm2	eV - %	nA	V	nA/cm2	eV
	0,0	80,8	-		19,39959	80,8	-	
	0,0	94,2	-		16,01594	94,2	-	
	0,0	107,7	-		12,99407	107,7	-	
	0,0	121,2	-		10,76071	121,2	-	
	0,0	134,6	-		8,71754	134,6	-	
	0,0	148,1	-		7,56797	148,1	-	
	0,0	161,5	-		6,43631	161,5	-	
	0,0	175,0	-		5,64496	175,0	-	
	0,0	188,5	-		5,13944	188,5	-	
	0,0	201,9	-		4,47198	201,9	-	
	0,0	215,4	-		3,91299	215,4	-	
	0,0	228,8	-		3,15911	228,8	-	
	0,0	242,3	-		2,02555	242,3	-	
	0,0	255,8	-		0,0	255,8	-	
	0,0	269,2	-		0,0	269,2	-	
	0,0	282,7	-		0,0	282,7	-	
	0,0	309,6	-		0,0	309,6	-	
	0,0	323,1	-		0,0	323,1	-	
	0,0	336,5	-		0,0	336,5	-	
	0,0	350,0	-		0,0	350,0	-	
22:42:10	0,0	0,0	0,0	0,0	97,51300	0,0	243,782	25-43% 245-1,9%
	0,0	13,5	-		97,51300	13,5	-	
	0,0	26,9	-		76,52062	26,9	-	
	0,0	40,4	-		36,24661	40,4	-	
	0,0	53,8	-		28,99729	53,8	-	
	0,0	67,3	-		23,34527	67,3	-	
	0,0	80,8	-		18,61312	80,8	-	
	0,0	94,2	-		14,97143	94,2	-	
	0,0	107,7	-		11,97714	107,7	-	
	0,0	121,2	-		9,69980	121,2	-	
	0,0	134,6	-		8,00797	134,6	-	
	0,0	148,1	-		6,95642	148,1	-	
	0,0	161,5	-		5,93694	161,5	-	
	0,0	175,0	-		5,38036	175,0	-	
	0,0	188,5	-		4,84990	188,5	-	
	0,0	201,9	-		4,14871	201,9	-	
	0,0	215,4	-		3,66322	215,4	-	
	0,0	228,8	-		2,94310	228,8	-	
	0,0	242,3	-		2,94310	242,3	-	
	0,0	255,8	-		0,0	255,8	-	
	0,0	269,2	-		0,0	269,2	-	
	0,0	282,7	-		0,0	282,7	-	
	0,0	309,6	-		0,0	309,6	-	
	0,0	323,1	-		0,0	323,1	-	
	0,0	336,5	-		0,0	336,5	-	
	0,0	350,0	-		0,0	350,0	-	
22:48:10	0,0	0,0	0,0	0,0	0,0	0,0	0,0	0,0
	0,0	13,5	-		0,0	13,5	-	
	0,0	26,9	-		0,0	26,9	-	
	0,0	40,4	-		0,0	40,4	-	
	0,0	53,8	-		0,0	53,8	-	
	0,0	67,3	-		0,0	67,3	-	
	0,0	80,8	-		0,0	80,8	-	
	0,0	94,2	-		0,0	94,2	-	
	0,0	107,7	-		0,0	107,7	-	
	0,0	121,2	-		0,0	121,2	-	
	0,0	134,6	-		0,0	134,6	-	
	0,0	148,1	-		0,0	148,1	-	
	0,0	161,5	-		0,0	161,5	-	
	0,0	175,0	-		0,0	175,0	-	

Time	DRT3-2 Current	DRT3-2 Bias Voltage	DRT3-2 Current Density	DRT3-2 Ion Energy	DRT3-1 Current	DRT3-1 Bias Voltage	DRT3-1 Current Density	DRT3-1 Ion Energy
hh:mm:ss	nA	V	nA/cm2	eV - %	nA	V	nA/cm2	eV
	0,0	188,5	-		0,0	188,5	-	
	0,0	201,9	-		0,0	201,9	-	
	0,0	215,4	-		0,0	215,4	-	
	0,0	228,8	-		0,0	228,8	-	
	0,0	242,3	-		0,0	242,3	-	
	0,0	255,8	-		0,0	255,8	-	
	0,0	269,2	-		0,0	269,2	-	
	0,0	282,7	-		0,0	282,7	-	
	0,0	309,6	-		0,0	309,6	-	
	0,0	323,1	-		0,0	323,1	-	
	0,0	336,5	-		0,0	336,5	-	
	0,0	350,0	-		0,0	350,0	-	

Annex 95. Information from B-type sensors at work RT4C1 for 25/09/00

Time of thruster Start-Up - 21:27:55

Time of thruster Switching Off - 22:39:47

Time	DRT3-2 Current	DRT3-2 Bias Voltage	DRT3-2 Current Density	DRT3-2 Ion Energy	DRT3-1 Current	DRT3-1 Bias Voltage	DRT3-1 Current Density	DRT3-1 Ion Energy
hh:mm:ss	nA	V	nA/cm2	eV - %	nA	V	nA/cm2	eV
21:24:10	0,0	0,0	0,0	0,0	0,0	0,0	0,0	0,0
	0,0	13,5	-		0,0	13,5	-	
	0,0	26,9	-		0,0	26,9	-	
	0,0	40,4	-		0,0	40,4	-	
	0,0	53,8	-		0,0	53,8	-	
	0,0	67,3	-		0,0	67,3	-	
	0,0	80,8	-		0,0	80,8	-	
	0,0	94,2	-		0,0	94,2	-	
	0,0	107,7	-		0,0	107,7	-	
	0,0	121,2	-		0,0	121,2	-	
	0,0	134,6	-		0,0	134,6	-	
	0,0	148,1	-		0,0	148,1	-	
	0,0	161,5	-		0,0	161,5	-	
	0,0	175,0	-		0,0	175,0	-	
	0,0	188,5	-		0,0	188,5	-	
	0,0	201,9	-		0,0	201,9	-	
	0,0	215,4	-		0,0	215,4	-	
	0,0	228,8	-		0,0	228,8	-	
	0,0	242,3	-		0,0	242,3	-	
	0,0	255,8	-		0,0	255,8	-	
	0,0	269,2	-		0,0	269,2	-	
	0,0	282,7	-		0,0	282,7	-	
	0,0	309,6	-		0,0	309,6	-	
	0,0	323,1	-		0,0	323,1	-	
	0,0	336,5	-		0,0	336,5	-	
	0,0	350,0	-		0,0	350,0	-	
21:30:10	0,0	0,0	0,0	0,0	95,81712	0,0	239,543	25-40% 240-2%
	0,0	13,5	-		95,81712	13,5	-	
	0,0	26,9	-		70,63442	26,9	-	
	0,0	40,4	-		33,59442	40,4	-	
	0,0	53,8	-		27,27468	53,8	-	
	0,0	67,3	-		21,19033	67,3	-	
	0,0	80,8	-		18,12330	80,8	-	
	0,0	94,2	-		14,49864	94,2	-	
	0,0	107,7	-		12,18913	107,7	-	
	0,0	121,2	-		10,12773	121,2	-	
	0,0	134,6	-		8,39860	134,6	-	
	0,0	148,1	-		7,17381	148,1	-	
	0,0	161,5	-		6,31822	161,5	-	
	0,0	175,0	-		5,42272	175,0	-	
	0,0	188,5	-		4,91918	188,5	-	
	0,0	201,9	-		4,30429	201,9	-	
	0,0	215,4	-		3,66322	215,4	-	
	0,0	228,8	-		2,91816	228,8	-	
	0,0	242,3	-		0,0	242,3	-	
	0,0	255,8	-		0,0	255,8	-	
	0,0	269,2	-		0,0	269,2	-	
	0,0	282,7	-		0,0	282,7	-	
	0,0	309,6	-		0,0	309,6	-	
	0,0	323,1	-		0,0	323,1	-	
	0,0	336,5	-		0,0	336,5	-	
	0,0	350,0	-		0,0	350,0	-	

Time	DRT3-2 Current	DRT3-2 Bias Voltage	DRT3-2 Current Density	DRT3-2 Ion Energy	DRT3-1 Current	DRT3-1 Bias Voltage	DRT3-1 Current Density	DRT3-1 Ion Energy
hh:mm:ss	nA	V	nA/cm2	eV - %	nA	V	nA/cm2	eV
21:36:10	0,0	0,0	0,0	0,0	98,38365	0,0	245,959	25-39% 240-1,8%
	0,0	13,5	-		98,38365	13,5	-	
	0,0	26,9	-		73,45979	26,9	-	
	0,0	40,4	-		36,72990	40,4	-	
	0,0	53,8	-		28,99729	53,8	-	
	0,0	67,3	-		22,95619	67,3	-	
	0,0	80,8	-		19,13015	80,8	-	
	0,0	94,2	-		14,97143	94,2	-	
	0,0	107,7	-		11,97714	107,7	-	
	0,0	121,2	-		10,12773	121,2	-	
	0,0	134,6	-		8,29742	134,6	-	
	0,0	148,1	-		6,81867	148,1	-	
	0,0	161,5	-		6,04110	161,5	-	
	0,0	175,0	-		5,29758	175,0	-	
	0,0	188,5	-		4,71702	188,5	-	
	0,0	201,9	-		4,14871	201,9	-	
	0,0	215,4	-		3,70261	215,4	-	
	0,0	228,8	-		2,89364	228,8	-	
	0,0	242,3	-		0,0	242,3	-	
	0,0	255,8	-		0,0	255,8	-	
	0,0	269,2	-		0,0	269,2	-	
	0,0	282,7	-		0,0	282,7	-	
	0,0	309,6	-		0,0	309,6	-	
	0,0	323,1	-		0,0	323,1	-	
	0,0	336,5	-		0,0	336,5	-	
	0,0	350,0	-		0,0	350,0	-	
21:42:10	0,0	0,0	0,0	0,0	99,26999	0,0	248,175	25-40% 240-2%
	0,0	13,5	-		99,26999	13,5	-	
	0,0	26,9	-		76,52062	26,9	-	
	0,0	40,4	-		37,22625	40,4	-	
	0,0	53,8	-		29,30577	53,8	-	
	0,0	67,3	-		23,54481	67,3	-	
	0,0	80,8	-		19,13015	80,8	-	
	0,0	94,2	-		15,13595	94,2	-	
	0,0	107,7	-		12,08220	107,7	-	
	0,0	121,2	-		10,12773	121,2	-	
	0,0	134,6	-		8,10218	134,6	-	
	0,0	148,1	-		6,88686	148,1	-	
	0,0	161,5	-		5,88620	161,5	-	
	0,0	175,0	-		5,13944	175,0	-	
	0,0	188,5	-		4,65328	188,5	-	
	0,0	201,9	-		4,05109	201,9	-	
	0,0	215,4	-		3,44343	215,4	-	
	0,0	228,8	-		2,84581	228,8	-	
	0,0	242,3	-		0,0	242,3	-	
	0,0	255,8	-		0,0	255,8	-	
	0,0	269,2	-		0,0	269,2	-	
	0,0	282,7	-		0,0	282,7	-	
	0,0	309,6	-		0,0	309,6	-	
	0,0	323,1	-		0,0	323,1	-	
	0,0	336,5	-		0,0	336,5	-	
	0,0	350,0	-		0,0	350,0	-	
21:48:10	0,0	0,0	0,0	0,0	100,17244	0,0	250,431	25-43% 245-1,9%
	0,0	13,5	-		100,17244	13,5	-	
	0,0	26,9	-		94,99111	26,9	-	
	0,0	40,4	-		35,31721	40,4	-	
	0,0	53,8	-		28,10961	53,8	-	
	0,0	67,3	-		21,86303	67,3	-	
	0,0	80,8	-		17,65860	80,8	-	
	0,0	94,2	-		14,19970	94,2	-	

Time	DRT3-2 Current	DRT3-2 Bias Voltage	DRT3-2 Current Density	DRT3-2 Ion Energy	DRT3-1 Current	DRT3-1 Bias Voltage	DRT3-1 Current Density	DRT3-1 Ion Energy
hh:mm:ss	nA	V	nA/cm2	eV - %	nA	V	nA/cm2	eV
	0,0	107,7	-		11,10783	107,7	-	
	0,0	121,2	-		8,94397	121,2	-	
	0,0	134,6	-		7,56797	134,6	-	
	0,0	148,1	-		6,20437	148,1	-	
	0,0	161,5	-		5,46576	161,5	-	
	0,0	175,0	-		4,78254	175,0	-	
	0,0	188,5	-		4,30429	188,5	-	
	0,0	201,9	-		3,78399	201,9	-	
	0,0	215,4	-		3,31099	215,4	-	
	0,0	228,8	-		2,69018	228,8	-	
	0,0	242,3	-		1,77496	242,3	-	
	0,0	255,8	-		0,0	255,8	-	
	0,0	269,2	-		0,0	269,2	-	
	0,0	282,7	-		0,0	282,7	-	
	0,0	309,6	-		0,0	309,6	-	
	0,0	323,1	-		0,0	323,1	-	
	0,0	336,5	-		0,0	336,5	-	
	0,0	350,0	-		0,0	350,0	-	
21:54:10	0,0	0,0	0,0	0,0	100,17244	0,0	250,431	25-40% 245-1,9%
	0,0	13,5	-		100,17244	13,5	-	
	0,0	26,9	-		95,81712	26,9	-	
	0,0	40,4	-		37,22625	40,4	-	
	0,0	53,8	-		29,30577	53,8	-	
	0,0	67,3	-		23,34527	67,3	-	
	0,0	80,8	-		18,86810	80,8	-	
	0,0	94,2	-		15,47608	94,2	-	
	0,0	107,7	-		11,87389	107,7	-	
	0,0	121,2	-		9,56508	121,2	-	
	0,0	134,6	-		8,00797	134,6	-	
	0,0	148,1	-		6,81867	148,1	-	
	0,0	161,5	-		5,73905	161,5	-	
	0,0	175,0	-		5,13944	175,0	-	
	0,0	188,5	-		4,47198	188,5	-	
	0,0	201,9	-		4,05109	201,9	-	
	0,0	215,4	-		3,47821	215,4	-	
	0,0	228,8	-		2,86952	228,8	-	
	0,0	242,3	-		1,85131	242,3	-	
	0,0	255,8	-		0,0	255,8	-	
	0,0	269,2	-		0,0	269,2	-	
	0,0	282,7	-		0,0	282,7	-	
	0,0	309,6	-		0,0	309,6	-	
	0,0	323,1	-		0,0	323,1	-	
	0,0	336,5	-		0,0	336,5	-	
	0,0	350,0	-		0,0	350,0	-	
22:00:10	0,0	0,0	0,0	0,0	100,17244	0,0	250,431	25-43% 245-1,9%
	0,0	13,5	-		100,17244	13,5	-	
	0,0	26,9	-		76,52062	26,9	-	
	0,0	40,4	-		36,72990	40,4	-	
	0,0	53,8	-		29,94285	53,8	-	
	0,0	67,3	-		23,54481	67,3	-	
	0,0	80,8	-		18,86810	80,8	-	
	0,0	94,2	-		15,47608	94,2	-	
	0,0	107,7	-		11,77240	107,7	-	
	0,0	121,2	-		9,56508	121,2	-	
	0,0	134,6	-		8,00797	134,6	-	
	0,0	148,1	-		6,68627	148,1	-	
	0,0	161,5	-		5,55392	161,5	-	
	0,0	175,0	-		4,99048	175,0	-	
	0,0	188,5	-		4,47198	188,5	-	
	0,0	201,9	-		4,00399	201,9	-	

Time	DRT3-2 Current	DRT3-2 Bias Voltage	DRT3-2 Current Density	DRT3-2 Ion Energy	DRT3-1 Current	DRT3-1 Bias Voltage	DRT3-1 Current Density	DRT3-1 Ion Energy
hh:mm:ss	nA	V	nA/cm2	eV - %	nA	V	nA/cm2	eV
	0,0	215,4	-		3,51370	215,4	-	
	0,0	228,8	-		2,79954	228,8	-	
	0,0	242,3	-		1,83161	242,3	-	
	0,0	255,8	-		0,0	255,8	-	
	0,0	269,2	-		0,0	269,2	-	
	0,0	282,7	-		0,0	282,7	-	
	0,0	309,6	-		0,0	309,6	-	
	0,0	323,1	-		0,0	323,1	-	
	0,0	336,5	-		0,0	336,5	-	
	0,0	350,0	-		0,0	350,0	-	
22:06:10	0,0	0,0	0,0	0,0	100,17244	0,0	250,431	25-44% 245-1,6%
	0,0	13,5	-		100,17244	13,5	-	
	0,0	26,9	-		76,52062	26,9	-	
	0,0	40,4	-		35,31721	40,4	-	
	0,0	53,8	-		28,10961	53,8	-	
	0,0	67,3	-		22,03794	67,3	-	
	0,0	80,8	-		18,12330	80,8	-	
	0,0	94,2	-		14,05481	94,2	-	
	0,0	107,7	-		11,28993	107,7	-	
	0,0	121,2	-		9,18247	121,2	-	
	0,0	134,6	-		7,48571	134,6	-	
	0,0	148,1	-		6,04110	148,1	-	
	0,0	161,5	-		5,29758	161,5	-	
	0,0	175,0	-		4,91918	175,0	-	
	0,0	188,5	-		4,14871	188,5	-	
	0,0	201,9	-		3,74286	201,9	-	
	0,0	215,4	-		3,31099	215,4	-	
	0,0	228,8	-		2,60866	228,8	-	
	0,0	242,3	-		1,70467	242,3	-	
	0,0	255,8	-		0,0	255,8	-	
	0,0	269,2	-		0,0	269,2	-	
	0,0	282,7	-		0,0	282,7	-	
	0,0	309,6	-		0,0	309,6	-	
	0,0	323,1	-		0,0	323,1	-	
	0,0	336,5	-		0,0	336,5	-	
	0,0	350,0	-		0,0	350,0	-	
22:12:10	0,0	0,0	0,0	0,0	99,26999	0,0	248,175	25-41% 245-1,9%
	0,0	13,5	-		99,26999	13,5	-	
	0,0	26,9	-		76,52062	26,9	-	
	0,0	40,4	-		37,73619	40,4	-	
	0,0	53,8	-		30,27189	53,8	-	
	0,0	67,3	-		23,34527	67,3	-	
	0,0	80,8	-		18,86810	80,8	-	
	0,0	94,2	-		15,13595	94,2	-	
	0,0	107,7	-		11,97714	107,7	-	
	0,0	121,2	-		9,56508	121,2	-	
	0,0	134,6	-		8,00797	134,6	-	
	0,0	148,1	-		6,88686	148,1	-	
	0,0	161,5	-		5,78727	161,5	-	
	0,0	175,0	-		5,13944	175,0	-	
	0,0	188,5	-		4,59124	188,5	-	
	0,0	201,9	-		4,00399	201,9	-	
	0,0	215,4	-		3,40933	215,4	-	
	0,0	228,8	-		2,82248	228,8	-	
	0,0	242,3	-		1,81233	242,3	-	
	0,0	255,8	-		0,0	255,8	-	
	0,0	269,2	-		0,0	269,2	-	
	0,0	282,7	-		0,0	282,7	-	
	0,0	309,6	-		0,0	309,6	-	
	0,0	323,1	-		0,0	323,1	-	

Time	DRT3-2 Current	DRT3-2 Bias Voltage	DRT3-2 Current Density	DRT3-2 Ion Energy	DRT3-1 Current	DRT3-1 Bias Voltage	DRT3-1 Current Density	DRT3-1 Ion Energy
hh:mm:ss	nA	V	nA/cm2	eV - %	nA	V	nA/cm2	eV
22:18:10	0,0	336,5	-	0,0	0,0	336,5	-	25-42% 245-1,9%
	0,0	350,0	-		0,0	350,0	-	
	0,0	0,0	0,0		99,26999	0,0	248,175	
	0,0	13,5	-		99,26999	13,5	-	
	0,0	26,9	-		75,47239	26,9	-	
	0,0	40,4	-		34,87015	40,4	-	
	0,0	53,8	-		27,54742	53,8	-	
	0,0	67,3	-		21,69088	67,3	-	
	0,0	80,8	-		17,88794	80,8	-	
	0,0	94,2	-		14,34762	94,2	-	
	0,0	107,7	-		10,84544	107,7	-	
	0,0	121,2	-		9,06165	121,2	-	
	0,0	134,6	-		7,48571	134,6	-	
	0,0	148,1	-		6,37672	148,1	-	
	0,0	161,5	-		5,38036	161,5	-	
	0,0	175,0	-		4,84990	175,0	-	
	0,0	188,5	-		4,19930	188,5	-	
	0,0	201,9	-		3,70261	201,9	-	
	0,0	215,4	-		3,21816	215,4	-	
	0,0	228,8	-		2,60866	228,8	-	
	0,0	242,3	-		1,68796	242,3	-	
	0,0	255,8	-		0,0	255,8	-	
	0,0	269,2	-		0,0	269,2	-	
	0,0	282,7	-		0,0	282,7	-	
	0,0	309,6	-		0,0	309,6	-	
	0,0	323,1	-		0,0	323,1	-	
	0,0	336,5	-		0,0	336,5	-	
	0,0	350,0	-		0,0	350,0	-	
22:24:10	0,0	0,0	0,0	0,0	99,26999	0,0	248,175	25-42% 245-1,9%
	0,0	13,5	-		99,26999	13,5	-	
	0,0	26,9	-		76,52062	26,9	-	
	0,0	40,4	-		36,24661	40,4	-	
	0,0	53,8	-		28,10961	53,8	-	
	0,0	67,3	-		22,03794	67,3	-	
	0,0	80,8	-		17,88794	80,8	-	
	0,0	94,2	-		13,77371	94,2	-	
	0,0	107,7	-		11,28993	107,7	-	
	0,0	121,2	-		9,06165	121,2	-	
	0,0	134,6	-		7,32644	134,6	-	
	0,0	148,1	-		6,20437	148,1	-	
	0,0	161,5	-		5,42272	161,5	-	
	0,0	175,0	-		4,71702	175,0	-	
	0,0	188,5	-		4,25115	188,5	-	
	0,0	201,9	-		3,70261	201,9	-	
	0,0	215,4	-		3,13039	215,4	-	
	0,0	228,8	-		2,53193	228,8	-	
	0,0	242,3	-		1,65549	242,3	-	
	0,0	255,8	-		0,0	255,8	-	
	0,0	269,2	-		0,0	269,2	-	
	0,0	282,7	-		0,0	282,7	-	
	0,0	309,6	-		0,0	309,6	-	
	0,0	323,1	-		0,0	323,1	-	
	0,0	336,5	-		0,0	336,5	-	
	0,0	350,0	-		0,0	350,0	-	
22:30:10	0,0	0,0	0,0	0,0	100,17244	0,0	250,431	25-40% 245-1,9%
	0,0	13,5	-		100,17244	13,5	-	
	0,0	26,9	-		76,52062	26,9	-	
	0,0	40,4	-		37,22625	40,4	-	
	0,0	53,8	-		30,95216	53,8	-	
	0,0	67,3	-		23,95428	67,3	-	

Time	DRT3-2 Current	DRT3-2 Bias Voltage	DRT3-2 Current Density	DRT3-2 Ion Energy	DRT3-1 Current	DRT3-1 Bias Voltage	DRT3-1 Current Density	DRT3-1 Ion Energy
hh:mm:ss	nA	V	nA/cm2	eV - %	nA	V	nA/cm2	eV
	0,0	80,8	-		18,86810	80,8	-	
	0,0	94,2	-		15,13595	94,2	-	
	0,0	107,7	-		12,08220	107,7	-	
	0,0	121,2	-		9,69980	121,2	-	
	0,0	134,6	-		7,91593	134,6	-	
	0,0	148,1	-		6,62198	148,1	-	
	0,0	161,5	-		5,93694	161,5	-	
	0,0	175,0	-		5,06386	175,0	-	
	0,0	188,5	-		4,47198	188,5	-	
	0,0	201,9	-		3,95796	201,9	-	
	0,0	215,4	-		3,34313	215,4	-	
	0,0	228,8	-		2,75474	228,8	-	
	0,0	242,3	-		1,75685	242,3	-	
	0,0	255,8	-		0,0	255,8	-	
	0,0	269,2	-		0,0	269,2	-	
	0,0	282,7	-		0,0	282,7	-	
	0,0	309,6	-		0,0	309,6	-	
	0,0	323,1	-		0,0	323,1	-	
	0,0	336,5	-		0,0	336,5	-	
	0,0	350,0	-		0,0	350,0	-	
22:36:10	0,0	0,0	0,0	0,0	99,17244	0,0	247,931	25-40% 245-1,7%
	0,0	13,5	-		99,17244	13,5	-	
	0,0	26,9	-		78,52062	26,9	-	
	0,0	40,4	-		39,22625	40,4	-	
	0,0	53,8	-		33,95216	53,8	-	
	0,0	67,3	-		25,95428	67,3	-	
	0,0	80,8	-		20,86810	80,8	-	
	0,0	94,2	-		15,15695	94,2	-	
	0,0	107,7	-		12,39220	107,7	-	
	0,0	121,2	-		9,99980	121,2	-	
	0,0	134,6	-		8,91593	134,6	-	
	0,0	148,1	-		7,62198	148,1	-	
	0,0	161,5	-		6,93694	161,5	-	
	0,0	175,0	-		5,06386	175,0	-	
	0,0	188,5	-		4,47198	188,5	-	
	0,0	201,9	-		3,95796	201,9	-	
	0,0	215,4	-		3,34313	215,4	-	
	0,0	228,8	-		2,75564	228,8	-	
	0,0	242,3	-		1,75685	242,3	-	
	0,0	255,8	-		0,0	255,8	-	
	0,0	269,2	-		0,0	269,2	-	
	0,0	282,7	-		0,0	282,7	-	
	0,0	309,6	-		0,0	309,6	-	
	0,0	323,1	-		0,0	323,1	-	
	0,0	336,5	-		0,0	336,5	-	
	0,0	350,0	-		0,0	350,0	-	
22:42:10	0,0	0,0	0,0	0,0	0,0	0,0	0,0	0,0
	0,0	13,5	-		0,0	13,5	-	
	0,0	26,9	-		0,0	26,9	-	
	0,0	40,4	-		0,0	40,4	-	
	0,0	53,8	-		0,0	53,8	-	
	0,0	67,3	-		0,0	67,3	-	
	0,0	80,8	-		0,0	80,8	-	
	0,0	94,2	-		0,0	94,2	-	
	0,0	107,7	-		0,0	107,7	-	
	0,0	121,2	-		0,0	121,2	-	
	0,0	134,6	-		0,0	134,6	-	
	0,0	148,1	-		0,0	148,1	-	
	0,0	161,5	-		0,0	161,5	-	
	0,0	175,0	-		0,0	175,0	-	

Time	DRT3-2 Current	DRT3-2 Bias Voltage	DRT3-2 Current Density	DRT3-2 Ion Energy	DRT3-1 Current	DRT3-1 Bias Voltage	DRT3-1 Current Density	DRT3-1 Ion Energy
hh:mm:ss	nA	V	nA/cm2	eV - %	nA	V	nA/cm2	eV
	0,0	188,5	-		0,0	188,5	-	
	0,0	201,9	-		0,0	201,9	-	
	0,0	215,4	-		0,0	215,4	-	
	0,0	228,8	-		0,0	228,8	-	
	0,0	242,3	-		0,0	242,3	-	
	0,0	255,8	-		0,0	255,8	-	
	0,0	269,2	-		0,0	269,2	-	
	0,0	282,7	-		0,0	282,7	-	
	0,0	309,6	-		0,0	309,6	-	
	0,0	323,1	-		0,0	323,1	-	
	0,0	336,5	-		0,0	336,5	-	
	0,0	350,0	-		0,0	350,0	-	

Annex 96. Information from B-type sensors at work T4C1 for 28/09/00

Time of thruster Start-Up - 21:16:11

Time of thruster Switching Off - 22:28:03

Time	DRT3-2 Current	DRT3-2 Bias Voltage	DRT3-2 Current Density	DRT3-2 Ion Energy	DRT3-1 Current	DRT3-1 Bias Voltage	DRT3-1 Current Density	DRT3-1 Ion Energy
hh:mm:ss	nA	V	nA/cm2	eV - %	nA	V	nA/cm2	eV
21:12:10	0,0	0,0	0,0	0,0	0,0	0,0	0,0	0,0
	0,0	13,5	-		0,0	13,5	-	
	0,0	26,9	-		0,0	26,9	-	
	0,0	40,4	-		0,0	40,4	-	
	0,0	53,8	-		0,0	53,8	-	
	0,0	67,3	-		0,0	67,3	-	
	0,0	80,8	-		0,0	80,8	-	
	0,0	94,2	-		0,0	94,2	-	
	0,0	107,7	-		0,0	107,7	-	
	0,0	121,2	-		0,0	121,2	-	
	0,0	134,6	-		0,0	134,6	-	
	0,0	148,1	-		0,0	148,1	-	
	0,0	161,5	-		0,0	161,5	-	
	0,0	175,0	-		0,0	175,0	-	
	0,0	188,5	-		0,0	188,5	-	
	0,0	201,9	-		0,0	201,9	-	
	0,0	215,4	-		0,0	215,4	-	
	0,0	228,8	-		0,0	228,8	-	
	0,0	242,3	-		0,0	242,3	-	
	0,0	255,8	-		0,0	255,8	-	
	0,0	269,2	-		0,0	269,2	-	
	0,0	282,7	-		0,0	282,7	-	
	0,0	309,6	-		0,0	309,6	-	
	0,0	323,1	-		0,0	323,1	-	
	0,0	336,5	-		0,0	336,5	-	
	0,0	350,0	-		0,0	350,0	-	
21:18:10	0,0	0,0	0,0	0,0	38,79919	0,0	96,998	17-27% 227-2,9%
	0,0	13,5	-		38,79919	13,5	-	
	0,0	26,9	-		28,39940	26,9	-	
	0,0	40,4	-		22,76646	40,4	-	
	0,0	53,8	-		18,12330	53,8	-	
	0,0	67,3	-		14,81044	67,3	-	
	0,0	80,8	-		11,97714	80,8	-	
	0,0	94,2	-		10,12773	94,2	-	
	0,0	107,7	-		8,50229	107,7	-	
	0,0	121,2	-		7,32644	121,2	-	
	0,0	134,6	-		6,62198	134,6	-	
	0,0	148,1	-		5,83632	148,1	-	
	0,0	161,5	-		5,29758	161,5	-	
	0,0	175,0	-		4,78254	175,0	-	
	0,0	188,5	-		4,19930	188,5	-	
	0,0	201,9	-		3,58690	201,9	-	
	0,0	215,4	-		2,94310	215,4	-	
	0,0	228,8	-		0,0	228,8	-	
	0,0	242,3	-		0,0	242,3	-	
	0,0	255,8	-		0,0	255,8	-	
	0,0	269,2	-		0,0	269,2	-	
	0,0	282,7	-		0,0	282,7	-	
	0,0	309,6	-		0,0	309,6	-	
	0,0	323,1	-		0,0	323,1	-	
	0,0	336,5	-		0,0	336,5	-	
	0,0	350,0	-		0,0	350,0	-	

Time	DRT3-2 Current	DRT3-2 Bias Voltage	DRT3-2 Current Density	DRT3-2 Ion Energy	DRT3-1 Current	DRT3-1 Bias Voltage	DRT3-1 Current Density	DRT3-1 Ion Energy
hh:mm:ss	nA	V	nA/cm2	eV - %	nA	V	nA/cm2	eV
21:24:10	0,0	0,0	0,0	0,0	37,73619	0,0	94,340	17-24,7% 227-2,6%
	0,0	13,5	-		37,73619	13,5	-	
	0,0	26,9	-		28,69523	26,9	-	
	0,0	40,4	-		23,14909	40,4	-	
	0,0	53,8	-		18,12330	53,8	-	
	0,0	67,3	-		14,81044	67,3	-	
	0,0	80,8	-		12,08220	80,8	-	
	0,0	94,2	-		10,12773	94,2	-	
	0,0	107,7	-		8,39860	107,7	-	
	0,0	121,2	-		7,24932	121,2	-	
	0,0	134,6	-		6,31822	134,6	-	
	0,0	148,1	-		5,50948	148,1	-	
	0,0	161,5	-		4,84990	161,5	-	
	0,0	175,0	-		4,41465	175,0	-	
	0,0	188,5	-		3,91299	188,5	-	
	0,0	201,9	-		3,34313	201,9	-	
	0,0	215,4	-		2,75474	215,4	-	
	0,0	228,8	-		0,0	228,8	-	
	0,0	242,3	-		0,0	242,3	-	
	0,0	255,8	-		0,0	255,8	-	
	0,0	269,2	-		0,0	269,2	-	
	0,0	282,7	-		0,0	282,7	-	
	0,0	309,6	-		0,0	309,6	-	
	0,0	323,1	-		0,0	323,1	-	
	0,0	336,5	-		0,0	336,5	-	
	0,0	350,0	-		0,0	350,0	-	
21:30:10	0,0	0,0	0,0	0,0	41,11556	0,0	102,789	17-29% 227-2,9%
	0,0	13,5	-		41,11556	13,5	-	
	0,0	26,9	-		29,62088	26,9	-	
	0,0	40,4	-		24,81750	40,4	-	
	0,0	53,8	-		19,39959	53,8	-	
	0,0	67,3	-		15,65194	67,3	-	
	0,0	80,8	-		12,99407	80,8	-	
	0,0	94,2	-		10,59516	94,2	-	
	0,0	107,7	-		9,06165	107,7	-	
	0,0	121,2	-		7,56797	121,2	-	
	0,0	134,6	-		6,68627	134,6	-	
	0,0	148,1	-		5,69162	148,1	-	
	0,0	161,5	-		5,13944	161,5	-	
	0,0	175,0	-		4,59124	175,0	-	
	0,0	188,5	-		4,00399	188,5	-	
	0,0	201,9	-		3,47821	201,9	-	
	0,0	215,4	-		2,84581	215,4	-	
	0,0	228,8	-		0,0	228,8	-	
	0,0	242,3	-		0,0	242,3	-	
	0,0	255,8	-		0,0	255,8	-	
	0,0	269,2	-		0,0	269,2	-	
	0,0	282,7	-		0,0	282,7	-	
	0,0	309,6	-		0,0	309,6	-	
	0,0	323,1	-		0,0	323,1	-	
	0,0	336,5	-		0,0	336,5	-	
	0,0	350,0	-		0,0	350,0	-	
21:36:10	0,0	0,0	0,0	0,0	37,73619	0,0	94,340	17-25% 227-2,6%
	0,0	13,5	-		37,73619	13,5	-	
	0,0	26,9	-		28,39940	26,9	-	
	0,0	40,4	-		22,95619	40,4	-	
	0,0	53,8	-		18,61312	53,8	-	
	0,0	67,3	-		14,65288	67,3	-	
	0,0	80,8	-		11,77240	80,8	-	
	0,0	94,2	-		9,83837	94,2	-	

Time	DRT3-2 Current	DRT3-2 Bias Voltage	DRT3-2 Current Density	DRT3-2 Ion Energy	DRT3-1 Current	DRT3-1 Bias Voltage	DRT3-1 Current Density	DRT3-1 Ion Energy
hh:mm:ss	nA	V	nA/cm2	eV - %	nA	V	nA/cm2	eV
	0,0	107,7	-		8,29742	107,7	-	
	0,0	121,2	-		6,95642	121,2	-	
	0,0	134,6	-		6,09456	134,6	-	
	0,0	148,1	-		5,46576	148,1	-	
	0,0	161,5	-		4,78254	161,5	-	
	0,0	175,0	-		4,25115	175,0	-	
	0,0	188,5	-		3,70261	188,5	-	
	0,0	201,9	-		3,18836	201,9	-	
	0,0	215,4	-		2,60866	215,4	-	
	0,0	228,8	-		0,0	228,8	-	
	0,0	242,3	-		0,0	242,3	-	
	0,0	255,8	-		0,0	255,8	-	
	0,0	269,2	-		0,0	269,2	-	
	0,0	282,7	-		0,0	282,7	-	
	0,0	309,6	-		0,0	309,6	-	
	0,0	323,1	-		0,0	323,1	-	
	0,0	336,5	-		0,0	336,5	-	
	0,0	350,0	-		0,0	350,0	-	
21:42:10	0,0	0,0	0,0	0,0	38,79919	0,0	96,998	17-30,4% 227-2,9%
	0,0	13,5	-		38,79919	13,5	-	
	0,0	26,9	-		27,82568	26,9	-	
	0,0	40,4	-		22,76646	40,4	-	
	0,0	53,8	-		18,12330	53,8	-	
	0,0	67,3	-		14,65288	67,3	-	
	0,0	80,8	-		11,97714	80,8	-	
	0,0	94,2	-		9,83837	94,2	-	
	0,0	107,7	-		8,19864	107,7	-	
	0,0	121,2	-		6,88686	121,2	-	
	0,0	134,6	-		6,09456	134,6	-	
	0,0	148,1	-		5,29758	148,1	-	
	0,0	161,5	-		4,71702	161,5	-	
	0,0	175,0	-		4,09932	175,0	-	
	0,0	188,5	-		3,58690	188,5	-	
	0,0	201,9	-		3,13039	201,9	-	
	0,0	215,4	-		2,64879	215,4	-	
	0,0	228,8	-		0,0	228,8	-	
	0,0	242,3	-		0,0	242,3	-	
	0,0	255,8	-		0,0	255,8	-	
	0,0	269,2	-		0,0	269,2	-	
	0,0	282,7	-		0,0	282,7	-	
	0,0	309,6	-		0,0	309,6	-	
	0,0	323,1	-		0,0	323,1	-	
	0,0	336,5	-		0,0	336,5	-	
	0,0	350,0	-		0,0	350,0	-	
21:48:10	0,0	0,0	0,0	0,0	40,51092	0,0	101,277	17-27% 245-2,8%
	0,0	13,5	-		40,51092	13,5	-	
	0,0	26,9	-		29,94285	26,9	-	
	0,0	40,4	-		24,81750	40,4	-	
	0,0	53,8	-		19,13015	53,8	-	
	0,0	67,3	-		15,65194	67,3	-	
	0,0	80,8	-		12,75344	80,8	-	
	0,0	94,2	-		10,59516	94,2	-	
	0,0	107,7	-		8,71754	107,7	-	
	0,0	121,2	-		7,32644	121,2	-	
	0,0	134,6	-		6,37672	134,6	-	
	0,0	148,1	-		5,64496	148,1	-	
	0,0	161,5	-		4,99048	161,5	-	
	0,0	175,0	-		4,35877	175,0	-	
	0,0	188,5	-		3,86902	188,5	-	
	0,0	201,9	-		3,34313	201,9	-	

Time	DRT3-2 Current	DRT3-2 Bias Voltage	DRT3-2 Current Density	DRT3-2 Ion Energy	DRT3-1 Current	DRT3-1 Bias Voltage	DRT3-1 Current Density	DRT3-1 Ion Energy
hh:mm:ss	nA	V	nA/cm2	eV - %	nA	V	nA/cm2	eV
	0,0	215,4	-		2,77696	215,4	-	
	0,0	228,8	-		2,00199	228,8	-	
	0,0	242,3	-		1,01277	242,3	-	
	0,0	255,8	-		0,0	255,8	-	
	0,0	269,2	-		0,0	269,2	-	
	0,0	282,7	-		0,0	282,7	-	
	0,0	309,6	-		0,0	309,6	-	
	0,0	323,1	-		0,0	323,1	-	
	0,0	336,5	-		0,0	336,5	-	
	0,0	350,0	-		0,0	350,0	-	
21:54:10	0,0	0,0	0,0	0,0	37,22625	0,0	93,066	17-26,6% 245-2,7%
	0,0	13,5	-		37,22625	13,5	-	
	0,0	26,9	-		27,54742	26,9	-	
	0,0	40,4	-		23,34527	40,4	-	
	0,0	53,8	-		17,88794	53,8	-	
	0,0	67,3	-		14,49864	67,3	-	
	0,0	80,8	-		12,08220	80,8	-	
	0,0	94,2	-		9,83837	94,2	-	
	0,0	107,7	-		8,00797	107,7	-	
	0,0	121,2	-		6,75182	121,2	-	
	0,0	134,6	-		5,93694	134,6	-	
	0,0	148,1	-		5,13944	148,1	-	
	0,0	161,5	-		4,65328	161,5	-	
	0,0	175,0	-		4,09932	175,0	-	
	0,0	188,5	-		3,54993	188,5	-	
	0,0	201,9	-		3,10219	201,9	-	
	0,0	215,4	-		2,60866	215,4	-	
	0,0	228,8	-		1,89199	228,8	-	
	0,0	242,3	-		0,93571	242,3	-	
	0,0	255,8	-		0,0	255,8	-	
	0,0	269,2	-		0,0	269,2	-	
	0,0	282,7	-		0,0	282,7	-	
	0,0	309,6	-		0,0	309,6	-	
	0,0	323,1	-		0,0	323,1	-	
	0,0	336,5	-		0,0	336,5	-	
	0,0	350,0	-		0,0	350,0	-	
22:00:10	0,0	0,0	0,0	0,0	38,79919	0,0	96,998	17-26,6% 245-2,8%
	0,0	13,5	-		38,79919	13,5	-	
	0,0	26,9	-		28,39940	26,9	-	
	0,0	40,4	-		22,95619	40,4	-	
	0,0	53,8	-		18,36495	53,8	-	
	0,0	67,3	-		14,65288	67,3	-	
	0,0	80,8	-		11,97714	80,8	-	
	0,0	94,2	-		9,83837	94,2	-	
	0,0	107,7	-		8,29742	107,7	-	
	0,0	121,2	-		6,75182	121,2	-	
	0,0	134,6	-		6,09456	134,6	-	
	0,0	148,1	-		5,29758	148,1	-	
	0,0	161,5	-		4,65328	161,5	-	
	0,0	175,0	-		4,14871	175,0	-	
	0,0	188,5	-		3,62466	188,5	-	
	0,0	201,9	-		3,10219	201,9	-	
	0,0	215,4	-		2,60866	215,4	-	
	0,0	228,8	-		1,91302	228,8	-	
	0,0	242,3	-		0,94600	242,3	-	
	0,0	255,8	-		0,0	255,8	-	
	0,0	269,2	-		0,0	269,2	-	
	0,0	282,7	-		0,0	282,7	-	
	0,0	309,6	-		0,0	309,6	-	
	0,0	323,1	-		0,0	323,1	-	

Time	DRT3-2 Current	DRT3-2 Bias Voltage	DRT3-2 Current Density	DRT3-2 Ion Energy	DRT3-1 Current	DRT3-1 Bias Voltage	DRT3-1 Current Density	DRT3-1 Ion Energy
hh:mm:ss	nA	V	nA/cm2	eV - %	nA	V	nA/cm2	eV
22:06:10	0,0	336,5	-	0,0	0,0	336,5	-	17-27% 245-2,8%
	0,0	350,0	-		0,0	350,0	-	
	0,0	0,0	0,0		37,73619	0,0	94,340	
	0,0	13,5	-		37,73619	13,5	-	
	0,0	26,9	-		27,82568	26,9	-	
	0,0	40,4	-		22,76646	40,4	-	
	0,0	53,8	-		18,36495	53,8	-	
	0,0	67,3	-		14,65288	67,3	-	
	0,0	80,8	-		11,87389	80,8	-	
	0,0	94,2	-		9,83837	94,2	-	
	0,0	107,7	-		8,10218	107,7	-	
	0,0	121,2	-		6,81867	121,2	-	
	0,0	134,6	-		5,93694	134,6	-	
	0,0	148,1	-		5,29758	148,1	-	
	0,0	161,5	-		4,59124	161,5	-	
	0,0	175,0	-		4,05109	175,0	-	
	0,0	188,5	-		3,51370	188,5	-	
	0,0	201,9	-		3,07449	201,9	-	
	0,0	215,4	-		2,56972	215,4	-	
	0,0	228,8	-		1,87143	228,8	-	
	0,0	242,3	-		0,91581	242,3	-	
	0,0	255,8	-		0,0	255,8	-	
	0,0	269,2	-		0,0	269,2	-	
	0,0	282,7	-		0,0	282,7	-	
	0,0	309,6	-		0,0	309,6	-	
	0,0	323,1	-		0,0	323,1	-	
	0,0	336,5	-		0,0	336,5	-	
	0,0	350,0	-		0,0	350,0	-	
22:12:10	0,0	0,0	0,0	0,0	37,73619	0,0	94,340	17-26% 245-2,8%
	0,0	13,5	-		37,73619	13,5	-	
	0,0	26,9	-		28,10961	26,9	-	
	0,0	40,4	-		22,39628	40,4	-	
	0,0	53,8	-		18,12330	53,8	-	
	0,0	67,3	-		14,65288	67,3	-	
	0,0	80,8	-		11,77240	80,8	-	
	0,0	94,2	-		9,83837	94,2	-	
	0,0	107,7	-		8,10218	107,7	-	
	0,0	121,2	-		6,81867	121,2	-	
	0,0	134,6	-		5,88620	134,6	-	
	0,0	148,1	-		5,21732	148,1	-	
	0,0	161,5	-		4,65328	161,5	-	
	0,0	175,0	-		4,05109	175,0	-	
	0,0	188,5	-		3,62466	188,5	-	
	0,0	201,9	-		3,10219	201,9	-	
	0,0	215,4	-		2,56972	215,4	-	
	0,0	228,8	-		1,87143	228,8	-	
	0,0	242,3	-		0,92565	242,3	-	
	0,0	255,8	-		0,0	255,8	-	
	0,0	269,2	-		0,0	269,2	-	
	0,0	282,7	-		0,0	282,7	-	
	0,0	309,6	-		0,0	309,6	-	
	0,0	323,1	-		0,0	323,1	-	
	0,0	336,5	-		0,0	336,5	-	
	0,0	350,0	-		0,0	350,0	-	
22:18:10	0,0	0,0	0,0	0,0	37,73619	0,0	94,340	17-27% 245-2,8%
	0,0	13,5	-		37,73619	13,5	-	
	0,0	26,9	-		27,82568	26,9	-	
	0,0	40,4	-		22,95619	40,4	-	
	0,0	53,8	-		18,12330	53,8	-	
	0,0	67,3	-		14,65288	67,3	-	

Time	DRT3-2 Current	DRT3-2 Bias Voltage	DRT3-2 Current Density	DRT3-2 Ion Energy	DRT3-1 Current	DRT3-1 Bias Voltage	DRT3-1 Current Density	DRT3-1 Ion Energy
hh:mm:ss	nA	V	nA/cm2	eV - %	nA	V	nA/cm2	eV
	0,0	80,8	-		11,77240	80,8	-	
	0,0	94,2	-		9,56508	94,2	-	
	0,0	107,7	-		7,91593	107,7	-	
	0,0	121,2	-		6,75182	121,2	-	
	0,0	134,6	-		5,88620	134,6	-	
	0,0	148,1	-		5,21732	148,1	-	
	0,0	161,5	-		4,53083	161,5	-	
	0,0	175,0	-		4,09932	175,0	-	
	0,0	188,5	-		3,58690	188,5	-	
	0,0	201,9	-		3,07449	201,9	-	
	0,0	215,4	-		2,56972	215,4	-	
	0,0	228,8	-		1,85131	228,8	-	
	0,0	242,3	-		0,91581	242,3	-	
	0,0	255,8	-		0,0	255,8	-	
	0,0	269,2	-		0,0	269,2	-	
	0,0	282,7	-		0,0	282,7	-	
	0,0	309,6	-		0,0	309,6	-	
	0,0	323,1	-		0,0	323,1	-	
	0,0	336,5	-		0,0	336,5	-	
	0,0	350,0	-		0,0	350,0	-	
22:24:10	0,0	0,0	0,0	0,0	37,73619	0,0	94,340	17-26% 245-2,7%
	0,0	13,5	-		37,73619	13,5	-	
	0,0	26,9	-		27,83658	26,9	-	
	0,0	40,4	-		22,63675	40,4	-	
	0,0	53,8	-		18,45326	53,8	-	
	0,0	67,3	-		14,34568	67,3	-	
	0,0	80,8	-		11,78762	80,8	-	
	0,0	94,2	-		9,64368	94,2	-	
	0,0	107,7	-		7,32456	107,7	-	
	0,0	121,2	-		6,13442	121,2	-	
	0,0	134,6	-		5,75468	134,6	-	
	0,0	148,1	-		5,09857	148,1	-	
	0,0	161,5	-		4,14634	161,5	-	
	0,0	175,0	-		4,09932	175,0	-	
	0,0	188,5	-		3,58690	188,5	-	
	0,0	201,9	-		3,07449	201,9	-	
	0,0	215,4	-		2,56972	215,4	-	
	0,0	228,8	-		1,65430	228,8	-	
	0,0	242,3	-		0,87457	242,3	-	
	0,0	255,8	-		0,0	255,8	-	
	0,0	269,2	-		0,0	269,2	-	
	0,0	282,7	-		0,0	282,7	-	
	0,0	309,6	-		0,0	309,6	-	
	0,0	323,1	-		0,0	323,1	-	
	0,0	336,5	-		0,0	336,5	-	
	0,0	350,0	-		0,0	350,0	-	
22:30:10	0,0	0,0	0,0	0,0	0,0	0,0	0,0	0,0
	0,0	13,5	-		0,0	13,5	-	
	0,0	26,9	-		0,0	26,9	-	
	0,0	40,4	-		0,0	40,4	-	
	0,0	53,8	-		0,0	53,8	-	
	0,0	67,3	-		0,0	67,3	-	
	0,0	80,8	-		0,0	80,8	-	
	0,0	94,2	-		0,0	94,2	-	
	0,0	107,7	-		0,0	107,7	-	
	0,0	121,2	-		0,0	121,2	-	
	0,0	134,6	-		0,0	134,6	-	
	0,0	148,1	-		0,0	148,1	-	
	0,0	161,5	-		0,0	161,5	-	
	0,0	175,0	-		0,0	175,0	-	

Time	DRT3-2 Current	DRT3-2 Bias Voltage	DRT3-2 Current Density	DRT3-2 Ion Energy	DRT3-1 Current	DRT3-1 Bias Voltage	DRT3-1 Current Density	DRT3-1 Ion Energy
hh:mm:ss	nA	V	nA/cm2	eV - %	nA	V	nA/cm2	eV
	0,0	188,5	-		0,0	188,5	-	
	0,0	201,9	-		0,0	201,9	-	
	0,0	215,4	-		0,0	215,4	-	
	0,0	228,8	-		0,0	228,8	-	
	0,0	242,3	-		0,0	242,3	-	
	0,0	255,8	-		0,0	255,8	-	
	0,0	269,2	-		0,0	269,2	-	
	0,0	282,7	-		0,0	282,7	-	
	0,0	309,6	-		0,0	309,6	-	
	0,0	323,1	-		0,0	323,1	-	
	0,0	336,5	-		0,0	336,5	-	
	0,0	350,0	-		0,0	350,0	-	

REPORT DOCUMENTATION PAGE			Form Approved OMB No. 0704-0188	
Public reporting burden for this collection of information is estimated to average 1 hour per response, including the time for reviewing instructions, searching existing data sources, gathering and maintaining the data needed, and completing and reviewing the collection of information. Send comments regarding this burden estimate or any other aspect of this collection of information, including suggestions for reducing this burden, to Washington Headquarters Services, Directorate for Information Operations and Reports, 1215 Jefferson Davis Highway, Suite 1204, Arlington, VA 22202-4302, and to the Office of Management and Budget, Paperwork Reduction Project (0704-0188), Washington, DC 20503.				
1. AGENCY USE ONLY (Leave blank)		2. REPORT DATE June 2003		3. REPORT TYPE AND DATES COVERED Final Contractor Report
4. TITLE AND SUBTITLE Hall Effect Thruster Interactions Data From the Russian Express-A2 and Express-A3 Satellites Acquire TM-Data for Type A and Type B Sensors for "Express-A" Number 3 Satellite for the Period of June 24, 2000 to and Including September 30, 2000, Task 27A			5. FUNDING NUMBERS WBS-22-800-91-01 NAS3-99151 NAS3-99204	
6. AUTHOR(S) N. Sitnikova, D. Volkov, I. Maximov, V. Petrusevich, and D. Allen				
7. PERFORMING ORGANIZATION NAME(S) AND ADDRESS(ES) Nauchno-Proizvodstvennoe Obiedinenie Prikladnoi Mekhaniki (NPO PM) 52 Lenin Street, Zheleznogorsk-2 Krasnoyarsk region, 662990, Russia			8. PERFORMING ORGANIZATION REPORT NUMBER E-13691-4	
9. SPONSORING/MONITORING AGENCY NAME(S) AND ADDRESS(ES) National Aeronautics and Space Administration Washington, DC 20546-0001			10. SPONSORING/MONITORING AGENCY REPORT NUMBER NASA CR-2003-212005-PART4	
11. SUPPLEMENTARY NOTES N. Sitnikova, D. Volkov, I. Maximov, and V. Petrusevich, Nauchno-Proizvodstvennoe Obiedinenie Prikladnoi (NPO PM) 52 Lenin Street, Zheleznogorsk-2, Mekhaniki, Krasnoyarsk region, 662990, Russia. D. Allen, Schafer Corporation, 321 Billerica Road, Chelmsford, Massachusetts 01824-4191. Project Manager, John Dunning, Power and Propulsion Office, NASA Glenn Research Center, organization code 6900, 216-433-5298.				
12a. DISTRIBUTION/AVAILABILITY STATEMENT Unclassified - Unlimited Subject Category: 20 Available electronically at http://gltrs.grc.nasa.gov This publication is available from the NASA Center for AeroSpace Information, 301-621-0390.			12b. DISTRIBUTION CODE	
13. ABSTRACT (Maximum 200 words) This 12-part report documents the data obtained from various sensor measurements taken aboard the Russian Express-A2 and Express-A3 spacecraft in Geosynchronous Earth Orbit (GEO). These GEO communications satellites, which were designed and built by NPO Prikladnoy Mekhaniki (NPO PM) of Zheleznogorsk, Russia, utilize Hall thruster propulsion systems for north-south and east-west stationkeeping and as of June 2002, were still operating at 80° E., and 11° W., respectively. Express-A2 was launched on March 12, 2000, while Express-A3 was launched on June 24, 2000. The diagnostic equipment from which these data were taken includes electric field strength sensors, ion current and energy sensors, and pressure sensors. The diagnostics and the Hall thruster propulsion systems are described in detail along with lists of tabular data from those diagnostics and propulsion system and other satellite systems. Space Power, Inc., now part of Pratt & Whitney's Chemical Systems Division, under contract NAS3-99151 to the NASA Glenn Research Center, obtained these data over several periods from March 12, 2000, through September 30, 2001. Each of the 12 individual reports describe, in detail, the propulsion systems as well as the diagnostic sensors utilized. Finally, parts 11 and 12 include the requirements to which NPO PM prepared and delivered these data.				
14. SUBJECT TERMS Propulsion; Electric propulsion; Hall thrusters; Hall effect			15. NUMBER OF PAGES 369	
			16. PRICE CODE	
17. SECURITY CLASSIFICATION OF REPORT Unclassified	18. SECURITY CLASSIFICATION OF THIS PAGE Unclassified	19. SECURITY CLASSIFICATION OF ABSTRACT Unclassified	20. LIMITATION OF ABSTRACT	